

NUCLÉIDE-LARA

**BIBLIOTHÈQUE DES ÉMISSIONS ALPHA, X ET GAMMA
CLASSÉES PAR ORDRE D'ÉNERGIE CROISSANTE**

**LIBRARY FOR ALPHA, X AND GAMMA EMISSIONS
SORTED BY INCREASING ENERGY**

par

**Marie-Martine BÉ, Christophe DULIEU,
Vanessa CHISTÉ**

CEA SACLAY

DIRECTION DE LA RECHERCHE
TECHNOLOGIQUE

LABORATOIRE D'INTÉGRATION DES SYSTÈMES ET
DES TECHNOLOGIES

DÉPARTEMENT DES TECHNOLOGIES DU
CAPTEUR ET DU SIGNAL

LABORATOIRE NATIONAL HENRI BECQUEREL

DIRECTION DES SYSTÈMES
D'INFORMATION

CEA / SACLAY 91191 GIF-SUR-YVETTE CEDEX FRANCE



**RAPPORT
CEA-R-6201**

- Rapport CEA-R-6201 -

CEA Saclay
Direction de la Recherche Technologique
Laboratoire d'Intégration des Systèmes et des Technologies
Département des Technologies du Capteur et du Signal
Laboratoire National Henri Becquerel

NUCLÉIDE-LARA

BIBLIOTHÈQUE DES ÉMISSIONS ALPHA, X ET GAMMA
CLASSÉES PAR ORDRE D'ÉNERGIE CROISSANTE

LIBRARY FOR ALPHA, X AND GAMMA EMISSIONS
SORTED BY INCREASING ENERGY

par

Marie-Martine BÉ, Christophe DULIEU,
Vanessa CHISTÉ

- Novembre 2008 -

RAPPORT CEA-R-6201 – Marie-Martine BÉ, Christophe DULIEU, Vanessa CHISTÉ

«NUCLÉIDE-LARA - Bibliothèque des émissions alpha, X et gamma»

Résumé - La bibliothèque NUCLÉIDE-LARA présente, pour près de 400 radionucléides d'intérêt pratique, les tables d'émissions alpha, X et gamma classées par ordre d'énergie croissante, ainsi que l'intensité associée et la période radioactive du radionucléide parent

2008 - Commissariat à l'Énergie Atomique – France

RAPPORT CEA-R-6201 – Marie-Martine BÉ, Christophe DULIEU, Vanessa CHISTÉ

« NUCLÉIDE-LARA - Library for alpha, X and gamma emissions »

Abstract - The NUCLÉIDE-LARA library presents, for almost 400 radionuclides of practical interest, the tables of alpha, X and gamma emissions sorted by increasing energy, as well as the associated intensity and radioactive half-life of the parent radionuclide

2008 – Commissariat à l'Énergie Atomique – France

NUCLÉIDE-LARA

BIBLIOTHÈQUE DES ÉMISSIONS

ALPHA, X ET GAMMA

CLASSÉES PAR ORDRE D'ÉNERGIE CROISSANTE

LIBRARY FOR ALPHA, X AND GAMMA EMISSIONS

SORTED BY INCREASING ENERGY

TABLE DES MATIÈRES

TABLE OF CONTENTS

Introduction (français)	5
Introduction (english)	9
Liste des nucléides présents dans la bibliothèque <i>List of nuclides in the library</i>	
- triés par numéro atomique	13
<i>sorted by atomic number</i>	
- triés par ordre alphabétique	17
<i>sorted alphabetically</i>	
- triés par période radioactive	21
<i>sorted by radioactive half-life</i>	
Liste des émissions X et gamma <i>List of X and gamma emissions</i>	
classées par ordre d'énergie croissante	25
<i>sorted by increasing energy</i>	
Liste des émissions alpha <i>List of alpha emissions</i>	
classées par ordre d'énergie croissante	213
<i>sorted by increasing energy</i>	
Annexe <i>Appendix</i>	
schémas des chaînes radioactives	223
<i>radioactive series schemes</i>	

INTRODUCTION

Le Laboratoire National Henri Becquerel (LNHB), du Commissariat à l'Énergie Atomique (CEA), est mandaté par le Laboratoire National de Métrologie et d'Essais (LNE) comme laboratoire national de métrologie pour les rayonnements ionisants : radioactivité (unité le *becquerel*) et dosimétrie des photons et particules chargées (unité le *gray*).

PRÉAMBULE

Les travaux du LNHB et du groupe international Decay Data Evaluation Project (DDEP), menés dans le domaine des données de décroissance radioactive, se sont concrétisés par l'édition de tables de radionucléides [1] publiées sous l'égide du Bureau International des Poids et Mesures (BIPM). Ces derniers documents fournissent aux utilisateurs toutes les données caractérisant les rayonnements ionisants de façon exhaustive.

D'autre part, le LNHB a créé une base de données informatisée dénommée NUCLÉIDE disponible sur CD-ROM, ainsi qu'un site internet : <http://www.nucleide.org>

NUCLÉIDE-LARA, la bibliothèque des émissions alpha, X et gamma, anciennement LARA, présente les paramètres couramment utilisés en spectrométrie alpha et photonique.

Cette nouvelle édition a été entièrement actualisée et complétée par le Laboratoire National Henri Becquerel (LNHB).

Les radionucléides étudiés sont choisis pour leur intérêt dans le domaine de la métrologie ou dans des domaines variés d'applications comme la médecine nucléaire, l'environnement, le cycle du combustible, etc.

Les valeurs sont évaluées à partir de données expérimentales ou à défaut, elles sont issues de calculs théoriques.

Les données publiées dans cette compilation sont extraites, pour une grande partie, de la base de données NUCLÉIDE [2], à laquelle ont participé les auteurs figurant dans le tableau ci-dessous.

Les autres données proviennent de Nuclear Data Sheets [3], base de données maintenue par Brookhaven National Laboratory, ou de Nuclear Physics.

Les émissions photoniques et alpha d'intensité inférieure à 10^{-6} % n'ont pas été incluses dans cette édition. Toutefois, toutes les émissions, y compris les plus faibles, sont consultables dans la version informatisée NUCLÉIDE.

Pour les radionucléides ayant un descendant possédant un niveau métastable de période non négligeable, par exemple Mo-99 dont une partie des voies de désintégration alimente Tc-99m, les intensités des émissions gamma sont données pour les deux corps supposés à l'équilibre. La filiation des éléments à l'équilibre est alors mentionnée. Sont dans ce cas :

Rb-81 - Kr-81m ; Sr-91 - Y-91m ; Zr-95 - Nb-95m ; Mo-99 - Tc-99m ; Ru-103 - Rh-103m ;

Sn-113 - In-113m ; Sb-125 - Te-125m ; Te-131m - Te-131 ; I-131 - Xe-131m ; Cs-137 - Ba-137m.

Ces nucléides sont repérés par un astérisque.

Les schémas des principales chaînes radioactives sont donnés en annexe, les périodes et taux de branchements y figurent en valeurs arrondies, se référer aux tables [1, 2] pour les valeurs exactes.

PRÉSENTATION

Ce volume est constitué par les tables d'émission gamma et alpha classées par ordre d'énergie croissante.

Les paramètres présentés sont :

- L'énergie et son incertitude associée en keV (ex : 28,26 (11) i.e. $28,26 \pm 0,11$) ;
- L'intensité d'émission et son incertitude associée en % (ex : 0,028 (11) i.e. $0,028 \pm 0,011$) ;
- Le type d'émission : gamma, X ou alpha (ex : g) ;
- Pour chaque émission est précisé le nom du radionucléide père (ex : Kr-88) ;
- La période du radionucléide père (ex : 2,84 (3) h).

Cette édition de la bibliothèque comprend 397 radionucléides dont 10 en filiation radioactive.

INCERTITUDES

Pour certaines applications il est nécessaire de définir une incertitude élargie, notée U , telle que :

$U(y) = k \cdot uc(y)$ où k est le facteur d'élargissement.

La valeur de k retenue pour cette publication est : $k = 1$.

Les valeurs d'incertitude indiquées portent sur les derniers chiffres significatifs, ainsi :

9,230 (11) signifie $9,230 \pm 0,011$ et

9,2 (11) $9,2 \pm 1,1$

Si une valeur est donnée sans incertitude, cela signifie qu'elle est considérée comme douteuse. Elle est indiquée à titre indicatif et souvent a été estimée en fonction du schéma de désintégration comme étant « de l'ordre de ».

UNITÉS

Les valeurs recommandées sont exprimées :

- pour les périodes :	unité
. en secondes pour $T_{1/2} \leq 60$ secondes	s
. en minutes pour $T_{1/2} > 60$ secondes	min
. en heures pour $T_{1/2} > 60$ minutes	h
. en jours pour $T_{1/2} > 24$ heures	d
. en années pour $T_{1/2} > 365$ jours	a

1 année = 365,242 198 jours = 31 556 926 secondes ;

- pour les intensités d'émission, les valeurs sont données pour 100 désintégrations ;

- toutes les énergies sont exprimées en keV.

SIGLES ET AUTEURS

L'édition de ce recueil : sélection des données, mise en page, etc. a été assurée par : Marie-Martine Bé, Christophe Dulieu et Vanessa Chisté.

Les données publiées dans cette édition sont extraites, pour une grande partie, de la base de données NUCLÉIDE, à laquelle ont participé les auteurs figurant dans le tableau ci-après. Ces évaluations ont été produites sous les auspices et le support scientifique du « Decay Data Evaluation Project » (DDEP) [4]. Les autres données proviennent de Nuclear Data Sheets, base de données maintenue par Brookhaven National Laboratory, ou Nuclear Physics.

Sigle	Laboratoire et auteurs
CEA/LNE-LNHB ou LNHB	Laboratoire National Henri Becquerel, France M.M. Bé, V. Chisté, C. Dulieu, N. Coursol, F. Lagoutine
LBL	Lawrence Berkeley National Laboratory, USA E. Browne, C. Baglin
KRI	V.G. Khlopin Radium Institute, Russie V.P. Chechev, N. Kuzmenko
INEEL	Idaho National Engineering and Environmental Laboratory, USA R.G. Helmer
ANL	Argonne National Laboratory, USA F.G. Kondev
NPL	National Physical Laboratory, Grande Bretagne T.D. MacMahon
PTB	Physikalisch-Technische Bundesanstalt, Allemagne E. Schönfeld
CIEMAT	Centro de Investigaciones Energéticas MedioAmbientales y Tecnológicas M. Galan
AIEA	Agence Internationale pour l'Énergie Atomique, Autriche A. Nichols
NDS	Nuclear Data Sheets
NP	Nuclear Physics

RÉFÉRENCES

- [1] **Monographie BIPM-5**, ISBN 92 822 2204 7, ISBN 92 822 2207 1 et ISBN 92 822 2218 7
B.I.P.M., Pavillon de Breteuil, F-92312 Sèvres
- [2] **NUCLÉIDE**, CD-Rom Version 2-2004 (2004), CEA/LNHB,
91191 GIF-SUR-YVETTE, France
Nouvelle édition à paraître en 2009 chez EDP Sciences
- [3] **NUCLEAR DATA SHEETS**, National Nuclear Data Center, Brookhaven National
Laboratory, Oak Ridge, Tennessee 37831-6371, USA
- [4] R. Helmer, E. Browne, M.M. Bé. "International Decay Data Evaluation Project",
Journal of Nuclear Science and Technology, Supplement 2 (August 2002) 455

AVERTISSEMENT

Ce document a été imprimé en 2008, pour toutes les nouvelles évaluations et mises à jours ultérieures des données, le lecteur se référera aux documents accessibles sur :

<http://www.nucleide.org/NucData.htm>

INTRODUCTION

The French Atomic Energy Commission's (CEA) Laboratoire National Henri Becquerel (LNHB) has been designated national metrology laboratory for measuring radioactivity (unit: *becquerel*) and photon and charged particle dosimetry (unit: *gray*) by the French National Metrology Institute (LNE).

FOREWORD

The work of the Laboratoire National Henri Becquerel (LNHB) and the Decay Data Evaluation Project (DDEP) international group in the field of radioactive decay data resulted in the publication of tables of radionuclides [1] published by the Bureau International des Poids et Mesures (BIPM). These documents provide users with all the data comprehensively characterizing ionizing radiations.

The Laboratoire National Henri Becquerel has also created a database named NUCLÉIDE available on CD-ROM, as well as a website: <http://www.nucleide.org>

NUCLÉIDE-LARA, the library for alpha, X and gamma emissions, previously called LARA, lists the main parameters for photon and alpha spectrometry purposes.

Only the radionuclides most widely used or commonly encountered in the fields of medicine, nuclear industry, waste management, etc. are included in this Table.

The data, presented here, were determined from measured values or deduced from theoretical calculations when necessary.

The data published in this Table are mainly derived from the NUCLÉIDE database [2], which the authors indicated in the following table helped to set up. The other data are from the Nuclear Data Sheets [3], a database maintained by Brookhaven National Laboratory, or from Nuclear Physics.

The gamma and alpha emissions with intensity less than 10^{-6} % were not printed in this issue. However, all the emissions, including the weakest ones, are available in the computerized version NUCLÉIDE.

For radionuclides with a daughter having a metastable level with a non-negligible half-life, such as molybdenum 99 for which a part of the branching goes to technetium metastable, the gamma emission intensities are given for the two nuclides being in equilibrium. Are in this case:

Rb-81 - Kr-81m ; Sr-91 - Y-91m ; Zr-95 - Nb-95m ; Mo-99 - Tc-99m ; Ru-103 - Rh-103m ;
Sn-113 - In-113m ; Sb-125 - Te-125m ; Te-131m - Te-131 ; I-131 - Xe-131m ; Cs-137 - Ba-137m.
These nuclides are marked with an asterisk.

Schemes of the main radioactive series are presented in appendix. The half-lives and branching ratios displayed are rounded values ; refer to tables [1, 2] for precise values.

DESCRIPTION

This volume includes the tables of gamma and alpha emissions sorted by increasing energy.

The displayed parameters are:

- energy and associated uncertainty in keV (e.g.: 28,26 (11) i.e. $28,26 \pm 0,11$);
- emission intensity and associated uncertainty in % (e.g.: 0,028 (11) i.e. $0,028 \pm 0,011$);
- type of emission: gamma, X or alpha (e.g.: g);
- for each emission, the name of the parent nuclide is given (e.g.: Kr-88);
- half-life of the parent nuclide (e.g.: 2,84 (3) h).

This volume contains 397 nuclides including 10 nuclides in radioactive equilibrium.

UNCERTAINTIES

For some applications it may be necessary to define an expanded uncertainty, designated U , as:

$U(y) = k \cdot u(y)$ where k is the coverage factor.

For this publication the expanded uncertainty is computed with $k = 1$.

The value of the uncertainty, in parentheses, applies to the least significant digits, i.e.:

9,230 (11) means $9,230 \pm 0,011$ and

9,2 (11) $9,2 \pm 1,1$

A value given without an uncertainty is considered questionable. It is provided for information and often its order of magnitude is estimated from the decay scheme.

UNITS

The recommended values are given:

- for half-lives:	unit
. in seconds for $T \leq 60$ seconds	s
. in minutes for $T_{1/2} > 60$ seconds	min
. in hours for $T_{1/2} > 60$ minutes	h
. in days for $T_{1/2} > 24$ hours	d
. in years for $T_{1/2} > 365$ days	a

1 tropical year = 365,242 198 days = 31 556 926 seconds

- for emission intensities, per 100 disintegrations of the parent nuclide ;

- for energies, in keV.

ACRONYMS AND AUTHORS

This table was created by Marie-Martine Bé, Christophe Dulieu and Vanessa Chisté, from data selection to typesetting.

The data published in this edition are mainly derived from the NUCLÉIDE database, which the authors indicated in the following table helped to set up. The data evaluations have been produced under the auspices and scientific support of the Decay Data Evaluation Project (DDEP) international collaboration [4].

The other data are from the Nuclear Data Sheets, a database maintained by Brookhaven National Laboratory, or Nuclear Physics.

Acronym	Laboratory and authors
CEA/LNE-LNHB LNHB	Laboratoire National Henri Becquerel, France M.M. Bé, V. Chisté, C. Dulieu, N. Coursol, F. Lagoutine
LBL	Lawrence Berkeley National Laboratory, USA E. Browne, C. Baglin
KRI	V.G. Khlopin Radium Institute, Russia V.P. Chechev, N. Kuzmenko
INEEL	Idaho National Engineering and Environmental Laboratory, USA R.G. Helmer
ANL	Argonne National Laboratory, USA F.G. Kondev
NPL	National Physical Laboratory, UK T.D. MacMahon
PTB	Physikalisch-Technische Bundesanstalt, Germany E. Schönfeld
CIEMAT	Centro de Investigaciones Energéticas MedioAmbientales y Tecnológicas M. Galan
IAEA	International Atomic Energy Agency, Austria A. Nichols
NDS	Nuclear Data Sheets
NP	Nuclear Physics

REFERENCES

- [1] **Monographie BIPM-5**, ISBN 92 822 2204 7, ISBN 92 822 2207 1 et ISBN 92 822 2218 7
B.I.P.M., Pavillon de Breteuil, F-92312 Sèvres
- [2] **NUCLÉIDE**, CD-Rom Version 2-2004 (2004), CEA/LNHB,
91191 GIF-SUR-YVETTE, France
New issue to be published in 2009 by EDP Sciences
- [3] **NUCLEAR DATA SHEETS**, National Nuclear Data Center, Brookhaven National
Laboratory, Oak Ridge, Tennessee 37831-6371, USA
- [4] R. Helmer, E. Browne, M.M. Bé. “International Decay Data Evaluation Project”,
Journal of Nuclear Science and Technology, Supplement 2 (August 2002) 455

CAUTION

This report was printed in 2008, for information on any new evaluations and updated data, please refer to the documents available at the following URL:

<http://www.nucleide.org/NucData.htm>

LISTE DES NUCLÉIDES PRÉSENTS
TRIÉS PAR NUMÉRO ATOMIQUE

*LIST OF NUCLIDES
SORTED BY ATOMIC NUMBER*

Liste des nucléides présents dans la bibliothèque (triés par numéro atomique)
(nucléide - période - types d'émission)

Be-7	53,22	d	Y	Kr-85m	4,48	h	Y,X	Sb-125*	2,75855	a	Y,X
C-11	20,37	min	Y	Kr-87	1,272	h	Y,X	Sb-126	12,4	d	Y,X
N-13	9,967	min	Y	Kr-88	2,84	h	Y,X	Sb-126m	19,15	min	Y,X
N-16	7,13	s	Y	Kr-89	3,17	min	Y	Sb-132	2,79	min	Y,X
O-15	2,041	min	Y	Kr-90	32,32	s	Y,X	Sb-132m	4,1	min	Y,X
O-19	26,91	s	Y	Kr-91	8,57	s	Y,X	Te-121	19,16	d	Y,X
F-18	1,8288	h	Y,X	Rb-81*	4,25	h	Y,X	Te-121m	154	d	Y,X
Ne-23	37,24	s	Y	Rb-81m	30,25	min	Y,X	Te-123m	119,3	d	Y,X
Na-22	2,6027	a	Y,X	Rb-83	86,2	d	Y,X	Te-125m	57,4	d	Y,X
Na-24	14,9574	h	Y,X	Rb-84	32,77	d	Y,X	Te-127	9,35	h	Y,X
Na-24m	2,02E-02	s	Y	Rb-86	18,64	d	Y	Te-127m	107	d	Y,X
Mg-27	9,458	min	Y,X	Rb-88	17,8	min	Y	Te-129	1,16	h	Y,X
Mg-28	20,91	h	Y,X	Rb-89	15,2	min	Y	Te-129m	33,6	d	Y,X
Al-26	717 000	a	Y,X	Rb-90	2,7	min	Y	Te-131	25	min	Y,X
Al-28	2,2414	min	Y,X	Rb-90m	4,3	min	Y,X	Te-131m*	1,25	d	Y,X
Si-31	2,623	h	Y	Rb-91	58,4	s	Y,X	Te-132	3,204	d	Y,X
S-37	5,05	min	Y	Sr-85	64,85	d	Y,X	Te-133	12,45	min	Y,X
Cl-36	301 000	a	Y,X	Sr-89	50,57	d	Y,X	Te-133m	55,4	min	Y,X
Cl-38	37,24	min	Y	Sr-91*	9,63	h	Y,X	Te-134	41,8	min	Y,X
Ar-37	35,04	d	X	Sr-92	2,65	h	Y	I-123	13,2234	h	Y,X
Ar-41	1,827	h	Y,X	Sr-94	1,235	min	Y	I-124	4,176	d	Y,X
K-40	1,265E+09	a	Y,X	Y-88	106,626	d	Y,X	I-125	59,407	d	Y,X
K-42	12,359	h	Y	Y-89m	16,06	s	Y,X	I-126	12,93	d	Y,X
K-43	22,2	h	Y	Y-90	2,6684	d	Y	I-128	24,99	min	Y,X
Ca-45	163	d	Y	Y-90m	3,19	h	Y,X	I-129	1,61E+07	a	Y,X
Ca-47	4,536	d	Y	Y-91	58,51	d	Y	I-131*	8,0233	d	Y,X
Ca-49	8,718	min	Y	Y-91m	49,71	min	Y,X	I-132	2,295	h	Y,X
Sc-44	3,97	h	Y,X	Y-92	3,54	h	Y,X	I-132m	1,387	h	Y,X
Sc-46	83,788	d	Y,X	Y-93	10,1	h	Y,X	I-133	20,87	h	Y,X
Sc-47	3,351	d	Y,X	Y-94	18,7	min	Y	I-134	52,5	min	Y,X
Sc-48	1,82	d	Y,X	Zr-88	83	d	Y,X	I-135	6,57	h	Y,X
Ti-44	60	a	Y,X	Zr-89	78,41	h	Y,X	I-137	24,5	s	Y
Ti-51	5,76	min	Y,X	Zr-93	1,53E+06	a	Y,X	I-138	6,49	s	Y
V-48	15,9735	d	Y,X	Zr-95*	64,032	d	Y,X	Xe-123	2,08	h	Y,X
V-50	1,4E+17	a	Y,X	Zr-97	16,9	h	Y,X	Xe-125	16,9	h	Y,X
V-52	3,753	min	Y	Nb-92	3,5E+07	a	Y,X	Xe-127	36,4	d	Y,X
Cr-51	27,703	d	Y,X	Nb-92m	10,15	d	Y,X	Xe-129m	8,88	d	Y,X
Mn-52	5,595	d	Y,X	Nb-93m	16,12	a	Y,X	Xe-131m	11,93	d	Y,X
Mn-52m	21,2	min	Y,X	Nb-94	20 000	a	Y	Xe-132m	8,39E-03	s	Y,X
Mn-54	312,13	d	Y,X	Nb-95	34,991	d	Y,X	Xe-133	5,2474	d	Y,X
Mn-56	2,57878	h	Y,X	Nb-95m	3,61	d	Y,X	Xe-133m	2,198	d	Y,X
Fe-52	8,26	h	Y,X	Nb-96	23,35	h	Y,X	Xe-135	9,14	h	Y,X
Fe-55	2,747	a	X	Nb-97	1,202	h	Y	Xe-135m	15,3	min	Y,X
Fe-59	44,495	d	Y,X	Nb-97m	58,7	s	Y	Xe-137	3,818	min	Y,X
Co-56	77,236	d	Y,X	Mo-93	4 000	a	Y,X	Xe-138	14,08	min	Y,X
Co-57	271,8	d	Y,X	Mo-93m	6,85	h	Y,X	Xe-139	39,68	s	Y,X
Co-58	70,83	d	Y,X	Mo-99*	2,7479	d	Y,X	Xe-140	13,6	s	Y,X
Co-58m	8,9	h	Y,X	Mo-101	14,6	min	Y,X	Cs-131	9,69	d	X
Co-60	5,271	a	Y,X	Tc-99	211 100	a	Y	Cs-134	2,0651	a	Y,X
Co-60m	10,47	min	Y,X	Tc-99m	6,0067	h	Y,X	Cs-134m	2,913	h	Y,X
Ni-56	6,079	d	Y,X	Tc-101	14,2	min	Y,X	Cs-136	13,16	d	Y,X
Ni-57	35,9	h	Y,X	Tc-104	18,3	min	Y,X	Cs-137*	30,05	a	Y,X
Ni-65	2,5172	h	Y	Ru-97	2,9	d	Y,X	Cs-138	33,41	min	Y,X
Cu-64	12,701	h	Y,X	Ru-103*	39,255	d	Y,X	Cs-140	1,062	min	Y,X
Cu-66	5,12	min	Y	Rh-103m	56,115	min	Y,X	Cs-143	1,791	s	Y,X
Cu-67	2,66	d	Y,X	Rh-106	30	s	Y,X	Ba-131	11,5	d	Y,X
Zn-65	244,01	d	Y,X	Pd-103	16,964	d	Y,X	Ba-133	10,54	a	Y,X
Zn-69	56,4	min	Y	Pd-109	13,7	h	Y,X	Ba-135m	1,196	d	Y,X
Zn-69m	13,76	h	Y,X	Ag-108	2,382	min	Y,X	Ba-136m	0,3084	s	Y,X
Ga-66	9,49	h	Y,X	Ag-108m	438	a	Y,X	Ba-137m	2,552	min	Y,X
Ga-67	3,2613	d	Y,X	Ag-110	24,56	s	Y,X	Ba-139	1,384	h	Y,X
Ga-68	1,1275	h	Y,X	Ag-110m	249,78	d	Y,X	Ba-140	12,753	d	Y,X
Ga-72	14,1	h	Y,X	Ag-111	7,45	d	Y,X	Ba-141	18,27	min	Y,X
Ge-68	270,95	d	X	Cd-109	461,4	d	Y,X	La-138	1,02E+11	a	Y,X
Ge-77	11,3	h	Y	Cd-115m	44,56	d	Y,X	La-140	1,6785	d	Y,X
As-76	1,0778	d	Y	In-111	2,8049	d	Y,X	La-141	3,92	h	Y
Se-75	119,79	d	Y,X	In-113m	1,658	h	Y,X	Ce-139	137,641	d	Y,X
Br-76	16,2	h	Y,X	In-114	71,9	s	Y,X	Ce-141	32,508	d	Y,X
Br-80	17,68	min	Y,X	In-114m	49,51	d	Y,X	Ce-143	33,04	h	Y,X
Br-82	1,4708	d	Y,X	In-115m	4,486	h	Y,X	Ce-144	285	d	Y,X
Br-83	2,4	h	Y	In-116m	54,29	min	Y,X	Pr-143	13,57	d	Y
Br-86	55,1	s	Y	Sn-113*	115,09	d	Y,X	Pr-144	17,29	min	Y
Br-87	55,65	s	Y	Sn-117m	13,6	d	Y,X	Pr-144m	7,2	min	Y,X
Kr-79	35,04	h	Y,X	Sn-121m	55	a	Y,X	Pr-147	13,4	min	Y,X
Kr-81m	12,8	s	Y,X	Sn-125	9,64	d	Y,X	Nd-144	2,29E+15	a	α
Kr-83m	1,83	h	Y,X	Sb-122	2,7	d	Y,X	Nd-147	10,98	d	Y,X
Kr-85	10,752	a	Y,X	Sb-124	60,2	d	Y,X	Pm-146	5,53	a	Y,X

* : Radionucléide en équilibre avec son descendant
(Cf. liste en début de volume)

Liste des nucléides présents dans la bibliothèque (triés par numéro atomique)
(nucléide - période - types d'émission)

Pm-147	2,6234 a	γ	Pb-211	36,1 min	γ,X	Am-241	432,6 a	α,γ,X
Pm-151	1,183 d	γ,X	Pb-212	10,64 h	γ,X	Am-242	16,02 h	γ
Sm-151	90 a	γ,X	Pb-214	26,8 min	γ,X	Am-243	7 370 a	α,γ,X
Sm-153	1,92855 d	γ,X	Bi-207	32,9 a	γ,X	Am-245	2,05 h	γ,X
Sm-155	22,3 min	γ,X	Bi-210	5,012 d	α,γ	Cm-240	27 d	α
Eu-150	36,9 a	γ,X	Bi-211	2,14 min	α,γ,X	Cm-242	162,86 d	α,γ,X
Eu-152	13,522 a	γ,X	Bi-212	60,54 min	α,γ,X	Cm-243	29,1 a	α,γ,X
Eu-152m	9,3116 h	γ,X	Bi-213	45,59 min	α,γ,X	Cm-244	18,11 a	α,γ,X
Eu-154	8,601 a	γ,X	Bi-214	19,9 min	α,γ,X	Cm-245	8 480 a	α,γ,X
Eu-155	4,753 a	γ,X	Bi-215	7,6 min	γ	Cm-246	4 723 a	α,γ,X
Eu-156	15,19 d	γ,X	Po-210	138,3763 d	α,γ,X	Cm-248	348 000 a	α
Gd-153	240,4 d	γ,X	Po-211	0,516 s	α,γ	Cf-252	2,647 a	α,γ,X
Gd-159	18,479 h	γ,X	Po-211m	25,2 s	α,γ			
Tb-160	72,3 d	γ,X	Po-212	3E-07 s	α			
Tb-161	6,906 d	γ,X	Po-213	3,7E-06 s	α,γ			
Dy-165	2,334 h	γ,X	Po-214	1,623E-04 s	α,γ,X			
Ho-166	26,795 h	γ,X	Po-215	1,781E-03 s	α,γ			
Ho-166m	1 200 a	γ,X	Po-216	0,15 s	α,γ,X			
Er-169	9,4 d	γ	Po-218	3,094 min	α,γ			
Tm-170	127,8 d	γ,X	At-211	7,214 h	α,γ,X			
Yb-169	32,018 d	γ,X	At-215	1E-04 s	α			
Yb-169m	46 s	γ,X	At-217	3,23E-02 s	α,γ,X			
Yb-175	4,185 d	γ,X	At-218	1,4 s	α			
Lu-176	3,79E+10 a	γ,X	At-219	56 s	α			
Lu-176m	3,635 h	γ,X	Rn-217	5,4E-04 s	α			
Lu-177	6,647 d	γ,X	Rn-218	3,6E-02 s	α,γ,X			
Lu-177m	160,4 d	γ,X	Rn-219	3,96 s	α,γ,X			
Hf-175	70 d	γ,X	Rn-220	55,8 s	α,γ,X			
Hf-181	42,39 d	γ,X	Rn-222	3,8232 d	α,γ,X			
Ta-178	9,29 min	γ,X	Fr-221	4,79 min	α,γ,X			
Ta-182	114,43 d	γ,X	Fr-223	22 min	γ,X			
Ta-182m	15,84 min	γ,X	Fr-227	2,47 min	γ,X			
W-178	21,6 d	X	Ra-223	11,43 d	α,γ,X			
W-181	121,2 d	γ,X	Ra-224	3,627 d	α,γ,X			
W-183m	5,2 s	γ,X	Ra-225	14,9 d	γ,X			
W-185	75,1 d	γ,X	Ra-226	1 600 a	α,γ,X			
W-185m	1,67 min	γ,X	Ra-228	5,75 a	γ,X			
W-187	23,72 h	γ,X	Ac-225	10 d	α,γ,X			
W-188	69,78 d	γ,X	Ac-227	21,772 a	α,γ,X			
Re-184	38 d	γ,X	Ac-228	6,15 h	γ,X			
Re-184m	169 d	γ,X	Th-227	18,718 d	α,γ,X			
Re-186	3,7186 d	γ,X	Th-228	1,9127 a	α,γ,X			
Re-188	17,005 h	γ,X	Th-229	7 340 a	α,γ,X			
Re-188m	18,6 min	γ,X	Th-230	75 380 a	α,γ,X			
Os-185	93,6 d	γ,X	Th-231	1,0633 d	γ,X			
Os-191	15,4 d	γ,X	Th-232	1,405E+10 a	α,γ,X			
Os-193	1,2546 d	γ,X	Th-233	22,15 min	γ,X			
Ir-191m	4,94 s	γ,X	Th-234	24,1 d	γ,X			
Ir-192	73,827 d	γ,X	Pa-228	22 h	α,γ,X			
Ir-194	19,3 h	γ,X	Pa-231	32 760 a	α,γ,X			
Pt-191	2,802 d	γ,X	Pa-232	1,31 d	γ,X			
Pt-193m	4,33 d	γ,X	Pa-233	26,98 d	γ,X			
Pt-195m	4,02 d	γ,X	Pa-234	6,7 h	γ,X			
Pt-197	19,8915 h	γ,X	Pa-234m	1,17 min	γ,X			
Pt-197m	95,41 min	γ,X	U-232	70 a	α,γ,X			
Au-195	186,1 d	γ,X	U-233	159 200 a	α,γ,X			
Au-196	6,183 d	γ,X	U-234	245 500 a	α,γ,X			
Au-197m	7,73 s	γ,X	U-235	7,04E+08 a	α,γ,X			
Au-198	2,6944 d	γ,X	U-237	6,749 d	γ,X			
Au-199	3,139 d	γ,X	U-238	4,468E+09 a	α,γ,X			
Hg-197	2,671 d	γ,X	U-239	23,46 min	γ,X			
Hg-197m	23,8 h	γ,X	U-240	14,1 h	γ,X			
Hg-203	46,594 d	γ,X	Np-235	1,084 a	α,γ,X			
Hg-206	8,15 min	γ,X	Np-236	155 000 a	γ,X			
Tl-200	1,088 d	γ,X	Np-236m	22,5 h	γ,X			
Tl-201	3,0421 d	γ,X	Np-237	2,144E+06 a	α,γ,X			
Tl-202	12,23 d	γ,X	Np-239	2,356 d	γ,X			
Tl-204	3,788 a	X	Np-240	61,9 min	γ,X			
Tl-206	4,202 min	γ,X	Pu-236	2,87 a	α,γ,X			
Tl-207	4,77 min	γ,X	Pu-237	45,2 d	α,γ,X			
Tl-208	3,06 min	γ,X	Pu-238	87,74 a	α,γ,X			
Tl-209	2,2 min	γ,X	Pu-239	24 100 a	α,γ,X			
Tl-210	1,3 min	γ,X	Pu-240	6 561 a	α,γ,X			
Pb-200	21,5 h	γ,X	Pu-241	14,33 a	α,γ,X			
Pb-201	9,33 h	γ,X	Pu-242	373 000 a	α,γ,X			
Pb-203	51,929 h	γ,X	Pu-243	4,956 h	γ,X			
Pb-210	22,23 a	α,γ,X	Pu-244	8E+07 a	α			

LISTE DES NUCLÉIDES PRÉSENTS
TRIÉS PAR ORDRE ALPHABÉTIQUE

*LIST OF NUCLIDES
SORTED ALPHABETICALLY*

Liste des nucléides présents dans la bibliothèque (triés par ordre alphabétique)
(nucléide - période - types d'émission)

Ac-225	10 d	α, γ, X	Cs-134	2,0651 a	γ, X	La-138	1,02E+11 a	γ, X
Ac-227	21,772 a	α, γ, X	Cs-134m	2,913 h	γ, X	La-140	1,6785 d	γ, X
Ac-228	6,15 h	γ, X	Cs-136	13,16 d	γ, X	La-141	3,92 h	γ
Ag-108	2,382 min	γ, X	Cs-137*	30,05 a	γ, X	Lu-176	3,79E+10 a	γ, X
Ag-108m	438 a	γ, X	Cs-138	33,41 min	γ, X	Lu-176m	3,635 h	γ, X
Ag-110	24,56 s	γ, X	Cs-140	1,062 min	γ, X	Lu-177	6,647 d	γ, X
Ag-110m	249,78 d	γ, X	Cs-143	1,791 s	γ, X	Lu-177m	160,4 d	γ, X
Ag-111	7,45 d	γ, X	Cu-64	12,701 h	γ, X	Mg-27	9,458 min	γ, X
Al-26	717 000 a	γ, X	Cu-66	5,12 min	γ	Mg-28	20,91 h	γ, X
Al-28	2,2414 min	γ, X	Cu-67	2,66 d	γ, X	Mn-52	5,595 d	γ, X
Am-241	432,6 a	α, γ, X	Dy-165	2,334 h	γ, X	Mn-52m	21,2 min	γ, X
Am-242	16,02 h	γ	Er-169	9,4 d	γ	Mn-54	312,13 d	γ, X
Am-243	7 370 a	α, γ, X	Eu-150	36,9 a	γ, X	Mn-56	2,57878 h	γ, X
Am-245	2,05 h	γ, X	Eu-152	13,522 a	γ, X	Mo-101	14,6 min	γ, X
Ar-37	35,04 d	X	Eu-152m	9,3116 h	γ, X	Mo-93	4 000 a	γ, X
Ar-41	1,827 h	γ, X	Eu-154	8,601 a	γ, X	Mo-93m	6,85 h	γ, X
As-76	1,0778 d	γ	Eu-155	4,753 a	γ, X	Mo-99*	2,7479 d	γ, X
At-211	7,214 h	α, γ, X	Eu-156	15,19 d	γ, X	N-13	9,967 min	γ
At-215	1E-04 s	α	F-18	1,8288 h	γ, X	N-16	7,13 s	γ
At-217	3,23E-02 s	α, γ, X	Fe-52	8,26 h	γ, X	Na-22	2,6027 a	γ, X
At-218	1,4 s	α	Fe-55	2,747 a	X	Na-24	14,9574 h	γ, X
At-219	56 s	α	Fe-59	44,495 d	γ, X	Na-24m	2,02E-02 s	γ
Au-195	186,1 d	γ, X	Fr-221	4,79 min	α, γ, X	Nb-92	3,5E+07 a	γ, X
Au-196	6,183 d	γ, X	Fr-223	22 min	γ, X	Nb-92m	10,15 d	γ, X
Au-197m	7,73 s	γ, X	Fr-227	2,47 min	γ, X	Nb-93m	16,12 a	γ, X
Au-198	2,6944 d	γ, X	Ga-66	9,49 h	γ, X	Nb-94	20 000 a	γ
Au-199	3,139 d	γ, X	Ga-67	3,2613 d	γ, X	Nb-95	34,991 d	γ, X
Ba-131	11,5 d	γ, X	Ga-68	1,1275 h	γ, X	Nb-95m	3,61 d	γ, X
Ba-133	10,54 a	γ, X	Ga-72	14,1 h	γ, X	Nb-96	23,35 h	γ, X
Ba-135m	1,196 d	γ, X	Gd-153	240,4 d	γ, X	Nb-97	1,202 h	γ
Ba-136m	0,3084 s	γ, X	Gd-159	18,479 h	γ, X	Nb-97m	58,7 s	γ
Ba-137m	2,552 min	γ, X	Ge-68	270,95 d	X	Nd-144	2,29E+15 a	α
Ba-139	1,384 h	γ, X	Ge-77	11,3 h	γ	Nd-147	10,98 d	γ, X
Ba-140	12,753 d	γ, X	Hf-175	70 d	γ, X	Ne-23	37,24 s	γ
Ba-141	18,27 min	γ, X	Hf-181	42,39 d	γ, X	Ni-56	6,079 d	γ, X
Be-7	53,22 d	γ	Hg-197	2,671 d	γ, X	Ni-57	35,9 h	γ, X
Bi-207	32,9 a	γ, X	Hg-197m	23,8 h	γ, X	Ni-65	2,5172 h	γ
Bi-210	5,012 d	α, γ	Hg-203	46,594 d	γ, X	Np-235	1,084 a	α, γ, X
Bi-211	2,14 min	α, γ, X	Hg-206	8,15 min	γ, X	Np-236	155 000 a	γ, X
Bi-212	60,54 min	α, γ, X	Ho-166	26,795 h	γ, X	Np-236m	22,5 h	γ, X
Bi-213	45,59 min	α, γ, X	Ho-166m	1 200 a	γ, X	Np-237	2,144E+06 a	α, γ, X
Bi-214	19,9 min	α, γ, X	I-123	13,2234 h	γ, X	Np-239	2,356 d	γ, X
Bi-215	7,6 min	γ	I-124	4,176 d	γ, X	Np-240	61,9 min	γ, X
Br-76	16,2 h	γ, X	I-125	59,407 d	γ, X	O-15	2,041 min	γ
Br-80	17,68 min	γ, X	I-126	12,93 d	γ, X	O-19	26,91 s	γ
Br-82	1,4708 d	γ, X	I-128	24,99 min	γ, X	Os-185	93,6 d	γ, X
Br-83	2,4 h	γ	I-129	1,61E+07 a	γ, X	Os-191	15,4 d	γ, X
Br-86	55,1 s	γ	I-131*	8,0233 d	γ, X	Os-193	1,2546 d	γ, X
Br-87	55,65 s	γ	I-132	2,295 h	γ, X	Pa-228	22 h	α, γ, X
C-11	20,37 min	γ	I-132m	1,387 h	γ, X	Pa-231	32 760 a	α, γ, X
Ca-45	163 d	γ	I-133	20,87 h	γ, X	Pa-232	1,31 d	γ, X
Ca-47	4,536 d	γ	I-134	52,5 min	γ, X	Pa-233	26,98 d	γ, X
Ca-49	8,718 min	γ	I-135	6,57 h	γ, X	Pa-234	6,7 h	γ, X
Cd-109	461,4 d	γ, X	I-137	24,5 s	γ	Pa-234m	1,17 min	γ, X
Cd-115m	44,56 d	γ, X	I-138	6,49 s	γ	Pb-200	21,5 h	γ, X
Ce-139	137,641 d	γ, X	In-111	2,8049 d	γ, X	Pb-201	9,33 h	γ, X
Ce-141	32,508 d	γ, X	In-113m	1,658 h	γ, X	Pb-203	51,929 h	γ, X
Ce-143	33,04 h	γ, X	In-114	71,9 s	γ, X	Pb-210	22,23 a	α, γ, X
Ce-144	285 d	γ, X	In-114m	49,51 d	γ, X	Pb-211	36,1 min	γ, X
Cf-252	2,647 a	α, γ, X	In-115m	4,486 h	γ, X	Pb-212	10,64 h	γ, X
Cl-36	301 000 a	γ, X	In-116m	54,29 min	γ, X	Pb-214	26,8 min	γ, X
Cl-38	37,24 min	γ	Ir-191m	4,94 s	γ, X	Pd-103	16,964 d	γ, X
Cm-240	27 d	α	Ir-192	73,827 d	γ, X	Pd-109	13,7 h	γ, X
Cm-242	162,86 d	α, γ, X	Ir-194	19,3 h	γ, X	Pm-146	5,53 a	γ, X
Cm-243	29,1 a	α, γ, X	K-40	1,265E+09 a	γ, X	Pm-147	2,6234 a	γ
Cm-244	18,11 a	α, γ, X	K-42	12,359 h	γ	Pm-151	1,183 d	γ, X
Cm-245	8 480 a	α, γ, X	K-43	22,2 h	γ	Po-210	138,3763 d	α, γ, X
Cm-246	4 723 a	α, γ, X	Kr-79	35,04 h	γ, X	Po-211	0,516 s	α, γ
Cm-248	348 000 a	α	Kr-81m	12,8 s	γ, X	Po-211m	25,2 s	α, γ
Co-56	77,236 d	γ, X	Kr-83m	1,83 h	γ, X	Po-212	3E-07 s	α
Co-57	271,8 d	γ, X	Kr-85	10,752 a	γ, X	Po-213	3,7E-06 s	α, γ
Co-58	70,83 d	γ, X	Kr-85m	4,48 h	γ, X	Po-214	1,623E-04 s	α, γ, X
Co-58m	8,9 h	γ, X	Kr-87	1,272 h	γ, X	Po-215	1,781E-03 s	α, γ
Co-60	5,271 a	γ, X	Kr-88	2,84 h	γ, X	Po-216	0,15 s	α, γ, X
Co-60m	10,47 min	γ, X	Kr-89	3,17 min	γ	Po-218	3,094 min	α, γ
Cr-51	27,703 d	γ, X	Kr-90	32,32 s	γ, X	Pr-143	13,57 d	γ
Cs-131	9,69 d	X	Kr-91	8,57 s	γ, X	Pr-144	17,29 min	γ

* : Radionucléide en équilibre avec son descendant
(Cf. liste en début de volume)

Liste des nucléides présents dans la bibliothèque (triés par ordre alphabétique)
(nucléide - période - types d'émission)

Pr-144m	7,2 min	γ,X	Tc-104	18,3 min	γ,X	Y-94	18,7 min	γ
Pr-147	13,4 min	γ,X	Tc-99	211 100 a	γ	Yb-169	32,018 d	γ,X
Pt-191	2,802 d	γ,X	Tc-99m	6,0067 h	γ,X	Yb-169m	46 s	γ,X
Pt-193m	4,33 d	γ,X	Te-121	19,16 d	γ,X	Yb-175	4,185 d	γ,X
Pt-195m	4,02 d	γ,X	Te-121m	154 d	γ,X	Zn-65	244,01 d	γ,X
Pt-197	19,8915 h	γ,X	Te-123m	119,3 d	γ,X	Zn-69	56,4 min	γ
Pt-197m	95,41 min	γ,X	Te-125m	57,4 d	γ,X	Zn-69m	13,76 h	γ,X
Pu-236	2,87 a	α,γ,X	Te-127	9,35 h	γ,X	Zr-88	83 d	γ,X
Pu-237	45,2 d	α,γ,X	Te-127m	107 d	γ,X	Zr-89	78,41 h	γ,X
Pu-238	87,74 a	α,γ,X	Te-129	1,16 h	γ,X	Zr-93	1,53E+06 a	γ,X
Pu-239	24 100 a	α,γ,X	Te-129m	33,6 d	γ,X	Zr-95*	64,032 d	γ,X
Pu-240	6 561 a	α,γ,X	Te-131	25 min	γ,X	Zr-97	16,9 h	γ,X
Pu-241	14,33 a	α,γ,X	Te-131m*	1,25 d	γ,X			
Pu-242	373 000 a	α,γ,X	Te-132	3,204 d	γ,X			
Pu-243	4,956 h	γ,X	Te-133	12,45 min	γ,X			
Pu-244	8E+07 a	α	Te-133m	55,4 min	γ,X			
Ra-223	11,43 d	α,γ,X	Te-134	41,8 min	γ,X			
Ra-224	3,627 d	α,γ,X	Th-227	18,718 d	α,γ,X			
Ra-225	14,9 d	γ,X	Th-228	1,9127 a	α,γ,X			
Ra-226	1 600 a	α,γ,X	Th-229	7 340 a	α,γ,X			
Ra-228	5,75 a	γ,X	Th-230	75 380 a	α,γ,X			
Rb-81*	4,25 h	γ,X	Th-231	1,0633 d	γ,X			
Rb-81m	30,25 min	γ,X	Th-232	1,405E+10 a	α,γ,X			
Rb-83	86,2 d	γ,X	Th-233	22,15 min	γ,X			
Rb-84	32,77 d	γ,X	Th-234	24,1 d	γ,X			
Rb-86	18,64 d	γ	Tl-44	60 a	γ,X			
Rb-88	17,8 min	γ	Tl-51	5,76 min	γ,X			
Rb-89	15,2 min	γ	Tl-200	1,088 d	γ,X			
Rb-90	2,7 min	γ	Tl-201	3,0421 d	γ,X			
Rb-90m	4,3 min	γ,X	Tl-202	12,23 d	γ,X			
Rb-91	58,4 s	γ,X	Tl-204	3,788 a	X			
Re-184	38 d	γ,X	Tl-206	4,202 min	γ,X			
Re-184m	169 d	γ,X	Tl-207	4,77 min	γ,X			
Re-186	3,7186 d	γ,X	Tl-208	3,06 min	γ,X			
Re-188	17,005 h	γ,X	Tl-209	2,2 min	γ,X			
Re-188m	18,6 min	γ,X	Tl-210	1,3 min	γ,X			
Rh-103m	56,115 min	γ,X	Tm-170	127,8 d	γ,X			
Rh-106	30 s	γ,X	U-232	70 a	α,γ,X			
Rn-217	5,4E-04 s	α	U-233	159 200 a	α,γ,X			
Rn-218	3,6E-02 s	α,γ,X	U-234	245 500 a	α,γ,X			
Rn-219	3,96 s	α,γ,X	U-235	7,04E+08 a	α,γ,X			
Rn-220	55,8 s	α,γ,X	U-237	6,749 d	γ,X			
Rn-222	3,8232 d	α,γ,X	U-238	4,468E+09 a	α,γ,X			
Ru-103*	39,255 d	γ,X	U-239	23,46 min	γ,X			
Ru-97	2,9 d	γ,X	U-240	14,1 h	γ,X			
S-37	5,05 min	γ	V-48	15,9735 d	γ,X			
Sb-122	2,7 d	γ,X	V-50	1,4E+17 a	γ,X			
Sb-124	60,2 d	γ,X	V-52	3,753 min	γ			
Sb-125*	2,75855 a	γ,X	W-178	21,6 d	X			
Sb-126	12,4 d	γ,X	W-181	121,2 d	γ,X			
Sb-126m	19,15 min	γ,X	W-183m	5,2 s	γ,X			
Sb-132	2,79 min	γ,X	W-185	75,1 d	γ,X			
Sb-132m	4,1 min	γ,X	W-185m	1,67 min	γ,X			
Sc-44	3,97 h	γ,X	W-187	23,72 h	γ,X			
Sc-46	83,788 d	γ,X	W-188	69,78 d	γ,X			
Sc-47	3,351 d	γ,X	Xe-123	2,08 h	γ,X			
Sc-48	1,82 d	γ,X	Xe-125	16,9 h	γ,X			
Se-75	119,79 d	γ,X	Xe-127	36,4 d	γ,X			
Si-31	2,623 h	γ	Xe-129m	8,88 d	γ,X			
Sm-151	90 a	γ,X	Xe-131m	11,93 d	γ,X			
Sm-153	1,92855 d	γ,X	Xe-132m	8,39E-03 s	γ,X			
Sm-155	22,3 min	γ,X	Xe-133	5,2474 d	γ,X			
Sn-113*	115,09 d	γ,X	Xe-133m	2,198 d	γ,X			
Sn-117m	13,6 d	γ,X	Xe-135	9,14 h	γ,X			
Sn-121m	55 a	γ,X	Xe-135m	15,3 min	γ,X			
Sn-125	9,64 d	γ,X	Xe-137	3,818 min	γ,X			
Sr-85	64,85 d	γ,X	Xe-138	14,08 min	γ,X			
Sr-89	50,57 d	γ,X	Xe-139	39,68 s	γ,X			
Sr-91*	9,63 h	γ,X	Xe-140	13,6 s	γ,X			
Sr-92	2,65 h	γ	Y-88	106,626 d	γ,X			
Sr-94	1,235 min	γ	Y-89m	16,06 s	γ,X			
Ta-178	9,29 min	γ,X	Y-90	2,6684 d	γ			
Ta-182	114,43 d	γ,X	Y-90m	3,19 h	γ,X			
Ta-182m	15,84 min	γ,X	Y-91	58,51 d	γ			
Tb-160	72,3 d	γ,X	Y-91m	49,71 min	γ,X			
Tb-161	6,906 d	γ,X	Y-92	3,54 h	γ,X			
Tc-101	14,2 min	γ,X	Y-93	10,1 h	γ,X			

* : Radionucléide en équilibre avec son descendant
(Cf. liste en début de volume)

LISTE DES NUCLÉIDES PRÉSENTS
TRIÉS PAR PÉRIODE RADIOACTIVE

*LIST OF NUCLIDES
SORTED BY RADIOACTIVE HALF-LIFE*

Liste des nucléides présents dans la bibliothèque (triés par période radioactive)
(nucléide - période - types d'émission)

Po-212	3E-07 s	α	Pr-147	13,4 min	γ,X	Co-58m	8,9 h	γ,X
Po-213	3,7E-06 s	α,γ	Xe-138	14,08 min	γ,X	Xe-135	9,14 h	γ,X
At-215	1E-04 s	α	Tc-101	14,2 min	γ,X	Eu-152m	9,3116 h	γ,X
Po-214	1,623E-04 s	α,γ,X	Mo-101	14,6 min	γ,X	Pb-201	9,33 h	γ,X
Rn-217	5,4E-04 s	α	Rb-89	15,2 min	γ	Te-127	9,35 h	γ,X
Po-215	1,781E-03 s	α,γ	Xe-135m	15,3 min	γ,X	Ga-66	9,49 h	γ,X
Xe-132m	8,39E-03 s	γ,X	Ta-182m	15,84 min	γ,X	Sr-91*	9,63 h	γ,X
Na-24m	2,02E-02 s	γ	Pr-144	17,29 min	γ	Y-93	10,1 h	γ,X
At-217	3,23E-02 s	α,γ,X	Br-80	17,68 min	γ,X	Pb-212	10,64 h	γ,X
Rn-218	3,6E-02 s	α,γ,X	Rb-88	17,8 min	γ	Ge-77	11,3 h	γ
Po-216	0,15 s	α,γ,X	Ba-141	18,27 min	γ,X	K-42	12,359 h	γ
Ba-136m	0,3084 s	γ,X	Tc-104	18,3 min	γ,X	Cu-64	12,701 h	γ,X
Po-211	0,516 s	α,γ	Re-188m	18,6 min	γ,X	I-123	13,2234 h	γ,X
At-218	1,4 s	α	Y-94	18,7 min	γ	Pd-109	13,7 h	γ,X
Cs-143	1,791 s	γ,X	Sb-126m	19,15 min	γ,X	Zn-69m	13,76 h	γ,X
Rn-219	3,96 s	α,γ,X	Bi-214	19,9 min	α,γ,X	Ga-72	14,1 h	γ,X
Ir-191m	4,94 s	γ,X	C-11	20,37 min	γ	U-240	14,1 h	γ,X
W-183m	5,2 s	γ,X	Mn-52m	21,2 min	γ,X	Na-24	14,9574 h	γ,X
I-138	6,49 s	γ	Fr-223	22 min	γ,X	Am-242	16,02 h	γ
N-16	7,13 s	γ	Th-233	22,15 min	γ,X	Br-76	16,2 h	γ,X
Au-197m	7,73 s	γ,X	Sm-155	22,3 min	γ,X	Xe-125	16,9 h	γ,X
Kr-91	8,57 s	γ,X	U-239	23,46 min	γ,X	Zr-97	16,9 h	γ,X
Kr-81m	12,8 s	γ,X	I-128	24,99 min	γ,X	Re-188	17,005 h	γ,X
Xe-140	13,6 s	γ,X	Te-131	25 min	γ,X	Gd-159	18,479 h	γ,X
Y-89m	16,06 s	γ,X	Pb-214	26,8 min	γ,X	Ir-194	19,3 h	γ,X
I-137	24,5 s	γ	Rb-81m	30,25 min	γ,X	Pt-197	19,8915 h	γ,X
Ag-110	24,56 s	γ,X	Cs-138	33,41 min	γ,X	I-133	20,87 h	γ,X
Po-211m	25,2 s	α,γ	Pb-211	36,1 min	γ,X	Mg-28	20,91 h	γ,X
O-19	26,91 s	γ	Cl-38	37,24 min	γ	Pb-200	21,5 h	γ,X
Rh-106	30 s	γ,X	Te-134	41,8 min	γ,X	Pa-228	22 h	α,γ,X
Kr-90	32,32 s	γ,X	Bi-213	45,59 min	α,γ,X	K-43	22,2 h	γ
Ne-23	37,24 s	γ	Y-91m	49,71 min	γ,X	Np-236m	22,5 h	γ,X
Xe-139	39,68 s	γ,X	I-134	52,5 min	γ,X	Nb-96	23,35 h	γ,X
Yb-169m	46 s	γ,X	In-116m	54,29 min	γ,X	W-187	23,72 h	γ,X
Br-86	55,1 s	γ	Te-133m	55,4 min	γ,X	Hg-197m	23,8 h	γ,X
Br-87	55,65 s	γ	Rh-103m	56,115 min	γ,X	Th-231	1,0633 d	γ,X
Rn-220	55,8 s	α,γ,X	Zn-69	56,4 min	γ	As-76	1,0778 d	γ
At-219	56 s	α	Bi-212	60,54 min	α,γ,X	Tl-200	1,088 d	γ,X
Rb-91	58,4 s	γ,X	Np-240	61,9 min	γ,X	Ho-166	26,795 h	γ,X
Nb-97m	58,7 s	γ	Ga-68	1,1275 h	γ,X	Pm-151	1,183 d	γ,X
Cs-140	1,062 min	γ,X	Te-129	1,16 h	γ,X	Ba-135m	1,196 d	γ,X
Pa-234m	1,17 min	γ,X	Nb-97	1,202 h	γ	Te-131m*	1,25 d	γ,X
In-114	71,9 s	γ,X	Kr-87	1,272 h	γ,X	Os-193	1,2546 d	γ,X
Sr-94	1,235 min	γ	Ba-139	1,384 h	γ,X	Pa-232	1,31 d	γ,X
Tl-210	1,3 min	γ,X	I-132m	1,387 h	γ,X	Ce-143	33,04 h	γ,X
W-185m	1,67 min	γ,X	Pt-197m	95,41 min	γ,X	Kr-79	35,04 h	γ,X
O-15	2,041 min	γ	In-113m	1,658 h	γ,X	Br-82	1,4708 d	γ,X
Bi-211	2,14 min	α,γ,X	Ar-41	1,827 h	γ,X	Ni-57	35,9 h	γ,X
Tl-209	2,2 min	γ,X	F-18	1,8288 h	γ,X	La-140	1,6785 d	γ,X
Al-28	2,2414 min	γ,X	Kr-83m	1,83 h	γ,X	Sc-48	1,82 d	γ,X
Ag-108	2,382 min	γ,X	Am-245	2,05 h	γ,X	Sm-153	1,92855 d	γ,X
Fr-227	2,47 min	γ,X	Xe-123	2,08 h	γ,X	Pb-203	51,929 h	γ,X
Ba-137m	2,552 min	γ,X	I-132	2,295 h	γ,X	Xe-133m	2,198 d	γ,X
Rb-90	2,7 min	γ	Dy-165	2,334 h	γ,X	Np-239	2,356 d	γ,X
Sb-132	2,79 min	γ,X	Br-83	2,4 h	γ	Cu-67	2,66 d	γ,X
Tl-208	3,06 min	γ,X	Ni-65	2,5172 h	γ	Y-90	2,6684 d	γ
Po-218	3,094 min	α,γ	Mn-56	2,57878 h	γ,X	Hg-197	2,671 d	γ,X
Kr-89	3,17 min	γ	Si-31	2,623 h	γ	Au-198	2,6944 d	γ,X
V-52	3,753 min	γ	Sr-92	2,65 h	γ	Sb-122	2,7 d	γ,X
Xe-137	3,818 min	γ,X	Kr-88	2,84 h	γ,X	Mo-99*	2,7479 d	γ,X
Sb-132m	4,1 min	γ,X	Cs-134m	2,913 h	γ,X	Pt-191	2,802 d	γ,X
Tl-206	4,202 min	γ,X	Y-90m	3,19 h	γ,X	In-111	2,8049 d	γ,X
Rb-90m	4,3 min	γ,X	Y-92	3,54 h	γ,X	Ru-97	2,9 d	γ,X
Tl-207	4,77 min	γ,X	Lu-176m	3,635 h	γ,X	Tl-201	3,0421 d	γ,X
Fr-221	4,79 min	α,γ,X	La-141	3,92 h	γ	Au-199	3,139 d	γ,X
S-37	5,05 min	γ	Sc-44	3,97 h	γ,X	Te-132	3,204 d	γ,X
Cu-66	5,12 min	γ	Rb-81*	4,25 h	γ,X	Ga-67	3,2613 d	γ,X
Ti-51	5,76 min	γ,X	Kr-85m	4,48 h	γ,X	Zr-89	78,41 h	γ,X
Pr-144m	7,2 min	γ,X	In-115m	4,486 h	γ,X	Sc-47	3,351 d	γ,X
Bi-215	7,6 min	γ	Pu-243	4,956 h	γ,X	Nb-95m	3,61 d	γ,X
Hg-206	8,15 min	γ,X	Tc-99m	6,0067 h	γ,X	Ra-224	3,627 d	α,γ,X
Ca-49	8,718 min	γ	Ac-228	6,15 h	γ,X	Re-186	3,7186 d	γ,X
Ta-178	9,29 min	γ,X	I-135	6,57 h	γ,X	Rn-222	3,8232 d	α,γ,X
Mg-27	9,458 min	γ,X	Pa-234	6,7 h	γ,X	Pt-195m	4,02 d	γ,X
N-13	9,967 min	γ	Mo-93m	6,85 h	γ,X	I-124	4,176 d	γ,X
Co-60m	10,47 min	γ,X	At-211	7,214 h	α,γ,X	Yb-175	4,185 d	γ,X
Te-133	12,45 min	γ,X	Fe-52	8,26 h	γ,X	Pt-193m	4,33 d	γ,X

* : Radionucléide en équilibre avec son descendant
(Cf. liste en début de volume)

Liste des nucléides présents dans la bibliothèque (triés par période radioactive)
(nucléide - période - types d'émission)

Ca-47	4,536	d	γ	Ta-182	114,43	d	γ,X	Np-237	2,144E+06	a	α,γ,X
Bi-210	5,012	d	α,γ	Sn-113*	115,09	d	γ,X	I-129	1,61E+07	a	γ,X
Xe-133	5,2474	d	γ,X	Te-123m	119,3	d	γ,X	Nb-92	3,5E+07	a	γ,X
Mn-52	5,595	d	γ,X	Se-75	119,79	d	γ,X	Pu-244	8E+07	a	α
Ni-56	6,079	d	γ,X	W-181	121,2	d	γ,X	U-235	7,04E+08	a	α,γ,X
Au-196	6,183	d	γ,X	Tm-170	127,8	d	γ,X	K-40	1,265E+09	a	γ,X
Lu-177	6,647	d	γ,X	Ce-139	137,641	d	γ,X	U-238	4,468E+09	a	α,γ,X
U-237	6,749	d	γ,X	Po-210	138,3763	d	α,γ,X	Th-232	1,405E+10	a	α,γ,X
Tb-161	6,906	d	γ,X	Te-121m	154	d	γ,X	Lu-176	3,79E+10	a	γ,X
Ag-111	7,45	d	γ,X	Lu-177m	160,4	d	γ,X	La-138	1,02E+11	a	γ,X
I-131*	8,0233	d	γ,X	Cm-242	162,86	d	α,γ,X	Nd-144	2,29E+15	a	α
Xe-129m	8,88	d	γ,X	Ca-45	163	d	γ	V-50	1,4E+17	a	γ,X
Er-169	9,4	d	γ	Re-184m	169	d	γ,X				
Sn-125	9,64	d	γ,X	Au-195	186,1	d	γ,X				
Cs-131	9,69	d	X	Gd-153	240,4	d	γ,X				
Ac-225	10	d	α,γ,X	Zn-65	244,01	d	γ,X				
Nb-92m	10,15	d	γ,X	Ag-110m	249,78	d	γ,X				
Nd-147	10,98	d	γ,X	Ge-68	270,95	d	X				
Ra-223	11,43	d	α,γ,X	Co-57	271,8	d	γ,X				
Ba-131	11,5	d	γ,X	Ce-144	285	d	γ,X				
Xe-131m	11,93	d	γ,X	Mn-54	312,13	d	γ,X				
Tl-202	12,23	d	γ,X	Np-235	1,084	a	α,γ,X				
Sb-126	12,4	d	γ,X	Cd-109	461,4	d	γ,X				
Ba-140	12,753	d	γ,X	Th-228	1,9127	a	α,γ,X				
I-126	12,93	d	γ,X	Cs-134	2,0651	a	γ,X				
Cs-136	13,16	d	γ,X	Na-22	2,6027	a	γ,X				
Pr-143	13,57	d	γ	Pm-147	2,6234	a	γ				
Sn-117m	13,6	d	γ,X	Cf-252	2,647	a	α,γ,X				
Ra-225	14,9	d	γ,X	Fe-55	2,747	a	X				
Eu-156	15,19	d	γ,X	Sb-125*	2,75855	a	γ,X				
Os-191	15,4	d	γ,X	Pu-236	2,87	a	α,γ,X				
V-48	15,9735	d	γ,X	Tl-204	3,788	a	X				
Pd-103	16,964	d	γ,X	Eu-155	4,753	a	γ,X				
Rb-86	18,64	d	γ	Co-60	5,271	a	γ,X				
Th-227	18,718	d	α,γ,X	Pm-146	5,53	a	γ,X				
Te-121	19,16	d	γ,X	Ra-228	5,75	a	γ,X				
W-178	21,6	d	X	Eu-154	8,601	a	γ,X				
Th-234	24,1	d	γ,X	Ba-133	10,54	a	γ,X				
Pa-233	26,98	d	γ,X	Kr-85	10,752	a	γ,X				
Cm-240	27	d	α	Eu-152	13,522	a	γ,X				
Cr-51	27,703	d	γ,X	Pu-241	14,33	a	α,γ,X				
Yb-169	32,018	d	γ,X	Nb-93m	16,12	a	γ,X				
Ce-141	32,508	d	γ,X	Cm-244	18,11	a	α,γ,X				
Rb-84	32,77	d	γ,X	Ac-227	21,772	a	α,γ,X				
Te-129m	33,6	d	γ,X	Pb-210	22,23	a	α,γ,X				
Nb-95	34,991	d	γ,X	Cm-243	29,1	a	α,γ,X				
Ar-37	35,04	d	X	Cs-137*	30,05	a	γ,X				
Xe-127	36,4	d	γ,X	Bi-207	32,9	a	γ,X				
Re-184	38	d	γ,X	Eu-150	36,9	a	γ,X				
Ru-103*	39,255	d	γ,X	Sn-121m	55	a	γ,X				
Hf-181	42,39	d	γ,X	Tl-44	60	a	γ,X				
Fe-59	44,495	d	γ,X	U-232	70	a	α,γ,X				
Cd-115m	44,56	d	γ,X	Pu-238	87,74	a	α,γ,X				
Pu-237	45,2	d	α,γ,X	Sm-151	90	a	γ,X				
Hg-203	46,594	d	γ,X	Am-241	432,6	a	α,γ,X				
In-114m	49,51	d	γ,X	Ag-108m	438	a	γ,X				
Sr-89	50,57	d	γ,X	Ho-166m	1 200	a	γ,X				
Be-7	53,22	d	γ	Ra-226	1 600	a	α,γ,X				
Te-125m	57,4	d	γ,X	Mo-93	4 000	a	γ,X				
Y-91	58,51	d	γ	Cm-246	4 723	a	α,γ,X				
I-125	59,407	d	γ,X	Pu-240	6 561	a	α,γ,X				
Sb-124	60,2	d	γ,X	Th-229	7 340	a	α,γ,X				
Zr-95*	64,032	d	γ,X	Am-243	7 370	a	α,γ,X				
Sr-85	64,85	d	γ,X	Cm-245	8 480	a	α,γ,X				
W-188	69,78	d	γ,X	Nb-94	20 000	a	γ				
Hf-175	70	d	γ,X	Pu-239	24 100	a	α,γ,X				
Co-58	70,83	d	γ,X	Pa-231	32 760	a	α,γ,X				
Tb-160	72,3	d	γ,X	Th-230	75 380	a	α,γ,X				
Ir-192	73,827	d	γ,X	Np-236	155 000	a	γ,X				
W-185	75,1	d	γ,X	U-233	159 200	a	α,γ,X				
Co-56	77,236	d	γ,X	Tc-99	211 100	a	γ				
Zr-88	83	d	γ,X	U-234	245 500	a	α,γ,X				
Sc-46	83,788	d	γ,X	Cl-36	301 000	a	γ,X				
Rb-83	86,2	d	γ,X	Cm-248	348 000	a	α				
Os-185	93,6	d	γ,X	Pu-242	373 000	a	α,γ,X				
Y-88	106,626	d	γ,X	Al-26	717 000	a	γ,X				
Te-127m	107	d	γ,X	Zr-93	1,53E+06	a	γ,X				

* : Radionucléide en équilibre avec son descendant
(Cf. liste en début de volume)

LISTE DES ÉMISSIONS X ET GAMMA
CLASSÉES PAR ORDRE D'ÉNERGIE CROISSANTE

*LIST OF X AND GAMMA EMISSIONS
SORTED BY INCREASING ENERGY*

Énergie (keV)	Intensité (%)	Type	Parent	Période
0,381	0,019 (4)	XL	Sc-44	3,97 (4) h
0,408	0,45 (9)	XL	Ti-44	60,0 (11) a
0,43	0,000 13 (30)	XL	Sc-46	83,788 (22) d
0,462	0,000 9 (3)	XL	Sc-47	3,351 (2) d
0,462	0,16 (6)	XL	V-48	15,9735 (25) d
0,462	0,26 (10)	XL	V-50	140 (40) E+15 a
0,515 5	0,56 (11)	XL	Cr-51	27,703 (3) d
0,53	0,017 (3)	XKα2	F-18	1,8288 (3) h
0,575	0,32 (5)	XL	Mn-52	5,595 (3) d
0,575	0,006 2	XL	Mn-52m	21,2 (4) min
0,575	0,525 (21)	XL	Mn-54	312,13 (3) d
0,635	0,20 (5)	XL	Fe-52	8,26 (2) h
0,638 5	0,524 (21)	XL	Fe-55	2,747 (8) a
0,7	1,55 (13)	XL	Co-57	271,80 (5) d
0,702 5	0,73 (7)	XL	Co-58	70,83 (10) d
0,703 5	0,581 (17)	XL	Co-56	77,236 (26) d
0,772	4,3 (7)	XL	Ni-56	6,079 (10) d
0,772	0,50 (8)	XL	Co-58m	8,9 (1) h
0,772	0,57 (9)	XL	Co-60m	10,47 (4) min
0,774	0,56 (4)	XL	Ni-57	35,9 (3) h
0,84	0,000 2	XL	Co-60	5,2710 (8) a
0,84	0,448 (9)	XL	Cu-64	12,701 (2) h
0,848	0,047 5 (26)	XKα2	Na-22	2,6027 (10) a
0,849	0,094 (5)	XKα1	Na-22	2,6027 (10) a
0,916 5	1,305 (21)	XL	Zn-65	244,01 (9) d
0,959 5	0,597 (19)	XL	Ga-66	9,49 (7) h
0,995 5	0,149 (6)	XL	Ga-68	1,1275 (10) h
0,995 5	0,032 (13)	XL	Zn-69m	13,76 (2) h
1,035	1,75 (4)	XL	Ga-67	3,2613 (5) d
1,127	1,52 (5)	XL	Ge-68	270,95 (16) d
1,224 5	0,003 70 (14)	XL	Ga-72	14,10 (2) h
1,253 6	0,160 (6)	XKα2	Al-26	717 (24) E+3 a
1,253 6	0,318 (11)	XKα1	Al-26	717 (24) E+3 a
1,254	0,000 011 9 (5)	XKα2	Na-24	14,9574 (20) h
1,254	0,000 023 6 (10)	XKα1	Na-24	14,9574 (20) h
1,322	2,07 (7)	XL	Se-75	119,79 (4) d
1,426	0,063 (4)	XL	Br-80	17,68 (2) min
1,429 1	0,92 (3)	XL	Br-76	16,2 (2) h
1,486 29	0,034 (6)	XKα2	Mg-27	9,458 (12) min
1,486 29	0,34 (23)	XKα2	Mg-28	20,91 (3) h
1,486 72	0,068 (11)	XKα1	Mg-27	9,458 (12) min
1,486 72	0,7 (5)	XKα1	Mg-28	20,91 (3) h
1,557 6	0,000 62 (10)	XKβ1	Mg-27	9,458 (12) min
1,565 (6)	0,000 81 (47)	γ	Tl-201	3,0421 (17) d
1,642 (2)	0,083 3	γ	Pt-193m	4,33 (3) d
1,645	0,065 (5)	XL	Kr-81m	12,8 (3) s
1,645	2,2 (3)	XL	Rb-81*	4,25 (25) h
1,645	0,037 (18)	XL	Rb-81m	30,25 (25) min
1,645	2,2 (9)	XL	Kr-83m	1,83 (2) h
1,645	1,5 (6)	XL	Rb-83	86,2 (1) d
1,645	1,0 (4)	XL	Rb-84	32,77 (14) d
1,645	0,10 (4)	XL	Kr-85m	4,480 (8) h
1,739 39	0,000 014 (14)	XKα2	Al-28	2,2414 (12) min
1,74	0,000 028 (3)	XKα1	Al-28	2,2414 (12) min
1,765	2	XL	Rb-81m	30,25 (25) min
1,765	2,30 (5)	XL	Sr-85	64,850 (7) d
1,765	0,003 3 (12)	XL	Kr-87	1,272 (8) h
1,765	0,23 (8)	XL	Kr-88	2,84 (3) h
1,765	0,068 (24)	XL	Kr-90	32,32 (9) s
1,765	0,038 (14)	XL	Rb-90m	4,30 (7) min
1,765	0,09 (4)	XL	Kr-91	8,57 (4) s
1,9	2,77 (8)	XL	Y-88	106,626 (21) d
1,9	0,001 4 (5)	XL	Rb-90m	4,30 (7) min
1,9	0,72 (24)	XL	Rb-91	58,4 (4) s
2,01	2,4 (2)	XL	Zr-88	83,0 (4) d
2,01	0,019 (7)	XL	Y-89m	16,06 (4) s
2,01	0,001 8 (6)	XL	Sr-91*	9,63 (5) h
2,01	0,11 (4)	XL	Y-91m	49,71 (4) min
2,017 35	1,8 (6)	XL	Zr-89	78,41 (12) h
2,017 35	0,343 (8)	XL	Y-90m	3,19 (6) h
2,15	0,000 3 (1)	XL	Y-92	3,54 (2) h
2,15	2,8 (10)	XL	Nb-92	35 (3) E+6 a
2,15	2,8 (10)	XL	Nb-92m	10,15 (2) d
2,15	0,005 2 (21)	XL	Y-93	10,1 (2) h
2,28	2,89 (13)	XL	Nb-93m	16,12 (15) a
2,28	5,6 (5)	XL	Mo-93	4 000 (800) a
2,28	0,003 7 (7)	XL	Mo-93m	6,85 (7) h
2,28	0,025 1 (11)	XL	Nb-95m	3,61 (3) d
2,28	0,061 (5)	XL	Zr-97	16,90 (5) h
2,284 3	2,72 (12)	XL	Zr-93	1,53 (10) E+6 a

* : Radionucléide en équilibre avec son descendant
(Cf. liste en début de volume)

Énergie (keV)	Intensité (%)	Type	Parent	Période
2,306 6	0,044 (3)	XK α 2	Cl-36	301 (3) E+3 a
2,307 8	0,086 (5)	XK α 1	Cl-36	301 (3) E+3 a
2,42	1,53 (9)	XL	Mo-93m	6,85 (7) h
2,42	0,005 5 (9)	XL	Nb-95	34,991 (6) d
2,42	0,010 2 (7)	XL	Nb-96	23,35 (5) h
2,457	0,008 0 (7)	XK β 1	Cl-36	301 (3) E+3 a
2,480 5	0,697 (17)	XL	Mo-99*	2,7479 (6) d
2,565	6,9 (24)	XL	Ru-97	2,9 (1) d
2,565	6,47 (24)	XL	Mo-101	14,6 (1) min
2,568	0,482 (12)	XL	Tc-99m	6,0067 (10) h
2,620 8	2,76 (7)	XK α 2	Ar-37	35,04 (3) d
2,622 41	5,46 (14)	XK α 1	Ar-37	35,04 (3) d
2,717	0,101 (7)	XL	Tc-101	14,2 (1) min
2,717	0,072 (5)	XL	Tc-104	18,3 (3) min
2,815 6	0,71 (4)	XK β 1	Ar-37	35,04 (3) d
2,865	3,8 (5)	XL	Ru-103*	39,255 (8) d
2,865	4,0 (2)	XL	Rh-103m	56,115 (6) min
2,865	8,73 (23)	XL	Pd-103	16,964 (10) d
2,955 66	0,302 (10)	XK α 2	K-40	1,265 (13) E+9 a
2,955 7	0,006 2 (10)	XK α 2	Cl-36	301 (3) E+3 a
2,957 7	0,012 3 (19)	XK α 1	Cl-36	301 (3) E+3 a
2,957 74	0,598 (19)	XK α 1	K-40	1,265 (13) E+9 a
3,025	0,013 (2)	XL	Rh-106	30,0 (2) s
3,19	10,34 (26)	XL	Cd-109	461,4 (12) d
3,190 5	0,002 0 (3)	XK β 1	Cl-36	301 (3) E+3 a
3,190 5	0,097 (3)	XK β 1	K-40	1,265 (13) E+9 a
3,192	5,3 (5)	XL	Pd-109	13,7 (1) h
3,311 1	0,000 28 (3)	XK α 2	Ar-41	1,827 (1) h
3,313 8	0,000 57 (6)	XK α 1	Ar-41	1,827 (1) h
3,358 5	0,013 2 (22)	XL	Ag-111	7,45 (1) d
3,358 5	0,031 (12)	XL	In-114	71,9 (4) s
3,358 5	0,19 (13)	XL	In-114m	49,51 (1) d
3,36	6,78 (14)	XL	In-111	2,8049 (4) d
3,53	8,48 (19)	XL	Sn-113*	115,09 (3) d
3,531	3,09 (8)	XL	In-115m	4,486 (4) h
3,565	2,2 (1)	XL	In-113m	1,658 (5) h
3,565	5,10 (22)	XL	In-114m	49,51 (1) d
3,565	0,001 34 (20)	XL	Cd-115m	44,56 (24) d
3,688 13	0,255 (7)	XK α 2	Sc-44	3,97 (4) h
3,691 72	0,504 (13)	XK α 1	Sc-44	3,97 (4) h
3,75	7,9 (4)	XL	Sn-117m	13,60 (4) d
3,75	3,9 (7)	XL	Sn-121m	55 (5) a
3,75	0,17 (6)	XL	Sb-122	2,70 (1) d
3,894	1,58 (16)	XL	Sn-121m	55 (5) a
3,894	7,9 (4)	XL	Te-121	19,16 (5) d
3,894	1,68 (16)	XL	Te-121m	154 (7) d
3,894	0,005 0 (8)	XL	Sn-125	9,64 (3) d
3,894	1,0 (3)	XL	Sb-126m	19,15 (8) min
4,022 7	0,098 (3)	XK β 1	Sc-44	3,97 (4) h
4,078	8,25 (21)	XL	Te-123m	119,3 (1) d
4,078	9,0 (4)	XL	I-123	13,2234 (37) h
4,078 8	5,34 (17)	XL	I-124	4,1760 (3) d
4,078 8	6,56 (21)	XL	Sb-125*	2,75855 (25) a
4,086 2	5,76 (18)	XK α 2	Ti-44	60,0 (11) a
4,090 6	11,4 (4)	XK α 1	Ti-44	60,0 (11) a
4,132 5	6,9 (3)	XL	Te-121m	154 (7) d
4,132 5	0,024 (4)	XL	Sb-122	2,70 (1) d
4,132 5	0,037 (8)	XL	Sb-124	60,20 (3) d
4,132 5	14,67 (30)	XL	I-125	59,407 (9) d
4,132 5	0,12 (2)	XL	Sb-126	12,4 (1) d
4,132 5	0,123 (7)	XL	Sb-126m	19,15 (8) min
4,132 5	3,8 (4)	XL	I-126	12,93 (5) d
4,132 5	6,0 (7)	XL	Te-127m	107 (4) d
4,132 5	0,46 (6)	XL	I-128	24,99 (2) min
4,132 5	4,9 (10)	XL	Te-129m	33,6 (1) d
4,132 5	1,5 (5)	XL	Te-131m*	1,25 (8) d
4,132 5	1,70 (16)	XL	Sb-132	2,79 (5) min
4,132 5	4,6 (5)	XL	Sb-132m	4,10 (7) min
4,132 5	0,82 (13)	XL	Te-133m	55,4 (4) min
4,135	10,15 (29)	XL	Te-125m	57,40 (15) d
4,33	8,4 (5)	XL	Xe-123	2,08 (2) h
4,33	11,9 (6)	XL	Xe-125	16,9 (2) h
4,33	0,01	XL	Te-127	9,35 (10) h
4,33	0,161 (25)	XL	Te-127m	107 (4) d
4,33	11 (4)	XL	Xe-127	36,4 (1) d
4,33	6,2 (9)	XL	Te-129	1,160 (5) h
4,33	0,011 (6)	XL	Te-129m	33,6 (1) d
4,33	1,5 (3)	XL	Te-131	25,0 (1) min
4,33	1,5 (5)	XL	Te-131m*	1,25 (8) d
4,33	8,2 (7)	XL	Te-132	3,204 (13) d

* : Radionucléide en équilibre avec son descendant
(Cf. liste en début de volume)

Énergie (keV)	Intensité (%)	Type	Parent	Période
4,33	6,5 (3)	XL	I-132m	1,387 (15) h
4,33	0,26 (3)	XL	Te-133	12,45 (30) min
4,33	1,19 (10)	XL	Te-133m	55,4 (4) min
4,33	3,5 (6)	XL	Te-134	41,8 (8) min
4,466 9	7,32 (13)	XL	Cs-131	9,69 (1) d
4,466 9	0,072 4 (14)	XL	I-133	20,87 (8) h
4,466 9	1,637 (30)	XL	Xe-135m	15,30 (3) min
4,467	7,6 (4)	XL	Xe-133m	2,198 (13) d
4,47	0,635 (13)	XL	I-131*	8,0233 (19) d
4,47	8,13 (21)	XL	Xe-131m	11,930 (16) d
4,473 5	2,26 (8)	XKβ1	Ti-44	60,0 (11) a
4,5	7,9 (4)	XL	I-129	16,1 (7) E+6 a
4,504 9	0,001 57 (5)	XKα2	Sc-46	83,788 (22) d
4,504 9	0,018 (1)	XKα2	Sc-47	3,351 (2) d
4,504 9	4,8 (7)	XKα2	V-50	140 (40) E+15 a
4,504 91	0,001 99 (7)	XKα2	Sc-48	1,820 (4) d
4,504 91	2,91 (4)	XKα2	V-48	15,9735 (25) d
4,510 9	0,003 1 (1)	XKα1	Sc-46	83,788 (22) d
4,510 9	0,035 (3)	XKα1	Sc-47	3,351 (2) d
4,510 9	0,003 94 (13)	XKα1	Sc-48	1,820 (4) d
4,510 9	5,77 (7)	XKα1	V-48	15,9735 (25) d
4,510 9	9,5 (13)	XKα1	V-50	140 (40) E+15 a
4,58	0,056 (18)	XL	I-126	12,93 (5) d
4,58	0,019 (4)	XL	I-128	24,99 (2) min
4,58	16 (5)	XL	Xe-129m	8,88 (2) d
4,58	0,12 (4)	XL	I-132	2,295 (13) h
4,58	0,21	XL	I-132m	1,387 (15) h
4,58	2,5 (8)	XL	Xe-132m	8,39 (11) E-3 s
4,58	0,24 (8)	XL	I-134	52,5 (2) min
4,58	0,053 (16)	XL	I-135	6,57 (2) h
4,674	13 (4)	XL	Ba-131	11,50 (6) d
4,674	5,79 (11)	XL	Xe-133	5,2474 (5) d
4,674	16 (5)	XL	Cs-134m	2,913 (2) h
4,674	0,66 (19)	XL	Xe-135	9,14 (2) h
4,674	0,042 (13)	XL	Xe-137	3,818 (13) min
4,674	5,9 (17)	XL	Xe-138	14,08 (8) min
4,674	1,1 (3)	XL	Xe-139	39,68 (14) s
4,674	6,2 (18)	XL	Xe-140	13,6 (1) s
4,75	16,0 (8)	XL	Ba-133	10,540 (6) a
4,821 (3)	0,061 (16)	γ	Pm-151	1,183 (2) d
4,85 (5)	0,19 (3)	γ	Xe-138	14,08 (8) min
4,881 5	0,09 (1)	XL	Cs-134	2,0651 (6) a
4,881 5	8,7 (22)	XL	Ba-135m	1,196 (8) d
4,881 5	1,9 (5)	XL	Cs-136	13,16 (3) d
4,881 5	7,0 (18)	XL	Ba-136m	308,4 (19) E-3 s
4,881 5	0,90 (5)	XL	Cs-137*	30,05 (8) a
4,881 5	0,95 (5)	XL	Ba-137m	2,552 (1) min
4,881 5	0,19 (6)	XL	Cs-138	33,41 (18) min
4,881 5	6,7 (17)	XL	La-138	102 (1) E+9 a
4,881 5	0,040 (11)	XL	Cs-140	1,062 (5) min
4,881 5	3,5 (11)	XL	Cs-143	1,791 (7) s
4,944 7	0,011 7 (5)	XKα2	Ti-51	5,76 (1) min
4,944 7	6,79 (14)	XKα2	Cr-51	27,703 (3) d
4,947 1	0,007 3 (5)	XKβ1	Sc-47	3,351 (2) d
4,947 1	1,18 (2)	XKβ1	V-48	15,9735 (25) d
4,947 1	1,9 (3)	XKβ1	V-50	140 (40) E+15 a
4,952 24	0,023 2 (10)	XKα1	Ti-51	5,76 (1) min
4,952 24	13,36 (27)	XKα1	Cr-51	27,703 (3) d
5,094 5	12,19 (18)	XL	Ce-139	137,641 (20) d
5,18	0,220 (5)	γ	Np-237	2,144 (7) E+6 a
5,185 5	0,67 (18)	XL	Ba-139	1,384 (5) h
5,185 5	1,1 (3)	XL	Ba-141	18,27 (7) min
5,405 57	5,3 (3)	XKα2	Mn-52	5,595 (3) d
5,405 57	0,124 (4)	XKα2	Mn-52m	21,2 (4) min
5,405 57	7,66 (13)	XKα2	Mn-54	312,13 (3) d
5,414 79	10,5 (6)	XKα1	Mn-52	5,595 (3) d
5,414 79	0,246 (8)	XKα1	Mn-52m	21,2 (4) min
5,414 79	15,0 (3)	XKα1	Mn-54	312,13 (3) d
5,439 2	2,69 (7)	XKβ1	Cr-51	27,703 (3) d
5,63	2,43 (10)	XL	Ce-141	32,508 (10) d
5,63	9,6 (15)	XL	Ce-143	33,040 (7) h
5,63	1,9 (4)	XL	Ce-144	285,0 (2) d
5,63	11,1 (17)	XL	Pr-144m	7,2 (3) min
5,767	8,6 (15)	XL	Pm-146	5,53 (5) a
5,767	15,8 (23)	XL	Pr-147	13,4 (4) min
5,869 (26)	0,5	γ	Tl-201	3,0421 (17) d
5,887 65	0,005 6 (3)	XKα2	Mn-52m	21,2 (4) min
5,887 65	3,7 (2)	XKα2	Fe-52	8,26 (2) h
5,887 65	8,45 (14)	XKα2	Fe-55	2,747 (8) a
5,898 75	0,011 1 (5)	XKα1	Mn-52m	21,2 (4) min

* : Radionucléide en équilibre avec son descendant
(Cf. liste en début de volume)

Énergie (keV)	Intensité (%)	Type	Parent	Période
5,898 75	7,3 (7)	XK α 1	Fe-52	8,26 (2) h
5,898 75	16,57 (27)	XK α 1	Fe-55	2,747 (8) a
5,966 9	2,1 (1)	XK β 1	Mn-52	5,595 (3) d
5,966 9	0,049 2 (19)	XK β 1	Mn-52m	21,2 (4) min
5,966 9	3,05 (6)	XK β 1	Mn-54	312,13 (3) d
6,145	8 (1)	XL	Nd-147	10,98 (1) d
6,24	0,004 4 (20)	XL	Eu-154	8,601 (4) a
6,24 (2)	1,03 (3)	γ	W-181	121,2 (2) d
6,28 (3)	0,000 001	γ	Ra-228	5,75 (3) a
6,3 (3)	0,011 5 (4)	γ	Hf-181	42,39 (6) d
6,35	0,023 (3)	XL	Pm-146	5,53 (5) a
6,35	15,3 (20)	XL	Eu-150	36,9 (9) a
6,35	5,7 (8)	XL	Pm-151	1,183 (2) d
6,35	4,0 (7)	XL	Eu-152m	9,3116 (13) h
6,390 91	0,002 95 (4)	XK α 2	Mn-56	2,57878 (46) h
6,390 91	7,53 (10)	XK α 2	Co-56	77,236 (26) d
6,390 91	16,8 (3)	XK α 2	Co-57	271,80 (5) d
6,390 91	7,9 (2)	XK α 2	Co-58	70,83 (10) d
6,395	13,0 (4)	XL	Eu-152	13,522 (16) a
6,403 91	0,005 78 (7)	XK α 1	Mn-56	2,57878 (46) h
6,403 91	14,75 (17)	XK α 1	Co-56	77,236 (26) d
6,403 91	33,2 (5)	XK α 1	Co-57	271,80 (5) d
6,403 91	15,6 (2)	XK α 1	Co-58	70,83 (10) d
6,483	10,88 (21)	XL	Sm-153	1,92855 (5) d
6,483 05	22,5 (11)	XL	Gd-153	240,4 (10) d
6,5 (3)	0,09 (3)	γ	Th-227	18,718 (5) d
6,512 8	0,002 4 (10)	XK β 1	Mn-52m	21,2 (4) min
6,512 8	1,5 (2)	XK β 1	Fe-52	8,26 (2) h
6,512 8	3,40 (7)	XK β 1	Fe-55	2,747 (8) a
6,603 5	0,16 (3)	XL	Sm-151	90 (6) a
6,603 5	3,6 (5)	XL	Sm-155	22,3 (2) min
6,65 (5)	0,016	γ	Th-233	22,15 (15) min
6,67 (2)	0,000 03	γ	Ra-228	5,75 (3) a
6,732 55	0,177 (5)	XL	Eu-152	13,522 (16) a
6,732 55	7,1 (3)	XL	Eu-154	8,601 (4) a
6,732 55	7,5 (5)	XL	Eu-155	4,753 (14) a
6,856	0,023 (4)	XL	Eu-152m	9,3116 (13) h
6,856	5,1 (8)	XL	Eu-156	15,19 (8) d
6,915 38	10,07 (6)	XK α 2	Ni-56	6,079 (10) d
6,915 38	5,84 (12)	XK α 2	Ni-57	35,9 (3) h
6,915 38	7,7 (8)	XK α 2	Co-58m	8,9 (1) h
6,915 38	9,2 (20)	XK α 2	Co-60m	10,47 (4) min
6,915 4	0,005 96 (13)	XK α 2	Fe-59	44,495 (8) d
6,930 4	19,85 (11)	XK α 1	Ni-56	6,079 (10) d
6,930 4	11,42 (23)	XK α 1	Ni-57	35,9 (3) h
6,930 4	15,2 (16)	XK α 1	Co-58m	8,9 (1) h
6,930 4	0,011 70 (28)	XK α 1	Fe-59	44,495 (8) d
6,930 4	18,1 (19)	XK α 1	Co-60m	10,47 (4) min
7,083 2	0,001 19 (2)	XK β 1	Mn-56	2,57878 (46) h
7,083 2	3,05 (5)	XK β 1	Co-56	77,236 (26) d
7,083 2	7,1 (2)	XK β 1	Co-57	271,80 (5) d
7,083 2	3,2 (1)	XK β 1	Co-58	70,83 (10) d
7,1 (3)	0,003 4 (6)	γ	W-187	23,72 (6) h
7,242 45	10,22 (20)	XL	Tb-160	72,3 (2) d
7,242 45	22,0 (5)	XL	Tb-161	6,906 (19) d
7,460 93	4,79 (8)	XK α 2	Cu-64	12,701 (2) h
7,460 97	0,003 34 (12)	XK α 2	Co-60	5,2710 (8) a
7,478 19	9,36 (15)	XK α 1	Cu-64	12,701 (2) h
7,478 24	0,006 5 (3)	XK α 1	Co-60	5,2710 (8) a
7,515 5	2,2 (3)	XL	Dy-165	2,334 (6) h
7,649 5	0,002 43 (7)	XK β 1	Fe-59	44,495 (8) d
7,677 7	4,20 (5)	XK β 1	Ni-56	6,079 (10) d
7,677 7	2,37 (6)	XK β 1	Ni-57	35,9 (3) h
7,677 7	3,1 (3)	XK β 1	Co-58m	8,9 (1) h
7,677 7	3,7 (4)	XK β 1	Co-60m	10,47 (4) min
7,785	7,91 (18)	XL	Ho-166	26,795 (29) h
7,785	20,8 (4)	XL	Ho-166m	1 200 (180) a
7,79	0,030 6 (19)	XL	Tm-170	127,8 (6) d
7,861 (2)	0,012 2 (12)	γ	Np-239	2,356 (3) d
8,027 92	11,76 (13)	XK α 2	Zn-65	244,01 (9) d
8,047 87	22,91 (22)	XK α 1	Zn-65	244,01 (9) d
8,06	49,4 (8)	XL	Yb-169	32,018 (5) d
8,15 (20)	0,008 (3)	γ	Th-227	18,718 (5) d
8,22 (5)	0,12 (5)	γ	Np-237	2,144 (7) E+6 a
8,296 7	0,001 36 (5)	XK β 1	Co-60	5,2710 (8) a
8,296 7	1,95 (4)	XK β 1	Cu-64	12,701 (2) h
8,344	17,7 (23)	XL	Yb-169m	46 (2) s
8,345	3,22 (13)	XL	Tm-170	127,8 (6) d
8,401 (8)	0,2 (1)	γ	Er-169	9,40 (2) d
8,410 16 (15)	0,347 (17)	γ	Yb-169	32,018 (5) d

* : Radionucléide en équilibre avec son descendant
(Cf. liste en début de volume)

Énergie (keV)	Intensité (%)	Type	Parent	Période
8,615 87	5,8 (3)	XKα2	Ga-66	9,49 (7) h
8,615 87	1,93 (4)	XKα2	Cu-67	2,660 (5) d
8,615 87	17,0 (6)	XKα2	Ga-67	3,2613 (5) d
8,615 87	1,389 (7)	XKα2	Ga-68	1,1275 (10) h
8,615 87	0,645 (20)	XKα2	Zn-69m	13,76 (2) h
8,632	1,06 (17)	XL	Yb-175	4,185 (1) d
8,632	26 (4)	XL	Hf-175	70 (2) d
8,632	8,9 (11)	XL	Lu-177m	160,4 (3) d
8,638 96	11,3 (6)	XKα1	Ga-66	9,49 (7) h
8,638 96	3,75 (8)	XKα1	Cu-67	2,660 (5) d
8,638 96	33,0 (8)	XKα1	Ga-67	3,2613 (5) d
8,638 96	2,701 (24)	XKα1	Ga-68	1,1275 (10) h
8,638 96	1,26 (4)	XKα1	Zn-69m	13,76 (2) h
8,925	3,18 (6)	XL	Lu-177	6,647 (4) d
8,941 2	4,82 (7)	XKβ1	Zn-65	244,01 (9) d
9,11	22 (4)	XL	Lu-176	37,90 (30) E+9 a
9,11	10 (2)	XL	Lu-176m	3,635 (12) h
9,11	39 (5)	XL	Lu-177m	160,4 (3) d
9,11	24 (6)	XL	Ta-178	9,29 (4) min
9,2	0,033 0 (15)	γ	Th-231	1,0633 (4) d
9,224 95	13,24 (11)	XKα2	Ge-68	270,95 (16) d
9,251 85	25,74 (22)	XKα1	Ge-68	270,95 (16) d
9,396 (7)	4,9 (5)	γ	Kr-83m	1,83 (2) h
9,4	0,07 (7)	γ	Xe-140	13,6 (1) s
9,532 1	25 (3)	XL	Ta-182	114,43 (3) d
9,532 1	2,00 (4)	XL	Re-186	3,7186 (17) d
9,611	2,42 (12)	XKβ1	Ga-66	9,49 (7) h
9,611	0,804 (18)	XKβ1	Cu-67	2,660 (5) d
9,611	0,579 (10)	XKβ1	Ga-68	1,1275 (10) h
9,611	0,269 (9)	XKβ1	Zn-69m	13,76 (2) h
9,611 4	7,09 (20)	XKβ1	Ga-67	3,2613 (5) d
9,658 1	0,01	XKβ2	Ga-67	3,2613 (5) d
9,735	22 (3)	XL	W-178	21,6 (3) d
9,735	15,3 (17)	XL	Hf-181	42,39 (6) d
9,735	22 (3)	XL	W-181	121,2 (2) d
9,735	41 (5)	XL	Ta-182m	15,84 (10) min
9,843	16,3 (17)	XL	Re-184m	169 (8) d
9,843	0,013 3 (15)	XL	W-185	75,1 (3) d
9,843	25 (3)	XL	Os-185	93,6 (5) d
9,843	8,3 (9)	XL	W-187	23,72 (6) h
9,843	0,151 (23)	XL	W-188	69,78 (5) d
9,843	39 (5)	XL	Re-188m	18,6 (1) min
9,855 43	0,007 8 (6)	XKα2	Ga-72	14,10 (2) h
9,886 53	0,015 2 (10)	XKα1	Ga-72	14,10 (2) h
10 (1)	0,013 7 (14)	γ	Ra-223	11,43 (5) d
10,010 9	72 (8)	XL	W-183m	5,2 (3) s
10,010 9	35 (4)	XL	Re-184	38,0 (5) d
10,010 9	17,3 (19)	XL	Re-184m	169 (8) d
10,010 9	46 (6)	XL	W-185m	1,67 (3) min
10,160 85	2,99 (7)	XL	Re-186	3,7186 (17) d
10,25	0,050 2 (23)	γ	Th-231	1,0633 (4) d
10,291	5,68 (5)	XKβ1	Ge-68	270,95 (16) d
10,37	3,00 (15)	XL	Re-188	17,005 (4) h
10,371	1,525 (25)	XL	Ir-192	73,827 (13) d
10,418 3 (13)	0,003 5 (4)	γ	Eu-155	4,753 (14) a
10,483	43 (5)	XL	Os-191	15,4 (1) d
10,483	43 (5)	XL	Ir-191m	4,94 (3) s
10,483	52 (6)	XL	Pt-191	2,802 (25) d
10,483	9,8 (26)	XL	Os-193	1,2546 (4) d
10,508	16,61 (21)	XKα2	Se-75	119,79 (4) d
10,543 7	32,2 (4)	XKα1	Se-75	119,79 (4) d
10,6 (2)	9,3 (17)	γ	Ac-225	10,0 (1) d
10,813 5	27 (4)	XL	Au-196	6,183 (10) d
10,814 5	0,36 (6)	XL	Ir-194	19,3 (1) h
10,815	22,9 (5)	XL	Pt-193m	4,33 (3) d
10,85 (5)	0,70 (5)	γ	Xe-138	14,08 (8) min
11,1 (1)	8 (3)	γ	Th-229	7 340 (160) a
11,181 5	7,1 (3)	XKα2	Br-76	16,2 (2) h
11,181 5	0,94 (4)	XKα2	Br-80	17,68 (2) min
11,222 5	13,7 (5)	XKα1	Br-76	16,2 (2) h
11,222 5	1,82 (7)	XKα1	Br-80	17,68 (2) min
11,28 (2)	0,94 (9)	γ	Cs-134m	2,913 (2) h
11,422	21 (4)	XL	Pt-197	19,8915 (19) h
11,422	1,13 (17)	XL	Pt-197m	95,41 (18) min
11,422	32 (3)	XL	Au-197m	7,73 (6) s
11,422	51 (8)	XL	Hg-197	2,671 (8) d
11,492	0,081 (12)	XL	Au-196	6,183 (10) d
11,597 5	1,21 (2)	XL	Au-198	2,6944 (8) d
11,6	3,96 (6)	XL	Ir-192	73,827 (13) d
11,6	73 (9)	XL	Pt-195m	4,02 (1) d

* : Radionucléide en équilibre avec son descendant
(Cf. liste en début de volume)

Énergie (keV)	Intensité (%)	Type	Parent	Période
11,6	57 (7)	XL	Au-195	186,10 (5) d
11,6	48 (6)	XL	Pt-197m	95,41 (18) min
11,756	7,7 (2)	XKβ1	Se-75	119,79 (4) d
11,784	46 (8)	XL	Hg-197m	23,8 (2) h
11,784	7,4 (9)	XL	Au-199	3,139 (7) d
11,784	32 (4)	XL	Tl-200	1,088 (5) d
11,784	31 (4)	XL	Tl-202	12,23 (2) d
11,784	0,787 (20)	XL	Tl-204	3,788 (15) a
11,785	42,7 (18)	XL	Tl-201	3,0421 (17) d
11,844 65	33,2 (6)	XL	Pb-203	51,929 (10) h
11,845 5	5,43 (9)	XL	Hg-203	46,594 (12) d
11,845 5	6,73 (22)	XL	Bi-212	60,54 (6) min
11,877 8	15,0 (4)	XKα2	Kr-79	35,04 (10) h
11,924 4	29,1 (6)	XKα1	Kr-79	35,04 (10) h
12,14	45	XL	Pb-200	21,5 (4) h
12,14	34,6 (21)	XL	Pb-201	9,33 (3) h
12,14	4 (1)	XL	Hg-206	8,15 (10) min
12,14	1,05 (12)	XL	Bi-211	2,14 (2) min
12,14	0,004 1 (7)	XL	Bi-213	45,59 (6) min
12,2	2,89 (6)	XL	Tl-208	3,060 (8) min
12,2	0,000 006 0 (6)	XL	Po-216	150 (5) E-3 s
12,201 45	22,3 (26)	XL	Tl-210	1,30 (3) min
12,201 45	0,000 003 84 (10)	XL	Po-210	138,3763 (17) d
12,203 5	0,035 (4)	XL	Tl-206	4,202 (11) min
12,205	0,000 034 7 (13)	XL	Po-214	162,3 (12) E-6 s
12,4 (3)	0,000 004 4 (20)	γ	Ca-45	163 (1) d
12,51	0,002 26 (24)	XL	Tl-207	4,77 (2) min
12,51	33,2 (14)	XL	Bi-207	32,9 (14) a
12,51	9,4 (10)	XL	Tl-209	2,20 (1) min
12,527 2	3,19 (12)	XKβ1	Br-76	16,2 (2) h
12,527 2	0,424 (17)	XKβ1	Br-80	17,68 (2) min
12,564 5	14,5 (4)	XL	Pb-212	10,64 (1) h
12,564 55	22,0 (5)	XL	Pb-210	22,23 (12) a
12,599	4,9 (3)	XKα2	Kr-81m	12,8 (3) s
12,599	16,0 (16)	XKα2	Rb-81*	4,25 (25) h
12,599	0,42 (13)	XKα2	Rb-81m	30,25 (25) min
12,599	0,105 (3)	XKα2	Br-82	1,4708 (13) d
12,599	5,1 (5)	XKα2	Kr-83m	1,83 (2) h
12,599	16,6 (16)	XKα2	Rb-83	86,2 (1) d
12,599	11,4 (3)	XKα2	Rb-84	32,77 (14) d
12,599	1,16 (5)	XKα2	Kr-85m	4,480 (8) h
12,634 (8)	0,658 (26)	γ	Pt-193m	4,33 (3) d
12,65	9,6 (7)	XKα1	Kr-81m	12,8 (3) s
12,65	31 (3)	XKα1	Rb-81*	4,25 (25) h
12,65	0,80 (24)	XKα1	Rb-81m	30,25 (25) min
12,65	0,204 (8)	XKα1	Br-82	1,4708 (13) d
12,65	9,9 (9)	XKα1	Kr-83m	1,83 (2) h
12,65	32 (4)	XKα1	Rb-83	86,2 (1) d
12,65	22,1 (5)	XKα1	Rb-84	32,77 (14) d
12,65	2,25 (10)	XKα1	Kr-85m	4,480 (8) h
12,652 3	0,180 (7)	XKβ2	Br-76	16,2 (2) h
12,652 3	0,024 (1)	XKβ2	Br-80	17,68 (2) min
12,75 (5)	0,30 (6)	γ	Ra-228	5,75 (3) a
12,89	0,54 (6)	XL	Pb-211	36,1 (2) min
12,89	12,42 (22)	XL	Pb-214	26,8 (9) min
12,89	0,013 7 (18)	XL	At-217	32,30 (40) E-3 s
12,935	0,058 1 (12)	XL	Bi-212	60,54 (6) min
12,935	0,627 (15)	XL	Bi-214	19,9 (4) min
12,935	0,000 80 (3)	XL	Rn-218	36,0 (19) E-3 s
12,935	0,000 766 (15)	XL	Rn-222	3,8232 (8) d
12,935 25	10,8 (4)	XL	At-211	7,214 (7) h
12,935 5	0,000 96 (7)	XL	Rn-220	55,8 (3) s
12,975 (10)	0,034 1 (9)	γ	Pu-239	24 100 (11) a
13,312 75	2,18 (7)	XL	Fr-221	4,79 (2) min
13,324 1	6,9 (3)	XKβ1	Kr-79	35,04 (10) h
13,335 9	12,5 (3)	XKα2	Rb-81m	30,25 (25) min
13,335 9	0,000 540 (14)	XKα2	Kr-85	10,752 (23) a
13,335 9	0,645 (24)	XKα2	Kr-85m	4,480 (8) h
13,335 9	17,16 (17)	XKα2	Sr-85	64,850 (7) d
13,335 9	0,035 (3)	XKα2	Kr-87	1,272 (8) h
13,335 9	2,36 (23)	XKα2	Kr-88	2,84 (3) h
13,335 9	0,70 (7)	XKα2	Kr-90	32,32 (9) s
13,335 9	0,37 (6)	XKα2	Rb-90m	4,30 (7) min
13,335 9	0,93 (10)	XKα2	Kr-91	8,57 (4) s
13,395 5	24,1 (6)	XKα1	Rb-81m	30,25 (25) min
13,395 5	0,001 040 (25)	XKα1	Kr-85	10,752 (23) a
13,395 5	1,24 (5)	XKα1	Kr-85m	4,480 (8) h
13,395 5	33,04 (29)	XKα1	Sr-85	64,850 (7) d
13,395 5	0,067 (5)	XKα1	Kr-87	1,272 (8) h
13,395 5	4,6 (5)	XKα1	Kr-88	2,84 (3) h

* : Radionucléide en équilibre avec son descendant
(Cf. liste en début de volume)

Énergie (keV)	Intensité (%)	Type	Parent	Période
13,395 5	1,36 (13)	XK α 1	Kr-90	32,32 (9) s
13,395 5	0,72 (12)	XK α 1	Rb-90m	4,30 (7) min
13,395 5	1,8 (2)	XK α 1	Kr-91	8,57 (4) s
13,469 6	0,7 (1)	XK β 2	Kr-79	35,04 (10) h
13,52 (2)	1,6 (2)	γ	Ra-228	5,75 (3) a
13,7	0,807 (14)	XL	Ra-226	1 600 (7) a
13,708 5	0,387 (8)	XL	Ra-224	3,627 (7) d
13,81 (2)	0,099 (4)	γ	U-237	6,749 (16) d
13,849 (4)	1,15 (3)	γ	Ba-140	12,753 (4) d
13,93 (5)	0,88 (12)	γ	Xe-140	13,6 (1) s
14,063 83 (20)	0,020 (5)	γ	Gd-153	240,4 (10) d
14,098	17,30 (22)	XK α 2	Y-88	106,626 (21) d
14,098	0,016 5 (10)	XK α 2	Rb-90m	4,30 (7) min
14,098	7,1 (7)	XK α 2	Rb-91	58,4 (4) s
14,11	20,8 (24)	XL	Ac-225	10,0 (1) d
14,11	0,037 (11)	XL	Ac-227	21,772 (3) a
14,152	2,30 (15)	XK β 1	Kr-81m	12,8 (3) s
14,152	7,5 (7)	XK β 1	Rb-81*	4,25 (25) h
14,152	0,19 (6)	XK β 1	Rb-81m	30,25 (25) min
14,152	0,039 (5)	XK β 1	Br-82	1,4708 (13) d
14,152	2,36 (22)	XK β 1	Kr-83m	1,83 (2) h
14,152	7,6 (10)	XK β 1	Rb-83	86,2 (1) d
14,152	5,26 (13)	XK β 1	Rb-84	32,77 (14) d
14,152	0,536 (22)	XK β 1	Kr-85m	4,480 (8) h
14,165 2	33,2 (4)	XK α 1	Y-88	106,626 (21) d
14,165 2	0,032 (2)	XK α 1	Rb-90m	4,30 (7) min
14,165 2	13,8 (13)	XK α 1	Rb-91	58,4 (4) s
14,18	25 (3)	XL	Ra-223	11,43 (5) d
14,22 (3)	0,005 5 (4)	γ	Pu-239	24 100 (11) a
14,321 5	0,18 (1)	XK β 2	Kr-81m	12,8 (3) s
14,321 5	0,60 (5)	XK β 2	Rb-81*	4,25 (25) h
14,321 5	0,019 (6)	XK β 2	Rb-81m	30,25 (25) min
14,321 5	0,004 (1)	XK β 2	Br-82	1,4708 (13) d
14,321 5	0,24 (2)	XK β 2	Kr-83m	1,83 (2) h
14,321 5	0,77 (10)	XK β 2	Rb-83	86,2 (1) d
14,321 5	0,53 (2)	XK β 2	Rb-84	32,77 (14) d
14,321 5	0,054 (2)	XK β 2	Kr-85m	4,480 (8) h
14,4 (10)	0,016 4 (14)	γ	Ra-223	11,43 (5) d
14,412 95 (31)	9,15 (17)	γ	Co-57	271,80 (5) d
14,517	8,8 (4)	XL	Th-228	1,9127 (6) a
14,537	41,3 (17)	XL	Th-227	18,718 (5) d
14,882 9	18,2 (6)	XK α 2	Zr-88	83,0 (4) d
14,882 9	0,148 (5)	XK α 2	Y-89m	16,06 (4) s
14,882 9	13,86 (6)	XK α 2	Zr-89	78,41 (12) h
14,882 9	2,02 (6)	XK α 2	Y-90m	3,19 (6) h
14,882 9	0,014 3 (6)	XK α 2	Sr-91*	9,63 (5) h
14,882 9	0,87 (3)	XK α 2	Y-91m	49,71 (4) min
14,884 7 (13)	0,001 2 (6)	γ	Se-75	119,79 (4) d
14,915	32 (6)	XL	Fr-223	22,00 (7) min
14,915	19,0 (25)	XL	Fr-227	2,47 (3) min
14,915	79 (14)	XL	Th-229	7 340 (160) a
14,915	8,5 (12)	XL	Th-230	75 380 (300) a
14,915	7,9 (10)	XL	Th-232	14,05 (6) E+9 a
14,934	15,2 (6)	XL	Ra-225	14,9 (2) d
14,934	1,13 (11)	XL	Ra-228	5,75 (3) a
14,934	31,5 (19)	XL	Pa-231	32 760 (110) a
14,958 5	34,9 (12)	XK α 1	Zr-88	83,0 (4) d
14,958 5	0,086 (7)	XK α 1	Sr-89	50,57 (3) d
14,958 5	0,285 (9)	XK α 1	Y-89m	16,06 (4) s
14,958 5	26,74 (11)	XK α 1	Zr-89	78,41 (12) h
14,958 5	3,88 (10)	XK α 1	Y-90m	3,19 (6) h
14,958 5	0,027 6 (10)	XK α 1	Sr-91*	9,63 (5) h
14,958 5	1,68 (6)	XK α 1	Y-91m	49,71 (4) min
14,99	1,75 (18)	XL	Bi-213	45,59 (6) min
14,99	1,06 (12)	XL	Rn-219	3,96 (1) s
14,999 4	5,85 (14)	XK β 1	Rb-81m	30,25 (25) min
14,999 4	0,000 253 (7)	XK β 1	Kr-85	10,752 (23) a
14,999 4	0,268 (10)	XK β 1	Kr-85m	4,480 (8) h
14,999 4	8,04 (10)	XK β 1	Sr-85	64,850 (7) d
14,999 4	0,016 (2)	XK β 1	Kr-87	1,272 (8) h
14,999 4	1,11 (12)	XK β 1	Kr-88	2,84 (3) h
14,999 4	0,33 (3)	XK β 1	Kr-90	32,32 (9) s
14,999 4	0,174 (30)	XK β 1	Rb-90m	4,30 (7) min
14,999 4	0,44 (5)	XK β 1	Kr-91	8,57 (4) s
15,195 3	0,60 (1)	XK β 2	Rb-81m	30,25 (25) min
15,195 3	0,000 029 4 (13)	XK β 2	Kr-85	10,752 (23) a
15,195 3	0,029 (2)	XK β 2	Kr-85m	4,480 (8) h
15,195 3	0,93 (4)	XK β 2	Sr-85	64,850 (7) d
15,195 3	0,001 9 (2)	XK β 2	Kr-87	1,272 (8) h
15,195 3	0,13 (2)	XK β 2	Kr-88	2,84 (3) h

* : Radionucléide en équilibre avec son descendant
(Cf. liste en début de volume)

Énergie (keV)	Intensité (%)	Type	Parent	Période
15,195 3	0,038 (4)	XKβ2	Kr-90	32,32 (9) s
15,195 3	0,020 (4)	XKβ2	Rb-90m	4,30 (7) min
15,195 3	0,050 (6)	XKβ2	Kr-91	8,57 (4) s
15,311	10,2 (4)	XL	U-234	245,5 (6) E+3 a
15,311	7,94 (28)	XL	U-238	4,468 (5) E+9 a
15,5 (2)	0,16 (3)	Y	Ra-228	5,75 (3) a
15,691	0,007 (1)	XKα2	Y-92	3,54 (2) h
15,691	18,28 (7)	XKα2	Nb-92	35 (3) E+6 a
15,691	18,37 (7)	XKα2	Nb-92m	10,15 (2) d
15,691	0,034 (8)	XKα2	Y-93	10,1 (2) h
15,740 1	8,8	XL	Th-233	22,15 (15) min
15,740 5	59 (5)	XL	Np-237	2,144 (7) E+6 a
15,75	32,9 (14)	XL	Ac-228	6,15 (2) h
15,75	85 (11)	XL	Pa-228	22 (1) h
15,75	0,06 (5)	XL	Pa-232	1,31 (2) d
15,75	12 (2)	XL	U-232	70 (1) a
15,75	5,3 (15)	XL	U-233	159,20 (20) E+3 a
15,75	51 (6)	XL	U-235	704 (1) E+6 a
15,775 2	0,014 (2)	XKα1	Y-92	3,54 (2) h
15,775 2	35,14 (12)	XKα1	Nb-92	35 (3) E+6 a
15,775 2	35,32 (13)	XKα1	Nb-92m	10,15 (2) d
15,775 2	0,066 (16)	XKα1	Y-93	10,1 (2) h
15,876 7	8,21 (12)	XKβ1	Y-88	106,626 (21) d
15,876 7	0,007 8 (5)	XKβ1	Rb-90m	4,30 (7) min
15,876 7	3,4 (4)	XKβ1	Rb-91	58,4 (4) s
16,094 3	1,07 (4)	XKβ2	Y-88	106,626 (21) d
16,094 3	0,001 0 (1)	XKβ2	Rb-90m	4,30 (7) min
16,094 3	0,4 (5)	XKβ2	Rb-91	58,4 (4) s
16,166	117,5 (30)	XL	Np-236	155 (8) E+3 a
16,166	21,3 (18)	XL	Np-236m	22,5 (4) h
16,166 5	41,5 (10)	XL	Pa-233	26,98 (2) d
16,166 5	4,66 (5)	XL	Pu-239	24 100 (11) a
16,166 5	0,001 166 (40)	XL	Pu-241	14,33 (4) a
16,2 (1)	0,7	Y	Ra-228	5,75 (3) a
16,263 (3)	0,001 08 (5)	Y	Ta-182m	15,84 (10) min
16,45 (16)	0,006 3 (6)	Y	W-187	23,72 (6) h
16,483	72 (8)	XL	Th-231	1,0633 (4) d
16,483	9,6 (6)	XL	Th-234	24,10 (3) d
16,5 (1)	0,31 (9)	Y	Pa-231	32 760 (110) a
16,521	12,5 (6)	XKα2	Nb-95m	3,61 (3) d
16,521 3	3,13 (12)	XKα2	Zr-93	1,53 (10) E+6 a
16,521 3	3,16 (7)	XKα2	Nb-93m	16,12 (15) a
16,521 3	21 (4)	XKα2	Mo-93	4 000 (800) a
16,521 3	0,022 (5)	XKα2	Mo-93m	6,85 (7) h
16,521 3	0,167 (11)	XKα2	Zr-95*	64,032 (6) d
16,521 3	0,368 (22)	XKα2	Zr-97	16,90 (5) h
16,6	53 (10)	XL	Pa-232	1,31 (2) d
16,6	91 (15)	XL	Pa-234	6,70 (5) h
16,6	0,68 (10)	XL	Pa-234m	1,17 (3) min
16,6	37 (5)	XL	Np-235	1,084 (3) a
16,6	13 (4)	XL	Pu-236	2,87 (1) a
16,615	0,042 (9)	XKα1	Mo-93m	6,85 (7) h
16,615	23,9 (10)	XKα1	Nb-95m	3,61 (3) d
16,615 2	5,97 (22)	XKα1	Zr-93	1,53 (10) E+6 a
16,615 2	6,04 (12)	XKα1	Nb-93m	16,12 (15) a
16,615 2	40 (6)	XKα1	Mo-93	4 000 (800) a
16,615 2	0,319 (20)	XKα1	Zr-95*	64,032 (6) d
16,615 2	0,71 (5)	XKα1	Zr-97	16,90 (5) h
16,675	8,56 (40)	XL	Pu-242	373 (3) E+3 a
16,681	52 (6)	XL	Pu-237	45,2 (1) d
16,681	20,7 (21)	XL	U-239	23,46 (4) min
16,681	32 (6)	XL	U-240	14,1 (1) h
16,681	17,8 (4)	XL	Am-243	7 370 (17) a
16,685	10,63 (8)	XL	Pu-238	87,74 (3) a
16,685	10,34 (15)	XL	Pu-240	6 561 (7) a
16,781 3	8,7 (3)	XKβ1	Zr-88	83,0 (4) d
16,781 3	0,071 (3)	XKβ1	Y-89m	16,06 (4) s
16,781 3	6,69 (8)	XKβ1	Zr-89	78,41 (12) h
16,781 3	0,973 (27)	XKβ1	Y-90m	3,19 (6) h
16,781 3	0,006 9 (3)	XKβ1	Sr-91*	9,63 (5) h
16,781 3	0,42 (2)	XKβ1	Y-91m	49,71 (4) min
17,025 9	1,20 (5)	XKβ2	Zr-88	83,0 (4) d
17,025 9	0,010 0 (4)	XKβ2	Y-89m	16,06 (4) s
17,025 9	0,92 (1)	XKβ2	Zr-89	78,41 (12) h
17,025 9	0,134 (6)	XKβ2	Y-90m	3,19 (6) h
17,025 9	0,000 95 (4)	XKβ2	Sr-91*	9,63 (5) h
17,025 9	0,058 (3)	XKβ2	Y-91m	49,71 (4) min
17,045	51,3 (3)	XL	U-237	6,749 (16) d
17,045	37,6 (3)	XL	Am-241	432,6 (6) a
17,054	12,2 (5)	XL	Np-236	155 (8) E+3 a

* : Radionucléide en équilibre avec son descendant
(Cf. liste en début de volume)

Énergie (keV)	Intensité (%)	Type	Parent	Période
17,054	4,2 (16)	XL	Np-236m	22,5 (4) h
17,054 5	51,3 (24)	XL	Np-239	2,356 (3) d
17,054 5	8,77 (6)	XL	Cm-244	18,11 (3) a
17,054 5	7,95 (24)	XL	Cm-246	4 723 (27) a
17,19 (2)	0,001	Y	Np-235	1,084 (3) a
17,2	0,23 (8)	Y	Th-231	1,0633 (4) d
17,2 (1)	0,004 1	Y	Pa-233	26,98 (2) d
17,36 (3)	0,18 (10)	Y	Th-229	7 340 (160) a
17,374 5	6,39 (25)	XKα2	Mo-93m	6,85 (7) h
17,374 5	0,028 6 (9)	XKα2	Nb-95	34,991 (6) d
17,374 5	0,048 4 (23)	XKα2	Nb-96	23,35 (5) h
17,479 5	12,2 (5)	XKα1	Mo-93m	6,85 (7) h
17,479 5	0,054 6 (18)	XKα1	Nb-95	34,991 (6) d
17,479 5	0,093 (5)	XKα1	Nb-96	23,35 (5) h
17,51	88 (18)	XL	Np-240	61,9 (2) min
17,51	55 (6)	XL	Cm-243	29,1 (1) a
17,51	61 (22)	XL	Cm-245	8 480 (60) a
17,595	9,8 (5)	XL	Cm-242	162,86 (8) d
17,7 (3)	0,000 046 (14)	Y	Sb-126m	19,15 (8) min
17,712 7	0,003 6 (5)	XKβ1	Y-92	3,54 (2) h
17,712 7	8,9 (1)	XKβ1	Nb-92	35 (3) E+6 a
17,712 7	8,98 (10)	XKβ1	Nb-92m	10,15 (2) d
17,712 7	0,017 (3)	XKβ1	Y-93	10,1 (2) h
17,976 5	6,07 (14)	XL	Cf-252	2,6470 (26) a
17,982	0,000 5 (1)	XKβ2	Y-92	3,54 (2) h
17,982	1,30 (2)	XKβ2	Nb-92	35 (3) E+6 a
17,982	1,30 (2)	XKβ2	Nb-92m	10,15 (2) d
17,982	0,002 4 (3)	XKβ2	Y-93	10,1 (2) h
18,05 (2)	0,000 003	Y	Np-235	1,084 (3) a
18,07	0,011 (11)	Y	Th-231	1,0633 (4) d
18,081 5	10,5 (13)	XL	Am-245	2,05 (1) h
18,1 (6)	0,120 0 (2)	Y	Te-133m	55,4 (4) min
18,106 5	3,7 (7)	XL	Pu-243	4,956 (3) h
18,251	32 (12)	XKα2	Ru-97	2,9 (1) d
18,251	3,19 (9)	XKα2	Mo-99*	2,7479 (6) d
18,251	2,22 (7)	XKα2	Tc-99m	6,0067 (10) h
18,251	2,2 (7)	XKα2	Mo-101	14,6 (1) min
18,367 2	60 (22)	XKα1	Ru-97	2,9 (1) d
18,367 2	6,06 (16)	XKα1	Mo-99*	2,7479 (6) d
18,367 2	4,21 (12)	XKα1	Tc-99m	6,0067 (10) h
18,367 2	4,2 (13)	XKα1	Mo-101	14,6 (1) min
18,41	0,34 (5)	Y	Pa-228	22 (1) h
18,415 (12)	0,014 (4)	Y	Ac-228	6,15 (2) h
18,430 (4)	0,02	Y	Np-239	2,356 (3) d
18,669 7	1,55 (6)	XKβ1	Zr-93	1,53 (10) E+6 a
18,669 7	10,4 (16)	XKβ1	Mo-93	4 000 (800) a
18,669 7	0,082 (6)	XKβ1	Zr-95*	64,032 (6) d
18,669 7	0,18 (2)	XKβ1	Zr-97	16,90 (5) h
18,67	1,56 (5)	XKβ1	Nb-93m	16,12 (15) a
18,67	0,011 (3)	XKβ1	Mo-93m	6,85 (7) h
18,67	6,19 (27)	XKβ1	Nb-95m	3,61 (3) d
18,763 (2)	0,048 (7)	Y	Eu-155	4,753 (14) a
18,967	0,232 (12)	XKβ2	Zr-93	1,53 (10) E+6 a
18,967	0,23 (1)	XKβ2	Nb-93m	16,12 (15) a
18,967	1,56 (24)	XKβ2	Mo-93	4 000 (800) a
18,967	0,001 6 (4)	XKβ2	Mo-93m	6,85 (7) h
18,967	0,012 4 (9)	XKβ2	Zr-95*	64,032 (6) d
18,967	0,93 (5)	XKβ2	Nb-95m	3,61 (3) d
18,967	0,027 (2)	XKβ2	Zr-97	16,90 (5) h
19	0,37 (13)	Y	Pa-231	32 760 (110) a
19,1	0,244 (12)	Y	Th-231	1,0633 (4) d
19,102 (15)	0,111 (30)	Y	Fr-223	22,00 (7) min
19,150 6	0,408 (17)	XKα2	Tc-101	14,2 (1) min
19,150 6	0,289 (12)	XKα2	Tc-104	18,3 (3) min
19,279 4	0,78 (4)	XKα1	Tc-101	14,2 (1) min
19,279 4	0,551 (23)	XKα1	Tc-104	18,3 (3) min
19,657 6	3,2 (2)	XKβ1	Mo-93m	6,85 (7) h
19,657 6	0,014 3 (5)	XKβ1	Nb-95	34,991 (6) d
19,657 6	0,024 (2)	XKβ1	Nb-96	23,35 (5) h
19,80 (6)	0,020 2 (5)	Y	Sb-125*	2,75855 (25) a
19,812 96 (21)	0,000 105 (22)	Y	Sm-153	1,92855 (5) d
19,812 96 (19)	0,000 12	Y	Gd-153	240,4 (10) d
19,981 7	0,50 (2)	XKβ2	Mo-93m	6,85 (7) h
19,981 7	0,002 21 (11)	XKβ2	Nb-95	34,991 (6) d
19,981 7	0,003 7 (2)	XKβ2	Nb-96	23,35 (5) h
20,02 (2)	0,009 (3)	Y	Th-234	24,10 (3) d
20,073 9	2,52 (20)	XKα2	Ru-103*	39,255 (8) d
20,073 9	2,17 (16)	XKα2	Rh-103m	56,115 (6) min
20,073 9	22,05 (22)	XKα2	Pd-103	16,964 (10) d
20,216 3	4,77 (20)	XKα1	Ru-103*	39,255 (8) d

* : Radionucléide en équilibre avec son descendant
(Cf. liste en début de volume)

Énergie (keV)	Intensité (%)	Type	Parent	Période
20,216 3	4,1 (3)	XKα1	Rh-103m	56,115 (6) min
20,216 3	41,7 (4)	XKα1	Pd-103	16,964 (10) d
20,25 (5)	0,23 (3)	γ	Th-227	18,718 (5) d
20,265 (16)	0,8 (4)	γ	Fr-223	22,00 (7) min
20,669	16 (6)	XKβ1	Ru-97	2,9 (1) d
20,669	1,61 (5)	XKβ1	Mo-99*	2,7479 (6) d
20,669	1,12 (4)	XKβ1	Tc-99m	6,0067 (10) h
20,669	0,51 (2)	XKβ1	Mo-101	14,6 (1) min
20,743 70 (21)	0,192 5 (43)	γ	Yb-169	32,018 (5) d
20,86 (1)	0,40 (3)	γ	Te-133m	55,4 (4) min
20,94 (5)	0,006 (3)	γ	Th-227	18,718 (5) d
21,020 3	0,030 (2)	XKα2	Rh-106	30,0 (2) s
21,020 3	0,44 (3)	XKα2	Ag-108	2,382 (11) min
21,020 3	18,38 (18)	XKα2	Ag-108m	438 (9) a
21,020 3	0,060 (12)	XKα2	Ag-110	24,56 (11) s
21,023 5	2,5 (10)	XKβ2	Ru-97	2,9 (1) d
21,023 5	0,254 (11)	XKβ2	Mo-99*	2,7479 (6) d
21,023 5	0,177 (8)	XKβ2	Tc-99m	6,0067 (10) h
21,023 5	0,080 (3)	XKβ2	Mo-101	14,6 (1) min
21,035 (4)	0,000 46 (3)	γ	Eu-155	4,753 (14) a
21,177 4	0,057 (3)	XKα1	Rh-106	30,0 (2) s
21,177 4	0,84 (6)	XKα1	Ag-108	2,382 (11) min
21,177 4	34,72 (30)	XKα1	Ag-108m	438 (9) a
21,177 4	0,114 (23)	XKα1	Ag-110	24,56 (11) s
21,5	0,352 (13)	γ	Np-237	2,144 (7) E+6 a
21,540 (6)	0,031 (3)	γ	Sm-151	90 (6) a
21,58 (2)	0,007 (7)	γ	Th-229	7 340 (160) a
21,739 4	0,21 (1)	XKβ1	Tc-101	14,2 (1) min
21,739 4	0,147 (7)	XKβ1	Tc-104	18,3 (3) min
21,990 6	0,49 (4)	XKα2	Ag-108m	438 (9) a
21,990 6	9,9 (11)	XKα2	Pd-109	13,7 (1) h
21,990 6	29,00 (25)	XKα2	Cd-109	461,4 (12) d
21,990 6	0,198 (12)	XKα2	Ag-110m	249,78 (2) d
22	86 (2)	γ	I-132m	1,387 (15) h
22,0 (2)	0,009 (9)	γ	Th-227	18,718 (5) d
22,089	0,034 (2)	XKβ2	Tc-101	14,2 (1) min
22,089	0,024 (1)	XKβ2	Tc-104	18,3 (3) min
22,163 17	0,93 (7)	XKα1	Ag-108m	438 (9) a
22,163 17	18,7 (20)	XKα1	Pd-109	13,7 (1) h
22,163 17	54,7 (4)	XKα1	Cd-109	461,4 (12) d
22,163 17	0,372 (22)	XKα1	Ag-110m	249,78 (2) d
22,813 5	1,29 (6)	XKβ1	Ru-103*	39,255 (8) d
22,813 5	1,12 (9)	XKβ1	Rh-103m	56,115 (6) min
22,813 5	11,34 (15)	XKβ1	Pd-103	16,964 (10) d
22,984 3	0,001 27 (6)	XKα2	Ag-108	2,382 (11) min
22,984 3	0,003 2 (3)	XKα2	Ag-110	24,56 (11) s
22,984 3	0,153 (9)	XKα2	Ag-110m	249,78 (2) d
22,984 3	0,055 7 (18)	XKα2	Ag-111	7,45 (1) d
22,984 3	23,65 (18)	XKα2	In-111	2,8049 (4) d
22,984 3	0,10 (5)	XKα2	In-114	71,9 (4) s
22,984 3	0,63 (7)	XKα2	In-114m	49,51 (1) d
23,173 8	0,002 39 (11)	XKα1	Ag-108	2,382 (11) min
23,173 8	0,006 1 (6)	XKα1	Ag-110	24,56 (11) s
23,173 8	0,288 (16)	XKα1	Ag-110m	249,78 (2) d
23,173 8	0,105 (3)	XKα1	Ag-111	7,45 (1) d
23,173 8	44,47 (26)	XKα1	In-111	2,8049 (4) d
23,173 8	0,19 (8)	XKα1	In-114	71,9 (4) s
23,173 8	1,18 (12)	XKα1	In-114m	49,51 (1) d
23,195	0,22 (1)	XKβ2	Ru-103*	39,255 (8) d
23,195	0,184 (15)	XKβ2	Rh-103m	56,115 (6) min
23,195	1,88 (7)	XKβ2	Pd-103	16,964 (10) d
23,3 (2)	0,002 4 (11)	γ	Pa-228	22 (1) h
23,54 (5)	0,171 (30)	γ	W-185m	1,67 (3) min
23,60 (2)	0,001 23 (11)	γ	Th-229	7 340 (160) a
23,6	0,004 8 (11)	γ	Pa-231	32 760 (110) a
23,874 5	0,008 (1)	XKβ1	Rh-106	30,0 (2) s
23,874 5	0,230 (16)	XKβ1	Ag-108	2,382 (11) min
23,874 5	9,53 (12)	XKβ1	Ag-108m	438 (9) a
23,874 5	0,032 (7)	XKβ1	Ag-110	24,56 (11) s
24,002 3	6,9 (1)	XKα2	In-113m	1,658 (5) h
24,002 3	27,69 (21)	XKα2	Sn-113*	115,09 (3) d
24,002 3	9,7 (4)	XKα2	In-114m	49,51 (1) d
24,002 3	0,004 0 (7)	XKα2	Cd-115m	44,56 (24) d
24,002 3	9,55 (15)	XKα2	In-115m	4,486 (4) h
24,13 (5)	0,086 (8)	γ	Th-227	18,718 (5) d
24,136 (13)	0,29 (8)	γ	Fr-223	22,00 (7) min
24,20 (2)	0,000 376 (11)	γ	Yb-169m	46 (2) s
24,21	12,9 (1)	XKα1	In-113m	1,658 (5) h
24,21	51,9 (3)	XKα1	Sn-113*	115,09 (3) d
24,21	18,3 (6)	XKα1	In-114m	49,51 (1) d

* : Radionucléide en équilibre avec son descendant
(Cf. liste en début de volume)

Énergie (keV)	Intensité (%)	Type	Parent	Période
24,21	0,007 4 (12)	XKα1	Cd-115m	44,56 (24) d
24,21	17,91 (27)	XKα1	In-115m	4,486 (4) h
24,321 7	0,001 4 (5)	XKβ2	Rh-106	30,0 (2) s
24,321 7	0,039 1 (30)	XKβ2	Ag-108	2,382 (11) min
24,321 7	1,62 (6)	XKβ2	Ag-108m	438 (9) a
24,321 7	0,005 4 (10)	XKβ2	Ag-110	24,56 (11) s
24,381 5 (14)	0,027 0 (12)	γ	Se-75	119,79 (4) d
24,5 (1)	0,005 1 (13)	γ	Pa-231	32 760 (110) a
24,595 (4)	0,001	γ	La-140	1,67850 (17) d
24,88 (2)	0,035 (2)	γ	Co-58m	8,9 (1) h
24,9 (2)	0,002 0 (11)	γ	Pa-228	22 (1) h
25,000 2	0,256 (19)	XKβ1	Ag-108m	438 (9) a
25,000 2	5,2 (5)	XKβ1	Pd-109	13,7 (1) h
25,000 2	15,14 (18)	XKβ1	Cd-109	461,4 (12) d
25,000 2	0,103 (7)	XKβ1	Ag-110m	249,78 (2) d
25,044 3	0,279 (23)	XKα2	In-116m	54,29 (17) min
25,044 3	18,9 (5)	XKα2	Sn-117m	13,60 (4) d
25,044 3	0,54 (3)	XKα2	Sb-122	2,70 (1) d
25,2 (3)	8,3	γ	Pu-243	4,956 (3) h
25,271 6	0,524 (39)	XKα1	In-116m	54,29 (17) min
25,271 6	35,0 (8)	XKα1	Sn-117m	13,60 (4) d
25,271 6	1,0 (1)	XKα1	Sb-122	2,70 (1) d
25,318 (4)	0,001 11 (17)	γ	U-233	159,20 (20) E+3 a
25,39 (2)	0,008 (5)	γ	Th-229	7 340 (160) a
25,484 3	0,045 (4)	XKβ2	Ag-108m	438 (9) a
25,484 3	0,9 (1)	XKβ2	Pd-109	13,7 (1) h
25,484 3	2,64 (10)	XKβ2	Cd-109	461,4 (12) d
25,484 3	0,017 9 (12)	XKβ2	Ag-110m	249,78 (2) d
25,51 (6)	0,117 (19)	γ	Pa-231	32 760 (110) a
25,64 (2)	14,1 (10)	γ	Th-231	1,0633 (4) d
25,64 (2)	0,000 221 (14)	γ	Np-235	1,084 (3) a
25,651 36 (3)	23,2 (15)	γ	Tb-161	6,906 (19) d
25,69 (20)	0,97 (8)	γ	Pm-151	1,183 (2) d
25,69 (6)	0,52 (8)	γ	Sm-155	22,3 (2) min
26,0 (1)	0,001 64 (22)	γ	Ac-225	10,0 (1) d
26,111 1	4,4 (5)	XKα2	Sn-121m	55 (5) a
26,111 1	21,52 (21)	XKα2	Te-121	19,16 (5) d
26,111 1	4,6 (4)	XKα2	Te-121m	154 (7) d
26,111 1	0,014 2 (22)	XKα2	Sn-125	9,64 (3) d
26,153 8	0,000 67 (4)	XKβ1	Ag-108	2,382 (11) min
26,153 8	0,001 69 (15)	XKβ1	Ag-110	24,56 (11) s
26,153 8	0,080 (5)	XKβ1	Ag-110m	249,78 (2) d
26,153 8	0,027 (1)	XKβ1	Ag-111	7,45 (1) d
26,153 8	12,40 (14)	XKβ1	In-111	2,8049 (4) d
26,153 8	0,053 (22)	XKβ1	In-114	71,9 (4) s
26,153 8	0,330 (34)	XKβ1	In-114m	49,51 (1) d
26,269 (7)	0,008 2 (9)	γ	Tl-201	3,0421 (17) d
26,3 (1)	0,007 2 (13)	γ	Pa-228	22 (1) h
26,344 6 (2)	2,43 (6)	γ	U-237	6,749 (16) d
26,344 6 (2)	0,221 (12)	γ	Pu-237	45,2 (1) d
26,344 6 (2)	2,40 (3)	γ	Am-241	432,6 (6) a
26,359 4	8,2 (8)	XKα1	Sn-121m	55 (5) a
26,359 4	40,3 (4)	XKα1	Te-121	19,16 (5) d
26,359 4	8,6 (8)	XKα1	Te-121m	154 (7) d
26,359 4	0,027 (4)	XKα1	Sn-125	9,64 (3) d
26,4 (1)	0,001	γ	Ra-228	5,75 (3) a
26,531 (21)	0,316 (22)	γ	Eu-155	4,753 (14) a
26,673	0,000 121 (7)	XKβ2	Ag-108	2,382 (11) min
26,673	0,000 31 (3)	XKβ2	Ag-110	24,56 (11) s
26,673	0,014 6 (9)	XKβ2	Ag-110m	249,78 (2) d
26,673	0,005 5 (2)	XKβ2	Ag-111	7,45 (1) d
26,673	0,097 (4)	XKβ2	In-114	71,9 (4) s
26,673	0,060 (6)	XKβ2	In-114m	49,51 (1) d
26,677 3	2,26 (7)	XKβ2	In-111	2,8049 (4) d
27,202	9,8 (4)	XKα2	Te-121m	154 (7) d
27,202	0,088 (3)	XKα2	Sb-122	2,70 (1) d
27,202	13,9 (5)	XKα2	Te-123m	119,3 (1) d
27,202	24,69 (20)	XKα2	I-123	13,2234 (37) h
27,202	0,113 (5)	XKα2	Sb-124	60,20 (3) d
27,202	16,6 (3)	XKα2	I-124	4,1760 (3) d
27,202	21,0 (9)	XKα2	Sb-125*	2,75855 (25) a
27,202	32,5 (11)	XKα2	Te-125m	57,40 (15) d
27,202	39,7 (7)	XKα2	I-125	59,407 (9) d
27,202	0,44 (2)	XKα2	Sb-126	12,4 (1) d
27,202	0,385 (22)	XKα2	Sb-126m	19,15 (8) min
27,202	11,9 (13)	XKα2	I-126	12,93 (5) d
27,202	10,1 (3)	XKα2	Te-127m	107 (4) d
27,202	1,45 (20)	XKα2	I-128	24,99 (2) min
27,202	8,0 (22)	XKα2	Te-129m	33,6 (1) d
27,202	3,3 (4)	XKα2	Te-131m*	1,25 (8) d

* : Radionucléide en équilibre avec son descendant
(Cf. liste en début de volume)

Énergie (keV)	Intensité (%)	Type	Parent	Période
27,202	3,8 (4)	XK α 2	Sb-132	2,79 (5) min
27,202	10,3 (12)	XK α 2	Sb-132m	4,10 (7) min
27,202	2,0 (4)	XK α 2	Te-133m	55,4 (4) min
27,268 (30)	0,065 (18)	γ	Fr-223	22,00 (7) min
27,336 4	3,6 (1)	XK β 1	In-113m	1,658 (5) h
27,336 4	14,58 (17)	XK β 1	Sn-113*	115,09 (3) d
27,336 4	5,18 (18)	XK β 1	In-114m	49,51 (1) d
27,336 4	0,002 1 (4)	XK β 1	Cd-115m	44,56 (24) d
27,336 4	5,03 (9)	XK β 1	In-115m	4,486 (4) h
27,36 (1)	10,3 (4)	γ	Pa-231	32 760 (110) a
27,41 (9)	0,029 (5)	γ	Th-227	18,718 (5) d
27,472 6	18,3 (7)	XK α 1	Te-121m	154 (7) d
27,472 6	0,165 (7)	XK α 1	Sb-122	2,70 (1) d
27,472 6	26,0 (9)	XK α 1	Te-123m	119,3 (1) d
27,472 6	45,98 (29)	XK α 1	I-123	13,2234 (37) h
27,472 6	0,21 (1)	XK α 1	Sb-124	60,20 (3) d
27,472 6	30,9 (5)	XK α 1	I-124	4,1760 (3) d
27,472 6	39,1 (15)	XK α 1	Sb-125*	2,75855 (25) a
27,472 6	60,5 (19)	XK α 1	Te-125m	57,40 (15) d
27,472 6	74,0 (12)	XK α 1	I-125	59,407 (9) d
27,472 6	0,82 (3)	XK α 1	Sb-126	12,4 (1) d
27,472 6	0,72 (4)	XK α 1	Sb-126m	19,15 (8) min
27,472 6	22,2 (24)	XK α 1	I-126	12,93 (5) d
27,472 6	18,8 (5)	XK α 1	Te-127m	107 (4) d
27,472 6	2,7 (3)	XK α 1	I-128	24,99 (2) min
27,472 6	15 (5)	XK α 1	Te-129m	33,6 (1) d
27,472 6	6,2 (8)	XK α 1	Te-131m*	1,25 (8) d
27,472 6	7,1 (8)	XK α 1	Sb-132	2,79 (5) min
27,472 6	19,2 (21)	XK α 1	Sb-132m	4,10 (7) min
27,472 6	3,7 (7)	XK α 1	Te-133m	55,4 (4) min
27,50 (2)	0,035 (18)	γ	Th-229	7 340 (160) a
27,51 (1)	1,94 (17)	γ	Kr-88	2,84 (3) h
27,7	0,84 (7)	γ	Np-237	2,144 (7) E+6 a
27,81 (5)	16,3 (20)	γ	Te-129	1,160 (5) h
27,81 (5)	0,028 (16)	γ	Te-129m	33,6 (1) d
27,909 3	0,70 (3)	XK β 2	In-113m	1,658 (5) h
27,909 3	2,77 (10)	XK β 2	Sn-113*	115,09 (3) d
27,909 4	0,98 (4)	XK β 2	In-114m	49,51 (1) d
27,909 4	0,000 40 (7)	XK β 2	Cd-115m	44,56 (24) d
27,909 4	0,95 (4)	XK β 2	In-115m	4,486 (4) h
28,1 (3)	0,001 3 (4)	γ	Pt-195m	4,02 (1) d
28,26 (11)	0,028 (11)	γ	Kr-88	2,84 (3) h
28,3 (1)	0,002 0 (2)	γ	Pa-228	22 (1) h
28,317 5	20,8 (4)	XK α 2	Xe-123	2,08 (2) h
28,317 5	29,9 (5)	XK α 2	Xe-125	16,9 (2) h
28,317 5	0,028 (6)	XK α 2	Te-127	9,35 (10) h
28,317 5	0,40 (2)	XK α 2	Te-127m	107 (4) d
28,317 5	25,1 (12)	XK α 2	Xe-127	36,4 (1) d
28,317 5	0,041 7 (20)	XK α 2	Te-129	1,160 (5) h
28,317 5	3,7 (2)	XK α 2	Te-131	25,0 (1) min
28,317 5	3,7 (4)	XK α 2	Te-131m*	1,25 (8) d
28,317 5	20,7 (10)	XK α 2	Te-132	3,204 (13) d
28,317 5	6,7 (4)	XK α 2	I-132m	1,387 (15) h
28,317 5	0,62 (5)	XK α 2	Te-133	12,45 (30) min
28,317 5	3,31 (22)	XK α 2	Te-133m	55,4 (4) min
28,317 5	8,7 (5)	XK α 2	Te-134	41,8 (8) min
28,547 9	0,147 (5)	XK β 1	In-116m	54,29 (17) min
28,547 9	9,3 (2)	XK β 1	Sn-117m	13,60 (4) d
28,547 9	0,29 (3)	XK β 1	Sb-122	2,70 (1) d
28,559 (10)	0,071 (8)	γ	Pa-233	26,98 (2) d
28,612 3	38,6 (7)	XK α 1	Xe-123	2,08 (2) h
28,612 3	55,7 (8)	XK α 1	Xe-125	16,9 (2) h
28,612 3	0,053 (10)	XK α 1	Te-127	9,35 (10) h
28,612 3	0,74 (3)	XK α 1	Te-127m	107 (4) d
28,612 3	46,6 (21)	XK α 1	Xe-127	36,4 (1) d
28,612 3	0,078 (4)	XK α 1	Te-129	1,160 (5) h
28,612 3	6,9 (4)	XK α 1	Te-131	25,0 (1) min
28,612 3	6,9 (8)	XK α 1	Te-131m*	1,25 (8) d
28,612 3	38,5 (17)	XK α 1	Te-132	3,204 (13) d
28,612 3	12,4 (6)	XK α 1	I-132m	1,387 (15) h
28,612 3	1,16 (6)	XK α 1	Te-133	12,45 (30) min
28,612 3	6,2 (4)	XK α 1	Te-133m	55,4 (4) min
28,612 3	16,1 (9)	XK α 1	Te-134	41,8 (8) min
28,701 (12)	0,037 (3)	γ	Tb-161	6,906 (19) d
28,8 (1)	0,015 (3)	γ	Pa-228	22 (1) h
29,131 6	0,029 (1)	XK β 2	In-116m	54,29 (17) min
29,131 6	1,68 (4)	XK β 2	Sn-117m	13,60 (4) d
29,131 6	0,030 (2)	XK β 2	Sb-122	2,70 (1) d
29,192 (1)	0,012 0 (3)	γ	U-233	159,20 (20) E+3 a
29,23 (24)	0,006 (9)	γ	W-187	23,72 (6) h

* : Radionucléide en équilibre avec son descendant
(Cf. liste en début de volume)

Énergie (keV)	Intensité (%)	Type	Parent	Période
29,373 (10)	2,5	γ	Th-233	22,15 (15) min
29,374 (20)	14,1 (5)	γ	Np-237	2,144 (7) E+6 a
29,459	0,134 (11)	XKα2	I-126	12,93 (5) d
29,459	0,045 (5)	XKα2	I-128	24,99 (2) min
29,459	20,1 (3)	XKα2	I-129	16,1 (7) E+6 a
29,459	36 (1)	XKα2	Xe-129m	8,88 (2) d
29,459	1,54 (4)	XKα2	I-131*	8,0233 (19) d
29,459	15,4 (7)	XKα2	Xe-131m	11,930 (16) d
29,459	21,11 (18)	XKα2	Cs-131	9,69 (1) d
29,459	0,298 (8)	XKα2	I-132	2,295 (13) h
29,459	0,47 (7)	XKα2	I-132m	1,387 (15) h
29,459	5,5 (4)	XKα2	Xe-132m	8,39 (11) E-3 s
29,459	0,163 (4)	XKα2	I-133	20,87 (8) h
29,459	16,0 (4)	XKα2	Xe-133m	2,198 (13) d
29,459	0,60 (3)	XKα2	I-134	52,5 (2) min
29,459	0,128 (4)	XKα2	I-135	6,57 (2) h
29,459	3,90 (7)	XKα2	Xe-135m	15,30 (3) min
29,49 (2)	0,001 6 (2)	γ	Th-234	24,10 (3) d
29,60 (3)	0,024	γ	Fr-223	22,00 (7) min
29,60 (3)	0,005 8 (3)	γ	Th-227	18,718 (5) d
29,715 (3)	0,004 2 (22)	γ	Dy-165	2,334 (6) h
29,779	0,248 (20)	XKα1	I-126	12,93 (5) d
29,779	0,084 (8)	XKα1	I-128	24,99 (2) min
29,779	37,2 (6)	XKα1	I-129	16,1 (7) E+6 a
29,779	67,0 (15)	XKα1	Xe-129m	8,88 (2) d
29,779	2,85 (7)	XKα1	I-131*	8,0233 (19) d
29,779	28,5 (13)	XKα1	Xe-131m	11,930 (16) d
29,779	39,11 (28)	XKα1	Cs-131	9,69 (1) d
29,779	0,553 (14)	XKα1	I-132	2,295 (13) h
29,779	0,87 (14)	XKα1	I-132m	1,387 (15) h
29,779	10,2 (4)	XKα1	Xe-132m	8,39 (11) E-3 s
29,779	0,303 (6)	XKα1	I-133	20,87 (8) h
29,779	29,7 (6)	XKα1	Xe-133m	2,198 (13) d
29,779	1,11 (5)	XKα1	I-134	52,5 (2) min
29,779	0,237 (8)	XKα1	I-135	6,57 (2) h
29,779	7,22 (12)	XKα1	Xe-135m	15,30 (3) min
29,78 (3)	0,054 (17)	γ	Fr-223	22,00 (7) min
29,788 4	2,3 (3)	XKβ1	Sn-121m	55 (5) a
29,788 4	11,6 (2)	XKβ1	Te-121	19,16 (5) d
29,788 4	2,47 (23)	XKβ1	Te-121m	154 (7) d
29,788 4	0,007 8 (12)	XKβ1	Sn-125	9,64 (3) d
29,8 (1)	0,056 (9)	γ	Pa-228	22 (1) h
29,86 (1)	0,074 (11)	γ	Th-227	18,718 (5) d
29,96 (2)	0,109 (7)	γ	Pa-231	32 760 (110) a
29,965 6 (15)	14,32 (25)	γ	Ba-140	12,753 (4) d
30,04 (2)	0,000 219 (8)	γ	Pu-239	24 100 (11) a
30,3 (1)	0,021 (21)	γ	Th-229	7 340 (160) a
30,309 (8)	0,000 021 5 (18)	γ	Ag-108m	438 (9) a
30,446 6	0,49 (5)	XKβ2	Sn-121m	55 (5) a
30,446 6	2,40 (4)	XKβ2	Te-121	19,16 (5) d
30,446 6	0,51 (5)	XKβ2	Te-121m	154 (7) d
30,446 6	0,001 6 (3)	XKβ2	Sn-125	9,64 (3) d
30,5 (5)	0,56 (4)	γ	Sm-155	22,3 (2) min
30,573 (17)	0,258 (5)	γ	Tl-201	3,0421 (17) d
30,625 4	27,7 (5)	XKα2	Ba-131	11,50 (6) d
30,625 4	13,54 (24)	XKα2	Xe-133	5,2474 (5) d
30,625 4	34,0 (4)	XKα2	Ba-133	10,540 (6) a
30,625 4	8,9 (7)	XKα2	Cs-134m	2,913 (2) h
30,625 4	1,45 (7)	XKα2	Xe-135	9,14 (2) h
30,625 4	0,094 (25)	XKα2	Xe-137	3,818 (13) min
30,625 4	0,63 (3)	XKα2	Xe-138	14,08 (8) min
30,625 4	2,23 (18)	XKα2	Xe-139	39,68 (14) s
30,625 4	6,2 (4)	XKα2	Xe-140	13,6 (1) s
30,64 (2)	66 (4)	γ	Mg-28	20,91 (3) h
30,77 (20)	0,000 557 (15)	γ	Zr-93	1,53 (10) E+6 a
30,77 (2)	0,000 559 (16)	γ	Nb-93m	16,12 (15) a
30,77 (2)	0,000 50 (7)	γ	Mo-93	4 000 (800) a
30,876 (6)	0,75 (6)	γ	Au-195	186,10 (5) d
30,89 (9)	2,28 (19)	γ	Pt-195m	4,02 (1) d
30,973 1	51,4 (6)	XKα1	Ba-131	11,50 (6) d
30,973 1	25,0 (5)	XKα1	Xe-133	5,2474 (5) d
30,973 1	62,8 (7)	XKα1	Ba-133	10,540 (6) a
30,973 1	16,5 (13)	XKα1	Cs-134m	2,913 (2) h
30,973 1	2,69 (13)	XKα1	Xe-135	9,14 (2) h
30,973 1	0,174 (25)	XKα1	Xe-137	3,818 (13) min
30,973 1	1,16 (5)	XKα1	Xe-138	14,08 (8) min
30,973 1	4,1 (4)	XKα1	Xe-139	39,68 (14) s
30,973 1	11,6 (8)	XKα1	Xe-140	13,6 (1) s
31,00 (5)	0,010 (3)	γ	Pa-231	32 760 (110) a
31,058 9	5,3 (2)	XKβ1	Te-121m	154 (7) d

* : Radionucléide en équilibre avec son descendant
(Cf. liste en début de volume)

Énergie (keV)	Intensité (%)	Type	Parent	Période
31,058 9	9,0 (2)	XKβ1	I-124	4,1760 (3) d
31,058 9	11,2 (5)	XKβ1	Sb-125*	2,75855 (25) a
31,058 9	17,3 (6)	XKβ1	Te-125m	57,40 (15) d
31,058 9	21,2 (5)	XKβ1	I-125	59,407 (9) d
31,058 9	0,78 (10)	XKβ1	I-128	24,99 (2) min
31,10 (5)	0,84 (9)	γ	Th-229	7 340 (160) a
31,104 4	0,048 (2)	XKβ1	Sb-122	2,70 (1) d
31,104 4	7,43 (26)	XKβ1	Te-123m	119,3 (1) d
31,104 4	13,16 (17)	XKβ1	I-123	13,2234 (37) h
31,104 4	0,060 (3)	XKβ1	Sb-124	60,20 (3) d
31,104 4	0,235 (10)	XKβ1	Sb-126	12,4 (1) d
31,104 4	0,209 (12)	XKβ1	Sb-126m	19,15 (8) min
31,104 4	6,4 (7)	XKβ1	I-126	12,93 (5) d
31,104 4	5,4 (2)	XKβ1	Te-127m	107 (4) d
31,104 4	4,3 (15)	XKβ1	Te-129m	33,6 (1) d
31,104 4	1,8 (2)	XKβ1	Te-131m*	1,25 (8) d
31,104 4	2,06 (23)	XKβ1	Sb-132	2,79 (5) min
31,104 4	5,5 (7)	XKβ1	Sb-132m	4,10 (7) min
31,104 4	1,07 (21)	XKβ1	Te-133m	55,4 (4) min
31,131 (2)	0,068 (7)	γ	U-239	23,46 (4) min
31,14 (3)	0,048 (4)	γ	Am-243	7 370 (17) a
31,444 (7)	0,007 1 (15)	γ	Eu-155	4,753 (14) a
31,50 (5)	1,19 (5)	γ	Th-229	7 340 (160) a
31,52 (4)	0,000 25 (4)	γ	U-233	159,20 (20) E+3 a
31,54 (5)	0,007 0 (25)	γ	Pa-231	32 760 (110) a
31,57 (9)	0,068 (11)	γ	Th-229	7 340 (160) a
31,58 (1)	0,067 (11)	γ	Th-227	18,718 (5) d
31,584 (14)	0,017 (5)	γ	U-235	704 (1) E+6 a
31,737 8 (7)	0,486 (11)	γ	Ta-182	114,43 (3) d
31,762 3	1,15 (5)	XKβ2	Te-121m	154 (7) d
31,762 3	0,005 5 (2)	XKβ2	Sb-122	2,70 (1) d
31,762 3	1,61 (7)	XKβ2	Te-123m	119,3 (1) d
31,762 3	2,86 (8)	XKβ2	I-123	13,2234 (37) h
31,762 3	0,012 (1)	XKβ2	Sb-124	60,20 (3) d
31,762 3	1,95 (40)	XKβ2	I-124	4,1760 (3) d
31,762 3	2,43 (12)	XKβ2	Sb-125*	2,75855 (25) a
31,762 3	3,75 (15)	XKβ2	Te-125m	57,40 (15) d
31,762 3	4,60 (14)	XKβ2	I-125	59,407 (9) d
31,762 3	0,047 (2)	XKβ2	Sb-126	12,4 (1) d
31,762 3	0,047 (3)	XKβ2	Sb-126m	19,15 (8) min
31,762 3	1,4 (2)	XKβ2	I-126	12,93 (5) d
31,762 3	1,09 (3)	XKβ2	Te-127m	107 (4) d
31,762 3	0,16 (2)	XKβ2	I-128	24,99 (2) min
31,762 3	0,94 (32)	XKβ2	Te-129m	33,6 (1) d
31,762 3	0,36 (5)	XKβ2	Te-131m*	1,25 (8) d
31,762 3	0,47 (5)	XKβ2	Sb-132	2,79 (5) min
31,762 3	1,27 (14)	XKβ2	Sb-132m	4,10 (7) min
31,762 3	0,23 (5)	XKβ2	Te-133m	55,4 (4) min
31,817 4	0,24 (2)	XKα2	Cs-134	2,0651 (6) a
31,817 4	15,4 (6)	XKα2	Ba-135m	1,196 (8) d
31,817 4	3,17 (10)	XKα2	Cs-136	13,16 (3) d
31,817 4	8,8 (4)	XKα2	Ba-136m	308,4 (19) E-3 s
31,817 4	1,95 (4)	XKα2	Cs-137*	30,05 (8) a
31,817 4	2,06 (4)	XKα2	Ba-137m	2,552 (1) min
31,817 4	0,72 (5)	XKα2	Cs-138	33,41 (18) min
31,817 4	10,98 (22)	XKα2	La-138	102 (1) E+9 a
31,817 4	0,082 (5)	XKα2	Cs-140	1,062 (5) min
31,817 4	0,24 (4)	XKα2	Cs-143	1,791 (7) s
32,138 (16)	0,263 (5)	γ	Tl-201	3,0421 (17) d
32,147 (16)	0,055 (5)	γ	Kr-83m	1,83 (2) h
32,193 9	0,43 (4)	XKα1	Cs-134	2,0651 (6) a
32,193 9	28,4 (12)	XKα1	Ba-135m	1,196 (8) d
32,193 9	5,84 (17)	XKα1	Cs-136	13,16 (3) d
32,193 9	16,3 (7)	XKα1	Ba-136m	308,4 (19) E-3 s
32,193 9	3,59 (7)	XKα1	Cs-137*	30,05 (8) a
32,193 9	3,80 (7)	XKα1	Ba-137m	2,552 (1) min
32,193 9	0,39 (3)	XKα1	Cs-138	33,41 (18) min
32,193 9	20,3 (4)	XKα1	La-138	102 (1) E+9 a
32,193 9	0,151 (9)	XKα1	Cs-140	1,062 (5) min
32,193 9	0,43 (8)	XKα1	Cs-143	1,791 (7) s
32,359 6	11,3 (3)	XKβ1	Xe-123	2,08 (2) h
32,359 6	16,3 (3)	XKβ1	Xe-125	16,9 (2) h
32,359 6	0,015 (3)	XKβ1	Te-127	9,35 (10) h
32,359 6	0,21 (1)	XKβ1	Te-127m	107 (4) d
32,359 6	13,5 (6)	XKβ1	Xe-127	36,4 (1) d
32,359 6	0,023 (1)	XKβ1	Te-129	1,160 (5) h
32,359 6	2,0 (1)	XKβ1	Te-131	25,0 (1) min
32,359 6	2,0 (2)	XKβ1	Te-131m*	1,25 (8) d
32,359 6	11,4 (12)	XKβ1	Te-132	3,204 (13) d
32,359 6	3,63 (18)	XKβ1	I-132m	1,387 (15) h

* : Radionucléide en équilibre avec son descendant
(Cf. liste en début de volume)

Énergie (keV)	Intensité (%)	Type	Parent	Période
32,359 6	0,34 (2)	XKβ1	Te-133	12,45 (30) min
32,359 6	1,81 (12)	XKβ1	Te-133m	55,4 (4) min
32,359 6	4,7 (3)	XKβ1	Te-134	41,8 (8) min
32,4 (2)	0,000 91 (14)	γ	U-233	159,20 (20) E+3 a
32,46	0,005 (1)	γ	Np-237	2,144 (7) E+6 a
33,034 4	1,31 (19)	XKα2	Ba-139	1,384 (5) h
33,034 4	22,80 (24)	XKα2	Ce-139	137,641 (20) d
33,034 4	0,535 (11)	XKα2	Ba-140	12,753 (4) d
33,034 4	2,20 (15)	XKα2	Ba-141	18,27 (7) min
33,109 3	2,55 (6)	XKβ2	Xe-123	2,08 (2) h
33,109 3	3,7 (4)	XKβ2	Xe-125	16,9 (2) h
33,109 3	0,003 (1)	XKβ2	Te-127	9,35 (10) h
33,109 3	0,044 (2)	XKβ2	Te-127m	107 (4) d
33,109 3	2,84 (13)	XKβ2	Xe-127	36,4 (1) d
33,109 3	0,005 2 (3)	XKβ2	Te-129	1,160 (5) h
33,109 3	0,42 (3)	XKβ2	Te-131	25,0 (1) min
33,109 3	0,42 (5)	XKβ2	Te-131m*	1,25 (8) d
33,109 3	2,6 (3)	XKβ2	Te-132	3,204 (13) d
33,109 3	0,82 (4)	XKβ2	I-132m	1,387 (15) h
33,109 3	0,071 (2)	XKβ2	Te-133	12,45 (30) min
33,109 3	0,41 (3)	XKβ2	Te-133m	55,4 (4) min
33,109 3	0,98 (7)	XKβ2	Te-134	41,8 (8) min
33,195 (11)	0,074 (5)	γ	Pu-237	45,2 (1) d
33,196 3 (3)	0,130 (5)	γ	U-237	6,749 (16) d
33,196 3 (3)	0,121 (3)	γ	Am-241	432,6 (6) a
33,39 (8)	0,008 (3)	γ	Th-227	18,718 (5) d
33,442 1	2,4 (4)	XKα1	Ba-139	1,384 (5) h
33,442 1	41,9 (4)	XKα1	Ce-139	137,641 (20) d
33,442 1	0,982 (20)	XKα1	Ba-140	12,753 (4) d
33,442 1	4,1 (3)	XKα1	Ba-141	18,27 (7) min
33,46 (29)	0,29 (6)	γ	Cs-143	1,791 (7) s
33,6 (5)	0,10 (4)	γ	Ra-223	11,43 (5) d
33,622 (10)	0,29 (2)	γ	Ce-144	285,0 (2) d
33,689 3	0,073 (6)	XKβ1	I-126	12,93 (5) d
33,689 3	0,025 (2)	XKβ1	I-128	24,99 (2) min
33,689 3	10,3 (4)	XKβ1	I-129	16,1 (7) E+6 a
33,689 3	19,7 (5)	XKβ1	Xe-129m	8,88 (2) d
33,689 3	0,826 (21)	XKβ1	I-131*	8,0233 (19) d
33,689 3	8,3 (4)	XKβ1	Xe-131m	11,930 (16) d
33,689 3	11,34 (15)	XKβ1	Cs-131	9,69 (1) d
33,689 3	0,163 (4)	XKβ1	I-132	2,295 (13) h
33,689 3	0,26 (4)	XKβ1	I-132m	1,387 (15) h
33,689 3	3,0 (3)	XKβ1	Xe-132m	8,39 (11) E-3 s
33,689 3	0,087 7 (19)	XKβ1	I-133	20,87 (8) h
33,689 3	8,61 (20)	XKβ1	Xe-133m	2,198 (13) d
33,689 3	0,328 (15)	XKβ1	I-134	52,5 (2) min
33,689 3	0,070 (3)	XKβ1	I-135	6,57 (2) h
33,689 3	2,09 (4)	XKβ1	Xe-135m	15,30 (3) min
34	3,5	γ	Pu-243	4,956 (3) h
34,279 3	0,60 (1)	XKα2	La-140	1,67850 (17) d
34,30 (4)	0,002 228	γ	Pa-234	6,70 (5) h
34,487 7	0,017 (2)	XKβ2	I-126	12,93 (5) d
34,487 7	0,005 (1)	XKβ2	I-128	24,99 (2) min
34,487 7	2,30 (13)	XKβ2	I-129	16,1 (7) E+6 a
34,487 7	2,50 (7)	XKβ2	Xe-129m	8,88 (2) d
34,487 7	0,195 (7)	XKβ2	I-131*	8,0233 (19) d
34,487 7	1,95 (10)	XKβ2	Xe-131m	11,930 (16) d
34,487 7	2,68 (7)	XKβ2	Cs-131	9,69 (1) d
34,487 7	0,038 (1)	XKβ2	I-132	2,295 (13) h
34,487 7	0,06 (1)	XKβ2	I-132m	1,387 (15) h
34,487 7	0,71 (6)	XKβ2	Xe-132m	8,39 (11) E-3 s
34,487 7	0,020 7 (7)	XKβ2	I-133	20,87 (8) h
34,487 7	2,03 (7)	XKβ2	Xe-133m	2,198 (13) d
34,487 7	0,077 (4)	XKβ2	I-134	52,5 (2) min
34,487 7	0,016 5 (6)	XKβ2	I-135	6,57 (2) h
34,487 7	0,494 (14)	XKβ2	Xe-135m	15,30 (3) min
34,544 0 (28)	0,037 0 (4)	γ	U-235	704 (1) E+6 a
34,6 (1)	0,036 (6)	γ	Pa-228	22 (1) h
34,72	1,11 (2)	XKα1	La-140	1,67850 (17) d
34,99 (6)	0,004 5 (23)	γ	Fr-223	22,00 (7) min
35,053	7,31 (15)	XKβ1	Xe-133	5,2474 (5) d
35,053	18,2 (2)	XKβ1	Ba-133	10,540 (6) a
35,104 5	15,3 (3)	XKβ1	Ba-131	11,50 (6) d
35,104 5	4,9 (4)	XKβ1	Cs-134m	2,913 (2) h
35,104 5	0,80 (4)	XKβ1	Xe-135	9,14 (2) h
35,104 5	0,051 (8)	XKβ1	Xe-137	3,818 (13) min
35,104 5	0,34 (2)	XKβ1	Xe-138	14,08 (8) min
35,104 5	1,22 (12)	XKβ1	Xe-139	39,68 (14) s
35,104 5	3,45 (24)	XKβ1	Xe-140	13,6 (1) s
35,2 (3)	0,034 (25)	γ	Pm-151	1,183 (2) d

* : Radionucléide en équilibre avec son descendant
(Cf. liste en début de volume)

Énergie (keV)	Intensité (%)	Type	Parent	Période
35,489 (5)	5,79 (18)	γ	Sb-125*	2,75855 (25) a
35,489 (5)	6,54 (17)	γ	Te-125m	57,40 (15) d
35,491 9 (5)	6,67 (17)	γ	I-125	59,407 (9) d
35,550 6	4,74 (11)	XKα2	Ce-141	32,508 (10) d
35,550 6	17,7 (8)	XKα2	Ce-143	33,040 (7) h
35,550 6	2,3 (2)	XKα2	Ce-144	285,0 (2) d
35,550 6	8,7 (6)	XKα2	Pr-144m	7,2 (3) min
35,83 (3)	0,016 2 (13)	γ	Pa-231	32 760 (110) a
35,900 3	3,73 (6)	XKβ2	Ba-131	11,50 (6) d
35,900 3	1,78 (6)	XKβ2	Xe-133	5,2474 (5) d
35,900 3	4,6 (1)	XKβ2	Ba-133	10,540 (6) a
35,900 3	1,10 (9)	XKβ2	Cs-134m	2,913 (2) h
35,900 3	0,19 (1)	XKβ2	Xe-135	9,14 (2) h
35,900 3	0,012 (2)	XKβ2	Xe-137	3,818 (13) min
35,900 3	0,084 (4)	XKβ2	Xe-138	14,08 (8) min
35,900 3	0,29 (3)	XKβ2	Xe-139	39,68 (14) s
35,900 3	0,84 (6)	XKβ2	Xe-140	13,6 (1) s
36,0 (1)	0,010 4 (19)	γ	Pa-228	22 (1) h
36,026 7	8,65 (12)	XKα1	Ce-141	32,508 (10) d
36,026 7	32,3 (14)	XKα1	Ce-143	33,040 (7) h
36,026 7	4,3 (3)	XKα1	Ce-144	285,0 (2) d
36,026 7	15,9 (7)	XKα1	Pr-144m	7,2 (3) min
36,32 (2)	0,005 (1)	γ	Np-237	2,144 (7) E+6 a
36,38 (3)	0,007 4 (9)	γ	W-187	23,72 (6) h
36,445 7	0,13 (1)	XKβ1	Cs-134	2,0651 (6) a
36,445 7	8,5 (4)	XKβ1	Ba-135m	1,196 (8) d
36,445 7	1,75 (5)	XKβ1	Cs-136	13,16 (3) d
36,445 7	4,89 (21)	XKβ1	Ba-136m	308,4 (19) E-3 s
36,445 7	1,055 (22)	XKβ1	Cs-137*	30,05 (8) a
36,445 7	1,12 (2)	XKβ1	Ba-137m	2,552 (1) min
36,445 7	0,216 (15)	XKβ1	Cs-138	33,41 (18) min
36,445 7	6,08 (14)	XKβ1	La-138	102 (1) E+9 a
36,445 7	0,13 (3)	XKβ1	Cs-143	1,791 (7) s
36,65 (3)	0,017 4 (22)	γ	Ac-225	10,0 (1) d
36,847 8	14,7 (15)	XKα2	Pm-146	5,53 (5) a
36,847 8	25,2 (13)	XKα2	Pr-147	13,4 (4) min
36,85 (6)	0,012 (5)	γ	Te-131m*	1,25 (8) d
37,138 (10)	0,117 (5)	γ	Te-121	19,16 (5) d
37,138 (10)	0,94 (14)	γ	Te-121m	154 (7) d
37,15 (4)	1,85 (17)	γ	Sn-121m	55 (5) a
37,2 (10)	0,004 0 (4)	γ	Pa-228	22 (1) h
37,331 7	0,03	XKβ2	Cs-134	2,0651 (6) a
37,331 7	2,2 (1)	XKβ2	Ba-135m	1,196 (8) d
37,331 7	0,441 (14)	XKβ2	Cs-136	13,16 (3) d
37,331 7	1,23 (5)	XKβ2	Ba-136m	308,4 (19) E-3 s
37,331 7	0,266 (8)	XKβ2	Cs-137*	30,05 (8) a
37,331 7	0,28 (1)	XKβ2	Ba-137m	2,552 (1) min
37,331 7	0,054 (4)	XKβ2	Cs-138	33,41 (18) min
37,331 7	1,53 (40)	XKβ2	La-138	102 (1) E+9 a
37,331 7	0,033 (6)	XKβ2	Cs-143	1,791 (7) s
37,361 4	27,0 (26)	XKα1	Pm-146	5,53 (5) a
37,361 4	46,0 (23)	XKα1	Pr-147	13,4 (4) min
37,8 (1)	0,003 3 (17)	γ	Th-229	7 340 (160) a
37,868 7	0,72 (12)	XKβ1	Ba-139	1,384 (5) h
37,868 7	12,47 (18)	XKβ1	Ce-139	137,641 (20) d
37,868 7	1,55 (11)	XKβ1	Ba-141	18,27 (7) min
37,90 (2)	0,007 (3)	γ	Fr-223	22,00 (7) min
37,9 (1)	0,65 (16)	γ	Fr-227	2,47 (3) min
37,98 (12)	0,000 33 (5)	γ	U-233	159,20 (20) E+3 a
38,171 2	13,0 (6)	XKα2	Nd-147	10,98 (1) d
38,173	0,292 (7)	XKβ1	Ba-140	12,753 (4) d
38,19 (1)	0,160 (9)	γ	Pa-231	32 760 (110) a
38,33 (3)	0,20 (5)	γ	Xe-140	13,6 (1) s
38,53 (3)	0,013 1 (11)	γ	Ac-225	10,0 (1) d
38,54 (3)	0,003 3 (20)	γ	U-237	6,749 (16) d
38,661 (2)	0,010 47 (21)	γ	Pu-239	24 100 (11) a
38,724 7	23,6 (10)	XKα1	Nd-147	10,98 (1) d
38,822 8	0,184 (31)	XKβ2	Ba-139	1,384 (5) h
38,822 8	3,16 (8)	XKβ2	Ce-139	137,641 (20) d
38,822 8	0,39 (3)	XKβ2	Ba-141	18,27 (7) min
39,156 1	0,074 (2)	XKβ2	Ba-140	12,753 (4) d
39,325 8	0,301 (13)	XKβ1	La-140	1,67850 (17) d
39,522 9	0,035 7 (20)	XKα2	Pm-146	5,53 (5) a
39,522 9	23,1 (9)	XKα2	Eu-150	36,9 (9) a
39,522 9	8,5 (4)	XKα2	Pm-151	1,183 (2) d
39,522 9	20,8 (3)	XKα2	Eu-152	13,522 (16) a
39,522 9	6,1 (7)	XKα2	Eu-152m	9,3116 (13) h
39,522 9	0,006 (4)	XKα2	Eu-154	8,601 (4) a
39,578 (4)	7,42 (8)	γ	I-129	16,1 (7) E+6 a
39,58 (3)	7,5 (2)	γ	Xe-129m	8,88 (2) d

* : Radionucléide en équilibre avec son descendant
(Cf. liste en début de volume)

Énergie (keV)	Intensité (%)	Type	Parent	Période
39,73 (3)	0,002 4 (17)	γ	Pa-231	32 760 (110) a
39,752 (6)	0,070 (3)	γ	Ru-103*	39,255 (8) d
39,756 (6)	0,069 (4)	γ	Rh-103m	56,115 (6) min
39,756 (6)	0,069 8 (35)	γ	Pd-103	16,964 (10) d
39,858 (4)	1,01 (3)	γ	Bi-212	60,54 (6) min
39,9 (3)	0,002 9 (10)	γ	Xe-123	2,08 (2) h
39,9 (1)	0,29 (3)	γ	Te-133m	55,4 (4) min
39,97 (2)	0,013 (3)	γ	Pa-231	32 760 (110) a
40 (1)	30,0 (7)	γ	Ra-225	14,9 (2) d
40,118 6	0,065 (4)	XKα1	Pm-146	5,53 (5) a
40,118 6	41,8 (15)	XKα1	Eu-150	36,9 (9) a
40,118 6	15,3 (6)	XKα1	Pm-151	1,183 (2) d
40,118 6	37,7 (5)	XKα1	Eu-152	13,522 (16) a
40,118 6	11,0 (12)	XKα1	Eu-152m	9,3116 (13) h
40,118 6	0,010 (8)	XKα1	Eu-154	8,601 (4) a
40,20 (3)	0,015 (4)	γ	Th-227	18,718 (5) d
40,285	0,098 (2)	XKβ2	La-140	1,67850 (17) d
40,349 (5)	0,029 (4)	γ	Pa-233	26,98 (2) d
40,41 (5)	0,000 163 (16)	γ	Pu-239	24 100 (11) a
40,583 23 (17)	1,022 (27)	γ	Mo-99*	2,7479 (6) d
40,75 (20)	0,002 0 (6)	γ	W-187	23,72 (6) h
40,817 3	2,63 (5)	XKβ1	Ce-141	32,508 (10) d
40,817 3	9,89 (44)	XKβ1	Ce-143	33,040 (7) h
40,817 3	1,3 (1)	XKβ1	Ce-144	285,0 (2) d
40,817 3	4,87 (22)	XKβ1	Pr-144m	7,2 (3) min
40,89 (5)	0,39 (6)	γ	Ce-144	285,0 (2) d
40,902 4	0,000 12 (2)	XKα2	Sm-151	90 (6) a
40,902 4	16,6 (4)	XKα2	Sm-153	1,92855 (5) d
40,902 4	34,5 (9)	XKα2	Gd-153	240,4 (10) d
40,902 4	5,0 (2)	XKα2	Sm-155	22,3 (2) min
41,06 (5)	0,006 4 (8)	γ	Ca-47	4,536 (2) d
41,1 (1)	0,010 8 (21)	γ	Pa-228	22 (1) h
41,18 (7)	0,000 5 (5)	γ	Os-193	1,2546 (4) d
41,4 (3)	0,03 (2)	γ	U-235	704 (1) E+6 a
41,542 7	30,0 (7)	XKα1	Sm-153	1,92855 (5) d
41,542 7	62,2 (15)	XKα1	Gd-153	240,4 (10) d
41,542 7	9,1 (4)	XKα1	Sm-155	22,3 (2) min
41,663 (10)	0,014 (3)	γ	Pa-233	26,98 (2) d
41,8 (2)	0,76 (10)	γ	Pu-243	4,956 (3) h
41,82 (11)	0,15	γ	Pa-234	6,70 (5) h
41,846 (22)	0,005 1 (3)	γ	Os-191	15,4 (1) d
41,846 (22)	0,005 1 (3)	γ	Ir-191m	4,94 (3) s
41,873	0,674 (18)	XKβ2	Ce-141	32,508 (10) d
41,873	2,54 (11)	XKβ2	Ce-143	33,040 (7) h
41,873	0,35 (3)	XKβ2	Ce-144	285,0 (2) d
41,873	1,24 (6)	XKβ2	Pr-144m	7,2 (3) min
41,93 (5)	0,028 (13)	γ	Th-227	18,718 (5) d
41,93 (5)	0,000 163 (8)	γ	Pu-239	24 100 (11) a
41,95 (3)	0,35 (4)	γ	Cm-245	8 480 (60) a
41,960 (15)	0,06 (1)	γ	U-235	704 (1) E+6 a
42,2 (5)	0,076 (7)	γ	Pu-243	4,956 (3) h
42,29 (5)	0,074 (22)	γ	W-185m	1,67 (3) min
42,3 (1)	0,082 (9)	γ	Th-229	7 340 (160) a
42,308 9	0,030 (4)	XKα2	Eu-152m	9,3116 (13) h
42,309 3	0,243 (7)	XKα2	Eu-152	13,522 (16) a
42,309 3	7,2 (2)	XKα2	Eu-154	8,601 (4) a
42,309 3	6,70 (13)	XKα2	Eu-155	4,753 (14) a
42,309 3	3,6 (5)	XKα2	Eu-156	15,19 (8) d
42,339 6	8,3 (9)	XKβ1	Pm-146	5,53 (5) a
42,339 6	14,2 (8)	XKβ1	Pr-147	13,4 (4) min
42,44	0,001 5 (6)	γ	Pa-228	22 (1) h
42,44 (2)	0,086 2 (13)	γ	U-233	159,20 (20) E+3 a
42,46 (5)	0,009 (3)	γ	Ac-228	6,15 (2) h
42,48 (5)	0,006 0 (13)	γ	Pa-231	32 760 (110) a
42,63 (4)	0,001 1 (2)	γ	Ru-103*	39,255 (8) d
42,704 (5)	0,008 5	γ	U-237	6,749 (16) d
42,704 (5)	0,005 5 (11)	γ	Am-241	432,6 (6) a
42,715 1 (4)	0,278 (6)	γ	Ta-182	114,43 (3) d
42,73 (5)	0,003 0 (1)	γ	Pu-237	45,2 (1) d
42,8	0,11 (4)	γ	Np-240	61,9 (2) min
42,82 (5)	0,164 (11)	γ	Th-229	7 340 (160) a
42,824 (8)	0,025 8 (7)	γ	Cm-244	18,11 (3) a
42,86 (7)	0,059 (3)	γ	Th-231	1,0633 (4) d
42,88 (20)	0,06 (6)	γ	Am-245	2,05 (1) h
42,996 7	0,437 (12)	XKα1	Eu-152	13,522 (16) a
42,996 7	0,054 (6)	XKα1	Eu-152m	9,3116 (13) h
42,996 7	13,0 (3)	XKα1	Eu-154	8,601 (4) a
42,996 7	12,05 (23)	XKα1	Eu-155	4,753 (14) a
42,996 7	6,5 (9)	XKα1	Eu-156	15,19 (8) d
43,05 (5)	0,007 0 (6)	γ	Pa-231	32 760 (110) a

* : Radionucléide en équilibre avec son descendant
(Cf. liste en début de volume)

Énergie (keV)	Intensité (%)	Type	Parent	Période
43,1	0,015 2	Y	U-239	23,46 (4) min
43,1	0,065	Y	Am-243	7 370 (17) a
43,3 (1)	0,048 (8)	Y	Pa-228	22 (1) h
43,399 (25)	0,015 2 (4)	Y	Cf-252	2,6470 (26) a
43,420 (3)	0,024 (2)	Y	U-237	6,749 (16) d
43,420 (3)	0,069 (5)	Y	Am-241	432,6 (6) a
43,423 (10)	0,003 94 (18)	Y	Pu-237	45,2 (1) d
43,444 7	2,1 (3)	XKβ2	Pm-146	5,53 (5) a
43,444 7	3,6 (2)	XKβ2	Pr-147	13,4 (4) min
43,49 (2)	0,12	Y	Pa-234	6,70 (5) h
43,498 (1)	0,001 86 (20)	Y	Pa-234m	1,17 (3) min
43,498 (1)	0,039 7 (8)	Y	Pu-238	87,74 (3) a
43,53 (2)	5,89 (10)	Y	Am-243	7 370 (17) a
43,533 (1)	4,5 (5)	Y	U-239	23,46 (4) min
43,66 (5)	0,002 0 (6)	Y	W-187	23,72 (6) h
43,744 7	6,09 (25)	XKα2	Gd-159	18,479 (7) h
43,77 (5)	0,208 (16)	Y	Th-227	18,718 (5) d
43,8 (5)	0,054 (22)	Y	Th-227	18,718 (5) d
43,81 (3)	0,060 (7)	Y	Tb-161	6,906 (19) d
43,894 7	7,1 (3)	XKβ1	Nd-147	10,98 (1) d
43,9 (4)	0,013 (9)	Y	Te-134	41,8 (8) min
43,99 (1)	0,66 (4)	Y	Th-229	7 340 (160) a
44,08 (17)	0,000 7 (3)	Y	Th-231	1,0633 (4) d
44,08 (3)	0,033 0 (7)	Y	Cm-242	162,86 (8) d
44,1 (7)	1,05 (5)	Y	U-240	14,1 (1) h
44,15 (1)	0,065 (7)	Y	Pa-231	32 760 (110) a
44,18 (3)	0,000 004 2 (2)	Y	Pu-241	14,33 (4) a
44,2 (4)	0,22 (3)	Y	Kr-79	35,04 (10) h
44,22 (12)	0,052 (13)	Y	Th-227	18,718 (5) d
44,40 (5)	0,016 (10)	Y	Th-227	18,718 (5) d
44,482 1	10,9 (5)	XKα1	Gd-159	18,479 (7) h
44,52 (2)	0,013 8 (6)	Y	Am-242	16,02 (2) h
44,545 (9)	0,027 9 (8)	Y	Cm-246	4 723 (27) a
44,63 (10)	0,016 1 (9)	Y	Np-236	155 (8) E+3 a
44,63 (10)	0,015 (5)	Y	Np-236m	22,5 (4) h
44,663 (5)	0,13 (1)	Y	Np-239	2,356 (3) d
44,663 (5)	0,12 (2)	Y	Cm-243	29,1 (1) a
44,7 (2)	0,001 10 (13)	Y	Pd-109	13,7 (1) h
44,915 (13)	0,037 6 (8)	Y	Pu-242	373 (3) E+3 a
45,054 3	2,0 (1)	XKβ2	Nd-147	10,98 (1) d
45,208 3	5,98 (16)	XKα2	Tb-160	72,3 (2) d
45,208 3	6,28 (29)	XKα2	Tb-161	6,906 (19) d
45,242 (3)	0,149 (3)	Y	Np-236	155 (8) E+3 a
45,242 (3)	0,016 (5)	Y	Np-236m	22,5 (4) h
45,242 (3)	0,045 0 (9)	Y	Pu-240	6 561 (7) a
45,299 (1)	1,31 (5)	Y	Eu-155	4,753 (14) a
45,45 (5)	0,027	Y	Pa-234	6,70 (5) h
45,477 7	0,020 (2)	XKβ1	Pm-146	5,53 (5) a
45,477 7	13,1 (6)	XKβ1	Eu-150	36,9 (9) a
45,477 7	4,78 (21)	XKβ1	Pm-151	1,183 (2) d
45,477 7	11,78 (19)	XKβ1	Eu-152	13,522 (16) a
45,477 7	3,4 (4)	XKβ1	Eu-152m	9,3116 (13) h
45,477 7	0,003 (2)	XKβ1	Eu-154	8,601 (4) a
45,8	0,002 9	Y	Pu-243	4,956 (3) h
45,89 (10)	0,016 (7)	Y	Xe-140	13,6 (1) s
45,999	10,69 (27)	XKα1	Tb-160	72,3 (2) d
45,999	11,2 (5)	XKα1	Tb-161	6,906 (19) d
46,21 (5)	0,000 726 (13)	Y	Pu-239	24 100 (11) a
46,24 (5)	0,004 4 (22)	Y	Ac-225	10,0 (1) d
46,35 (2)	0,223 (9)	Y	Pa-231	32 760 (110) a
46,484 (1)	6,13 (17)	Y	W-183m	5,2 (3) s
46,5 (2)	0,004 0 (4)	Y	Pa-228	22 (1) h
46,52 (4)	0,020 5 (21)	Y	Th-229	7 340 (160) a
46,53 (6)	0,107 (6)	Y	Np-237	2,144 (7) E+6 a
46,539 (1)	4,252 (40)	Y	Pb-210	22,23 (12) a
46,68 (3)	0,000 050 (6)	Y	Pu-239	24 100 (11) a
46,697 7	0,005 2 (4)	XKβ2	Pm-146	5,53 (5) a
46,697 7	3,4 (2)	XKβ2	Eu-150	36,9 (9) a
46,697 7	1,23 (6)	XKβ2	Pm-151	1,183 (2) d
46,697 7	3,04 (8)	XKβ2	Eu-152	13,522 (16) a
46,697 7	0,89 (10)	XKβ2	Eu-152m	9,3116 (13) h
46,697 7	0,001	XKβ2	Eu-154	8,601 (4) a
46,700 2	2,7 (3)	XKα2	Dy-165	2,334 (6) h
47,05 (3)	0,002 7	Y	Os-191	15,4 (1) d
47,05 (3)	0,002 70 (23)	Y	Ir-191m	4,94 (3) s
47,105 1	0,000 031 (9)	XKβ1	Sm-151	90 (6) a
47,105 1	9,45 (25)	XKβ1	Sm-153	1,92855 (5) d
47,105 1	19,6 (6)	XKβ1	Gd-153	240,4 (10) d
47,105 1	2,86 (14)	XKβ1	Sm-155	22,3 (2) min
47,47 (1)	0,22 (2)	Y	Te-133m	55,4 (4) min

* : Radionucléide en équilibre avec son descendant
(Cf. liste en début de volume)

Énergie (keV)	Intensité (%)	Type	Parent	Période
47,547 3	4,7 (5)	XKα1	Dy-165	2,334 (6) h
47,6	0,069 (21)	γ	Pu-236	2,87 (1) a
47,60 (3)	0,000 062 5 (25)	γ	Pu-239	24 100 (11) a
47,65 (5)	0,21 (4)	γ	Pa-232	1,31 (2) d
47,75 (3)	0,048 (10)	γ	Xe-140	13,6 (1) s
48,221 2	0,332 (16)	XKα2	Tm-170	127,8 (6) d
48,221 5	2,91 (10)	XKα2	Ho-166	26,795 (29) h
48,221 5	10,81 (21)	XKα2	Ho-166m	1 200 (180) a
48,30 (3)	0,014 (5)	γ	Th-227	18,718 (5) d
48,38	2,44 (8)	XKβ2	Sm-153	1,92855 (5) d
48,38	5,05 (17)	XKβ2	Gd-153	240,4 (10) d
48,38	0,74 (4)	XKβ2	Sm-155	22,3 (2) min
48,6 (1)	0,016 (3)	γ	Pa-228	22 (1) h
48,768 7	0,138 (4)	XKβ1	Eu-152	13,522 (16) a
48,768 7	0,017 (2)	XKβ1	Eu-152m	9,3116 (13) h
48,768 7	4,1 (1)	XKβ1	Eu-154	8,601 (4) a
48,768 7	3,84 (11)	XKβ1	Eu-155	4,753 (14) a
48,768 7	2,0 (3)	XKβ1	Eu-156	15,19 (8) d
48,915 33 (5)	17,0 (9)	γ	Tb-161	6,906 (19) d
49,09 (5)	0,007 6 (22)	γ	Ac-225	10,0 (1) d
49,1 (20)	0,007 (2)	γ	U-240	14,1 (1) h
49,127 6	0,059 0 (24)	XKα1	Tm-170	127,8 (6) d
49,128 2	5,16 (17)	XKα1	Ho-166	26,795 (29) h
49,128 2	19,2 (4)	XKα1	Ho-166m	1 200 (180) a
49,415 (3)	0,145 (35)	γ	Np-239	2,356 (3) d
49,55 (6)	0,069 7 (26)	γ	U-238	4,468 (5) E+9 a
49,57 (5)	0,065 (4)	γ	Rb-81*	4,25 (25) h
49,57 (5)	0,74 (9)	γ	Rb-81m	30,25 (25) min
49,59 (3)	0,040 (9)	γ	Pt-191	2,802 (25) d
49,72 (1)	15,0 (6)	γ	Te-132	3,204 (13) d
49,75 (8)	0,021 5 (21)	γ	Th-229	7 340 (160) a
49,773 1	52,9 (8)	XKα2	Yb-169	32,018 (5) d
49,8 (1)	0,005 4 (12)	γ	Pa-228	22 (1) h
49,82 (5)	0,42 (9)	γ	Th-227	18,718 (5) d
49,826 80 (16)	0,360 (11)	γ	Au-199	3,139 (7) d
49,89 (7)	2,7 (11)	γ	Fr-223	22,00 (7) min
49,9 (1)	5,6 (4)	γ	Pr-147	13,4 (4) min
50,0 (2)	0,08 (6)	γ	Te-133m	55,4 (4) min
50,093	0,036 3 (13)	XKβ2	Eu-152	13,522 (16) a
50,093	0,004 5 (5)	XKβ2	Eu-152m	9,3116 (13) h
50,093	1,08 (3)	XKβ2	Eu-154	8,601 (4) a
50,093	0,977 (26)	XKβ2	Eu-155	4,753 (14) a
50,093	0,54 (8)	XKβ2	Eu-156	15,19 (8) d
50,104 (5)	36 (8)	γ	Fr-223	22,00 (7) min
50,13 (1)	8,2 (5)	γ	Th-227	18,718 (5) d
50,3 (20)	0,005 (1)	γ	U-240	14,1 (1) h
50,306 5	3,49 (15)	XKβ1	Gd-159	18,479 (7) h
50,6	0,006 2 (10)	γ	Am-243	7 370 (17) a
50,741 7	93,5 (13)	XKα1	Yb-169	32,018 (5) d
50,82 (3)	1,66 (20)	γ	Xe-140	13,6 (1) s
50,85 (5)	0,015 (6)	γ	Th-227	18,718 (5) d
50,9 (1)	0,001 55 (12)	γ	Pa-231	32 760 (110) a
50,99 (4)	0,017 (5)	γ	Th-229	7 340 (160) a
51,01 (3)	0,36 (7)	γ	U-237	6,749 (16) d
51,01 (3)	0,000 026 (12)	γ	Am-241	432,6 (6) a
51,22 (1)	0,034 (7)	γ	U-235	704 (1) E+6 a
51,354 6	0,95 (4)	XKα2	Tm-170	127,8 (6) d
51,51 (40)	0,003 4 (1)	γ	Yb-169	32,018 (5) d
51,624 (1)	0,026 94 (26)	γ	Pu-239	24 100 (11) a
51,786 5	0,90 (5)	XKβ2	Gd-159	18,479 (7) h
51,8 (1)	0,027 (4)	γ	Pa-228	22 (1) h
51,8 (5)	0,000 4 (2)	γ	Pa-233	26,98 (2) d
52,0 (2)	0,009 0 (19)	γ	Pa-228	22 (1) h
52,1 (2)	0,006 0 (14)	γ	Pa-228	22 (1) h
52,191	3,43 (10)	XKβ1	Tb-160	72,3 (2) d
52,191	3,60 (17)	XKβ1	Tb-161	6,906 (19) d
52,389 5	1,67 (7)	XKα1	Tm-170	127,8 (6) d
52,595 (1)	6,76 (21)	γ	W-183m	5,2 (3) s
52,62 (10)	0,000 23 (4)	γ	U-233	159,20 (20) E+3 a
52,73 (2)	0,085 (5)	γ	Pa-231	32 760 (110) a
52,965 6	1,05 (14)	XKα2	Yb-175	4,185 (1) d
52,965 6	26,6 (14)	XKα2	Hf-175	70 (2) d
52,965 6	5,18 (17)	XKα2	Lu-177m	160,4 (3) d
53,1 (2)	0,000 7 (4)	γ	Nd-147	10,98 (1) d
53,1 (4)	0,015 (6)	γ	Sm-155	22,3 (2) min
53,1 (1)	0,008 0 (15)	γ	Pa-228	22 (1) h
53,162 2 (6)	2,14 (3)	γ	Ba-133	10,540 (6) a
53,20 (2)	0,125 3 (40)	γ	U-234	245,5 (6) E+3 a
53,227 5 (21)	1,060 (7)	γ	Pb-214	26,8 (9) min
53,274 (10)	0,376 (18)	γ	Ru-103*	39,255 (8) d

* : Radionucléide en équilibre avec son descendant
(Cf. liste en début de volume)

Énergie (keV)	Intensité (%)	Type	Parent	Période
53,285 (15)	0,000 007 2 (20)	γ	Pd-103	16,964 (10) d
53,432 (10)	0,095 (5)	γ	Ce-144	285,0 (2) d
53,608 (2)	0,004 1 (3)	γ	U-233	159,20 (20) E+3 a
53,635 3	0,892 (30)	XKβ2	Tb-160	72,3 (2) d
53,635 3	0,94 (5)	XKβ2	Tb-161	6,906 (19) d
53,74 (6)	0,067 (9)	γ	Cm-245	8 480 (60) a
53,75 (20)	0,011 (3)	γ	Th-229	7 340 (160) a
53,81 (3)	0,014 5 (25)	γ	Fr-221	4,79 (2) min
53,945 3	1,5 (2)	XKβ1	Dy-165	2,334 (6) h
54 (1)	0,012 (12)	γ	Pu-243	4,956 (3) h
54,039 (8)	0,000 194 3 (28)	γ	Pu-239	24 100 (11) a
54,070 4	1,84 (23)	XKα1	Yb-175	4,185 (1) d
54,070 4	46,7 (23)	XKα1	Hf-175	70 (2) d
54,070 4	9,1 (3)	XKα1	Lu-177m	160,4 (3) d
54,1 (1)	0,001	γ	U-235	704 (1) E+6 a
54,19 (4)	0,006 3 (13)	γ	Th-227	18,718 (5) d
54,193 6 (12)	0,001 9 (4)	γ	Sm-153	1,92855 (5) d
54,2 (1)	0,024 (5)	γ	Pa-228	22 (1) h
54,25 (5)	0,03	γ	U-235	704 (1) E+6 a
54,60 (2)	0,077 (5)	γ	Pa-231	32 760 (110) a
54,612	9,4 (5)	XKα2	Lu-176	37,90 (30) E+9 a
54,612	2,9 (2)	XKα2	Lu-176m	3,635 (12) h
54,612	1,59 (3)	XKα2	Lu-177	6,647 (4) d
54,612	33,1 (8)	XKα2	Lu-177m	160,4 (3) d
54,612	23,9 (21)	XKα2	Ta-178	9,29 (4) min
54,699 (1)	0,018 2 (3)	γ	U-233	159,20 (20) E+3 a
54,889 (5)	0,102 (3)	γ	Ba-131	11,50 (6) d
54,96 (10)	0,01	γ	Pa-234	6,70 (5) h
54,968 (12)	6,80 (17)	γ	Xe-125	16,9 (2) h
55,03	0,001	γ	Ac-227	21,772 (3) a
55,11 (3)	0,002 7 (5)	γ	Th-229	7 340 (160) a
55,15 (20)	1,78 (10)	γ	Lu-177m	160,4 (3) d
55,18	0,000 083 6 (20)	γ	U-239	23,46 (4) min
55,18	0,016 8 (11)	γ	Am-243	7 370 (17) a
55,278 (5)	2,3 (3)	γ	Re-184m	169 (8) d
55,45 (5)	0,027	γ	Pa-234	6,70 (5) h
55,458	0,39 (4)	XKβ2	Dy-165	2,334 (6) h
55,55 (2)	0,018 1 (18)	γ	Am-241	432,6 (6) a
55,56 (20)	0,000 8 (8)	γ	Pu-237	45,2 (1) d
55,7 (3)	0,11 (3)	γ	Xe-139	39,68 (14) s
55,739	1,68 (6)	XKβ1	Ho-166	26,795 (29) h
55,739	6,24 (14)	XKβ1	Ho-166m	1 200 (180) a
55,790 9	16,4 (7)	XKα1	Lu-176	37,90 (30) E+9 a
55,790 9	5,0 (3)	XKα1	Lu-176m	3,635 (12) h
55,790 9	2,78 (6)	XKα1	Lu-177	6,647 (4) d
55,790 9	58,0 (12)	XKα1	Lu-177m	160,4 (3) d
55,790 9	41,7 (38)	XKα1	Ta-178	9,29 (4) min
55,815 4	0,019 1 (10)	XKβ1	Tm-170	127,8 (6) d
56,00 (6)	0,004 8 (2)	γ	Th-227	18,718 (5) d
56,278	7,9 (7)	XKα2	W-178	21,6 (3) d
56,278	9,08 (24)	XKα2	Hf-181	42,39 (6) d
56,278	18,8 (21)	XKα2	W-181	121,2 (2) d
56,278	28,3 (13)	XKα2	Ta-182m	15,84 (10) min
56,30 (12)	0,000 002 5 (2)	γ	Pu-241	14,33 (4) a
56,42 (7)	0,009 (8)	γ	Th-227	18,718 (5) d
56,518 (5)	0,287 (21)	γ	Th-229	7 340 (160) a
56,6 (5)	0,000 4	γ	Np-236	155 (8) E+3 a
56,76 (4)	0,006 1 (14)	γ	Pa-231	32 760 (110) a
56,76 (10)	0,000 001 0 (1)	γ	Pu-241	14,33 (4) a
56,81 (6)	0,036 (5)	γ	Cm-245	8 480 (60) a
56,828 (3)	0,001 136 (15)	γ	Pu-239	24 100 (11) a
56,86 (3)	0,099 (7)	γ	Pa-228	22 (1) h
56,96 (5)	0,019 (4)	γ	Ac-228	6,15 (2) h
57,07 (6)	0,007 (3)	γ	Fr-223	22,00 (7) min
57,10 (2)	0,054	γ	Th-233	22,15 (15) min
57,104 (20)	0,372 (16)	γ	Np-237	2,144 (7) E+6 a
57,19 (3)	0,029 9 (31)	γ	Pa-231	32 760 (110) a
57,191 7 (3)	1,78 (10)	γ	Tb-161	6,906 (19) d
57,273 (4)	0,12 (3)	γ	Np-239	2,356 (3) d
57,3	0,01	γ	Np-239	2,356 (3) d
57,303 7	0,005 0 (3)	XKβ2	Tm-170	127,8 (6) d
57,326 3	0,436 (18)	XKβ2	Ho-166	26,795 (29) h
57,326 3	1,62 (5)	XKβ2	Ho-166m	1 200 (180) a
57,356 (7)	11,7 (4)	γ	Ce-143	33,040 (7) h
57,533	13,9 (13)	XKα1	W-178	21,6 (3) d
57,533	15,8 (4)	XKα1	Hf-181	42,39 (6) d
57,533	33 (4)	XKα1	W-181	121,2 (2) d
57,533	49,3 (22)	XKα1	Ta-182m	15,84 (10) min
57,581 7	30,6 (6)	XKβ1	Yb-169	32,018 (5) d
57,60 (2)	0,030 (2)	γ	Te-127	9,35 (10) h

* : Radionucléide en équilibre avec son descendant
(Cf. liste en début de volume)

Énergie (keV)	Intensité (%)	Type	Parent	Période	
57,60 (2)	0,50 (5)	γ	Te-127m	107 (4)	d
57,61 (2)	1,29 (8)	γ	Xe-127	36,4 (1)	d
57,75 (5)	0,004 4 (22)	γ	Ac-225	10,0 (1)	d
57,759 (4)	0,47 (3)	γ	Ac-228	6,15 (2)	h
57,76 (20)	0,51 (4)	γ	Pa-228	22 (1)	h
57,78 (5)	0,200 (2)	γ	U-232	70 (1)	a
57,85 (5)	0,005 2 (15)	γ	Am-241	432,6 (6)	a
57,864 (5)	0,013 9 (25)	γ	Dy-165	2,334 (6)	h
57,982 3	10,56 (23)	XKα2	Ta-182	114,43 (3)	d
57,982 3	37,0 (14)	XKα2	W-183m	5,2 (3)	s
57,982 3	25,4 (8)	XKα2	Re-184	38,0 (5)	d
57,982 3	8,3 (5)	XKα2	Re-184m	169 (8)	d
57,982 3	2,37 (13)	XKα2	W-185m	1,67 (3)	min
57,982 3	1,736 (30)	XKα2	Re-186	3,7186 (17)	d
57,989 (1)	0,067 (6)	γ	Eu-155	4,753 (14)	a
58,000 0 (22)	2,49 (7)	γ	Gd-159	18,479 (7)	h
58,20 (6)	0,009	γ	Pa-234	6,70 (5)	h
58,4	0,003 9 (4)	γ	Eu-154	8,601 (4)	a
58,570 0 (24)	0,462 (25)	γ	Th-231	1,0633 (4)	d
58,57 (2)	0,000 008 (3)	γ	Np-235	1,084 (3)	a
58,60 (2)	2,1 (2)	γ	Co-60m	10,47 (4)	min
58,92 (5)	0,083 (9)	γ	Pb-201	9,33 (3)	h
59,03 (3)	0,001 2 (2)	γ	Ce-144	285,0 (2)	d
59,03 (3)	0,08	γ	Pr-144m	7,2 (3)	min
59,19 (5)	0,032	γ	Pa-234	6,70 (5)	h
59,222 3	7,95 (21)	XKβ2	Yb-169	32,018 (5)	d
59,243 (12)	0,022 2 (24)	γ	Tb-161	6,906 (19)	d
59,318 9	18,4 (4)	XKα1	Ta-182	114,43 (3)	d
59,318 9	64,3 (24)	XKα1	W-183m	5,2 (3)	s
59,318 9	44,2 (14)	XKα1	Re-184	38,0 (5)	d
59,318 9	14,4 (9)	XKα1	Re-184m	169 (8)	d
59,318 9	4,13 (23)	XKα1	W-185m	1,67 (3)	min
59,318 9	3,02 (5)	XKα1	Re-186	3,7186 (17)	d
59,36 (6)	0,006 (3)	γ	Fr-223	22,00 (7)	min
59,4 (1)	0,008 (2)	γ	Rb-81*	4,25 (25)	h
59,434	0,55 (3)	XKβ1	Tm-170	127,8 (6)	d
59,540 9 (1)	34,1 (8)	γ	U-237	6,749 (16)	d
59,540 9 (1)	35,78 (9)	γ	Am-241	432,6 (6)	a
59,541 2 (20)	3,28 (18)	γ	Pu-237	45,2 (1)	d
59,6 (5)	0,010 (4)	γ	Th-227	18,718 (5)	d
59,718 6	0,396 (16)	XKα2	Re-184m	169 (8)	d
59,718 6	0,012 0 (6)	XKα2	W-185	75,1 (3)	d
59,718 6	20,1 (7)	XKα2	Os-185	93,6 (5)	d
59,718 6	7,2 (3)	XKα2	W-187	23,72 (6)	h
59,718 6	0,050 (9)	XKα2	W-188	69,78 (5)	d
59,718 6	18,2 (20)	XKα2	Re-188m	18,6 (1)	min
59,8 (3)	0,002 8 (11)	γ	Pa-228	22 (1)	h
59,93 (4)	0,024 7 (25)	γ	Pm-151	1,183 (2)	d
60	0,008 8 (11)	γ	Am-245	2,05 (1)	h
60,008 6 (10)	1,22 (5)	γ	Eu-155	4,753 (14)	a
60,3 (2)	0,020 (14)	γ	Pa-228	22 (1)	h
60,50 (3)	0,006 5 (11)	γ	Pa-231	32 760 (110)	a
61,00 (8)	0,007 0 (23)	γ	Pm-151	1,183 (2)	d
61,141	0,69 (3)	XKα1	Re-184m	169 (8)	d
61,141	0,020 8 (10)	XKα1	W-185	75,1 (3)	d
61,141	34,8 (12)	XKα1	Os-185	93,6 (5)	d
61,141	12,5 (5)	XKα1	W-187	23,72 (6)	h
61,141	0,087 (15)	XKα1	W-188	69,78 (5)	d
61,141	32 (4)	XKα1	Re-188m	18,6 (1)	min
61,143 3	0,144 (7)	XKβ2	Tm-170	127,8 (6)	d
61,355	0,60 (8)	XKβ1	Yb-175	4,185 (1)	d
61,355	15,4 (8)	XKβ1	Hf-175	70 (2)	d
61,355	3,0 (2)	XKβ1	Lu-177m	160,4 (3)	d
61,44 (2)	0,088 (11)	γ	Th-227	18,718 (5)	d
61,460 (2)	1,29 (2)	γ	Np-239	2,356 (3)	d
61,487 3	1,13 (4)	XKα2	Re-186	3,7186 (17)	d
61,487 3	1,36 (9)	XKα2	Re-188	17,005 (4)	h
61,487 3	1,211 (25)	XKα2	Ir-192	73,827 (13)	d
61,5 (1)	0,006 0 (12)	γ	Pa-228	22 (1)	h
61,55 (6)	0,224 (23)	γ	Sm-155	22,3 (2)	min
62,31 (6)	0,018 (7)	γ	Fr-223	22,00 (7)	min
62,41 (3)	0,001	γ	Ru-103*	39,255 (8)	d
62,41 (3)	0,000 78 (23)	γ	Pd-103	16,964 (10)	d
62,45 (5)	0,20 (3)	γ	Th-227	18,718 (5)	d
62,5 (10)	0,011 6 (7)	γ	Bi-214	19,9 (4)	min
62,5 (1)	0,007 2 (14)	γ	Pa-228	22 (1)	h
62,59 (10)	0,006 (2)	γ	Np-237	2,144 (7) E+6	a
62,68 (3)	0,007 (3)	γ	Th-227	18,718 (5)	d
62,7 (1)	0,4 (2)	γ	Te-131m*	1,25 (8)	d
62,70 (1)	1,5	γ	Pa-234	6,70 (5)	h

* : Radionucléide en équilibre avec son descendant
(Cf. liste en début de volume)

Énergie (keV)	Intensité (%)	Type	Parent	Période
62,70 (1)	0,001 3 (5)	γ	Pa-234m	1,17 (3) min
62,86 (2)	0 (8)	γ	Th-234	24,10 (3) d
62,91 (20)	0,207 (18)	γ	Pm-151	1,183 (2) d
62,95 (3)	0,447 (22)	γ	Ac-225	10,0 (1) d
63,001 1	1,94 (6)	XKα1	Re-186	3,7186 (17) d
63,001 1	2,35 (16)	XKα1	Re-188	17,005 (4) h
63,001 1	2,09 (5)	XKα1	Ir-192	73,827 (13) d
63,1 (5)	0,011 (4)	γ	Sm-155	22,3 (2) min
63,120 44 (4)	44,05 (24)	γ	Yb-169	32,018 (5) d
63,123 3	0,16 (2)	XKβ2	Yb-175	4,185 (1) d
63,123 3	4,05 (20)	XKβ2	Hf-175	70 (2) d
63,123 3	0,79 (4)	XKβ2	Lu-177m	160,4 (3) d
63,184 (13)	0,000 029 (15)	γ	Ba-140	12,753 (4) d
63,2 (5)	0,055 (15)	γ	Ra-223	11,43 (5) d
63,283 (6)	4,8 (6)	γ	Th-234	24,10 (3) d
63,287 3	17,9 (14)	XKα2	Os-191	15,4 (1) d
63,287 3	17,9 (14)	XKα2	Ir-191m	4,94 (3) s
63,287 3	39 (3)	XKα2	Pt-191	2,802 (25) d
63,287 3	3,68 (16)	XKα2	Os-193	1,2546 (4) d
63,292	5,5 (3)	XKβ1	Lu-176	37,90 (30) E+9 a
63,292	1,7 (1)	XKβ1	Lu-176m	3,635 (12) h
63,292	19,2 (6)	XKβ1	Lu-177m	160,4 (3) d
63,292	14,0 (14)	XKβ1	Ta-178	9,29 (4) min
63,293 7	0,917 (23)	XKβ1	Lu-177	6,647 (4) d
63,58 (3)	0,109 (17)	γ	W-188	69,78 (5) d
63,6	21,6 (11)	γ	Re-188m	18,6 (1) min
63,65 (2)	0,050 (4)	γ	Pa-231	32 760 (110) a
63,7 (2)	0,005 1 (21)	γ	Th-229	7 340 (160) a
63,715 (15)	0,37 (6)	γ	Re-184m	169 (8) d
63,81 (1)	0,27 (2)	γ	Th-232	14,05 (6) E+9 a
63,86 (3)	0,023 (4)	γ	Th-231	1,0633 (4) d
63,9 (1)	0,010 7 (4)	γ	Np-237	2,144 (7) E+6 a
63,92 (6)	0,000 8	γ	Th-233	22,15 (15) min
63,96 (4)	0,056 (4)	γ	Rb-81*	4,25 (25) h
64,085 (10)	0,3 (3)	γ	Fr-227	2,47 (3) min
64,129 (4)	0,013 9 (17)	γ	La-140	1,67850 (17) d
64,267 (2)	14,5 (17)	γ	Fr-227	2,47 (3) min
64,28 (5)	0,033 (4)	γ	Ac-225	10,0 (1) d
64,35 (10)	0,025 (4)	γ	Th-227	18,718 (5) d
64,35 (2)	0,040 (4)	γ	U-235	704 (1) E+6 a
64,5 (5)	0,007 5 (15)	γ	Sm-155	22,3 (2) min
64,83 (2)	1,286 (17)	γ	U-237	6,749 (16) d
64,83 (2)	0,000 14 (3)	γ	Am-241	432,6 (6) a
64,88 (10)	1,89 (18)	γ	Pm-151	1,183 (2) d
64,896 3	30,8 (24)	XKα1	Os-191	15,4 (1) d
64,896 3	30,8 (24)	XKα1	Ir-191m	4,94 (3) s
64,896 3	67 (5)	XKα1	Pt-191	2,802 (25) d
64,896 3	6,3 (30)	XKα1	Os-193	1,2546 (4) d
65,12 (6)	0,04 (1)	γ	Fr-223	22,00 (7) min
65,123	2,66 (5)	XKα2	Ir-192	73,827 (13) d
65,123	4,31 (10)	XKα2	Pt-193m	4,33 (3) d
65,123	0,24 (3)	XKα2	Ir-194	19,3 (1) h
65,123	22,5 (15)	XKα2	Pt-195m	4,02 (1) d
65,123	28,7 (15)	XKα2	Au-195	186,10 (5) d
65,123	21,5 (5)	XKα2	Au-196	6,183 (10) d
65,123	13,6 (6)	XKα2	Pt-197m	95,41 (18) min
65,13	0,245 (8)	XKβ2	Lu-177	6,647 (4) d
65,142 7	1,40 (7)	XKβ2	Lu-176	37,90 (30) E+9 a
65,142 7	0,43 (3)	XKβ2	Lu-176m	3,635 (12) h
65,142 7	5,12 (15)	XKβ2	Lu-177m	160,4 (3) d
65,142 7	3,5 (6)	XKβ2	Ta-178	9,29 (4) min
65,275 9	4,7 (5)	XKβ1	W-178	21,6 (3) d
65,275 9	5,25 (17)	XKβ1	Hf-181	42,39 (6) d
65,275 9	10,9 (15)	XKβ1	W-181	121,2 (2) d
65,275 9	16,4 (8)	XKβ1	Ta-182m	15,84 (10) min
65,36 (6)	0,011 (5)	γ	Cm-245	8 480 (60) a
65,42 (14)	0,077 (6)	γ	Pb-211	36,1 (2) min
65,548 (13)	0,259 (11)	γ	Te-121	19,16 (5) d
65,708 (30)	0,000 047 3 (25)	γ	Pu-239	24 100 (11) a
65,722 0 (2)	2,92 (7)	γ	Ta-182	114,43 (3) d
65,83 (10)	1,15 (11)	γ	Pm-151	1,183 (2) d
65,86 (3)	5,8 (4)	γ	W-185m	1,67 (3) min
66,051 8 (8)	1,112 (12)	γ	Se-75	119,79 (4) d
66,122 (5)	0,000 77 (12)	γ	U-233	159,20 (20) E+3 a
66,2 (5)	0,006 (4)	γ	Th-227	18,718 (5) d
66,3 (3)	0,001 0 (1)	γ	Pa-228	22 (1) h
66,4 (5)	0,008 (4)	γ	Th-227	18,718 (5) d
66,5 (10)	0,154 (15)	γ	U-240	14,1 (1) h
66,833	4,55 (8)	XKα1	Ir-192	73,827 (13) d
66,833	7,36 (16)	XKα1	Pt-193m	4,33 (3) d

* : Radionucléide en équilibre avec son descendant
(Cf. liste en début de volume)

Énergie (keV)	Intensité (%)	Type	Parent	Période
66,833	0,41 (5)	XK α 1	Ir-194	19,3 (1) h
66,833	39 (3)	XK α 1	Pt-195m	4,02 (1) d
66,833	49,2 (25)	XK α 1	Au-195	186,10 (5) d
66,833	36,9 (7)	XK α 1	Au-196	6,183 (10) d
66,833	23,3 (1)	XK α 1	Pt-197m	95,41 (18) min
66,881 (17)	4,79 (20)	γ	Cs-136	13,16 (3) d
66,990 4	0,98 (10)	XK α 2	Pt-197	19,8915 (19) h
66,990 4	0,24 (3)	XK α 2	Pt-197m	95,41 (18) min
66,990 4	7,1 (9)	XK α 2	Au-197m	7,73 (6) s
66,990 4	20,8 (10)	XK α 2	Hg-197	2,671 (8) d
66,990 4	1,88 (8)	XK α 2	Hg-197m	23,8 (2) h
67 (1)	0,23 (12)	γ	Pu-243	4,956 (3) h
67,173 3	1,2 (1)	XK β 2	W-178	21,6 (3) d
67,173 3	1,42 (5)	XK β 2	Hf-181	42,39 (6) d
67,173 3	2,9 (4)	XK β 2	W-181	121,2 (2) d
67,173 3	4,4 (2)	XK β 2	Ta-182m	15,84 (10) min
67,2 (1)	0,034 (7)	γ	Pa-228	22 (1) h
67,22 (2)	0,11 (3)	γ	Te-133	12,45 (30) min
67,25 (10)	0,036	γ	Pa-234	6,70 (5) h
67,287	6,1 (2)	XK β 1	Ta-182	114,43 (3) d
67,287	21,4 (9)	XK β 1	W-183m	5,2 (3) s
67,287	14,7 (5)	XK β 1	Re-184	38,0 (5) d
67,287	4,8 (3)	XK β 1	Re-184m	169 (8) d
67,287	1,38 (8)	XK β 1	W-185m	1,67 (3) min
67,287	1,000 (23)	XK β 1	Re-186	3,7186 (17) d
67,4 (2)	0,013 4 (24)	γ	Pa-228	22 (1) h
67,46 (5)	0,000 42 (10)	γ	Am-241	432,6 (6) a
67,672 (2)	0,376 (43)	γ	Th-230	75 380 (300) a
67,674 (12)	0,000 158 (5)	γ	Pu-239	24 100 (11) a
67,712 (4)	0,014 (8)	γ	Dy-165	2,334 (6) h
67,750 0 (2)	41,2 (10)	γ	Ta-182	114,43 (3) d
67,8	0,001 2 (12)	γ	Ba-141	18,27 (7) min
67,841 (7)	0,10 (3)	γ	Np-239	2,356 (3) d
67,867 9 (14)	93,0 (15)	γ	Ti-44	60,0 (11) a
67,943 (6)	0,000 29 (5)	γ	U-233	159,20 (20) E+3 a
68,08	0,001 9 (19)	γ	Pa-228	22 (1) h
68,09 (4)	0,069 (11)	γ	Th-229	7 340 (160) a
68,257 4 (12)	0,001 3 (4)	γ	Sm-153	1,92855 (5) d
68,3 (2)	0,047 (16)	γ	Xe-138	14,08 (8) min
68,5 (1)	0,005 8 (4)	γ	Th-231	1,0633 (4) d
68,696 (6)	0,000 36 (10)	γ	Pu-239	24 100 (11) a
68,7 (1)	0,005 8 (3)	γ	Th-227	18,718 (5) d
68,73 (2)	0,000 13 (6)	γ	Pu-239	24 100 (11) a
68,74 (3)	0,057 (10)	γ	Th-227	18,718 (5) d
68,804 6	1,68 (17)	XK α 1	Pt-197	19,8915 (19) h
68,804 6	0,40 (5)	XK α 1	Pt-197m	95,41 (18) min
68,804 6	12,1 (15)	XK α 1	Au-197m	7,73 (6) s
68,804 6	35,5 (15)	XK α 1	Hg-197	2,671 (8) d
68,804 6	3,2 (1)	XK α 1	Hg-197m	23,8 (2) h
68,83 (3)	0,136 (14)	γ	Th-229	7 340 (160) a
68,895	0,052 (7)	XK α 2	Au-196	6,183 (10) d
68,895	9,7 (4)	XK α 2	Hg-197m	23,8 (2) h
68,895	0,809 (8)	XK α 2	Au-198	2,6944 (8) d
68,895	5,15 (14)	XK α 2	Au-199	3,139 (7) d
68,895	23,4 (6)	XK α 2	Tl-200	1,088 (5) d
68,895	27,3 (5)	XK α 2	Tl-201	3,0421 (17) d
68,895	22,8 (4)	XK α 2	Tl-202	12,23 (2) d
68,895	0,474 (20)	XK α 2	Tl-204	3,788 (15) a
68,923 (5)	0,076 9 (18)	γ	La-140	1,67850 (17) d
69,2	0,010 (4)	γ	Lu-177m	160,4 (3) d
69,21 (4)	0,006 5 (6)	γ	Ac-227	21,772 (3) a
69,270 7	1,68 (5)	XK β 2	Ta-182	114,43 (3) d
69,270 7	5,9 (3)	XK β 2	W-183m	5,2 (3) s
69,270 7	4,0 (2)	XK β 2	Re-184	38,0 (5) d
69,270 7	1,31 (9)	XK β 2	Re-184m	169 (8) d
69,270 7	0,37 (3)	XK β 2	W-185m	1,67 (3) min
69,270 7	0,274 (8)	XK β 2	Re-186	3,7186 (17) d
69,3 (2)	0,007 0 (14)	γ	Pa-228	22 (1) h
69,352 7	0,23 (1)	XK β 1	Re-184m	169 (8) d
69,352 7	0,006 9 (4)	XK β 1	W-185	75,1 (3) d
69,352 7	11,6 (5)	XK β 1	Os-185	93,6 (5) d
69,352 7	4,2 (2)	XK β 1	W-187	23,72 (6) h
69,352 7	0,029 (5)	XK β 1	W-188	69,78 (5) d
69,352 7	10,7 (14)	XK β 1	Re-188m	18,6 (1) min
69,46 (5)	0,018	γ	Pa-234	6,70 (5) h
69,673 00 (13)	4,691 (41)	γ	Sm-153	1,92855 (5) d
69,673 00 (13)	2,42 (7)	γ	Gd-153	240,4 (10) d
69,70 (2)	0,47 (5)	γ	Pm-151	1,183 (2) d
69,7 (3)	0,50 (9)	γ	W-185m	1,67 (3) min
69,76 (3)	0,000 95 (19)	γ	U-237	6,749 (16) d

* : Radionucléide en équilibre avec son descendant
(Cf. liste en début de volume)

Énergie (keV)	Intensité (%)	Type	Parent	Période
69,76 (3)	0,000 16 (1)	γ	Pu-237	45,2 (1) d
69,76 (3)	0,002 9 (4)	γ	Am-241	432,6 (6) a
69,8 (2)	0,005 5 (22)	γ	Ac-225	10,0 (1) d
69,8 (3)	0,010 (4)	γ	Th-227	18,718 (5) d
70,2 (5)	0,005 81 (15)	γ	W-187	23,72 (6) h
70,280 (4)	0,000 55 (8)	γ	U-233	159,20 (20) E+3 a
70,49 (10)	0,000 8	γ	Th-233	22,15 (15) min
70,49 (10)	0,010 7 (4)	γ	Np-237	2,144 (7) E+6 a
70,50 (5)	0,007 0 (15)	γ	Pa-231	32 760 (110) a
70,82	0,088 (11)	XKα1	Au-196	6,183 (10) d
70,82	16,5 (7)	XKα1	Hg-197m	23,8 (2) h
70,82	1,372 (12)	XKα1	Au-198	2,6944 (8) d
70,82	8,76 (20)	XKα1	Au-199	3,139 (7) d
70,82	39,9 (10)	XKα1	Tl-200	1,088 (5) d
70,82	46,4 (7)	XKα1	Tl-201	3,0421 (17) d
70,82	38,8 (6)	XKα1	Tl-202	12,23 (2) d
70,82	0,812 (34)	XKα1	Tl-204	3,788 (15) a
70,832 5	31	XKα2	Pb-200	21,5 (4) h
70,832 5	25,5 (15)	XKα2	Pb-201	9,33 (3) h
70,832 5	3,75 (4)	XKα2	Hg-203	46,594 (12) d
70,832 5	25,61 (19)	XKα2	Pb-203	51,929 (10) h
70,832 5	2,0 (8)	XKα2	Hg-206	8,15 (10) min
70,832 5	0,74 (3)	XKα2	Bi-211	2,14 (2) min
70,832 5	0,056 3 (27)	XKα2	Bi-212	60,54 (6) min
70,832 5	0,002 6 (3)	XKα2	Bi-213	45,59 (6) min
71,0 (4)	0,202 (22)	γ	Xe-139	39,68 (14) s
71,21 (2)	0,002 2 (4)	γ	U-239	23,46 (4) min
71,313 (2)	0,27 (11)	γ	Os-185	93,6 (5) d
71,399 3	0,064 (3)	XKβ2	Re-184m	169 (8) d
71,399 3	0,001 9 (1)	XKβ2	W-185	75,1 (3) d
71,399 3	3,2 (2)	XKβ2	Os-185	93,6 (5) d
71,399 3	1,16 (5)	XKβ2	W-187	23,72 (6) h
71,399 3	0,008 (2)	XKβ2	W-188	69,78 (5) d
71,399 3	3,0 (4)	XKβ2	Re-188m	18,6 (1) min
71,449	0,650 (23)	XKβ1	Re-186	3,7186 (17) d
71,449	0,79 (5)	XKβ1	Re-188	17,005 (4) h
71,449	0,710 (21)	XKβ1	Ir-192	73,827 (13) d
71,502 (10)	0,002 40 (41)	γ	Dy-165	2,334 (6) h
71,64 (9)	0,000 002 9 (2)	γ	Pu-241	14,33 (4) a
71,641 8 (6)	0,172 6 (23)	γ	Lu-177	6,647 (4) d
71,646 (2)	0,90 (4)	γ	Lu-177m	160,4 (3) d
71,74 (3)	0,014 2 (11)	γ	Ac-225	10,0 (1) d
71,819 (2)	0,002 4 (4)	γ	U-233	159,20 (20) E+3 a
71,90 (7)	0,001 9 (11)	γ	Pa-231	32 760 (110) a
72,002 (4)	11,1 (4)	γ	W-187	23,72 (6) h
72,7 (2)	0,11	γ	U-235	704 (1) E+6 a
72,72 (10)	0,003 7 (14)	γ	Pa-231	32 760 (110) a
72,739 (10)	0,144 (21)	γ	Th-229	7 340 (160) a
72,751 0 (25)	0,252 (14)	γ	Th-231	1,0633 (4) d
72,804 9	0,004 4 (3)	XKα2	Tl-204	3,788 (15) a
72,804 9	0,026 (3)	XKα2	Tl-206	4,202 (11) min
72,804 9	0,001 59 (7)	XKα2	Tl-207	4,77 (2) min
72,804 9	21,69 (24)	XKα2	Bi-207	32,9 (14) a
72,804 9	2,15 (6)	XKα2	Tl-208	3,060 (8) min
72,804 9	6,31 (22)	XKα2	Tl-209	2,20 (1) min
72,804 9	7,1 (25)	XKα2	Tl-210	1,30 (3) min
72,804 9	0,000 002 77 (10)	XKα2	Po-210	138,3763 (17) d
72,804 9	0,000 024 6 (15)	XKα2	Po-214	162,3 (12) E-6 s
72,804 9	0,000 004 3 (7)	XKα2	Po-216	150 (5) E-3 s
72,85 (5)	0,024 (19)	γ	Th-227	18,718 (5) d
72,872 5	52	XKα1	Pb-200	21,5 (4) h
72,872 5	42,8 (25)	XKα1	Pb-201	9,33 (3) h
72,872 5	6,33 (6)	XKα1	Hg-203	46,594 (12) d
72,872 5	43,24 (25)	XKα1	Pb-203	51,929 (10) h
72,872 5	3,4 (8)	XKα1	Hg-206	8,15 (10) min
72,872 5	1,25 (5)	XKα1	Bi-211	2,14 (2) min
72,872 5	0,095 (5)	XKα1	Bi-212	60,54 (6) min
72,872 5	0,004 4 (6)	XKα1	Bi-213	45,59 (6) min
72,88 (7)	0,000 54 (8)	γ	U-233	159,20 (20) E+3 a
73,012 (7)	3,2 (5)	γ	Os-193	1,2546 (4) d
73,21 (8)	0,028 (9)	γ	Te-131m*	1,25 (8) d
73,4 (2)	0,002 8 (13)	γ	Pa-228	22 (1) h
73,5 (1)	0,009 8 (22)	γ	Ac-225	10,0 (1) d
73,584 3	0,182 (8)	XKβ2	Re-186	3,7186 (17) d
73,584 3	0,22 (2)	XKβ2	Re-188	17,005 (4) h
73,584 3	0,180 (6)	XKβ2	Ir-192	73,827 (13) d
73,597 7	10,4 (9)	XKβ1	Os-191	15,4 (1) d
73,597 7	10,4 (9)	XKβ1	Ir-191m	4,94 (3) s
73,597 7	22,6 (18)	XKβ1	Pt-191	2,802 (25) d
73,597 7	2,13 (11)	XKβ1	Os-193	1,2546 (4) d

* : Radionucléide en équilibre avec son descendant
(Cf. liste en début de volume)

Énergie (keV)	Intensité (%)	Type	Parent	Période
73,62 (7)	0,026 0 (16)	Y	Ho-166m	1 200 (180) a
73,63 (5)	0,014 (5)	Y	Th-227	18,718 (5) d
73,72 (5)	0,010 (1)	Y	U-235	704 (1) E+6 a
73,86 (2)	0,315 (15)	Y	Ac-225	10,0 (1) d
73,92 (2)	0,017 (2)	Y	Th-234	24,10 (3) d
73,92 (2)	0,170 (2)	Y	Pa-234m	1,17 (3) min
74,05 (1)	0,38 (4)	Y	Te-133m	55,4 (4) min
74,1 (3)	0,003 0 (9)	Y	Pa-228	22 (1) h
74,13 (5)	0,15 (3)	Y	Cs-143	1,791 (7) s
74,15 (4)	0,024 (3)	Y	Pa-231	32 760 (110) a
74,4 (1)	0,000 39 (14)	Y	Th-228	1,9127 (6) a
74,51 (5)	0,052	Y	Th-233	22,15 (15) min
74,54 (10)	0,012 (3)	Y	Np-237	2,144 (7) E+6 a
74,566 69 (6)	10,2 (5)	Y	Tb-161	6,906 (19) d
74,57 (5)	0,001 50 (23)	Y	U-233	159,20 (20) E+3 a
74,66 (2)	67,2 (12)	Y	Am-243	7 370 (17) a
74,664 (1)	52,0 (27)	Y	U-239	23,46 (4) min
74,815 7	0,230 (11)	XKα2	Pb-211	36,1 (2) min
74,815 7	10,7 (3)	XKα2	Pb-212	10,64 (1) h
74,815 7	6,26 (12)	XKα2	Pb-214	26,8 (9) min
74,815 7	0,009 5 (9)	XKα2	At-217	32,30 (40) E-3 s
74,875 (21)	0,119 (17)	Y	Xe-125	16,9 (2) h
74,9 (5)	0,012 (21)	Y	Kr-89	3,17 (2) min
74,9 (2)	0,017 4 (22)	Y	Ac-225	10,0 (1) d
74,96 (10)	0,000 038 (6)	Y	Pu-239	24 100 (11) a
74,97	0,006 1 (3)	XKα1	Tl-204	3,788 (15) a
74,97	0,044 (5)	XKα1	Tl-206	4,202 (11) min
74,97	0,002 69 (12)	XKα1	Tl-207	4,77 (2) min
74,97	36,5 (4)	XKα1	Bi-207	32,9 (14) a
74,97	3,61 (9)	XKα1	Tl-208	3,060 (8) min
74,97	10,7 (4)	XKα1	Tl-209	2,20 (1) min
74,97	12 (5)	XKα1	Tl-210	1,30 (3) min
74,97	0,000 004 66 (17)	XKα1	Po-210	138,3763 (17) d
74,97	0,000 041 4 (25)	XKα1	Po-214	162,3 (12) E-6 s
74,97	0,000 007 3 (12)	XKα1	Po-216	150 (5) E-3 s
75,0 (3)	0,037	Y	Pa-234	6,70 (5) h
75,01 (5)	0,026 (10)	Y	Th-227	18,718 (5) d
75,02 (5)	0,06 (1)	Y	U-235	704 (1) E+6 a
75,09 (7)	0,61 (14)	Y	Th-229	7 340 (160) a
75,269 (10)	1,30 (3)	Y	Pa-233	26,98 (2) d
75,422 13 (23)	0,169 (7)	Y	Sm-153	1,92855 (5) d
75,422 13 (23)	0,078 (3)	Y	Gd-153	240,4 (10) d
75,5 (3)	0,002 0 (2)	Y	Pa-228	22 (1) h
75,784	1,58 (3)	XKβ1	Ir-192	73,827 (13) d
75,784	2,48 (7)	XKβ1	Pt-193m	4,33 (3) d
75,784	0,001 38 (19)	XKβ1	Ir-194	19,3 (1) h
75,784	13,2 (11)	XKβ1	Pt-195m	4,02 (1) d
75,784	16,7 (9)	XKβ1	Au-195	186,10 (5) d
75,784	12,5 (4)	XKβ1	Au-196	6,183 (10) d
75,784	7,9 (2)	XKβ1	Pt-197m	95,41 (18) min
75,8 (2)	0,000 91	Y	U-237	6,749 (16) d
75,8 (2)	0,000 32 (2)	Y	Pu-237	45,2 (1) d
75,8 (2)	0,000 6	Y	Am-241	432,6 (6) a
75,801 7	2,9 (3)	XKβ2	Os-191	15,4 (1) d
75,801 7	2,9 (3)	XKβ2	Ir-191m	4,94 (3) s
75,801 7	6,4 (5)	XKβ2	Pt-191	2,802 (25) d
75,801 7	0,60 (3)	XKβ2	Os-193	1,2546 (4) d
76,0 (6)	0,008 (4)	Y	Kr-89	3,17 (2) min
76,0 (2)	0,003 0 (9)	Y	Pa-228	22 (1) h
76,1 (1)	0,150 (25)	Y	Fr-227	2,47 (3) min
76,22 (20)	0,202 (18)	Y	Pm-151	1,183 (2) d
76,39 (8)	0,000 36 (6)	Y	U-233	159,20 (20) E+3 a
76,83 (6)	0,275 (25)	Y	Te-134	41,8 (8) min
76,857	0,031 (13)	Y	Tl-200	1,088 (5) d
76,864	7,22 (16)	XKα2	At-211	7,214 (7) h
76,864	0,040 4 (10)	XKα2	Bi-212	60,54 (6) min
76,864	1,98 (7)	XKα2	Bi-213	45,59 (6) min
76,864	0,426 (13)	XKα2	Bi-214	19,9 (4) min
76,864	0,000 52 (4)	XKα2	Rn-218	36,0 (19) E-3 s
76,864	0,53 (4)	XKα2	Rn-219	3,96 (1) s
76,864	0,000 60 (8)	XKα2	Rn-220	55,8 (3) s
76,864	0,000 469 (10)	XKα2	Rn-222	3,8232 (8) d
77	0,011 1 (22)	Y	Pt-197m	95,41 (18) min
77,01 (4)	0,000 020 7 (4)	Y	Pu-241	14,33 (4) a
77,108 8	0,387 (17)	XKα1	Pb-211	36,1 (2) min
77,108 8	17,9 (5)	XKα1	Pb-212	10,64 (1) h
77,108 8	10,47 (20)	XKα1	Pb-214	26,8 (9) min
77,108 8	0,015 9 (9)	XKα1	At-217	32,30 (40) E-3 s
77,13 (4)	0,000 66 (10)	Y	U-233	159,20 (20) E+3 a
77,2 (2)	0,006 0 (6)	Y	Pa-228	22 (1) h

* : Radionucléide en équilibre avec son descendant
(Cf. liste en début de volume)

Énergie (keV)	Intensité (%)	Type	Parent	Période
77,34 (3)	0,026 (5)	Y	Ac-228	6,15 (2) h
77,34 (3)	0,073 3 (24)	Y	Pa-231	32 760 (110) a
77,352 (2)	17,00 (24)	Y	Pt-197	19,8915 (19) h
77,352 (2)	0,30 (6)	Y	Au-197m	7,73 (6) s
77,352 (2)	18,8 (3)	Y	Hg-197	2,671 (8) d
77,352 (2)	0,019 (2)	Y	Hg-197m	23,8 (2) h
77,36	0,041 (9)	Y	Pa-228	22 (1) h
77,37 (4)	0,007 1 (11)	Y	W-187	23,72 (6) h
77,4 (4)	0,010 1 (5)	Y	Th-227	18,718 (5) d
77,422 (5)	0,060 (4)	Y	Tb-161	6,906 (19) d
77,592 (14)	0,000 380 (6)	Y	Pu-239	24 100 (11) a
77,63 (5)	0,045 (7)	Y	Th-229	7 340 (160) a
77,69	0,004 2 (7)	Y	Th-231	1,0633 (4) d
77,75 (3)	0,038 (14)	Y	Cs-143	1,791 (7) s
77,99 (5)	14,3 (8)	Y	Pr-147	13,4 (4) min
78,016 3	0,57 (6)	XKβ1	Pt-197	19,8915 (19) h
78,016 3	4,1 (5)	XKβ1	Au-197m	7,73 (6) s
78,064 3	0,411 (10)	XKβ2	Ir-192	73,827 (13) d
78,064 3	0,709 (23)	XKβ2	Pt-193m	4,33 (3) d
78,064 3	0,000 40 (5)	XKβ2	Ir-194	19,3 (1) h
78,064 3	3,8 (3)	XKβ2	Pt-195m	4,02 (1) d
78,064 3	4,8 (2)	XKβ2	Au-195	186,10 (5) d
78,064 3	3,6 (1)	XKβ2	Au-196	6,183 (10) d
78,064 3	2,26 (5)	XKβ2	Pt-197m	95,41 (18) min
78,1 (20)	0,004 (1)	Y	U-240	14,1 (1) h
78,133 2	12,3 (6)	XKβ1	Hg-197	2,671 (8) d
78,133 2	1,10 (4)	XKβ1	Hg-197m	23,8 (2) h
78,144 5	0,137 (20)	XKβ1	Pt-197m	95,41 (18) min
78,3 (2)	0,008 2 (21)	Y	Th-229	7 340 (160) a
78,36 (3)	96,4 (11)	Y	Ti-44	60,0 (11) a
78,43 (2)	0,000 153 3 (28)	Y	Pu-239	24 100 (11) a
78,54 (5)	0,016 (8)	Y	Te-131m*	1,25 (8) d
78,59 (2)	0,003 4 (3)	Y	Tm-170	127,8 (6) d
78,65 (7)	0,254 (12)	Y	Sm-155	22,3 (2) min
78,7 (3)	0,083 (9)	Y	Eu-150	36,9 (9) a
78,733 (3)	0,735 (19)	Y	Ba-131	11,50 (6) d
78,94	0,96 (5)	XKα2	Fr-221	4,79 (2) min
79,0 (2)	0,13 (2)	Y	Te-131m*	1,25 (8) d
79,131 (3)	6,9 (5)	Y	Ag-108m	438 (9) a
79,25 (6)	0,15 (2)	Y	Cm-245	8 480 (60) a
79,293	12,02 (24)	XKα1	At-211	7,214 (7) h
79,293	0,067 2 (17)	XKα1	Bi-212	60,54 (6) min
79,293	1,18 (4)	XKα1	Bi-213	45,59 (6) min
79,293	0,710 (22)	XKα1	Bi-214	19,9 (4) min
79,293	0,000 86 (6)	XKα1	Rn-218	36,0 (19) E-3 s
79,293	0,89 (6)	XKα1	Rn-219	3,96 (1) s
79,293	0,001 00 (14)	XKα1	Rn-220	55,8 (3) s
79,293	0,000 781 (16)	XKα1	Rn-222	3,8232 (8) d
79,4 (5)	0,028 (5)	Y	Kr-89	3,17 (2) min
79,44 (2)	20,7 (4)	Y	Te-134	41,8 (8) min
79,513 2 (27)	0,046 8 (11)	Y	Gd-159	18,479 (7) h
79,614 2 (12)	0,28 (3)	Y	Xe-133	5,2474 (5) d
79,614 2 (12)	2,65 (5)	Y	Ba-133	10,540 (6) a
79,651 (5)	9,1 (19)	Y	Fr-223	22,00 (7) min
79,69 (2)	1,90 (11)	Y	Th-227	18,718 (5) d
79,84 (2)	0,062	Y	Pa-234	6,70 (5) h
80,0 (5)	0,032 (8)	Y	Sm-155	22,3 (2) min
80,1 (1)	0,006 8 (14)	Y	Pa-228	22 (1) h
80,106 (5)	1,12 (13)	Y	Ce-144	285,0 (2) d
80,109 (3)	4,4 (6)	Y	Xe-140	13,6 (1) s
80,185 0 (19)	2,607 (27)	Y	I-131*	8,0233 (19) d
80,27 (10)	0,16 (3)	Y	Pa-232	1,31 (2) d
80,279 7	0,030 (4)	XKβ1	Au-196	6,183 (10) d
80,279 7	5,7 (3)	XKβ1	Hg-197m	23,8 (2) h
80,279 7	0,466 (8)	XKβ1	Au-198	2,6944 (8) d
80,279 7	3,01 (8)	XKβ1	Au-199	3,139 (7) d
80,279 7	13,7 (5)	XKβ1	Tl-200	1,088 (5) d
80,279 7	15,7 (4)	XKβ1	Tl-201	3,0421 (17) d
80,279 7	13,3 (5)	XKβ1	Tl-202	12,23 (2) d
80,279 7	0,273 (10)	XKβ1	Tl-204	3,788 (15) a
80,375 7	0,16 (2)	XKβ2	Pt-197	19,8915 (19) h
80,375 7	0,039 (5)	XKβ2	Pt-197m	95,41 (18) min
80,375 7	1,18 (15)	XKβ2	Au-197m	7,73 (6) s
80,375 7	3,3 (2)	XKβ2	Hg-197	2,671 (8) d
80,375 7	0,30 (1)	XKβ2	Hg-197m	23,8 (2) h
80,4	0,002 8 (14)	Y	Eu-154	8,601 (4) a
80,572 5 (13)	6,55 (8)	Y	Ho-166	26,795 (29) h
80,572 5 (13)	12,66 (23)	Y	Ho-166m	1 200 (180) a
80,92 (3)	3,73 (12)	Y	Mo-101	14,6 (1) min
80,936 5 (15)	0,007 7 (24)	Y	Se-75	119,79 (4) d

* : Radionucléide en équilibre avec son descendant
(Cf. liste en début de volume)

Énergie (keV)	Intensité (%)	Type	Parent	Période
80,997 9 (11)	37,0 (3)	Y	Xe-133	5,2474 (5) d
80,997 9 (11)	32,9 (3)	Y	Ba-133	10,540 (6) a
81,0 (2)	0,045 (12)	Y	Pb-211	36,1 (2) min
81,07	15 (3)	XKα2	Ra-223	11,43 (5) d
81,07	0,130 (4)	XKα2	Ra-224	3,627 (7) d
81,07	0,192 (4)	XKα2	Ra-226	1 600 (7) a
81,07	1,76 (16)	XKα2	Ra-228	5,75 (3) a
81,10 (6)	4,2 (3)	Y	Te-131m*	1,25 (8) d
81,15 (10)	0,000 5 (4)	Y	Nd-147	10,98 (1) d
81,2 (1)	0,024 (5)	Y	Pa-228	22 (1) h
81,228 0 (14)	0,90 (6)	Y	Th-231	1,0633 (4) d
81,24 (2)	0,000 021 0 (1)	Y	Np-235	1,084 (3) a
81,27 (5)	0,002 2 (3)	Y	Tb-161	6,906 (19) d
81,51	1,59 (9)	XKα1	Fr-221	4,79 (2) min
81,61 (1)	0,321 (23)	Y	Te-133m	55,4 (4) min
81,788 (15)	0,047 8 (15)	Y	Te-121m	154 (7) d
81,99 (2)	0,003 1 (21)	Y	Eu-154	8,601 (4) a
82	0,001 2	Y	Ac-227	21,772 (3) a
82,087 0 (14)	0,42 (3)	Y	Th-231	1,0633 (4) d
82,1 (2)	0,007	Y	Lu-176m	3,635 (12) h
82,11 (2)	0,000 009 4 (9)	Y	Np-235	1,084 (3) a
82,398 (7)	4,9 (7)	Y	Pt-191	2,802 (25) d
82,427 (10)	0,025 5 (23)	Y	Os-191	15,4 (1) d
82,427 (10)	0,025 5 (23)	Y	Ir-191m	4,94 (3) s
82,58 (9)	0,014 (5)	Y	Ba-131	11,50 (6) d
82,6 (8)	0,16 (5)	Y	Ac-225	10,0 (1) d
82,6 (10)	0,014 (10)	Y	U-240	14,1 (1) h
82,603 3	18	XKβ1	Pb-200	21,5 (4) h
82,603 3	15,1 (9)	XKβ1	Pb-201	9,33 (3) h
82,603 3	2,15 (4)	XKβ1	Hg-203	46,594 (12) d
82,603 3	14,70 (24)	XKβ1	Pb-203	51,929 (10) h
82,603 3	1,2 (6)	XKβ1	Hg-206	8,15 (10) min
82,603 3	0,437 (16)	XKβ1	Bi-211	2,14 (2) min
82,603 3	0,032 3 (16)	XKβ1	Bi-212	60,54 (6) min
82,603 3	0,001 52 (21)	XKβ1	Bi-213	45,59 (6) min
82,746 3	0,009 (1)	XKβ2	Au-196	6,183 (10) d
82,746 3	1,58 (6)	XKβ2	Hg-197m	23,8 (2) h
82,746 3	0,136 (4)	XKβ2	Au-198	2,6944 (8) d
82,746 3	0,88 (2)	XKβ2	Au-199	3,139 (7) d
82,746 3	4,0 (1)	XKβ2	Tl-200	1,088 (5) d
82,746 3	4,61 (13)	XKβ2	Tl-201	3,0421 (17) d
82,746 3	3,9 (2)	XKβ2	Tl-202	12,23 (2) d
82,746 3	0,081 (3)	XKβ2	Tl-204	3,788 (15) a
82,96 (3)	0,000 16	Y	U-233	159,20 (20) E+3 a
83 (30)	1,98 (40)	Y	Tl-210	1,30 (3) min
83,23	1,06 (7)	XKα2	Ac-225	10,0 (1) d
83,23	0,015 (7)	XKα2	Ac-227	21,772 (3) a
83,28 (4)	0,005 4 (2)	Y	Re-184m	169 (8) d
83,30 (5)	0,074 (3)	Y	Th-234	24,10 (3) d
83,367 17 (21)	0,193 (6)	Y	Sm-153	1,92855 (5) d
83,367 17 (21)	0,197 (7)	Y	Gd-153	240,4 (10) d
83,4 (6)	0,012 (4)	Y	Kr-89	3,17 (2) min
83,78	25 (5)	XKα1	Ra-223	11,43 (5) d
83,78	0,215 (7)	XKα1	Ra-224	3,627 (7) d
83,78	0,317 (6)	XKα1	Ra-226	1 600 (7) a
83,78	2,9 (3)	XKα1	Ra-228	5,75 (3) a
83,8 (1)	0,058 (9)	Y	Pb-211	36,1 (2) min
84,0 (2)	23 (2)	Y	Pu-243	4,956 (3) h
84,1 (5)	0,002 3 (6)	Y	Sm-155	22,3 (2) min
84,21 (2)	0,000 097 (5)	Y	Np-235	1,084 (3) a
84,214 0 (13)	6,6 (4)	Y	Th-231	1,0633 (4) d
84,254 74 (8)	2,48 (9)	Y	Tm-170	127,8 (6) d
84,373 (3)	1,17 (5)	Y	Th-228	1,9127 (6) a
84,5 (2)	0,022 (5)	Y	Xe-140	13,6 (1) s
84,681 0 (2)	2,65 (7)	Y	Ta-182	114,43 (3) d
84,73 (10)	0,000 4 (2)	Y	Tb-161	6,906 (19) d
84,952 7	0,002 7 (2)	XKβ1	Tl-204	3,788 (15) a
84,952 7	0,015 0 (17)	XKβ1	Tl-206	4,202 (11) min
84,952 7	0,000 93 (5)	XKβ1	Tl-207	4,77 (2) min
84,952 7	12,46 (23)	XKβ1	Bi-207	32,9 (14) a
84,952 7	1,23 (4)	XKβ1	Tl-208	3,060 (8) min
84,952 7	3,7 (4)	XKβ1	Tl-209	2,20 (1) min
84,952 7	4,1 (15)	XKβ1	Tl-210	1,30 (3) min
84,952 7	0,000 001 59 (6)	XKβ1	Po-210	138,3763 (17) d
84,952 7	0,000 014 1 (9)	XKβ1	Po-214	162,3 (12) E-6 s
84,952 7	0,000 002 5 (4)	XKβ1	Po-216	150 (5) E-3 s
85,138 7	5	XKβ2	Pb-200	21,5 (4) h
85,138 7	3,61 (21)	XKβ2	Pb-201	9,33 (3) h
85,138 7	0,639 (16)	XKβ2	Hg-203	46,594 (12) d
85,138 7	4,37 (11)	XKβ2	Pb-203	51,929 (10) h

* : Radionucléide en équilibre avec son descendant
(Cf. liste en début de volume)

Énergie (keV)	Intensité (%)	Type	Parent	Période
85,138 7	0,3 (2)	XKβ2	Hg-206	8,15 (10) min
85,138 7	0,130 (5)	XKβ2	Bi-211	2,14 (2) min
85,138 7	0,009 6 (5)	XKβ2	Bi-212	60,54 (6) min
85,138 7	0,000 45 (6)	XKβ2	Bi-213	45,59 (6) min
85,15 (8)	0,06 (1)	γ	Pt-191	2,802 (25) d
85,31 (6)	0,002 4 (9)	γ	W-188	69,78 (5) d
85,43	1,64 (23)	XKα2	Fr-223	22,00 (7) min
85,43	7,9 (10)	XKα2	Fr-227	2,47 (3) min
85,43	1,81 (6)	XKα2	Th-227	18,718 (5) d
85,43	0,017 2 (8)	XKα2	Th-228	1,9127 (6) a
85,43	15,0 (5)	XKα2	Th-229	7 340 (160) a
85,43	0,004 2 (4)	XKα2	Th-230	75 380 (300) a
85,43	0,001 7 (4)	XKα2	Th-232	14,05 (6) E+9 a
85,43 (2)	0,000 17 (3)	γ	U-233	159,20 (20) E+3 a
85,9 (2)	0,000 089 (49)	γ	I-131*	8,0233 (19) d
86,059 1 (10)	0,154 (17)	γ	Eu-155	4,753 (14) a
86,1	1,75 (12)	XKα1	Ac-225	10,0 (1) d
86,1	0,009 (4)	XKα1	Ac-227	21,772 (3) a
86,2 (2)	5,2 (1)	γ	Rb-81m	30,25 (25) min
86,25 (4)	1,33 (11)	γ	Th-229	7 340 (160) a
86,3 (2)	0,004 0 (4)	γ	Pa-228	22 (1) h
86,36 (3)	5,18 (20)	γ	Cs-136	13,16 (3) d
86,40 (6)	0,15 (2)	γ	Te-131m*	1,25 (8) d
86,40 (5)	2,57 (11)	γ	Th-229	7 340 (160) a
86,477 (10)	2,7	γ	Th-233	22,15 (15) min
86,477 (10)	12,22 (12)	γ	Np-237	2,144 (7) E+6 a
86,547 9 (10)	30,7 (3)	γ	Eu-155	4,753 (14) a
86,595 (10)	1,99 (11)	γ	Pa-233	26,98 (2) d
86,68 (5)	4,3 (4)	γ	Pr-147	13,4 (4) min
86,71 (2)	0,346 (9)	γ	Am-243	7 370 (17) a
86,72 (7)	0,055 (6)	γ	U-239	23,46 (4) min
86,77 (15)	0,000 12 (3)	γ	U-233	159,20 (20) E+3 a
86,787 7 (3)	13,2 (3)	γ	Tb-160	72,3 (2) d
86,85 (2)	0,044 (6)	γ	Te-133m	55,4 (4) min
87,02 (6)	0,018 (3)	γ	Th-234	24,10 (3) d
87,27 (11)	0,000 17 (3)	γ	U-233	159,20 (20) E+3 a
87,347	0,134 (6)	XKβ1	Pb-211	36,1 (2) min
87,347	6,12 (20)	XKβ1	Pb-212	10,64 (1) h
87,347	3,59 (9)	XKβ1	Pb-214	26,8 (9) min
87,347	0,005 5 (6)	XKβ1	At-217	32,30 (40) E-3 s
87,41 (3)	0,254 (12)	γ	Ac-225	10,0 (1) d
87,452 (10)	0,239 (16)	γ	Re-184m	169 (8) d
87,576 3	0,000 73 (2)	XKβ2	Tl-204	3,788 (15) a
87,576 3	0,004 5 (6)	XKβ2	Tl-206	4,202 (11) min
87,576 3	0,000 28 (2)	XKβ2	Tl-207	4,77 (2) min
87,576 3	3,76 (10)	XKβ2	Bi-207	32,9 (14) a
87,576 3	0,373 (13)	XKβ2	Tl-208	3,060 (8) min
87,576 3	1,12 (11)	XKβ2	Tl-209	2,20 (1) min
87,576 3	1,2 (5)	XKβ2	Tl-210	1,30 (3) min
87,576 3	0,000 004 27 (27)	XKβ2	Po-214	162,3 (12) E-6 s
87,585 (4)	0,014 3 (20)	γ	Dy-165	2,334 (6) h
87,768	0,048 (5)	XKα2	Pa-228	22 (1) h
87,768	0,77 (4)	XKα2	Pa-231	32 760 (110) a
87,941 (4)	0,183 (10)	γ	Tb-161	6,906 (19) d
87,99 (3)	0,18	γ	Th-233	22,15 (15) min
87,99 (3)	0,142 (3)	γ	Np-237	2,144 (7) E+6 a
88,033 6 (1)	3,626 (26)	γ	Cd-109	461,4 (12) d
88,04 (5)	3,6 (4)	γ	Pd-109	13,7 (1) h
88,06 (3)	0,006 (2)	γ	Np-239	2,356 (3) d
88,064 (3)	1,33 (9)	γ	Te-133m	55,4 (4) min
88,2 (2)	0,017 (4)	γ	Pb-211	36,1 (2) min
88,26 (8)	0,084 (2)	γ	Te-127m	107 (4) d
88,36 (2)	14,5 (2)	γ	Lu-176	37,90 (30) E+9 a
88,36 (2)	8,80 (15)	γ	Lu-176m	3,635 (12) h
88,4	0,037 (9)	γ	Lu-177m	160,4 (3) d
88,43 (8)	0,027 (7)	γ	Th-229	7 340 (160) a
88,46 (7)	0,090 9 (27)	γ	Te-123m	119,3 (1) d
88,46 (8)	0,000 40 (6)	γ	U-233	159,20 (20) E+3 a
88,47	2,7 (4)	XKα1	Fr-223	22,00 (7) min
88,47	13,0 (17)	XKα1	Fr-227	2,47 (3) min
88,47	2,96 (10)	XKα1	Th-227	18,718 (5) d
88,47	0,028 1 (12)	XKα1	Th-228	1,9127 (6) a
88,47	24,7 (8)	XKα1	Th-229	7 340 (160) a
88,47	0,007 0 (6)	XKα1	Th-230	75 380 (300) a
88,47	0,002 8 (6)	XKα1	Th-232	14,05 (6) E+9 a
88,80 (9)	0,012 4 (17)	γ	Pm-151	1,183 (2) d
88,965 6 (16)	8,4 (12)	γ	Eu-156	15,19 (8) d
89,17 (3)	0,38 (5)	γ	Xe-140	13,6 (1) s
89,36 (1)	2,40 (21)	γ	Hf-175	70 (2) d
89,39 (6)	0,000 002	γ	Pu-239	24 100 (11) a

* : Radionucléide en équilibre avec son descendant
(Cf. liste en début de volume)

Énergie (keV)	Intensité (%)	Type	Parent	Période
89,485 95 (22)	0,158 (15)	γ	Sm-153	1,92855 (5) d
89,485 95 (22)	0,069 (5)	γ	Gd-153	240,4 (10) d
89,6 (3)	0,001 04 (20)	γ	Tc-99m	6,0067 (10) h
89,6 (4)	0,003 8 (13)	γ	Th-227	18,718 (5) d
89,64 (3)	0,000 027 (2)	γ	Pu-239	24 100 (11) a
89,753 (8)	0,002 9 (7)	γ	Dy-165	2,334 (6) h
89,8 (1)	0,000 65 (15)	γ	Tc-99	211,1 (12) E+3 a
89,808 7	4,24 (8)	XKβ1	At-211	7,214 (7) h
89,808 7	0,023 1 (7)	XKβ1	Bi-212	60,54 (6) min
89,808 7	0,69 (3)	XKβ1	Bi-213	45,59 (6) min
89,808 7	0,244 (9)	XKβ1	Bi-214	19,9 (4) min
89,808 7	0,000 296 (21)	XKβ1	Rn-218	36,0 (19) E-3 s
89,808 7	0,31 (2)	XKβ1	Rn-219	3,96 (1) s
89,808 7	0,000 34 (5)	XKβ1	Rn-220	55,8 (3) s
89,808 7	0,000 269 (7)	XKβ1	Rn-222	3,8232 (8) d
89,95 (2)	1,00 (6)	γ	Th-231	1,0633 (4) d
89,954	0,931 (17)	XKα2	Ac-228	6,15 (2) h
89,954	24,1 (14)	XKα2	Pa-228	22 (1) h
89,954	0,03 (3)	XKα2	Pa-232	1,31 (2) d
89,954	0,005 3 (3)	XKα2	U-232	70 (1) a
89,954	0,007 5 (2)	XKα2	U-233	159,20 (20) E+3 a
89,954	0,002 69 (25)	XKα2	U-234	245,5 (6) E+3 a
89,954	3,56 (8)	XKα2	U-235	704 (1) E+6 a
89,954	0,001 09 (30)	XKα2	U-238	4,468 (5) E+9 a
90,035 (2)	39 (5)	γ	Fr-227	2,47 (3) min
90,075 7	0,041 (2)	XKβ2	Pb-211	36,1 (2) min
90,075 7	1,10 (4)	XKβ2	Pb-214	26,8 (9) min
90,075 7	0,001 7 (2)	XKβ2	At-217	32,30 (40) E-3 s
90,1 (5)	0,009 3 (23)	γ	Sm-155	22,3 (2) min
90,135	1,87 (7)	XKβ2	Pb-212	10,64 (1) h
90,885	0,079 (7)	XKα1	Pa-228	22 (1) h
90,885	1,26 (7)	XKα1	Pa-231	32 760 (110) a
91,03 (10)	0,000 30 (5)	γ	U-233	159,20 (20) E+3 a
91,109 (10)	28,1 (10)	γ	Nd-147	10,98 (1) d
91,265 (5)	3,07 (11)	γ	Ga-67	3,2613 (5) d
91,266 (5)	7,0 (1)	γ	Cu-67	2,660 (5) d
91,27 (1)	0,254 (17)	γ	Re-184m	169 (8) d
91,7 (3)	0,006 (4)	γ	Pm-151	1,183 (2) d
92,1 (5)	0,002 (1)	γ	Pa-233	26,98 (2) d
92,184 (7)	0,72 (3)	γ	Br-82	1,4708 (13) d
92,2 (4)	0,000 001 4 (7)	γ	Np-235	1,084 (3) a
92,284 (3)	0,585 (10)	γ	Ba-131	11,50 (6) d
92,288	0,39 (5)	XKα2	Th-231	1,0633 (4) d
92,288	0,48	XKα2	Th-233	22,15 (15) min
92,288	1,81 (3)	XKα2	Np-237	2,144 (7) E+6 a
92,309 3	0,55 (6)	XKβ1	Fr-221	4,79 (2) min
92,33 (3)	0,20 (5)	γ	Te-133m	55,4 (4) min
92,37 (1)	2,81 (26)	γ	Th-234	24,10 (3) d
92,5	5,2 (3)	γ	Re-188m	18,6 (1) min
92,621 3	1,03 (2)	XKβ2	At-211	7,214 (7) h
92,621 3	0,007 20 (24)	XKβ2	Bi-212	60,54 (6) min
92,621 3	0,215 (9)	XKβ2	Bi-213	45,59 (6) min
92,621 3	0,076 0 (29)	XKβ2	Bi-214	19,9 (4) min
92,621 3	0,000 092 (7)	XKβ2	Rn-218	36,0 (19) E-3 s
92,621 3	0,096 (7)	XKβ2	Rn-219	3,96 (1) s
92,621 3	0,000 107 (15)	XKβ2	Rn-220	55,8 (3) s
92,621 3	0,000 083 7 (25)	XKβ2	Rn-222	3,8232 (8) d
92,793 (10)	2,77 (26)	γ	Th-234	24,10 (3) d
92,97 (4)	0,034 (3)	γ	Pm-151	1,183 (2) d
93,02 (4)	0,047 (6)	γ	Th-231	1,0633 (4) d
93,13 (8)	6,4 (6)	γ	Ta-178	9,29 (4) min
93,22 (3)	0,005 2 (9)	γ	W-187	23,72 (6) h
93,30 (5)	0,027 (10)	γ	W-185m	1,67 (3) min
93,310 (5)	37,8 (9)	γ	Ga-67	3,2613 (5) d
93,311 (5)	16,1 (10)	γ	Cu-67	2,660 (5) d
93,351	1,507 (27)	XKα1	Ac-228	6,15 (2) h
93,351	39,4 (23)	XKα1	Pa-228	22 (1) h
93,351	0,05 (5)	XKα1	Pa-232	1,31 (2) d
93,351	0,008 7 (5)	XKα1	U-232	70 (1) a
93,351	0,012 4 (3)	XKα1	U-233	159,20 (20) E+3 a
93,351	0,004 4 (4)	XKα1	U-234	245,5 (6) E+3 a
93,351	5,81 (12)	XKα1	U-235	704 (1) E+6 a
93,351	0,001 8 (5)	XKα1	U-238	4,468 (5) E+9 a
93,54 (7)	0,130 (9)	γ	Br-87	55,65 (13) s
93,614 47 (8)	2,571 (17)	γ	Yb-169	32,018 (5) d
93,628 (4)	33,8 (25)	γ	Rb-91	58,4 (4) s
93,64 (5)	0,100 (16)	γ	Xe-140	13,6 (1) s
93,88 (5)	1,48 (8)	γ	Th-227	18,718 (5) d
93,919 (6)	0,056 6 (22)	γ	Tb-160	72,3 (2) d
94,05 (5)	0,039 (10)	γ	Fr-223	22,00 (7) min

* : Radionucléide en équilibre avec son descendant
(Cf. liste en début de volume)

Énergie (keV)	Intensité (%)	Type	Parent	Période
94,3 (3)	0,012 (3)	γ	Pb-211	36,1 (2) min
94,59 (4)	0,105 (9)	γ	W-185m	1,67 (3) min
94,64 (5)	0,058 5 (13)	γ	Np-237	2,144 (7) E+6 a
94,65 (5)	0,8	γ	Th-233	22,15 (15) min
94,666	1,09 (4)	XKα2	Pa-232	1,31 (2) d
94,666	9,09 (25)	XKα2	Pa-233	26,98 (2) d
94,666	11,0 (7)	XKα2	Pa-234	6,70 (5) h
94,666	0,143 0 (12)	XKα2	Pa-234m	1,17 (3) min
94,666	0,6 (2)	XKα2	Np-235	1,084 (3) a
94,666	20,2 (3)	XKα2	Np-236	155 (8) E+3 a
94,666	9,9 (10)	XKα2	Np-236m	22,5 (4) h
94,666	0,000 106 (3)	XKα2	Pu-238	87,74 (3) a
94,666	0,004 18 (4)	XKα2	Pu-239	24 100 (11) a
94,666	0,000 026 0 (8)	XKα2	Pu-240	6 561 (7) a
94,666	0,000 300 (7)	XKα2	Pu-241	14,33 (4) a
94,666	0,000 018 0 (15)	XKα2	Pu-242	373 (3) E+3 a
94,675 (14)	0,146 (4)	γ	Ho-166m	1 200 (180) a
94,700 (3)	3,58 (39)	γ	Dy-165	2,334 (6) h
94,73 (2)	0,267 (21)	γ	Th-229	7 340 (160) a
94,854 7	8,7 (20)	XKβ1	Ra-223	11,43 (5) d
94,854 7	0,074 4 (24)	XKβ1	Ra-224	3,627 (7) d
94,854 7	0,109 8 (25)	XKβ1	Ra-226	1 600 (7) a
94,90 (5)	0,095 (9)	γ	Ac-225	10,0 (1) d
94,92 (8)	0,013 (3)	γ	Th-229	7 340 (160) a
94,97 (5)	0,024 (14)	γ	Th-227	18,718 (5) d
94,989 (2)	2,87 (15)	γ	Te-133m	55,4 (4) min
95,0 (2)	0,018 (3)	γ	Pb-211	36,1 (2) min
95,217 3	0,18 (2)	XKβ2	Fr-221	4,79 (2) min
95,869	0,63 (7)	XKα1	Th-231	1,0633 (4) d
95,869	0,78	XKα1	Th-233	22,15 (15) min
95,869	2,90 (2)	XKα1	Np-237	2,144 (7) E+6 a
95,931 (4)	0,000 92 (19)	γ	Dy-165	2,334 (6) h
96,03 (5)	0,068 (13)	γ	Th-227	18,718 (5) d
96,09 (2)	0,091 (12)	γ	U-235	704 (1) E+6 a
96,14 (3)	0,000 037 9 (19)	γ	Pu-239	24 100 (11) a
96,15 (5)	0,031 (4)	γ	Ac-225	10,0 (1) d
96,244 (2)	0,001 27 (19)	γ	U-233	159,20 (20) E+3 a
96,3 (3)	0,007 (3)	γ	Fr-221	4,79 (2) min
96,4 (4)	0,014 (3)	γ	Pu-243	4,956 (3) h
96,517 (9)	3,3 (4)	γ	Pt-191	2,802 (25) d
96,7 (2)	0,000 05 (2)	γ	Am-241	432,6 (6) a
96,734 0 (9)	3,42 (3)	γ	Se-75	119,79 (4) d
96,75 (2)	0,116 (8)	γ	Ag-111	7,45 (1) d
96,82 (3)	0,099 (9)	γ	Os-193	1,2546 (4) d
96,84 (3)	0,095 (8)	γ	Pa-231	32 760 (110) a
96,882 4 (7)	0,007 (1)	γ	Sm-153	1,92855 (5) d
97 (30)	4 (2)	γ	Tl-210	1,30 (3) min
97,069	14,7 (4)	XKα2	U-237	6,749 (16) d
97,069	13,0 (4)	XKα2	Pu-237	45,2 (1) d
97,069	0,091 (3)	XKα2	U-239	23,46 (4) min
97,069	1,32 (10)	XKα2	U-240	14,1 (1) h
97,069	0,001 16 (2)	XKα2	Am-241	432,6 (6) a
97,069	0,005 8 (5)	XKα2	Am-243	7 370 (17) a
97,134 (1)	0,020 (3)	γ	U-233	159,20 (20) E+3 a
97,17 (10)	0,24	γ	Pa-234	6,70 (5) h
97,3 (2)	0,011 6 (13)	γ	Pb-211	36,1 (2) min
97,431 00 (21)	0,767 (14)	γ	Sm-153	1,92855 (5) d
97,431 00 (21)	29,0 (8)	γ	Gd-153	240,4 (10) d
97,452 7	0,62 (5)	XKβ1	Ac-225	10,0 (1) d
97,452 7	0,005 3 (24)	XKβ1	Ac-227	21,772 (3) a
97,6 (3)	0,000 09 (6)	γ	Pu-239	24 100 (11) a
97,8 (1)	0,133 (23)	γ	Te-133m	55,4 (4) min
97,896 7	2,80 (7)	XKβ2	Ra-223	11,43 (5) d
97,896 7	0,023 8 (9)	XKβ2	Ra-224	3,627 (7) d
97,896 7	0,035 1 (10)	XKβ2	Ra-226	1 600 (7) a
98 (1)	3,72 (13)	γ	I-132m	1,387 (15) h
98,05 (2)	0,36 (4)	γ	Pm-151	1,183 (2) d
98,44	1,77 (6)	XKα1	Pa-232	1,31 (2) d
98,44	14,6 (4)	XKα1	Pa-233	26,98 (2) d
98,44	17,8 (11)	XKα1	Pa-234	6,70 (5) h
98,44	0,233 (19)	XKα1	Pa-234m	1,17 (3) min
98,44	0,97 (14)	XKα1	Np-235	1,084 (3) a
98,44	32,4 (5)	XKα1	Np-236	155 (8) E+3 a
98,44	15,8 (15)	XKα1	Np-236m	22,5 (4) h
98,44	0,000 169 (5)	XKα1	Pu-238	87,74 (3) a
98,44	0,006 61 (9)	XKα1	Pu-239	24 100 (11) a
98,44	0,000 041 6 (12)	XKα1	Pu-240	6 561 (7) a
98,44	0,000 479 (10)	XKα1	Pu-241	14,33 (4) a
98,44	0,000 028 8 (24)	XKα1	Pu-242	373 (3) E+3 a
98,5	0,015 1 (21)	γ	Am-243	7 370 (17) a

* : Radionucléide en équilibre avec son descendant
(Cf. liste en début de volume)

Énergie (keV)	Intensité (%)	Type	Parent	Période
98,70 (8)	0,016 6 (25)	Y	Os-193	1,2546 (4) d
98,74 (8)	0,058 (10)	Y	Pm-151	1,183 (2) d
98,78 (2)	0,001 35 (11)	Y	Pu-239	24 100 (11) a
98,80 (15)	0,000 84 (19)	Y	Dy-165	2,334 (6) h
98,860 (13)	0,001 36 (9)	Y	Cm-244	18,11 (3) a
98,90 (2)	11,4 (9)	Y	Pt-195m	4,02 (1) d
98,90 (2)	10,9 (9)	Y	Au-195	186,10 (5) d
98,9	4,81 (24)	Y	Np-240	61,9 (2) min
98,95 (1)	0,020 3 (4)	Y	Am-241	432,6 (6) a
98,97 (20)	0,001 (1)	Y	Pu-237	45,2 (1) d
99,079 (1)	8,14 (21)	Y	W-183m	5,2 (3) s
99,278 (3)	0,131 (9)	Y	Th-231	1,0633 (4) d
99,28 (2)	0,000 002 8 (1)	Y	Np-235	1,084 (3) a
99,47 (6)	0,17 (3)	Y	Pa-228	22 (1) h
99,479 (13)	0,000 020 (12)	Y	Ba-140	12,753 (4) d
99,509 (6)	1,26 (7)	Y	Ac-228	6,15 (2) h
99,525	0,210 (22)	XKα2	Np-236	155 (8) E+3 a
99,525	13,5 (4)	XKα2	Np-239	2,356 (3) d
99,525	1,16 (6)	XKα2	Np-240	61,9 (2) min
99,525	0,000 079 (13)	XKα2	Cm-242	162,86 (8) d
99,525	14,3 (5)	XKα2	Cm-243	29,1 (1) a
99,525	0,000 059 (5)	XKα2	Cm-244	18,11 (3) a
99,525	17,1 (44)	XKα2	Cm-245	8 480 (60) a
99,56 (10)	0,034 (11)	Y	Xe-140	13,6 (1) s
99,58 (10)	0,025 (6)	Y	Th-227	18,718 (5) d
99,6 (2)	0,013 (1)	Y	Th-227	18,718 (5) d
99,63 (5)	0,62 (4)	Y	Ac-225	10,0 (1) d
99,81 (10)	0,017 (7)	Y	In-116m	54,29 (17) min
99,852 (3)	0,007 35 (8)	Y	Pu-238	87,74 (3) a
99,853 (3)	0,000 60 (3)	Y	Pa-234m	1,17 (3) min
99,86 (2)	3,2	Y	Pa-234	6,70 (5) h
99,91 (5)	1,01 (6)	Y	Ac-225	10,0 (1) d
99,961 (15)	0,039 (3)	Y	Ce-144	285,0 (2) d
100,0 (3)	0,70 (5)	Y	Pr-147	13,4 (4) min
100	0,009	Y	Ac-227	21,772 (3) a
100,02 (1)	2,54 (19)	Y	Pm-151	1,183 (2) d
100,1 (1)	0,08 (2)	Y	Te-131m*	1,25 (8) d
100,1	0,96 (15)	XKβ1	Fr-223	22,00 (7) min
100,1	4,61 (11)	XKβ1	Fr-227	2,47 (3) min
100,1 (2)	2,7 (6)	Y	Fr-227	2,47 (3) min
100,1	1,04 (4)	XKβ1	Th-227	18,718 (5) d
100,1	0,009 8 (5)	XKβ1	Th-228	1,9127 (6) a
100,1	8,7 (3)	XKβ1	Th-229	7 340 (160) a
100,1	0,002 5 (2)	XKβ1	Th-230	75 380 (300) a
100,1	0,001 0 (2)	XKβ1	Th-232	14,05 (6) E+9 a
100,106 5 (3)	14,1 (3)	Y	Ta-182	114,43 (3) d
100,2 (4)	0,011 9 (20)	Y	Cf-252	2,6470 (26) a
100,25 (2)	0,156 (13)	Y	Fr-221	4,79 (2) min
100,27 (3)	0,082 (16)	Y	Th-227	18,718 (5) d
100,38 (24)	0,008 7 (9)	Y	W-187	23,72 (6) h
100,4	0,023 (24)	Y	Pa-228	22 (1) h
100,41 (3)	0,093 (13)	Y	Ac-228	6,15 (2) h
100,5 (1)	0,000 10 (5)	Y	Tb-161	6,906 (19) d
100,56	0,20 (2)	XKβ2	Ac-225	10,0 (1) d
100,56	0,001 7 (8)	XKβ2	Ac-227	21,772 (3) a
100,6 (3)	0,012 (4)	Y	Pm-151	1,183 (2) d
100,84 (5)	0,030 (4)	Y	Pa-231	32 760 (110) a
100,89 (2)	0,124	Y	Pa-234	6,70 (5) h
100,90 (4)	0,07 (1)	Y	Br-82	1,4708 (13) d
100,96 (5)	0,070 (11)	Y	Ac-225	10,0 (1) d
101,059	23,4 (6)	XKα1	U-237	6,749 (16) d
101,059	21,0 (6)	XKα1	Pu-237	45,2 (1) d
101,059	0,144 (5)	XKα1	U-239	23,46 (4) min
101,059	0,82 (6)	XKα1	U-240	14,1 (1) h
101,059	0,001 85 (4)	XKα1	Am-241	432,6 (6) a
101,059	0,009 3 (7)	XKα1	Am-243	7 370 (17) a
101,1 (2)	0,018 (3)	Y	Th-229	7 340 (160) a
101,3	0,025 (21)	Y	Pu-243	4,956 (3) h
101,42 (3)	0,33 (5)	Y	Te-134	41,8 (8) min
101,8 (2)	0,17 (6)	Y	Te-131m*	1,25 (8) d
101,894 (2)	3,6 (6)	Y	Fr-227	2,47 (3) min
101,92 (4)	0,002 51 (14)	Y	Cm-242	162,86 (8) d
101,93 (1)	1,28 (11)	Y	Pm-151	1,183 (2) d
101,96 (2)	0,008 (2)	Y	Np-239	2,356 (3) d
102,03	0,204 (21)	XKα2	Pu-243	4,956 (3) h
102,06 (3)	7,7 (7)	Y	Te-131m*	1,25 (8) d
102,1 (1)	0,006 6 (19)	Y	Sr-94	1,235 (5) min
102,270 0 (13)	0,436 (24)	Y	Th-231	1,0633 (4) d
102,27 (2)	0,000 004 2 (8)	Y	Np-235	1,084 (3) a
102,481 (3)	2,42 (14)	Y	W-183m	5,2 (3) s

* : Radionucléide en équilibre avec son descendant
(Cf. liste en début de volume)

Énergie (keV)	Intensité (%)	Type	Parent	Période
102,5 (1)	0,001 13 (5)	γ	Th-227	18,718 (5) d
102,6 (5)	0,007 (7)	γ	Pa-231	32 760 (110) a
102,7 (5)	0,032 (16)	γ	Pm-151	1,183 (2) d
102,8 (1)	0,001 34 (14)	γ	Cm-246	4 723 (27) a
102,801 3	0,028 (3)	XKβ1	Pa-228	22 (1) h
102,801 3	0,45 (3)	XKβ1	Pa-231	32 760 (110) a
102,82 (2)	0,81 (6)	γ	Np-236	155 (8) E+3 a
102,97 (1)	0,019 5 (4)	γ	Am-241	432,6 (6) a
102,98 (2)	0,006 4 (9)	γ	U-237	6,749 (16) d
102,98 (20)	0,001 05 (5)	γ	Pu-237	45,2 (1) d
103,06 (3)	0,000 217 (6)	γ	Pu-239	24 100 (11) a
103,065 (4)	0,101 (6)	γ	Tb-161	6,906 (19) d
103,080 (4)	0,96 (19)	γ	Xe-140	13,6 (1) s
103,180 12 (17)	29,19 (16)	γ	Sm-153	1,92855 (5) d
103,180 12 (17)	21,1 (6)	γ	Gd-153	240,4 (10) d
103,308 3	0,31 (5)	XKβ2	Fr-223	22,00 (7) min
103,308 3	1,51 (4)	XKβ2	Fr-227	2,47 (3) min
103,308 3	0,340 (13)	XKβ2	Th-227	18,718 (5) d
103,308 3	0,003 23 (16)	XKβ2	Th-228	1,9127 (6) a
103,308 3	2,87 (10)	XKβ2	Th-229	7 340 (160) a
103,308 3	0,000 81 (8)	XKβ2	Th-230	75 380 (300) a
103,308 3	0,000 3 (1)	XKβ2	Th-232	14,05 (6) E+9 a
103,35 (10)	0,005 (2)	γ	Th-234	24,10 (3) d
103,4 (2)	0,05 (3)	γ	Te-131m*	1,25 (8) d
103,4 (1)	13,9 (14)	γ	Sb-132	2,79 (5) min
103,4 (1)	35 (4)	γ	Sb-132m	4,10 (7) min
103,46 (10)	0,004 4 (22)	γ	Ac-225	10,0 (1) d
103,50 (4)	0,002 51 (11)	γ	Pu-242	373 (3) E+3 a
103,680 (5)	0,000 103 (2)	γ	Pu-241	14,33 (4) a
103,734	0,33 (4)	XKα1	Np-236	155 (8) E+3 a
103,734	21,4 (6)	XKα1	Np-239	2,356 (3) d
103,734	0,72 (4)	XKα1	Np-240	61,9 (2) min
103,734	0,000 125 (21)	XKα1	Cm-242	162,86 (8) d
103,734	23,0 (8)	XKα1	Cm-243	29,1 (1) a
103,734	0,000 094 (5)	XKα1	Cm-244	18,11 (3) a
103,734	28 (7)	XKα1	Cm-245	8 480 (60) a
103,75 (6)	0,31 (4)	γ	Xe-139	39,68 (14) s
103,77 (2)	0,24	γ	Pa-234	6,70 (5) h
103,8 (5)	0,010 1 (4)	γ	W-187	23,72 (6) h
103,85 (8)	0,000 9 (3)	γ	Te-121m	154 (7) d
103,86 (1)	0,853 (6)	γ	Pa-233	26,98 (2) d
103,9 (4)	0,000 93 (20)	γ	Pd-109	13,7 (1) h
104,1 (10)	0,008	γ	Np-236	155 (8) E+3 a
104,2 (1)	0,019 (3)	γ	Ra-223	11,43 (5) d
104,234 (6)	7,32 (13)	γ	Np-236	155 (8) E+3 a
104,234 (6)	0,001 19 (14)	γ	Np-236m	22,5 (4) h
104,234 (6)	0,007 14 (7)	γ	Pu-240	6 561 (7) a
104,320 (5)	74,6 (19)	γ	Sm-155	22,3 (2) min
104,398 (4)	1,28 (21)	γ	Xe-140	13,6 (1) s
104,59	3,6 (4)	XKα2	Am-245	2,05 (1) h
104,59	0,000 025 7 (7)	XKα2	Cf-252	2,6470 (26) a
104,6 (2)	0,009 (3)	γ	Th-229	7 340 (160) a
104,7 (8)	0,157 (13)	γ	Mo-101	14,6 (1) min
104,7 (2)	0,03 (1)	γ	Te-131m*	1,25 (8) d
104,729 (7)	13,4 (5)	γ	Re-184m	169 (8) d
104,84 (1)	3,5 (3)	γ	Pm-151	1,183 (2) d
105	0,011 4	γ	Pa-234m	1,17 (3) min
105,19 (10)	0,002 6 (8)	γ	Yb-169	32,018 (5) d
105,20 (2)	0,004 4 (16)	γ	Cd-115m	44,56 (24) d
105,2 (1)	0,009 7 (5)	γ	Th-227	18,718 (5) d
105,2 (1)	0,043	γ	Th-233	22,15 (15) min
105,308 3 (10)	21,1 (6)	γ	Eu-155	4,753 (14) a
105,359 5 (6)	12,3 (3)	γ	Lu-177m	160,4 (3) d
105,47 (5)	1,65 (20)	γ	Pa-232	1,31 (2) d
105,5 (5)	0,14 (4)	γ	Te-129m	33,6 (1) d
105,554	0,536 (12)	XKβ1	Ac-228	6,15 (2) h
105,554	14,1 (30)	XKβ1	Pa-228	22 (1) h
105,554	0,018 (18)	XKβ1	Pa-232	1,31 (2) d
105,554	0,003 1 (3)	XKβ1	U-232	70 (1) a
105,554	0,004 4 (2)	XKβ1	U-233	159,20 (20) E+3 a
105,554	0,001 55 (15)	XKβ1	U-234	245,5 (6) E+3 a
105,554	2,08 (6)	XKβ1	U-235	704 (1) E+6 a
105,554	0,000 63 (17)	XKβ1	U-238	4,468 (5) E+9 a
105,81 (3)	0,007 8 (8)	γ	Th-231	1,0633 (4) d
105,85 (7)	0,000 6 (6)	γ	W-188	69,78 (5) d
105,9	10,8 (6)	γ	Re-188m	18,6 (1) min
105,95 (5)	0,275 (15)	γ	Mo-101	14,6 (1) min
106,05 (3)	0,45 (5)	γ	Kr-90	32,32 (9) s
106,113 (3)	0,078 (5)	γ	Tb-161	6,906 (19) d
106,113 3	0,006 0 (6)	XKβ2	Pa-228	22 (1) h

* : Radionucléide en équilibre avec son descendant
(Cf. liste en début de volume)

Énergie (keV)	Intensité (%)	Type	Parent	Période
106,113 3	0,149 (8)	XKβ2	Pa-231	32 760 (110) a
106,125 (2)	25,9 (3)	γ	Np-239	2,356 (3) d
106,15 (25)	0,049 (1)	γ	Np-237	2,144 (7) E+6 a
106,42 (5)	0,000 015	γ	Am-241	432,6 (6) a
106,472	0,127 (13)	XKα1	Pu-243	4,956 (3) h
106,50 (3)	0,049 (8)	γ	Np-239	2,356 (3) d
106,596 (13)	0,026 2 (11)	γ	W-187	23,72 (6) h
106,61 (3)	0,017 6 (11)	γ	Th-231	1,0633 (4) d
106,68 (5)	0,036	γ	Pa-234	6,70 (5) h
106,78 (3)	0,023 3 (15)	γ	Ra-223	11,43 (5) d
106,79 (6)	0,001 3 (5)	γ	Ac-227	21,772 (3) a
106,92 (15)	0,043 (13)	γ	Kr-90	32,32 (9) s
106,92 (15)	0,22 (5)	γ	Rb-90m	4,30 (7) min
106,993 (10)	0,64 (4)	γ	Os-193	1,2546 (4) d
107,108 (8)	0,81 (5)	γ	Th-229	7 340 (160) a
107,22 (9)	0,006 8 (14)	γ	Pb-214	26,8 (9) min
107,306 (4)	0,59 (7)	γ	Fr-227	2,47 (3) min
107,76 (7)	0,007 6 (25)	γ	Th-227	18,718 (5) d
107,85 (2)	0,41 (4)	γ	W-185m	1,67 (3) min
107,932 (1)	18,9 (3)	γ	W-183m	5,2 (3) s
108,00 (5)	0,010 (1)	γ	Th-234	24,10 (3) d
108,363	0,23 (3)	XKβ1	Th-231	1,0633 (4) d
108,363	0,28	XKβ1	Th-233	22,15 (15) min
108,363	0,97 (11)	XKβ1	Np-237	2,144 (7) E+6 a
108,41 (3)	0,251 (11)	γ	Ac-225	10,0 (1) d
108,5 (1)	0,000 6	γ	Th-233	22,15 (15) min
108,7	0,071 (3)	γ	Np-237	2,144 (7) E+6 a
108,788 (6)	44 (4)	γ	Kr-91	8,57 (4) s
108,80 (4)	0,108 (12)	γ	Ru-97	2,9 (1) d
108,95 (5)	0,050 (25)	γ	Xe-140	13,6 (1) s
108,96 (5)	2,8 (3)	γ	Pa-232	1,31 (2) d
108,968 7	0,181 (5)	XKβ2	Ac-228	6,15 (2) h
108,968 7	2,9 (10)	XKβ2	Pa-228	22 (1) h
108,968 7	0,006 (6)	XKβ2	Pa-232	1,31 (2) d
108,968 7	0,001 05 (8)	XKβ2	U-232	70 (1) a
108,968 7	0,001 50 (5)	XKβ2	U-233	159,20 (20) E+3 a
108,968 7	0,000 52 (5)	XKβ2	U-234	245,5 (6) E+3 a
108,968 7	0,70 (2)	XKβ2	U-235	704 (1) E+6 a
108,968 7	0,000 21 (6)	XKβ2	U-238	4,468 (5) E+9 a
109	0,012 (4)	γ	Pu-236	2,87 (1) a
109,10 (11)	0,044 (15)	γ	Nb-96	23,35 (5) h
109,16 (2)	1,54 (6)	γ	U-235	704 (1) E+6 a
109,2 (4)	0,005 2 (15)	γ	Th-227	18,718 (5) d
109,2 (3)	0,044 (9)	γ	Th-229	7 340 (160) a
109,2 (2)	0,161 (22)	γ	Pu-243	4,956 (3) h
109,271	5,8 (6)	XKα1	Am-245	2,05 (1) h
109,271	0,000 040 2 (11)	XKα1	Cf-252	2,6470 (26) a
109,276 (15)	0,068 3 (12)	γ	Sb-125*	2,75855 (25) a
109,276 (15)	0,281 (9)	γ	Te-125m	57,40 (15) d
109,41 (5)	0,06 (2)	γ	Te-131	25,0 (1) min
109,417 (4)	0,217 (6)	γ	La-140	1,67850 (17) d
109,5 (1)	0,000 30 (3)	γ	U-233	159,20 (20) E+3 a
109,56 (2)	0,085 (8)	γ	Pm-151	1,183 (2) d
109,59 (3)	0,000 59 (18)	γ	Dy-165	2,334 (6) h
109,681 (7)	0,21 (3)	γ	Cs-136	13,16 (3) d
109,70 (7)	0,000 004 9	γ	Am-241	432,6 (6) a
109,779 24 (4)	0,001 3	γ	Er-169	9,40 (2) d
109,779 24 (4)	17,36 (9)	γ	Yb-169	32,018 (5) d
109,894 (5)	2,54 (10)	γ	O-19	26,91 (8) s
110,23 (7)	0,083 (23)	γ	Te-133m	55,4 (4) min
110,3 (4)	0,006 0 (14)	γ	Pa-228	22 (1) h
110,332 (8)	0,124 (13)	γ	Th-229	7 340 (160) a
110,4 (3)	0,012 2 (11)	γ	Ir-192	73,827 (13) d
110,41 (5)	0,087 (4)	γ	Ta-182	114,43 (3) d
110,65 (5)	0,003 2 (20)	γ	Th-227	18,718 (5) d
110,8 (4)	0,000 001 3 (4)	γ	Np-235	1,084 (3) a
110,856 (10)	0,058 (5)	γ	Ra-223	11,43 (5) d
110,895 (12)	0,001 09 (9)	γ	Sb-125*	2,75855 (25) a
111,0 (2)	0,020 2 (5)	γ	U-239	23,46 (4) min
111,05 (3)	0,005 (2)	γ	Fr-223	22,00 (7) min
111,207 (7)	17,1 (8)	γ	Re-184	38,0 (5) d
111,207 (7)	5,9 (4)	γ	Re-184m	169 (8) d
111,227 7	0,64 (3)	XKβ1	Pa-232	1,31 (2) d
111,227 7	5,25 (21)	XKβ1	Pa-233	26,98 (2) d
111,227 7	6,4 (5)	XKβ1	Pa-234	6,70 (5) h
111,227 7	0,080 (7)	XKβ1	Pa-234m	1,17 (3) min
111,227 7	0,35 (5)	XKβ1	Np-235	1,084 (3) a
111,227 7	11,68 (25)	XKβ1	Np-236	155 (8) E+3 a
111,227 7	5,7 (6)	XKβ1	Np-236m	22,5 (4) h
111,227 7	0,002 39 (3)	XKβ1	Pu-239	24 100 (11) a

* : Radionucléide en équilibre avec son descendant
(Cf. liste en début de volume)

Énergie (keV)	Intensité (%)	Type	Parent	Période
111,227 7	0,000 015 2 (5)	XKβ1	Pu-240	6 561 (7) a
111,227 7	0,000 179 (5)	XKβ1	Pu-241	14,33 (4) a
111,227 7	0,000 010 4 (10)	XKβ1	Pu-242	373 (3) E+3 a
111,4 (4)	0,001 7 (6)	γ	Ir-194	19,3 (1) h
111,411 7	0,000 060 9 (16)	XKβ1	Pu-238	87,74 (3) a
111,54 (3)	0,317 (15)	γ	Ac-225	10,0 (1) d
111,6 (3)	0,057 (9)	γ	Zr-97	16,90 (5) h
111,76 (8)	1,74 (8)	γ	Te-132	3,204 (13) d
111,885	0,07 (1)	XKβ2	Th-231	1,0633 (4) d
111,885	0,095	XKβ2	Th-233	22,15 (15) min
111,885	0,37 (1)	XKβ2	Np-237	2,144 (7) E+6 a
112,0 (1)	0,000 45 (5)	γ	U-233	159,20 (20) E+3 a
112,26 (15)	0,11 (5)	γ	Te-133m	55,4 (4) min
112,52 (3)	0,136 (6)	γ	Ga-72	14,10 (2) h
112,60 (13)	0,130 (23)	γ	Cs-138	33,41 (18) min
112,60 (15)	0,000 11 (5)	γ	Tb-161	6,906 (19) d
112,6 (5)	0,009 (4)	γ	Th-227	18,718 (5) d
112,606 (4)	3,7 (7)	γ	Xe-140	13,6 (1) s
112,8	0,012 6 (4)	γ	I-135	6,57 (2) h
112,8	1,01 (12)	γ	Ba-141	18,27 (7) min
112,8 (2)	0,002 2 (11)	γ	Ac-225	10,0 (1) d
112,81 (5)	0,28 (3)	γ	Th-234	24,10 (3) d
112,949 8 (4)	6,20 (7)	γ	Lu-177	6,647 (4) d
112,949 8 (5)	20,4 (5)	γ	Lu-177m	160,4 (3) d
113,03 (5)	0,09 (4)	γ	Fr-227	2,47 (3) min
113,1	0,006 89 (22)	γ	I-135	6,57 (2) h
113,1 (2)	0,009 7 (17)	γ	Pm-151	1,183 (2) d
113,11	0,19 (9)	γ	Th-227	18,718 (5) d
113,11 (5)	0,55 (10)	γ	Th-227	18,718 (5) d
113,25 (7)	0,003 6 (7)	γ	Ru-103*	39,255 (8) d
113,5 (1)	0,006 (1)	γ	Ga-72	14,10 (2) h
113,5 (1)	0,017 4 (47)	γ	U-238	4,468 (5) E+9 a
113,55 (5)	0,481 (13)	γ	Xe-125	16,9 (2) h
113,582 (7)	0,017 1 (7)	γ	Ba-140	12,753 (4) d
113,672 5 (3)	1,88 (4)	γ	Ta-182	114,43 (3) d
113,746 (8)	0,077 (3)	γ	W-187	23,72 (6) h
113,805 (4)	1,88 (24)	γ	Yb-175	4,185 (1) d
113,81 (2)	0,29 (3)	γ	Hf-175	70 (2) d
113,9	0,106 (9)	γ	Ba-141	18,27 (7) min
114 (1)	0,000 006 2 (12)	γ	Pu-241	14,33 (4) a
114,024 (9)	0,678 (20)	γ	Mo-93m	6,85 (7) h
114,149 7	8,50 (27)	XKβ1	U-237	6,749 (16) d
114,149 7	7,6 (3)	XKβ1	Pu-237	45,2 (1) d
114,149 7	0,052 (2)	XKβ1	U-239	23,46 (4) min
114,149 7	0,48 (4)	XKβ1	U-240	14,1 (1) h
114,149 7	0,000 670 (14)	XKβ1	Am-241	432,6 (6) a
114,149 7	0,003 38 (26)	XKβ1	Am-243	7 370 (17) a
114,4 (3)	0,001 7 (4)	γ	Ru-97	2,9 (1) d
114,4 (3)	0,000 23 (4)	γ	U-233	159,20 (20) E+3 a
114,49 (10)	0,009 3 (20)	γ	Pa-228	22 (1) h
114,5 (5)	0,009 (5)	γ	Ra-223	11,43 (5) d
114,560 (7)	0,009 8 (21)	γ	Ac-228	6,15 (2) h
114,709 5	0,12 (2)	XKβ2	Np-235	1,084 (3) a
114,932	0,22 (1)	XKβ2	Pa-232	1,31 (2) d
114,932	1,80 (8)	XKβ2	Pa-233	26,98 (2) d
114,932	2,2 (2)	XKβ2	Pa-234	6,70 (5) h
114,932	0,028 (3)	XKβ2	Pa-234m	1,17 (3) min
114,932	3,99 (11)	XKβ2	Np-236	155 (8) E+3 a
114,932	1,95 (15)	XKβ2	Np-236m	22,5 (4) h
114,932	0,001 31 (6)	XKβ2	Pu-239	24 100 (11) a
114,932	0,000 004 9 (2)	XKβ2	Pu-240	6 561 (7) a
114,932	0,000 059 (2)	XKβ2	Pu-241	14,33 (4) a
114,932	0,000 003 2 (3)	XKβ2	Pu-242	373 (3) E+3 a
114,949	0,000 020 2 (6)	XKβ2	Pu-238	87,74 (3) a
114,97 (2)	0,008 0 (8)	γ	Ru-103*	39,255 (8) d
115,104 (10)	0,007 1 (9)	γ	Dy-165	2,334 (6) h
115,14 (5)	0,002 2	γ	Th-233	22,15 (15) min
115,183 (5)	0,623 (22)	γ	Pb-212	10,64 (1) h
115,3 (4)	0,028 (5)	γ	Th-229	7 340 (160) a
115,38 (5)	0,000 46 (5)	γ	Pu-239	24 100 (11) a
115,40 (35)	0,002 6 (8)	γ	Np-237	2,144 (7) E+6 a
115,45 (5)	0,03 (1)	γ	U-235	704 (1) E+6 a
115,5 (5)	0,005 2 (3)	γ	W-187	23,72 (6) h
115,63 (3)	0,016 (3)	γ	Th-231	1,0633 (4) d
115,7	0,017 (6)	γ	Tl-200	1,088 (5) d
115,76 (13)	0,029 (4)	γ	Mo-101	14,6 (1) min
115,868 2 (23)	0,65 (4)	γ	Lu-177m	160,4 (3) d
115,98 (10)	0,017 (3)	γ	Th-229	7 340 (160) a
116,26 (5)	0,014 9 (21)	γ	Pa-228	22 (1) h
116,26 (2)	0,000 581 (19)	γ	Pu-239	24 100 (11) a

* : Radionucléide en équilibre avec son descendant
(Cf. liste en début de volume)

Énergie (keV)	Intensité (%)	Type	Parent	Période
116,30 (8)	1,96 (9)	γ	Te-132	3,204 (13) d
116,41 (7)	0,000 19 (3)	γ	U-233	159,20 (20) E+3 a
116,418 6 (7)	0,431 (9)	γ	Ta-182	114,43 (3) d
116,44 (9)	0,28 (12)	γ	Te-133m	55,4 (4) min
116,48 (5)	0,008 0 (3)	γ	Ag-110m	249,78 (2) d
116,5 (10)	0,05 (2)	γ	In-116m	54,29 (17) min
116,51 (15)	0,113 (35)	γ	Tl-200	1,088 (5) d
116,82 (2)	0,022 2 (17)	γ	Th-231	1,0633 (4) d
116,955 (11)	0,263 (4)	γ	Sb-125*	2,75855 (25) a
117,01 (4)	0,187 (25)	γ	Lu-177m	160,4 (3) d
117,13	0,122 (13)	XKβ1	Np-236	155 (8) E+3 a
117,13	7,84 (25)	XKβ1	Np-239	2,356 (3) d
117,13	0,42 (3)	XKβ1	Np-240	61,9 (2) min
117,13	0,000 045 (8)	XKβ1	Cm-242	162,86 (8) d
117,13	8,3 (4)	XKβ1	Cm-243	29,1 (1) a
117,13	0,000 034 1 (17)	XKβ1	Cm-244	18,11 (3) a
117,13	12,1 (9)	XKβ1	Cm-245	8 480 (60) a
117,159 (2)	0,002 3 (4)	γ	U-233	159,20 (20) E+3 a
117,20 (5)	0,194 (17)	γ	Th-227	18,718 (5) d
117,211 (9)	84,3 (20)	γ	Tl-209	2,20 (1) min
117,3 (3)	0,016 8 (30)	γ	Eu-152m	9,3116 (13) h
117,32 (5)	1,22 (20)	γ	Cs-143	1,791 (7) s
117,377 (18)	0,039 8 (36)	γ	Yb-169	32,018 (5) d
117,5 (5)	0,012 (4)	γ	Th-227	18,718 (5) d
117,60 (15)	0,57 (5)	γ	Am-243	7 370 (17) a
117,66 (3)	0,14 (2)	γ	U-239	23,46 (4) min
117,692 (20)	0,001 5	γ	Th-233	22,15 (15) min
117,702 (20)	0,170 (4)	γ	Np-237	2,144 (7) E+6 a
117,82 (3)	0,022 (16)	γ	Fr-221	4,79 (2) min
117,922 7	2,92 (10)	XKβ2	U-237	6,749 (16) d
117,922 7	2,6 (1)	XKβ2	Pu-237	45,2 (1) d
117,922 7	0,018 (1)	XKβ2	U-239	23,46 (4) min
117,922 7	0,16 (1)	XKβ2	U-240	14,1 (1) h
117,922 7	0,000 231 (5)	XKβ2	Am-241	432,6 (6) a
117,922 7	0,001 16 (9)	XKβ2	Am-243	7 370 (17) a
117,99 (15)	0,013 (5)	γ	Th-229	7 340 (160) a
118,110 5 (10)	0,000 23 (6)	γ	Sm-153	1,92855 (5) d
118,170 (7)	0,000 1	γ	Er-169	9,40 (2) d
118,189 40 (14)	1,87 (1)	γ	Yb-169	32,018 (5) d
118,3 (5)	0,013 (7)	γ	Rb-89	15,2 (1) min
118,310 (3)	4,5 (7)	γ	Xe-140	13,6 (1) s
118,5 (2)	0,074 (5)	γ	Sr-91*	9,63 (5) h
118,849 (4)	0,060 5 (18)	γ	Ba-140	12,753 (4) d
118,968 (2)	0,004 06 (4)	γ	U-233	159,20 (20) E+3 a
119,033 (10)	0,173 (3)	γ	Ho-166m	1 200 (180) a
119,32 (2)	0,001 32 (12)	γ	Br-83	2,40 (2) h
119,32 (9)	0,014 4 (24)	γ	Rb-83	86,2 (1) d
119,4 (4)	0,067 (24)	γ	Xe-139	39,68 (14) s
119,47 (3)	0,007 1 (9)	γ	Dy-165	2,334 (6) h
119,58 (15)	0,11 (6)	γ	Te-133m	55,4 (4) min
119,69 (10)	0,12 (5)	γ	Xe-140	13,6 (1) s
119,70 (3)	0,000 021 (3)	γ	Pu-239	24 100 (11) a
119,76 (2)	0,000 009 (2)	γ	Pu-239	24 100 (11) a
119,87 (5)	0,075 (10)	γ	Ac-225	10,0 (1) d
119,98 (2)	0,051 (21)	γ	Th-229	7 340 (160) a
120,0 (2)	0,021 (6)	γ	Pb-201	9,33 (3) h
120,172	0,075 (8)	XKβ1	Pu-243	4,956 (3) h
120,23 (3)	0,016 9 (9)	γ	Ag-110m	249,78 (2) d
120,3 (4)	0,024 (10)	γ	Nb-96	23,35 (5) h
120,35 (5)	0,026	γ	U-235	704 (1) E+6 a
120,36 (8)	0,000 004 5	γ	Am-241	432,6 (6) a
120,53 (5)	0,373 (15)	γ	Nd-147	10,98 (1) d
120,709 (8)	1,39 (17)	γ	Fr-227	2,47 (3) min
120,816 (1)	0,003 32 (3)	γ	U-233	159,20 (20) E+3 a
120,90 (4)	0,038 6 (32)	γ	U-234	245,5 (6) E+3 a
120,92 (3)	3,5 (4)	γ	Kr-90	32,32 (9) s
121,017 3	0,042 (4)	XKβ2	Np-236	155 (8) E+3 a
121,017 3	2,72 (10)	XKβ2	Np-239	2,356 (3) d
121,017 3	0,146 (8)	XKβ2	Np-240	61,9 (2) min
121,017 3	0,000 016 (3)	XKβ2	Cm-242	162,86 (8) d
121,017 3	2,9 (1)	XKβ2	Cm-243	29,1 (1) a
121,017 3	0,000 011 6 (6)	XKβ2	Cm-244	18,11 (3) a
121,017 3	62 (8)	XKβ2	Cm-245	8 480 (60) a
121,115 5 (11)	17,2 (3)	γ	Se-75	119,79 (4) d
121,175 (10)	0,241 (7)	γ	Ho-166m	1 200 (180) a
121,18 (7)	0,018 (3)	γ	Pa-228	22 (1) h
121,2 (1)	0,023 (8)	γ	Os-185	93,6 (5) d
121,24 (4)	0,002 9 (2)	γ	Pm-147	2,6234 (4) a
121,37 (8)	0,53 (5)	γ	Xe-139	39,68 (14) s
121,42 (7)	0,036 (4)	γ	Br-87	55,65 (13) s

* : Radionucléide en équilibre avec son descendant
(Cf. liste en début de volume)

Énergie (keV)	Intensité (%)	Type	Parent	Période
121,5 (2)	0,002 6 (8)	Y	Ta-182	114,43 (3) d
121,51 (20)	0,040 (21)	Y	Xe-140	13,6 (1) s
121,53 (4)	0,002 1 (7)	Y	Ac-227	21,772 (3) a
121,621 0 (5)	5,91 (23)	Y	Lu-177m	160,4 (3) d
121,77 (4)	0,09 (1)	Y	Pm-151	1,183 (2) d
121,777 (5)	7 (1)	Y	Eu-152m	9,3116 (13) h
121,781 7 (3)	28,41 (13)	Y	Eu-152	13,522 (16) a
121,82 (3)	35 (3)	Y	Kr-90	32,32 (9) s
121,87 (3)	0,031 (4)	Y	Pa-228	22 (1) h
122,05 (7)	0,102 (9)	Y	W-185m	1,67 (3) min
122,060 65 (12)	85,51 (6)	Y	Co-57	271,80 (5) d
122,27 (6)	0,197 (12)	Y	Kr-88	2,84 (3) h
122,319 (10)	1,192 (23)	Y	Ra-223	11,43 (5) d
122,33 (10)	0,603 (6)	Y	Re-186	3,7186 (17) d
122,4 (1)	0,009 (3)	Y	Ce-143	33,040 (7) h
122,5 (5)	0,001 60 (16)	Y	Pa-228	22 (1) h
123,02 (2)	0,001 00 (4)	Y	Am-241	432,6 (6) a
123,070 6 (9)	40,4 (5)	Y	Eu-154	8,601 (4) a
123,17 (5)	0,134 (18)	Y	Fr-227	2,47 (3) min
123,193 (13)	0,151 (8)	Y	Th-229	7 340 (160) a
123,277	2,05 (23)	XKβ1	Am-245	2,05 (1) h
123,277	0,000 015 1 (5)	XKβ1	Cf-252	2,6470 (26) a
123,45 (1)	0,096 (4)	Y	Pb-212	10,64 (1) h
123,58 (10)	0,014 (5)	Y	Th-227	18,718 (5) d
123,62 (5)	0,000 023 7 (9)	Y	Pu-239	24 100 (11) a
123,66 (12)	0,025 (5)	Y	W-187	23,72 (6) h
123,75 (5)	0,072 (7)	Y	Ac-225	10,0 (1) d
123,805 (3)	29,0 (3)	Y	Ba-131	11,50 (6) d
123,893 (5)	0,000 59 (9)	Y	U-233	159,20 (20) E+3 a
124,06 (2)	0,001 8 (4)	Y	Re-184	38,0 (5) d
124,06 (2)	0,149 (11)	Y	Re-184m	169 (8) d
124,143 3	0,026 (3)	XKβ2	Pu-243	4,956 (3) h
124,2 (2)	0,044 (9)	Y	Pb-201	9,33 (3) h
124,4	0,01	Y	Np-239	2,356 (3) d
124,44 (20)	0,004 0 (22)	Y	Th-227	18,718 (5) d
124,51 (3)	0,000 068 1 (19)	Y	Pu-239	24 100 (11) a
124,55 (5)	0,69 (7)	Y	Th-229	7 340 (160) a
124,58 (6)	0,004 8 (13)	Y	Pa-231	32 760 (110) a
124,65 (5)	0,74 (7)	Y	Th-229	7 340 (160) a
124,75 (7)	0,010 (5)	Y	In-116m	54,29 (17) min
124,82 (5)	0,026 2 (22)	Y	Ac-225	10,0 (1) d
124,914 (17)	0,058 (3)	Y	Th-231	1,0633 (4) d
124,93 (2)	0,000 001 3 (1)	Y	Np-235	1,084 (3) a
125	0,001 9 (10)	Y	Eu-150	36,9 (9) a
125,2 (3)	0,018 (6)	Y	Pm-151	1,183 (2) d
125,21 (10)	0,000 056 3 (16)	Y	Pu-239	24 100 (11) a
125,29 (1)	0,004 1 (2)	Y	Am-241	432,6 (6) a
125,3 (2)	0,000 16 (16)	Y	Pu-237	45,2 (1) d
125,358 (3)	0,019 2 (7)	Y	W-185	75,1 (3) d
125,358 (1)	0,342 (18)	Y	Os-185	93,6 (5) d
125,39 (5)	0,007 (2)	Y	Eu-154	8,601 (4) a
125,46 (1)	0,78	Y	Pa-234	6,70 (5) h
125,69 (13)	0,019 (6)	Y	Eu-152	13,522 (16) a
126,15 (10)	0,007 6 (22)	Y	Ac-225	10,0 (1) d
126,4 (2)	0,021 (11)	Y	Th-229	7 340 (160) a
126,5 (3)	0,011 (6)	Y	Th-229	7 340 (160) a
126,8 (5)	0,002 9 (14)	Y	Pm-151	1,183 (2) d
127,164 (3)	16,0 (5)	Y	Ni-57	35,9 (3) h
127,22 (3)	2,63 (8)	Y	Tc-101	14,2 (1) min
127,403 7	0,72 (8)	XKβ2	Am-245	2,05 (1) h
127,403 7	0,000 005 30 (19)	XKβ2	Cf-252	2,6470 (26) a
127,42 (6)	12,6 (4)	Y	Cs-134m	2,913 (2) h
127,67 (10)	0,001 6 (7)	Y	Re-184	38,0 (5) d
127,67 (10)	0,000 6 (2)	Y	Re-184m	169 (8) d
127,78 (6)	5,7 (5)	Y	Pr-147	13,4 (4) min
128,0 (4)	0,016 (10)	Y	Nb-96	23,35 (5) h
128,02 (2)	0,003 2 (5)	Y	Th-227	18,718 (5) d
128,09 (14)	0,014 (1)	Y	Ba-131	11,50 (6) d
128,3 (10)	0,087 (20)	Y	U-240	14,1 (1) h
128,503 (5)	15,5 (4)	Y	Lu-177m	160,4 (3) d
128,55 (8)	0,000 060 (12)	Y	Br-83	2,40 (2) h
128,55 (12)	0,001 35 (27)	Y	Rb-83	86,2 (1) d
128,7 (3)	0,038 (9)	Y	Xe-140	13,6 (1) s
129,04 (3)	0,016 (11)	Y	Th-229	7 340 (160) a
129,06 (2)	4,3 (4)	Y	Pa-228	22 (1) h
129,064 (6)	2,42 (9)	Y	Ac-228	6,15 (2) h
129,08 (5)	0,068 2 (4)	Y	U-232	70 (1) a
129,2 (2)	0,003 3 (11)	Y	Ac-225	10,0 (1) d
129,296 (1)	0,006 31 (4)	Y	Pu-239	24 100 (11) a
129,39 (3)	0,000 50 (18)	Y	Dy-165	2,334 (6) h

* : Radionucléide en équilibre avec son descendant
(Cf. liste en début de volume)

Énergie (keV)	Intensité (%)	Type	Parent	Période
129,4 (3)	0,025 (8)	γ	Br-82	1,4708 (13) d
129,4 (3)	0,05 (1)	γ	Kr-87	1,272 (8) h
129,4 (7)	3,2 (5)	γ	Pt-191	2,802 (25) d
129,4 (2)	0,001 3 (6)	γ	Th-227	18,718 (5) d
129,431 (5)	29 (2)	γ	Os-191	15,4 (1) d
129,431 (5)	29 (2)	γ	Ir-191m	4,94 (3) s
129,5	0,014 (2)	γ	Eu-154	8,601 (4) a
129,5 (2)	0,084 (7)	γ	Pt-195m	4,02 (1) d
129,757 (20)	0,82 (5)	γ	Au-195	186,10 (5) d
129,79 (2)	2,83 (21)	γ	Pt-195m	4,02 (1) d
129,81 (2)	0,30 (2)	γ	Kr-85m	4,480 (8) h
129,826 (10)	0,000 5	γ	Sr-85	64,850 (7) d
129,92 (10)	0,111 (16)	γ	Pb-201	9,33 (3) h
130	0,105 (14)	γ	Pt-197m	95,41 (18) min
130,2 (1)	3,12 (22)	γ	Au-197m	7,73 (6) s
130,42 (7)	0,23 (4)	γ	Hg-197m	23,8 (2) h
130,43 (2)	0,068 (6)	γ	Pm-151	1,183 (2) d
130,522 93 (6)	11,38 (5)	γ	Yb-169	32,018 (5) d
130,59 (3)	0,119 (13)	γ	Rn-219	3,96 (1) s
131,0 (1)	0,111 (17)	γ	Fr-227	2,47 (3) min
131,05 (20)	0,24 (6)	γ	Te-134	41,8 (8) min
131,101 (25)	0,066	γ	Th-233	22,15 (15) min
131,101 (25)	0,084 (5)	γ	Np-237	2,144 (7) E+6 a
131,121 (4)	0,469 (14)	γ	La-140	1,67850 (17) d
131,2 (5)	0,005 (3)	γ	Ra-223	11,43 (5) d
131,30 (1)	18	γ	Pa-234	6,70 (5) h
131,55 (2)	4,33 (21)	γ	W-185m	1,67 (3) min
131,58 (5)	0,011 1 (5)	γ	Eu-154	8,601 (4) a
131,612 (4)	0,124 (6)	γ	Th-228	1,9127 (6) a
131,8 (1)	0,000 102 (5)	γ	Tb-161	6,906 (19) d
131,926 (5)	0,336 (14)	γ	Th-229	7 340 (160) a
132,3 (1)	0,013 (5)	γ	Pa-232	1,31 (2) d
132,697 2 (25)	0,201 (4)	γ	Ba-140	12,753 (4) d
132,99 (3)	2,77 (35)	γ	Cm-245	8 480 (60) a
133,0 (3)	0,062 (12)	γ	Xe-140	13,6 (1) s
133,021 (19)	43,3 (6)	γ	Hf-181	42,39 (6) d
133,333 (7)	0,073 6 (16)	γ	Ag-110m	249,78 (2) d
133,544 (5)	11,0 (2)	γ	Ce-144	285,0 (2) d
133,609 (7)	2,12 (3)	γ	Ba-131	11,50 (6) d
133,64 (5)	0,014 2 (22)	γ	Ac-225	10,0 (1) d
133,97 (4)	34,1 (5)	γ	Hg-197m	23,8 (2) h
134,03 (2)	0,025 0 (14)	γ	Th-231	1,0633 (4) d
134,2 (2)	0,001 3 (3)	γ	Pd-109	13,7 (1) h
134,2 (1)	0,009 (6)	γ	Th-229	7 340 (160) a
134,22 (20)	0,020 3 (22)	γ	Pm-151	1,183 (2) d
134,247 (7)	8,8 (3)	γ	W-187	23,72 (6) h
134,285 (20)	0,002 2	γ	Th-233	22,15 (15) min
134,285 (20)	0,069 (5)	γ	Np-237	2,144 (7) E+6 a
134,6 (1)	0,033 (7)	γ	Th-227	18,718 (5) d
134,61 (2)	0,113	γ	Pa-234	6,70 (5) h
134,62 (2)	0,50 (11)	γ	Fr-223	22,00 (7) min
134,71 (13)	0,001 8 (3)	γ	U-239	23,46 (4) min
134,84	0,007 2 (4)	γ	Eu-154	8,601 (4) a
134,86 (6)	0,72 (7)	γ	Te-131m*	1,25 (8) d
134,86 (5)	0,031 (4)	γ	Ac-225	10,0 (1) d
134,9 (6)	0,004 0 (21)	γ	Pm-151	1,183 (2) d
135,05 (17)	0,012 (3)	γ	Eu-150	36,9 (9) a
135,260 (14)	0,097 9 (19)	γ	Ho-166m	1 200 (180) a
135,280 (8)	0,71 (21)	γ	Fr-227	2,47 (3) min
135,3 (8)	0,18 (9)	γ	Tc-104	18,3 (3) min
135,312 (34)	2,604 (22)	γ	Tl-201	3,0421 (17) d
135,36 (3)	0,002 32	γ	U-233	159,20 (20) E+3 a
135,399 (22)	4,10 (29)	γ	I-134	52,5 (2) min
135,50 (3)	0,114 5 (17)	γ	Pt-193m	4,33 (3) d
135,51 (2)	0,097 (8)	γ	Pa-228	22 (1) h
135,525 (5)	1,0 (4)	γ	Fr-227	2,47 (3) min
135,54 (5)	0,018 (4)	γ	Ac-228	6,15 (2) h
135,664 (11)	0,079 (5)	γ	Th-231	1,0633 (4) d
136	0,000 43 (12)	γ	Os-193	1,2546 (4) d
136,000 1 (6)	58,2 (7)	γ	Se-75	119,79 (4) d
136,06 (6)	0,112 (15)	γ	Cm-245	8 480 (60) a
136,09 (10)	0,85 (12)	γ	Kr-79	35,04 (10) h
136,1 (2)	0,027 (3)	γ	Ra-223	11,43 (5) d
136,260 (18)	5,85 (19)	γ	Hf-181	42,39 (6) d
136,28 (2)	0,031 1 (10)	γ	W-181	121,2 (2) d
136,342 6 (3)	0,199 (25)	γ	Ir-192	73,827 (13) d
136,473 56 (29)	10,71 (15)	γ	Co-57	271,80 (5) d
136,55 (5)	0,012	γ	U-235	704 (1) E+6 a
136,64 (5)	0,15 (5)	γ	Te-133m	55,4 (4) min
136,7 (4)	0,079 (10)	γ	I-132	2,295 (13) h

* : Radionucléide en équilibre avec son descendant
(Cf. liste en début de volume)

Énergie (keV)	Intensité (%)	Type	Parent	Période
136,724 5 (5)	0,047 0 (7)	γ	Lu-177	6,647 (4) d
136,724 5 (5)	1,40 (6)	γ	Lu-177m	160,4 (3) d
136,75 (7)	0,004 4 (3)	γ	Th-231	1,0633 (4) d
136,86 (4)	0,86 (19)	γ	Hf-181	42,39 (6) d
136,990 (4)	1,18 (4)	γ	Th-229	7 340 (160) a
137,0 (4)	0,09 (6)	γ	Te-134	41,8 (8) min
137,157 (8)	9,42 (6)	γ	Re-186	3,7186 (17) d
137,2 (2)	0,07 (4)	γ	Xe-138	14,08 (8) min
137,23 (4)	0,12 (5)	γ	Br-82	1,4708 (13) d
137,23 (5)	0,027	γ	Pa-234	6,70 (5) h
137,36 (4)	0,037 4 (15)	γ	Ba-131	11,50 (6) d
137,45 (30)	0,045 (18)	γ	Pb-214	26,8 (9) min
137,515 (5)	0,006 48 (15)	γ	Gd-159	18,479 (7) h
137,658 (6)	0,103 (16)	γ	Yb-175	4,185 (1) d
137,91 (5)	0,024 (5)	γ	Ac-228	6,15 (2) h
137,95 (2)	0,62 (5)	γ	Pa-228	22 (1) h
138,1 (2)	0,245 (25)	γ	Xe-123	2,08 (2) h
138,10 (6)	1,49 (8)	γ	Cs-138	33,41 (18) min
138,2 (3)	0,032 (9)	γ	Xe-140	13,6 (1) s
138,2 (2)	0,024 (17)	γ	Pt-191	2,802 (25) d
138,2 (2)	0,022 (11)	γ	Ac-225	10,0 (1) d
138,30 (15)	0,075 (19)	γ	Sm-155	22,3 (2) min
138,3 (1)	0,000 8 (1)	γ	Tb-161	6,906 (19) d
138,326 (8)	3,29 (13)	γ	In-116m	54,29 (17) min
138,38 (12)	0,041 (5)	γ	Pm-151	1,183 (2) d
138,4 (1)	0,014 (3)	γ	Th-227	18,718 (5) d
138,5 (1)	0,69 (20)	γ	Sb-132	2,79 (5) min
138,50 (5)	0,004 4 (11)	γ	W-187	23,72 (6) h
138,70 (3)	0,004 (1)	γ	Cs-134m	2,913 (2) h
138,7 (2)	0,007 9 (11)	γ	Eu-156	15,19 (8) d
138,892 (7)	4,27 (26)	γ	Os-193	1,2546 (4) d
138,9 (3)	0,027 (7)	γ	Pm-151	1,183 (2) d
139,03 (3)	0,77 (5)	γ	I-134	52,5 (2) min
139,28 (2)	0,50 (5)	γ	Pm-151	1,183 (2) d
139,46 (8)	0,000 005 3 (11)	γ	Am-241	432,6 (6) a
139,6 (1)	0,58 (5)	γ	Pa-232	1,31 (2) d
139,65 (10)	0,071 (17)	γ	Fr-227	2,47 (3) min
139,742 (17)	0,077 (5)	γ	Ce-143	33,040 (7) h
139,9 (1)	0,004 6 (4)	γ	Np-237	2,144 (7) E+6 a
139,9 (1)	0,24 (5)	γ	Np-240	61,9 (2) min
140,15 (2)	0,5	γ	Pa-234	6,70 (5) h
140,15 (2)	0,000 43 (6)	γ	Pa-234m	1,17 (3) min
140,511 (1)	89,6 (17)	γ	Mo-99*	2,7479 (6) d
140,511 (1)	88,5 (2)	γ	Tc-99m	6,0067 (10) h
140,54 (4)	0,011 (1)	γ	Th-231	1,0633 (4) d
140,544 (20)	0,002 1 (4)	γ	Dy-165	2,334 (6) h
140,6 (1)	0,030 0 (22)	γ	Pt-195m	4,02 (1) d
140,6 (3)	0,021 (3)	γ	Th-227	18,718 (5) d
140,62 (10)	0,35 (3)	γ	Pr-147	13,4 (4) min
140,703 (7)	0,042 8 (22)	γ	Ho-166m	1 200 (180) a
140,76 (4)	0,220 (21)	γ	U-235	704 (1) E+6 a
140,8 (4)	0,003 0 (9)	γ	Pa-228	22 (1) h
140,88 (1)	0,022 (4)	γ	Th-232	14,05 (6) E+9 a
140,884 (15)	0,075 (14)	γ	Pt-191	2,802 (25) d
140,91 (3)	0,31	γ	Pa-234	6,70 (5) h
141,00 (2)	0,194 (14)	γ	Pa-228	22 (1) h
141,013 (12)	0,050 (8)	γ	Ac-228	6,15 (2) h
141,15 (8)	0,03 (2)	γ	Te-131	25,0 (1) min
141,18 (4)	0,008	γ	Tl-201	3,0421 (17) d
141,22 (20)	0,006 6 (22)	γ	W-187	23,72 (6) h
141,3 (6)	0,027 (14)	γ	Pb-214	26,8 (9) min
141,411 (11)	1,98 (8)	γ	Sm-155	22,3 (2) min
141,42 (5)	0,116 (23)	γ	Th-227	18,718 (5) d
141,657 (20)	0,000 032 1 (10)	γ	Pu-239	24 100 (11) a
141,7 (5)	0,010 (4)	γ	Pm-151	1,183 (2) d
141,78 (3)	0,006 4 (9)	γ	W-188	69,78 (5) d
141,9 (1)	0,020 (3)	γ	Pa-228	22 (1) h
141,90 (6)	0,115 (8)	γ	Am-243	7 370 (17) a
142,0 (1)	0,011 (3)	γ	Th-229	7 340 (160) a
142,130 (8)	0,075 (9)	γ	Os-193	1,2546 (4) d
142,29	3,2	γ	Pb-200	21,5 (4) h
142,40 (5)	0,005	γ	U-235	704 (1) E+6 a
142,5 (1)	0,004 4 (5)	γ	U-239	23,46 (4) min
142,53 (5)	0,011 (1)	γ	Ga-72	14,10 (2) h
142,651 (2)	0,972 (15)	γ	Fe-59	44,495 (8) d
142,675 (25)	0,021 1 (17)	γ	Mo-99*	2,7479 (6) d
142,683 (1)	0,023 (2)	γ	Tc-99m	6,0067 (10) h
142,7 (1)	0,000 001 3 (4)	γ	Th-228	1,9127 (6) a
142,962 (5)	0,404 (14)	γ	Th-229	7 340 (160) a
143,17 (3)	0,214 (16)	γ	Pm-151	1,183 (2) d

* : Radionucléide en équilibre avec son descendant
(Cf. liste en début de volume)

Énergie (keV)	Intensité (%)	Type	Parent	Période
143,2 (2)	0,035 (10)	Y	Ca-49	8,718 (6) min
143,2 (3)	0,010 (4)	Y	Pm-151	1,183 (2) d
143,23 (2)	0,014	Y	Th-233	22,15 (15) min
143,249 (20)	0,42 (4)	Y	Np-237	2,144 (7) E+6 a
143,35 (20)	0,000 017 4 (8)	Y	Pu-239	24 100 (11) a
143,76 (2)	10,96 (8)	Y	U-235	704 (1) E+6 a
143,78 (2)	0,32	Y	Pa-234	6,70 (5) h
143,872 (4)	0,049 (5)	Y	Th-230	75 380 (300) a
144,1 (1)	0,001 7 (4)	Y	Fr-223	22,00 (7) min
144,129 (24)	0,44 (2)	Y	Nb-96	23,35 (5) h
144,201 (3)	0,000 285 (7)	Y	Pu-239	24 100 (11) a
144,232 (10)	3,22 (9)	Y	Ra-223	11,43 (5) d
144,39 (6)	0,011 9 (13)	Y	Pa-231	32 760 (110) a
144,4 (2)	0,000 27 (4)	Y	U-233	159,20 (20) E+3 a
144,7 (2)	0,000 55 (22)	Y	Ac-225	10,0 (1) d
144,863 (5)	0,33 (5)	Y	Yb-175	4,185 (1) d
145,06 (4)	0,005 7 (5)	Y	Th-231	1,0633 (4) d
145,1 (2)	0,001 12 (20)	Y	Pd-109	13,7 (1) h
145,139 (16)	0,071 (9)	Y	Fr-227	2,47 (3) min
145,17 (5)	0,146 (7)	Y	Ac-225	10,0 (1) d
145,22 (3)	0,003 2 (3)	Y	Te-127	9,35 (10) h
145,252 (10)	4,27 (15)	Y	Xe-127	36,4 (1) d
145,337 (4)	0,001 5 (3)	Y	U-233	159,20 (20) E+3 a
145,4 (10)	0,081 (20)	Y	U-240	14,1 (1) h
145,443 3 (14)	48,29 (20)	Y	Ce-141	32,508 (10) d
145,769 4 (20)	0,91 (5)	Y	Lu-177m	160,4 (3) d
145,82 (2)	0,240 (18)	Y	Pa-228	22 (1) h
145,849 (10)	0,158 (8)	Y	Ac-228	6,15 (2) h
145,94 (2)	0,031 7 (20)	Y	Th-231	1,0633 (4) d
146,00 (3)	0,40 (7)	Y	Cs-143	1,791 (7) s
146,05 (5)	0,026 (1)	Y	Eu-154	8,601 (4) a
146,071 (1)	0,051 (4)	Y	Eu-155	4,753 (14) a
146,094 (6)	0,000 121 (3)	Y	Pu-239	24 100 (11) a
146,2 (13)	0,208 (33)	Y	Pm-146	5,53 (5) a
146,2 (4)	0,017 (3)	Y	Pm-151	1,183 (2) d
146,22 (3)	0,092 (3)	Y	Ti-44	60,0 (11) a
146,345 (2)	0,006 57 (6)	Y	U-233	159,20 (20) E+3 a
146,57 (1)	0,000 46 (1)	Y	Am-241	432,6 (6) a
146,785 (15)	37,2 (25)	Y	Ta-182m	15,84 (10) min
146,80 (5)	0,016 (9)	Y	Th-229	7 340 (160) a
147,164 0 (7)	3,51 (17)	Y	Lu-177m	160,4 (3) d
147,2 (1)	1,18 (14)	Y	Np-240	61,9 (2) min
147,3 (3)	0,028 (9)	Y	Xe-140	13,6 (1) s
147,4 (2)	0,237 (20)	Y	I-132	2,295 (13) h
147,48 (4)	0,003 1 (10)	Y	Ac-227	21,772 (3) a
147,53 (3)	0,153 (11)	Y	Pm-151	1,183 (2) d
147,62	37,7	Y	Pb-200	21,5 (4) h
147,63 (8)	0,011 (2)	Y	Bi-213	45,59 (6) min
147,64 (5)	0,205 (21)	Y	Th-229	7 340 (160) a
148,010 (17)	0,035 (5)	Y	Eu-152	13,522 (16) a
148,026	0,013 1 (44)	Y	Tl-200	1,088 (5) d
148,15 (4)	0,88 (7)	Y	Th-229	7 340 (160) a
148,156 (8)	0,000 33 (5)	Y	U-233	159,20 (20) E+3 a
148,50 (12)	0,054 (5)	Y	Pm-151	1,183 (2) d
148,567 (10)	0,000 186 3 (8)	Y	Pu-241	14,33 (4) a
148,9 (2)	48,9 (6)	Y	Xe-123	2,08 (2) h
149,3 (2)	0,4 (2)	Y	Sb-126	12,4 (1) d
149,3 (1)	0,150 (18)	Y	Fr-227	2,47 (3) min
149,72 (2)	68,9 (6)	Y	Te-131	25,0 (1) min
149,72 (2)	20,0 (15)	Y	Te-131m*	1,25 (8) d
149,83 (12)	0,000 117	Y	U-233	159,20 (20) E+3 a
149,88 (3)	0,072	Y	Pa-234	6,70 (5) h
150,04 (2)	0,80 (4)	Y	Ac-225	10,0 (1) d
150,04 (3)	0,03 (3)	Y	Th-229	7 340 (160) a
150,059 (6)	10,8 (5)	Y	Pa-232	1,31 (2) d
150,08 (3)	0,000 073 (5)	Y	Am-241	432,6 (6) a
150,1 (4)	0,009 0 (23)	Y	Pm-151	1,183 (2) d
150,14 (20)	0,011 (3)	Y	Th-227	18,718 (5) d
150,21 (3)	0,044 9 (25)	Y	Fr-221	4,79 (2) min
150,382 (9)	0,029 (6)	Y	I-133	20,87 (8) h
150,6 (15)	0,038 (11)	Y	Ge-77	11,30 (1) h
150,6 (1)	66 (7)	Y	Sb-132m	4,10 (7) min
150,6 (4)	0,002 0 (5)	Y	Fr-223	22,00 (7) min
150,8 (7)	0,44 (9)	Y	Tc-104	18,3 (3) min
150,80 (2)	1,0 (2)	Y	Te-133m	55,4 (4) min
150,81 (3)	0,001 5 (15)	Y	In-111	2,8049 (4) d
150,93 (2)	0,08 (1)	Y	U-235	704 (1) E+6 a
151,143 (20)	0,049 (6)	Y	Re-184m	169 (8) d
151,160 (6)	0,001 2 (9)	Y	Sr-85	64,850 (7) d
151,177 (21)	0,30 (21)	Y	Fr-227	2,47 (3) min

* : Radionucléide en équilibre avec son descendant
(Cf. liste en début de volume)

Énergie (keV)	Intensité (%)	Type	Parent	Période
151,18 (3)	0,000 002 2 (13)	Y	Kr-85	10,752 (23) a
151,195 (6)	75 (4)	Y	Kr-85m	4,480 (8) h
151,2 (2)	0,20 (15)	Y	Te-131	25,0 (1) min
151,28 (14)	0,006 (1)	Y	Ta-178	9,29 (4) min
151,409 (20)	0,009	Y	Th-233	22,15 (15) min
151,414 (20)	0,234 (2)	Y	Np-237	2,144 (7) E+6 a
151,55 (3)	0,126 (17)	Y	Fr-227	2,47 (3) min
151,6 (3)	0,025 7 (4)	Y	Th-229	7 340 (160) a
151,624 4 (12)	0,010 33 (27)	Y	Sm-153	1,92855 (5) d
151,98 (15)	0,106 (12)	Y	I-134	52,5 (2) min
152,32 (2)	0,008 3 (3)	Y	W-181	121,2 (2) d
152,430 8 (3)	6,93 (13)	Y	Ta-182	114,43 (3) d
152,63 (5)	0,017 4 (22)	Y	Ac-225	10,0 (1) d
152,63 (2)	0,001 02 (5)	Y	Cm-244	18,11 (3) a
152,7 (1)	6,7 (5)	Y	Np-240	61,9 (2) min
152,71 (2)	6	Y	Pa-234	6,70 (5) h
152,719 (2)	0,000 930 (7)	Y	Pu-238	87,74 (3) a
152,9 (3)	0,001 4 (5)	Y	Eu-152m	9,3116 (13) h
153,02 (2)	0,103 (8)	Y	Pa-228	22 (1) h
153,246 (4)	5,75 (18)	Y	Cs-136	13,16 (3) d
153,272 (15)	0,111 (17)	Y	Fr-227	2,47 (3) min
153,284 3 (5)	16,9 (4)	Y	Lu-177m	160,4 (3) d
153,37 (10)	0,007 (2)	Y	Np-237	2,144 (7) E+6 a
153,4 (8)	0,27 (9)	Y	Tc-104	18,3 (3) min
153,49 (18)	0,066	Y	Th-233	22,15 (15) min
153,803 (6)	0,005 7 (7)	Y	Dy-165	2,334 (6) h
153,858 (3)	5,95 (25)	Y	Xe-138	14,08 (8) min
153,92 (5)	0,187 (9)	Y	Ac-225	10,0 (1) d
153,95 (2)	0,51 (4)	Y	Pa-228	22 (1) h
153,977 (10)	0,722 (21)	Y	Ac-228	6,15 (2) h
154,21 (10)	5,62 (16)	Y	Ra-223	11,43 (5) d
154,336 (10)	0,770 (23)	Y	Th-229	7 340 (160) a
154,4 (5)	0,015 8 (7)	Y	W-187	23,72 (6) h
154,5 (6)	0,000 51	Y	Cf-252	2,6470 (26) a
154,74 (3)	0,030 (5)	Y	Os-193	1,2546 (4) d
154,77 (12)	0,000 14	Y	U-233	159,20 (20) E+3 a
154,9 (1)	0,005	Y	Nd-147	10,98 (1) d
155	0,005 9 (6)	Y	Re-188	17,005 (4) h
155,041 (4)	15,2 (6)	Y	Re-188	17,005 (4) h
155,239 (20)	0,000 9	Y	Th-233	22,15 (15) min
155,239 (20)	0,088 (8)	Y	Np-237	2,144 (7) E+6 a
155,31 (10)	0,142 (24)	Y	Pb-201	9,33 (3) h
155,5 (2)	0,025 (5)	Y	Pm-151	1,183 (2) d
155,84 (9)	0,010 (4)	Y	Mo-93m	6,85 (7) h
156	0,62 (21)	Y	Re-188m	18,6 (1) min
156,02 (3)	2,113 (12)	Y	Sn-117m	13,60 (4) d
156,18 (5)	0,148 (15)	Y	Pm-151	1,183 (2) d
156,2	0,009 8 (4)	Y	Eu-154	8,601 (4) a
156,34 (2)	0,127 (10)	Y	Pa-228	22 (1) h
156,36 (3)	0,803 (23)	Y	Ge-77	11,30 (1) h
156,387 6 (3)	2,64 (5)	Y	Ta-182	114,43 (3) d
156,409 (9)	1,19 (4)	Y	Th-229	7 340 (160) a
156,734 87 (9)	0,009 90 (25)	Y	Yb-169	32,018 (5) d
157,151 (9)	0,176 (6)	Y	Ba-131	11,50 (6) d
157,26 (2)	0,360 (22)	Y	Ac-225	10,0 (1) d
157,42 (9)	0,001 45 (16)	Y	Cm-242	162,86 (8) d
157,6 (1)	0,11 (3)	Y	Te-133m	55,4 (4) min
158,03 (2)	0,017 (6)	Y	Cd-115m	44,56 (24) d
158,1 (3)	0,000 001 01 (10)	Y	Pu-239	24 100 (11) a
158,197 (18)	0,29 (1)	Y	Xe-135	9,14 (2) h
158,35 (2)	3,8 (4)	Y	Np-236	155 (8) E+3 a
158,379 47 (9)	40,0 (7)	Y	Au-199	3,139 (7) d
158,38 (3)	98,8 (10)	Y	Ni-56	6,079 (10) d
158,42 (12)	0,048 (6)	Y	Th-229	7 340 (160) a
158,56 (2)	86,4 (4)	Y	Sn-117m	13,60 (4) d
158,633 (10)	0,685 (17)	Y	Ra-223	11,43 (5) d
158,7 (2)	0,108 (18)	Y	Xe-140	13,6 (1) s
158,74 (3)	0,117 (9)	Y	Pa-228	22 (1) h
158,782 (15)	0,014 5 (9)	Y	Mo-99*	2,7479 (6) d
158,80 (8)	0,000 298 (20)	Y	Pu-242	373 (3) E+3 a
158,96 (10)	0,014 (5)	Y	Sb-124	60,20 (3) d
158,97 (5)	83,99 (8)	Y	Te-123m	119,3 (1) d
158,97 (5)	83,25 (21)	Y	I-123	13,2234 (37) h
159,11 (15)	0,23 (1)	Y	Ge-77	11,30 (1) h
159,16 (20)	0,000 001 4 (5)	Y	Am-241	432,6 (6) a
159,37 (5)	0,22 (3)	Y	Fr-227	2,47 (3) min
159,391 (15)	68 (2)	Y	Sc-47	3,351 (2) d
159,48 (2)	0,65	Y	Pa-234	6,70 (5) h
159,71 (8)	0,13 (3)	Y	Te-131m*	1,25 (8) d
159,734 2 (17)	0,530 (25)	Y	Lu-177m	160,4 (3) d

* : Radionucléide en équilibre avec son descendant
(Cf. liste en début de volume)

Énergie (keV)	Intensité (%)	Type	Parent	Période
159,74 (5)	0,07 (4)	Y	Fr-227	2,47 (3) min
159,9	0,001 0 (5)	Y	Eu-154	8,601 (4) a
159,96 (2)	0,000 006 45 (9)	Y	Pu-241	14,33 (4) a
160,00 (5)	0,44 (8)	Y	Cs-143	1,791 (7) s
160,0 (5)	0,000 71 (44)	Y	Eu-152m	9,3116 (13) h
160,039 (7)	0,097 (5)	Y	Ho-166m	1 200 (180) a
160,19 (5)	0,000 006 2 (13)	Y	Pu-239	24 100 (11) a
160,2 (2)	0,010 3 (14)	Y	Eu-156	15,19 (8) d
160,26 (5)	0,005 8 (19)	Y	Ac-227	21,772 (3) a
160,307 (3)	0,000 404 5 (22)	Y	Pu-240	6 561 (7) a
160,33 (2)	31,8 (15)	Y	Np-236	155 (8) E+3 a
160,4 (3)	1,9 (4)	Y	Tc-104	18,3 (3) min
160,528 (1)	5,12 (9)	Y	W-183m	5,2 (3) s
160,612 0 (16)	0,068 (8)	Y	Xe-133	5,2474 (5) d
160,612 0 (16)	0,638 (4)	Y	Ba-133	10,540 (6) a
161,052 (13)	0,43 (5)	Y	Fr-227	2,47 (3) min
161,269 (15)	6,5 (4)	Y	Re-184m	169 (8) d
161,3 (2)	0,023 (9)	Y	Hf-175	70 (2) d
161,450 (15)	0,000 122 (6)	Y	Pu-239	24 100 (11) a
161,54 (10)	0,000 001 5	Y	Am-241	432,6 (6) a
161,76 (3)	0,109 (4)	Y	Ho-166m	1 200 (180) a
161,86 (3)	0,020 2 (24)	Y	Ni-57	35,9 (3) h
162,09 (5)	0,001 1 (4)	Y	Eu-154	8,601 (4) a
162,19 (10)	0,008 (3)	Y	Th-227	18,718 (5) d
162,370 (15)	0,011 4 (6)	Y	Mo-99*	2,7479 (6) d
162,41	0,032 4 (12)	Y	Np-237	2,144 (7) E+6 a
162,41 (8)	0,033 (1)	Y	Np-237	2,144 (7) E+6 a
162,48 (7)	0,30 (4)	Y	I-134	52,5 (2) min
162,504 (12)	0,15	Y	Th-233	22,15 (15) min
162,504	0,17	Y	Th-233	22,15 (15) min
162,6 (5)	0,07 (2)	Y	In-116m	54,29 (17) min
162,65 (11)	0,010 (3)	Y	I-135	6,57 (2) h
162,662 8 (24)	6,26 (9)	Y	Ba-140	12,753 (4) d
162,852 (7)	0,57 (3)	Y	Os-185	93,6 (5) d
162,94 (2)	0,88 (8)	Y	Pm-151	1,183 (2) d
163	0,29 (4)	Y	Ba-141	18,27 (7) min
163,101 (5)	0,154 (9)	Y	Th-231	1,0633 (4) d
163,2 (8)	0,36 (9)	Y	Tc-104	18,3 (3) min
163,33 (2)	5,08 (7)	Y	U-235	704 (1) E+6 a
163,34 (17)	0,021 (8)	Y	Th-229	7 340 (160) a
163,563 (7)	1,56 (17)	Y	Fr-227	2,47 (3) min
163,58 (2)	1,55 (13)	Y	Pm-151	1,183 (2) d
163,920 (2)	3,39 (12)	Y	Cs-136	13,16 (3) d
163,920 (2)	31,3 (7)	Y	Ba-136m	308,4 (19) E-3 s
163,930 (8)	0,021 5 (7)	Y	I-131*	8,0233 (19) d
163,930 (8)	1,98 (6)	Y	Xe-131m	11,930 (16) d
164,33 (2)	0,59 (4)	Y	W-185m	1,67 (3) min
164,40 (1)	0,97 (7)	Y	Te-133m	55,4 (4) min
164,52 (10)	0,014 (3)	Y	Th-227	18,718 (5) d
164,522 (2)	0,006 23 (5)	Y	U-233	159,20 (20) E+3 a
164,59 (1)	0,000 066 (3)	Y	Am-241	432,6 (6) a
164,61 (2)	1,86 (3)	Y	U-237	6,749 (16) d
164,94 (5)	0,052	Y	Pa-234	6,70 (5) h
165,00 (5)	0,052 (2)	Y	Th-231	1,0633 (4) d
165	0,029 (5)	Y	Pa-232	1,31 (2) d
165	0,000 66 (20)	Y	Pu-236	2,87 (1) a
165,5	0,000 5	Y	In-116m	54,29 (17) min
165,5 (5)	0,005 (3)	Y	Ra-223	11,43 (5) d
165,61 (5)	0,072	Y	Pa-234	6,70 (5) h
165,7 (1)	0,000 35 (6)	Y	U-233	159,20 (20) E+3 a
165,74 (6)	0,031 (3)	Y	I-135	6,57 (2) h
165,857 5 (11)	79,90 (4)	Y	Ce-139	137,641 (20) d
165,864 (6)	24 (4)	Y	Ba-139	1,384 (5) h
165,885 (31)	0,147 (2)	Y	Tl-201	3,0421 (17) d
165,90 (21)	0,002 5 (5)	Y	Eu-154	8,601 (4) a
165,91 (4)	0,000 023 (1)	Y	Am-241	432,6 (6) a
165,98 (4)	3,10 (15)	Y	Kr-88	2,84 (3) h
166,39 (6)	0,016 (7)	Y	Np-239	2,356 (3) d
166,410 (4)	0,094 (7)	Y	Th-228	1,9127 (6) a
166,554 6 (15)	0,000 61 (6)	Y	Sm-153	1,92855 (5) d
166,576 (6)	0,37 (4)	Y	Cs-136	13,16 (3) d
166,976 (7)	0,205 (11)	Y	Th-229	7 340 (160) a
167,092 (10)	1,24 (18)	Y	Xe-140	13,6 (1) s
167,16 (6)	0,037 (8)	Y	Sm-155	22,3 (2) min
167,45 (3)	10,0 (1)	Y	Tl-201	3,0421 (17) d
167,45 (5)	0,051 (11)	Y	Th-229	7 340 (160) a
167,75 (2)	8,3 (6)	Y	Pm-151	1,183 (2) d
167,81 (5)	0,000 003 0 (8)	Y	Pu-239	24 100 (11) a
167,97 (6)	0,078 (17)	Y	I-133	20,87 (8) h
167,97 (7)	0,27 (2)	Y	Hg-197m	23,8 (2) h

* : Radionucléide en équilibre avec son descendant
(Cf. liste en début de volume)

Énergie (keV)	Intensité (%)	Type	Parent	Période
168,36 (10)	0,014 (3)	Y	Th-227	18,718 (5) d
168,39 (5)	0,92 (10)	Y	Pm-151	1,183 (2) d
168,42 (9)	0,008 4 (20)	Y	Pa-228	22 (1) h
168,5 (2)	0,003 (3)	Y	Kr-88	2,84 (3) h
168,5 (4)	0,002 5 (11)	Y	W-187	23,72 (6) h
168,65 (10)	0,010 (3)	Y	Ac-228	6,15 (2) h
168,65 (6)	0,003 0 (7)	Y	Ac-228	6,15 (2) h
168,684 (2)	99,20 (1)	Y	Fe-52	8,26 (2) h
169 (3)	0,027 (8)	Y	Mo-101	14,6 (1) min
169	0,001 2	Y	Am-243	7 370 (17) a
169,025 (5)	5,3 (3)	Y	Te-133m	55,4 (4) min
169,1 (3)	0,037 (12)	Y	Sm-155	22,3 (2) min
169,1 (2)	0,018 5 (22)	Y	Ac-225	10,0 (1) d
169,156 (20)	0,067 2 (3)	Y	Np-237	2,144 (7) E+6 a
169,159 (10)	0,34	Y	Th-233	22,15 (15) min
169,2 (10)	0,115 (8)	Y	U-240	14,1 (1) h
169,5	0,10 (6)	Y	Re-188m	18,6 (1) min
169,55 (2)	0,000 17 (1)	Y	Am-241	432,6 (6) a
169,66 (3)	0,020 (1)	Y	Th-231	1,0633 (4) d
169,95 (10)	0,005 4 (22)	Y	Th-227	18,718 (5) d
170,0 (7)	0,27 (9)	Y	Tc-104	18,3 (3) min
170,07 (6)	0,014 6 (27)	Y	Pb-214	26,8 (9) min
170,2	0,029 (1)	Y	U-239	23,46 (4) min
170,22 (3)	0,003 0 (5)	Y	Dy-165	2,334 (6) h
170,59 (6)	0,020 (4)	Y	Np-237	2,144 (7) E+6 a
170,60 (6)	0,13	Y	Th-233	22,15 (15) min
170,686 (15)	0,8 (1)	Y	Mg-27	9,458 (12) min
170,7 (2)	0,008 (4)	Y	Ac-225	10,0 (1) d
170,84 (5)	0,000 13	Y	U-233	159,20 (20) E+3 a
170,85 (2)	0,5	Y	Pa-234	6,70 (5) h
170,91 (13)	0,09 (3)	Y	Te-133	12,45 (30) min
171,28 (3)	90,61 (20)	Y	In-111	2,8049 (4) d
171,393 (6)	0,000 110 (3)	Y	Pu-239	24 100 (11) a
171,5 (2)	0,003 8 (13)	Y	Th-227	18,718 (5) d
171,5 (2)	0,18 (6)	Y	Th-229	7 340 (160) a
171,586 (15)	49 (2)	Y	Ta-182m	15,84 (10) min
171,75 (2)	0,021 (21)	Y	Th-229	7 340 (160) a
171,83 (3)	0,069 (9)	Y	Fr-221	4,79 (2) min
171,857 6 (8)	4,81 (18)	Y	Lu-177m	160,4 (3) d
171,9 (2)	0,010 4 (9)	Y	Ga-66	9,49 (7) h
171,90 (8)	0,001 3 (4)	Y	Ac-227	21,772 (3) a
172,10 (3)	0,000 3 (2)	Y	Te-127	9,35 (10) h
172,132 (10)	25,2 (8)	Y	Xe-127	36,4 (1) d
172,19 (20)	3,5 (4)	Y	Pt-191	2,802 (25) d
172,303 2 (13)	0,000 4	Y	Sm-153	1,92855 (5) d
172,719 (8)	0,192 (9)	Y	Sb-125*	2,75855 (25) a
172,853 07 (21)	0,073 6 (21)	Y	Sm-153	1,92855 (5) d
172,853 07 (21)	0,036 (2)	Y	Gd-153	240,4 (10) d
172,926 (18)	0,113 (11)	Y	Th-229	7 340 (160) a
173,3 (10)	0,006 (5)	Y	U-235	704 (1) E+6 a
173,37 (3)	0,111 (23)	Y	Fr-223	22,00 (7) min
173,45 (3)	0,017 (3)	Y	Th-227	18,718 (5) d
173,546 (5)	0,126 (5)	Y	La-140	1,67850 (17) d
173,68 (2)	3,26 (16)	Y	W-185m	1,67 (3) min
173,70 (5)	0,000 003 1 (8)	Y	Pu-239	24 100 (11) a
173,8 (3)	96 (7)	Y	Xe-132m	8,39 (11) E-3 s
173,9 (3)	0,071 (40)	Y	Fr-227	2,47 (3) min
173,964 (13)	0,035 (5)	Y	Ac-228	6,15 (2) h
174,02 (4)	0,028 (4)	Y	Pa-228	22 (1) h
174,07 (6)	0,009 9 (3)	Y	U-239	23,46 (4) min
174,15 (2)	0,017 8 (11)	Y	Th-231	1,0633 (4) d
174,19 (5)	0,000 21 (4)	Y	U-233	159,20 (20) E+3 a
174,2 (3)	0,000 83 (25)	Y	I-123	13,2234 (37) h
174,22 (22)	0,009 (6)	Y	Th-229	7 340 (160) a
174,399 1 (5)	12,6 (3)	Y	Lu-177m	160,4 (3) d
174,55 (3)	0,16	Y	Pa-234	6,70 (5) h
174,82 (2)	0,015 (15)	Y	Th-229	7 340 (160) a
174,94 (4)	9,5 (7)	Y	Cm-245	8 480 (60) a
174,96 (3)	0,001 1 (3)	Y	Dy-165	2,334 (6) h
174,97 (4)	19,9 (18)	Y	Xe-139	39,68 (14) s
175,0 (5)	8,8 (14)	Y	I-132m	1,387 (15) h
175,08 (3)	0,000 018 (3)	Y	Am-241	432,6 (6) a
175,2 (4)	0,010 (2)	Y	Pa-232	1,31 (2) d
175,228 (14)	0,5 (4)	Y	Fr-227	2,47 (3) min
175,361 (5)	7,48 (10)	Y	Sc-48	1,820 (4) d
175,4 (1)	4,7 (3)	Y	Np-240	61,9 (2) min
175,59 (10)	0,052 (9)	Y	Br-87	55,65 (13) s
175,8 (2)	0,019 (5)	Y	Ra-223	11,43 (5) d
175,8 (3)	0,020 (5)	Y	Th-227	18,718 (5) d
175,867 (4)	1,03 (25)	Y	Fr-227	2,47 (3) min

* : Radionucléide en équilibre avec son descendant
(Cf. liste en début de volume)

Énergie (keV)	Intensité (%)	Type	Parent	Période
176,12 (6)	0,015 (3)	Y	Np-237	2,144 (7) E+6 a
176,314 (2)	6,82 (7)	Y	Sb-125*	2,75855 (25) a
176,4 (2)	0,116 (19)	Y	Xe-140	13,6 (1) s
176,49 (3)	0,006 2 (4)	Y	Tb-160	72,3 (2) d
176,52 (3)	0,85 (8)	Y	Pm-151	1,183 (2) d
176,602 (4)	10,0 (4)	Y	Cs-136	13,16 (3) d
176,64 (1)	0,052 (4)	Y	Pb-212	10,64 (1) h
176,71 (17)	0,024 (7)	Y	Kr-88	2,84 (3) h
176,8 (4)	0,62 (18)	Y	Tc-104	18,3 (3) min
176,8 (2)	0,004 (2)	Y	Pa-232	1,31 (2) d
176,9 (5)	0,22 (12)	Y	Te-133m	55,4 (4) min
176,98 (4)	0,004 3 (12)	Y	Ir-192	73,827 (13) d
177,000 8 (5)	3,43 (13)	Y	Lu-177m	160,4 (3) d
177,1 (5)	0,004 (3)	Y	Ra-223	11,43 (5) d
177,16 (1)	3,8 (3)	Y	Pm-151	1,183 (2) d
177,2 (2)	0,22 (6)	Y	Te-133m	55,4 (4) min
177,213 07 (6)	22,32 (10)	Y	Yb-169	32,018 (5) d
177,214 (2)	0,265 4 (32)	Y	I-131*	8,0233 (19) d
177,28 (5)	0,179 (7)	Y	Ge-77	11,30 (1) h
177,4 (2)	0,047 (5)	Y	Ra-223	11,43 (5) d
178,0 (3)	0,049 (10)	Y	Nb-97	1,202 (12) h
178,0 (2)	0,33 (12)	Y	Te-133m	55,4 (4) min
178,1 (2)	14,9 (8)	Y	Xe-123	2,08 (2) h
178,14 (7)	0,009 (1)	Y	Pa-228	22 (1) h
178,3 (5)	0,001 9 (4)	Y	Sm-155	22,3 (2) min
178,4 (1)	0,014 2 (11)	Y	Ac-225	10,0 (1) d
178,47 (10)	0,22 (4)	Y	Fr-227	2,47 (3) min
178,485 (23)	0,071 (5)	Y	Xe-125	16,9 (2) h
178,8 (5)	0,014 (6)	Y	W-187	23,72 (6) h
178,842 (5)	0,034 3 (15)	Y	Sb-125*	2,75855 (25) a
178,96 (3)	1,02 (12)	Y	Pt-191	2,802 (25) d
179,05 (8)	0,038	Y	Th-233	22,15 (15) min
179,1 (7)	0,44 (18)	Y	Tc-104	18,3 (3) min
179,220 (12)	0,000 065 6 (19)	Y	Pu-239	24 100 (11) a
179,394 5 (3)	3,08 (6)	Y	Ta-182	114,43 (3) d
179,54 (5)	0,151 (14)	Y	Ra-223	11,43 (5) d
179,60 (4)	0,58 (4)	Y	Tc-101	14,2 (1) min
179,757 (7)	0,197 (16)	Y	Th-229	7 340 (160) a
179,8 (2)	0,007 6 (22)	Y	Ac-225	10,0 (1) d
179,80 (8)	0,044	Y	Pa-234	6,70 (5) h
180,03 (3)	0,182 (21)	Y	Os-193	1,2546 (4) d
180,2 (2)	0,003 (1)	Y	Bi-212	60,54 (6) min
180,25 (15)	0,10 (5)	Y	Kr-79	35,04 (10) h
180,66 (15)	0,039 (20)	Y	Kr-90	32,32 (9) s
180,7	0,004 0 (5)	Y	Eu-154	8,601 (4) a
180,76 (3)	0,000 7	Y	Th-233	22,15 (15) min
180,8	0,52 (17)	Y	Ba-141	18,27 (7) min
180,81 (10)	0,016 (1)	Y	Np-237	2,144 (7) E+6 a
180,89 (2)	18,0 (6)	Y	Te-134	41,8 (8) min
181	0,000 32	Y	Os-193	1,2546 (4) d
181,068 (8)	6,01 (11)	Y	Mo-99*	2,7479 (6) d
181,1 (3)	0,002 5 (13)	Y	Th-227	18,718 (5) d
181,3 (1)	0,140 (16)	Y	Xe-139	39,68 (14) s
181,70 (3)	0,086 (2)	Y	Np-239	2,356 (3) d
181,81 (3)	0,194 (21)	Y	Os-193	1,2546 (4) d
181,98 (10)	0,124 (12)	Y	Lu-177m	160,4 (3) d
182,17 (20)	0,052 (18)	Y	Tl-200	1,088 (5) d
182,3 (2)	0,003 8 (13)	Y	Th-227	18,718 (5) d
182,3 (1)	0,000 005 0 (18)	Y	Th-228	1,9127 (6) a
182,32 (6)	0,8 (1)	Y	Te-131m*	1,25 (8) d
182,394 (15)	0,27 (4)	Y	Fr-227	2,47 (3) min
182,4 (2)	0,24 (4)	Y	Xe-140	13,6 (1) s
182,41 (10)	0,8 (2)	Y	Te-131m*	1,25 (8) d
182,61 (6)	0,018 (5)	Y	I-123	13,2234 (37) h
182,61 (5)	0,34 (2)	Y	U-235	704 (1) E+6 a
182,9 (5)	0,028 (9)	Y	Zr-97	16,90 (5) h
183,05 (13)	0,6 (3)	Y	Te-134	41,8 (8) min
183,2 (1)	0,16 (7)	Y	Te-131m*	1,25 (8) d
183,3 (4)	0,018 (12)	Y	Te-133	12,45 (30) min
183,4 (5)	0,001 9 (4)	Y	Sm-155	22,3 (2) min
183,50 (2)	0,033 (2)	Y	Th-231	1,0633 (4) d
183,6 (3)	0,138 (20)	Y	I-132	2,295 (13) h
183,928 (8)	0,142 (8)	Y	Th-229	7 340 (160) a
184,101 (13)	1,3 (3)	Y	Pa-232	1,31 (2) d
184,12 (5)	1,60 (5)	Y	Tc-101	14,2 (1) min
184,410 7 (11)	0,001 5 (7)	Y	Ho-166	26,795 (29) h
184,410 7 (11)	72,5 (3)	Y	Ho-166m	1 200 (180) a
184,49 (8)	0,023 5 (25)	Y	I-135	6,57 (2) h
184,54 (2)	0,070 (8)	Y	Ac-228	6,15 (2) h
184,55 (5)	0,000 002 1 (6)	Y	Pu-239	24 100 (11) a

* : Radionucléide en équilibre avec son descendant
(Cf. liste en début de volume)

Énergie (keV)	Intensité (%)	Type	Parent	Période
184,576 (10)	20,9 (7)	Y	Ga-67	3,2613 (5) d
184,577 (10)	49 (30)	Y	Cu-67	2,660 (5) d
184,61 (5)	0,058 (6)	Y	Pa-228	22 (1) h
184,65 (5)	0,035 (4)	Y	Th-227	18,718 (5) d
184,68 (3)	0,22 (5)	Y	Fr-223	22,00 (7) min
184,7 (5)	0,001 71 (10)	Y	Pa-234m	1,17 (3) min
184,72	0,003 7 (7)	Y	Eu-154	8,601 (4) a
184,77 (10)	0,17 (6)	Y	Te-133m	55,4 (4) min
184,8	0,012 (6)	Y	Th-234	24,10 (3) d
184,951 (15)	24,5 (18)	Y	Ta-182m	15,84 (10) min
185,00 (1)	0,004 6 (21)	Y	Ru-97	2,9 (1) d
185,4 (1)	0,039 (6)	Y	Sb-124	60,20 (3) d
185,715 (5)	57,2 (8)	Y	U-235	704 (1) E+6 a
186,053 (4)	0,008 8 (9)	Y	Th-230	75 380 (300) a
186,15 (2)	1,76	Y	Pa-234	6,70 (5) h
186,15 (4)	0,028 1 (3)	Y	U-239	23,46 (4) min
186,2 (1)	0,020 (5)	Y	Ac-225	10,0 (1) d
186,211 (13)	3,555 (19)	Y	Ra-226	1 600 (7) a
186,59 (2)	0,180 (24)	Y	Pm-151	1,183 (2) d
186,8 (2)	0,47 (4)	Y	Pr-147	13,4 (4) min
186,8	0,04	Y	Pt-191	2,802 (25) d
186,80 (18)	0,034	Y	Th-233	22,15 (15) min
186,86 (35)	0,003 (3)	Y	Np-237	2,144 (7) E+6 a
187,27 (4)	0,071 (24)	Y	Fr-227	2,47 (3) min
187,28 (8)	0,005 5 (3)	Y	U-239	23,46 (4) min
187,285 (6)	0,36 (4)	Y	Cs-136	13,16 (3) d
187,41 (20)	0,437 (19)	Y	Mo-101	14,6 (1) min
187,69 (4)	0,42 (5)	Y	Pt-191	2,802 (25) d
187,88 (2)	0,81 (5)	Y	W-185m	1,67 (3) min
187,969 (2)	0,001 9 (3)	Y	U-233	159,20 (20) E+3 a
188	0,000 23 (12)	Y	Re-184m	169 (8) d
188,00 (5)	0,54 (3)	Y	Ac-225	10,0 (1) d
188,1 (1)	0,22 (4)	Y	Te-131m*	1,25 (8) d
188,23 (10)	0,000 011 0 (11)	Y	Pu-239	24 100 (11) a
188,24 (2)	0,239 (6)	Y	Eu-154	8,601 (4) a
188,418 (12)	54,0 (3)	Y	Xe-125	16,9 (2) h
188,47 (4)	0,79 (6)	Y	I-134	52,5 (2) min
188,76 (2)	0,003 3 (3)	Y	Th-231	1,0633 (4) d
189,36 (1)	0,000 082 0 (14)	Y	Pu-239	24 100 (11) a
189,7 (10)	0,24 (10)	Y	U-240	14,1 (1) h
189,79 (7)	0,60 (7)	Y	Te-131m*	1,25 (8) d
189,82 (6)	0,19 (3)	Y	Cm-245	8 480 (60) a
190,16 (8)	0,016 5 (21)	Y	Eu-156	15,19 (8) d
190,3 (7)	0,078 (10)	Y	Br-87	55,65 (13) s
190,30 (3)	67,1 (4)	Y	Kr-81m	12,8 (3) s
190,30 (3)	64,6 (5)	Y	Rb-81*	4,25 (25) h
190,30 (3)	0,014 (3)	Y	Rb-81m	30,25 (25) min
190,328 (5)	46 (4)	Y	Ba-141	18,27 (7) min
190,34 (6)	15,56 (15)	Y	In-114m	49,51 (1) d
190,4 (2)	0,12 (5)	Y	Te-131m*	1,25 (8) d
190,4	0,000 002 2 (5)	Y	Am-241	432,6 (6) a
190,47 (8)	0,60 (5)	Y	Pr-147	13,4 (4) min
190,5 (1)	0,05 (3)	Y	Te-133	12,45 (30) min
190,552 (14)	0,13	Y	Th-233	22,15 (15) min
190,86 (7)	0,215 (5)	Y	Ho-166m	1 200 (180) a
191,1 (18)	0,001 25 (7)	Y	Bi-214	19,9 (4) min
191,35 (2)	0,43 (4)	Y	Pa-228	22 (1) h
191,356 (11)	0,123 (8)	Y	Ac-228	6,15 (2) h
191,364 (15)	0,58 (14)	Y	Hg-197	2,671 (8) d
191,437 (10)	3,7 (4)	Y	Pt-197	19,8915 (19) h
191,46 (5)	0,019 (1)	Y	Np-237	2,144 (7) E+6 a
191,6 (3)	0,000 73 (44)	Y	Eu-152m	9,3116 (13) h
191,90 (1)	0,000 021 5 (10)	Y	Am-241	432,6 (6) a
191,92 (20)	18,21 (21)	Y	Mo-101	14,6 (1) min
191,96 (6)	0,50 (4)	Y	Cs-138	33,41 (18) min
192,17 (7)	0,019 9 (7)	Y	I-123	13,2234 (37) h
192,3 (3)	0,083 (15)	Y	Xe-123	2,08 (2) h
192,349 (5)	2,918 (29)	Y	Fe-59	44,495 (8) d
192,6 (4)	0,006 8 (2)	Y	Eu-152	13,522 (16) a
192,9 (4)	0,007 4 (23)	Y	Pm-151	1,183 (2) d
193,0 (1)	0,009 6 (2)	Y	Ra-223	11,43 (5) d
193,0 (2)	0,001 6 (7)	Y	Pa-228	22 (1) h
193,13 (12)	0,000 009 0 (9)	Y	Pu-239	24 100 (11) a
193,15 (5)	0,007 4 (10)	Y	Yb-169	32,018 (5) d
193,26 (5)	0,044 (1)	Y	Np-237	2,144 (7) E+6 a
193,3 (1)	5,6 (4)	Y	Np-240	61,9 (2) min
193,39 (2)	0,59 (4)	Y	Te-133m	55,4 (4) min
193,4 (8)	0,000 71 (10)	Y	Pa-234m	1,17 (3) min
193,509 (4)	4,41 (6)	Y	Th-229	7 340 (160) a
193,73 (3)	0,49	Y	Pa-234	6,70 (5) h

* : Radionucléide en équilibre avec son descendant
(Cf. liste en début de volume)

Énergie (keV)	Intensité (%)	Type	Parent	Période
193,89 (8)	0,328 (23)	γ	Cs-138	33,41 (18) min
194,255 (10)	0,150 (18)	γ	Fr-227	2,47 (3) min
194,3 (3)	0,031 (21)	γ	Th-229	7 340 (160) a
194,67 (20)	0,033 (1)	γ	Np-237	2,144 (7) E+6 a
194,76 (3)	1,77 (7)	γ	Ge-77	11,30 (1) h
194,94 (1)	0,630 (12)	γ	U-235	704 (1) E+6 a
194,95 (3)	0,174 (20)	γ	Np-237	2,144 (7) E+6 a
194,97 (7)	0,16	γ	Th-233	22,15 (15) min
195	0,000 85	γ	Am-243	7 370 (17) a
195,5 (2)	0,027 (7)	γ	Pm-151	1,183 (2) d
195,5 (5)	0,002 (1)	γ	Eu-154	8,601 (4) a
195,5 (2)	0,002 0 (7)	γ	Pa-228	22 (1) h
195,554 (10)	12,6 (20)	γ	Cs-143	1,791 (7) s
195,560 1 (20)	0,84 (5)	γ	Lu-177m	160,4 (3) d
195,679 (8)	0,000 106 (2)	γ	Pu-239	24 100 (11) a
195,7 (4)	0,008 6 (19)	γ	Sm-155	22,3 (2) min
195,78 (5)	0,164 (11)	γ	Ac-225	10,0 (1) d
195,93 (4)	2,77 (8)	γ	Mo-101	14,6 (1) min
196	0,003 2 (9)	γ	Pt-191	2,802 (25) d
196,2 (2)	0,22 (3)	γ	Xe-140	13,6 (1) s
196,20 (5)	0,069 (9)	γ	Pb-214	26,8 (9) min
196,32 (1)	26,0 (12)	γ	Kr-88	2,84 (3) h
196,5 (5)	0,05 (2)	γ	In-116m	54,29 (17) min
196,56 (3)	4,59 (14)	γ	Xe-129m	8,88 (2) d
196,64 (4)	0,182 (15)	γ	Nd-147	10,98 (1) d
196,8 (4)	0,096 (17)	γ	Rb-90	2,70 (5) min
196,80 (5)	0,072	γ	Pa-234	6,70 (5) h
196,86 (5)	0,021 0 (1)	γ	Np-237	2,144 (7) E+6 a
196,87 (5)	0,000 003 7 (4)	γ	Pu-239	24 100 (11) a
197	0,001 6 (2)	γ	Eu-154	8,601 (4) a
197,034 1 (10)	5,18 (11)	γ	Tb-160	72,3 (2) d
197,1 (3)	0,50 (11)	γ	Kr-89	3,17 (2) min
197,142 (4)	95,9 (21)	γ	O-19	26,91 (8) s
197,19 (7)	0,033 (3)	γ	I-135	6,57 (2) h
197,22	0,000 33 (17)	γ	I-123	13,2234 (37) h
197,4 (2)	0,004 7 (16)	γ	Os-193	1,2546 (4) d
197,56 (10)	0,013 (4)	γ	Th-227	18,718 (5) d
197,6 (2)	0,002 6 (13)	γ	Ce-143	33,040 (7) h
197,7 (3)	1,5 (4)	γ	Kr-89	3,17 (2) min
197,7 (1)	0,060 (6)	γ	Ac-225	10,0 (1) d
197,956 75 (7)	35,93 (12)	γ	Yb-169	32,018 (5) d
198,0 (1)	0,033 (4)	γ	Am-245	2,05 (1) h
198,1 (2)	0,56 (7)	γ	Xe-140	13,6 (1) s
198,18 (8)	0,17 (11)	γ	Te-133m	55,4 (4) min
198,23	0,003 5 (7)	γ	I-123	13,2234 (37) h
198,34 (12)	0,001 7 (5)	γ	W-187	23,72 (6) h
198,353 0 (3)	1,44 (3)	γ	Ta-182	114,43 (3) d
198,606 0 (12)	1,48 (4)	γ	Se-75	119,79 (4) d
198,654 (11)	0,013 2 (7)	γ	Sb-125*	2,75855 (25) a
198,7 (1)	0,024 (6)	γ	Ac-225	10,0 (1) d
198,89 (10)	0,004 9 (8)	γ	Pa-231	32 760 (110) a
198,90 (2)	0,042 (6)	γ	U-235	704 (1) E+6 a
199,216 (5)	0,74 (8)	γ	Eu-156	15,19 (8) d
199,4 (5)	0,002 7 (14)	γ	Ra-223	11,43 (5) d
199,407 (7)	0,315 (5)	γ	Ac-228	6,15 (2) h
199,407 (7)	0,43 (4)	γ	Pa-228	22 (1) h
199,6 (3)	0,04 (2)	γ	Te-133	12,45 (30) min
199,60 (4)	0,008 6 (8)	γ	Au-195	186,10 (5) d
199,95 (5)	0,072	γ	Pa-234	6,70 (5) h
199,95 (5)	0,000 57 (8)	γ	Pa-234m	1,17 (3) min
199,95 (6)	0,005 3 (8)	γ	Np-237	2,144 (7) E+6 a
200,19 (10)	0,012 (5)	γ	Xe-135	9,14 (2) h
200,5 (1)	0,013 (9)	γ	Th-227	18,718 (5) d
200,58 (5)	0,076 (2)	γ	Mn-52	5,595 (3) d
200,64 (3)	7,5 (5)	γ	Te-131m*	1,25 (8) d
200,64 (8)	0,44 (11)	γ	Te-133m	55,4 (4) min
200,70 (5)	0,005 4 (14)	γ	Fr-223	22,00 (7) min
200,807 (16)	0,069 (4)	γ	Th-229	7 340 (160) a
200,85 (5)	0,59 (7)	γ	Fr-227	2,47 (3) min
200,97 (3)	0,9	γ	Pa-234	6,70 (5) h
200,97 (3)	0,000 003 92 (13)	γ	Pu-238	87,74 (3) a
201,0 (1)	0,17 (6)	γ	Te-133m	55,4 (4) min
201,09 (18)	0,000 5 (2)	γ	U-239	23,46 (4) min
201,235 (15)	8,9 (5)	γ	Te-134	41,8 (8) min
201,311 2 (7)	0,473 (8)	γ	Ir-192	73,827 (13) d
201,5 (3)	0,002 8 (16)	γ	Os-193	1,2546 (4) d
201,62 (5)	0,031	γ	Th-233	22,15 (15) min
201,62 (5)	0,039 2 (9)	γ	Np-237	2,144 (7) E+6 a
201,64 (10)	0,023 (3)	γ	Th-227	18,718 (5) d
201,65 (10)	0,078 (8)	γ	Hg-197m	23,8 (2) h

* : Radionucléide en équilibre avec son descendant
(Cf. liste en début de volume)

Énergie (keV)	Intensité (%)	Type	Parent	Période
201,8 (1)	1,13 (22)	Y	Au-197m	7,73 (6) s
201,83 (8)	78,0 (4)	Y	Lu-176	37,90 (30) E+9 a
201,83 (8)	0,000 26 (4)	Y	Lu-176m	3,635 (12) h
201,96 (20)	0,88 (6)	Y	Pm-151	1,183 (2) d
202	0,034 (7)	Y	Pt-197m	95,41 (18) min
202,110 (2)	1,08 (2)	Y	U-235	704 (1) E+6 a
202,394 (4)	0,079 (17)	Y	Fr-227	2,47 (3) min
202,4	0,000 022	Y	Cm-244	18,11 (3) a
202,5 (6)	0,066 (38)	Y	Zr-97	16,90 (5) h
202,50 (16)	0,03 (1)	Y	Eu-154	8,601 (4) a
202,5 (5)	0,006 (3)	Y	Th-227	18,718 (5) d
202,53 (3)	97,1 (14)	Y	Y-90m	3,19 (6) h
202,7 (1)	0,011 2 (20)	Y	Pa-228	22 (1) h
202,79 (10)	0,070 (9)	Y	Pb-201	9,33 (3) h
202,8 (2)	0,096 (16)	Y	Xe-140	13,6 (1) s
202,84 (3)	0,058 (4)	Y	Te-127	9,35 (10) h
202,86 (1)	68,2 (5)	Y	Xe-127	36,4 (1) d
202,9 (2)	0,004 8 (19)	Y	Np-237	2,144 (7) E+6 a
202,91 (15)	0,003 0 (8)	Y	Ir-194	19,3 (1) h
203,1 (2)	0,037 (4)	Y	Sm-155	22,3 (2) min
203,12 (3)	1,23	Y	Pa-234	6,70 (5) h
203,12 (3)	0,001 0 (2)	Y	Pa-234m	1,17 (3) min
203,135	0,007 9 (18)	Y	Tl-200	1,088 (5) d
203,550 (5)	0,000 563 (9)	Y	Pu-239	24 100 (11) a
203,73 (12)	0,007 (2)	Y	Ta-178	9,29 (4) min
203,787 (31)	0,004 32 (8)	Y	I-133	20,87 (8) h
204,026 (10)	0,112 (15)	Y	Ac-228	6,15 (2) h
204,05 (2)	0,56 (4)	Y	Pa-228	22 (1) h
204,06 (6)	0,000 002 06 (5)	Y	Am-241	432,6 (6) a
204,09 (18)	0,004 (2)	Y	Ta-178	9,29 (4) min
204,105 2 (5)	13,8 (4)	Y	Lu-177m	160,4 (3) d
204,117 (2)	0,028 (8)	Y	Nb-95	34,991 (6) d
204,117 (2)	2,28 (10)	Y	Nb-95m	3,61 (3) d
204,138 (10)	0,313 (15)	Y	Sb-125*	2,75855 (25) a
204,14 (10)	0,22 (3)	Y	Th-227	18,718 (5) d
204,17 (3)	0,13 (13)	Y	Pm-151	1,183 (2) d
204,3 (1)	0,076 (18)	Y	Cs-143	1,791 (7) s
204,30 (1)	2,9 (3)	Y	Fr-227	2,47 (3) min
204,690 (5)	0,60 (4)	Y	Th-229	7 340 (160) a
204,95 (2)	0,95 (19)	Y	Fr-223	22,00 (7) min
204,98 (10)	0,16 (3)	Y	Th-227	18,718 (5) d
205,03 (20)	0,12 (3)	Y	Kr-89	3,17 (2) min
205,15 (8)	0,030 (4)	Y	Eu-150	36,9 (9) a
205,311 (10)	5,01 (7)	Y	U-235	704 (1) E+6 a
205,68 (9)	0,011 4 (23)	Y	Pb-214	26,8 (9) min
205,7 (4)	0,013 (7)	Y	Rb-89	15,2 (1) min
205,7 (3)	0,009 0 (23)	Y	Pm-151	1,183 (2) d
205,794 30 (9)	3,34 (4)	Y	Ir-192	73,827 (13) d
205,99 (6)	0,003 4 (8)	Y	Yb-169	32,018 (5) d
205,99 (4)	0,018 5 (10)	Y	Th-228	1,9127 (6) a
206,08 (5)	0,25 (3)	Y	Th-227	18,718 (5) d
206,242 (18)	0,143 (6)	Y	W-187	23,72 (6) h
206,30 (5)	0,047 (7)	Y	Pa-228	22 (1) h
206,539 (5)	0,53 (7)	Y	Fr-227	2,47 (3) min
206,7 (2)	0,036 (7)	Y	Pm-151	1,183 (2) d
206,79	0,003 3 (8)	Y	I-123	13,2234 (37) h
207,0 (3)	0,007 4 (19)	Y	Pm-151	1,183 (2) d
207,4 (1)	0,025 (15)	Y	Te-133	12,45 (30) min
207,6 (3)	0,005 9 (4)	Y	Eu-152	13,522 (16) a
207,8	0,001 12 (32)	Y	I-123	13,2234 (37) h
207,852 (20)	0,063 (16)	Y	Fr-227	2,47 (3) min
207,86 (4)	0,008 0 (17)	Y	W-188	69,78 (5) d
208,00 (1)	21,3 (3)	Y	U-237	6,749 (16) d
208,00 (1)	0,000 786 (5)	Y	Am-241	432,6 (6) a
208,077 (5)	0,246 (8)	Y	Sb-125*	2,75855 (25) a
208,171 (2)	0,002 29 (3)	Y	U-233	159,20 (20) E+3 a
208,205 96 (11)	8,72 (18)	Y	Au-199	3,139 (7) d
208,3 (6)	0,005 1 (10)	Y	Fr-221	4,79 (2) min
208,366 2 (4)	10,38 (7)	Y	Lu-177	6,647 (4) d
208,366 2 (4)	57,7 (12)	Y	Lu-177m	160,4 (3) d
208,48 (10)	0,77 (6)	Y	Kr-79	35,04 (10) h
208,6 (8)	0,5 (2)	Y	Sb-126	12,4 (1) d
208,95 (1)	0,115 (10)	Y	Cu-67	2,660 (5) d
208,95 (1)	2,37 (8)	Y	Ga-67	3,2613 (5) d
208,96 (5)	0,180 (13)	Y	Te-129	1,160 (5) h
208,96 (15)	0,14 (3)	Y	Pt-191	2,802 (25) d
208,98 (6)	0,94 (4)	Y	Ge-77	11,30 (1) h
209,00 (1)	1,73 (14)	Y	Pm-151	1,183 (2) d
209,19 (5)	0,015 0 (15)	Y	Np-237	2,144 (7) E+6 a
209,255 (6)	3,89 (7)	Y	Ac-228	6,15 (2) h

* : Radionucléide en équilibre avec son descendant
(Cf. liste en début de volume)

Énergie (keV)	Intensité (%)	Type	Parent	Période
209,26 (2)	2,45 (18)	γ	Pa-228	22 (1) h
209,4 (4)	0,002 5 (6)	γ	Eu-154	8,601 (4) a
209,41 (13)	0,005 5 (5)	γ	Eu-152	13,522 (16) a
209,7 (2)	0,059 (2)	γ	Br-76	16,2 (2) h
209,70 (25)	0,001 0 (6)	γ	Dy-165	2,334 (6) h
209,753 (2)	3,42 (3)	γ	Np-239	2,356 (3) d
209,753 (2)	3,29 (10)	γ	Cm-243	29,1 (1) a
209,9 (4)	0,001 28 (10)	γ	Pa-234m	1,17 (3) min
210,15 (8)	0,19 (5)	γ	Th-229	7 340 (160) a
210,20 (14)	0,000 012	γ	Cm-242	162,86 (8) d
210,42 (6)	0,075 (3)	γ	Xe-125	16,9 (2) h
210,46 (2)	22,4 (8)	γ	Te-134	41,8 (8) min
210,60 (5)	0,009 (2)	γ	Fr-223	22,00 (7) min
210,62 (5)	1,22 (11)	γ	Th-227	18,718 (5) d
210,66 (19)	0,001 3 (7)	γ	Te-129	1,160 (5) h
210,67 (8)	0,035	γ	Th-233	22,15 (15) min
210,783 (3)	0,020 0 (14)	γ	Gd-159	18,479 (7) h
210,853 (3)	2,8 (4)	γ	Th-229	7 340 (160) a
211,03 (3)	30,8 (10)	γ	Ge-77	11,30 (1) h
211,3 (2)	0,019	γ	Th-233	22,15 (15) min
211,35 (25)	0,039 (3)	γ	Pt-195m	4,02 (1) d
211,36 (3)	0,010 9 (13)	γ	Au-195	186,10 (5) d
211,4 (2)	0,18 (1)	γ	Tl-208	3,060 (8) min
211,887 (20)	2,3 (4)	γ	Xe-140	13,6 (1) s
211,98 (3)	0,455 (25)	γ	Mo-101	14,6 (1) min
212,19 (3)	81,4 (11)	γ	Te-121m	154 (7) d
212,29 (5)	0,17 (1)	γ	Np-237	2,144 (7) E+6 a
212,3 (5)	0,001 5 (3)	γ	U-240	14,1 (1) h
212,32 (8)	0,175 (14)	γ	Cs-138	33,41 (18) min
212,34 (5)	0,001 5	γ	Th-233	22,15 (15) min
212,34 (5)	0,000 126	γ	U-233	159,20 (20) E+3 a
212,46 (5)	0,000 029 (3)	γ	Pu-240	6 561 (7) a
212,5 (5)	0,001 0 (1)	γ	Pa-228	22 (1) h
212,568 (15)	0,019 6 (6)	γ	Eu-152	13,522 (16) a
212,70 (4)	0,077 (10)	γ	Th-227	18,718 (5) d
212,7 (3)	0,019 (5)	γ	Th-227	18,718 (5) d
212,8 (2)	0,000 04 (2)	γ	Tb-161	6,906 (19) d
213,39 (6)	0,10 (2)	γ	Ta-178	9,29 (4) min
213,48 (1)	2,16 (12)	γ	Te-133m	55,4 (4) min
213,90 (4)	0,46 (6)	γ	Te-131m*	1,25 (8) d
213,936 (17)	0,002 91 (22)	γ	Yb-169	32,018 (5) d
214,0 (1)	0,22 (6)	γ	Te-133m	55,4 (4) min
214	0,009 (3)	γ	Pt-191	2,802 (25) d
214,01 (5)	0,037 (2)	γ	Np-237	2,144 (7) E+6 a
214,3 (1)	0,001 8 (5)	γ	Fr-223	22,00 (7) min
214,433 9 (6)	6,59 (17)	γ	Lu-177m	160,4 (3) d
214,6 (1)	0,96 (7)	γ	Pr-147	13,4 (4) min
214,79 (3)	0,445 (11)	γ	Ho-166m	1 200 (180) a
214,8 (2)	0,31 (6)	γ	Xe-140	13,6 (1) s
214,85 (11)	0,029 (4)	γ	Ac-228	6,15 (2) h
215,1 (1)	0,039 (2)	γ	Te-127	9,35 (10) h
215,10 (1)	0,137 (11)	γ	Th-229	7 340 (160) a
215,28 (3)	0,029 (3)	γ	U-235	704 (1) E+6 a
215,3 (3)	0,009 (4)	γ	Pm-151	1,183 (2) d
215,326 (12)	2,78 (15)	γ	Re-184m	169 (8) d
215,46 (22)	0,18 (4)	γ	Kr-91	8,57 (4) s
215,50 (3)	28,6 (9)	γ	Ge-77	11,30 (1) h
215,645 2 (11)	4,02 (8)	γ	Tb-160	72,3 (2) d
215,70 (4)	86,17 (40)	γ	Ru-97	2,9 (1) d
215,7 (2)	0,013 (3)	γ	Eu-156	15,19 (8) d
215,871 (7)	2,66 (17)	γ	Ho-166m	1 200 (180) a
215,985 (4)	0,226 (20)	γ	Th-228	1,9127 (6) a
216,0 (1)	0,000 25 (13)	γ	Th-227	18,718 (5) d
216,078 (8)	19,66 (25)	γ	Ba-131	11,50 (6) d
216,08 (10)	0,000 61 (9)	γ	U-233	159,20 (20) E+3 a
216,10 (1)	0,10 (3)	γ	Pa-228	22 (1) h
216,47 (7)	0,010 0 (23)	γ	Pb-214	26,8 (9) min
216,54 (8)	0,015	γ	Th-233	22,15 (15) min
216,547 (12)	9,4 (5)	γ	Re-184m	169 (8) d
216,90 (5)	0,32 (7)	γ	Ac-225	10,0 (1) d
217,0 (2)	0,25 (3)	γ	I-134	52,5 (2) min
217,07 (10)	2,37 (13)	γ	Kr-79	35,04 (10) h
217,159 (2)	0,003 2 (5)	γ	U-233	159,20 (20) E+3 a
217,94 (3)	0,039 6 (20)	γ	Th-231	1,0633 (4) d
218,0 (5)	0,000 001 2 (10)	γ	Pu-239	24 100 (11) a
218,1 (3)	0,000 044 (29)	γ	Eu-152m	9,3116 (13) h
218,103 9 (7)	3,28 (15)	γ	Lu-177m	160,4 (3) d
218,12 (2)	11,42 (15)	γ	Fr-221	4,79 (2) min
218,154 (17)	0,185 (21)	γ	Th-229	7 340 (160) a
218,3 (3)	0,11 (3)	γ	Xe-140	13,6 (1) s

* : Radionucléide en équilibre avec son descendant
(Cf. liste en début de volume)

Énergie (keV)	Intensité (%)	Type	Parent	Période
218,59 (3)	56 (6)	Y	Xe-139	39,68 (14) s
218,8 (6)	0,019 (5)	Y	Rb-81*	4,25 (25) h
218,8 (2)	0,008 7 (20)	Y	Os-193	1,2546 (4) d
218,80 (5)	0,009 6 (21)	Y	Fr-223	22,00 (7) min
218,9 (2)	0,180 (19)	Y	Zr-97	16,90 (5) h
218,90 (5)	0,107 (11)	Y	Th-227	18,718 (5) d
219,0 (6)	0,36 (18)	Y	Tc-104	18,3 (3) min
219,0 (8)	0,014 (6)	Y	Ra-223	11,43 (5) d
219,0 (2)	0,049 (12)	Y	Th-227	18,718 (5) d
219	0,002 4 (24)	Y	Pa-232	1,31 (2) d
219,081 (18)	2,97 (5)	Y	Nb-96	23,35 (5) h
219,1 (4)	0,15 (15)	Y	Ge-77	11,30 (1) h
219,13 (5)	0,277 (23)	Y	Os-193	1,2546 (4) d
219,348 (8)	0,072 (5)	Y	Ag-110m	249,78 (2) d
219,38 (5)	0,000 14 (3)	Y	U-233	159,20 (20) E+3 a
219,4	0,002 3 (5)	Y	Eu-154	8,601 (4) a
219,65 (5)	0,82 (10)	Y	Pt-191	2,802 (25) d
220,0 (4)	0,060 (21)	Y	Xe-140	13,6 (1) s
220,00 (8)	0,144	Y	Pa-234	6,70 (5) h
220,1 (6)	0,002 1 (6)	Y	Sm-155	22,3 (2) min
220,502 (15)	1,75 (7)	Y	I-135	6,57 (2) h
220,52 (4)	0,027 6 (3)	Y	U-239	23,46 (4) min
220,6 (3)	0,036 (6)	Y	Ra-223	11,43 (5) d
220,608 (18)	4,1 (2)	Y	K-43	22,2 (1) h
220,61 (2)	0,116 (9)	Y	Pa-228	22 (1) h
220,8 (3)	0,000 13 (13)	Y	Eu-152m	9,3116 (13) h
220,82 (14)	0,039 (20)	Y	Kr-90	32,32 (9) s
220,948 (9)	20,1 (17)	Y	Kr-89	3,17 (2) min
221 (1)	0,059 (6)	Y	Bi-214	19,9 (4) min
221,079 (10)	0,068 (10)	Y	Ag-110m	249,78 (2) d
221,1 (1)	0,24 (5)	Y	Te-133m	55,4 (4) min
221,15 (10)	0,052	Y	Pa-234	6,70 (5) h
221,22 (5)	0,023 (7)	Y	Th-229	7 340 (160) a
221,38 (2)	0,12 (1)	Y	U-235	704 (1) E+6 a
221,45 (3)	0,000 043 4 (6)	Y	Am-241	432,6 (6) a
221,480 (2)	2,27 (5)	Y	Br-82	1,4708 (13) d
221,50 (7)	0,040 (15)	Y	Te-131	25,0 (1) min
221,5 (3)	0,030 (5)	Y	Rn-219	3,96 (1) s
221,74 (8)	0,116 (17)	Y	Pt-191	2,802 (25) d
221,8 (20)	0,098 (8)	Y	Mo-101	14,6 (1) min
221,80 (4)	0,020 4 (8)	Y	U-237	6,749 (16) d
221,83 (10)	0,072	Y	Pa-234	6,70 (5) h
222,109 6 (4)	7,49 (14)	Y	Ta-182	114,43 (3) d
222,5 (3)	0,37 (5)	Y	Np-240	61,9 (2) min
222,6 (2)	0,002 (2)	Y	Np-237	2,144 (7) E+6 a
222,7 (2)	0,002 0 (2)	Y	Pa-228	22 (1) h
223,2 (4)	0,005 0 (13)	Y	Th-227	18,718 (5) d
223,236 8 (13)	0,000 17 (6)	Y	Xe-133	5,2474 (5) d
223,236 8 (13)	0,453 (3)	Y	Ba-133	10,540 (6) a
223,3 (2)	1,4 (2)	Y	Sb-126	12,4 (1) d
223,67 (8)	0,112 (17)	Y	Pt-191	2,802 (25) d
223,80 (2)	1,24 (10)	Y	Pa-228	22 (1) h
223,85 (10)	0,054 (5)	Y	Ac-228	6,15 (2) h
224,21 (7)	0,17 (6)	Y	Te-133m	55,4 (4) min
224,64 (5)	0,096 (9)	Y	Ac-225	10,0 (1) d
225,149 (19)	0,072 (11)	Y	Th-229	7 340 (160) a
225,38 (7)	3,02 (32)	Y	Xe-139	39,68 (14) s
225,42 (4)	0,000 015 0 (4)	Y	Pu-239	24 100 (11) a
225,469 (39)	0,071 (16)	Y	Fr-227	2,47 (3) min
225,5 (3)	0,009 (3)	Y	Th-227	18,718 (5) d
226,040 6 (18)	0,217 0 (21)	Y	Gd-159	18,479 (7) h
226,1 (2)	0,023	Y	Th-233	22,15 (15) min
226,3 (7)	0,000 25 (18)	Y	Yb-169	32,018 (5) d
226,3 (2)	0,002 0 (2)	Y	Pa-228	22 (1) h
226,38 (2)	0,255 (14)	Y	Np-239	2,356 (3) d
226,5 (4)	0,030 (12)	Y	Xe-140	13,6 (1) s
226,50 (3)	4,2	Y	Pa-234	6,70 (5) h
226,748 (10)	0,018 (4)	Y	Re-184	38,0 (5) d
226,748 (10)	1,47 (8)	Y	Re-184m	169 (8) d
227,09 (2)	0,221 (13)	Y	W-188	69,78 (5) d
227,18 (2)	0,34 (3)	Y	Pm-151	1,183 (2) d
227,25 (3)	5,8	Y	Pa-234	6,70 (5) h
227,31 (15)	0,000 12 (5)	Y	Ga-68	1,1275 (10) h
227,76 (8)	0,125 (16)	Y	Kr-90	32,32 (9) s
227,76 (6)	1,51 (4)	Y	Cs-138	33,41 (18) min
227,81 (15)	0,049 (16)	Y	Pm-151	1,183 (2) d
227,83	0,5 (1)	Y	Np-239	2,356 (3) d
227,891 (10)	0,131 (3)	Y	Sb-125*	2,75855 (25) a
228,16 (6)	88 (4)	Y	Te-132	3,204 (13) d
228,183 (1)	11,32 (22)	Y	Np-239	2,356 (3) d

* : Radionucléide en équilibre avec son descendant
(Cf. liste en début de volume)

Énergie (keV)	Intensité (%)	Type	Parent	Période
228,184 (2)	10,6 (3)	Y	Cm-243	29,1 (1) a
228,3 (3)	0,000 4 (3)	Y	Dy-165	2,334 (6) h
228,4 (2)	0,000 018 (4)	Y	Th-228	1,9127 (6) a
228,483 8 (6)	37,0 (8)	Y	Lu-177m	160,4 (3) d
228,56 (20)	0,000 33 (5)	Y	Pu-237	45,2 (1) d
228,57 (5)	0,004 2 (7)	Y	Pa-233	26,98 (2) d
228,7 (6)	0,052 (8)	Y	Sm-155	22,3 (2) min
228,78 (5)	0,008 (3)	Y	U-235	704 (1) E+6 a
228,80 (6)	2,5 (5)	Y	Cs-143	1,791 (7) s
229 (1)	0,003 0 (8)	Y	Sm-155	22,3 (2) min
229,01 (15)	0,022 (5)	Y	Pm-151	1,183 (2) d
229,01 (13)	0,002 4 (8)	Y	Eu-154	8,601 (4) a
229,1 (1)	0,004 5 (18)	Y	Fr-223	22,00 (7) min
229,322 (1)	3,63 (7)	Y	Ta-182	114,43 (3) d
229,423 (23)	0,011 9 (14)	Y	Ag-110m	249,78 (2) d
229,6 (6)	0,68 (3)	Y	Hf-175	70 (2) d
229,72 (3)	0,241 (8)	Y	I-135	6,57 (2) h
229,9 (5)	0,003 8 (13)	Y	Th-227	18,718 (5) d
229,94 (5)	0,014 (3)	Y	Np-237	2,144 (7) E+6 a
230 (1)	0,002 9 (10)	Y	Bi-214	19,9 (4) min
230,0 (1)	0,036 (7)	Y	Pa-228	22 (1) h
230 (1)	0,001 7 (9)	Y	Pa-231	32 760 (110) a
230,1 (2)	0,28 (11)	Y	Te-133m	55,4 (4) min
230,27 (3)	0,000 4 (4)	Y	Co-57	271,80 (5) d
230,33 (9)	0,54 (4)	Y	Br-87	55,65 (13) s
230,45 (6)	0,015 (3)	Y	Re-184	38,0 (5) d
230,45 (6)	0,005 (1)	Y	Re-184m	169 (8) d
230,6 (6)	0,023 (7)	Y	Ga-72	14,10 (2) h
230,60 (7)	0,28 (5)	Y	Te-131m*	1,25 (8) d
230,628 (13)	0,080 7 (18)	Y	Tb-160	72,3 (2) d
230,9 (2)	0,019 (5)	Y	Te-133	12,45 (30) min
231,3 (2)	0,002 2 (11)	Y	Ac-225	10,0 (1) d
231,42 (10)	0,025 (4)	Y	Ac-228	6,15 (2) h
231,44 (2)	0,000 88 (31)	Y	Cd-115m	44,56 (24) d
231,45 (7)	0,219 (6)	Y	Ho-166m	1 200 (180) a
231,50 (5)	0,086 (7)	Y	Pa-228	22 (1) h
231,550 (2)	2,05 (5)	Y	Ce-143	33,040 (7) h
231,85 (10)	0,100 (15)	Y	Pb-201	9,33 (3) h
232,01 (5)	0,024 (1)	Y	Eu-154	8,601 (4) a
232,18 (15)	0,002 57 (38)	Y	I-131*	8,0233 (19) d
232,2 (2)	0,10 (4)	Y	Te-131m*	1,25 (8) d
232,21 (3)	0,18	Y	Pa-234	6,70 (5) h
232,4 (2)	0,070 (18)	Y	Xe-140	13,6 (1) s
232,421 (16)	8,3 (14)	Y	Cs-143	1,791 (7) s
232,43 (2)	1,03 (10)	Y	Pm-151	1,183 (2) d
232,6 (2)	0,007 6 (15)	Y	Pa-228	22 (1) h
232,7 (2)	0,000 008 4 (15)	Y	Tc-99m	6,0067 (10) h
232,7 (3)	0,088 (21)	Y	Pm-151	1,183 (2) d
232,81 (5)	0,000 004 82 (8)	Y	Am-241	432,6 (6) a
233,219 (15)	0,293 (4)	Y	I-133	20,87 (8) h
233,219 (15)	10,16 (13)	Y	Xe-133m	2,198 (13) d
233,3 (1)	0,31 (1)	Y	Tl-208	3,060 (8) min
233,5 (4)	0,08 (1)	Y	Cs-136	13,16 (3) d
233,50 (3)	0,029 (5)	Y	U-235	704 (1) E+6 a
233,70 (5)	0,266 (12)	Y	Tc-101	14,2 (1) min
233,860 8 (8)	5,58 (15)	Y	Lu-177m	160,4 (3) d
234,157 (9)	0,413 (19)	Y	Os-185	93,6 (5) d
234,2 (1)	0,25 (5)	Y	Cs-143	1,791 (7) s
234,3 (6)	0,03 (1)	Y	I-132	2,295 (13) h
234,40 (4)	0,021 6 (18)	Y	U-237	6,749 (16) d
234,44 (3)	2,65 (24)	Y	Kr-90	32,32 (9) s
234,58 (6)	0,051 (7)	Y	Os-193	1,2546 (4) d
234,7 (1)	0,035 (10)	Y	Sn-125	9,64 (3) d
234,76 (10)	0,44 (5)	Y	Th-227	18,718 (5) d
234,80 (1)	3,0 (6)	Y	Fr-223	22,00 (7) min
234,9	0,060 (15)	Y	Ba-141	18,27 (7) min
235,0 (1)	0,17 (6)	Y	Te-133m	55,4 (4) min
235,11 (3)	0,113	Y	Pa-234	6,70 (5) h
235,471 (26)	2,19 (19)	Y	I-134	52,5 (2) min
235,62	4,3	Y	Pb-200	21,5 (4) h
235,69 (2)	0,27 (2)	Y	Zr-95*	64,032 (6) d
235,69 (2)	25,1 (3)	Y	Nb-95m	3,61 (3) d
235,96 (2)	12,6 (6)	Y	Th-227	18,718 (5) d
236,0 (6)	0,009 6 (2)	Y	Ra-223	11,43 (5) d
236 (1)	0,000 142	Y	Pa-234m	1,17 (3) min
236,01 (3)	0,009 2 (6)	Y	Th-231	1,0633 (4) d
236,2 (2)	0,094 (17)	Y	Pm-151	1,183 (2) d
236,249 (8)	0,174 (10)	Y	Th-229	7 340 (160) a
236,28 (14)	0,000 9 (2)	Y	U-239	23,46 (4) min
236,6 (1)	0,16 (2)	Y	Pm-151	1,183 (2) d

* : Radionucléide en équilibre avec son descendant
(Cf. liste en début de volume)

Énergie (keV)	Intensité (%)	Type	Parent	Période
236,7 (2)	0,19 (5)	γ	Pm-151	1,183 (2) d
237	0,006 (3)	γ	Eu-154	8,601 (4) a
237,1 (2)	0,52 (10)	γ	Pm-151	1,183 (2) d
237,2	0,000 25 (25)	γ	Rb-83	86,2 (1) d
237,2 (2)	0,055 (16)	γ	Fr-227	2,47 (3) min
237,31 (5)	0,002 5 (8)	γ	Eu-152	13,522 (16) a
237,341 (5)	0,007 69 (16)	γ	Gd-159	18,479 (7) h
237,5 (2)	0,008 0 (13)	γ	Pa-228	22 (1) h
237,64 (9)	0,006 0 (21)	γ	Tb-160	72,3 (2) d
237,7 (3)	0,004 0 (9)	γ	Pa-228	22 (1) h
237,77 (10)	0,000 014 5 (6)	γ	Pu-239	24 100 (11) a
237,86 (2)	0,002 1	γ	Th-233	22,15 (15) min
237,86 (2)	0,057 3 (6)	γ	Np-237	2,144 (7) E+6 a
237,93 (4)	0,39 (12)	γ	Cs-143	1,791 (7) s
238,25 (5)	0,300 (13)	γ	Tc-101	14,2 (1) min
238,37 (30)	0,049 (10)	γ	Nb-97	1,202 (12) h
238,57 (4)	0,002 3 (2)	γ	Tb-161	6,906 (19) d
238,632 (2)	43,6 (3)	γ	Pb-212	10,64 (1) h
239,193 (24)	0,086 (5)	γ	W-187	23,72 (6) h
239,3 (1)	0,41 (6)	γ	Np-240	61,9 (2) min
239,42 (17)	0,008 (3)	γ	Eu-152	13,522 (16) a
239,5 (3)	0,054 (4)	γ	Pt-195m	4,02 (1) d
239,629 (8)	2,41 (3)	γ	Ba-131	11,50 (6) d
239,7 (6)	0,002 1 (9)	γ	Tb-160	72,3 (2) d
240,00 (15)	0,000 8 (2)	γ	U-239	23,46 (4) min
240,09 (1)	3,8 (3)	γ	Pm-151	1,183 (2) d
240,2 (1)	0,052	γ	Pa-234	6,70 (5) h
240,27 (5)	0,044 (5)	γ	Th-231	1,0633 (4) d
240,333 44 (12)	0,115 (5)	γ	Yb-169	32,018 (5) d
240,39 (6)	0,000 35 (6)	γ	U-233	159,20 (20) E+3 a
240,71 (4)	0,253 (14)	γ	Kr-88	2,84 (3) h
240,8 (1)	0,007 6 (22)	γ	Ac-225	10,0 (1) d
240,84 (7)	0,34 (8)	γ	Am-245	2,05 (1) h
240,87 (3)	0,075 (6)	γ	U-235	704 (1) E+6 a
240,9 (2)	0,33 (12)	γ	Te-133m	55,4 (4) min
240,93 (2)	7,7 (5)	γ	Te-131m*	1,25 (8) d
240,986 (6)	4,12 (4)	γ	Ra-224	3,627 (7) d
241,02 (8)	0,174 (24)	γ	Pb-201	9,33 (3) h
241,40 (9)	3,5 (4)	γ	Nb-96	23,35 (5) h
241,52 (3)	3,0 (1)	γ	Sr-92	2,65 (6) h
241,7 (2)	0,001 6	γ	Ac-227	21,772 (3) a
241,88 (5)	0,015 (2)	γ	Ru-103*	39,255 (8) d
241,959 (6)	0,436 (10)	γ	La-140	1,67850 (17) d
241,997 (3)	7,268 (22)	γ	Pb-214	26,8 (9) min
242,0 (1)	0,03 (1)	γ	Te-133	12,45 (30) min
242,0 (2)	0,144 (25)	γ	Xe-140	13,6 (1) s
242,08 (3)	0,000 007 4 (5)	γ	Pu-239	24 100 (11) a
242,19 (3)	9,9 (9)	γ	Kr-90	32,32 (9) s
242,2 (11)	0,012 (8)	γ	Kr-89	3,17 (2) min
242,2 (1)	0,009 0 (15)	γ	Pa-231	32 760 (110) a
242,29 (8)	0,001 4 (3)	γ	Mo-99*	2,7479 (6) d
242,4 (2)	0,094 (15)	γ	Th-229	7 340 (160) a
242,5 (8)	0,007 5 (9)	γ	Tb-160	72,3 (2) d
242,5	0,037 (12)	γ	Lu-177m	160,4 (3) d
242,50 (4)	0,012 6 (6)	γ	Th-231	1,0633 (4) d
242,56 (5)	3,50 (14)	γ	Xe-138	14,08 (8) min
242,6 (2)	0,006 0 (12)	γ	Pa-228	22 (1) h
242,7	0,092 (15)	γ	Ba-141	18,27 (7) min
242,8 (1)	0,021 (1)	γ	Cs-134	2,0651 (6) a
243,08 (7)	0,048 (3)	γ	Pa-231	32 760 (110) a
243,2 (1)	0,001 3 (6)	γ	Ac-225	10,0 (1) d
243,378 (15)	30,1 (7)	γ	Xe-125	16,9 (2) h
243,38 (3)	0,000 025 4 (7)	γ	Pu-239	24 100 (11) a
243,5 (8)	0,000 50 (7)	γ	Pa-234m	1,17 (3) min
243,80 (8)	0,28 (5)	γ	Rb-81*	4,25 (25) h
244	0,039 (13)	γ	Pb-211	36,1 (2) min
244,41 (6)	0,33 (6)	γ	Te-133m	55,4 (4) min
244,697 4 (8)	7,55 (4)	γ	Eu-152	13,522 (16) a
244,70 (1)	0,025 (3)	γ	Eu-152m	9,3116 (13) h
244,7 (3)	0,009 (3)	γ	Eu-156	15,19 (8) d
244,7 (5)	0,004 2 (11)	γ	Pa-228	22 (1) h
244,83 (5)	0,007 7 (11)	γ	Ir-194	19,3 (1) h
244,92 (5)	0,000 005 1 (5)	γ	Pu-239	24 100 (11) a
245,0 (3)	0,037 (8)	γ	In-116m	54,29 (17) min
245	0,003 2 (9)	γ	Pt-191	2,802 (25) d
245,2 (3)	0,010 (3)	γ	Ra-223	11,43 (5) d
245,345 (2)	0,003 62 (3)	γ	U-233	159,20 (20) E+3 a
245,35 (4)	94,12 (6)	γ	In-111	2,8049 (4) d
245,37 (2)	0,75	γ	Pa-234	6,70 (5) h
245,395 (20)	1,33 (8)	γ	Ag-111	7,45 (1) d

* : Radionucléide en équilibre avec son descendant
(Cf. liste en début de volume)

Énergie (keV)	Intensité (%)	Type	Parent	Période
245,5 (6)	0,44 (18)	Y	Tc-104	18,3 (3) min
245,60 (5)	0,021 (5)	Y	Fr-223	22,00 (7) min
245,6 (1)	0,007 8 (10)	Y	Pa-231	32 760 (110) a
245,73 (5)	3,73 (2)	Y	Sm-155	22,3 (2) min
245,837 (18)	0,035 (9)	Y	I-133	20,87 (8) h
246,04 (8)	0,011 1 (15)	Y	Pa-231	32 760 (110) a
246,12 (10)	0,012 0 (22)	Y	Th-227	18,718 (5) d
246,2 (2)	0,005 4 (14)	Y	Pa-228	22 (1) h
246,280 (21)	0,119 (6)	Y	W-187	23,72 (6) h
246,481 (16)	0,020 8 (10)	Y	Tb-160	72,3 (2) d
246,7 (1)	0,000 002 44 (6)	Y	Am-241	432,6 (6) a
246,84 (4)	0,053 (3)	Y	U-235	704 (1) E+6 a
246,885 (12)	0,632 (10)	Y	Ba-131	11,50 (6) d
247,1 (2)	0,018 (5)	Y	Pm-151	1,183 (2) d
247,4 (2)	0,000 344 (34)	Y	Te-123m	119,3 (1) d
247,5 (3)	0,029 (9)	Y	I-135	6,57 (2) h
247,79 (7)	0,000 37	Y	Pa-234	6,70 (5) h
247,79 (7)	0,001 0 (2)	Y	Pa-234m	1,17 (3) min
247,8 (2)	0,029 (5)	Y	Pm-151	1,183 (2) d
247,928 8 (7)	6,89 (7)	Y	Eu-154	8,601 (4) a
247,96 (5)	0,069 8 (23)	Y	I-123	13,2234 (37) h
248,1 (1)	0,024 (5)	Y	Th-227	18,718 (5) d
248,38 (4)	0,060 9 (11)	Y	Pa-233	26,98 (2) d
248,58 (8)	0,000 001 46 (3)	Y	Am-241	432,6 (6) a
248,726 (6)	0,001 43 (21)	Y	U-233	159,20 (20) E+3 a
248,8 (5)	0,003 4 (13)	Y	Pa-228	22 (1) h
248,9 (5)	0,033 (12)	Y	Te-133m	55,4 (4) min
248,95 (10)	0,005 (1)	Y	Np-237	2,144 (7) E+6 a
248,95 (5)	0,000 007 0 (6)	Y	Pu-239	24 100 (11) a
249,03 (3)	0,003 5 (4)	Y	Mo-99*	2,7479 (6) d
249,22 (1)	2,5	Y	Pa-234	6,70 (5) h
249,3 (3)	0,000 09 (2)	Y	Se-75	119,79 (4) d
249,3 (1)	0,063 (16)	Y	Fr-227	2,47 (3) min
249,32 (3)	1,37 (16)	Y	Kr-90	32,32 (9) s
249,4 (3)	0,038 (10)	Y	Ra-223	11,43 (5) d
249,432 (8)	2,81 (3)	Y	Ba-131	11,50 (6) d
249,5 (2)	0,89 (7)	Y	Pr-147	13,4 (4) min
249,5 (2)	0,012 (6)	Y	Ac-225	10,0 (1) d
249,6 (5)	0,007 6 (25)	Y	Th-227	18,718 (5) d
249,60 (7)	0,012 (1)	Y	Th-231	1,0633 (4) d
249,674 1 (10)	6,14 (19)	Y	Lu-177m	160,4 (3) d
249,674 2 (6)	0,201 2 (21)	Y	Lu-177	6,647 (4) d
249,794 (15)	90 (3)	Y	Xe-135	9,14 (2) h
250,15 (5)	0,008 7 (17)	Y	Th-227	18,718 (5) d
250,25 (6)	0,011 (11)	Y	Fr-223	22,00 (7) min
250,27 (8)	0,44 (4)	Y	Th-227	18,718 (5) d
250,45 (7)	0,010 (1)	Y	Th-231	1,0633 (4) d
250,5 (8)	0,009 (5)	Y	Pm-151	1,183 (2) d
250,5 (2)	0,006 8 (16)	Y	Pa-228	22 (1) h
250,62 (5)	0,38 (3)	Y	Te-129	1,160 (5) h
250,65 (16)	0,004 7	Y	Th-233	22,15 (15) min
250,8 (6)	0,018 (5)	Y	I-132	2,295 (13) h
251,1 (3)	0,041 (14)	Y	Ra-223	11,43 (5) d
251,38 (13)	0,28 (6)	Y	Te-133m	55,4 (4) min
251,4 (3)	0,03 (1)	Y	Te-133	12,45 (30) min
251,47 (6)	0,000 011 4 (23)	Y	Cm-244	18,11 (3) a
251,474 (17)	0,084 (12)	Y	Yb-175	4,185 (1) d
251,5 (1)	0,02 (2)	Y	U-235	704 (1) E+6 a
251,60 (3)	0,173 (11)	Y	Eu-150	36,9 (9) a
251,62 (4)	0,217 (18)	Y	Os-193	1,2546 (4) d
251,633 (10)	0,067 1 (15)	Y	Eu-152	13,522 (16) a
251,8 (1)	0,067 (9)	Y	Ra-223	11,43 (5) d
251,9 (1)	0,063 (16)	Y	Fr-227	2,47 (3) min
252,01 (12)	0,279 (44)	Y	Tl-200	1,088 (5) d
252,3	0,096 (18)	Y	Tl-200	1,088 (5) d
252,43 (3)	0,095 (13)	Y	Th-229	7 340 (160) a
252,5 (2)	0,78 (2)	Y	Tl-208	3,060 (8) min
252,50 (5)	0,108 (16)	Y	Th-227	18,718 (5) d
252,6 (2)	0,008 0 (18)	Y	Pa-228	22 (1) h
252,72 (7)	6,1 (6)	Y	Am-245	2,05 (1) h
252,78 (9)	0,012	Y	Th-233	22,15 (15) min
252,80 (6)	0,011 7 (18)	Y	Bi-214	19,9 (4) min
252,83 (7)	0,14	Y	I-137	24,5 (2) s
252,845 (10)	3,0 (3)	Y	Re-184	38,0 (5) d
252,845 (10)	10,7 (6)	Y	Re-184m	169 (8) d
252,9 (3)	0,050 (13)	Y	Xe-140	13,6 (1) s
253,16 (4)	0,7 (2)	Y	Te-131m*	1,25 (8) d
253,4 (5)	0,001 60 (16)	Y	Pa-228	22 (1) h
253,54 (5)	0,123 (6)	Y	Ac-225	10,0 (1) d
253,729 (10)	0,011 1 (12)	Y	Th-230	75 380 (300) a

* : Radionucléide en équilibre avec son descendant
(Cf. liste en début de volume)

Énergie (keV)	Intensité (%)	Type	Parent	Période
253,8 (1)	0,000 85 (11)	γ	Th-230	75 380 (300) a
254,1 (1)	0,011 (3)	γ	Sb-124	60,20 (3) d
254,17 (14)	1,29 (14)	γ	Zr-97	16,90 (5) h
254,28 (3)	0,169 (18)	γ	Pm-151	1,183 (2) d
254,40 (3)	0,110 (3)	γ	Np-239	2,356 (3) d
254,41 (8)	0,11 (1)	γ	Cm-243	29,1 (1) a
254,60 (5)	0,006 3 (16)	γ	Fr-223	22,00 (7) min
254,63 (3)	0,69 (13)	γ	Th-227	18,718 (5) d
254,74 (15)	0,211 (7)	γ	Ge-77	11,30 (1) h
254,74 (13)	0,023 (9)	γ	I-135	6,57 (2) h
255,1 (2)	0,24 (2)	γ	I-132	2,295 (13) h
255,1	0,009 (5)	γ	Ba-141	18,27 (7) min
255,134 (10)	2,11 (8)	γ	Sn-113*	115,09 (3) d
255,23 (15)	0,052 (7)	γ	Ra-223	11,43 (5) d
255,384 (15)	0,000 079 5 (20)	γ	Pu-239	24 100 (11) a
255,55 (8)	0,32 (4)	γ	Te-131m*	1,25 (8) d
255,6 (5)	0,005 (3)	γ	Ra-223	11,43 (5) d
255,6 (20)	0,004 (3)	γ	U-240	14,1 (1) h
255,71 (12)	0,001 1 (2)	γ	U-239	23,46 (4) min
255,77 (5)	0,112 (5)	γ	Pa-231	32 760 (110) a
256,0 (2)	0,000 33 (11)	γ	Ac-225	10,0 (1) d
256,17 (5)	0,022 (5)	γ	Fr-223	22,00 (7) min
256,23 (2)	6,8 (4)	γ	Th-227	18,718 (5) d
256,3	0,003 (3)	γ	Re-184	38,0 (5) d
256,54 (16)	0,003 (1)	γ	Ta-178	9,29 (4) min
256,99 (22)	0,001 00 (44)	γ	Eu-152m	9,3116 (13) h
257,09 (20)	0,02 (1)	γ	Np-237	2,144 (7) E+6 a
257,17	4,5	γ	Pb-200	21,5 (4) h
257,2 (1)	0,052	γ	Pa-234	6,70 (5) h
257,30 (15)	0,068	γ	Th-233	22,15 (15) min
257,49 (2)	0,131 (10)	γ	Pa-228	22 (1) h
257,51 (15)	0,001 6 (2)	γ	I-123	13,2234 (37) h
257,52 (10)	0,030 (3)	γ	Ac-228	6,15 (2) h
257,82 (4)	0,44 (6)	γ	Te-133m	55,4 (4) min
258,11 (2)	0,56 (5)	γ	Pm-151	1,183 (2) d
258,19 (7)	0,075 4 (26)	γ	Pa-234m	1,17 (3) min
258,25 (10)	0,019 (5)	γ	Sn-125	9,64 (3) d
258,36 (24)	0,013 5 (17)	γ	Xe-125	16,9 (2) h
258,411 (20)	31,5 (13)	γ	Xe-138	14,08 (8) min
258,44 (9)	0,002 4 (5)	γ	Pa-231	32 760 (110) a
258,45 (2)	0,027 4 (6)	γ	Pa-233	26,98 (2) d
258,46 (20)	0,000 147 (22)	γ	Pu-237	45,2 (1) d
258,5 (2)	0,056 (5)	γ	At-217	32,30 (40) E-3 s
258,80 (16)	0,000 7 (2)	γ	U-239	23,46 (4) min
258,87 (3)	0,531 8 (36)	γ	Pb-214	26,8 (9) min
259,08 (4)	0,034 (6)	γ	Th-229	7 340 (160) a
259,33 (4)	0,000 16 (3)	γ	U-233	159,20 (20) E+3 a
259,53 (5)	0,014 6 (17)	γ	Dy-165	2,334 (6) h
259,736 (10)	1,078 (10)	γ	Ho-166m	1 200 (180) a
259,8 (3)	0,44 (9)	γ	Te-134	41,8 (8) min
260,1 (1)	0,015 2 (22)	γ	Pa-228	22 (1) h
260,19 (6)	0,187 9 (24)	γ	Pa-231	32 760 (110) a
260,5 (5)	0,007 (3)	γ	Ra-223	11,43 (5) d
260,6 (2)	0,005 1 (13)	γ	Th-227	18,718 (5) d
260,86 (9)	0,003 0 (2)	γ	U-239	23,46 (4) min
260,89 (3)	0,000 92 (33)	γ	Cd-115m	44,56 (24) d
260,9	0,002 2 (7)	γ	Eu-154	8,601 (4) a
260,9 (1)	0,000 001 29 (6)	γ	Am-241	432,6 (6) a
261 (1)	0,011 (3)	γ	W-187	23,72 (6) h
261,077 12 (9)	1,687 (8)	γ	Yb-169	32,018 (5) d
261,2 (2)	0,449 (17)	γ	Sr-91*	9,63 (5) h
261,29 (10)	12,7 (4)	γ	Kr-79	35,04 (10) h
261,4 (3)	0,011 (4)	γ	Pm-151	1,183 (2) d
261,626 (7)	7,8 (4)	γ	Te-133m	55,4 (4) min
261,66 (20)	0,000 166 (23)	γ	Pu-237	45,2 (1) d
261,92 (5)	0,000 28 (5)	γ	U-233	159,20 (20) E+3 a
262,27 (5)	0,005 5 (18)	γ	Ra-226	1 600 (7) a
262,44 (20)	0,004 8 (2)	γ	Np-237	2,144 (7) E+6 a
262,70 (6)	0,356 (12)	γ	I-133	20,87 (8) h
262,7 (5)	0,011 (3)	γ	W-187	23,72 (6) h
262,87 (5)	0,105 (9)	γ	Th-227	18,718 (5) d
262,89 (19)	0,000 8 (3)	γ	U-239	23,46 (4) min
262,9 (1)	1,3 (1)	γ	I-132	2,295 (13) h
262,90 (15)	0,004 5 (15)	γ	Fr-223	22,00 (7) min
262,95 (8)	0,12 (3)	γ	In-116m	54,29 (17) min
263,062 (5)	56,7 (14)	γ	Mo-93m	6,85 (7) h
263,37 (8)	0,000 062 (9)	γ	Cm-244	18,11 (3) a
263,383 (14)	3,7 (6)	γ	Cs-143	1,791 (7) s
263,41 (10)	0,023 4 (20)	γ	Co-56	77,236 (26) d
263,58 (10)	0,040 (4)	γ	Ac-228	6,15 (2) h

* : Radionucléide en équilibre avec son descendant
(Cf. liste en début de volume)

Énergie (keV)	Intensité (%)	Type	Parent	Période
263,62 (2)	0,202 (15)	Y	Pa-228	22 (1) h
263,7 (1)	0,047 (16)	Y	Fr-227	2,47 (3) min
263,95 (3)	0,000 025 9 (10)	Y	Pu-239	24 100 (11) a
263,96 (7)	0,20 (2)	Y	Br-87	55,65 (13) s
264,075 2 (3)	3,61 (7)	Y	Ta-182	114,43 (3) d
264,25 (6)	0,006 0 (6)	Y	Ag-110m	249,78 (2) d
264,26 (9)	0,184 (7)	Y	I-135	6,57 (2) h
264,348 (14)	0,66 (6)	Y	Kr-89	3,17 (2) min
264,44 (3)	53,9 (5)	Y	Ge-77	11,30 (1) h
264,657 6 (9)	58,9 (3)	Y	Se-75	119,79 (4) d
264,7 (1)	0,086 (13)	Y	Pr-147	13,4 (4) min
264,87 (5)	0,000 009 43 (7)	Y	Am-241	432,6 (6) a
265	0,000 8 (8)	Y	Re-184	38,0 (5) d
265,3 (2)	0,005 0 (13)	Y	Th-227	18,718 (5) d
265,44 (17)	0,000 9 (3)	Y	U-239	23,46 (4) min
265,7 (3)	0,000 001 6 (4)	Y	Pu-239	24 100 (11) a
265,832 (5)	0,000 048 (5)	Y	Bi-210	5,012 (5) d
266,4 (1)	0,037 (5)	Y	Rb-81*	4,25 (25) h
266,554 (5)	0,492 (9)	Y	La-140	1,67850 (17) d
266,80 (15)	0,001 1 (4)	Y	Dy-165	2,334 (6) h
266,9 (1)	7,3 (11)	Y	Y-93	10,1 (2) h
266,91 (22)	0,001 1 (6)	Y	Eu-152m	9,3116 (13) h
266,913 (12)	0,041 (4)	Y	Ag-110m	249,78 (2) d
267,05 (20)	0,010 (3)	Y	Th-227	18,718 (5) d
267,12 (5)	0,18	Y	Pa-234	6,70 (5) h
267,17 (6)	0,117 (7)	Y	I-133	20,87 (8) h
267,44	0,013 6 (7)	Y	Eu-154	8,601 (4) a
267,54 (4)	0,721 (10)	Y	U-237	6,749 (16) d
267,54 (3)	0,000 026 8 (5)	Y	Am-241	432,6 (6) a
267,62 (8)	0,019 (1)	Y	Th-231	1,0633 (4) d
267,7 (3)	0,084 (19)	Y	Kr-89	3,17 (2) min
267,8 (5)	0,004 2 (15)	Y	Pa-228	22 (1) h
267,86 (20)	0,006 9 (25)	Y	Th-227	18,718 (5) d
267,92 (8)	0,78 (12)	Y	Pt-191	2,802 (25) d
268,10 (22)	0,22 (17)	Y	Ge-77	11,30 (1) h
268,22 (2)	16,0 (5)	Y	Ba-135m	1,196 (8) d
268,38	4	Y	Pb-200	21,5 (4) h
268,66 (3)	0,000 23 (4)	Y	U-233	159,20 (20) E+3 a
268,7 (5)	0,007 2 (18)	Y	Pa-228	22 (1) h
268,71 (8)	1,65 (23)	Y	Pt-191	2,802 (25) d
268,71 (3)	0,04 (2)	Y	Hg-197	2,671 (8) d
268,78 (5)	0,23 (3)	Y	Pt-197	19,8915 (19) h
268,785 (1)	3,43 (16)	Y	Lu-177m	160,4 (3) d
268,8 (2)	0,016 1 (18)	Y	Bi-214	19,9 (4) min
269,1 (4)	0,005 8 (16)	Y	Pa-228	22 (1) h
269,41 (12)	0,021 (4)	Y	Ta-178	9,29 (4) min
269,459 (10)	13,7 (4)	Y	Ra-223	11,43 (5) d
269,50 (2)	36,5 (8)	Y	Ni-56	6,079 (10) d
269,6 (2)	0,002 0 (6)	Y	Fr-223	22,00 (7) min
269,8	0,007 0 (11)	Y	Eu-154	8,601 (4) a
269,86 (6)	0,006 0 (24)	Y	Eu-152	13,522 (16) a
270,2 (2)	0,003 16 (5)	Y	U-232	70 (1) a
270,244 (6)	3,46 (6)	Y	Ac-228	6,15 (2) h
270,25 (2)	3,16 (23)	Y	Pa-228	22 (1) h
270,37 (6)	0,004 6 (5)	Y	Te-129	1,160 (5) h
270,56 (20)	0,028 (9)	Y	Th-227	18,718 (5) d
270,6 (5)	0,11 (3)	Y	Sn-125	9,64 (3) d
270,6 (1)	0,047 (8)	Y	Fr-227	2,47 (3) min
270,72 (3)	0,068 (8)	Y	Pm-151	1,183 (2) d
271,06 (1)	0,076 (12)	Y	Eu-152m	9,3116 (13) h
271,131 (8)	0,078 (3)	Y	Eu-152	13,522 (16) a
271,23 (1)	10,8 (7)	Y	Rn-219	3,96 (1) s
271,3 (1)	5,7 (4)	Y	Np-240	61,9 (2) min
271,54	0,000 001 44 (5)	Y	Am-241	432,6 (6) a
271,555 (10)	0,323 (3)	Y	Pa-233	26,98 (2) d
271,7 (10)	5 (2)	Y	Bi-215	7,6 (2) min
272 (1)	0,18 (9)	Y	Tc-104	18,3 (3) min
272,0 (4)	0,035 (18)	Y	Tl-200	1,088 (5) d
272,28 (5)	1,08	Y	Pa-234	6,70 (5) h
272,3 (1)	0,012 (3)	Y	Nd-147	10,98 (1) d
272,40 (16)	0,284 (47)	Y	Zr-97	16,90 (5) h
272,4 (8)	0,08 (3)	Y	In-116m	54,29 (17) min
272,41 (4)	0,010 1 (15)	Y	Eu-152m	9,3116 (13) h
272,42 (7)	1,53 (8)	Y	Rb-89	15,2 (1) min
272,498 (17)	0,057 2 (9)	Y	I-131*	8,0233 (19) d
272,6 (6)	0,26 (4)	Y	Sr-91*	9,63 (5) h
272,66 (9)	4,3 (7)	Y	Cs-143	1,791 (7) s
272,79 (9)	0,038 (10)	Y	Eu-150	36,9 (9) a
272,8 (1)	0,004 5 (13)	Y	Fr-223	22,00 (7) min
272,84 (3)	0,077 (3)	Y	Np-239	2,356 (3) d

* : Radionucléide en équilibre avec son descendant
(Cf. liste en début de volume)

Énergie (keV)	Intensité (%)	Type	Parent	Période
272,87 (9)	0,08 (1)	Y	Cm-243	29,1 (1) a
272,9 (2)	0,004 3 (43)	Y	Ce-143	33,040 (7) h
272,91 (5)	0,50 (3)	Y	Th-227	18,718 (5) d
273 (1)	0,071 (18)	Y	Y-93	10,1 (2) h
273,14 (6)	0,060 (5)	Y	Pa-231	32 760 (110) a
273,47 (3)	0,81 (3)	Y	Br-82	1,4708 (13) d
273,62 (12)	0,000 7 (4)	Y	Gd-159	18,479 (7) h
273,646 (8)	11,1 (4)	Y	Cs-136	13,16 (3) d
273,80 (5)	0,120 (8)	Y	Bi-214	19,9 (4) min
274,0 (5)	0,003 9 (2)	Y	Eu-154	8,601 (4) a
274,163 (19)	0,005 7 (4)	Y	Gd-159	18,479 (7) h
274,7 (2)	1,04 (5)	Y	Sr-91*	9,63 (5) h
274,728 (10)	0,000 40 (6)	Y	U-233	159,20 (20) E+3 a
274,80 (5)	0,362 (10)	Y	Pb-214	26,8 (9) min
274,97 (20)	0,086 (10)	Y	Mo-101	14,6 (1) min
275,04 (10)	0,093	Y	Pa-234	6,70 (5) h
275,13 (3)	0,052 (5)	Y	U-235	704 (1) E+6 a
275,21 (20)	6,8 (6)	Y	Pm-151	1,183 (2) d
275,374 (15)	0,77 (3)	Y	Nd-147	10,98 (1) d
275,43 (1)	0,007 (2)	Y	U-235	704 (1) E+6 a
275,449 (15)	0,032 3 (17)	Y	Eu-152	13,522 (16) a
275,5 (8)	0,000 31 (4)	Y	Pa-234m	1,17 (3) min
275,61 (12)	0,002 1 (6)	Y	W-187	23,72 (6) h
275,73 (8)	0,000 006 32 (8)	Y	Am-241	432,6 (6) a
275,85 (4)	0,076 (8)	Y	Pa-228	22 (1) h
276,0 (2)	4 (1)	Y	Sb-132m	4,10 (7) min
276,398 9 (12)	7,16 (5)	Y	Ba-133	10,540 (6) a
276,948 (13)	23,4 (17)	Y	Ba-141	18,27 (7) min
276,99 (10)	0,56 (9)	Y	Xe-140	13,6 (1) s
277,1 (10)	0,27 (9)	Y	Tc-104	18,3 (3) min
277,32 (1)	0,059 7 (22)	Y	Pa-231	32 760 (110) a
277,37 (3)	6,6 (3)	Y	Tl-208	3,060 (8) min
277,599 (1)	14,4 (1)	Y	Np-239	2,356 (3) d
277,599 (2)	14,0 (4)	Y	Cm-243	29,1 (1) a
277,62 (10)	0,061 (14)	Y	Pm-151	1,183 (2) d
277,95 (1)	21,3 (6)	Y	Te-134	41,8 (8) min
278,00 (11)	0,55 (11)	Y	Te-133m	55,4 (4) min
278,0 (5)	0,004 0 (4)	Y	Pa-228	22 (1) h
278,04 (5)	0,000 53 (14)	Y	Ag-111	7,45 (1) d
278,111 (8)	0,001 08 (17)	Y	U-233	159,20 (20) E+3 a
278,18	0,000 001 15	Y	Am-241	432,6 (6) a
278,2 (2)	0,09 (2)	Y	Te-131	25,0 (1) min
278,2 (3)	0,008 (4)	Y	Pm-151	1,183 (2) d
278,3 (1)	0,041	Y	Pa-234	6,70 (5) h
278,36 (12)	0,002 3 (4)	Y	I-123	13,2234 (37) h
278,4 (4)	0,039 (10)	Y	I-132	2,295 (13) h
278,43 (5)	0,57 (4)	Y	Te-129	1,160 (5) h
278,49 (8)	0,14 (2)	Y	In-116m	54,29 (17) min
278,57 (4)	1,8 (2)	Y	Te-131m*	1,25 (8) d
278,6 (2)	2,2 (2)	Y	Sb-126	12,4 (1) d
278,66 (2)	0,191 (23)	Y	Pa-228	22 (1) h
278,7 (4)	0,007 8	Y	Th-233	22,15 (15) min
278,80 (15)	0,153 (19)	Y	I-134	52,5 (2) min
278,95 (5)	0,191 (22)	Y	Ac-228	6,15 (2) h
279	0,000 4 (4)	Y	Re-184m	169 (8) d
279,01 (5)	2,4 (3)	Y	Pt-197m	95,41 (18) min
279,01 (5)	70,9 (5)	Y	Au-197m	7,73 (6) s
279,01 (5)	4,9 (5)	Y	Hg-197m	23,8 (2) h
279,195 2 (10)	81,48 (8)	Y	Hg-203	46,594 (12) d
279,195 2 (10)	80,94 (5)	Y	Pb-203	51,929 (10) h
279,25 (10)	0,018 5 (22)	Y	Ac-225	10,0 (1) d
279,5 (4)	0,007 4 (20)	Y	Pa-228	22 (1) h
279,50 (5)	0,27	Y	U-235	704 (1) E+6 a
279,542 2 (10)	24,99 (13)	Y	Se-75	119,79 (4) d
279,65 (20)	0,010 8 (4)	Y	Np-237	2,144 (7) E+6 a
279,763 (12)	0,50 (6)	Y	Dy-165	2,334 (6) h
279,80 (5)	0,053 (13)	Y	Th-227	18,718 (5) d
279,9	0,003 0 (2)	Y	Eu-154	8,601 (4) a
280 (1)	0,015 (4)	Y	Sm-155	22,3 (2) min
280,0 (5)	0,004 0 (4)	Y	Pa-228	22 (1) h
280,09 (3)	0,232 (21)	Y	Pm-151	1,183 (2) d
280,1 (10)	0,016 (10)	Y	U-240	14,1 (1) h
280,27 (24)	0,009 (5)	Y	Ir-192	73,827 (13) d
280,4 (2)	0,000 92 (12)	Y	Pu-237	45,2 (1) d
280,43 (3)	1,24 (8)	Y	Os-193	1,2546 (4) d
280,46 (25)	0,010 3 (15)	Y	Kr-79	35,04 (10) h
280,463 0 (23)	29,54 (25)	Y	Ho-166m	1 200 (180) a
280,61 (5)	0,011 (2)	Y	Pa-233	26,98 (2) d
280,7 (3)	0,002 5 (13)	Y	Th-227	18,718 (5) d
280,8 (10)	0,18 (9)	Y	Tc-104	18,3 (3) min

* : Radionucléide en équilibre avec son descendant
(Cf. liste en début de volume)

Énergie (keV)	Intensité (%)	Type	Parent	Période
280,8 (4)	0,004 0 (4)	Y	Pa-228	22 (1) h
280,95 (5)	0,062 (6)	Y	Bi-214	19,9 (4) min
281,01 (4)	0,000 4 (4)	Y	Kr-85m	4,480 (8) h
281,03 (5)	0,078 9 (9)	Y	I-123	13,2234 (37) h
281,126 (15)	1,38 (20)	Y	Xe-140	13,6 (1) s
281,2 (5)	0,11 (6)	Y	Te-133m	55,4 (4) min
281,2 (2)	0,000 002 1 (3)	Y	Pu-239	24 100 (11) a
281,26 (5)	0,165 (12)	Y	Te-129	1,160 (5) h
281,4 (2)	0,163 (5)	Y	Br-76	16,2 (2) h
281,4 (2)	0,007 8 (21)	Y	Eu-156	15,19 (8) d
281,42 (5)	0,174 (14)	Y	Th-227	18,718 (5) d
281,42 (5)	0,006	Y	U-235	704 (1) E+6 a
281,6 (7)	0,027 (6)	Y	Tc-101	14,2 (1) min
281,6	0,101 (16)	Y	Ba-141	18,27 (7) min
281,7 (1)	0,001 5 (4)	Y	Te-129	1,160 (5) h
281,787 3 (9)	14,1 (4)	Y	Lu-177m	160,4 (3) d
282,00 (3)	0,072 (19)	Y	Ac-228	6,15 (2) h
282,01 (2)	1,73 (13)	Y	Pa-228	22 (1) h
282,1 (2)	0,004 4 (22)	Y	Ac-225	10,0 (1) d
282,12 (9)	0,006 9 (7)	Y	Fr-221	4,79 (2) min
282,2 (1)	0,010 (5)	Y	Pa-232	1,31 (2) d
282,45 (5)	0,018 (6)	Y	Sn-125	9,64 (3) d
282,51 (6)	0,428 (20)	Y	Xe-138	14,08 (8) min
282,522 (14)	3,0 (4)	Y	Yb-175	4,185 (1) d
282,92 (5)	0,005	Y	U-235	704 (1) E+6 a
283,0 (2)	0,044 (10)	Y	Rb-81*	4,25 (25) h
283,0 (5)	0,08 (4)	Y	Xe-140	13,6 (1) s
283,0 (5)	0,004 0 (4)	Y	Pa-228	22 (1) h
283,2 (2)	0,4 (2)	Y	Te-131m*	1,25 (8) d
283,266 8 (8)	0,266 (3)	Y	Ir-192	73,827 (13) d
283,4 (4)	0,006 0 (6)	Y	Pa-228	22 (1) h
283,42 (13)	0,40 (7)	Y	Lu-177m	160,4 (3) d
283,5 (1)	0,000 58 (8)	Y	Cs-137*	30,05 (8) a
283,69 (1)	1,7	Y	Pa-231	32 760 (110) a
283,78 (10)	0,073	Y	I-137	24,5 (2) s
283,87 (3)	0,003 6 (8)	Y	Ga-66	9,49 (7) h
284,24 (10)	0,039 (13)	Y	Th-227	18,718 (5) d
284,305 (5)	6,06 (6)	Y	I-131*	8,0233 (19) d
284,31 (3)	0,15 (4)	Y	Fr-227	2,47 (3) min
284,5 (3)	0,22 (12)	Y	Te-133m	55,4 (4) min
284,8 (1)	0,004 4 (22)	Y	Ac-225	10,0 (1) d
284,9 (2)	0,71 (7)	Y	I-132	2,295 (13) h
284,99 (3)	0,167 (10)	Y	Eu-150	36,9 (9) a
285	0,001 1 (11)	Y	Pm-151	1,183 (2) d
285	0,079 1 (5)	Y	Pb-201	9,33 (3) h
285,1	0,079 1 (5)	Y	Pb-201	9,33 (3) h
285,24 (7)	0,021	Y	Th-233	22,15 (15) min
285,3 (2)	0,000 001 9 (4)	Y	Pu-239	24 100 (11) a
285,460 (2)	0,78 (1)	Y	Np-239	2,356 (3) d
285,460 (2)	0,73 (2)	Y	Cm-243	29,1 (1) a
285,5 (5)	0,4 (3)	Y	Tc-104	18,3 (3) min
285,52 (10)	0,043 (12)	Y	Th-227	18,718 (5) d
285,8 (5)	0,002 0 (2)	Y	Pa-228	22 (1) h
285,98 (3)	0,010 0 (6)	Y	Eu-152	13,522 (16) a
286,00 (5)	0,004 5 (13)	Y	Fr-223	22,00 (7) min
286,09 (2)	1,70 (17)	Y	Th-227	18,718 (5) d
286,2 (2)	0,006 (2)	Y	Sn-125	9,64 (3) d
286,293 (15)	0,23 (6)	Y	Eu-150	36,9 (9) a
286,3 (4)	0,026 (9)	Y	Kr-89	3,17 (2) min
286,3 (5)	0,000 14 (4)	Y	Pd-109	13,7 (1) h
286,481 (9)	0,014 3 (9)	Y	Tb-161	6,906 (19) d
286,55 (10)	0,010 0 (17)	Y	Pa-231	32 760 (110) a
287 (1)	0,075 (15)	Y	Y-93	10,1 (2) h
287,1 (4)	0,001 1 (4)	Y	Sm-155	22,3 (2) min
288,033 (5)	0,000 97 (15)	Y	U-233	159,20 (20) E+3 a
288,08 (6)	0,32 (2)	Y	Bi-212	60,54 (6) min
288,18 (3)	0,158 (5)	Y	Ra-223	11,43 (5) d
288,3	0,016 2 (5)	Y	Np-237	2,144 (7) E+6 a
288,42 (10)	0,016 (3)	Y	Pa-233	26,98 (2) d
288,451 (16)	3,10 (12)	Y	I-135	6,57 (2) h
288,79 (5)	0,142 (13)	Y	Os-193	1,2546 (4) d
288,9 (5)	0,006 0 (6)	Y	Pa-228	22 (1) h
289,11	1,1	Y	Pb-200	21,5 (4) h
289,31 (7)	0,191 (14)	Y	Ga-72	14,10 (2) h
289,35 (12)	0,514 (44)	Y	Tl-200	1,088 (5) d
289,50 (16)	0,006 (5)	Y	Th-229	7 340 (160) a
289,56 (4)	0,007	Y	U-235	704 (1) E+6 a
289,59 (10)	1,9 (4)	Y	Th-227	18,718 (5) d
289,68 (5)	0,23 (5)	Y	Fr-223	22,00 (7) min
289,76 (10)	0,58 (4)	Y	Rb-89	15,2 (1) min

* : Radionucléide en équilibre avec son descendant
(Cf. liste en début de volume)

Énergie (keV)	Intensité (%)	Type	Parent	Période
289,77 (10)	0,019 (4)	Y	Th-227	18,718 (5) d
289,78 (7)	9,2 (11)	Y	Xe-139	39,68 (14) s
289,94	1,7	Y	Pb-200	21,5 (4) h
290	0,003 3 (2)	Y	Eu-154	8,601 (4) a
290	0,000 474 (18)	Y	Os-193	1,2546 (4) d
290,0 (5)	0,010 (1)	Y	Pa-228	22 (1) h
290,2 (2)	0,08 (4)	Y	Te-131m*	1,25 (8) d
290,27 (4)	0,304 (20)	Y	I-135	6,57 (2) h
290,286 5 (25)	0,032 3 (5)	Y	Gd-159	18,479 (7) h
290,49 (15)	0,008 7 (21)	Y	Eu-156	15,19 (8) d
290,57 (10)	0,44 (6)	Y	Xe-140	13,6 (1) s
290,669 (13)	0,402 (21)	Y	W-188	69,78 (5) d
290,75 (1)	0,83 (8)	Y	Pm-151	1,183 (2) d
290,810 5 (11)	0,049 (4)	Y	Ga-66	9,49 (7) h
291,190 (11)	0,004 31 (14)	Y	Yb-169	32,018 (5) d
291,26 (20)	0,000 003 05 (7)	Y	Am-241	432,6 (6) a
291,354 (4)	0,005 37 (5)	Y	U-233	159,20 (20) E+3 a
291,42 (10)	1,02 (7)	Y	Lu-177m	160,4 (3) d
291,55 (5)	0,73 (7)	Y	Fr-227	2,47 (3) min
291,65 (3)	0,038 (5)	Y	U-235	704 (1) E+6 a
292,4 (3)	0,011 (7)	Y	Pm-151	1,183 (2) d
292,401 (7)	0,058 (4)	Y	Tb-161	6,906 (19) d
292,41 (5)	0,064 (8)	Y	Th-227	18,718 (5) d
292,51 (10)	0,82 (6)	Y	Lu-177m	160,4 (3) d
292,7 (2)	0,003 (1)	Y	Ru-103*	39,255 (8) d
292,70 (11)	0,006 3 (7)	Y	Ra-224	3,627 (7) d
292,77 (6)	0,002 5 (7)	Y	U-237	6,749 (16) d
292,78 (4)	0,000 014 2 (2)	Y	Am-241	432,6 (6) a
292,80 (1)	0,429 (7)	Y	Bi-213	45,59 (6) min
293,0 (2)	4 (1)	Y	Sb-132m	4,10 (7) min
293,15 (5)	0,003 3 (8)	Y	Fr-223	22,00 (7) min
293,266 (2)	42,8 (5)	Y	Ce-143	33,040 (7) h
293,54 (4)	0,073 (6)	Y	Rn-219	3,96 (1) s
293,541 (14)	2,5 (3)	Y	Ir-194	19,3 (1) h
293,74 (5)	90 (8)	Y	Bi-215	7,6 (2) min
293,79 (5)	3	Y	Pa-234	6,70 (5) h
293,8 (2)	0,066 (1)	Y	Ra-223	11,43 (5) d
293,91 (4)	0,000 13	Y	U-233	159,20 (20) E+3 a
294,515 (20)	0,166 (4)	Y	Ba-131	11,50 (6) d
294,52 (11)	0,24 (4)	Y	Fr-227	2,47 (3) min
294,54 (11)	0,001 1 (5)	Y	Yb-169	32,018 (5) d
294,8 (4)	0,076 (9)	Y	Zr-97	16,90 (5) h
294,8 (4)	0,048 (21)	Y	Xe-140	13,6 (1) s
294,8 (3)	0,013 (5)	Y	Pm-151	1,183 (2) d
294,8 (3)	0,001 9 (4)	Y	U-240	14,1 (1) h
294,82 (13)	0,22 (6)	Y	Te-133m	55,4 (4) min
294,9 (5)	0,6 (4)	Y	Tc-104	18,3 (3) min
294,98 (2)	0,251 (8)	Y	Ru-103*	39,255 (8) d
294,98 (2)	0,002 97 (24)	Y	Pd-103	16,964 (10) d
295,01 (7)	0,022 (5)	Y	Re-184	38,0 (5) d
295,17 (13)	0,049 (8)	Y	Tc-101	14,2 (1) min
295,17	0,001 582 (4)	Y	I-123	13,2234 (37) h
295,2 (3)	0,016 (5)	Y	Pm-151	1,183 (2) d
295,2 (1)	0,44 (6)	Y	Np-240	61,9 (2) min
295,224 (2)	18,414 (36)	Y	Pb-214	26,8 (9) min
295,3 (2)	0,007 8 (16)	Y	Ag-110	24,56 (11) s
295,5 (7)	0,016 (12)	Y	Kr-89	3,17 (2) min
295,5 (4)	0,004 0 (4)	Y	Pa-228	22 (1) h
295,60 (15)	0,22 (7)	Y	Am-245	2,05 (1) h
295,7	0,002 4 (2)	Y	Eu-154	8,601 (4) a
295,8 (2)	0,000 83 (27)	Y	I-131*	8,0233 (19) d
295,91 (8)	0,144	Y	Pa-234	6,70 (5) h
295,938 7 (17)	0,442 (3)	Y	Eu-152	13,522 (16) a
295,956 50 (15)	28,72 (14)	Y	Ir-192	73,827 (13) d
296 (1)	0,001 4 (9)	Y	Eu-154	8,601 (4) a
296 (3)	79 (10)	Y	Tl-210	1,30 (3) min
296,2 (2)	0,012 (11)	Y	Th-229	7 340 (160) a
296,4 (19)	0,000 48 (12)	Y	Fr-223	22,00 (7) min
296,458 1 (6)	5,08 (15)	Y	Lu-177m	160,4 (3) d
296,50 (5)	0,43 (4)	Y	Th-227	18,718 (5) d
296,53 (7)	21,7 (24)	Y	Xe-139	39,68 (14) s
296,6 (2)	4,9 (4)	Y	Sb-126	12,4 (1) d
296,7 (1)	0,05 (3)	Y	Te-131m*	1,25 (8) d
296,7 (1)	0,032 (16)	Y	Fr-227	2,47 (3) min
296,8 (2)	0,5 (2)	Y	Sb-126	12,4 (1) d
296,93 (3)	0,000 053 (15)	Y	Re-186	3,7186 (17) d
296,93 (13)	0,001 4 (2)	Y	U-239	23,46 (4) min
297,12 (7)	0,050 (15)	Y	Te-131	25,0 (1) min
297,2 (3)	0,038 (9)	Y	Zr-97	16,90 (5) h
297,3	0,009 (5)	Y	Tb-160	72,3 (2) d

* : Radionucléide en équilibre avec son descendant
(Cf. liste en début de volume)

Énergie (keV)	Intensité (%)	Type	Parent	Période
297,46 (3)	0,000 049 2 (13)	γ	Pu-239	24 100 (11) a
297,80 (5)	0,038 (5)	γ	Pm-151	1,183 (2) d
298,00 (7)	0,119 (10)	γ	Xe-137	3,818 (13) min
298 (1)	0,000 052 (18)	γ	Po-214	162,3 (12) E-6 s
298,061 (14)	0,64 (3)	γ	Eu-150	36,9 (9) a
298,578 3 (17)	26,1 (6)	γ	Tb-160	72,3 (2) d
298,6 (2)	0,11 (3)	γ	Tc-104	18,3 (3) min
298,6 (5)	0,006 (4)	γ	Pm-151	1,183 (2) d
298,7 (2)	0,013	γ	Pa-234	6,70 (5) h
298,81 (2)	0,12 (5)	γ	Pa-233	26,98 (2) d
298,83 (5)	0,186 (18)	γ	Os-193	1,2546 (4) d
298,89 (20)	0,000 66 (9)	γ	Pu-237	45,2 (1) d
299,050 6 (17)	1,80 (6)	γ	Lu-177m	160,4 (3) d
299,1 (1)	0,040 (6)	γ	Pa-228	22 (1) h
299,33 (5)	0,81 (14)	γ	Cs-143	1,791 (7) s
299,5 (3)	0,004 0 (4)	γ	Pa-228	22 (1) h
299,53 (10)	1,54 (9)	γ	Kr-79	35,04 (10) h
299,7 (1)	0,000 64 (9)	γ	Pa-234m	1,17 (3) min
299,8 (20)	0,013 (10)	γ	U-240	14,1 (1) h
299,95 (5)	0,022 (5)	γ	Fr-223	22,00 (7) min
299,98 (3)	2,16 (12)	γ	Th-227	18,718 (5) d
300,0 (2)	0,040 (15)	γ	Te-131	25,0 (1) min
300,07 (1)	2,47 (7)	γ	Pa-231	32 760 (110) a
300,09 (1)	3,18 (13)	γ	Pb-212	10,64 (1) h
300,129 (5)	6,60 (21)	γ	Pa-233	26,98 (2) d
300,217 (11)	0,80 (8)	γ	Cu-67	2,660 (5) d
300,217 (11)	16,8 (6)	γ	Ga-67	3,2613 (5) d
300,3 (3)	0,002 0 (2)	γ	Pa-228	22 (1) h
300,50 (16)	0,014 (3)	γ	Th-227	18,718 (5) d
300,741 (3)	3,73 (3)	γ	Ho-166m	1 200 (180) a
300,741 (14)	0,35 (5)	γ	Ir-194	19,3 (1) h
301,25	0,010 2 (4)	γ	Eu-154	8,601 (4) a
301,64 (15)	0,001 1 (3)	γ	U-239	23,46 (4) min
301,7 (1)	0,005	γ	U-235	704 (1) E+6 a
301,8 (2)	0,013 (5)	γ	Pm-151	1,183 (2) d
301,99 (10)	0,010 (2)	γ	Pa-233	26,98 (2) d
302,0 (7)	0,01 (1)	γ	I-132	2,295 (13) h
302 (1)	0,031 (15)	γ	Te-133	12,45 (30) min
302,2 (2)	0,009 0 (14)	γ	As-76	1,0778 (20) d
302,4 (2)	0,004 55 (49)	γ	I-131*	8,0233 (19) d
302,5 (3)	0,027 (7)	γ	Pm-151	1,183 (2) d
302,51 (5)	0,49 (9)	γ	Cs-143	1,791 (7) s
302,65 (1)	2,2 (3)	γ	Pa-231	32 760 (110) a
302,7 (4)	0,011 (4)	γ	Pb-201	9,33 (3) h
302,8 (3)	0,025 (5)	γ	Pm-151	1,183 (2) d
302,850 8 (5)	0,005 8 (8)	γ	Xe-133	5,2474 (5) d
302,850 8 (5)	18,34 (13)	γ	Ba-133	10,540 (6) a
302,87 (5)	0,000 004 9 (4)	γ	Pu-239	24 100 (11) a
302,9 (2)	0,03 (1)	γ	Cs-136	13,16 (3) d
302,98 (6)	0,000 019 (3)	γ	Cm-244	18,11 (3) a
303,2 (2)	0,013 (3)	γ	Pa-228	22 (1) h
303,80 (7)	0,12 (2)	γ	In-116m	54,29 (17) min
303,9 (2)	0,04 (3)	γ	Te-131m*	1,25 (8) d
303,923 6 (10)	1,316 (8)	γ	Se-75	119,79 (4) d
304,1 (1)	0,002 0 (6)	γ	Ni-57	35,9 (3) h
304,194 (19)	25,4 (19)	γ	Ba-141	18,27 (7) min
304,2 (2)	0,025 5 (23)	γ	Bi-214	19,9 (4) min
304,44 (13)	0,024 (7)	γ	Fr-223	22,00 (7) min
304,50 (2)	1,12 (14)	γ	Th-227	18,718 (5) d
304,7 (7)	0,022 (13)	γ	Kr-89	3,17 (2) min
304,758 (9)	0,018 3 (12)	γ	Ho-166m	1 200 (180) a
304,8 (3)	26 (5)	γ	Hg-206	8,15 (10) min
304,87 (2)	14,0 (4)	γ	Kr-85m	4,480 (8) h
304,872 (4)	4,30 (4)	γ	Ba-140	12,753 (4) d
304,896 (6)	0,000 061 (7)	γ	Bi-210	5,012 (5) d
304,91 (13)	0,032 (3)	γ	I-135	6,57 (2) h
305,0 (1)	0,039 (7)	γ	Xe-139	39,68 (14) s
305,1 (18)	0,055 (13)	γ	Kr-90	32,32 (9) s
305,1 (9)	0,019 (9)	γ	Zr-97	16,90 (5) h
305,1	0,017 4 (7)	γ	Eu-154	8,601 (4) a
305,26 (3)	0,031 5 (21)	γ	Pb-214	26,8 (9) min
305,502 8 (14)	1,82 (6)	γ	Lu-177m	160,4 (3) d
305,549 2 (20)	0,062 0 (7)	γ	Gd-159	18,479 (7) h
305,70 (8)	0,034 (6)	γ	Eu-150	36,9 (9) a
305,83 (9)	0,095 (4)	γ	I-135	6,57 (2) h
306,0 (3)	0,021 (2)	γ	Ga-72	14,10 (2) h
306,0 (3)	0,057 (7)	γ	Pr-147	13,4 (4) min
306,1 (3)	0,010 (4)	γ	Th-227	18,718 (5) d
306,2 (2)	0,031 (16)	γ	Fr-227	2,47 (3) min
306,42 (6)	6,8 (11)	γ	Cs-143	1,791 (7) s

* : Radionucléide en équilibre avec son descendant
(Cf. liste en début de volume)

Énergie (keV)	Intensité (%)	Type	Parent	Période
306,47 (10)	2,60 (13)	Y	Kr-79	35,04 (10) h
306,61 (2)	0,186 (14)	Y	Pa-228	22 (1) h
306,7 (4)	0,099 (20)	Y	I-132	2,295 (13) h
306,74 (6)	0,238 (17)	Y	Pm-151	1,183 (2) d
306,8 (1)	0,39 (5)	Y	Np-240	61,9 (2) min
306,82 (8)	93,0 (3)	Y	Lu-176	37,90 (30) E+9 a
306,83 (3)	88,7 (44)	Y	Tc-101	14,2 (1) min
307,08 (4)	0,022 (3)	Y	La-140	1,67850 (17) d
307,2 (5)	0,019 (10)	Y	I-124	4,1760 (3) d
307,3 (3)	0,010 (3)	Y	Sm-155	22,3 (2) min
307,737 57 (9)	10,046 (45)	Y	Yb-169	32,018 (5) d
307,85 (5)	0,000 005 2 (4)	Y	Pu-239	24 100 (11) a
307,9 (1)	0,28 (6)	Y	Te-133m	55,4 (4) min
307,92 (5)	0,007 (8)	Y	Fr-223	22,00 (7) min
308	0,003 (3)	Y	Pt-191	2,802 (25) d
308,0 (1)	0,080 (12)	Y	Pa-228	22 (1) h
308,2	0,002 4 (6)	Y	Eu-154	8,601 (4) a
308,40 (3)	0,017 (3)	Y	Th-227	18,718 (5) d
308,455 07 (17)	29,68 (15)	Y	Ir-192	73,827 (13) d
308,6 (2)	0,021	Y	Pa-234	6,70 (5) h
308,78 (7)	0,005 5 (4)	Y	Th-231	1,0633 (4) d
308,96 (15)	0,040 (6)	Y	Pb-201	9,33 (3) h
308,97 (8)	0,081 (10)	Y	Pm-151	1,183 (2) d
309,07 (9)	0,137 (16)	Y	Kr-90	32,32 (9) s
309,1 (5)	0,004 9 (15)	Y	Pd-109	13,7 (1) h
309,1 (3)	0,000 27	Y	U-237	6,749 (16) d
309,1 (3)	0,000 001 9 (3)	Y	Am-241	432,6 (6) a
309,18 (12)	0,262 (35)	Y	Tl-200	1,088 (5) d
309,2 (2)	0,141 (4)	Y	Br-76	16,2 (2) h
309,44 (7)	0,40 (5)	Y	Te-131m*	1,25 (8) d
309,561 (15)	0,863 (18)	Y	Tb-160	72,3 (2) d
309,6 (3)	0,010 (1)	Y	Pa-228	22 (1) h
310,0 (8)	0,64 (16)	Y	I-132m	1,387 (15) h
310,0 (1)	0,001 5 (6)	Y	Pa-231	32 760 (110) a
310,1 (4)	0,09 (2)	Y	I-132	2,295 (13) h
310,2 (1)	0,072	Y	Pa-234	6,70 (5) h
310,52 (10)	0,000 133	Y	Pa-234	6,70 (5) h
310,69 (6)	0,004	Y	U-235	704 (1) E+6 a
310,8 (2)	0,053 (9)	Y	Pm-151	1,183 (2) d
310,82 (8)	0,030 (6)	Y	Eu-150	36,9 (9) a
311,00 (5)	0,047 (2)	Y	Th-231	1,0633 (4) d
311 (1)	0,000 51 (7)	Y	Pa-234m	1,17 (3) min
311,28 (8)	0,209 (23)	Y	Tc-101	14,2 (1) min
311,3 (1)	0,009 (3)	Y	Sn-125	9,64 (3) d
311,4 (1)	0,032 (3)	Y	Pd-109	13,7 (1) h
311,69 (3)	0,107 (9)	Y	Kr-88	2,84 (3) h
311,70 (2)	0,002 (2)	Y	Np-239	2,356 (3) d
311,7 (2)	0,017 (2)	Y	Cm-243	29,1 (1) a
311,78 (4)	0,000 025 7 (8)	Y	Pu-239	24 100 (11) a
311,904 (5)	38,25 (23)	Y	Pa-233	26,98 (2) d
312,0 (2)	0,69 (20)	Y	Sb-132	2,79 (5) min
312,001 (24)	0,043 (12)	Y	Re-188	17,005 (4) h
312,072 (3)	62,4 (5)	Y	Te-133	12,45 (30) min
312,072 (3)	2,21 (20)	Y	Te-133m	55,4 (4) min
312,3	0,018 (2)	Y	Eu-154	8,601 (4) a
312,3 (3)	0,002 0 (2)	Y	Pa-228	22 (1) h
312,66 (5)	0,018 (4)	Y	Fr-223	22,00 (7) min
312,69 (3)	0,50 (4)	Y	Th-227	18,718 (5) d
312,746 (30)	0,32 (2)	Y	K-42	12,359 (3) h
312,8 (4)	0,004 0 (4)	Y	Pa-228	22 (1) h
312,92 (4)	0,102 (3)	Y	Pa-231	32 760 (110) a
313,30 (17)	0,020 5 (6)	Y	Ge-77	11,30 (1) h
313,34 (20)	0,000 25 (4)	Y	Pu-237	45,2 (1) d
313,5 (1)	0,103	Y	Pa-234	6,70 (5) h
313,59 (9)	0,031 (4)	Y	Pb-211	36,1 (2) min
313,725 1 (21)	1,26 (5)	Y	Lu-177m	160,4 (3) d
314,24 (16)	0,39 (6)	Y	Te-133m	55,4 (4) min
314,3 (3)	0,000 42 (1)	Y	Sn-117m	13,60 (4) d
314,32 (7)	0,077 (6)	Y	Pb-214	26,8 (9) min
314,34 (7)	0,074 (14)	Y	Nb-96	23,35 (5) h
314,5 (3)	0,008 8 (10)	Y	Rb-90	2,70 (5) min
314,5 (3)	0,83 (6)	Y	Rb-90m	4,30 (7) min
314,6 (1)	0,001 8 (5)	Y	Fr-223	22,00 (7) min
314,68 (10)	12,5 (1)	Y	Pr-147	13,4 (4) min
314,7 (3)	0,19 (5)	Y	Tc-104	18,3 (3) min
314,75 (10)	0,034 (2)	Y	Th-227	18,718 (5) d
314,85 (4)	0,48 (4)	Y	Th-227	18,718 (5) d
314,92 (10)	0,063 (8)	Y	Pm-151	1,183 (2) d
314,95 (11)	0,004 3 (3)	Y	Sb-125*	2,75855 (25) a
315,0 (2)	0,017 (6)	Y	Eu-150	36,9 (9) a

* : Radionucléide en équilibre avec son descendant
(Cf. liste en début de volume)

Énergie (keV)	Intensité (%)	Type	Parent	Période
315,1 (5)	0,007 9 (23)	Y	Pm-151	1,183 (2) d
315,1 (1)	0,000 6 (1)	Y	Tb-161	6,906 (19) d
315,174 (17)	0,049 6 (17)	Y	Eu-152	13,522 (16) a
315,4	0,007 (2)	Y	Eu-154	8,601 (4) a
315,5 (5)	0,020 (18)	Y	Cs-136	13,16 (3) d
315,5 (5)	0,021 (19)	Y	Ba-136m	308,4 (19) E-3 s
315,880 (3)	1,59 (1)	Y	Np-239	2,356 (3) d
315,880 (3)	0,018 (2)	Y	Cm-243	29,1 (1) a
316,20 (2)	0,002 5 (9)	Y	Cd-115m	44,56 (24) d
316,2 (2)	0,003 1 (10)	Y	Eu-152	13,522 (16) a
316,2 (7)	0,003 3 (3)	Y	Yb-169	32,018 (5) d
316,27 (9)	0,06 (1)	Y	Nb-96	23,35 (5) h
316,28 (20)	0,087	Y	I-137	24,5 (2) s
316,41 (3)	0,000 013 3 (5)	Y	Pu-239	24 100 (11) a
316,506 18 (17)	82,75 (21)	Y	Ir-192	73,827 (13) d
316,7 (4)	0,13 (2)	Y	I-132	2,295 (13) h
316,7 (1)	0,103	Y	Pa-234	6,70 (5) h
316,7 (1)	0,000 185 (40)	Y	Pa-234m	1,17 (3) min
316,8 (1)	0,044 (8)	Y	Pa-228	22 (1) h
317	0,001 0 (3)	Y	Os-193	1,2546 (4) d
317,10 (8)	0,001	Y	U-235	704 (1) E+6 a
317,16 (1)	0,007 76 (7)	Y	U-233	159,20 (20) E+3 a
317,2 (2)	0,014 0 (14)	Y	Pa-228	22 (1) h
317,30 (9)	0,060 (8)	Y	Eu-156	15,19 (8) d
317,5 (4)	0,022 (2)	Y	Ga-72	14,10 (2) h
317,72 (5)	0,000 015 0 (19)	Y	Pd-103	16,964 (10) d
317,77 (22)	0,000 006	Y	Ru-103*	39,255 (8) d
317,8 (3)	0,006 0 (6)	Y	Pa-228	22 (1) h
318,00 (6)	0,229 (12)	Y	Mo-101	14,6 (1) min
318,008 (10)	5,7 (3)	Y	Re-184m	169 (8) d
318,088 (16)	0,079 6 (15)	Y	I-131*	8,0233 (19) d
318,1 (7)	0,003 4 (18)	Y	Pa-231	32 760 (110) a
318,3 (3)	0,044 (15)	Y	Kr-89	3,17 (2) min
318,4 (2)	0,001 2 (2)	Y	Zn-69	56,4 (9) min
318,4 (2)	0,133 (4)	Y	Br-76	16,2 (2) h
318,40 (5)	6,9 (6)	Y	Ta-182m	15,84 (10) min
318,46 (20)	0,006 6 (22)	Y	Th-227	18,718 (5) d
318,8 (5)	0,22 (12)	Y	Te-133m	55,4 (4) min
318,9 (6)	0,17 (5)	Y	Hf-175	70 (2) d
319,020 5 (8)	10,5 (5)	Y	Lu-177m	160,4 (3) d
319,06 (10)	0,047 (12)	Y	Rb-81*	4,25 (25) h
319,24 (5)	0,031 (7)	Y	Th-227	18,718 (5) d
319,26 (2)	0,50 (11)	Y	Fr-223	22,00 (7) min
319,411 (18)	1,91 (6)	Y	Nd-147	10,98 (1) d
319,66 (3)	0,003 3 (3)	Y	Tb-161	6,906 (19) d
319,68 (10)	0,000 004 9 (5)	Y	Pu-239	24 100 (11) a
319,81 (6)	0,47 (4)	Y	I-134	52,5 (2) min
319,911 (8)	0,50 (5)	Y	Cs-136	13,16 (3) d
320 (1)	0,001 0 (7)	Y	Eu-154	8,601 (4) a
320,03 (15)	0,001 7 (6)	Y	Eu-152	13,522 (16) a
320,076 (6)	93,1 (4)	Y	Ti-51	5,76 (1) min
320,083 5 (4)	9,87 (5)	Y	Cr-51	27,703 (3) d
320,1 (4)	0,074 (22)	Y	Xe-140	13,6 (1) s
320,15 (8)	0,022 (5)	Y	Th-231	1,0633 (4) d
320,4 (1)	0,052	Y	Pa-234	6,70 (5) h
320,541 (5)	0,002 90 (3)	Y	U-233	159,20 (20) E+3 a
320,73 (10)	0,005 1 (4)	Y	Pa-233	26,98 (2) d
320,75 (20)	0,000 55 (7)	Y	Pu-237	45,2 (1) d
320,862 (20)	0,000 054 0 (12)	Y	Pu-239	24 100 (11) a
321,040 (4)	0,416 (4)	Y	Sb-125*	2,75855 (25) a
321,315 9 (6)	0,216 (8)	Y	Lu-177	6,647 (4) d
321,315 9 (6)	1,20 (6)	Y	Lu-177m	160,4 (3) d
321,5	0,028 (14)	Y	Ba-141	18,27 (7) min
321,56 (3)	1,28 (8)	Y	Os-193	1,2546 (4) d
321,646 (8)	0,226 (11)	Y	Ac-228	6,15 (2) h
321,71 (3)	0,062 (5)	Y	Pa-228	22 (1) h
321,76 (3)	0,095 (17)	Y	Fr-227	2,47 (3) min
321,87 (10)	0,097 (12)	Y	Pm-151	1,183 (2) d
322,01 (14)	0,036 (4)	Y	Tc-101	14,2 (1) min
322,02 (5)	0,066 (3)	Y	Eu-154	8,601 (4) a
322,3 (2)	0,005 2	Y	Np-239	2,356 (3) d
322,3 (3)	0,028 (4)	Y	Pu-243	4,956 (3) h
322,3 (2)	0,007 (1)	Y	Cm-243	29,1 (1) a
322,4 (1)	0,000 096 (6)	Y	Tc-99m	6,0067 (10) h
322,4 (2)	0,11 (6)	Y	Te-133m	55,4 (4) min
322,4 (2)	0,012 (2)	Y	Pa-228	22 (1) h
322,42 (15)	0,077 (11)	Y	Pb-201	9,33 (3) h
322,53 (3)	0,000 151 (3)	Y	Am-241	432,6 (6) a
322,93 (4)	0,016 2 (15)	Y	Re-188	17,005 (4) h
323,42 (5)	0,000 77 (12)	Y	U-233	159,20 (20) E+3 a

* : Radionucléide en équilibre avec son descendant
(Cf. liste en début de volume)

Énergie (keV)	Intensité (%)	Type	Parent	Période
323,71 (3)	0,165 (5)	Y	Bi-213	45,59 (6) min
323,83 (4)	0,028 7 (32)	Y	Pb-214	26,8 (9) min
323,84 (3)	0,000 053 0 (13)	Y	Pu-239	24 100 (11) a
323,871 (10)	3,93 (9)	Y	Ra-223	11,43 (5) d
323,94 (1)	1,22 (11)	Y	Pm-151	1,183 (2) d
324,10 (6)	0,017 4 (12)	Y	Fr-221	4,79 (2) min
324,3 (2)	0,05 (1)	Y	Te-133	12,45 (30) min
324,49 (4)	10,24 (39)	Y	Ru-97	2,9 (1) d
324,6 (4)	0,001 3 (5)	Y	La-141	3,92 (3) h
324,651 (25)	0,021 8 (26)	Y	I-131*	8,0233 (19) d
324,69	0,000 001 8 (3)	Y	Am-241	432,6 (6) a
324,83 (3)	0,073 8 (15)	Y	Eu-152	13,522 (16) a
324,88 (20)	0,010 (3)	Y	Th-227	18,718 (5) d
324,90 (8)	0,290 (18)	Y	Cs-138	33,41 (18) min
324,9 (10)	0,003 (3)	Y	Rn-219	3,96 (1) s
325,2 (3)	0,015 (4)	Y	Pm-151	1,183 (2) d
325,3 (3)	0,023 (8)	Y	Xe-138	14,08 (8) min
325,6 (15)	0,027 (8)	Y	Ge-77	11,30 (1) h
325,789 (4)	0,267 (26)	Y	I-131*	8,0233 (19) d
325,8 (1)	0,106 (15)	Y	Pm-151	1,183 (2) d
325,8 (1)	0,000 4	Y	U-235	704 (1) E+6 a
325,99 (18)	0,006 2 (25)	Y	Th-227	18,718 (5) d
326,0 (4)	0,28 (12)	Y	Te-133m	55,4 (4) min
326,0 (2)	0,002 3 (18)	Y	I-135	6,57 (2) h
326,1 (3)	0,068 (22)	Y	Xe-140	13,6 (1) s
326,2 (4)	0,050 (12)	Y	Au-196	6,183 (10) d
326,21 (7)	0,004 2 (2)	Y	U-239	23,46 (4) min
326,26 (12)	0,033 (5)	Y	Ac-228	6,15 (2) h
326,5 (1)	0,014 (1)	Y	Cs-134	2,0651 (6) a
326,8 (4)	0,090 (11)	Y	Xe-139	39,68 (14) s
327,13 (8)	0,038 (5)	Y	Pa-231	32 760 (110) a
327,44	0,12 (4)	Y	Ac-228	6,15 (2) h
327,45 (4)	2,9 (4)	Y	Pa-228	22 (1) h
327,682 9 (7)	18,1 (5)	Y	Lu-177m	160,4 (3) d
327,7 (7)	0,209 (10)	Y	Mo-101	14,6 (1) min
327,9 (2)	0,002 83 (6)	Y	U-232	70 (1) a
327,94 (6)	0,121 (3)	Y	Bi-212	60,54 (6) min
328 (2)	0,006 72 (43)	Y	Yb-169	32,018 (5) d
328,003 (4)	2,95 (12)	Y	Ac-228	6,15 (2) h
328,03 (4)	2,8 (4)	Y	Pa-228	22 (1) h
328,10 (12)	0,001 40 (14)	Y	Tl-207	4,77 (2) min
328,11 (10)	0,000 76 (8)	Y	Bi-207	32,9 (14) a
328,2 (2)	0,003 3 (11)	Y	Po-211	516 (3) E-3 s
328,4 (3)	0,205 (8)	Y	Ra-223	11,43 (5) d
328,448 (14)	13,1 (17)	Y	Ir-194	19,3 (1) h
328,5	0,002	Y	Rh-106	30,0 (2) s
328,6 (2)	0,011 6 (20)	Y	Pa-228	22 (1) h
328,761 (4)	20,8 (3)	Y	La-140	1,67850 (17) d
328,99 (6)	2,45 (18)	Y	Pr-147	13,4 (4) min
329,0 (8)	0,013 (7)	Y	Pm-151	1,183 (2) d
329,17 (15)	0,017 4 (17)	Y	Ir-192	73,827 (13) d
329,38 (17)	0,002 6 (6)	Y	I-123	13,2234 (37) h
329,4 (5)	0,015 (8)	Y	Xe-138	14,08 (8) min
329,425 (21)	0,129 (6)	Y	Eu-152	13,522 (16) a
329,69	0,000 001 1 (2)	Y	Am-241	432,6 (6) a
329,75 (2)	0,220 (17)	Y	Pm-151	1,183 (2) d
329,80 (5)	0,027 (6)	Y	Fr-223	22,00 (7) min
329,85 (2)	2,9 (2)	Y	Th-227	18,718 (5) d
329,9 (7)	0,009 1 (5)	Y	Eu-154	8,601 (4) a
330,06 (1)	1,40 (3)	Y	Pa-231	32 760 (110) a
330,14 (14)	0,000 7 (1)	Y	U-239	23,46 (4) min
330,2 (2)	8,6 (5)	Y	Xe-123	2,08 (2) h
330,4 (1)	0,022 (3)	Y	Pa-228	22 (1) h
330,40 (5)	0,77	Y	Pa-234	6,70 (5) h
330,43 (19)	0,152 (28)	Y	Zr-97	16,90 (5) h
330,54 (10)	0,006 0 (17)	Y	Eu-152	13,522 (16) a
330,70 (8)	0,011 64 (33)	Y	I-123	13,2234 (37) h
331,0 (2)	0,34 (6)	Y	Xe-140	13,6 (1) s
331,17 (5)	77 (6)	Y	Pb-201	9,33 (3) h
331,4 (1)	0,072	Y	Pa-234	6,70 (5) h
331,5 (2)	0,12 (4)	Y	Te-133	12,45 (30) min
332,06 (14)	0,001 1 (2)	Y	U-239	23,46 (4) min
332,1 (5)	1,4 (4)	Y	Sn-125	9,64 (3) d
332,2 (2)	0,001 6 (5)	Y	Th-227	18,718 (5) d
332,36 (4)	1,199 (16)	Y	U-237	6,749 (16) d
332,36 (2)	0,000 150 (3)	Y	Am-241	432,6 (6) a
332,369 (7)	0,40 (4)	Y	Ac-228	6,15 (2) h
332,37 (2)	1,96 (15)	Y	Pa-228	22 (1) h
332,845 (5)	0,000 488 (8)	Y	Pu-239	24 100 (11) a
333,03 (5)	22,9 (6)	Y	Au-196	6,183 (10) d

* : Radionucléide en équilibre avec son descendant
(Cf. liste en début de volume)

Énergie (keV)	Intensité (%)	Type	Parent	Période
333,2 (3)	0,001 0 (7)	Y	Br-82	1,4708 (13) d
333,3 (3)	0,002 8 (16)	Y	Os-193	1,2546 (4) d
333,350 (42)	0,063 (4)	Y	Bi-214	19,9 (4) min
333,39 (4)	0,000 062 (15)	Y	Re-186	3,7186 (17) d
333,5 (4)	0,005 (2)	Y	Rh-106	30,0 (2) s
333,6 (2)	0,037 (3)	Y	I-135	6,57 (2) h
333,61 (6)	0,71 (3)	Y	Mo-101	14,6 (1) min
333,8 (3)	0,63 (10)	Y	Tc-104	18,3 (3) min
333,86 (16)	0,089 (15)	Y	Cs-138	33,41 (18) min
333,947 77 (27)	0,001 71 (9)	Y	Yb-169	32,018 (5) d
333,971 (12)	96 (3)	Y	Eu-150	36,9 (9) a
333,99 (5)	0,100 (6)	Y	Ra-223	11,43 (5) d
334,245 (5)	3,32 (20)	Y	Te-133m	55,4 (4) min
334,27 (3)	9,8 (8)	Y	Te-131m*	1,25 (8) d
334,27 (4)	7,2 (13)	Y	Te-133m	55,4 (4) min
334,30 (6)	0,009 2 (22)	Y	Fr-223	22,00 (7) min
334,310 (3)	2,04 (2)	Y	Np-239	2,356 (3) d
334,310 (3)	0,024 (2)	Y	Cm-243	29,1 (1) a
334,37 (2)	1,11 (9)	Y	Th-227	18,718 (5) d
334,71 (3)	0,145 (10)	Y	Kr-88	2,84 (3) h
334,78 (8)	0,033 (5)	Y	Bi-214	19,9 (4) min
334,8 (2)	0,264 (7)	Y	Fe-59	44,495 (8) d
335,28 (9)	0,107 (11)	Y	Xe-138	14,08 (8) min
335,38 (4)	0,095 8 (22)	Y	U-237	6,749 (16) d
335,40 (3)	0,000 496 (5)	Y	Am-241	432,6 (6) a
335,6 (2)	0,14 (7)	Y	Te-131m*	1,25 (8) d
335,6 (2)	0,22 (5)	Y	Xe-140	13,6 (1) s
335,6 (3)	0,003 2 (9)	Y	Pa-228	22 (1) h
335,69 (11)	0,010 2 (16)	Y	Eu-156	15,19 (8) d
335,7 (1)	0,036 (15)	Y	Eu-150	36,9 (9) a
335,8 (1)	0,08 (2)	Y	Sb-124	60,20 (3) d
335,85 (6)	2,96 (24)	Y	Pr-147	13,4 (4) min
336 (1)	0,018 (10)	Y	I-124	4,1760 (3) d
336,113 (12)	0,000 111 1 (26)	Y	Pu-239	24 100 (11) a
336,240 (12)	0,004 9 (17)	Y	Cd-115m	44,56 (24) d
336,24 (3)	45,9 (1)	Y	In-115m	4,486 (4) h
336,61 (2)	0,000 54 (8)	Y	U-233	159,20 (20) E+3 a
336,621 (3)	0,009 8 (9)	Y	Yb-169	32,018 (5) d
336,63 (4)	0,107 (3)	Y	Ga-72	14,10 (2) h
337,32 (3)	0,339 (7)	Y	Tb-160	72,3 (2) d
337,63 (6)	0,232 (6)	Y	Ge-77	11,30 (1) h
337,7 (5)	0,001 2 (8)	Y	Os-193	1,2546 (4) d
337,7 (10)	0,008 6 (23)	Y	Rn-219	3,96 (1) s
337,7 (2)	0,008 9 (5)	Y	U-237	6,749 (16) d
337,7 (2)	0,000 004 88 (7)	Y	Am-241	432,6 (6) a
338,1 (8)	0,001 14 (20)	Y	Pa-234m	1,17 (3) min
338,2 (1)	0,34 (4)	Y	Kr-89	3,17 (2) min
338,22 (2)	0,27 (1)	Y	Te-133	12,45 (30) min
338,281 (10)	2,79 (7)	Y	Ra-223	11,43 (5) d
338,3 (2)	0,000 9 (5)	Y	Ce-143	33,040 (7) h
338,319 (6)	11,27 (19)	Y	Ac-228	6,15 (2) h
338,32 (2)	7,6 (6)	Y	Pa-228	22 (1) h
338,66 (4)	0,668 (18)	Y	Ge-77	11,30 (1) h
338,75	0,026 (9)	Y	Tl-200	1,088 (5) d
338,86 (7)	0,62 (7)	Y	Xe-139	39,68 (14) s
338,95 (7)	0,060 (7)	Y	Rb-88	17,8 (1) min
339,50 (6)	0,070 (15)	Y	Fr-223	22,00 (7) min
339,67 (3)	0,003 8 (4)	Y	Co-57	271,80 (5) d
339,7 (2)	0,060 (6)	Y	Rb-81*	4,25 (25) h
339,75 (5)	0,161 6 (23)	Y	Ho-166m	1 200 (180) a
339,76 (10)	0,003 8 (13)	Y	Th-227	18,718 (5) d
340,08 (1)	22,5 (9)	Y	Pm-151	1,183 (2) d
340,1 (3)	0,005 (2)	Y	Eu-152m	9,3116 (13) h
340,2 (3)	0,020 0 (22)	Y	Xe-125	16,9 (2) h
340,2 (1)	0,04	Y	Pa-234	6,70 (5) h
340,38 (4)	0,156 (16)	Y	Eu-150	36,9 (9) a
340,40 (14)	0,031 (3)	Y	Eu-152	13,522 (16) a
340,45	0,001 6 (3)	Y	U-237	6,749 (16) d
340,476 (5)	4,47 (3)	Y	Pa-233	26,98 (2) d
340,547 (8)	42,2 (13)	Y	Cs-136	13,16 (3) d
340,72 (7)	0,000 001 8 (9)	Y	Cm-244	18,11 (3) a
340,74 (5)	0,181 (3)	Y	Pa-231	32 760 (110) a
340,96 (5)	0,369 (21)	Y	Ac-228	6,15 (2) h
340,98 (2)	1,91 (14)	Y	Pa-228	22 (1) h
341 (1)	0,03 (1)	Y	Te-133	12,45 (30) min
341,0 (3)	0,074 (19)	Y	Pm-151	1,183 (2) d
341,3 (2)	0,002 2 (5)	Y	Ag-110m	249,78 (2) d
341,375	0,017 (9)	Y	Tl-200	1,088 (5) d
341,40 (5)	0,003 5 (4)	Y	Tb-161	6,906 (19) d
341,5 (5)	0,044 (6)	Y	Y-93	10,1 (2) h

* : Radionucléide en équilibre avec son descendant
(Cf. liste en début de volume)

Énergie (keV)	Intensité (%)	Type	Parent	Période
341,506 (10)	0,000 065 0 (13)	Y	Pu-239	24 100 (11) a
341,52 (8)	0,103 (15)	Y	Pb-201	9,33 (3) h
341,643 2 (10)	1,69 (7)	Y	Lu-177m	160,4 (3) d
342,13 (2)	6,7 (3)	Y	Ag-111	7,45 (1) d
342,50 (7)	0,013 (3)	Y	Fr-223	22,00 (7) min
342,52 (12)	0,000 9 (6)	Y	I-135	6,57 (2) h
342,54 (5)	0,008 5 (10)	Y	Te-129	1,160 (5) h
342,55 (4)	0,34 (9)	Y	Th-227	18,718 (5) d
342,56 (4)	0,170 (16)	Y	Eu-150	36,9 (9) a
342,8 (3)	0,50 (6)	Y	Te-133m	55,4 (4) min
342,88 (5)	0,049 (4)	Y	Te-129	1,160 (5) h
342,9 (4)	0,219 (14)	Y	Ra-223	11,43 (5) d
342,91 (4)	0,035 (6)	Y	Pb-211	36,1 (2) min
342,95 (2)	0,76 (7)	Y	Te-131	25,0 (1) min
343,1 (5)	0,001 49 (13)	Y	Pu-243	4,956 (3) h
343,2 (2)	0,013 (5)	Y	Pt-191	2,802 (25) d
343,40 (8)	84 (3)	Y	Hf-175	70 (2) d
343,5 (2)	0,003	Y	U-235	704 (1) E+6 a
343,6 (4)	0,09 (2)	Y	I-132	2,295 (13) h
343,63 (7)	0,013 3 (12)	Y	Tb-161	6,906 (19) d
343,673 (17)	14,4 (11)	Y	Ba-141	18,27 (7) min
343,73 (14)	0,004 4 (3)	Y	I-123	13,2234 (37) h
343,8 (2)	0,034	Y	Pa-234	6,70 (5) h
343,9 (1)	0,06 (2)	Y	Te-133	12,45 (30) min
344,1 (5)	0,056 (21)	Y	Xe-140	13,6 (1) s
344,278 5 (12)	26,59 (12)	Y	Eu-152	13,522 (16) a
344,3 (4)	0,002 0 (2)	Y	Pa-228	22 (1) h
344,31 (3)	2,4 (4)	Y	Eu-152m	9,3116 (13) h
344,39 (5)	0,72 (12)	Y	Te-133m	55,4 (4) min
344,6 (2)	0,000 040 (24)	Y	Cd-115m	44,56 (24) d
344,6 (5)	0,55 (11)	Y	Hg-206	8,15 (10) min
344,71 (10)	0,236 (21)	Y	Kr-79	35,04 (10) h
344,90 (1)	2,11 (14)	Y	Pm-151	1,183 (2) d
344,95 (20)	0,002 54 (18)	Y	Zn-65	244,01 (9) d
345,00 (2)	0,000 05	Y	Pu-239	24 100 (11) a
345,013 (4)	0,000 548 (8)	Y	Pu-239	24 100 (11) a
345,03 (10)	1,19 (11)	Y	Kr-89	3,17 (2) min
345,04 (5)	0,285 (24)	Y	Pb-201	9,33 (3) h
345,13 (8)	0,003 8 (2)	Y	U-239	23,46 (4) min
345,2 (8)	0,03 (1)	Y	In-116m	54,29 (17) min
345,459 (6)	0,104 (18)	Y	I-133	20,87 (8) h
345,52 (3)	8,3 (6)	Y	Rb-91	58,4 (4) s
345,6 (4)	0,22 (17)	Y	Te-133m	55,4 (4) min
345,90 (3)	0,038 (5)	Y	U-235	704 (1) E+6 a
345,93 (6)	15,12 (13)	Y	Hf-181	42,39 (6) d
345,955 (19)	0,398 (19)	Y	Eu-150	36,9 (9) a
346,03 (3)	1,01 (3)	Y	Mn-52	5,595 (3) d
346,06 (7)	0,080 (6)	Y	Br-87	55,65 (13) s
346,1 (2)	0,038 (10)	Y	Pm-151	1,183 (2) d
346,35 (5)	0,125 7 (9)	Y	I-123	13,2234 (37) h
346,45 (1)	0,011 7 (14)	Y	Th-227	18,718 (5) d
346,5 (2)	11,1 (3)	Y	Pt-197m	95,41 (18) min
346,72 (5)	0,029 (1)	Y	Eu-154	8,601 (4) a
346,8 (3)	0,178 (3)	Y	Ra-223	11,43 (5) d
347,0 (3)	0,002 4 (11)	Y	Pa-228	22 (1) h
347,14 (7)	0,007 5 (4)	Y	Co-60	5,2710 (8) a
347,251 (18)	0,205 (19)	Y	Fr-227	2,47 (3) min
347,31 (4)	0,66 (7)	Y	Te-133m	55,4 (4) min
347,56 (9)	0,102 (10)	Y	Mo-101	14,6 (1) min
347,64 (6)	0,012	Y	Th-233	22,15 (15) min
347,77 (5)	0,001 8 (6)	Y	Ga-66	9,49 (7) h
348,2 (2)	0,000 6 (1)	Y	Tb-161	6,906 (19) d
348,23 (18)	0,000 7 (3)	Y	U-239	23,46 (4) min
348,27 (9)	0,013 6 (23)	Y	Eu-156	15,19 (8) d
348,280 7 (18)	0,239 3 (25)	Y	Gd-159	18,479 (7) h
348,5 (1)	0,003 3 (11)	Y	Ac-225	10,0 (1) d
348,5 (5)	0,006 6 (22)	Y	Th-227	18,718 (5) d
348,8 (3)	0,009 2 (23)	Y	Pm-151	1,183 (2) d
348,80 (3)	0,079 (9)	Y	Fr-227	2,47 (3) min
348,92 (6)	0,123 (32)	Y	Bi-214	19,9 (4) min
349,1 (3)	0,09 (5)	Y	Tc-104	18,3 (3) min
349,3 (10)	2,5 (3)	Y	Tc-104	18,3 (3) min
349,5	0,23 (18)	Y	Ba-141	18,27 (7) min
349,81 (3)	0,142 (15)	Y	Pm-151	1,183 (2) d
349,92 (11)	0,014 4 (9)	Y	Tb-160	72,3 (2) d
350,04 (19)	0,017 (7)	Y	Kr-88	2,84 (3) h
350,053 (19)	1,54 (19)	Y	Nb-96	23,35 (5) h
350,10 (15)	0,016 7 (11)	Y	Ge-77	11,30 (1) h
350,2 (2)	0,007 1 (24)	Y	Os-193	1,2546 (4) d
350,54 (7)	0,107 (18)	Y	Th-227	18,718 (5) d

* : Radionucléide en équilibre avec son descendant
(Cf. liste en début de volume)

Énergie (keV)	Intensité (%)	Type	Parent	Période
350,619 (3)	3,23 (4)	Y	Ce-143	33,040 (7) h
350,71	0,000 001 39 (5)	Y	Am-241	432,6 (6) a
350,8 (3)	0,000 001 8 (4)	Y	Pu-239	24 100 (11) a
350,85 (5)	0,198 (19)	Y	Fr-227	2,47 (3) min
350,95 (5)	0,26 (7)	Y	Sn-125	9,64 (3) d
351,0 (4)	0,002 0 (2)	Y	Pa-228	22 (1) h
351,05 (10)	0,009 1 (11)	Y	Ta-182	114,43 (3) d
351,06 (4)	12,91 (11)	Y	Bi-211	2,14 (2) min
351,08 (10)	0,50 (6)	Y	I-134	52,5 (2) min
351,17 (3)	3,4 (4)	Y	Pt-191	2,802 (25) d
351,196 (24)	0,091 (4)	Y	Ba-131	11,50 (6) d
351,33 (15)	0,000 7 (2)	Y	U-239	23,46 (4) min
351,34 (10)	0,24 (6)	Y	Te-131m*	1,25 (8) d
351,51 (7)	0,007 3 (15)	Y	Pa-231	32 760 (110) a
351,66 (4)	0,014 0 (22)	Y	Eu-152	13,522 (16) a
351,7 (2)	0,021 (7)	Y	Te-131	25,0 (1) min
351,8 (4)	0,08 (2)	Y	I-132	2,295 (13) h
351,9 (1)	0,41	Y	Pa-234	6,70 (5) h
351,932 (2)	35,60 (7)	Y	Pb-214	26,8 (9) min
352,3 (3)	0,016 (5)	Y	Pm-151	1,183 (2) d
352,34 (2)	0,003 2 (4)	Y	Co-57	271,80 (5) d
352,5 (20)	0,05 (5)	Y	Sr-92	2,65 (6) h
352,56 (3)	0,83 (4)	Y	Nb-96	23,35 (5) h
352,6 (2)	0,000 21 (13)	Y	Fr-223	22,00 (7) min
352,61 (10)	0,009 8 (22)	Y	Th-227	18,718 (5) d
352,86 (17)	0,001 6 (6)	Y	W-187	23,72 (6) h
352,97 (9)	0,14 (10)	Y	Mo-101	14,6 (1) min
353,3 (2)	0,228 (19)	Y	Hf-175	70 (2) d
353,32 (10)	0,106 (12)	Y	Pm-151	1,183 (2) d
353,6 (6)	0,000 12	Y	Cd-115m	44,56 (24) d
353,6 (2)	0,020 (15)	Y	Te-131	25,0 (1) min
353,7 (3)	0,98 (19)	Y	Tc-104	18,3 (3) min
353,8 (2)	3,0 (3)	Y	Sb-132	2,79 (5) min
354,1 (4)	0,13 (4)	Y	Kr-89	3,17 (2) min
354,20 (9)	0,014 6 (23)	Y	Eu-156	15,19 (8) d
354,20 (2)	0,016 (16)	Y	Pa-228	22 (1) h
354,46 (5)	0,100 (3)	Y	Pa-231	32 760 (110) a
354,8 (2)	0,001 6 (5)	Y	Ac-225	10,0 (1) d
354,97 (5)	0,000 5 (2)	Y	Sr-85	64,850 (7) d
354,98 (7)	0,32 (9)	Y	Te-131m*	1,25 (8) d
355,36 (4)	0,83 (4)	Y	In-116m	54,29 (17) min
355,4 (9)	2,38 (24)	Y	Zr-97	16,90 (5) h
355,4 (1)	0,65 (5)	Y	Te-133m	55,4 (4) min
355,73 (5)	87,0 (8)	Y	Au-196	6,183 (10) d
356,0 (2)	0,11 (4)	Y	Kr-90	32,32 (9) s
356 (10)	4 (2)	Y	Tl-210	1,30 (3) min
356,012 9 (7)	62,05 (19)	Y	Ba-133	10,540 (6) a
356,03 (5)	0,005	Y	U-235	704 (1) E+6 a
356,16 (9)	4,2 (4)	Y	Kr-89	3,17 (2) min
356,4 (3)	0,133 (17)	Y	Pu-243	4,956 (3) h
356,43 (10)	0,004 25 (30)	Y	Ag-110m	249,78 (2) d
356,47 (10)	0,29 (5)	Y	Ta-182m	15,84 (10) min
356,72 (8)	0,53 (6)	Y	Xe-139	39,68 (14) s
356,74 (5)	0,000 141 (6)	Y	Yb-169	32,018 (5) d
356,9 (5)	0,008 (3)	Y	Pm-151	1,183 (2) d
356,90 (25)	0,000 84 (43)	Y	Dy-165	2,334 (6) h
356,966 (19)	0,017 0 (18)	Y	Ac-228	6,15 (2) h
357	0,002 2 (5)	Y	Pa-228	22 (1) h
357,12 (9)	0,175 (7)	Y	Pa-231	32 760 (110) a
357,26 (5)	0,004 0 (5)	Y	Eu-152	13,522 (16) a
357,3 (1)	0,034 (5)	Y	Pa-228	22 (1) h
357,39 (14)	0,009 (3)	Y	Ru-103*	39,255 (8) d
357,45 (8)	0,024 6 (6)	Y	Pd-103	16,964 (10) d
357,5 (10)	0,000 8 (1)	Y	Pa-234m	1,17 (3) min
357,7 (2)	0,74 (6)	Y	Rb-81*	4,25 (25) h
357,7 (2)	0,099 0 (32)	Y	Os-193	1,2546 (4) d
357,8 (2)	0,000 60 (22)	Y	Ce-143	33,040 (7) h
357,9 (1)	0,036	Y	Pa-234	6,70 (5) h
358,0 (3)	0,37 (15)	Y	Br-76	16,2 (2) h
358,0 (1)	89 (3)	Y	Tc-104	18,3 (3) min
358,2 (5)	0,044 (10)	Y	Mo-101	14,6 (1) min
358,3 (2)	0,000 001 29 (5)	Y	Am-241	432,6 (6) a
358,39 (3)	0,22 (1)	Y	Xe-135	9,14 (2) h
358,4 (7)	0,013 5 (6)	Y	As-76	1,0778 (20) d
358,4 (2)	0,009 8 (22)	Y	I-131*	8,0233 (19) d
358,4 (2)	0,112 (23)	Y	Xe-140	13,6 (1) s
358,4 (2)	0,015 (3)	Y	Pm-151	1,183 (2) d
358,7 (2)	0,09 (1)	Y	Te-133	12,45 (30) min
359,1 (1)	0,050 (4)	Y	Sr-91*	9,63 (5) h
359,2	0,010 (8)	Y	Ba-141	18,27 (7) min

* : Radionucléide en équilibre avec son descendant
(Cf. liste en début de volume)

Énergie (keV)	Intensité (%)	Type	Parent	Période	
359,3 (1)	0,009 0 (12)	Y	Pa-231	32 760 (110)	a
359,36 (3)	0,121 (10)	Y	Pa-228	22 (1)	h
359,74 (4)	0,12	Y	Th-233	22,15 (15)	min
359,86 (4)	0,038 5 (15)	Y	Fr-221	4,79 (2)	min
359,88 (3)	6,0 (7)	Y	Pt-191	2,802 (25)	d
360,23 (8)	0,008 (5)	Y	Ag-110m	249,78 (2)	d
360,3 (1)	0,135 (2)	Y	Te-127	9,35 (10)	h
360,6 (3)	0,018	Y	Pa-234	6,70 (5)	h
360,8 (6)	0,04 (3)	Y	Te-133m	55,4 (4)	min
360,9 (3)	0,011 (3)	Y	Pm-151	1,183 (2)	d
361,118 (7)	0,11 (4)	Y	I-133	20,87 (8)	h
361,27 (5)	9,5 (7)	Y	Pb-201	9,33 (3)	h
361,285 (22)	0,038	Y	Th-233	22,15 (15)	min
361,68 (2)	0,84 (9)	Y	Dy-165	2,334 (6)	h
361,81 (5)	0,296 (27)	Y	Os-193	1,2546 (4)	d
361,83 (8)	0,004 3 (3)	Y	U-239	23,46 (4)	min
361,85 (13)	0,187 (24)	Y	I-135	6,57 (2)	h
361,89 (5)	0,000 011 7 (7)	Y	Pu-239	24 100 (11)	a
362,06 (20)	0,045 (3)	Y	Ra-223	11,43 (5)	d
362,072 (17)	0,043 (3)	Y	Pb-211	36,1 (2)	min
362,23 (1)	2,25 (12)	Y	Kr-88	2,84 (3)	h
362,5 (1)	0,006 5 (22)	Y	Ac-225	10,0 (1)	d
362,63 (10)	0,050 (3)	Y	Th-227	18,718 (5)	d
362,8 (10)	0,000 68 (10)	Y	Pa-234m	1,17 (3)	min
362,81 (4)	0,000 002 18 (44)	Y	Kr-85	10,752 (23)	a
362,847 (6)	0,001 4 (3)	Y	Sr-85	64,850 (7)	d
362,86 (5)	0,221 (20)	Y	Fr-227	2,47 (3)	min
363,06 (7)	0,50 (6)	Y	Te-133m	55,4 (4)	min
363,3 (5)	0,000 14 (14)	Y	Tl-206	4,202 (11)	min
363,34 (5)	0,49 (10)	Y	I-132	2,295 (13)	h
363,5 (5)	0,05 (4)	Y	Kr-88	2,84 (3)	h
363,5 (2)	0,003 (1)	Y	Sn-125	9,64 (3)	d
363,543 0 (18)	11,78 (5)	Y	Gd-159	18,479 (7)	h
363,84 (7)	0,007 8 (9)	Y	Pa-231	32 760 (110)	a
363,93 (8)	0,244 (23)	Y	Cs-138	33,41 (18)	min
364,489 (5)	81,2 (8)	Y	I-131*	8,0233 (19)	d
364,5	0,59 (5)	Y	Ba-141	18,27 (7)	min
364,867 (15)	0,041 (6)	Y	Ir-194	19,3 (1)	h
364,88 (10)	0,90 (8)	Y	Kr-89	3,17 (2)	min
364,97 (7)	1,2 (6)	Y	Te-131m*	1,25 (8)	d
365,0 (3)	0,018	Y	Pa-234	6,70 (5)	h
365,29 (13)	0,191 (23)	Y	Cs-138	33,41 (18)	min
365,448 (10)	0,092 (5)	Y	Ag-110m	249,78 (2)	d
365,768 (6)	2,46 (4)	Y	Ho-166m	1 200 (180)	a
365,79 (1)	0,000 75 (12)	Y	U-233	159,20 (20) E+3	a
366,27 (3)	4,81 (6)	Y	Ni-65	2,5172 (3)	h
366,421 (15)	1,194 (23)	Y	Mo-99*	2,7479 (6)	d
366,5 (2)	0,285 (23)	Y	Pr-147	13,4 (4)	min
366,74 (3)	0,001 3 (4)	Y	Co-57	271,80 (5)	d
367,04 (2)	0,228 (17)	Y	Pa-228	22 (1)	h
367,073 (25)	0,000 087 1 (20)	Y	Pu-239	24 100 (11)	a
367,40 (3)	14,0 (4)	Y	Ge-77	11,30 (1)	h
367,417 6 (10)	3,15 (15)	Y	Lu-177m	160,4 (3)	d
367,789 1 (20)	0,862 (5)	Y	Eu-152	13,522 (16)	a
367,9 (2)	0,22 (6)	Y	Te-133m	55,4 (4)	min
367,92 (7)	0,004 7	Y	Th-233	22,15 (15)	min
367,942 (10)	87,0 (4)	Y	Tl-200	1,088 (5)	d
368,21	0,003 0 (2)	Y	Eu-154	8,601 (4)	a
368,3 (3)	0,010 (2)	Y	Rb-81m	30,25 (25)	min
368,4 (5)	0,098 (15)	Y	Mo-101	14,6 (1)	min
368,5 (2)	0,11 (6)	Y	Te-133m	55,4 (4)	min
368,554 (20)	0,000 087 7 (14)	Y	Pu-239	24 100 (11)	a
368,59 (4)	0,041 6 (17)	Y	U-237	6,749 (16)	d
368,6 (2)	7,0 (14)	Y	Sb-132m	4,10 (7)	min
368,63 (3)	0,000 214 (4)	Y	Am-241	432,6 (6)	a
368,7 (4)	0,022 (8)	Y	Cs-138	33,41 (18)	min
368,8 (2)	0,008 (5)	Y	Ra-223	11,43 (5)	d
368,9 (2)	0,10 (5)	Y	Te-133	12,45 (30)	min
369,0 (2)	0,016 (3)	Y	Pm-151	1,183 (2)	d
369,12 (13)	0,014 (4)	Y	Ba-131	11,50 (6)	d
369,3 (1)	1,39 (12)	Y	Kr-89	3,17 (2)	min
369,3 (2)	0,11 (6)	Y	Te-133m	55,4 (4)	min
369,34 (5)	0,103 (22)	Y	Fr-223	22,00 (7)	min
369,35 (5)	0,006 0 (13)	Y	Th-227	18,718 (5)	d
369,5	0,020 5 (3)	Y	Ra-223	11,43 (5)	d
369,50 (5)	2,5	Y	Pa-234	6,70 (5)	h
369,669 (8)	3,16 (24)	Y	Fr-227	2,47 (3)	min
370,0 (8)	0,118 (15)	Y	Mo-101	14,6 (1)	min
370,4 (1)	0,05 (1)	Y	Sb-124	60,20 (3)	d
370,61 (7)	0,000 008 0 (49)	Y	Cd-115m	44,56 (24)	d

* : Radionucléide en équilibre avec son descendant
(Cf. liste en début de volume)

Énergie (keV)	Intensité (%)	Type	Parent	Période
370,71	0,005 6 (14)	γ	Eu-154	8,601 (4) a
370,72 (3)	0,108 (25)	γ	Eu-150	36,9 (9) a
370,856 16 (29)	0,000 85 (11)	γ	Yb-169	32,018 (5) d
370,9 (15)	0,005 (5)	γ	Rn-219	3,96 (1) s
370,93 (8)	0,004 (3)	γ	Th-227	18,718 (5) d
370,94 (3)	0,109 (2)	γ	U-237	6,749 (16) d
370,94 (3)	0,000 052 0 (6)	γ	Am-241	432,6 (6) a
371,292 (29)	0,025 (3)	γ	Ce-143	33,040 (7) h
371,44 (5)	0,50 (3)	γ	Xe-138	14,08 (8) min
371,6 (8)	0,153 (13)	γ	Mo-101	14,6 (1) min
371,68 (20)	0,479 (16)	γ	Ra-223	11,43 (5) d
371,8	0,078 (22)	γ	Pa-228	22 (1) h
371,91 (9)	2,62 (9)	γ	Nb-96	23,35 (5) h
372,0 (1)	1,22	γ	Pa-234	6,70 (5) h
372,08 (4)	0,171 (4)	γ	Xe-125	16,9 (2) h
372,143 (19)	0,009 (6)	γ	I-133	20,87 (8) h
372,4 (3)	0,131 (14)	γ	Pr-147	13,4 (4) min
372,60 (3)	0,146 (11)	γ	Pa-228	22 (1) h
372,73 (3)	0,239 (12)	γ	Eu-150	36,9 (9) a
372,763 (15)	87,3 (7)	γ	K-43	22,2 (1) h
372,83 (20)	0,006 7 (15)	γ	Ac-228	6,15 (2) h
373,12 (7)	0,071 (17)	γ	Fr-227	2,47 (3) min
373,13 (10)	0,015 (3)	γ	Xe-135	9,14 (2) h
373,246 (11)	14,04 (20)	γ	Ba-131	11,50 (6) d
373,3	0,049 (1)	γ	Ra-223	11,43 (5) d
373,51 (4)	0,024 (2)	γ	U-239	23,46 (4) min
373,61 (24)	0,002 47 (24)	γ	Se-75	119,79 (4) d
373,87 (10)	0,54 (8)	γ	Xe-140	13,6 (1) s
374,2 (2)	0,022 (5)	γ	Pm-151	1,183 (2) d
374,31 (14)	0,002 5 (9)	γ	W-187	23,72 (6) h
374,485 2 (8)	0,726 (6)	γ	Ir-192	73,827 (13) d
374,75 (5)	0,003 14 (20)	γ	Ag-111	7,45 (1) d
374,8 (2)	0,001 51 (7)	γ	Th-227	18,718 (5) d
374,83	0,000 003 13 (5)	γ	Am-241	432,6 (6) a
374,93 (1)	0,004 9 (8)	γ	Pa-231	32 760 (110) a
374,991 (12)	0,000 30 (3)	γ	Te-127	9,35 (10) h
374,991 (12)	17,5 (2)	γ	Xe-127	36,4 (1) d
375,054 (3)	0,001 540 (21)	γ	Pu-239	24 100 (11) a
375,2 (5)	0,002 0 (8)	γ	Eu-154	8,601 (4) a
375,2 (1)	0,003 3 (11)	γ	Ac-225	10,0 (1) d
375,398 (17)	0,002 1 (6)	γ	Ga-66	9,49 (7) h
375,404 (5)	0,684 (7)	γ	Pa-233	26,98 (2) d
375,93 (13)	0,003 5 (9)	γ	W-187	23,72 (6) h
376,0 (3)	0,012 (4)	γ	Ra-223	11,43 (5) d
376,27 (10)	0,005 0 (13)	γ	Th-227	18,718 (5) d
376,66 (3)	0,000 137 (3)	γ	Am-241	432,6 (6) a
376,8 (1)	0,22 (6)	γ	Te-133m	55,4 (4) min
376,81 (17)	0,000 61 (7)	γ	Tb-161	6,906 (19) d
376,9 (3)	0,016 (5)	γ	Pm-151	1,183 (2) d
377,27 (11)	0,038	γ	Th-233	22,15 (15) min
377,31 (7)	0,071 (9)	γ	Os-193	1,2546 (4) d
377,73 (3)	0,12 (8)	γ	Eu-150	36,9 (9) a
377,738 (5)	1,68 (2)	γ	Mn-52m	21,2 (4) min
377,77 (30)	0,032	γ	I-137	24,5 (2) s
377,9 (5)	0,16 (4)	γ	Mo-101	14,6 (1) min
377,99 (10)	0,025 (3)	γ	Ac-228	6,15 (2) h
378	0,001 6 (4)	γ	Os-193	1,2546 (4) d
378	0,003 4 (7)	γ	Pa-228	22 (1) h
378,06 (6)	0,009 8 (3)	γ	U-239	23,46 (4) min
378,5 (3)	0,010 (5)	γ	Pm-151	1,183 (2) d
378,502 9 (7)	29,7 (13)	γ	Lu-177m	160,4 (3) d
378,99 (21)	0,308 (15)	γ	Mo-101	14,6 (1) min
379,04 (15)	0,013 8 (36)	γ	Os-193	1,2546 (4) d
379,1 (1)	0,041	γ	Pa-234	6,70 (5) h
379,15 (10)	0,095 (17)	γ	Fr-227	2,47 (3) min
379,266 30 (25)	0,000 30 (12)	γ	Yb-169	32,018 (5) d
379,3 (1)	0,050 (2)	γ	Pa-231	32 760 (110) a
379,37 (6)	0,000 83 (21)	γ	Eu-152	13,522 (16) a
379,4 (1)	0,010 (3)	γ	Th-227	18,718 (5) d
379,41 (8)	0,014 1 (7)	γ	Tb-160	72,3 (2) d
379,86 (3)	0,94 (8)	γ	Pm-151	1,183 (2) d
379,9 (1)	0,147 (6)	γ	Sr-91*	9,63 (5) h
379,94 (2)	0,072 (6)	γ	Ni-57	35,9 (3) h
380,13 (8)	0,009 1 (5)	γ	Mo-99*	2,7479 (6) d
380,14 (7)	0,15 (1)	γ	Br-87	55,65 (13) s
380,191 (6)	0,000 302 (4)	γ	Pu-239	24 100 (11) a
380,28 (10)	0,003 7 (9)	γ	Pa-233	26,98 (2) d
380,34 (4)	0,005 0 (13)	γ	Re-184	38,0 (5) d
380,452 (8)	1,520 (15)	γ	Sb-125*	2,75855 (25) a
380,7 (3)	0,046 (13)	γ	Kr-89	3,17 (2) min

* : Radionucléide en équilibre avec son descendant
(Cf. liste en début de volume)

Énergie (keV)	Intensité (%)	Type	Parent	Période	
381,008 (10)	0,063 (9)	Y	Re-184m	169 (8)	d
381,12 (10)	0,317 (19)	Y	Mo-101	14,6 (1)	min
381,2 (3)	0,020 (7)	Y	Pm-151	1,183 (2)	d
381,24 (8)	0,273 (6)	Y	Ga-72	14,10 (2)	h
381,27 (16)	0,000 6 (2)	Y	U-239	23,46 (4)	min
381,38 (15)	0,229 (13)	Y	Pb-201	9,33 (3)	h
381,4	0,12 (2)	Y	Ba-141	18,27 (7)	min
381,556 (15)	2,01 (19)	Y	Fr-227	2,47 (3)	min
381,578 (30)	0,045 (5)	Y	I-133	20,87 (8)	h
381,6 (2)	2,02 (20)	Y	Y-94	18,7 (1)	min
381,7 (5)	0,017 6 (13)	Y	I-124	4,1760 (3)	d
381,7 (3)	0,56 (7)	Y	Pu-243	4,956 (3)	h
381,99 (3)	0,112 (9)	Y	Eu-150	36,9 (9)	a
382,0 (4)	0,021 5 (16)	Y	Fe-59	44,495 (8)	d
382,00 (5)	0,009 9 (4)	Y	Eu-154	8,601 (4)	a
382 (10)	3 (2)	Y	Tl-210	1,30 (3)	min
382,2 (3)	0,006 3 (13)	Y	Th-227	18,718 (5)	d
382,3 (1)	7,9 (8)	Y	Sb-132	2,79 (5)	min
382,3 (1)	7	Y	Sb-132m	4,10 (7)	min
382,3 (2)	0,000 5 (2)	Y	Fr-223	22,00 (7)	min
382,34 (4)	0,034 0 (14)	Y	Fr-221	4,79 (2)	min
382,75 (5)	0,000 256 (4)	Y	Pu-239	24 100 (11)	a
382,8 (3)	0,014 (5)	Y	Ra-223	11,43 (5)	d
382,90 (8)	0,000 060 (3)	Y	Sn-113*	115,09 (3)	d
383,13 (16)	0,000 83 (30)	Y	Ag-108	2,382 (11)	min
383,2 (4)	0,052 (18)	Y	Tl-200	1,088 (5)	d
383,51 (4)	0,024 (23)	Y	Th-227	18,718 (5)	d
383,80 (3)	0,000 028 1 (5)	Y	Am-241	432,6 (6)	a
383,82 (9)	0,2 (1)	Y	Te-131m*	1,25 (8)	d
383,83 (10)	0,028 (7)	Y	Tc-101	14,2 (1)	min
383,848 5 (12)	0,002 8 (4)	Y	Xe-133	5,2474 (5)	d
383,848 5 (12)	8,94 (6)	Y	Ba-133	10,540 (6)	a
384,0 (7)	0,17 (11)	Y	Te-133m	55,4 (4)	min
384,06 (5)	1,0 (2)	Y	Te-131	25,0 (1)	min
384,25 (5)	0,27 (7)	Y	Te-133	12,45 (30)	min
384,254 (10)	0,003 (3)	Y	Re-184	38,0 (5)	d
384,254 (10)	3,13 (15)	Y	Re-184m	169 (8)	d
384,3 (4)	0,07 (3)	Y	Kr-91	8,57 (4)	s
384,348 (8)	1,80 (18)	Y	Fr-227	2,47 (3)	min
384,4 (4)	0,051 (8)	Y	Mo-101	14,6 (1)	min
384,5	0,005 (5)	Y	Pa-228	22 (1)	h
384,56 (10)	0,006 7 (15)	Y	Ac-228	6,15 (2)	h
384,70 (7)	0,003 7 (6)	Y	Pa-231	32 760 (110)	a
385,030 4 (9)	3,13 (13)	Y	Lu-177m	160,4 (3)	d
385,15 (7)	0,46	Y	I-137	24,5 (2)	s
385,38 (9)	0,060 (12)	Y	Mo-93m	6,85 (7)	h
385,4	0,003 (3)	Y	Re-184	38,0 (5)	d
385,4	0,001 (1)	Y	Re-184m	169 (8)	d
385,4 (1)	0,041	Y	Pa-234	6,70 (5)	h
385,69 (20)	0,005 0 (6)	Y	Eu-152	13,522 (16)	a
385,9 (1)	0,08 (4)	Y	Sb-124	60,20 (3)	d
386,09 (6)	0,07 (3)	Y	Rb-81*	4,25 (25)	h
386,48 (9)	0,129 (16)	Y	Kr-90	32,32 (9)	s
386,6 (2)	0,005 (2)	Y	Sn-125	9,64 (3)	d
386,673 (13)	0,000 38 (4)	Y	Yb-169	32,018 (5)	d
386,77 (5)	0,296 (5)	Y	Bi-214	19,9 (4)	min
386,784 (30)	0,059 (5)	Y	I-133	20,87 (8)	h
387,0 (1)	0,000 49 (18)	Y	Pa-231	32 760 (110)	a
387,073 (9)	0,051 8 (9)	Y	Ag-110m	249,78 (2)	d
387,3 (3)	0,157 (26)	Y	Tl-200	1,088 (5)	d
387,46 (4)	1,26 (8)	Y	Os-193	1,2546 (4)	d
387,5 (10)	0,007 (5)	Y	Y-93	10,1 (2)	h
387,8 (3)	0,000 71 (44)	Y	Eu-152m	9,3116 (13)	h
387,82 (3)	0,038 (5)	Y	U-235	704 (1) E+6	a
387,884 (12)	7,0 (3)	Y	Pa-232	1,31 (2)	d
387,9 (3)	0,30 (5)	Y	I-132	2,295 (13)	h
387,90 (8)	0,002 96 (21)	Y	Eu-152	13,522 (16)	a
387,94 (6)	0,000 71	Y	Pa-234	6,70 (5)	h
387,94 (6)	0,001 4 (1)	Y	Pa-234m	1,17 (3)	min
388,0 (5)	0,015 (6)	Y	Ra-223	11,43 (5)	d
388,36 (7)	0,001 7 (6)	Y	Ag-108	2,382 (11)	min
388,6 (1)	0,062 (9)	Y	Xe-139	39,68 (14)	s
388,633 (11)	34 (3)	Y	I-126	12,93 (5)	d
388,7 (1)	0,89 (7)	Y	Np-240	61,9 (2)	min
388,82 (8)	0,83 (6)	Y	Pr-147	13,4 (4)	min
388,84 (6)	0,46 (3)	Y	Rb-81*	4,25 (25)	h
388,88 (5)	0,394 (5)	Y	Bi-214	19,9 (4)	min
388,9 (1)	0,76 (13)	Y	Cs-143	1,791 (7)	s
388,9 (3)	0,004 8 (8)	Y	Pu-243	4,956 (3)	h
388,97 (10)	1,51 (9)	Y	Kr-79	35,04 (10)	h

* : Radionucléide en équilibre avec son descendant
(Cf. liste en début de volume)

Énergie (keV)	Intensité (%)	Type	Parent	Période
389,14 (20)	0,031 (6)	Y	Br-87	55,65 (13) s
389,36 (11)	0,010 3 (15)	Y	Ac-228	6,15 (2) h
389,4	0,029 (5)	Y	Pa-228	22 (1) h
389,64 (2)	0,036 4 (18)	Y	Ce-143	33,040 (7) h
389,97 (10)	1,46 (21)	Y	Xe-140	13,6 (1) s
390	1,33 (10)	Y	Ba-141	18,27 (7) min
390,05 (17)	0,001 9 (5)	Y	Ba-131	11,50 (6) d
390,4 (5)	0,007 (3)	Y	Ra-223	11,43 (5) d
390,45 (5)	0,103 (8)	Y	Pa-228	22 (1) h
390,54 (1)	0,64 (5)	Y	Kr-88	2,84 (3) h
390,6 (2)	0,000 93 (20)	Y	Pd-109	13,7 (1) h
390,61 (5)	0,000 005 73 (8)	Y	Am-241	432,6 (6) a
390,67 (6)	0,054 (5)	Y	Pm-151	1,183 (2) d
391,2 (1)	0,080 (42)	Y	Kr-88	2,84 (3) h
391,32 (14)	0,001 25 (21)	Y	Eu-152	13,522 (16) a
391,57 (2)	2,60 (22)	Y	Fr-227	2,47 (3) min
391,60 (7)	0,007 8 (9)	Y	Pa-231	32 760 (110) a
391,698 (3)	64,97 (17)	Y	In-113m	1,658 (5) h
391,698 (3)	64,97 (17)	Y	Sn-113*	115,09 (3) d
391,7 (4)	0,002 5 (6)	Y	Mo-99*	2,7479 (6) d
392,0 (2)	0,11 (6)	Y	Te-133m	55,4 (4) min
392,4 (5)	0,009 8 (22)	Y	Th-227	18,718 (5) d
392,4 (5)	0,001 6	Y	Np-239	2,356 (3) d
392,44 (3)	0,6 (2)	Y	Te-133	12,45 (30) min
392,514 (26)	1,34 (3)	Y	Tb-160	72,3 (2) d
392,53 (3)	0,000 121 (16)	Y	Pu-239	24 100 (11) a
392,57 (8)	0,002 1 (2)	Y	Tb-161	6,906 (19) d
392,6 (4)	0,023 (12)	Y	Kr-90	32,32 (9) s
392,9 (1)	97,3 (1)	Y	Zr-88	83,0 (4) d
393,0 (1)	0,050 (4)	Y	Sr-91*	9,63 (5) h
393,01 (18)	0,000 6 (2)	Y	U-239	23,46 (4) min
393,14 (3)	0,000 419 (17)	Y	Pu-239	24 100 (11) a
393,30 (8)	0,100 (8)	Y	Tc-101	14,2 (1) min
393,35 (6)	0,14 (10)	Y	Xe-137	3,818 (13) min
393,4 (4)	0,010 1 (6)	Y	Au-196	6,183 (10) d
393,50 (6)	6,7 (8)	Y	Xe-139	39,68 (14) s
393,5 (5)	0,011 (4)	Y	Ra-223	11,43 (5) d
393,527 (10)	0,20 (2)	Y	Cu-67	2,660 (5) d
393,527 (10)	4,66 (16)	Y	Ga-67	3,2613 (5) d
394 (1)	0,03 (1)	Y	Te-133	12,45 (30) min
394,05 (8)	0,012 7 (18)	Y	Bi-214	19,9 (4) min
394,1 (1)	0,093	Y	Pa-234	6,70 (5) h
394,52 (7)	0,46	Y	I-137	24,5 (2) s
394,93 (9)	0,165 (13)	Y	Pb-201	9,33 (3) h
395,19 (11)	0,002 0 (2)	Y	U-239	23,46 (4) min
395,50 (7)	0,002 2 (3)	Y	Pa-231	32 760 (110) a
395,6 (3)	0,000 17 (8)	Y	Pd-109	13,7 (1) h
395,63 (10)	0,043 (5)	Y	Pm-151	1,183 (2) d
395,8 (8)	0,08 (4)	Y	Rb-90m	4,30 (7) min
396,01 (8)	0,025 9 (18)	Y	Bi-214	19,9 (4) min
396,329 (20)	6,4 (8)	Y	Yb-175	4,185 (1) d
396,35 (10)	0,76 (11)	Y	Xe-140	13,6 (1) s
396,513 (10)	6,3 (3)	Y	Xe-138	14,08 (8) min
396,54 (21)	0,051 (13)	Y	Kr-90	32,32 (9) s
396,7 (2)	0,010 (4)	Y	Pt-191	2,802 (25) d
396,87 (2)	11,5 (1)	Y	K-43	22,2 (1) h
396,895 (23)	0,037 (4)	Y	Ag-110m	249,78 (2) d
396,97 (4)	0,72 (7)	Y	Te-133m	55,4 (4) min
397,1	0,029 (1)	Y	Eu-154	8,601 (4) a
397,54 (10)	9,3 (5)	Y	Kr-79	35,04 (10) h
397,674 (6)	0,074 8 (24)	Y	La-140	1,67850 (17) d
397,7 (3)	0,027	Y	Pa-234	6,70 (5) h
397,83 (13)	1,57 (14)	Y	Kr-91	8,57 (4) s
397,95 (13)	0,027 (3)	Y	Ac-228	6,15 (2) h
398,08 (9)	0,008 (1)	Y	V-52	3,753 (5) min
398,08 (9)	0,089 (6)	Y	Mn-52	5,595 (3) d
398,14 (6)	0,008 8 (12)	Y	Pa-231	32 760 (110) a
398,155 (20)	0,83 (3)	Y	Nd-147	10,98 (1) d
398,25	0,023 (13)	Y	Tl-200	1,088 (5) d
398,492 (5)	1,408 (14)	Y	Pa-233	26,98 (2) d
398,6	0,020 9 (35)	Y	Tl-200	1,088 (5) d
398,6 (3)	0,001 4 (4)	Y	Th-227	18,718 (5) d
398,8 (5)	0,014	Y	Th-233	22,15 (15) min
398,84 (7)	0,86 (3)	Y	Mo-101	14,6 (1) min
398,9 (2)	0,032 (5)	Y	Pm-151	1,183 (2) d
399,01 (5)	0,096 (4)	Y	Ge-77	11,30 (1) h
399,13 (13)	0,001 5 (3)	Y	U-239	23,46 (4) min
399,5 (2)	0,34 (4)	Y	Br-76	16,2 (2) h
399,53 (6)	0,000 006 12 (26)	Y	Pu-239	24 100 (11) a
399,56 (5)	0,18 (1)	Y	Mn-52	5,595 (3) d

* : Radionucléide en équilibre avec son descendant
(Cf. liste en début de volume)

Énergie (keV)	Intensité (%)	Type	Parent	Période
399,812 (32)	0,029 (3)	Y	Ac-228	6,15 (2) h
399,94 (7)	0,033 (5)	Y	Pa-228	22 (1) h
400,03 (6)	0,127 (10)	Y	Sb-124	60,20 (3) d
400,42 (16)	0,388 (47)	Y	Zr-97	16,90 (5) h
400,5 (5)	0,007 (4)	Y	Pm-151	1,183 (2) d
400,55 (15)	0,000 9 (2)	Y	U-239	23,46 (4) min
400,657 2 (8)	11,47 (9)	Y	Se-75	119,79 (4) d
400,69 (2)	36,6 (10)	Y	Mg-28	20,91 (3) h
400,7 (3)	0,21 (6)	Y	Kr-91	8,57 (4) s
400,8 (5)	0,032 (16)	Y	Cs-140	1,062 (5) min
401,0 (1)	0,4 (1)	Y	Lu-176	37,90 (30) E+9 a
401,15 (10)	0,10 (5)	Y	Br-82	1,4708 (13) d
401,259 (14)	0,189 (3)	Y	Eu-154	8,601 (4) a
401,3 (4)	0,032 (2)	Y	Ga-72	14,10 (2) h
401,320 (3)	3,43 (6)	Y	Pb-203	51,929 (10) h
401,36 (5)	2,17 (13)	Y	Xe-138	14,08 (8) min
401,8 (2)	0,036	Y	Pa-234	6,70 (5) h
401,81 (1)	6,4 (5)	Y	Rn-219	3,96 (1) s
401,9 (1)	0,000 69 (17)	Y	Fr-223	22,00 (7) min
402,152 (12)	0,78 (3)	Y	Eu-150	36,9 (9) a
402,2 (3)	0,008 (5)	Y	Th-227	18,718 (5) d
402,25 (20)	0,32 (4)	Y	Kr-89	3,17 (2) min
402,4 (3)	1,0 (5)	Y	Bi-215	7,6 (2) min
402,578 (20)	49,6 (31)	Y	Kr-87	1,272 (8) h
403,03 (4)	0,232 (8)	Y	I-135	6,57 (2) h
403,1 (1)	0,001 4 (5)	Y	Ac-225	10,0 (1) d
403,19 (10)	0,33 (3)	Y	Fr-227	2,47 (3) min
403,2 (2)	0,023 4 (17)	Y	As-76	1,0778 (20) d
403,36 (10)	0,240 (13)	Y	Eu-150	36,9 (9) a
403,55 (5)	0,026 (1)	Y	Eu-154	8,601 (4) a
404,046 (11)	1,310 (11)	Y	Ba-131	11,50 (6) d
404,1 (3)	0,011 (6)	Y	Pt-191	2,802 (25) d
404,3 (2)	0,11 (1)	Y	K-43	22,2 (1) h
404,5 (1)	0,002 2 (5)	Y	Ra-224	3,627 (7) d
404,74 (6)	0,065 (8)	Y	Pm-151	1,183 (2) d
404,814 (4)	0,055 1 (13)	Y	I-131*	8,0233 (19) d
404,84 (18)	0,000 8 (3)	Y	U-239	23,46 (4) min
404,85 (7)	0,26 (5)	Y	Te-133	12,45 (30) min
404,853 (10)	3,78 (6)	Y	Pb-211	36,1 (2) min
405,02 (13)	0,002 98 (23)	Y	I-123	13,2234 (37) h
405,251 (30)	0,010 7 (12)	Y	Dy-165	2,334 (6) h
405,451 (20)	7,35 (38)	Y	I-134	52,5 (2) min
405,74 (3)	0,171 (7)	Y	Bi-214	19,9 (4) min
405,96 (7)	2,03 (15)	Y	Pb-201	9,33 (3) h
406,0 (1)	0,39 (6)	Y	Te-133m	55,4 (4) min
406,1 (1)	0,007 6 (22)	Y	Ac-225	10,0 (1) d
406,4 (2)	0,000 001 37 (5)	Y	Am-241	432,6 (6) a
406,52 (5)	0,140 (15)	Y	Eu-150	36,9 (9) a
406,74 (15)	0,000 83 (21)	Y	Eu-152	13,522 (16) a
406,8 (2)	0,000 002 9 (7)	Y	Pu-239	24 100 (11) a
407,03 (3)	0,187 (16)	Y	Pm-151	1,183 (2) d
407,1 (7)	0,27 (9)	Y	Tc-104	18,3 (3) min
407,1 (5)	0,001 2 (5)	Y	Pu-243	4,956 (3) h
407,2 (1)	0,33 (6)	Y	Cs-143	1,791 (7) s
407,63 (3)	27,1 (5)	Y	Te-133	12,45 (30) min
407,81 (2)	0,036 (2)	Y	Pa-231	32 760 (110) a
407,99 (2)	0,36 (2)	Y	Xe-135	9,14 (2) h
408,065 (10)	0,182 (2)	Y	Sb-125*	2,75855 (25) a
408,1 (1)	0,014 (3)	Y	Nd-147	10,98 (1) d
408,31 (20)	0,052	Y	I-137	24,5 (2) s
408,69 (6)	1,53 (6)	Y	Mo-101	14,6 (1) min
408,8 (5)	0,003 8	Y	Th-233	22,15 (15) min
408,98 (6)	4,66 (9)	Y	Cs-138	33,41 (18) min
409	0,096 (19)	Y	Pt-191	2,802 (25) d
409	0,003 5 (13)	Y	Pt-197m	95,41 (18) min
409,1 (1)	0,11 (4)	Y	Au-197m	7,73 (6) s
409,1 (1)	0,007 (3)	Y	Hg-197m	23,8 (2) h
409,4 (5)	0,012 6	Y	Ag-110m	249,78 (2) d
409,44 (20)	8,0 (9)	Y	Pt-191	2,802 (25) d
409,45 (2)	9,3 (7)	Y	Pa-228	22 (1) h
409,462 (6)	1,92 (4)	Y	Ac-228	6,15 (2) h
409,8 (1)	0,34	Y	Pa-234	6,70 (5) h
410,178 (12)	0,065 (6)	Y	Ga-66	9,49 (7) h
410,2 (2)	0,19 (3)	Y	Xe-140	13,6 (1) s
410,27 (10)	0,001 6 (4)	Y	Mo-99*	2,7479 (6) d
410,29 (4)	0,003	Y	U-235	704 (1) E+6 a
410,3 (1)	0,003 2 (6)	Y	Pa-231	32 760 (110) a
410,40 (6)	0,93 (6)	Y	Te-133	12,45 (30) min
410,51 (3)	0,125 (5)	Y	Nd-147	10,98 (1) d
410,64 (5)	0,120 4 (25)	Y	Fr-221	4,79 (2) min

* : Radionucléide en équilibre avec son descendant
(Cf. liste en début de volume)

Énergie (keV)	Intensité (%)	Type	Parent	Période
410,75 (7)	0,063 (8)	Y	Pm-151	1,183 (2) d
410,956 (3)	11,35 (17)	Y	Ho-166m	1 200 (180) a
411,00 (8)	0,56 (6)	Y	I-134	52,5 (2) min
411	0,010 (3)	Y	Pt-191	2,802 (25) d
411,116 5 (12)	2,238 (10)	Y	Eu-152	13,522 (16) a
411,14 (8)	0,12 (4)	Y	Fr-227	2,47 (3) min
411,2 (3)	0,000 006 9 (30)	Y	Pu-239	24 100 (11) a
411,38 (8)	0,026 9 (23)	Y	Co-56	77,236 (26) d
411,42 (10)	2,57 (21)	Y	Kr-89	3,17 (2) min
411,491 (15)	0,016 1 (12)	Y	Mo-99*	2,7479 (6) d
411,7 (8)	0,08 (4)	Y	Cs-140	1,062 (5) min
411,802 05 (17)	95,54 (7)	Y	Au-198	2,6944 (8) d
412,0 (3)	0,000 73 (44)	Y	Eu-152m	9,3116 (13) h
412,04 (8)	2,35 (19)	Y	Kr-91	8,57 (4) s
412,05 (20)	0,001 91 (5)	Y	Sm-153	1,92855 (5) d
412,5 (5)	0,013	Y	Th-233	22,15 (15) min
412,916 (16)	0,003 4 (6)	Y	Ga-66	9,49 (7) h
412,97 (15)	0,098	Y	I-137	24,5 (2) s
413,0 (4)	0,006 6 (10)	Y	Pd-109	13,7 (1) h
413,029 (11)	0,31 (3)	Y	Fr-227	2,47 (3) min
413,2 (2)	0,12 (5)	Y	Tc-104	18,3 (3) min
413,2 (2)	0,66 (7)	Y	Te-133m	55,4 (4) min
413,4 (3)	0,18 (3)	Y	Cs-140	1,062 (5) min
413,663 6 (7)	17,4 (8)	Y	Lu-177m	160,4 (3) d
413,7 (2)	0,63 (5)	Y	Pr-147	13,4 (4) min
413,713 (5)	0,001 464 (21)	Y	Pu-239	24 100 (11) a
413,8 (2)	0,004 7 (16)	Y	Os-193	1,2546 (4) d
414,3	0,004 9 (6)	Y	Eu-154	8,601 (4) a
414,4 (3)	83,6 (21)	Y	Sb-126	12,4 (1) d
414,4 (3)	86 (6)	Y	Sb-126m	19,15 (8) min
414,60 (5)	0,000 3	Y	Ra-226	1 600 (7) a
414,83 (3)	0,301 (18)	Y	I-135	6,57 (2) h
414,9 (3)	1,0 (3)	Y	Sb-126	12,4 (1) d
415	0,11 (6)	Y	Te-133m	55,4 (4) min
415,11 (10)	0,001 4 (6)	Y	Th-227	18,718 (5) d
415,2 (3)	0,010 7 (10)	Y	Pd-109	13,7 (1) h
415,27 (1)	0,144 (22)	Y	Pb-212	10,64 (1) h
415,7 (3)	0,022 (5)	Y	Pm-151	1,183 (2) d
415,764 (5)	1,747 (7)	Y	Pa-233	26,98 (2) d
415,91 (8)	0,046 (6)	Y	Pa-228	22 (1) h
416,048 (8)	0,109 0 (17)	Y	Eu-152	13,522 (16) a
416,1 (1)	0,036	Y	Pa-234	6,70 (5) h
416,3 (2)	0,003 8 (3)	Y	Rb-88	17,8 (1) min
416,3 (2)	0,013 2 (21)	Y	Ac-228	6,15 (2) h
416,33 (3)	21,8 (6)	Y	Ge-77	11,30 (1) h
416,468 8 (7)	0,669 (21)	Y	Ir-192	73,827 (13) d
416,57 (10)	0,006 8 (13)	Y	Ce-143	33,040 (7) h
416,8 (4)	0,47 (5)	Y	I-132	2,295 (13) h
416,8 (4)	0,016 (5)	Y	Pm-151	1,183 (2) d
416,86 (3)	27,7 (12)	Y	In-116m	54,29 (17) min
417,44 (5)	0,14 (3)	Y	Cs-143	1,791 (7) s
417,55 (6)	0,153 (10)	Y	I-133	20,87 (8) h
417,633 (22)	3,53 (12)	Y	I-135	6,57 (2) h
417,7 (1)	0,4 (2)	Y	Te-131m*	1,25 (8) d
417,9 (1)	1,0 (1)	Y	Te-127	9,35 (10) h
418	0,007 1 (16)	Y	Os-193	1,2546 (4) d
418,1 (1)	0,005 5 (11)	Y	Ac-225	10,0 (1) d
418,35 (8)	0,055 (6)	Y	Os-193	1,2546 (4) d
418,4 (2)	0,025 (8)	Y	Te-133	12,45 (30) min
418,4 (5)	0,012	Y	Th-233	22,15 (15) min
418,47 (6)	0,008 1 (6)	Y	Tb-161	6,906 (19) d
418,539 1 (7)	21,3 (9)	Y	Lu-177m	160,4 (3) d
418,8	0,064 (15)	Y	Ba-141	18,27 (7) min
419,1 (4)	0,011 8 (5)	Y	Se-75	119,79 (4) d
419,12 (5)	0,32 (3)	Y	Kr-90	32,32 (9) s
419,2 (3)	0,038 (11)	Y	Kr-89	3,17 (2) min
419,2 (1)	0,79 (7)	Y	Np-240	61,9 (2) min
419,32 (4)	0,000 028 4 (3)	Y	Am-241	432,6 (6) a
419,4	0,003 4 (20)	Y	Eu-154	8,601 (4) a
419,4	0,022 (3)	Y	Pa-228	22 (1) h
419,42 (10)	0,021 (3)	Y	Ac-228	6,15 (2) h
419,75 (3)	1,23 (3)	Y	Ge-77	11,30 (1) h
420,03 (8)	0,063 (6)	Y	Pa-228	22 (1) h
420,30 (5)	0,166 (14)	Y	Os-193	1,2546 (4) d
420,52 (6)	0,069 (7)	Y	Ir-192	73,827 (13) d
420,55 (22)	0,013 (6)	Y	Eu-150	36,9 (9) a
420,65 (6)	0,056 (8)	Y	Pm-151	1,183 (2) d
421,3 (1)	0,034 (7)	Y	Te-131	25,0 (1) min
421,59 (7)	0,427 (23)	Y	Cs-138	33,41 (18) min
421,67 (10)	0,54 (2)	Y	Mo-101	14,6 (1) min

* : Radionucléide en équilibre avec son descendant
(Cf. liste en début de volume)

Énergie (keV)	Intensité (%)	Type	Parent	Période
421,70 (18)	0,010 (4)	Y	Kr-88	2,84 (3) h
421,74 (10)	3,2 (3)	Y	Br-87	55,65 (13) s
421,8 (8)	0,27 (9)	Y	Tc-104	18,3 (3) min
421,932 (15)	2,5 (2)	Y	Pa-232	1,31 (2) d
422,0 (2)	0,071 (17)	Y	Fr-227	2,47 (3) min
422,02 (16)	0,032 (4)	Y	Tc-101	14,2 (1) min
422,04 (11)	0,003 0 (5)	Y	Ra-224	3,627 (7) d
422,1	0,002 2 (9)	Y	Eu-154	8,601 (4) a
422,4 (5)	0,095 (17)	Y	Mo-101	14,6 (1) min
422,598 (19)	0,000 119 9 (20)	Y	Pu-239	24 100 (11) a
422,903 (7)	0,309 (10)	Y	I-133	20,87 (8) h
423,2 (3)	0,013 1 (18)	Y	Pu-243	4,956 (3) h
423,45 (4)	0,003 2 (5)	Y	Eu-152	13,522 (16) a
423,721 (4)	3,11 (3)	Y	Ba-140	12,753 (4) d
423,9 (2)	0,000 95 (20)	Y	Pd-109	13,7 (1) h
424,4 (3)	0,001 95 (6)	Y	Sm-153	1,92855 (5) d
424,55 (6)	0,049 (7)	Y	Pm-151	1,183 (2) d
425,0 (2)	0,001 62 (29)	Y	Yb-169	32,018 (5) d
425,3 (2)	0,036	Y	Pa-234	6,70 (5) h
425,4 (1)	0,038 (5)	Y	Pa-228	22 (1) h
425,6 (4)	0,010 (3)	Y	Pm-151	1,183 (2) d
425,80 (14)	0,000 30 (5)	Y	Tb-161	6,906 (19) d
426,10 (8)	6,6 (8)	Y	Au-196	6,183 (10) d
426,2 (2)	0,012 7 (23)	Y	Sm-155	22,3 (2) min
426,47 (4)	0,000 024 3 (7)	Y	Am-241	432,6 (6) a
426,472 6 (24)	0,428 (25)	Y	Lu-177m	160,4 (3) d
426,68 (3)	0,000 023 9 (6)	Y	Pu-239	24 100 (11) a
426,95 (5)	0,45	Y	Pa-234	6,70 (5) h
427 (1)	0,000 7 (4)	Y	Pa-231	32 760 (110) a
427,088 (10)	1,76 (5)	Y	Pb-211	36,1 (2) min
427,25 (4)	0,063 (8)	Y	Pm-151	1,183 (2) d
427,570 (17)	0,095 5 (11)	Y	Ba-131	11,50 (6) d
427,7 (4)	0,073 (10)	Y	Xe-139	39,68 (14) s
427,874 (4)	29,55 (24)	Y	Sb-125*	2,75855 (25) a
427,90 (3)	0,116 (10)	Y	Pa-228	22 (1) h
428,2 (2)	0,071 (3)	Y	Rh-106	30,0 (2) s
428,4 (3)	0,000 001 01 (10)	Y	Pu-239	24 100 (11) a
428,42 (18)	0,197 (19)	Y	Ga-72	14,10 (2) h
428,5 (4)	0,11 (3)	Y	Kr-89	3,17 (2) min
429,03 (5)	2,21 (16)	Y	Te-133m	55,4 (4) min
429,1 (3)	0,016 (7)	Y	Pm-151	1,183 (2) d
429,44 (10)	0,66 (9)	Y	Xe-140	13,6 (1) s
429,5 (5)	0,003 9	Y	Np-239	2,356 (3) d
429,9 (1)	0,000 001 09 (5)	Y	Am-241	432,6 (6) a
429,93 (14)	0,15 (4)	Y	Kr-90	32,32 (9) s
429,93 (3)	0,304 (23)	Y	I-135	6,57 (2) h
430 (1)	0,006 (3)	Y	Pb-211	36,1 (2) min
430,08 (10)	0,000 004 29 (19)	Y	Pu-239	24 100 (11) a
430,5 (5)	0,019 (6)	Y	Ra-223	11,43 (5) d
430,56 (5)	3,3 (2)	Y	Sr-92	2,65 (6) h
430,60 (21)	0,010 2 (6)	Y	Ge-77	11,30 (1) h
430,9 (4)	0,023	Y	Th-233	22,15 (15) min
431	0,3 (1)	Y	I-138	6,49 (7) s
431,61 (13)	0,125 (30)	Y	Te-133	12,45 (30) min
431,8 (4)	0,47 (5)	Y	I-132	2,295 (13) h
431,82 (15)	0,052	Y	I-137	24,5 (2) s
432,0 (3)	0,006 7 (7)	Y	Au-196	6,183 (10) d
432,1 (1)	0,034 (3)	Y	Ra-223	11,43 (5) d
432,33 (10)	0,004 0 (5)	Y	Th-227	18,718 (5) d
432,44 (4)	0,7 (1)	Y	Te-131m*	1,25 (8) d
432,513 (8)	2,995 (16)	Y	La-140	1,67850 (17) d
432,65 (14)	0,109 (11)	Y	Mo-101	14,6 (1) min
432,66 (12)	0,023 2 (10)	Y	Tb-160	72,3 (2) d
432,999 (6)	0,159 (4)	Y	Ce-143	33,040 (7) h
433,0 (5)	1,44 (6)	Y	Hf-175	70 (2) d
433,0 (5)	0,004 0 (4)	Y	U-235	704 (1) E+6 a
433,1 (1)	0,093	Y	Pa-234	6,70 (5) h
433,2 (4)	0,015	Y	Th-233	22,15 (15) min
433,345 (30)	4,20 (19)	Y	I-134	52,5 (2) min
433,47 (5)	1,31 (11)	Y	Kr-90	32,32 (9) s
433,7 (2)	0,009 5 (20)	Y	Bi-212	60,54 (6) min
433,741 (19)	0,554 (23)	Y	I-135	6,57 (2) h
433,824 (9)	5,1 (4)	Y	Fr-227	2,47 (3) min
433,9 (3)	0,10 (4)	Y	Kr-90	32,32 (9) s
433,938 (5)	0,46 (7)	Y	Ag-108	2,382 (11) min
433,938 (5)	90,1 (6)	Y	Ag-108m	438 (9) a
434,01 (3)	0,161 (13)	Y	Pa-228	22 (1) h
434,13 (10)	0,024 (7)	Y	Sn-125	9,64 (3) d
434,25 (20)	0,020 (3)	Y	Rh-106	30,0 (2) s
434,40 (9)	0,209 (18)	Y	Eu-156	15,19 (8) d

* : Radionucléide en équilibre avec son descendant
(Cf. liste en début de volume)

Énergie (keV)	Intensité (%)	Type	Parent	Période
434,4 (1)	0,002 4 (7)	Y	Fr-223	22,00 (7) min
434,44 (13)	0,001 1 (2)	Y	U-239	23,46 (4) min
434,5 (1)	0,039 (6)	Y	Kr-79	35,04 (10) h
434,56 (5)	20,3 (9)	Y	Xe-138	14,08 (8) min
434,7 (5)	0,013	Y	Np-239	2,356 (3) d
434,79 (9)	0,38 (3)	Y	Nb-96	23,35 (5) h
434,9 (7)	0,04 (1)	Y	In-116m	54,29 (17) min
435,0 (8)	0,000 7 (5)	Y	La-141	3,92 (3) h
435,05 (7)	0,003 11 (24)	Y	Pa-231	32 760 (110) a
435,06 (4)	18,9 (9)	Y	Te-134	41,8 (8) min
435,28 (5)	1,22 (18)	Y	Te-133m	55,4 (4) min
435,28 (7)	0,34	Y	I-137	24,5 (2) s
435,5 (3)	0,21 (5)	Y	Xe-140	13,6 (1) s
435,8 (6)	0,096 (25)	Y	Kr-89	3,17 (2) min
435,9	0,003 8 (10)	Y	Eu-154	8,601 (4) a
436,8 (2)	3,0 (3)	Y	Sb-132	2,79 (5) min
436,9 (3)	0,001 58 (5)	Y	Sm-153	1,92855 (5) d
437,00 (5)	0,001 0 (1)	Y	Fr-221	4,79 (2) min
437,07 (3)	0,103 (17)	Y	Fr-227	2,47 (3) min
437,3 (10)	0,001 3 (5)	Y	As-76	1,0778 (20) d
437,5 (3)	0,000 7 (7)	Y	I-123	13,2234 (37) h
437,569 (3)	1,927 (19)	Y	Ba-140	12,753 (4) d
438,0 (3)	0,274 (8)	Y	Br-76	16,2 (2) h
438,01 (7)	0,004 6 (5)	Y	Pa-231	32 760 (110) a
438,08 (10)	0,96 (9)	Y	Kr-89	3,17 (2) min
438,1 (1)	0,088 (19)	Y	Cs-143	1,791 (7) s
438,178 (6)	0,017 (10)	Y	La-140	1,67850 (17) d
438,2 (6)	0,015 (15)	Y	Rn-219	3,96 (1) s
438,43 (8)	0,004 3 (9)	Y	Ce-143	33,040 (7) h
438,634 (18)	94,77 (3)	Y	Zn-69m	13,76 (2) h
438,69 (10)	2,6 (4)	Y	Xe-140	13,6 (1) s
438,7 (1)	0,001 5 (6)	Y	Pa-231	32 760 (110) a
438,768 (18)	0,150 (25)	Y	Fr-227	2,47 (3) min
438,8 (3)	0,040 0 (4)	Y	Po-215	1,7810 (40) E-3
438,930 (34)	0,040 (5)	Y	I-133	20,87 (8) h
439,15 (3)	2,10 (15)	Y	Rb-91	58,4 (4) s
439,2 (3)	0,012 (2)	Y	Rh-106	30,0 (2) s
439,3 (2)	0,014 (3)	Y	Rb-88	17,8 (1) min
439,3	0,081 (14)	Y	Ra-223	11,43 (5) d
439,401 (15)	80 (3)	Y	Eu-150	36,9 (9) a
439,44 (5)	0,202 (5)	Y	Ge-77	11,30 (1) h
439,56 (1)	91,4 (10)	Y	Tl-202	12,23 (2) d
439,6 (3)	0,000 3 (2)	Y	Fr-223	22,00 (7) min
439,9 (1)	33 (1)	Y	Ne-23	37,24 (12) s
439,92 (5)	1,17 (7)	Y	Nd-147	10,98 (1) d
440,02 (5)	0,422 9 (43)	Y	I-123	13,2234 (37) h
440,4 (4)	0,014 (7)	Y	Pa-228	22 (1) h
440,44 (5)	0,121 (8)	Y	Ac-228	6,15 (2) h
440,46 (1)	26,1 (3)	Y	Bi-213	45,59 (6) min
440,85 (2)	1,51 (11)	Y	Pm-151	1,183 (2) d
440,86 (10)	0,013 3 (10)	Y	Eu-152	13,522 (16) a
440,94 (4)	0,23	Y	Th-233	22,15 (15) min
440,95 (5)	0,092 (8)	Y	Os-193	1,2546 (4) d
441,1 (4)	0,032 (10)	Y	Ba-141	18,27 (7) min
441,2 (3)	0,52 (15)	Y	Xe-140	13,6 (1) s
441,3 (7)	0,095 (12)	Y	Xe-139	39,68 (14) s
442,0 (3)	0,053 (8)	Y	Mo-101	14,6 (1) min
442,3 (4)	0,11 (3)	Y	Rb-90m	4,30 (7) min
442,4 (3)	0,027	Y	I-137	24,5 (2) s
442,4	0,008 (8)	Y	Pb-201	9,33 (3) h
442,5 (10)	0,000 058 (3)	Y	Th-227	18,718 (5) d
442,7 (4)	0,179 (20)	Y	Xe-139	39,68 (14) s
442,81 (7)	0,000 003 31 (7)	Y	Am-241	432,6 (6) a
442,873 (14)	0,015 54 (16)	Y	Ga-66	9,49 (7) h
442,901 (4)	15,8 (18)	Y	I-128	24,99 (2) min
443,2 (5)	0,000 41 (32)	Y	Sm-153	1,92855 (5) d
443,555 (9)	0,305 (4)	Y	Sb-125*	2,75855 (25) a
443,80 (2)	0,322 (9)	Y	Ru-103*	39,255 (8) d
443,80 (2)	0,000 016 0 (12)	Y	Pd-103	16,964 (10) d
443,8 (3)	0,022 (9)	Y	Pm-151	1,183 (2) d
443,8 (1)	0,058 (8)	Y	Pa-228	22 (1) h
443,96 (4)	0,025 (3)	Y	Eu-152m	9,3116 (13) h
443,965 (3)	3,120 (28)	Y	Eu-152	13,522 (16) a
444,10 (8)	0,20 (1)	Y	Sb-124	60,20 (3) d
444,1 (1)	0,040 (7)	Y	I-124	4,1760 (3) d
444,42 (17)	0,017 2 (6)	Y	Ge-77	11,30 (1) h
444,492 4 (19)	0,560 (8)	Y	Eu-154	8,601 (4) a
444,5 (3)	0,000 5 (2)	Y	Fr-223	22,00 (7) min
444,57 (4)	0,003 3 (7)	Y	La-140	1,67850 (17) d
444,94 (2)	2,05 (15)	Y	Te-133m	55,4 (4) min

* : Radionucléide en équilibre avec son descendant
(Cf. liste en début de volume)

Énergie (keV)	Intensité (%)	Type	Parent	Période
445,0 (6)	0,098 7	Y	I-132	2,295 (13) h
445	0,000 5 (5)	Y	Th-227	18,718 (5) d
445,03 (10)	1,27 (5)	Y	Ra-223	11,43 (5) d
445,12 (15)	0,70 (11)	Y	Xe-140	13,6 (1) s
445,13 (8)	0,054 (8)	Y	Pt-191	2,802 (25) d
445,68 (2)	4,0 (3)	Y	Pm-151	1,183 (2) d
445,72 (3)	0,000 008 77 (26)	Y	Pu-239	24 100 (11) a
445,76 (10)	0,103 (25)	Y	Fr-227	2,47 (3) min
445,81 (12)	0,001 1 (2)	Y	U-239	23,46 (4) min
446,02 (9)	0,015 (3)	Y	Ce-143	33,040 (7) h
446,14 (2)	23,45 (40)	Y	Rb-81*	4,25 (25) h
446,14 (2)	0,020 (4)	Y	Rb-81m	30,25 (25) min
446,2 (6)	0,60 (5)	Y	I-132	2,295 (13) h
446,30 (8)	0,001 7 (4)	Y	Fr-221	4,79 (2) min
446,6 (1)	0,113	Y	Pa-234	6,70 (5) h
446,78 (6)	1,65 (13)	Y	Kr-91	8,57 (4) s
446,8 (3)	0,101 (13)	Y	Xe-139	39,68 (14) s
446,812 (3)	3,65 (5)	Y	Ag-110m	249,78 (2) d
447,3 (3)	2,0 (4)	Y	Sb-132	2,79 (5) min
447,45 (2)	0,060 (3)	Y	Ce-143	33,040 (7) h
447,6 (2)	0,000 83 (20)	Y	Pd-109	13,7 (1) h
447,6 (5)	0,000 26	Y	Np-239	2,356 (3) d
447,610 (15)	0,10 (2)	Y	Br-87	55,65 (13) s
447,762 (20)	0,15	Y	Th-233	22,15 (15) min
448	0,003 (3)	Y	Pt-191	2,802 (25) d
448,0 (6)	0,000 139 (7)	Y	Th-227	18,718 (5) d
448,01 (6)	12,3 (7)	Y	Np-240	61,9 (2) min
448,19 (6)	0,008 8 (2)	Y	U-239	23,46 (4) min
448,40 (6)	0,001	Y	U-235	704 (1) E+6 a
448,5 (1)	2,28 (20)	Y	Y-92	3,54 (2) h
448,6 (6)	0,67 (3)	Y	Mo-101	14,6 (1) min
448,7 (3)	0,020 (9)	Y	Pm-151	1,183 (2) d
448,7 (5)	0,000 23 (2)	Y	Pu-243	4,956 (3) h
448,73 (2)	0,107 (9)	Y	Ga-66	9,49 (7) h
448,789 (12)	0,259 (13)	Y	Eu-150	36,9 (9) a
449	0,001 6 (16)	Y	Nb-92m	10,15 (2) d
449,15 (5)	0,048 (5)	Y	Ac-228	6,15 (2) h
449,23 (3)	0,228 (17)	Y	Pa-228	22 (1) h
449,26 (3)	0,36 (4)	Y	Fr-227	2,47 (3) min
449,37 (10)	0,000 2	Y	Ra-226	1 600 (7) a
449,55 (21)	0,094 (19)	Y	Ga-72	14,10 (2) h
450,53	3,3	Y	Pb-200	21,5 (4) h
450,8 (4)	0,052 (18)	Y	Kr-91	8,57 (4) s
450,93 (4)	0,003 9	Y	Pa-234	6,70 (5) h
450,93 (4)	0,003 0 (2)	Y	Pa-234m	1,17 (3) min
451,0 (1)	0,011 (4)	Y	Kr-85m	4,480 (8) h
451,40 (2)	0,29 (3)	Y	Pm-151	1,183 (2) d
451,418 (15)	0,040 7 (10)	Y	Ba-131	11,50 (6) d
451,481 (10)	0,000 187 (3)	Y	Pu-239	24 100 (11) a
451,540 (4)	2,915 (14)	Y	Ho-166m	1 200 (180) a
451,63 (3)	0,316 (18)	Y	I-135	6,57 (2) h
452,17 (12)	0,001 5 (2)	Y	U-239	23,46 (4) min
452,2 (5)	0,013 (5)	Y	Pm-151	1,183 (2) d
452,36 (4)	18,8 (8)	Y	Te-131	25,0 (1) min
452,36 (5)	1,3 (3)	Y	Te-131m*	1,25 (8) d
452,4 (1)	0,118 (10)	Y	Ac-225	10,0 (1) d
452,4 (3)	0,027	Y	Pa-234	6,70 (5) h
452,47 (10)	0,015 (5)	Y	Ac-228	6,15 (2) h
452,5 (3)	0,076 (6)	Y	Mo-101	14,6 (1) min
452,5 (3)	0,000 002 36 (6)	Y	Am-241	432,6 (6) a
452,52 (6)	0,095 (9)	Y	Pa-228	22 (1) h
452,62 (8)	0,000 035 (19)	Y	Yb-169	32,018 (5) d
452,8 (1)	0,34 (3)	Y	Bi-212	60,54 (6) min
452,9 (1)	0,125 (30)	Y	Te-133	12,45 (30) min
452,9 (2)	0,002 0 (5)	Y	Fr-223	22,00 (7) min
452,9 (3)	0,001	Y	Th-227	18,718 (5) d
452,92 (10)	0,031 (4)	Y	Bi-214	19,9 (4) min
453,34 (2)	0,073 (8)	Y	Re-188	17,005 (4) h
453,38 (10)	0,026 (5)	Y	Eu-150	36,9 (9) a
453,6 (5)	0,002 4 (2)	Y	Pa-234m	1,17 (3) min
453,655 (14)	8,6 (2)	Y	Pa-232	1,31 (2) d
453,83 (3)	4,69 (10)	Y	Xe-125	16,9 (2) h
453,88 (20)	65,1 (20)	Y	Pm-146	5,53 (5) a
454,2 (2)	0,004 (1)	Y	Xe-135	9,14 (2) h
454,2 (5)	0,04	Y	Th-233	22,15 (15) min
454,2 (5)	0,000 82	Y	Np-239	2,356 (3) d
454,3 (3)	0,000 54 (22)	Y	Pd-109	13,7 (1) h
454,4 (5)	0,031 (10)	Y	Br-87	55,65 (13) s
454,4 (4)	0,013 (5)	Y	Pm-151	1,183 (2) d
454,46 (13)	0,26 (3)	Y	Xe-139	39,68 (14) s

* : Radionucléide en équilibre avec son descendant
(Cf. liste en début de volume)

Énergie (keV)	Intensité (%)	Type	Parent	Période
454,66 (8)	0,000 009 53 (7)	Y	Am-241	432,6 (6) a
454,76 (15)	0,004 12 (22)	Y	I-123	13,2234 (37) h
454,770 (12)	0,288 (5)	Y	Bi-214	19,9 (4) min
454,92 (2)	0,029 5 (21)	Y	W-187	23,72 (6) h
454,96 (5)	0,000 025 (6)	Y	U-234	245,5 (6) E+3 a
455,1 (5)	0,06 (4)	Y	Xe-140	13,6 (1) s
455,1 (1)	0,008 (8)	Y	U-235	704 (1) E+6 a
455,26 (18)	0,000 8 (3)	Y	U-239	23,46 (4) min
455,490 (3)	31,2 (5)	Y	Xe-137	3,818 (13) min
455,96 (10)	0,001 1 (2)	Y	Pa-233	26,98 (2) d
456,05 (13)	0,038 (7)	Y	Pm-151	1,183 (2) d
456,093 (25)	0,043 0 (46)	Y	Dy-165	2,334 (6) h
456,47 (5)	3,4 (4)	Y	Pt-191	2,802 (25) d
456,7 (10)	0,000 71 (10)	Y	Pa-234m	1,17 (3) min
456,71 (3)	2,90 (15)	Y	Rb-81*	4,25 (25) h
456,71 (3)	0,008 (2)	Y	Rb-81m	30,25 (25) min
456,9 (1)	0,036 (3)	Y	As-76	1,0778 (20) d
457,25 (5)	0,015 0 (23)	Y	Ac-228	6,15 (2) h
457,38 (6)	0,028 (4)	Y	Pa-228	22 (1) h
457,5 (10)	0,004 5 (23)	Y	Pm-151	1,183 (2) d
457,5 (1)	0,000 068 (3)	Y	Th-227	18,718 (5) d
457,60 (3)	0,007 4 (6)	Y	Mo-99*	2,7479 (6) d
457,61 (5)	0,000 001 51 (3)	Y	Pu-239	24 100 (11) a
457,8	5,0 (4)	Y	Ba-141	18,27 (7) min
458,0 (7)	0,11 (6)	Y	Te-133m	55,4 (4) min
458,36 (6)	0,044 (5)	Y	Eu-150	36,9 (9) a
458,5 (5)	0,07 (2)	Y	In-116m	54,29 (17) min
458,59 (15)	0,043 (9)	Y	Pt-191	2,802 (25) d
458,68 (5)	1,13	Y	Pa-234	6,70 (5) h
458,8 (2)	0,005 5 (22)	Y	Ac-225	10,0 (1) d
458,92 (6)	1,3 (1)	Y	I-134	52,5 (2) min
459,222 (7)	1,4	Y	Th-233	22,15 (15) min
459,6 (2)	0,11 (3)	Y	Tc-104	18,3 (3) min
459,60 (5)	7,7 (6)	Y	Te-129	1,160 (5) h
459,60 (5)	0,001 3 (8)	Y	Te-129m	33,6 (1) d
459,68 (10)	0,000 003 55 (6)	Y	Am-241	432,6 (6) a
459,683 (14)	0,088 (8)	Y	Ga-66	9,49 (7) h
460,05 (5)	26,62 (20)	Y	Nb-96	23,35 (5) h
460,49 (3)	3,95 (25)	Y	Os-193	1,2546 (4) d
460,56 (4)	0,118 (5)	Y	Ru-97	2,9 (1) d
460,80 (13)	0,065 (10)	Y	Sm-155	22,3 (2) min
461,00 (2)	10,6 (3)	Y	Te-134	41,8 (8) min
461,0 (2)	0,058 (8)	Y	Bi-214	19,9 (4) min
461,25 (5)	0,000 002 29 (5)	Y	Pu-239	24 100 (11) a
461,258 (24)	0,056 (10)	Y	Ba-131	11,50 (6) d
461,30 (4)	0,62 (15)	Y	Te-133	12,45 (30) min
461,38 (3)	1,27 (3)	Y	Ge-77	11,30 (1) h
461,5 (1)	0,034	Y	Pa-234	6,70 (5) h
461,52 (7)	0,43 (3)	Y	Br-87	55,65 (13) s
461,761 (15)	0,83 (4)	Y	Eu-150	36,9 (9) a
461,85 (10)	1,48 (19)	Y	Xe-140	13,6 (1) s
461,9 (5)	0,001 6	Y	Np-239	2,356 (3) d
462,0 (3)	0,001 58 (26)	Y	Sm-153	1,92855 (5) d
462,00 (7)	0,213 (6)	Y	Pb-214	26,8 (9) min
462 (1)	0,000 048 (2)	Y	Th-227	18,718 (5) d
462,23 (3)	1,55 (24)	Y	Te-133m	55,4 (4) min
462,24 (13)	0,036 (5)	Y	Pm-151	1,183 (2) d
462,3	4,9 (4)	Y	Ba-141	18,27 (7) min
462,4 (4)	0,001 7 (9)	Y	Ac-225	10,0 (1) d
462,68 (5)	0,047 (10)	Y	Ba-131	11,50 (6) d
462,796 (5)	30,7 (6)	Y	Cs-138	33,41 (18) min
462,9	0,06 (3)	Y	Ba-141	18,27 (7) min
463,00 (5)	1,9 (2)	Y	Te-131m*	1,25 (8) d
463,004 (6)	4,40 (7)	Y	Ac-228	6,15 (2) h
463,02 (2)	20,9 (15)	Y	Pa-228	22 (1) h
463,14 (12)	0,83 (5)	Y	In-116m	54,29 (17) min
463,22 (20)	0,000 001	Y	Am-241	432,6 (6) a
463,3 (3)	0,020 (4)	Y	Rb-81m	30,25 (25) min
463,365 (4)	10,48 (9)	Y	Sb-125*	2,75855 (25) a
463,4 (20)	0,04 (4)	Y	Sr-92	2,65 (6) h
463,6 (2)	0,012 70 (24)	Y	Sm-153	1,92855 (5) d
463,8 (4)	0,009 (5)	Y	Pm-151	1,183 (2) d
463,9 (3)	0,25	Y	I-137	24,5 (2) s
463,9	0,004 2 (3)	Y	Eu-154	8,601 (4) a
464,0 (5)	0,28 (17)	Y	Te-133m	55,4 (4) min
464,0 (8)	0,026 (18)	Y	Tl-200	1,088 (5) d
464,11 (7)	0,46 (11)	Y	Eu-150	36,9 (9) a
464,2 (1)	0,031	Y	Pa-234	6,70 (5) h
464,64 (5)	5,03 (10)	Y	Te-134	41,8 (8) min
464,798 (6)	1,25 (4)	Y	Ho-166m	1 200 (180) a

* : Radionucléide en équilibre avec son descendant
(Cf. liste en début de volume)

Énergie (keV)	Intensité (%)	Type	Parent	Période
464,95 (8)	0,356 (16)	Y	Pb-201	9,33 (3) h
465,130 (18)	96,9 (20)	Y	Tl-209	2,20 (1) min
465,2 (1)	0,004 (10)	Y	Ra-223	11,43 (5) d
465,28 (19)	0,070 (13)	Y	Kr-90	32,32 (9) s
465,4 (5)	0,24 (5)	Y	Kr-89	3,17 (2) min
465,5 (3)	0,020 (4)	Y	Rb-81m	30,25 (25) min
465,5 (1)	0,36 (4)	Y	I-134	52,5 (2) min
465,657 (6)	0,000 231 (24)	Y	Yb-169	32,018 (5) d
465,7 (5)	0,000 12 (12)	Y	Pu-243	4,956 (3) h
465,841 6 (10)	2,35 (13)	Y	Lu-177m	160,4 (3) d
466,13 (10)	0,80 (8)	Y	Kr-89	3,17 (2) min
466,4 (1)	0,029 (3)	Y	Ac-228	6,15 (2) h
466,5 (1)	0,004 (4)	Y	As-76	1,0778 (20) d
466,62 (15)	0,075 (19)	Y	Rb-89	15,2 (1) min
466,69 (5)	3,0 (5)	Y	Cs-143	1,791 (7) s
466,7 (1)	1,07 (7)	Y	Np-240	61,9 (2) min
466,74 (5)	1,6 (3)	Y	Cs-143	1,791 (7) s
466,8 (3)	0,073 (10)	Y	Xe-139	39,68 (14) s
466,8 (2)	0,000 5 (3)	Y	Th-227	18,718 (5) d
466,88 (9)	0,95 (7)	Y	Pr-147	13,4 (4) min
467,03 (4)	0,024 9 (19)	Y	Ag-110m	249,78 (2) d
467,2 (6)	0,011 (5)	Y	Pm-151	1,183 (2) d
467,40 (6)	0,018	Y	Th-233	22,15 (15) min
467,5	5,7 (5)	Y	Ba-141	18,27 (7) min
467,84 (5)	0,060 4 (24)	Y	Eu-154	8,601 (4) a
468,0 (1)	0,22	Y	Pa-234	6,70 (5) h
468,06 (15)	0,000 002 69 (5)	Y	Am-241	432,6 (6) a
468,068 8 (3)	47,81 (24)	Y	Ir-192	73,827 (13) d
468,1 (5)	0,002 28 (20)	Y	Pa-234m	1,17 (3) min
468,3 (7)	0,001 8 (3)	Y	Fr-221	4,79 (2) min
468,36 (9)	0,31 (4)	Y	Te-131m*	1,25 (8) d
468,4 (6)	0,096 (25)	Y	Kr-89	3,17 (2) min
468,6 (4)	0,000 34 (8)	Y	Se-75	119,79 (4) d
468,6 (1)	0,059 (10)	Y	Sb-124	60,20 (3) d
469,0 (6)	0,061 (18)	Y	Tl-200	1,088 (5) d
469,0 (2)	0,000 9 (3)	Y	Th-227	18,718 (5) d
469,02 (12)	0,076 (6)	Y	Mo-101	14,6 (1) min
469,33 (8)	0,002 3 (7)	Y	Fr-223	22,00 (7) min
469,5 (3)	0,004 4 (11)	Y	Ac-225	10,0 (1) d
469,63 (7)	0,002 7 (5)	Y	Mo-99*	2,7479 (6) d
469,76 (7)	0,133 (15)	Y	Bi-214	19,9 (4) min
469,8 (3)	0,103 (25)	Y	Fr-227	2,47 (3) min
469,8 (5)	0,001 1	Y	Np-239	2,356 (3) d
469,85 (5)	1,5 (4)	Y	Sn-125	9,64 (3) d
469,9 (5)	0,013 (8)	Y	Pa-228	22 (1) h
470 (1)	0,008 1 (6)	Y	Ge-77	11,30 (1) h
470,0 (5)	0,065 (22)	Y	Kr-91	8,57 (4) s
470,25 (20)	0,013 (3)	Y	Ac-228	6,15 (2) h
470,34 (8)	0,238 (24)	Y	Kr-90	32,32 (9) s
470,472 (13)	1,41 (5)	Y	Te-121	19,16 (5) d
470,5 (3)	0,018 (7)	Y	Pm-151	1,183 (2) d
471,3 (2)	0,018 (7)	Y	Pm-151	1,183 (2) d
471,4 (5)	0,013 (5)	Y	Pm-151	1,183 (2) d
471,7 (2)	0,034 (9)	Y	Pa-228	22 (1) h
471,76 (15)	0,033 (3)	Y	Ac-228	6,15 (2) h
471,80 (3)	0,727 (40)	Y	Kr-88	2,84 (3) h
471,87 (4)	0,83 (12)	Y	Te-133m	55,4 (4) min
472,11 (15)	0,001 40 (29)	Y	Dy-165	2,334 (6) h
472,3 (4)	99,5 (5)	Y	Na-24m	20,2 (2) E-3 s
472,3 (1)	0,36	Y	Pa-234	6,70 (5) h
472,390 (15)	4,2 (2)	Y	Pa-232	1,31 (2) d
472,70 (6)	0,145 (13)	Y	Eu-156	15,19 (8) d
472,8 (1)	0,049 (5)	Y	As-76	1,0778 (20) d
472,89 (6)	1,86 (10)	Y	Br-76	16,2 (2) h
473,33 (7)	0,13 (4)	Y	Fr-227	2,47 (3) min
473,4 (7)	0,17 (4)	Y	I-132	2,295 (13) h
473,5 (6)	0,076 (19)	Y	Zr-97	16,90 (5) h
473,6 (2)	0,044 (3)	Y	Bi-212	60,54 (6) min
473,8 (8)	0,007 (4)	Y	Pm-151	1,183 (2) d
473,9 (5)	0,003 5	Y	Th-233	22,15 (15) min
474,2 (2)	0,103 (15)	Y	Xe-123	2,08 (2) h
474,2 (3)	0,002 3 (6)	Y	Ba-131	11,50 (6) d
474,2 (2)	0,036	Y	Pa-234	6,70 (5) h
474,41 (5)	0,092 (6)	Y	Bi-214	19,9 (4) min
474,50 (3)	0,145 (9)	Y	Eu-150	36,9 (9) a
474,50 (11)	0,001 7 (2)	Y	U-239	23,46 (4) min
474,63 (10)	0,91 (8)	Y	Kr-91	8,57 (4) s
474,7 (4)	0,11 (6)	Y	Te-133m	55,4 (4) min
474,750 (16)	0,022 (3)	Y	Ac-228	6,15 (2) h
474,85 (1)	0,88 (4)	Y	Te-133	12,45 (30) min

* : Radionucléide en équilibre avec son descendant
(Cf. liste en début de volume)

Énergie (keV)	Intensité (%)	Type	Parent	Période
474,9 (8)	0,017 (8)	Y	In-116m	54,29 (17) min
474,9 (9)	0,000 7 (5)	Y	La-141	3,92 (3) h
474,973 (9)	0,000 203 (9)	Y	Yb-169	32,018 (5) d
475,0 (2)	0,25 (8)	Y	Tc-104	18,3 (3) min
475,016 (23)	0,49 (6)	Y	Fr-227	2,47 (3) min
475,1 (3)	0,065 (19)	Y	Pa-228	22 (1) h
475,34 (2)	1,50 (2)	Y	Cs-134	2,0651 (6) a
475,40 (7)	0,006 3 (13)	Y	Fr-223	22,00 (7) min
475,43 (3)	0,992 (24)	Y	Ge-77	11,30 (1) h
475,5 (5)	0,002 85 (20)	Y	Pa-234m	1,17 (3) min
475,658 (19)	0,018 2 (15)	Y	Tb-161	6,906 (19) d
475,99 (9)	0,703 (7)	Y	Hf-181	42,39 (6) d
476,1 (11)	0,133 (16)	Y	Kr-90	32,32 (9) s
476,25 (4)	0,036 3 (13)	Y	Ho-166m	1 200 (180) a
476,39 (4)	0,000 001 5 (5)	Y	Re-186	3,7186 (17) d
476,5 (3)	0,035 (6)	Y	Sb-124	60,20 (3) d
476,67 (20)	0,000 10 (4)	Y	Cd-115m	44,56 (24) d
476,68 (3)	0,49 (2)	Y	Rb-81*	4,25 (25) h
476,82 (20)	0,323 (35)	Y	Tl-200	1,088 (5) d
476,89 (13)	0,024 (17)	Y	Eu-150	36,9 (9) a
477,1 (3)	0,065 (19)	Y	Pa-228	22 (1) h
477,603 5 (20)	10,44 (4)	Y	Be-7	53,22 (6) d
477,74 (8)	2,85 (23)	Y	Pr-147	13,4 (4) min
477,75 (4)	0,094 (10)	Y	Pm-151	1,183 (2) d
477,77 (6)	0,38 (3)	Y	Te-133	12,45 (30) min
477,98 (7)	0,39	Y	I-137	24,5 (2) s
477,992 (25)	1,02 (9)	Y	Re-188	17,005 (4) h
478,0 (4)	0,013 (3)	Y	Pb-211	36,1 (2) min
478,13 (19)	0,000 5 (2)	Y	U-239	23,46 (4) min
478,2 (7)	0,17 (4)	Y	I-132	2,295 (13) h
478,27 (5)	0,224 (3)	Y	Eu-154	8,601 (4) a
478,33 (5)	0,209 (15)	Y	Ac-228	6,15 (2) h
478,45 (4)	0,296 (23)	Y	Pa-228	22 (1) h
478,6 (1)	0,124	Y	Pa-234	6,70 (5) h
478,62 (6)	0,94 (18)	Y	Te-133m	55,4 (4) min
478,7 (5)	0,027 (3)	Y	I-124	4,1760 (3) d
479,23 (10)	0,091 (10)	Y	Ga-72	14,10 (2) h
479,51 (7)	90,97 (24)	Y	Y-90m	3,19 (6) h
479,550 (22)	21,8 (8)	Y	W-187	23,72 (6) h
479,55 (14)	0,001 0 (2)	Y	U-239	23,46 (4) min
479,6 (2)	0,005 2 (13)	Y	Pb-211	36,1 (2) min
479,62 (3)	0,044 (5)	Y	Dy-165	2,334 (6) h
479,95 (7)	0,057 (8)	Y	Pt-191	2,802 (25) d
480 (36)	2 (1)	Y	Tl-210	1,30 (3) min
480 (1)	0,000 29 (9)	Y	Th-227	18,718 (5) d
480,3 (3)	0,079 (35)	Y	Tl-200	1,088 (5) d
480,4 (1)	0,13 (4)	Y	Cs-143	1,791 (7) s
480,407 (13)	0,328 (4)	Y	Ba-131	11,50 (6) d
480,43 (2)	0,337 1 (41)	Y	Pb-214	26,8 (9) min
480,44 (2)	36,5 (8)	Y	Ni-56	6,079 (10) d
480,5 (6)	0,000 008	Y	Cd-115m	44,56 (24) d
480,61	0,004 8 (3)	Y	Eu-154	8,601 (4) a
480,705 (17)	5,84 (5)	Y	Nb-96	23,35 (5) h
480,9 (1)	0,001 3 (4)	Y	Fr-223	22,00 (7) min
480,94 (20)	0,023 (5)	Y	Ac-228	6,15 (2) h
481,0 (1)	0,31	Y	Pa-234	6,70 (5) h
481,05 (5)	0,033 (4)	Y	Ac-225	10,0 (1) d
481,1 (4)	0,026 (6)	Y	Pb-211	36,1 (2) min
481,2 (2)	0,02 (1)	Y	Sb-124	60,20 (3) d
481,39 (9)	1,24 (11)	Y	Kr-91	8,57 (4) s
481,6 (5)	0,021 (6)	Y	Ra-223	11,43 (5) d
481,66 (12)	0,000 004 61 (10)	Y	Pu-239	24 100 (11) a
481,92 (12)	0,010 3 (13)	Y	Pb-211	36,1 (2) min
482 (1)	0,000 14 (4)	Y	Th-227	18,718 (5) d
482,03 (5)	0,172 (16)	Y	Pa-228	22 (1) h
482,07 (9)	0,067 (11)	Y	Pb-201	9,33 (3) h
482,14 (12)	0,015 (4)	Y	Xe-137	3,818 (13) min
482,18 (9)	80,5 (5)	Y	Hf-181	42,39 (6) d
482,31 (3)	0,001 39 (6)	Y	Eu-152	13,522 (16) a
482,31 (3)	0,027 9 (16)	Y	Eu-152	13,522 (16) a
482,52 (12)	0,086 (11)	Y	Mo-101	14,6 (1) min
482,6 (10)	0,022 (6)	Y	Xe-139	39,68 (14) s
482,857 (26)	0,046 (6)	Y	Ir-194	19,3 (1) h
482,98 (16)	0,018 (4)	Y	Re-184	38,0 (5) d
483,3 (2)	0,17 (4)	Y	Xe-140	13,6 (1) s
483,35 (16)	0,000 26 (3)	Y	Ga-68	1,1275 (10) h
483,70 (24)	3,5 (4)	Y	I-138	6,49 (7) s
483,74	0,005 0 (3)	Y	Eu-154	8,601 (4) a
483,76 (10)	0,002 2 (3)	Y	Ru-97	2,9 (1) d
484,15 (3)	0,017 2 (10)	Y	W-187	23,72 (6) h

* : Radionucléide en équilibre avec son descendant
(Cf. liste en début de volume)

Énergie (keV)	Intensité (%)	Type	Parent	Période
484,25 (5)	0,170 (14)	Y	Os-193	1,2546 (4) d
484,3 (5)	0,001	Y	Np-239	2,356 (3) d
484,368 (26)	0,000 9	Y	Y-88	106,626 (21) d
484,47 (15)	0,030 (6)	Y	Rb-88	17,8 (1) min
484,47 (2)	0,29 (10)	Y	Cd-115m	44,56 (24) d
484,5	0,05 (3)	Y	Te-133	12,45 (30) min
484,575 1 (4)	3,189 (24)	Y	Ir-192	73,827 (13) d
484,64	0,003 9 (2)	Y	Eu-154	8,601 (4) a
484,8 (3)	0,005 8 (14)	Y	As-76	1,0778 (20) d
485,0 (2)	0,56 (3)	Y	Te-133	12,45 (30) min
485,0 (2)	0,000 38 (3)	Y	Sm-153	1,92855 (5) d
485,62	0,014 8 (1)	Y	Tl-200	1,088 (5) d
485,8 (1)	0,049 (4)	Y	Tl-208	3,060 (8) min
485,92 (11)	0,021 (4)	Y	Bi-214	19,9 (4) min
485,931 (20)	0,165 (9)	Y	Eu-150	36,9 (9) a
486,05	0,000 001 05 (6)	Y	Am-241	432,6 (6) a
486,06 (5)	0,084 6 (23)	Y	Tb-160	72,3 (2) d
486,087 (11)	0,079 (6)	Y	Re-188	17,005 (4) h
486,11 (15)	0,012 (6)	Y	Os-193	1,2546 (4) d
486,5 (2)	0,080 (5)	Y	Sr-91*	9,63 (5) h
486,522 (12)	2,087 (17)	Y	Ba-131	11,50 (6) d
486,54 (11)	0,058 (3)	Y	Co-56	77,236 (26) d
486,7	0,060 (15)	Y	Ba-141	18,27 (7) min
486,83 (2)	0,002 0 (3)	Y	Pa-231	32 760 (110) a
486,87 (3)	0,060 (3)	Y	U-239	23,46 (4) min
487,022 (6)	46,1 (4)	Y	La-140	1,67850 (17) d
487,09 (7)	0,433 (6)	Y	Pb-214	26,8 (9) min
487,1 (2)	0,017 (5)	Y	Pm-151	1,183 (2) d
487,2 (2)	0,013 (4)	Y	Sn-125	9,64 (3) d
487,39 (5)	1,42 (11)	Y	Te-129	1,160 (5) h
487,40 (6)	0,55 (12)	Y	Te-133m	55,4 (4) min
487,6 (3)	0,011 (14)	Y	Ra-223	11,43 (5) d
487,75 (23)	0,000 36	Y	Sm-153	1,92855 (5) d
487,95 (13)	0,028 (9)	Y	Bi-214	19,9 (4) min
488,0 (4)	0,41 (5)	Y	I-132	2,295 (13) h
488 (2)	0,09 (3)	Y	Te-133	12,45 (30) min
488,26	0,007 (3)	Y	Eu-154	8,601 (4) a
488,5 (6)	0,08 (4)	Y	Kr-89	3,17 (2) min
488,679 2 (20)	0,413 9 (24)	Y	Eu-152	13,522 (16) a
488,88 (4)	1,43 (10)	Y	I-134	52,5 (2) min
489,06 (3)	0,438 (14)	Y	Ir-192	73,827 (13) d
489,10 (15)	0,033 (4)	Y	Tc-101	14,2 (1) min
489,23 (10)	6,9 (4)	Y	Ca-47	4,536 (2) d
489,25 (3)	0,140 (5)	Y	Nd-147	10,98 (1) d
489,49 (15)	0,43 (7)	Y	Kr-91	8,57 (4) s
489,9 (2)	0,36 (5)	Y	Br-76	16,2 (2) h
489,9 (2)	0,08 (2)	Y	Cs-136	13,16 (3) d
489,9 (1)	0,003 4 (5)	Y	Dy-165	2,334 (6) h
490,26 (5)	0,126 (11)	Y	Pm-151	1,183 (2) d
490,33 (13)	0,000 7 (1)	Y	U-239	23,46 (4) min
490,34 (6)	0,160 (14)	Y	Eu-156	15,19 (8) d
490,368 (5)	2,16 (3)	Y	Ce-143	33,040 (7) h
490,53 (12)	0,011 1 (23)	Y	Ac-228	6,15 (2) h
490,7 (1)	0,076 (6)	Y	Pa-228	22 (1) h
490,76 (20)	0,32 (5)	Y	Kr-89	3,17 (2) min
490,80 (6)	0,17	Y	Th-233	22,15 (15) min
491,0 (5)	0,000 53 (11)	Y	Pa-231	32 760 (110) a
491,243 (11)	2,85 (22)	Y	I-126	12,93 (5) d
491,3 (2)	0,27 (3)	Y	Sr-92	2,65 (6) h
491,47 (4)	1,80 (24)	Y	Xe-139	39,68 (14) s
491,5 (3)	0,067 (6)	Y	Mo-101	14,6 (1) min
491,82 (12)	0,004 1 (8)	Y	Pb-211	36,1 (2) min
491,93 (14)	0,001 16 (25)	Y	Te-129	1,160 (5) h
492,22 (10)	0,026 (4)	Y	Pa-228	22 (1) h
492,3 (6)	0,009 6 (34)	Y	Cd-115m	44,56 (24) d
492,3 (5)	0,006	Y	Np-239	2,356 (3) d
492,37 (10)	0,023 5 (23)	Y	Ac-228	6,15 (2) h
492,6 (1)	0,49 (4)	Y	Y-92	3,54 (2) h
492,63 (5)	1,21 (10)	Y	Kr-90	32,32 (9) s
492,67 (3)	5,1 (2)	Y	Te-131	25,0 (1) min
492,7 (1)	0,04 (1)	Y	Bi-212	60,54 (6) min
492,76 (7)	0,004 9 (2)	Y	U-239	23,46 (4) min
492,8 (20)	0,025 (9)	Y	W-187	23,72 (6) h
492,96 (15)	0,77 (12)	Y	Te-133m	55,4 (4) min
493,1 (2)	0,000 53 (8)	Y	Th-227	18,718 (5) d
493,39 (5)	0,100 (9)	Y	Br-87	55,65 (13) s
493,40 (15)	0,002 7 (7)	Y	Fr-223	22,00 (7) min
493,43 (10)	0,009 5 (11)	Y	Ag-110m	249,78 (2) d
493,508 (20)	0,009 (2)	Y	Eu-152	13,522 (16) a
493,508 (20)	0,027 8 (30)	Y	Eu-152	13,522 (16) a

* : Radionucléide en équilibre avec son descendant
(Cf. liste en début de volume)

Énergie (keV)	Intensité (%)	Type	Parent	Période
494,166 (15)	0,068 5 (27)	Y	Ga-67	3,2613 (5) d
494,2 (3)	0,001 7 (7)	Y	Pb-211	36,1 (2) min
494,2 (4)	0,011 (3)	Y	Bi-214	19,9 (4) min
494,336 (13)	0,005 6 (9)	Y	Ga-66	9,49 (7) h
494,360 (8)	0,001 57 (12)	Y	Yb-169	32,018 (5) d
494,69 (7)	0,060 (9)	Y	Pt-191	2,802 (25) d
494,87 (9)	0,10 (7)	Y	Te-131	25,0 (1) min
494,9 (4)	0,011 (5)	Y	Pm-151	1,183 (2) d
494,90 (15)	0,015 (4)	Y	Eu-156	15,19 (8) d
495,0 (1)	0,193 (24)	Y	Te-133m	55,4 (4) min
495,5 (4)	0,013 (5)	Y	Pm-151	1,183 (2) d
495,88 (24)	0,056 (4)	Y	Ga-72	14,10 (2) h
496,2 (6)	0,079 (35)	Y	Tl-200	1,088 (5) d
496,326 (13)	46,8 (2)	Y	Ba-131	11,50 (6) d
496,39 (3)	0,004 2 (4)	Y	Eu-152	13,522 (16) a
496,39 (3)	0,004 9 (5)	Y	Eu-152	13,522 (16) a
496,5 (2)	13,0 (13)	Y	Sb-132m	4,10 (7) min
496,9 (2)	0,000 076 (2)	Y	Pd-109	13,7 (1) h
496,90 (6)	0,125 (3)	Y	Ho-166m	1 200 (180) a
496,90 (18)	0,006 8 (18)	Y	Bi-214	19,9 (4) min
496,9 (3)	0,001 6 (8)	Y	Ac-225	10,0 (1) d
497,0 (8)	0,146 (17)	Y	Mo-101	14,6 (1) min
497,0 (2)	0,079 (16)	Y	Fr-227	2,47 (3) min
497,080 (13)	89,5 (6)	Y	Ru-103*	39,255 (8) d
497,080 (13)	0,004 11 (11)	Y	Pd-103	16,964 (10) d
497,1 (4)	0,021	Y	Th-233	22,15 (15) min
497,13 (12)	0,001 52 (40)	Y	Ag-108	2,382 (11) min
497,37 (30)	0,05 (1)	Y	In-115m	4,486 (4) h
497,37 (12)	0,003 2 (3)	Y	Sb-125*	2,75855 (25) a
497,383 (18)	6,6 (8)	Y	Kr-89	3,17 (2) min
497,7	0,005 (5)	Y	Pa-228	22 (1) h
497,718 (9)	0,005 9 (18)	Y	Ac-228	6,15 (2) h
497,8 (5)	0,003 2	Y	Np-239	2,356 (3) d
497,81 (2)	0,045 (3)	Y	Ce-143	33,040 (7) h
498 (1)	0,16 (7)	Y	Br-76	16,2 (2) h
498,0 (1)	0,062	Y	Pa-234	6,70 (5) h
498,2 (5)	0,045 (8)	Y	Xe-139	39,68 (14) s
498,4 (3)	0,071 (17)	Y	Fr-227	2,47 (3) min
498,59 (12)	0,152 (17)	Y	Kr-90	32,32 (9) s
498,6 (2)	1,15 (22)	Y	Kr-89	3,17 (2) min
498,7	0,001	Y	Np-239	2,356 (3) d
498,88 (6)	0,066 (7)	Y	Eu-156	15,19 (8) d
499,02 (4)	0,21	Y	Th-233	22,15 (15) min
499,1 (1)	0,002 0 (2)	Y	U-239	23,46 (4) min
499,3 (8)	0,4 (4)	Y	Br-86	55,1 (4) s
499,45 (8)	0,09 (3)	Y	Rb-81*	4,25 (25) h
499,45 (8)	0,028 (3)	Y	Rb-81m	30,25 (25) min
499,590 (6)	0,004 8 (12)	Y	Ga-66	9,49 (7) h
499,65 (3)	1,39 (5)	Y	Mo-101	14,6 (1) min
500,02 (6)	0,097 (9)	Y	Kr-88	2,84 (3) h
500,1 (8)	0,03 (1)	Y	In-116m	54,29 (17) min
500,22 (6)	0,362 (18)	Y	Xe-138	14,08 (8) min
500,35 (10)	0,000 008 8 (8)	Y	Yb-169	32,018 (5) d
500,4 (5)	0,012 (3)	Y	Pb-211	36,1 (2) min
500,7 (7)	0,017 (6)	Y	Kr-79	35,04 (10) h
501,4	0,010 (7)	Y	Pt-191	2,802 (25) d
501,4 (4)	0,000 9 (3)	Y	Pa-231	32 760 (110) a
501,96 (15)	0,018 1 (22)	Y	Bi-214	19,9 (4) min
501,97 (12)	1,6 (3)	Y	Kr-91	8,57 (4) s
502,0 (2)	0,003 6 (8)	Y	Pb-211	36,1 (2) min
502,0 (1)	0,027	Y	Pa-234	6,70 (5) h
502,07 (5)	0,21 (2)	Y	Mn-52	5,595 (3) d
502,12 (17)	0,000 6 (2)	Y	U-239	23,46 (4) min
503,004 (4)	0,358 9 (43)	Y	I-131*	8,0233 (19) d
503,3 (2)	0,336 (25)	Y	Pr-147	13,4 (4) min
503,4 (3)	0,17 (5)	Y	Xe-140	13,6 (1) s
503,474 (5)	0,153 3 (18)	Y	Eu-152	13,522 (16) a
503,7 (7)	0,004 5 (23)	Y	Pm-151	1,183 (2) d
503,7 (2)	0,073 (9)	Y	Pa-228	22 (1) h
503,823 (13)	0,182 (12)	Y	Ac-228	6,15 (2) h
503,94 (6)	0,070 1 (18)	Y	Ge-77	11,30 (1) h
504,10 (15)	0,001 1 (3)	Y	Dy-165	2,334 (6) h
504,12 (12)	0,005 8 (8)	Y	Pb-211	36,1 (2) min
504,2 (5)	0,000 78	Y	Np-239	2,356 (3) d
504,76 (8)	0,005 1 (3)	Y	U-239	23,46 (4) min
505,0 (5)	0,229 (16)	Y	Br-76	16,2 (2) h
505,0 (4)	0,13 (5)	Y	Xe-140	13,6 (1) s
505,05 (18)	0,36 (4)	Y	Mo-101	14,6 (1) min
505,07 (8)	0,36 (4)	Y	Xe-139	39,68 (14) s
505,33 (5)	0,266 (42)	Y	I-123	13,2234 (37) h

* : Radionucléide en équilibre avec son descendant
(Cf. liste en début de volume)

Énergie (keV)	Intensité (%)	Type	Parent	Période
505,5 (6)	0,004 9	Y	Th-233	22,15 (15) min
505,52 (3)	4,80 (18)	Y	Eu-150	36,9 (9) a
505,79 (3)	4,94 (20)	Y	I-132	2,295 (13) h
505,92 (3)	11,6 (3)	Y	Mo-101	14,6 (1) min
506,1 (4)	0,001 9 (5)	Y	Ba-131	11,50 (6) d
506,4	0,006 3 (14)	Y	Eu-154	8,601 (4) a
506,592 (9)	19,1 (17)	Y	Kr-91	8,57 (4) s
506,6 (10)	0,089 (3)	Y	Kr-79	35,04 (10) h
506,68 (16)	0,000 9 (1)	Y	Tb-161	6,906 (19) d
506,7 (1)	0,044 (4)	Y	Sr-91*	9,63 (5) h
506,75 (5)	1,29	Y	Pa-234	6,70 (5) h
506,80 (14)	0,001 0 (2)	Y	U-239	23,46 (4) min
506,9 (1)	0,002 4 (11)	Y	Fr-223	22,00 (7) min
507,16 (5)	0,000 008 7 (28)	Y	Cm-244	18,11 (3) a
507,188 (10)	0,97 (3)	Y	Cs-136	13,16 (3) d
507,2 (3)	0,44 (11)	Y	Te-133m	55,4 (4) min
507,27 (14)	0,047 (7)	Y	Pm-151	1,183 (2) d
507,3 (1)	0,14 (2)	Y	Te-133	12,45 (30) min
507,3 (2)	1,67 (10)	Y	Np-240	61,9 (2) min
507,36 (6)	0,000 26 (9)	Y	Cd-115m	44,56 (24) d
507,5 (1)	0,000 64 (25)	Y	Th-227	18,718 (5) d
507,5 (10)	0,001 6 (1)	Y	Pa-234m	1,17 (3) min
507,591 (11)	17,7 (6)	Y	Te-121	19,16 (5) d
507,64 (8)	5,31 (47)	Y	Zr-97	16,90 (5) h
507,8 (3)	0,000 001 5 (8)	Y	Yb-169	32,018 (5) d
507,9 (1)	0,293 (5)	Y	Ni-65	2,5172 (3) h
508,0 (3)	0,062 (20)	Y	Kr-90	32,32 (9) s
508 (1)	0,66 (9)	Y	Zr-97	16,90 (5) h
508,16 (5)	0,000 015 0 (39)	Y	U-234	245,5 (6) E+3 a
508,959 (17)	0,45 (5)	Y	Ac-228	6,15 (2) h
509,1 (5)	0,15 (5)	Y	Kr-89	3,17 (2) min
509,13 (8)	0,112 (20)	Y	Pa-228	22 (1) h
509,15 (20)	0,001 90 (18)	Y	Sm-153	1,92855 (5) d
509,2 (8)	0,002 1 (2)	Y	Pa-234m	1,17 (3) min
509,4 (5)	0,001 34 (7)	Y	Ag-111	7,45 (1) d
509,6 (5)	0,17 (3)	Y	Rb-91	58,4 (4) s
509,6 (2)	0,84 (15)	Y	Xe-140	13,6 (1) s
509,7 (6)	0,001 2 (4)	Y	Pa-231	32 760 (110) a
509,84 (5)	0,14 (10)	Y	Eu-150	36,9 (9) a
510	0,059 (7)	Y	Eu-154	8,601 (4) a
510 (2)	0,076	Y	Rn-222	3,8232 (8) d
510,1 (5)	0,12 (4)	Y	Kr-89	3,17 (2) min
510,1 (7)	0,009 (4)	Y	Pm-151	1,183 (2) d
510,2 (1)	4,1 (5)	Y	Rb-81*	4,25 (25) h
510,2 (2)	0,012 3 (15)	Y	Sm-155	22,3 (2) min
510,21 (12)	0,25 (3)	Y	Mo-101	14,6 (1) min
510,3	0,14 (5)	Y	Ba-141	18,27 (7) min
510,530 (22)	1,81 (6)	Y	I-133	20,87 (8) h
510,7 (1)	22,6 (2)	Y	Tl-208	3,060 (8) min
510,78 (14)	0,070 (11)	Y	Kr-87	1,272 (8) h
510,821 (9)	0,004 (5)	Y	I-133	20,87 (8) h
511	199,500 (26)	Y±	C-11	20,370 (29) min
511	199,636 (26)	Y±	N-13	9,9670 (37) min
511	199,770 (12)	Y±	O-15	2,041 (6) min
511	193,72 (27)	Y±	F-18	1,8288 (3) h
511	177,99 (27)	Y±	Na-22	2,6027 (10) a
511	0,145 (11)	Y±	Na-24	14,9574 (20) h
511	163,5 (4)	Y±	Al-26	717 (24) E+3 a
511	0,003 0 (6)	Y±	Cl-36	301 (3) E+3 a
511	0,002 00 (26)	Y±	K-40	1,265 (13) E+9 a
511	188 (3)	Y±	Sc-44	3,97 (4) h
511	100,6 (16)	Y±	V-48	15,9735 (25) d
511	58,8 (4)	Y±	Mn-52	5,595 (3) d
511	193,2 (8)	Y±	Mn-52m	21,2 (4) min
511	112 (2)	Y±	Fe-52	8,26 (2) h
511	39,21 (22)	Y±	Co-56	77,236 (26) d
511	0,001 4 (12)	Y±	Ni-56	6,079 (10) d
511	86,8 (12)	Y±	Ni-57	35,9 (3) h
511	30,0 (4)	Y±	Co-58	70,83 (10) d
511	35,36 (28)	Y±	Cu-64	12,701 (2) h
511	2,842 (13)	Y±	Zn-65	244,01 (9) d
511	112 (8)	Y±	Ga-66	9,49 (7) h
511	178,28 (22)	Y±	Ga-68	1,1275 (10) h
511	108 (6)	Y±	Br-76	16,2 (2) h
511	14,0 (6)	Y±	Kr-79	35,04 (10) h
511	4,43 (10)	Y±	Br-80	17,68 (2) min
511	60 (2)	Y±	Rb-81*	4,25 (25) h
511	1,8 (2)	Y±	Rb-81m	30,25 (25) min
511	51,4 (20)	Y±	Rb-84	32,77 (14) d
511	0,408 (22)	Y±	Y-88	106,626 (21) d

* : Radionucléide en équilibre avec son descendant
(Cf. liste en début de volume)

Énergie (keV)	Intensité (%)	Type	Parent	Période
511	45,50 (5)	γ±	Zr-89	78,41 (12) h
511	0,14 (1)	γ±	Nb-92m	10,15 (2) d
511	0,565 (40)	γ±	Ag-108	2,382 (11) min
511	0,010 (2)	γ±	In-114	71,9 (4) s
511	0,012 6 (8)	γ±	Sb-122	2,70 (1) d
511	45,1 (16)	γ±	Xe-123	2,08 (2) h
511	45,6 (6)	γ±	I-124	4,1760 (3) d
511	0,66 (2)	γ±	Xe-125	16,9 (2) h
511	1,62 (6)	γ±	I-126	12,93 (5) d
511	0,007 (2)	γ±	I-128	24,99 (2) min
511	0,054 (30)	γ±	Eu-152	13,522 (16) a
511	0,01	γ±	Eu-152m	9,3116 (13) h
511	2,2 (2)	γ±	Ta-178	9,29 (4) min
511	0,8	γ±	Tl-200	1,088 (5) d
511	0,13 (3)	γ±	Pb-201	9,33 (3) h
511	0,024 (4)	γ±	Bi-207	32,9 (14) a
511,6 (3)	0,14 (4)	γ	Tc-104	18,3 (3) min
511,66 (4)	0,647 (22)	γ	W-187	23,72 (6) h
511,860 (3)	20,5 (5)	γ	Rh-106	30,0 (2) s
512	0,032 (7)	γ	Eu-154	8,601 (4) a
512,3 (3)	0,001 6 (8)	γ	Os-193	1,2546 (4) d
512,4 (3)	0,000 002 1 (4)	γ	Am-241	432,6 (6) a
512,57 (25)	0,003 2 (8)	γ	Dy-165	2,334 (6) h
512,79 (11)	0,124 (14)	γ	Pa-228	22 (1) h
512,83 (5)	1,4 (1)	γ	Mo-101	14,6 (1) min
513,4 (4)	0,02	γ	Th-233	22,15 (15) min
513,4 (1)	1,13	γ	Pa-234	6,70 (5) h
513,41 (18)	0,66 (9)	γ	Zr-97	16,90 (5) h
513,88 (11)	0,84 (13)	γ	Xe-139	39,68 (14) s
513,997 (5)	0,435 (10)	γ	Kr-85	10,752 (23) a
514,004 8 (22)	98,5 (4)	γ	Sr-85	64,850 (7) d
514,1 (4)	0,81 (3)	γ	Mo-101	14,6 (1) min
514,2 (2)	0,000 003 8 (2)	γ	Am-241	432,6 (6) a
514,38 (9)	0,17 (4)	γ	Pb-201	9,33 (3) h
514,40 (3)	2,21 (13)	γ	I-134	52,5 (2) min
514,60 (15)	0,004 8 (13)	γ	Ru-103*	39,255 (8) d
514,8 (2)	1,9 (4)	γ	Fr-227	2,47 (3) min
514,88 (6)	0,005 4 (5)	γ	Re-188	17,005 (4) h
514,95 (5)	1,04 (15)	γ	Xe-140	13,6 (1) s
514,95 (10)	0,011 1 (20)	γ	Os-193	1,2546 (4) d
515,05 (7)	0,000 10 (5)	γ	Cd-115m	44,56 (24) d
515,06 (10)	0,049 (5)	γ	Ac-228	6,15 (2) h
515,107 (6)	0,004 22 (16)	γ	Yb-169	32,018 (5) d
515,20 (11)	0,058 (9)	γ	Pa-228	22 (1) h
515,25 (19)	0,000 004 5 (12)	γ	Cm-242	162,86 (8) d
515,40 (5)	0,019 6 (22)	γ	Ac-225	10,0 (1) d
515,42 (10)	0,81 (3)	γ	Mo-101	14,6 (1) min
515,44 (14)	0,370 (41)	γ	Xe-139	39,68 (14) s
515,467 (30)	0,038 (5)	γ	Dy-165	2,334 (6) h
515,6	0,000 17 (5)	γ	Pu-236	2,87 (1) a
515,607 (19)	5,5 (2)	γ	Pa-232	1,31 (2) d
515,792 (5)	0,99 (4)	γ	Eu-150	36,9 (9) a
516,1 (1)	0,14 (4)	γ	Cs-143	1,791 (7) s
516,1 (5)	0,001 0 (3)	γ	Pa-231	32 760 (110) a
516,13 (8)	0,098 (7)	γ	Tc-101	14,2 (1) min
516,25 (6)	0,193 (16)	γ	Pm-151	1,183 (2) d
516,3 (4)	0,002 4 (12)	γ	Os-193	1,2546 (4) d
516,6 (1)	0,67 (5)	γ	Pr-147	13,4 (4) min
516,6 (3)	0,000 28 (10)	γ	Th-227	18,718 (5) d
516,60 (6)	0,000 012 8 (20)	γ	Pa-234m	1,17 (3) min
516,7 (1)	0,003 6 (10)	γ	Fr-223	22,00 (7) min
516,74 (12)	0,43 (5)	γ	Cs-138	33,41 (18) min
517,00 (8)	0,035 (11)	γ	Kr-88	2,84 (3) h
517,0 (4)	0,006 8	γ	Th-233	22,15 (15) min
517,2	0,000 4	γ	U-235	704 (1) E+6 a
517,5 (4)	0,001 4 (5)	γ	Ba-131	11,50 (6) d
517,6 (20)	2,0 (5)	γ	Bi-215	7,6 (2) min
517,63 (6)	0,044 (4)	γ	Rn-219	3,96 (1) s
517,78 (5)	0,014 2 (22)	γ	Ac-225	10,0 (1) d
518,00 (5)	0,047 (2)	γ	Eu-154	8,601 (4) a
518,01 (9)	0,004 4 (3)	γ	U-239	23,46 (4) min
518,8 (1)	0,050 (8)	γ	Xe-139	39,68 (14) s
518,9 (2)	1,02 (15)	γ	Xe-140	13,6 (1) s
519,4 (1)	0,89 (10)	γ	Tc-104	18,3 (3) min
519,6 (1)	0,39	γ	Pa-234	6,70 (5) h
519,7 (1)	0,28 (12)	γ	Te-133m	55,4 (4) min
519,90 (5)	0,016 6 (17)	γ	Bi-214	19,9 (4) min
520 (1)	0,3 (4)	γ	Ge-77	11,30 (1) h
520,085 (19)	0,461 (18)	γ	Eu-150	36,9 (9) a
520,10 (1)	0,044 (10)	γ	Te-133	12,45 (30) min

* : Radionucléide en équilibre avec son descendant
(Cf. liste en début de volume)

Énergie (keV)	Intensité (%)	Type	Parent	Période
520,13 (7)	0,58 (4)	Y	Tl-202	12,23 (2) d
520,151 (16)	0,067 (5)	Y	Ac-228	6,15 (2) h
520,17 (8)	0,086 (11)	Y	Pa-228	22 (1) h
520,227 (5)	0,053 6 (13)	Y	Eu-152	13,522 (16) a
520,389 (12)	45 (4)	Y	Rb-83	86,2 (1) d
520,4 (2)	0,019 (12)	Y	Te-133	12,45 (30) min
520,41 (5)	0,057 6 (18)	Y	Br-83	2,40 (2) h
520,74 (24)	0,055 (5)	Y	Ga-72	14,10 (2) h
520,8 (3)	0,034 0 (4)	Y	Sr-91*	9,63 (5) h
520,8 (1)	0,15 (4)	Y	Sr-94	1,235 (5) min
520,80 (7)	0,000 35 (2)	Y	Ho-166	26,795 (29) h
520,80 (7)	0,153 (6)	Y	Ho-166m	1 200 (180) a
520,91	0,026 (9)	Y	Tl-200	1,088 (5) d
521,1 (2)	0,032 (5)	Y	Pm-151	1,183 (2) d
521,30 (25)	0,006 7 (1)	Y	Sm-153	1,92855 (5) d
521,4 (2)	0,389 (10)	Y	Au-196	6,183 (10) d
521,40 (16)	0,253 (35)	Y	Tl-200	1,088 (5) d
521,4 (1)	0,74	Y	Pa-234	6,70 (5) h
521,8 (3)	0,000 38 (13)	Y	Th-227	18,718 (5) d
522,1 (13)	0,40 (4)	Y	Rb-90m	4,30 (7) min
522,12 (10)	0,002 4 (2)	Y	U-239	23,46 (4) min
522,3	0,432 (40)	Y	Ba-141	18,27 (7) min
522,3 (1)	0,001 6 (5)	Y	Ac-225	10,0 (1) d
522,4 (4)	0,000 94 (14)	Y	Ag-111	7,45 (1) d
522,524 (17)	0,04 (5)	Y	I-133	20,87 (8) h
522,54 (15)	0,149 (15)	Y	Sm-155	22,3 (2) min
522,65 (9)	16,0 (5)	Y	I-132	2,295 (13) h
523,0 (5)	0,001 7 (5)	Y	Ce-143	33,040 (7) h
523,13 (5)	0,011 3 (21)	Y	Eu-152	13,522 (16) a
523,131 (16)	0,103 (8)	Y	Ac-228	6,15 (2) h
523,16 (11)	0,131 (12)	Y	Pa-228	22 (1) h
523,2 (2)	0,23 (7)	Y	Kr-79	35,04 (10) h
523,5 (4)	0,034 (13)	Y	Kr-89	3,17 (2) min
523,75 (10)	0,119 (17)	Y	Fr-227	2,47 (3) min
523,83 (12)	0,158 (10)	Y	Mo-101	14,6 (1) min
523,9 (10)	0,045 (8)	Y	Xe-139	39,68 (14) s
524,1 (1)	0,25 (14)	Y	Cs-143	1,791 (7) s
524,30 (5)	0,010 (3)	Y	Sn-125	9,64 (3) d
524,3	0,46 (4)	Y	Ba-141	18,27 (7) min
524,33 (20)	0,002 07 (17)	Y	Ag-111	7,45 (1) d
524,5 (2)	0,46 (6)	Y	Xe-140	13,6 (1) s
524,5 (4)	0,000 19 (4)	Y	Th-227	18,718 (5) d
524,6 (2)	0,016 9 (17)	Y	Bi-214	19,9 (4) min
524,7 (1)	0,14 (6)	Y	Te-131m*	1,25 (8) d
524,8 (1)	0,005 1 (14)	Y	Fr-223	22,00 (7) min
524,98 (8)	0,015 8 (17)	Y	Os-193	1,2546 (4) d
525,35 (15)	0,39 (8)	Y	Kr-79	35,04 (10) h
525,35 (8)	0,117 (15)	Y	Sb-124	60,20 (3) d
525,4 (2)	0,131 (14)	Y	Pr-147	13,4 (4) min
525,63 (14)	0,28 (12)	Y	Te-133m	55,4 (4) min
525,84 (3)	0,23 (3)	Y	Te-133	12,45 (30) min
526,0 (5)	0,038 (9)	Y	I-124	4,1760 (3) d
526,09 (5)	0,032 (4)	Y	Ac-225	10,0 (1) d
526,557 (9)	1,5 (2)	Y	I-128	24,99 (2) min
526,569 (5)	80,84 (20)	Y	Xe-135m	15,30 (3) min
526,69 (6)	0,006 3	Y	Th-233	22,15 (15) min
526,881 (20)	0,012 9 (6)	Y	Eu-152	13,522 (16) a
527,2 (2)	0,39 (8)	Y	Tc-104	18,3 (3) min
527,4 (1)	3,4 (6)	Y	Cs-143	1,791 (7) s
527,6	0,46 (8)	Y	Ba-141	18,27 (7) min
527,61 (10)	0,07 (5)	Y	Ra-223	11,43 (5) d
527,9 (1)	0,39	Y	Pa-234	6,70 (5) h
527,92 (30)	0,075	Y	I-137	24,5 (2) s
528 (1)	0,010 9 (13)	Y	Bi-214	19,9 (4) min
528,25 (5)	2,90 (14)	Y	Cs-140	1,062 (5) min
528,572 (10)	0,000 13 (6)	Y	Yb-169	32,018 (5) d
528,788 (15)	0,054 1 (19)	Y	Mo-99*	2,7479 (6) d
528,96 (5)	1,28 (12)	Y	I-123	13,2234 (37) h
529,1 (3)	0,09	Y	Pa-234	6,70 (5) h
529,591 (13)	29,3 (21)	Y	Rb-83	86,2 (1) d
529,60 (15)	1,3 (2)	Y	Br-87	55,65 (13) s
529,64 (1)	1,200 (17)	Y	Br-83	2,40 (2) h
529,825 (4)	9,4 (4)	Y	Ho-166m	1 200 (180) a
529,870 9 (30)	86,3 (2)	Y	I-133	20,87 (8) h
529,9 (1)	0,007 (4)	Y	Ac-225	10,0 (1) d
530,07 (7)	0,252 (16)	Y	Xe-138	14,08 (8) min
530,1 (1)	0,19 (4)	Y	Sr-94	1,235 (5) min
530,173 (30)	0,016 (2)	Y	Ir-194	19,3 (1) h
530,4 (3)	0,095 (10)	Y	Ca-47	4,536 (2) d
530,5 (1)	15,6 (12)	Y	Tc-104	18,3 (3) min

* : Radionucléide en équilibre avec son descendant
(Cf. liste en début de volume)

Énergie (keV)	Intensité (%)	Type	Parent	Période
530,5 (2)	0,11 (6)	Y	Te-131m*	1,25 (8) d
530,8 (4)	0,032 (15)	Y	I-135	6,57 (2) h
531,034 (3)	12,7 (3)	Y	Nd-147	10,98 (1) d
531,06 (9)	0,002 6 (2)	Y	Ru-97	2,9 (1) d
531,3 (3)	0,046 4 (12)	Y	Ge-77	11,30 (1) h
531,3 (1)	0,004 4 (11)	Y	Ac-225	10,0 (1) d
531,40 (15)	0,054 4 (7)	Y	Sm-153	1,92855 (5) d
531,42 (5)	1,00 (4)	Y	Tc-101	14,2 (1) min
531,8 (4)	0,004 2	Y	Th-233	22,15 (15) min
531,83 (5)	0,088 (7)	Y	Te-129	1,160 (5) h
532,02 (5)	0,083 (7)	Y	Os-193	1,2546 (4) d
532,03 (7)	5,4 (4)	Y	Br-87	55,65 (13) s
532,40 (5)	0,88 (7)	Y	Te-133m	55,4 (4) min
532,49 (10)	0,18	Y	I-137	24,5 (2) s
532,5 (2)	0,034 (5)	Y	Pm-151	1,183 (2) d
532,86 (10)	0,002 2 (2)	Y	U-239	23,46 (4) min
533,0 (4)	0,044 (18)	Y	Tl-200	1,088 (5) d
533,1	0,007 (2)	Y	Eu-154	8,601 (4) a
533,1	0,004 (3)	Y	Eu-154	8,601 (4) a
533,1 (1)	0,002 1 (5)	Y	Fr-223	22,00 (7) min
533,2 (2)	0,029 4 (5)	Y	Sm-153	1,92855 (5) d
533,57 (7)	0,397 (19)	Y	Mo-101	14,6 (1) min
533,66 (2)	0,182 (6)	Y	Pb-214	26,8 (9) min
533,7 (4)	0,001 4 (5)	Y	Ba-131	11,50 (6) d
533,9 (1)	0,077 (5)	Y	Sr-91*	9,63 (5) h
534,0 (6)	0,015 (6)	Y	Xe-138	14,08 (8) min
534,1 (1)	0,082	Y	Pa-234	6,70 (5) h
534,245 (7)	0,036 8 (19)	Y	Eu-152	13,522 (16) a
534,34 (9)	0,12 (4)	Y	Fr-227	2,47 (3) min
534,6 (4)	0,000 10 (3)	Y	Th-227	18,718 (5) d
534,80 (6)	1,35 (23)	Y	Cs-143	1,791 (7) s
534,88 (4)	1,05 (13)	Y	Te-133m	55,4 (4) min
534,99 (14)	0,001 1 (6)	Y	Ge-77	11,30 (1) h
535,1 (1)	14,7 (12)	Y	Tc-104	18,3 (3) min
535,4 (4)	0,006 0 (16)	Y	Eu-152	13,522 (16) a
535,5 (4)	0,523 (49)	Y	I-132	2,295 (13) h
535,8 (5)	0,000 60 (11)	Y	Pa-231	32 760 (110) a
536,0 (6)	0,035 (12)	Y	In-116m	54,29 (17) min
536,674 (15)	3,30 (16)	Y	Re-184m	169 (8) d
536,730 (12)	0,001 60 (5)	Y	Gd-159	18,479 (7) h
536,77 (4)	0,061 (8)	Y	Bi-214	19,9 (4) min
536,9 (1)	0,001 07 (17)	Y	Th-227	18,718 (5) d
537,15 (8)	0,005 4 (14)	Y	Fr-223	22,00 (7) min
537,2 (1)	0,082	Y	Pa-234	6,70 (5) h
537,303 (6)	24,39 (22)	Y	Ba-140	12,753 (4) d
537,542 (34)	0,035 (7)	Y	I-133	20,87 (8) h
537,60 (4)	2,1 (3)	Y	Rb-81*	4,25 (25) h
537,65 (11)	0,045 (7)	Y	Pm-151	1,183 (2) d
537,76 (13)	0,117 (17)	Y	Xe-138	14,08 (8) min
537,79 (15)	0,001 5 (5)	Y	Mo-99*	2,7479 (6) d
537,8 (8)	0,004 5 (8)	Y	Fr-221	4,79 (2) min
538,1 (1)	98 (3)	Y	Xe-132m	8,39 (11) E-3 s
538,1 (1)	0,002 1 (13)	Y	Ac-225	10,0 (1) d
538,11 (10)	0,000 7	Y	Np-236	155 (8) E+3 a
538,11 (10)	0,012 5 (15)	Y	Np-236m	22,5 (4) h
538,2 (1)	0,14 (5)	Y	Rb-81*	4,25 (25) h
538,2 (15)	0,006 (4)	Y	Rn-219	3,96 (1) s
538,29 (6)	0,004 2 (6)	Y	Eu-152	13,522 (16) a
538,41 (8)	0,019 6 (27)	Y	Pb-214	26,8 (9) min
538,5 (5)	0,006 6 (20)	Y	Kr-79	35,04 (10) h
538,54 (5)	0,378 8 (43)	Y	I-123	13,2234 (37) h
538,85 (20)	0,08	Y	I-137	24,5 (2) s
538,87 (5)	13,7 (16)	Y	Pt-191	2,802 (25) d
539,1 (2)	0,020 70 (21)	Y	Sm-153	1,92855 (5) d
539,220 (25)	0,327 (19)	Y	Re-184	38,0 (5) d
539,220 (25)	0,030 (2)	Y	Re-184m	169 (8) d
539,49 (4)	30,8 (25)	Y	Kr-90	32,32 (9) s
539,8 (8)	0,006 (2)	Y	Fr-223	22,00 (7) min
540,1 (5)	0,095 (13)	Y	Mo-101	14,6 (1) min
540,2 (3)	0,000 25 (13)	Y	Th-227	18,718 (5) d
540,3 (2)	0,28 (12)	Y	Te-133m	55,4 (4) min
540,52 (5)	0,005 6 (8)	Y	Dy-165	2,334 (6) h
540,55 (6)	0,086 (8)	Y	Eu-150	36,9 (9) a
540,66 (5)	0,083 (7)	Y	Pa-228	22 (1) h
540,76 (10)	0,026 (3)	Y	Ac-228	6,15 (2) h
540,8 (6)	0,022 (13)	Y	Xe-138	14,08 (8) min
540,825 (25)	7,63 (38)	Y	I-134	52,5 (2) min
540,96 (9)	0,261 (16)	Y	Pb-201	9,33 (3) h
541,2 (1)	0,208 (4)	Y	I-124	4,1760 (3) d
541,2 (6)	0,026 (18)	Y	Tl-200	1,088 (5) d

* : Radionucléide en équilibre avec son descendant
(Cf. liste en début de volume)

Énergie (keV)	Intensité (%)	Type	Parent	Période
541,22 (7)	0,060 (12)	Y	Mo-93m	6,85 (7) h
541,32 (10)	0,002 8 (2)	Y	U-239	23,46 (4) min
541,5 (2)	0,12 (8)	Y	Te-131m*	1,25 (8) d
541,6	0,083 (24)	Y	Ba-141	18,27 (7) min
541,64 (10)	0,37 (6)	Y	Pt-191	2,802 (25) d
541,8 (1)	0,012 (3)	Y	Nd-147	10,98 (1) d
541,9 (1)	0,003 6 (5)	Y	Ni-57	35,9 (3) h
541,9 (9)	0,06 (3)	Y	Kr-91	8,57 (4) s
542,02 (18)	0,000 130 (24)	Y	Se-75	119,79 (4) d
542,2 (5)	0,030 (13)	Y	Kr-89	3,17 (2) min
542,7 (6)	0,267 (9)	Y	Tc-104	18,3 (3) min
542,7 (2)	0,002 34 (10)	Y	Sm-153	1,92855 (5) d
542,97 (3)	0,134 (8)	Y	Eu-150	36,9 (9) a
543,0 (2)	0,088 (21)	Y	Bi-214	19,9 (4) min
543,5 (5)	0,12 (6)	Y	Te-133	12,45 (30) min
543,6 (10)	0,06 (3)	Y	Rb-90	2,70 (5) min
543,8 (1)	0,134	Y	Pa-234	6,70 (5) h
543,81 (7)	0,050 (9)	Y	Pb-214	26,8 (9) min
544,1 (5)	0,003 7 (3)	Y	Pa-234m	1,17 (3) min
544,48 (9)	0,003 5 (3)	Y	U-239	23,46 (4) min
544,5 (8)	0,061 (26)	Y	Tl-200	1,088 (5) d
544,55 (5)	0,018 (3)	Y	Ag-110m	249,78 (2) d
544,7 (2)	0,000 080 (22)	Y	Cd-115m	44,56 (24) d
544,85 (8)	0,42 (3)	Y	Te-131	25,0 (1) min
544,9 (3)	0,016 5 (20)	Y	Bi-213	45,59 (6) min
545,05 (6)	5,96 (16)	Y	Tc-101	14,2 (1) min
545,4 (4)	0,000 3 (2)	Y	Fr-223	22,00 (7) min
545,6	0,014 (2)	Y	Eu-154	8,601 (4) a
545,75 (15)	0,000 9 (1)	Y	Sm-153	1,92855 (5) d
545,834 (20)	0,162 (17)	Y	Dy-165	2,334 (6) h
545,96 (11)	0,41 (5)	Y	Kr-91	8,57 (4) s
546,16 (22)	0,000 001 5 (4)	Y	Yb-169	32,018 (5) d
546,28 (9)	0,003 5 (4)	Y	Ba-131	11,50 (6) d
546,29 (3)	0,51 (4)	Y	Te-133	12,45 (30) min
546,29 (9)	0,269 (16)	Y	Pb-201	9,33 (3) h
546,45 (2)	0,261 (19)	Y	Pa-228	22 (1) h
546,47 (5)	0,201 (13)	Y	Ac-228	6,15 (2) h
546,5 (5)	0,163 (23)	Y	Br-76	16,2 (2) h
546,557 (16)	7,15 (24)	Y	I-135	6,57 (2) h
546,7 (5)	0,000 87 (21)	Y	Pa-231	32 760 (110) a
546,9 (5)	0,030 (13)	Y	Kr-89	3,17 (2) min
547,001 (5)	10,76 (23)	Y	Cs-138	33,41 (18) min
547,1 (5)	0,001 0 (5)	Y	La-141	3,92 (3) h
547,2 (2)	1,14 (8)	Y	I-132	2,295 (13) h
547,20 (7)	0,24	Y	I-137	24,5 (2) s
547,35 (8)	0,009 2 (16)	Y	Eu-152m	9,3116 (13) h
547,6 (3)	0,034 (3)	Y	Bi-214	19,9 (4) min
547,84 (10)	1,14 (14)	Y	Xe-140	13,6 (1) s
547,99 (12)	0,001 9 (3)	Y	U-239	23,46 (4) min
548,74 (11)	0,021 (22)	Y	Pa-228	22 (1) h
548,89 (5)	0,023 (3)	Y	Ac-228	6,15 (2) h
549,02 (4)	0,75 (8)	Y	Xe-139	39,68 (14) s
549,05 (4)	0,42 (2)	Y	Rb-81*	4,25 (25) h
549,05 (4)	0,10 (4)	Y	Rb-81m	30,25 (25) min
549,25 (20)	0,049 (10)	Y	Nb-97	1,202 (12) h
549,76 (4)	0,115 (15)	Y	Rn-220	55,8 (3) s
550,249 (27)	0,036 (3)	Y	Tb-161	6,906 (19) d
550,39 (15)	0,002 2 (6)	Y	Ba-131	11,50 (6) d
550,7 (3)	0,016 (3)	Y	Pm-151	1,183 (2) d
550,9 (1)	4,9 (6)	Y	Y-94	18,7 (1) min
551,0 (2)	0,006 (3)	Y	Rb-81m	30,25 (25) min
551	0,097 (20)	Y	Ba-141	18,27 (7) min
551,152 (8)	0,004 9 (20)	Y	Ba-140	12,753 (4) d
551,20 (25)	0,009 2 (13)	Y	Rb-90	2,70 (5) min
551,20 (25)	0,86 (8)	Y	Rb-90m	4,30 (7) min
551,284 (22)	0,007 0 (8)	Y	Ga-66	9,49 (7) h
551,4 (4)	0,000 61 (15)	Y	Pd-109	13,7 (1) h
551,50 (5)	0,003 5 (5)	Y	Te-129	1,160 (5) h
551,52 (4)	5,08 (17)	Y	W-187	23,72 (6) h
551,9 (8)	0,005 5 (14)	Y	Bi-214	19,9 (4) min
551,98 (5)	0,001 39 (25)	Y	Te-129	1,160 (5) h
552,0 (1)	0,004 4 (11)	Y	Ac-225	10,0 (1) d
552,21 (8)	0,024	Y	Th-233	22,15 (15) min
552,3 (1)	0,003 3 (8)	Y	Fr-223	22,00 (7) min
552,4 (5)	0,000 23 (5)	Y	Th-227	18,718 (5) d
552,65 (2)	0,020 0 (11)	Y	Br-83	2,40 (2) h
552,65 (2)	16,0 (11)	Y	Rb-83	86,2 (1) d
552,7 (6)	0,000 33 (12)	Y	Rh-106	30,0 (2) s
553,2 (1)	0,23 (5)	Y	Cs-143	1,791 (7) s
553,2 (1)	0,033 (7)	Y	Eu-150	36,9 (9) a

* : Radionucléide en équilibre avec son descendant
(Cf. liste en début de volume)

Énergie (keV)	Intensité (%)	Type	Parent	Période
553,69 (11)	0,030 8 (11)	Y	Xe-125	16,9 (2) h
553,7 (2)	0,06 (2)	Y	Te-133	12,45 (30) min
553,7 (1)	0,044	Y	Pa-234	6,70 (5) h
553,8 (1)	0,30 (7)	Y	Tc-104	18,3 (3) min
554,2 (3)	0,016 (3)	Y	Pm-151	1,183 (2) d
554,28 (3)	0,004 5 (6)	Y	Ga-66	9,49 (7) h
554,348 (3)	70,6 (3)	Y	Br-82	1,4708 (13) d
554,37 (5)	5,1 (4)	Y	Kr-90	32,32 (9) s
554,483 (17)	0,000 4 (5)	Y	I-133	20,87 (8) h
554,52 (4)	0,000 087 (11)	Y	Cm-244	18,11 (3) a
554,6 (3)	0,045 (11)	Y	Pa-228	22 (1) h
554,61 (7)	3,36 (25)	Y	Pr-147	13,4 (4) min
554,66 (6)	0,017 (5)	Y	Eu-156	15,19 (8) d
554,9 (5)	0,003 5	Y	Th-233	22,15 (15) min
554,94 (10)	0,004 7 (1)	Y	Sm-153	1,92855 (5) d
555,0 (3)	1,8 (2)	Y	Sb-126	12,4 (1) d
555,0 (2)	0,11 (6)	Y	Te-133m	55,4 (4) min
555,12 (10)	0,046 (5)	Y	Ac-228	6,15 (2) h
555,15 (10)	3,0 (3)	Y	Fr-227	2,47 (3) min
555,5 (2)	0,147 (13)	Y	Cs-140	1,062 (5) min
555,57 (7)	1,94 (15)	Y	Kr-91	8,57 (4) s
555,57 (5)	62 (2)	Y	Sr-91*	9,63 (5) h
555,57 (5)	95,0 (3)	Y	Y-91m	49,71 (4) min
555,7 (1)	0,14 (2)	Y	Pa-228	22 (1) h
555,72 (7)	0,047 (4)	Y	Br-87	55,65 (13) s
555,95 (9)	0,117 (14)	Y	Xe-138	14,08 (8) min
556	0,003 2 (8)	Y	Os-193	1,2546 (4) d
556,05 (13)	0,002 9 (3)	Y	I-123	13,2234 (37) h
556,1 (2)	0,000 37 (15)	Y	Th-227	18,718 (5) d
556,194 (10)	0,020 (3)	Y	I-133	20,87 (8) h
556,3 (2)	0,001 6 (4)	Y	Fr-223	22,00 (7) min
556,56 (3)	0,017 7 (11)	Y	Eu-152	13,522 (16) a
556,65 (5)	0,12 (7)	Y	Te-129m	33,6 (1) d
556,7 (3)	0,096 (35)	Y	Tl-200	1,088 (5) d
556,87 (1)	0,031 7 (18)	Y	Ce-143	33,040 (7) h
556,90 (18)	0,000 035 (12)	Y	Se-75	119,79 (4) d
557 (1)	0,043 1 (4)	Y	Ge-77	11,30 (1) h
557,04 (2)	0,836 (27)	Y	Ru-103*	39,255 (8) d
557,13 (5)	0,006 1 (8)	Y	Ga-66	9,49 (7) h
557,15 (7)	5,0 (7)	Y	Xe-140	13,6 (1) s
557,3 (2)	0,161 (19)	Y	Kr-89	3,17 (2) min
557,3 (10)	0,000 7 (1)	Y	Pa-234m	1,17 (3) min
557,36 (8)	1,30 (13)	Y	Os-193	1,2546 (4) d
557,58 (5)	0,267 (5)	Y	Eu-154	8,601 (4) a
557,71 (10)	0,000 95 (9)	Y	Re-188	17,005 (4) h
557,91 (17)	0,004 4 (7)	Y	Eu-152	13,522 (16) a
558,0 (2)	0,093	Y	Pa-234	6,70 (5) h
558,02 (3)	16,1 (4)	Y	Ge-77	11,30 (1) h
558,1 (2)	0,002 4 (3)	Y	Pd-109	13,7 (1) h
558,43 (3)	0,03 (3)	Y	In-114	71,9 (4) s
558,43 (3)	4,15 (15)	Y	In-114m	49,51 (1) d
558,46 (17)	0,000 6 (2)	Y	U-239	23,46 (4) min
559,09 (5)	45 (2)	Y	As-76	1,0778 (20) d
559,09 (5)	74 (2)	Y	Br-76	16,2 (2) h
559,2 (2)	0,072	Y	Pa-234	6,70 (5) h
559,26 (8)	0,49 (5)	Y	Os-193	1,2546 (4) d
559,5 (1)	0,113 (22)	Y	Cs-143	1,791 (7) s
559,623 (6)	0,022 1 (6)	Y	Gd-159	18,479 (7) h
559,7 (4)	0,09 (2)	Y	I-132	2,295 (13) h
560	0,002 8 (8)	Y	Os-193	1,2546 (4) d
560,05 (6)	0,006 1 (6)	Y	Te-129	1,160 (5) h
560,3 (3)	0,069 (8)	Y	Mo-101	14,6 (1) min
560,34 (4)	0,032 (2)	Y	Ru-97	2,9 (1) d
560,63 (7)	0,005 7 (3)	Y	U-239	23,46 (4) min
561,02 (10)	0,000 15 (4)	Y	Cm-242	162,86 (8) d
561,1 (1)	2,39 (20)	Y	Y-92	3,54 (2) h
561,1 (1)	99,7 (1)	Y	Nb-92	35 (3) E+6 a
561,1 (1)	0,002 2 (22)	Y	Nb-92m	10,15 (2) d
561,2 (5)	0,001 08 (21)	Y	Eu-152	13,522 (16) a
561,6 (3)	0,29 (6)	Y	Xe-140	13,6 (1) s
561,7	0,19 (3)	Y	Ba-141	18,27 (7) min
561,8 (6)	0,001 0 (5)	Y	La-141	3,92 (3) h
561,88 (2)	0,015 (3)	Y	Nb-95	34,991 (6) d
562,08 (21)	0,050 (7)	Y	Rb-89	15,2 (1) min
562,1 (3)	0,019 (4)	Y	Pm-151	1,183 (2) d
562,16 (5)	0,008 5 (10)	Y	Rb-83	86,2 (1) d
562,241 (10)	0,006 6 (8)	Y	Ga-66	9,49 (7) h
562,3 (12)	0,005 (5)	Y	Fr-221	4,79 (2) min
562,413 (12)	0,000 14 (4)	Y	Yb-169	32,018 (5) d
562,500 (8)	0,87 (3)	Y	Ac-228	6,15 (2) h

* : Radionucléide en équilibre avec son descendant
(Cf. liste en début de volume)

Énergie (keV)	Intensité (%)	Type	Parent	Période
562,5 (4)	0,134 (11)	γ	Pa-228	22 (1) h
562,79 (12)	0,001 15 (7)	γ	I-123	13,2234 (37) h
562,8 (3)	0,036	γ	Pa-234	6,70 (5) h
562,81 (10)	0,032 (8)	γ	Pb-201	9,33 (3) h
562,87 (13)	0,003 6 (5)	γ	Ba-131	11,50 (6) d
562,93 (2)	0,038 (13)	γ	Eu-152	13,522 (16) a
562,93 (2)	0,220 (25)	γ	Eu-152m	9,3116 (13) h
562,93 (8)	0,07	γ	Th-233	22,15 (15) min
563,0 (2)	0,016 (5)	γ	Sn-125	9,64 (3) d
563,197 (18)	3,7 (2)	γ	Pa-232	1,31 (2) d
563,20 (5)	3,6 (6)	γ	Br-76	16,2 (2) h
563,2	0,000 10 (3)	γ	Pu-236	2,87 (1) a
563,23 (5)	1,20 (9)	γ	As-76	1,0778 (20) d
563,23 (2)	8,38 (3)	γ	Cs-134	2,0651 (6) a
563,4	0,002 8 (7)	γ	Eu-154	8,601 (4) a
563,7 (15)	0,001 6 (16)	γ	Rn-219	3,96 (1) s
563,990 (7)	0,457 (13)	γ	Eu-152	13,522 (16) a
564,09 (5)	70,55 (35)	γ	Sb-122	2,70 (1) d
564,09 (20)	0,000 4 (2)	γ	U-239	23,46 (4) min
564,1 (3)	1,0 (5)	γ	Bi-215	7,6 (2) min
564,62 (19)	0,012 (5)	γ	W-187	23,72 (6) h
565,00 (4)	0,353 (25)	γ	Pm-151	1,183 (2) d
565,1 (10)	0,035 (18)	γ	Tl-200	1,088 (5) d
565,19 (8)	0,207 (23)	γ	Kr-90	32,32 (9) s
565,2 (1)	1,03	γ	Pa-234	6,70 (5) h
565,3 (5)	0,07 (3)	γ	Te-133m	55,4 (4) min
565,4 (3)	0,09 (3)	γ	Xe-139	39,68 (14) s
565,4 (1)	0,001 4 (3)	γ	Th-227	18,718 (5) d
565,5 (3)	0,089 (3)	γ	Tc-104	18,3 (3) min
565,52 (4)	0,94 (7)	γ	I-134	52,5 (2) min
565,718 (20)	0,20 (7)	γ	Dy-165	2,334 (6) h
565,73 (10)	0,11	γ	I-137	24,5 (2) s
565,99 (2)	18,6 (6)	γ	Te-134	41,8 (8) min
566,34 (6)	25,30 (15)	γ	Np-240	61,9 (2) min
566,442 (5)	0,131 (4)	γ	Eu-152	13,522 (16) a
566,62 (5)	0,82 (4)	γ	Mo-101	14,6 (1) min
567,1 (4)	0,003 (3)	γ	I-133	20,87 (8) h
567,32 (8)	0,10 (2)	γ	Te-131	25,0 (1) min
567,4 (4)	0,041 (13)	γ	In-116m	54,29 (17) min
567,88 (18)	0,000 4 (1)	γ	U-239	23,46 (4) min
567,97 (13)	0,001 6 (1)	γ	Ru-103*	39,255 (8) d
568,1 (5)	0,10 (5)	γ	Xe-140	13,6 (1) s
568,5 (3)	0,001 2 (4)	γ	Fr-221	4,79 (2) min
568,53 (6)	0,306 (19)	γ	Xe-138	14,08 (8) min
568,81 (8)	0,053 (7)	γ	Pt-191	2,802 (25) d
568,84 (5)	58,0 (3)	γ	Nb-96	23,35 (5) h
568,90 (4)	0,50 (3)	γ	Rb-81*	4,25 (25) h
568,9 (2)	3,6	γ	Pa-234	6,70 (5) h
568,99 (7)	0,051 (11)	γ	Fr-223	22,00 (7) min
569,00 (19)	0,20 (3)	γ	Kr-91	8,57 (4) s
569,1 (3)	0,000 58 (9)	γ	Th-227	18,718 (5) d
569,20 (5)	0,60 (5)	γ	Kr-90	32,32 (9) s
569,22 (12)	0,078 7 (18)	γ	Ge-77	11,30 (1) h
569,23	0,010 0 (8)	γ	Eu-154	8,601 (4) a
569,29 (4)	0,889 (39)	γ	Ru-97	2,9 (1) d
569,32 (2)	15,39 (5)	γ	Cs-134	2,0651 (6) a
569,4 (6)	0,000 38 (12)	γ	Rh-106	30,0 (2) s
569,5 (1)	8,2	γ	Pa-234	6,70 (5) h
569,6 (8)	0,06 (2)	γ	Te-133	12,45 (30) min
569,62 (12)	0,001 59 (20)	γ	Tl-207	4,77 (2) min
569,64 (22)	0,15 (7)	γ	Xe-139	39,68 (14) s
569,65 (10)	0,545 (21)	γ	Po-211	516 (3) E-3 s
569,698 (2)	97,76 (3)	γ	Bi-207	32,9 (14) a
569,91 (9)	0,005 1 (18)	γ	Ce-143	33,040 (7) h
569,94 (4)	0,015 (2)	γ	Co-57	271,80 (5) d
570,51 (7)	0,24	γ	I-137	24,5 (2) s
570,57 (7)	0,062 (8)	γ	Kr-88	2,84 (3) h
570,70 (7)	1,6 (3)	γ	Cs-143	1,791 (7) s
570,75 (15)	0,34 (8)	γ	I-134	52,5 (2) min
570,8 (4)	0,006 9 (6)	γ	Au-196	6,183 (10) d
570,815 (12)	0,182 (24)	γ	Ac-228	6,15 (2) h
570,88 (4)	0,310 (23)	γ	Pa-228	22 (1) h
570,89 (3)	0,000 127 (26)	γ	Yb-169	32,018 (5) d
570,9 (7)	0,11 (6)	γ	Xe-140	13,6 (1) s
570,995 (5)	5,43 (20)	γ	Ho-166m	1 200 (180) a
571,0 (1)	0,004 4 (11)	γ	Ac-225	10,0 (1) d
571,1 (6)	0,005 5 (8)	γ	Kr-79	35,04 (10) h
571,259 (15)	0,42 (31)	γ	Eu-150	36,9 (9) a
571,4 (5)	0,44 (23)	γ	Br-76	16,2 (2) h
571,5 (1)	0,139 (11)	γ	As-76	1,0778 (20) d

* : Radionucléide en équilibre avec son descendant
(Cf. liste en début de volume)

Énergie (keV)	Intensité (%)	Type	Parent	Période
571,62 (17)	0,177 (12)	Y	Mo-101	14,6 (1) min
571,8 (2)	0,019 (4)	Y	Sm-155	22,3 (2) min
571,8 (5)	0,000 53 (11)	Y	Pa-231	32 760 (110) a
571,83 (8)	0,004 8 (8)	Y	Eu-152	13,522 (16) a
572 (1)	0,025 (15)	Y	Te-133	12,45 (30) min
572 (1)	0,000 9 (1)	Y	Pa-234m	1,17 (3) min
572,14 (8)	0,150 (16)	Y	Ac-228	6,15 (2) h
572,22 (24)	0,035 6 (5)	Y	Se-75	119,79 (4) d
572,3	0,26 (3)	Y	Ba-141	18,27 (7) min
572,30 (2)	0,54 (4)	Y	Pa-228	22 (1) h
572,5 (4)	0,06 (2)	Y	I-132	2,295 (13) h
572,5 (2)	0,052 (12)	Y	Pm-151	1,183 (2) d
572,686 (15)	0,156 3 (16)	Y	Ba-131	11,50 (6) d
572,7 (5)	0,15 (6)	Y	Xe-140	13,6 (1) s
572,71 (17)	0,095 (25)	Y	Fr-227	2,47 (3) min
572,76 (6)	0,050 (11)	Y	Mo-93m	6,85 (7) h
572,76 (7)	0,071 (8)	Y	Bi-214	19,9 (4) min
572,8 (2)	0,017 3 (13)	Y	Ag-110m	249,78 (2) d
573,139 (11)	80,3 (25)	Y	Te-121	19,16 (5) d
573,2 (2)	0,029 (7)	Y	Pm-151	1,183 (2) d
573,27 (6)	0,073 (8)	Y	Kr-88	2,84 (3) h
573,32 (9)	0,005 (1)	Y	Xe-135	9,14 (2) h
573,33 (10)	0,019 4 (21)	Y	Os-193	1,2546 (4) d
573,7 (4)	0,042	Y	Th-233	22,15 (15) min
573,8 (2)	6,7 (3)	Y	Sb-126	12,4 (1) d
573,84 (10)	0,46 (4)	Y	Fr-227	2,47 (3) min
573,9 (2)	0,033 (3)	Y	Zn-69m	13,76 (2) h
573,94 (20)	0,000 001 28 (5)	Y	Am-241	432,6 (6) a
574,1 (3)	0,000 16 (5)	Y	Sm-153	1,92855 (5) d
574,11 (3)	1,2 (1)	Y	Te-133m	55,4 (4) min
574,93 (6)	0,034 (7)	Y	Te-131	25,0 (1) min
574,97 (7)	0,117 (11)	Y	Pm-151	1,183 (2) d
575,1 (10)	0,002 9 (12)	Y	Pm-151	1,183 (2) d
575,27 (5)	0,012 3 (3)	Y	U-239	23,46 (4) min
575,30 (5)	0,068 (6)	Y	As-76	1,0778 (20) d
575,5 (1)	0,027	Y	Pa-234	6,70 (5) h
575,51 (8)	0,031 (8)	Y	Eu-150	36,9 (9) a
575,558 (20)	0,079 (8)	Y	Dy-165	2,334 (6) h
575,7 (4)	0,021 (8)	Y	Cs-138	33,41 (18) min
575,8 (2)	0,003 9 (17)	Y	In-114	71,9 (4) s
575,97 (8)	0,129 (24)	Y	I-135	6,57 (2) h
576,0 (2)	0,000 32 (19)	Y	Th-227	18,718 (5) d
576,01 (7)	0,53	Y	I-137	24,5 (2) s
576,1 (4)	0,001 2 (4)	Y	Fr-223	22,00 (7) min
576,31 (8)	0,006 6 (11)	Y	W-187	23,72 (6) h
576,46 (8)	0,118 (15)	Y	Pt-191	2,802 (25) d
576,9 (4)	0,003 0 (6)	Y	Fr-221	4,79 (2) min
576,96 (10)	5,7 (5)	Y	Kr-89	3,17 (2) min
577,1 (3)	0,055 (17)	Y	Kr-90	32,32 (9) s
577,15 (14)	0,001 3 (3)	Y	U-239	23,46 (4) min
577,91 (6)	8,0 (6)	Y	Pr-147	13,4 (4) min
578,22 (7)	0,4	Y	I-137	24,5 (2) s
578,26 (20)	0,001 26 (8)	Y	I-123	13,2234 (37) h
578,3 (2)	0,008 8 (7)	Y	Rh-106	30,0 (2) s
578,52 (13)	0,033 5 (17)	Y	Ga-68	1,1275 (10) h
578,540 (19)	0,059 (6)	Y	Ga-66	9,49 (7) h
578,75 (20)	0,003 4 (5)	Y	Sm-153	1,92855 (5) d
579,0 (2)	0,000 4 (3)	Y	Th-227	18,718 (5) d
579,04 (14)	0,024 (10)	Y	Kr-88	2,84 (3) h
579,28 (9)	13,8 (7)	Y	Tl-200	1,088 (5) d
579,4 (1)	0,056 (9)	Y	Xe-139	39,68 (14) s
579,68 (14)	0,076 (13)	Y	Xe-138	14,08 (8) min
579,854 (5)	0,002 04 (16)	Y	Yb-169	32,018 (5) d
580,13 (3)	0,369 (6)	Y	Pb-214	26,8 (9) min
580,5 (3)	0,001 0 (2)	Y	Bi-212	60,54 (6) min
580,51 (5)	0,003 6 (4)	Y	Mo-99*	2,7479 (6) d
580,6 (1)	0,000 4 (4)	Y	Kr-85m	4,480 (8) h
580,808 (6)	0,069 3 (7)	Y	Gd-159	18,479 (7) h
581,1 (5)	0,001 1 (5)	Y	La-141	3,92 (3) h
581,1 (6)	0,004 5 (14)	Y	Pm-151	1,183 (2) d
581,2 (4)	0,27 (9)	Y	Tc-104	18,3 (3) min
581,30 (12)	0,000 10 (5)	Y	Mo-99*	2,7479 (6) d
581,3 (4)	0,001 5 (5)	Y	Fr-223	22,00 (7) min
581,38 (15)	0,50 (12)	Y	Te-133m	55,4 (4) min
581,398 (20)	6,0 (3)	Y	Pa-232	1,31 (2) d
581,4 (4)	0,125 (14)	Y	Pr-147	13,4 (4) min
581,7 (1)	0,000 012 (5)	Y	U-234	245,5 (6) E+3 a
582 (1)	0,108 (3)	Y	W-187	23,72 (6) h
582,01 (5)	0,886 (11)	Y	Eu-154	8,601 (4) a
582,3 (2)	0,035 (10)	Y	Kr-87	1,272 (8) h

* : Radionucléide en équilibre avec son descendant
(Cf. liste en début de volume)

Énergie (keV)	Intensité (%)	Type	Parent	Période
582,54 (3)	0,782 (18)	Y	Ge-77	11,30 (1) h
582,89	0,000 001 01 (6)	Y	Am-241	432,6 (6) a
582,9 (9)	0,080 (13)	Y	Mo-101	14,6 (1) min
583 (1)	0,004 4 (4)	Y	Pa-231	32 760 (110) a
583,1 (2)	0,026 (4)	Y	Pm-151	1,183 (2) d
583,187 (2)	85,0 (3)	Y	Tl-208	3,060 (8) min
583,4 (1)	0,34 (4)	Y	Pa-228	22 (1) h
583,41 (5)	0,111 (10)	Y	Ac-228	6,15 (2) h
583,6 (5)	0,09 (3)	Y	Br-87	55,65 (13) s
583,61 (8)	0,076 (10)	Y	Pt-191	2,802 (25) d
583,9 (1)	0,37 (8)	Y	Np-240	61,9 (2) min
584,0 (3)	0,62 (10)	Y	Tc-104	18,3 (3) min
584,1 (1)	0,18	Y	Pa-234	6,70 (5) h
584,274 (12)	52,6 (22)	Y	Eu-150	36,9 (9) a
584,55 (20)	0,001 07 (3)	Y	Sm-153	1,92855 (5) d
584,55 (5)	3,6 (3)	Y	Pb-201	9,33 (3) h
584,7 (3)	0,014 (14)	Y	Pa-228	22 (1) h
584,9 (4)	0,008 5 (17)	Y	Pm-151	1,183 (2) d
585,041 (15)	1,193 (15)	Y	Ba-131	11,50 (6) d
585,1 (3)	0,20 (6)	Y	Tc-104	18,3 (3) min
585,49 (14)	0,001 2 (2)	Y	U-239	23,46 (4) min
585,6 (1)	0,045 (8)	Y	Xe-139	39,68 (14) s
585,80 (5)	29,5 (22)	Y	Fr-227	2,47 (3) min
585,8 (1)	0,000 9 (3)	Y	Th-227	18,718 (5) d
585,86 (20)	0,051 (9)	Y	Kr-90	32,32 (9) s
585,90 (6)	0,047 (4)	Y	Eu-156	15,19 (8) d
586,0 (4)	0,019 (7)	Y	Xe-138	14,08 (8) min
586,03 (4)	16,7 (15)	Y	Kr-89	3,17 (2) min
586,265 (3)	0,462 (4)	Y	Eu-152	13,522 (16) a
586,265 (3)	0,012 7 (22)	Y	Eu-152m	9,3116 (13) h
586,29 (5)	2,2 (2)	Y	Te-131m*	1,25 (8) d
586,3 (1)	0,072	Y	Pa-234	6,70 (5) h
586,4 (3)	0,28 (11)	Y	Te-133m	55,4 (4) min
586,5 (2)	0,000 001 24 (5)	Y	Am-241	432,6 (6) a
586,71 (4)	0,62 (2)	Y	Te-133	12,45 (30) min
587,20 (2)	0,267 (4)	Y	Ce-143	33,040 (7) h
587,44 (24)	0,121 (7)	Y	Ga-72	14,10 (2) h
587,6 (4)	0,10 (2)	Y	Te-133	12,45 (30) min
587,60 (25)	0,000 48 (4)	Y	Sm-153	1,92855 (5) d
587,63 (5)	0,018 8 (3)	Y	U-239	23,46 (4) min
587,8 (2)	0,06 (2)	Y	Tl-208	3,060 (8) min
587,95 (8)	0,136 (18)	Y	Pt-191	2,802 (25) d
588 (1)	0,17 (6)	Y	Y-94	18,7 (1) min
588,1 (2)	0,000 75 (24)	Y	Fr-223	22,00 (7) min
588,2 (5)	0,040 (21)	Y	Xe-140	13,6 (1) s
588,22 (7)	0,90 (8)	Y	Kr-91	8,57 (4) s
588,28 (6)	0,052 (15)	Y	I-135	6,57 (2) h
588,57 (5)	0,003 3 (5)	Y	Dy-165	2,334 (6) h
588,581 0 (7)	4,517 (22)	Y	Ir-192	73,827 (13) d
588,70 (8)	0,005 3 (3)	Y	U-239	23,46 (4) min
588,8	0,124 (21)	Y	Ba-141	18,27 (7) min
588,825 (18)	56 (6)	Y	I-138	6,49 (7) s
588,84 (8)	0,123 (11)	Y	Xe-138	14,08 (8) min
588,95 (6)	0,122 (5)	Y	W-187	23,72 (6) h
589,0 (6)	0,000 058 (15)	Y	Th-227	18,718 (5) d
589,179 (17)	0,140 (18)	Y	Ir-194	19,3 (1) h
589,35 (4)	0,040 (5)	Y	Nd-147	10,98 (1) d
589,8 (4)	0,084 (11)	Y	Xe-139	39,68 (14) s
589,8 (7)	0,42 (9)	Y	Pm-146	5,53 (5) a
589,9 (6)	0,001 0 (5)	Y	La-141	3,92 (3) h
590,10 (19)	20,3 (9)	Y	Mo-101	14,6 (1) min
590,28 (15)	0,000 002 80 (5)	Y	Am-241	432,6 (6) a
590,3 (1)	0,113 (18)	Y	Cs-143	1,791 (7) s
590,3 (10)	0,036	Y	Pa-234	6,70 (5) h
590,422	0,017 (3)	Y	Ac-228	6,15 (2) h
590,65 (11)	0,038 (5)	Y	Pa-228	22 (1) h
590,71 (11)	0,032 (5)	Y	Eu-150	36,9 (9) a
590,96 (20)	0,001 22 (9)	Y	Sm-153	1,92855 (5) d
591,1 (6)	0,07 (3)	Y	I-132	2,295 (13) h
591,24 (5)	0,94 (9)	Y	Nb-96	23,35 (5) h
591,65 (13)	0,29 (6)	Y	Tl-200	1,088 (5) d
591,755 (3)	4,95 (5)	Y	Eu-154	8,601 (4) a
591,82 (19)	0,000 9 (4)	Y	U-239	23,46 (4) min
592,074 (4)	1,32 (6)	Y	Os-185	93,6 (5) d
592,30 (15)	0,003 (1)	Y	Fr-223	22,00 (7) min
592,4 (2)	0,09 (5)	Y	I-124	4,1760 (3) d
593,0 (2)	7,5 (5)	Y	Sb-126	12,4 (1) d
593,0 (2)	0,17 (3)	Y	Te-133	12,45 (30) min
593,1 (1)	0,094 (5)	Y	Sr-91*	9,63 (5) h
593,1 (2)	0,012 0 (7)	Y	At-217	32,30 (40) E-3 s

* : Radionucléide en équilibre avec son descendant
(Cf. liste en début de volume)

Énergie (keV)	Intensité (%)	Type	Parent	Période
593,23 (3)	1,29 (10)	Y	Rb-91	58,4 (4) s
593,25 (14)	0,31 (8)	Y	Nb-96	23,35 (5) h
593,40 (8)	11,1 (3)	Y	K-43	22,2 (1) h
593,4 (1)	0,002 3 (2)	Y	Te-127m	107 (4) d
593,49 (13)	0,042 1 (17)	Y	Ir-192	73,827 (13) d
593,6 (4)	0,010 1 (21)	Y	Pm-151	1,183 (2) d
594,2 (1)	0,001 7 (9)	Y	Ac-225	10,0 (1) d
594,291 (19)	0,062 (8)	Y	Ir-194	19,3 (1) h
594,417 (6)	0,58 (6)	Y	Ho-166m	1 200 (180) a
594,5 (4)	0,001 (1)	Y	Ce-143	33,040 (7) h
594,5 (3)	0,008	Y	Np-236	155 (8) E+3 a
594,70 (6)	0,084 (10)	Y	Xe-137	3,818 (13) min
594,803 (30)	0,248 (10)	Y	Nd-147	10,98 (1) d
595,23 (7)	0,017 4 (15)	Y	Bi-214	19,9 (4) min
595,362 (20)	11,2 (6)	Y	I-134	52,5 (2) min
595,39 (6)	0,16	Y	Th-233	22,15 (15) min
595,4 (2)	0,093	Y	Pa-234	6,70 (5) h
595,43 (13)	0,28 (9)	Y	Xe-139	39,68 (14) s
595,61 (1)	0,003 1 (17)	Y	Eu-152	13,522 (16) a
596,0 (3)	0,025 (7)	Y	Rb-89	15,2 (1) min
596 (1)	0,000 010 1 (5)	Y	Th-227	18,718 (5) d
596,2 (4)	0,026 (10)	Y	Cs-138	33,41 (18) min
596,5 (3)	0,001 6 (5)	Y	Ba-131	11,50 (6) d
596,53 (4)	0,074 (16)	Y	Eu-150	36,9 (9) a
596,7 (2)	0,009 9 (8)	Y	Sm-153	1,92855 (5) d
596,76 (21)	0,071 (17)	Y	Fr-227	2,47 (3) min
596,9 (2)	0,000 99 (25)	Y	Fr-223	22,00 (7) min
596,9 (1)	0,2	Y	Pa-234	6,70 (5) h
597,34 (4)	0,000 053 (7)	Y	Cm-244	18,11 (3) a
597,44 (8)	0,000 007 29 (8)	Y	Am-241	432,6 (6) a
597,5	0,005 5 (3)	Y	Eu-154	8,601 (4) a
597,58 (9)	0,324 (24)	Y	Pb-201	9,33 (3) h
597,7 (1)	0,079 (10)	Y	Pm-151	1,183 (2) d
597,99 (5)	0,000 001 74 (6)	Y	Pu-239	24 100 (11) a
598 (1)	0,009 (5)	Y	Pm-151	1,183 (2) d
598,1 (3)	0,000 67 (32)	Y	Os-193	1,2546 (4) d
598,3 (3)	0,002 0 (1)	Y	Sm-153	1,92855 (5) d
598,3	0,006 2 (7)	Y	Eu-154	8,601 (4) a
598,43 (18)	0,071 (17)	Y	Fr-227	2,47 (3) min
598,54 (10)	0,002 0 (1)	Y	Sm-153	1,92855 (5) d
598,72 (20)	0,093 (5)	Y	Ra-223	11,43 (5) d
598,9 (2)	0,41 (17)	Y	Br-76	16,2 (2) h
598,9 (2)	0,000 63 (13)	Y	Th-227	18,718 (5) d
599,1 (7)	0,008 (4)	Y	Pm-151	1,183 (2) d
599,13 (15)	0,000 7 (2)	Y	U-239	23,46 (4) min
599,3 (2)	0,047	Y	Th-233	22,15 (15) min
599,4	0,27 (3)	Y	Ba-141	18,27 (7) min
599,41 (15)	0,003 9 (17)	Y	Ir-192	73,827 (13) d
599,47 (5)	2,08 (18)	Y	Eu-156	15,19 (8) d
599,52 (20)	0,088 (14)	Y	Kr-89	3,17 (2) min
599,69 (16)	0,002 66 (17)	Y	I-123	13,2234 (37) h
600,0 (6)	0,13 (3)	Y	I-132	2,295 (13) h
600,0 (6)	14,0 (22)	Y	I-132m	1,387 (15) h
600,0 (6)	97 (3)	Y	Xe-132m	8,39 (11) E-3 s
600	0,006 (4)	Y	Eu-154	8,601 (4) a
600,0 (5)	0,008 (4)	Y	Bi-214	19,9 (4) min
600,18 (6)	0,39 (1)	Y	Mn-52	5,595 (3) d
600,4 (5)	0,055 (16)	Y	Fr-227	2,47 (3) min
600,44 (15)	0,09 (1)	Y	Br-87	55,65 (13) s
600,57 (6)	18,4 (11)	Y	Np-240	61,9 (2) min
600,597 (2)	17,76 (18)	Y	Sb-125*	2,75855 (25) a
600,6 (6)	0,237 (28)	Y	Zr-97	16,90 (5) h
600,607 (8)	0,001 14 (7)	Y	Yb-169	32,018 (5) d
600,66 (5)	0,000 5	Y	Ra-226	1 600 (7) a
600,7 (3)	0,000 6 (2)	Y	Fr-223	22,00 (7) min
600,788 (21)	0,013 5 (14)	Y	Ga-66	9,49 (7) h
600,95 (3)	5,5 (1)	Y	Ga-72	14,10 (2) h
601,05 (7)	4,8	Y	I-137	24,5 (2) s
601,1 (1)	0,003 8 (10)	Y	Ac-225	10,0 (1) d
601,5 (2)	0,127 (18)	Y	Te-133m	55,4 (4) min
601,6 (1)	0,050 (15)	Y	Cs-143	1,791 (7) s
601,7 (3)	0,016 (17)	Y	Pa-228	22 (1) h
601,84 (7)	1,2 (7)	Y	Xe-139	39,68 (14) s
602,08 (8)	4,6 (4)	Y	Te-131	25,0 (1) min
602,08 (7)	0,3 (2)	Y	Te-131m*	1,25 (8) d
602,1 (2)	0,017 (6)	Y	Te-133m	55,4 (4) min
602,2 (1)	0,35 (7)	Y	Cs-143	1,791 (7) s
602,35 (3)	53 (3)	Y	Cs-140	1,062 (5) min
602,37 (14)	1,37 (14)	Y	Zr-97	16,90 (5) h
602,5 (1)	0,008 0 (6)	Y	Pd-109	13,7 (1) h

* : Radionucléide en équilibre avec son descendant
(Cf. liste en début de volume)

Énergie (keV)	Intensité (%)	Type	Parent	Période
602,60 (15)	0,045 (10)	Y	Rb-81*	4,25 (25) h
602,6 (1)	0,54	Y	Pa-234	6,70 (5) h
602,730 (3)	97,89 (5)	Y	Sb-124	60,20 (3) d
602,730 (3)	62,9 (6)	Y	I-124	4,1760 (3) d
602,79 (8)	0,004 7 (2)	Y	U-239	23,46 (4) min
602,81 (5)	0,003 3 (2)	Y	Eu-154	8,601 (4) a
602,85 (3)	2,84 (21)	Y	Rb-91	58,4 (4) s
602,98 (23)	0,093 (10)	Y	Mo-101	14,6 (1) min
603,0 (6)	0,011 (4)	Y	Pm-151	1,183 (2) d
603,08 (10)	0,011 (8)	Y	Ag-110m	249,78 (2) d
603,21 (13)	0,042 (11)	Y	Kr-88	2,84 (3) h
603,3 (1)	0,002 2 (11)	Y	Ac-225	10,0 (1) d
603,6 (4)	0,004 9 (6)	Y	Sm-153	1,92855 (5) d
603,8 (2)	0,011 (4)	Y	Sm-155	22,3 (2) min
604,0 (6)	0,008 1 (23)	Y	Pm-151	1,183 (2) d
604,03 (24)	0,004 9 (6)	Y	Sm-153	1,92855 (5) d
604,4 (3)	0,40 (3)	Y	Pr-147	13,4 (4) min
604,411 05 (25)	8,20 (4)	Y	Ir-192	73,827 (13) d
604,5 (3)	0,22 (8)	Y	Br-76	16,2 (2) h
604,6 (3)	0,052	Y	Pa-234	6,70 (5) h
604,69 (2)	97,63 (3)	Y	Cs-134	2,0651 (6) a
604,85 (6)	0,000 9 (3)	Y	U-239	23,46 (4) min
605,0 (5)	0,004 0 (17)	Y	Eu-152m	9,3116 (13) h
605,04 (10)	0,000 105 (30)	Y	Cm-242	162,86 (8) d
605,11 (4)	1,27 (9)	Y	Te-133m	55,4 (4) min
605,2 (6)	0,71 (18)	Y	Tc-104	18,3 (3) min
605,30 (7)	1,5 (3)	Y	Cs-143	1,791 (7) s
605,55 (5)	0,14 (2)	Y	Te-131	25,0 (1) min
605,9 (5)	0,010 (3)	Y	Pm-151	1,183 (2) d
606,03 (4)	0,000 008 1 (14)	Y	Cm-244	18,11 (3) a
606,09 (10)	8,1 (4)	Y	Kr-79	35,04 (10) h
606,1 (1)	1,62 (10)	Y	Np-240	61,9 (2) min
606,33 (2)	1,25 (7)	Y	Br-82	1,4708 (13) d
606,713 (3)	5,02 (5)	Y	Sb-125*	2,75855 (25) a
606,8 (3)	0,073 (19)	Y	Mo-101	14,6 (1) min
607,1 (5)	0,01 (1)	Y	Mg-28	20,91 (3) h
607,3 (8)	0,17 (11)	Y	Te-133m	55,4 (4) min
607,32 (3)	0,167 (7)	Y	Eu-150	36,9 (9) a
607,6 (3)	0,003 3 (17)	Y	Fr-223	22,00 (7) min
607,61 (8)	0,003 9 (6)	Y	Ir-194	19,3 (1) h
607,7 (3)	0,000 18 (4)	Y	Th-227	18,718 (5) d
607,96 (15)	0,001 3 (3)	Y	U-239	23,46 (4) min
608,05 (10)	2,2 (4)	Y	Xe-140	13,6 (1) s
608,185 (15)	2,90 (14)	Y	Xe-135	9,14 (2) h
608,3 (10)	0,004 3 (22)	Y	Rn-219	3,96 (1) s
608,34 (4)	1,02 (4)	Y	Mo-101	14,6 (1) min
608,45 (8)	0,27 (4)	Y	Rb-81*	4,25 (25) h
608,55 (5)	1,18 (10)	Y	Ti-51	5,76 (1) min
609	0,37 (5)	Y	Ba-141	18,27 (7) min
609 (1)	0,007 3 (3)	Y	Pa-231	32 760 (110) a
609,25 (10)	0,047 (5)	Y	Pm-151	1,183 (2) d
609,3 (1)	0,14 (5)	Y	Te-131m*	1,25 (8) d
609,31 (6)	0,124 (7)	Y	Rn-218	36,0 (19) E-3 s
609,312 (7)	45,49 (19)	Y	Bi-214	19,9 (4) min
609,32 (4)	0,056 (3)	Y	Ra-223	11,43 (5) d
609,38 (4)	0,043 (7)	Y	Pb-211	36,1 (2) min
609,5 (1)	0,155 (5)	Y	Ni-65	2,5172 (3) h
609,5 (1)	2,0 (3)	Y	Tc-104	18,3 (3) min
609,5 (3)	0,012 9 (4)	Y	Sm-153	1,92855 (5) d
609,8 (5)	0,04 (1)	Y	I-132	2,295 (13) h
609,9 (3)	2,0 (4)	Y	Sb-132	2,79 (5) min
609,95 (20)	0,012 9 (4)	Y	Sm-153	1,92855 (5) d
610,0 (8)	1,5 (3)	Y	I-132m	1,387 (15) h
610,0 (3)	0,085	Y	Th-233	22,15 (15) min
610,05 (23)	0,001 1 (3)	Y	I-123	13,2234 (37) h
610,2 (7)	0,018 (11)	Y	Kr-89	3,17 (2) min
610,29 (5)	0,005 3 (8)	Y	Dy-165	2,334 (6) h
610,33 (2)	5,64 (18)	Y	Ru-103*	39,255 (8) d
610,46 (7)	0,60 (6)	Y	Br-87	55,65 (13) s
610,58 (7)	0,023 (5)	Y	Ac-228	6,15 (2) h
610,96 (12)	0,061 4 (18)	Y	Ge-77	11,30 (1) h
611,3	0,018 (5)	Y	Ba-141	18,27 (7) min
611,5 (8)	0,24 (6)	Y	Br-87	55,65 (13) s
611,579 (6)	1,31 (21)	Y	Ho-166m	1 200 (180) a
611,6 (5)	0,133 (19)	Y	Mo-101	14,6 (1) min
611,93 (6)	0,88 (15)	Y	Cs-143	1,791 (7) s
612,0 (1)	0,38	Y	Pa-234	6,70 (5) h
612,02 (3)	0,080 (9)	Y	Ru-103*	39,255 (8) d
612,08 (13)	0,244 (35)	Y	Tl-200	1,088 (5) d
612,462 1 (3)	5,34 (8)	Y	Ir-192	73,827 (13) d

* : Radionucléide en équilibre avec son descendant
(Cf. liste en début de volume)

Énergie (keV)	Intensité (%)	Type	Parent	Période
612,69 (3)	0,15 (9)	Y	Eu-150	36,9 (9) a
612,82 (4)	5,7 (7)	Y	Xe-139	39,68 (14) s
612,87 (6)	7,7 (6)	Y	Kr-91	8,57 (4) s
612,9 (4)	0,002 2 (11)	Y	W-187	23,72 (6) h
613,26 (5)	0,093 (4)	Y	Eu-154	8,601 (4) a
613,493 (5)	0,29 (5)	Y	I-128	24,99 (2) min
613,52 (3)	0,32 (4)	Y	Te-133	12,45 (30) min
613,6 (3)	0,002 1 (8)	Y	Fr-223	22,00 (7) min
613,8 (3)	0,036	Y	I-137	24,5 (2) s
614,0 (8)	2,5 (8)	Y	I-132m	1,387 (15) h
614,1 (5)	0,000 097 (14)	Y	Yb-169	32,018 (5) d
614,2 (9)	0,05 (3)	Y	Br-87	55,65 (13) s
614,2 (1)	1,16 (10)	Y	Tc-104	18,3 (3) min
614,22 (3)	0,012 0 (13)	Y	Ce-143	33,040 (7) h
614,276 (4)	90,5 (16)	Y	Ag-108m	438 (9) a
614,38 (9)	0,211 (23)	Y	Kr-90	32,32 (9) s
614,39 (20)	0,60 (7)	Y	Ge-77	11,30 (1) h
614,5 (2)	0,325 (25)	Y	Pr-147	13,4 (4) min
614,53 (17)	0,000 6 (2)	Y	U-239	23,46 (4) min
614,89 (10)	0,10 (4)	Y	Kr-79	35,04 (10) h
615,16 (4)	0,081 (5)	Y	Eu-150	36,9 (9) a
615,17 (11)	0,233 (18)	Y	Hf-181	42,39 (6) d
615,44 (20)	0,044 6 (22)	Y	Eu-152m	9,3116 (13) h
615,51 (14)	0,000 50 (6)	Y	Sm-153	1,92855 (5) d
615,73 (10)	0,055 (7)	Y	Bi-214	19,9 (4) min
615,8 (4)	0,000 50 (6)	Y	Sm-153	1,92855 (5) d
615,93 (6)	0,094 (29)	Y	Ho-166m	1 200 (180) a
616,0 (1)	0,15 (11)	Y	Cs-143	1,791 (7) s
616,05 (3)	0,009 2 (6)	Y	Eu-152	13,522 (16) a
616,15 (5)	0,10 (1)	Y	Pa-228	22 (1) h
616,2 (1)	0,74 (3)	Y	Rh-106	30,0 (2) s
616,22 (3)	0,080 (5)	Y	Ac-228	6,15 (2) h
616,233 (18)	0,001 88 (8)	Y	Gd-159	18,479 (7) h
616,3 (1)	0,015 (4)	Y	Tc-101	14,2 (1) min
616,6 (1)	6,7 (7)	Y	Br-80	17,68 (2) min
616,9 (2)	0,037 (18)	Y	I-135	6,57 (2) h
617,0 (2)	0,027 (5)	Y	Bi-214	19,9 (4) min
617,0 (2)	0,052	Y	Pa-234	6,70 (5) h
617,1 (1)	0,000 001 35 (8)	Y	Pu-239	24 100 (11) a
617,22 (12)	0,000 007 9 (21)	Y	Cm-242	162,86 (8) d
617,31 (9)	0,053 (4)	Y	Tc-101	14,2 (1) min
617,494 (25)	80,5 (15)	Y	K-43	22,2 (1) h
617,5 (3)	0,12 (4)	Y	Br-87	55,65 (13) s
617,615 (8)	0,015 9 (5)	Y	Gd-159	18,479 (7) h
617,8 (4)	0,004 44 (12)	Y	Se-75	119,79 (4) d
617,8 (2)	0,017 (8)	Y	Pr-144m	7,2 (3) min
617,9 (3)	0,000 67 (6)	Y	Sm-153	1,92855 (5) d
617,978 (10)	0,539 (15)	Y	I-133	20,87 (8) h
618,03 (16)	0,000 7 (2)	Y	U-239	23,46 (4) min
618,12 (4)	0,041 (3)	Y	La-140	1,67850 (17) d
618,26 (4)	6,28 (22)	Y	W-187	23,72 (6) h
618,28 (6)	0,000 002 06 (8)	Y	Pu-239	24 100 (11) a
618,4 (3)	0,014 (1)	Y	Xe-127	36,4 (1) d
618,5 (1)	0,29 (11)	Y	Cs-143	1,791 (7) s
618,6 (3)	0,000 13 (2)	Y	Te-127	9,35 (10) h
618,66 (8)	0,025 0 (13)	Y	Hf-181	42,39 (6) d
618,7 (4)	0,009 (4)	Y	Pt-191	2,802 (25) d
618,86 (5)	0,245 (39)	Y	Ag-108	2,382 (11) min
619,0 (2)	0,036	Y	Pa-234	6,70 (5) h
619,01 (2)	0,000 060 (2)	Y	Am-241	432,6 (6) a
619,08 (5)	1,08 (9)	Y	Kr-90	32,32 (9) s
619,106 (4)	43,3 (3)	Y	Br-82	1,4708 (13) d
619,21 (6)	0,000 001 21 (8)	Y	Pu-239	24 100 (11) a
619,3 (4)	0,000 5 (3)	Y	Ag-111	7,45 (1) d
619,7 (5)	0,022 (13)	Y	Xe-138	14,08 (8) min
620,0 (2)	1,54 (19)	Y	Sb-126m	19,15 (8) min
620 (1)	0,03 (1)	Y	Te-133	12,45 (30) min
620,03 (5)	0,002 4 (6)	Y	Mo-99*	2,7479 (6) d
620,1 (1)	1,78 (7)	Y	Sr-91*	9,63 (5) h
620,1 (2)	0,9 (1)	Y	Sb-126	12,4 (1) d
620,111 (17)	1,437 (16)	Y	Ba-131	11,50 (6) d
620,26 (13)	0,011 (1)	Y	Ag-111	7,45 (1) d
620,27 (5)	0,131 (12)	Y	Pa-228	22 (1) h
620,355 3 (17)	2,72 (8)	Y	Ag-110m	249,78 (2) d
620,38 (5)	0,080 (5)	Y	Ac-228	6,15 (2) h
620,4 (3)	0,003 8 (6)	Y	Bi-212	60,54 (6) min
620,52	0,091 (5)	Y	Eu-154	8,601 (4) a
620,6 (2)	0,072 (8)	Y	Pm-151	1,183 (2) d
620,635 (20)	0,097 (10)	Y	Dy-165	2,334 (6) h
620,71 (30)	0,032	Y	I-137	24,5 (2) s

* : Radionucléide en équilibre avec son descendant
(Cf. liste en début de volume)

Énergie (keV)	Intensité (%)	Type	Parent	Période
620,90 (2)	0,39 (20)	Y	I-132	2,295 (13) h
621,2 (30)	1,6 (2)	Y	I-132	2,295 (13) h
621,29 (15)	0,009 6 (18)	Y	Ir-194	19,3 (1) h
621,3 (9)	0,04 (3)	Y	Kr-90	32,32 (9) s
621,3 (5)	0,50 (23)	Y	Te-133m	55,4 (4) min
621,4 (5)	0,000 058 (15)	Y	Th-227	18,718 (5) d
621,6 (6)	0,006 (2)	Y	Ag-111	7,45 (1) d
621,6 (3)	0,093 (20)	Y	Pa-228	22 (1) h
621,7 (1)	1,96 (13)	Y	Sr-94	1,235 (5) min
621,773 (24)	0,026 2 (10)	Y	Mo-99*	2,7479 (6) d
621,790 (25)	10,6 (6)	Y	I-134	52,5 (2) min
621,8 (1)	9,95 (18)	Y	Rh-106	30,0 (2) s
621,87 (3)	8 (1)	Y	Xe-140	13,6 (1) s
621,971 (19)	0,33 (5)	Y	Ir-194	19,3 (1) h
621,99 (12)	0,082 (6)	Y	Tc-101	14,2 (1) min
623,27 (20)	0,011 (3)	Y	Ac-228	6,15 (2) h
623,3 (2)	0,28 (12)	Y	Te-133m	55,4 (4) min
623,4	0,03 (1)	Y	Ra-223	11,43 (5) d
623,7 (2)	0,02 (2)	Y	Pa-228	22 (1) h
623,8 (3)	0,002 4 (5)	Y	Re-188	17,005 (4) h
623,8 (5)	0,000 16 (4)	Y	Th-227	18,718 (5) d
624,06 (6)	1,41 (16)	Y	Pt-191	2,802 (25) d
624,11 (7)	0,006 0 (2)	Y	U-239	23,46 (4) min
624,2 (3)	0,000 51 (16)	Y	Fr-223	22,00 (7) min
624,2 (1)	0,35	Y	Pa-234	6,70 (5) h
624,3 (7)	0,095 (12)	Y	Xe-139	39,68 (14) s
624,34 (5)	0,097 (7)	Y	Te-129	1,160 (5) h
624,57 (5)	0,079 8 (20)	Y	I-123	13,2234 (37) h
624,76 (9)	0,182 (5)	Y	Ge-77	11,30 (1) h
624,78 (10)	0,001 2 (2)	Y	Pr-144	17,29 (3) min
624,886 (4)	0,004 84 (27)	Y	Yb-169	32,018 (5) d
625,255 6 (24)	0,317 (5)	Y	Eu-154	8,601 (4) a
625,3 (6)	0,091 (13)	Y	Mo-101	14,6 (1) min
625,4	3,6 (3)	Y	Ba-141	18,27 (7) min
625,519 (10)	1,09 (4)	Y	W-187	23,72 (6) h
625,568 (20)	0,310 (12)	Y	Eu-150	36,9 (9) a
625,66 (7)	0,001 4 (1)	Y	Pa-234m	1,17 (3) min
626	0,022 (5)	Y	Eu-156	15,19 (8) d
626,2 (3)	0,012 (3)	Y	Rb-88	17,8 (1) min
626,2 (1)	0,60 (6)	Y	Kr-89	3,17 (2) min
626,258 (10)	0,214 (17)	Y	Ag-110m	249,78 (2) d
626,4 (6)	0,004 1 (14)	Y	Bi-214	19,9 (4) min
626,49 (8)	0,28 (3)	Y	Kr-90	32,32 (9) s
626,5	0,079 (35)	Y	Tl-200	1,088 (5) d
626,58 (6)	2,9 (5)	Y	Cs-143	1,791 (7) s
626,7	0,021 (5)	Y	Pa-228	22 (1) h
626,8 (1)	0,044 (4)	Y	Sr-91*	9,63 (5) h
626,89 (11)	0,95 (20)	Y	Xe-139	39,68 (14) s
627,00 (6)	0,435 (18)	Y	Tc-101	14,2 (1) min
627,0 (2)	0,22 (5)	Y	Tc-104	18,3 (3) min
627,23 (20)	0,014 (3)	Y	Ac-228	6,15 (2) h
627,3 (20)	0,98 (14)	Y	Xe-140	13,6 (1) s
627,5 (3)	0,152 (18)	Y	Cs-140	1,062 (5) min
627,5 (2)	0,217 (17)	Y	Pr-147	13,4 (4) min
627,96 (3)	2,20 (13)	Y	I-134	52,5 (2) min
628,1 (1)	0,24	Y	Pa-234	6,70 (5) h
628,26 (22)	0,001 64 (14)	Y	I-123	13,2234 (37) h
628,6 (3)	0,000 09 (2)	Y	Te-127m	107 (4) d
628,63 (13)	1,00 (8)	Y	Tl-200	1,088 (5) d
629,0 (1)	0,33 (12)	Y	Te-133m	55,4 (4) min
629,00 (11)	0,002 6 (3)	Y	U-239	23,46 (4) min
629,40 (5)	0,045 (5)	Y	Ac-228	6,15 (2) h
629,4 (2)	0,034 (6)	Y	Pa-228	22 (1) h
629,4 (1)	0,35	Y	Pa-234	6,70 (5) h
629,75 (20)	0,34 (4)	Y	Kr-89	3,17 (2) min
629,76 (8)	0,111 (17)	Y	Fr-227	2,47 (3) min
629,96 (4)	24,8 (5)	Y	Ga-72	14,10 (2) h
630,0 (3)	0,44 (18)	Y	Tc-104	18,3 (3) min
630,14 (7)	2,22 (18)	Y	Kr-91	8,57 (4) s
630,19 (2)	13,3 (4)	Y	I-132	2,295 (13) h
630,3 (1)	0,9 (5)	Y	Tc-104	18,3 (3) min
630,32 (3)	0,029 3 (6)	Y	Re-186	3,7186 (17) d
630,5 (4)	0,000 099 (15)	Y	Sm-153	1,92855 (5) d
630,62 (6)	0,033 (5)	Y	Ag-110m	249,78 (2) d
630,79 (7)	0,016 6 (14)	Y	Bi-214	19,9 (4) min
631,10 (3)	0,066 0 (3)	Y	U-239	23,46 (4) min
631,2 (2)	0,017 (5)	Y	Sm-155	22,3 (2) min
631,3 (1)	0,556 (21)	Y	Sr-91*	9,63 (5) h
631,5 (1)	0,40 (3)	Y	Pr-147	13,4 (4) min
631,74 (12)	0,040 (3)	Y	Tc-101	14,2 (1) min

* : Radionucléide en équilibre avec son descendant
(Cf. liste en début de volume)

Énergie (keV)	Intensité (%)	Type	Parent	Période
631,82 (3)	6,95 (18)	Y	Ge-77	11,30 (1) h
632,0 (4)	0,28 (12)	Y	Te-133m	55,4 (4) min
632 (1)	0,03 (1)	Y	Ra-223	11,43 (5) d
632,3 (7)	0,000 14 (3)	Y	Th-227	18,718 (5) d
632,4 (1)	0,111 (5)	Y	Sb-124	60,20 (3) d
632,6 (2)	0,036	Y	Pa-234	6,70 (5) h
632,65 (15)	0,002 1 (7)	Y	Fr-223	22,00 (7) min
632,79 (8)	0,039 (6)	Y	Eu-156	15,19 (8) d
632,8 (3)	0,001 1 (8)	Y	Eu-152m	9,3116 (13) h
632,93 (15)	0,000 001 24 (5)	Y	Am-241	432,6 (6) a
632,98 (5)	1,62 (26)	Y	Ag-108	2,382 (11) min
632,981 (21)	1,28 (10)	Y	Re-188	17,005 (4) h
633,14 (10)	0,055 (3)	Y	Bi-214	19,9 (4) min
633,15 (6)	0,000 002 55 (6)	Y	Pu-239	24 100 (11) a
633,18 (10)	0,024 (4)	Y	Pt-191	2,802 (25) d
633,25 (20)	2,15 (20)	Y	Pm-146	5,53 (5) a
633,32 (10)	0,000 007 0 (5)	Y	Yb-169	32,018 (5) d
633,4 (5)	0,002 5 (13)	Y	Xe-137	3,818 (13) min
633,415 (20)	0,57 (6)	Y	Dy-165	2,334 (6) h
633,46 (7)	0,27	Y	I-137	24,5 (2) s
633,5 (2)	0,20 (4)	Y	Np-240	61,9 (2) min
634,18 (10)	0,010 6 (21)	Y	Ac-228	6,15 (2) h
634,2 (1)	0,034 (7)	Y	Xe-139	39,68 (14) s
634,3 (2)	0,134	Y	Pa-234	6,70 (5) h
634,39 (3)	2,08 (5)	Y	Ge-77	11,30 (1) h
634,72 (21)	0,006 4 (23)	Y	Bi-214	19,9 (4) min
634,8 (3)	0,000 50 (3)	Y	Sm-153	1,92855 (5) d
634,98 (7)	0,148 (12)	Y	Re-188	17,005 (4) h
635,6 (2)	9,9 (10)	Y	Sb-132	2,79 (5) min
635,8 (2)	0,07 (3)	Y	Te-133	12,45 (30) min
635,82 (6)	0,232 2 (10)	Y	Xe-125	16,9 (2) h
635,950 (3)	11,32 (10)	Y	Sb-125*	2,75855 (25) a
636 (1)	0,074 (23)	Y	Br-76	16,2 (2) h
636 (1)	0,006 4 (7)	Y	Pt-191	2,802 (25) d
636,2	0,317 (25)	Y	Ba-141	18,27 (7) min
636,20 (3)	1,42 (11)	Y	Pm-151	1,183 (2) d
636,26 (10)	1,8 (3)	Y	Te-134	41,8 (8) min
636,3 (1)	0,010 0 (6)	Y	Pd-109	13,7 (1) h
636,39 (8)	0,16 (1)	Y	Br-87	55,65 (13) s
636,5 (4)	0,22 (12)	Y	Te-133m	55,4 (4) min
636,5 (2)	0,001 95 (7)	Y	Sm-153	1,92855 (5) d
636,989 (4)	7,26 (8)	Y	I-131*	8,0233 (19) d
637,80 (5)	0,000 001 92 (19)	Y	Pu-239	24 100 (11) a
637,826 (24)	0,022 (16)	Y	Eu-150	36,9 (9) a
637,97 (9)	0,43 (5)	Y	Pb-201	9,33 (3) h
638,03 (8)	0,000 97 (4)	Y	Sn-113*	115,09 (3) d
638,65 (13)	0,003 3 (11)	Y	W-187	23,72 (6) h
638,97 (18)	0,040 4 (12)	Y	Ge-77	11,30 (1) h
639,09 (10)	0,007 5 (12)	Y	Os-193	1,2546 (4) d
639,1 (10)	0,03 (1)	Y	In-116m	54,29 (17) min
639,18 (15)	1,32 (18)	Y	Xe-140	13,6 (1) s
639,4 (2)	0,26 (3)	Y	Br-80	17,68 (2) min
639,5 (10)	0,003 6 (14)	Y	As-76	1,0778 (20) d
639,67 (10)	0,034 (5)	Y	Bi-214	19,9 (4) min
639,7 (2)	0,9 (1)	Y	Sb-126	12,4 (1) d
639,72 (2)	0,008 8 (11)	Y	Ru-97	2,9 (1) d
639,86 (6)	0,094 3 (7)	Y	Ho-166m	1 200 (180) a
639,99 (10)	0,000 008 46 (20)	Y	Pu-239	24 100 (11) a
640,33 (5)	0,143 (12)	Y	Pa-228	22 (1) h
640,34 (3)	0,054 (5)	Y	Ac-228	6,15 (2) h
641 (1)	0,14 (4)	Y	Br-76	16,2 (2) h
641,0 (5)	0,000 019 (6)	Y	Th-227	18,718 (5) d
641,1 (5)	0,035 (14)	Y	W-187	23,72 (6) h
641,46 (5)	0,000 007 04 (7)	Y	Am-241	432,6 (6) a
641,48 (6)	9,5 (7)	Y	Pr-147	13,4 (4) min
641,5	0,40 (4)	Y	Ba-141	18,27 (7) min
641,77 (11)	0,071 (17)	Y	Fr-227	2,47 (3) min
641,915 (20)	1,94 (6)	Y	Re-184	38,0 (5) d
641,915 (20)	0,344 (20)	Y	Re-184m	169 (8) d
642,2 (4)	0,039 5	Y	I-132	2,295 (13) h
642,33 (9)	0,88 (12)	Y	Te-133m	55,4 (4) min
642,35 (9)	0,059	Y	Np-236	155 (8) E+3 a
642,35 (9)	1,08 (6)	Y	Np-236m	22,5 (4) h
642,35 (9)	0,000 012 6 (3)	Y	Pu-240	6 561 (7) a
642,4	0,004 4 (17)	Y	Eu-154	8,601 (4) a
642,4 (2)	0,028	Y	Th-233	22,15 (15) min
642,71 (7)	1,21 (5)	Y	Mo-101	14,6 (1) min
642,719 (5)	0,219 3 (28)	Y	I-131*	8,0233 (19) d
642,877 (9)	0,000 081 (5)	Y	Yb-169	32,018 (5) d
643,2 (2)	0,027	Y	Pa-234	6,70 (5) h

* : Radionucléide en équilibre avec son descendant
(Cf. liste en début de volume)

Énergie (keV)	Intensité (%)	Type	Parent	Période
643,5 (5)	0,037 (16)	Y	Cs-140	1,062 (5) min
643,6 (1)	0,11 (1)	Y	Rb-81m	30,25 (25) min
644,12 (14)	0,001 9 (4)	Y	U-239	23,46 (4) min
644,3 (3)	0,000 09 (4)	Y	Th-227	18,718 (5) d
644,37 (5)	0,006 3 (6)	Y	Eu-152	13,522 (16) a
644,51 (7)	0,144 (4)	Y	Ho-166m	1 200 (180) a
645	0,01 (1)	Y	Pa-232	1,31 (2) d
645	0,000 24 (8)	Y	Pu-236	2,87 (1) a
645,146 (20)	1,18 (16)	Y	Ir-194	19,3 (1) h
645,23 (5)	0,065 (4)	Y	Ru-97	2,9 (1) d
645,4 (1)	0,89 (8)	Y	Te-134	41,8 (8) min
645,44 (9)	0,005 4 (9)	Y	Ra-224	3,627 (7) d
645,6 (1)	0,39 (4)	Y	Te-133	12,45 (30) min
645,82 (4)	0,988 (15)	Y	I-124	4,1760 (3) d
645,855 (2)	7,42 (5)	Y	Sb-124	60,20 (3) d
645,94 (4)	0,000 014 9 (3)	Y	Pu-239	24 100 (11) a
646,116 (9)	78 (3)	Y	Os-185	93,6 (5) d
646,26 (10)	0,002 8 (3)	Y	U-239	23,46 (4) min
646,29 (5)	6,3 (6)	Y	Eu-156	15,19 (8) d
646,5 (7)	0,62 (7)	Y	Xe-139	39,68 (14) s
646,5 (1)	0,113	Y	Pa-234	6,70 (5) h
646,83 (1)	0,000 004 (2)	Y	Sn-113*	115,09 (3) d
646,9 (3)	0,000 7 (5)	Y	Eu-152m	9,3116 (13) h
647,2 (5)	0,016 (10)	Y	Xe-138	14,08 (8) min
647,3 (1)	0,024 4 (7)	Y	Pd-109	13,7 (1) h
647,45 (2)	0,024 (2)	Y	V-52	3,753 (5) min
647,49 (6)	0,41 (2)	Y	Mn-52	5,595 (3) d
647,51 (2)	19,4 (10)	Y	Te-133m	55,4 (4) min
647,7 (8)	0,001 6 (1)	Y	Pa-234m	1,17 (3) min
647,8 (4)	0,018 (5)	Y	Ag-110m	249,78 (2) d
647,91 (40)	0,057	Y	I-137	24,5 (2) s
648,1	6,3 (5)	Y	Ba-141	18,27 (7) min
648,5 (5)	0,000 019 (6)	Y	Th-227	18,718 (5) d
648,6 (2)	0,007 5 (19)	Y	Sm-155	22,3 (2) min
648,7 (3)	0,23 (5)	Y	Tc-104	18,3 (3) min
648,75 (7)	0,056 (13)	Y	I-133	20,87 (8) h
648,84 (10)	0,040 (4)	Y	Ac-228	6,15 (2) h
648,96 (4)	0,012 4 (10)	Y	Br-83	2,40 (2) h
648,96 (4)	0,085 (7)	Y	Rb-83	86,2 (1) d
649,12 (7)	0,10 (7)	Y	Pa-228	22 (1) h
649,12 (10)	0,001 10 (15)	Y	Pa-234m	1,17 (3) min
649,18 (7)	0,054 (7)	Y	Bi-214	19,9 (4) min
649,2 (1)	0,001 4 (5)	Y	Ac-225	10,0 (1) d
649,4 (8)	2,2 (4)	Y	Hg-206	8,15 (10) min
649,44 (5)	0,078 (3)	Y	Eu-154	8,601 (4) a
649,79 (19)	0,000 9 (4)	Y	U-239	23,46 (4) min
649,85 (4)	0,46 (3)	Y	I-135	6,57 (2) h
650,2 (2)	0,05 (2)	Y	Tl-208	3,060 (8) min
650,5 (2)	2,57 (20)	Y	I-132	2,295 (13) h
650,6	0,009 8 (4)	Y	Eu-154	8,601 (4) a
650,8 (1)	0,35 (10)	Y	Sr-92	2,65 (6) h
650,8 (5)	0,24 (6)	Y	I-138	6,49 (7) s
650,89 (15)	0,011 (3)	Y	Kr-79	35,04 (10) h
650,9 (7)	0,025 (6)	Y	Mo-101	14,6 (1) min
651,0 (2)	0,000 3 (1)	Y	Te-127m	107 (4) d
651,40 (5)	0,148 (13)	Y	Pa-228	22 (1) h
651,5 (2)	0,032 (5)	Y	Pa-228	22 (1) h
651,51 (3)	0,090 (8)	Y	Ac-228	6,15 (2) h
651,80 (36)	0,000 2	Y	Ru-103*	39,255 (8) d
651,96 (7)	1,10 (8)	Y	Br-87	55,65 (13) s
652 (2)	0,000 4 (4)	Y	Fr-221	4,79 (2) min
652,05 (2)	0,000 006 63 (20)	Y	Pu-239	24 100 (11) a
652,3 (3)	2,97 (20)	Y	Sr-91*	9,63 (5) h
652,5 (2)	0,27 (3)	Y	Xe-139	39,68 (14) s
652,6 (5)	0,038 (15)	Y	Kr-89	3,17 (2) min
652,6 (1)	0,04 (1)	Y	Sn-125	9,64 (3) d
652,7 (11)	0,027 (10)	Y	Mo-101	14,6 (1) min
652,9 (2)	8,0 (5)	Y	Sr-91*	9,63 (5) h
652,98 (4)	0,000 037 6 (8)	Y	Am-241	432,6 (6) a
653 (2)	0,37 (14)	Y	Sr-91*	9,63 (5) h
653,3 (6)	0,61 (23)	Y	Te-133m	55,4 (4) min
653,4 (1)	4,80 (48)	Y	Xe-140	13,6 (1) s
653,568 (14)	0,001 3 (5)	Y	Ga-66	9,49 (7) h
653,7 (1)	0,46	Y	Pa-234	6,70 (5) h
653,98 (8)	0,31 (3)	Y	Te-133	12,45 (30) min
654,08 (8)	0,145 (14)	Y	Xe-138	14,08 (8) min
654,25 (6)	0,241 (19)	Y	Pm-151	1,183 (2) d
654,26 (3)	1,60 (8)	Y	Te-131	25,0 (1) min
654,432 (16)	0,045 0 (24)	Y	Xe-135	9,14 (2) h
654,88 (8)	0,000 002 27 (5)	Y	Pu-239	24 100 (11) a

* : Radionucléide en équilibre avec son descendant
(Cf. liste en début de volume)

Énergie (keV)	Intensité (%)	Type	Parent	Période
655,0 (8)	0,038 (8)	Y	Co-56	77,236 (26) d
655,2 (2)	0,134	Y	Pa-234	6,70 (5) h
655,28 (23)	0,012 4 (6)	Y	Ge-77	11,30 (1) h
655,29 (20)	0,14	Y	I-137	24,5 (2) s
655,3	0,018 (14)	Y	Ba-141	18,27 (7) min
655,3 (10)	0,001 4 (1)	Y	Pa-234m	1,17 (3) min
655,6 (5)	0,011 (5)	Y	Pm-151	1,183 (2) d
655,7 (4)	0,11 (4)	Y	In-116m	54,29 (17) min
655,7 (3)	0,7 (2)	Y	Xe-140	13,6 (1) s
656,09 (10)	0,075 (15)	Y	I-135	6,57 (2) h
656,3 (2)	2,2 (1)	Y	Sb-126	12,4 (1) d
656,489 (5)	0,143 7 (18)	Y	Eu-152	13,522 (16) a
657,02 (5)	15,9 (9)	Y	Br-76	16,2 (2) h
657,05 (5)	6,2 (5)	Y	As-76	1,0778 (20) d
657,21 (7)	0,000 37 (2)	Y	Sm-153	1,92855 (5) d
657,4 (1)	0,39	Y	Pa-234	6,70 (5) h
657,5 (2)	0,013 (2)	Y	Rb-81m	30,25 (25) min
657,55 (25)	0,000 37 (2)	Y	Sm-153	1,92855 (5) d
657,6 (3)	0,003 5 (6)	Y	Ba-131	11,50 (6) d
657,760 0 (11)	4,6 (4)	Y	Ag-110	24,56 (11) s
657,760 0 (11)	94,38 (8)	Y	Ag-110m	249,78 (2) d
657,77 (6)	10,8 (6)	Y	Rb-89	15,2 (1) min
657,94 (9)	98,23 (8)	Y	Nb-97	1,202 (12) h
658,1 (5)	0,031 (12)	Y	Kr-90	32,32 (9) s
658,28 (6)	0,053 (5)	Y	Eu-150	36,9 (9) a
658,57 (3)	0,007 5 (10)	Y	Ga-66	9,49 (7) h
658,7 (2)	0,017 (4)	Y	Bi-214	19,9 (4) min
658,75 (15)	0,015 2 (22)	Y	Pt-191	2,802 (25) d
658,86 (6)	0,000 009 59 (26)	Y	Pu-239	24 100 (11) a
658,9 (1)	0,012 6 (11)	Y	Te-127m	107 (4) d
658,9 (5)	0,032 (14)	Y	Ba-141	18,27 (7) min
659,21 (10)	0,4	Y	I-137	24,5 (2) s
659,3 (3)	0,089 (3)	Y	Tc-104	18,3 (3) min
659,5 (3)	0,003 7 (3)	Y	Au-196	6,183 (10) d
659,8 (1)	0,039 (4)	Y	Bi-213	45,59 (6) min
659,8 (1)	0,27	Y	Pa-234	6,70 (5) h
660	0,014 (4)	Y	Eu-156	15,19 (8) d
660,06 (10)	0,030 7 (12)	Y	Ge-77	11,30 (1) h
660,06 (8)	4,8 (8)	Y	Cs-143	1,791 (7) s
660,08 (3)	0,026 6 (30)	Y	Dy-165	2,334 (6) h
660,1 (3)	0,005	Y	Ac-228	6,15 (2) h
660,3	0,001 86 (10)	Y	Pa-228	22 (1) h
660,5 (6)	0,048 (17)	Y	Kr-89	3,17 (2) min
660,64 (7)	0,224 (12)	Y	Mo-101	14,6 (1) min
660,9 (1)	0,101 (5)	Y	Sr-91*	9,63 (5) h
661,1 (2)	0,054 (4)	Y	Bi-214	19,9 (4) min
661,23 (5)	0,33 (3)	Y	Kr-90	32,32 (9) s
661,35 (9)	2,28 (13)	Y	Tl-200	1,088 (5) d
661,55 (15)	0,022 (9)	Y	Pm-151	1,183 (2) d
661,657 (3)	84,99 (20)	Y	Cs-137*	30,05 (8) a
661,657 (3)	90,07 (20)	Y	Ba-137m	2,552 (1) min
662,06 (6)	0,025 9 (23)	Y	La-141	3,92 (3) h
662,1 (1)	3,0 (5)	Y	Cs-143	1,791 (7) s
662,26 (2)	0,165 (5)	Y	U-239	23,46 (4) min
662,4 (5)	0,056 (4)	Y	I-124	4,1760 (3) d
662,4 (6)	0,000 07 (7)	Y	Sm-153	1,92855 (5) d
662,41 (2)	0,000 367 (5)	Y	Am-241	432,6 (6) a
662,42 (7)	1,28 (11)	Y	Kr-91	8,57 (4) s
662,55 (8)	0,015 (2)	Y	Sb-124	60,20 (3) d
662,66 (15)	0,015 (4)	Y	Eu-150	36,9 (9) a
662,8 (4)	0,000 058 (18)	Y	Th-227	18,718 (5) d
662,9 (4)	0,078 (19)	Y	Kr-89	3,17 (2) min
663,2 (2)	0,11 (5)	Y	Te-133m	55,4 (4) min
663,3 (5)	0,002 4	Y	Th-233	22,15 (15) min
663,5 (1)	0,094 (10)	Y	Pm-151	1,183 (2) d
663,603 (7)	0,002 03 (15)	Y	Yb-169	32,018 (5) d
663,7 (3)	0,001 5 (5)	Y	Fr-223	22,00 (7) min
663,82 (10)	0,028 (6)	Y	Ac-228	6,15 (2) h
663,9 (1)	0,54	Y	Pa-234	6,70 (5) h
663,92 (8)	0,134 (13)	Y	Pa-228	22 (1) h
664,00 (16)	0,060 (8)	Y	Sm-155	22,3 (2) min
664,17 (9)	0,005 2 (4)	Y	U-239	23,46 (4) min
664,571 (15)	5,69 (7)	Y	Ce-143	33,040 (7) h
664,58 (5)	0,000 001 67 (4)	Y	Pu-239	24 100 (11) a
664,6 (2)	0,228 (21)	Y	Pr-147	13,4 (4) min
664,68 (5)	0,029 (1)	Y	Eu-154	8,601 (4) a
664,78 (5)	0,010 (3)	Y	Eu-152	13,522 (16) a
665 (1)	0,04 (4)	Y	As-76	1,0778 (20) d
665 (1)	0,005 6 (15)	Y	Sm-155	22,3 (2) min
665 (2)	0,000 9 (9)	Y	Fr-221	4,79 (2) min

* : Radionucléide en équilibre avec son descendant
(Cf. liste en début de volume)

Énergie (keV)	Intensité (%)	Type	Parent	Période	
665,05 (4)	4,5 (4)	Y	Te-131m*	1,25 (8)	d
665,1 (1)	0,70 (5)	Y	Br-76	16,2 (2)	h
665,34 (5)	0,36 (4)	Y	As-76	1,0778 (20)	d
665,4 (7)	0,004 9 (6)	Y	Ge-77	11,30 (1)	h
665,453 (22)	1,530 (7)	Y	Bi-214	19,9 (4)	min
665,72 (20)	0,12 (2)	Y	Kr-89	3,17 (2)	min
665,8 (2)	1,08 (10)	Y	Br-80	17,68 (2)	min
665,8 (3)	0,003 (3)	Y	Eu-156	15,19 (8)	d
665,85 (10)	1,2 (2)	Y	Te-134	41,8 (8)	min
665,94 (6)	0,087 (14)	Y	Kr-88	2,84 (3)	h
666,1 (2)	99,68 (5)	Y	Sb-126	12,4 (1)	d
666,1 (2)	86 (4)	Y	Sb-126m	19,15 (8)	min
666,331 (12)	33,1 (25)	Y	I-126	12,93 (5)	d
666,45 (10)	0,062 (6)	Y	Ac-228	6,15 (2)	h
666,47 (4)	0,231 (19)	Y	Pa-228	22 (1)	h
666,5 (1)	1,16	Y	Pa-234	6,70 (5)	h
666,6 (5)	0,028 (14)	Y	Ag-110m	249,78 (2)	d
667 (1)	0,18 (6)	Y	Te-133	12,45 (30)	min
667 (2)	0,004 8 (25)	Y	Pt-191	2,802 (25)	d
667,05 (3)	0,39 (24)	Y	Eu-150	36,9 (9)	a
667,7 (1)	98 (3)	Y	Xe-132m	8,39 (11) E-3	s
667,718 (30)	98,7 (10)	Y	I-132	2,295 (13)	h
667,718 (30)	13,9 (20)	Y	I-132m	1,387 (15)	h
668,0 (1)	0,35 (5)	Y	Tc-104	18,3 (3)	min
668,3 (3)	0,000 75 (36)	Y	Os-193	1,2546 (4)	d
668,5 (8)	0,003 4 (16)	Y	Pm-151	1,183 (2)	d
668,6 (6)	0,042 (15)	Y	Kr-89	3,17 (2)	min
668,7 (2)	0,36 (5)	Y	Pm-151	1,183 (2)	d
668,76 (18)	0,000 5 (2)	Y	U-239	23,46 (4)	min
668,9	0,013 (2)	Y	Eu-154	8,601 (4)	a
669,2 (2)	0,29 (5)	Y	Pm-151	1,183 (2)	d
669,6 (2)	0,003 5 (7)	Y	At-211	7,214 (7)	h
669,7 (1)	0,990 3	Y	Pa-234	6,70 (5)	h
669,8 (4)	4,6 (6)	Y	I-132	2,295 (13)	h
669,9 (5)	0,001 9	Y	Th-233	22,15 (15)	min
669,902 (16)	0,68	Y	Th-233	22,15 (15)	min
670 (20)	2 (1)	Y	Tl-210	1,30 (3)	min
670,12 (7)	0,008 1 (18)	Y	Ce-143	33,040 (7)	h
670,124 (19)	0,042 (6)	Y	I-133	20,87 (8)	h
670,2 (10)	0,20 (4)	Y	Cs-143	1,791 (7)	s
670,21 (2)	0,008 5 (4)	Y	Ru-97	2,9 (1)	d
670,251 (14)	0,004 1 (7)	Y	Ga-66	9,49 (7)	h
670,3	0,184 (22)	Y	Ba-141	18,27 (7)	min
670,526 (4)	5,34 (21)	Y	Ho-166m	1 200 (180)	a
670,6 (1)	0,30 (6)	Y	Cs-143	1,791 (7)	s
670,8 (10)	0,000 37 (6)	Y	Pa-234m	1,17 (3)	min
670,88 (20)	0,000 6 (3)	Y	U-239	23,46 (4)	min
671,155 (17)	0,019 4 (13)	Y	Eu-152	13,522 (16)	a
671,28 (3)	0,90 (8)	Y	Pm-151	1,183 (2)	d
671,4 (2)	0,11 (2)	Y	Kr-89	3,17 (2)	min
671,4 (2)	3,5 (10)	Y	I-132	2,295 (13)	h
671,441 (6)	1,783 (16)	Y	Sb-125*	2,75855 (25)	a
671,46 (8)	0,70 (7)	Y	Kr-91	8,57 (4)	s
671,6 (10)	0,30 (11)	Y	Xe-140	13,6 (1)	s
671,7 (2)	0,049 (10)	Y	Xe-123	2,08 (2)	h
671,84 (5)	0,025 (15)	Y	Te-129m	33,6 (1)	d
671,9 (3)	0,009 (2)	Y	Fr-223	22,00 (7)	min
671,987 (24)	0,026 (8)	Y	Ac-228	6,15 (2)	h
672	0,004 2 (14)	Y	Pa-228	22 (1)	h
672,1 (4)	1,14 (8)	Y	Cs-140	1,062 (5)	min
672,39 (18)	0,146 (17)	Y	Xe-139	39,68 (14)	s
672,535 (16)	0,112 (9)	Y	Re-188	17,005 (4)	h
673,09 (20)	0,66 (8)	Y	Ge-77	11,30 (1)	h
673,36 (20)	0,043	Y	I-137	24,5 (2)	s
673,4 (6)	0,031 (4)	Y	Tc-101	14,2 (1)	min
673,44 (4)	0,048 3 (15)	Y	Ni-57	35,9 (3)	h
673,5 (7)	0,002 7 (3)	Y	Au-196	6,183 (10)	d
673,83 (8)	1,89 (11)	Y	Kr-87	1,272 (8)	h
673,9 (10)	0,000 64 (9)	Y	Pa-234m	1,17 (3)	min
674,11 (20)	0,23 (3)	Y	Kr-89	3,17 (2)	min
674,156	0,109	Y	Ac-228	6,15 (2)	h
674,2	0,13 (14)	Y	Pa-228	22 (1)	h
674,24 (7)	0,019 8 (17)	Y	Ho-166	26,795 (29)	h
674,26 (5)	0,000 316 (22)	Y	Gd-159	18,479 (7)	h
674,43 (2)	0,132 0 (16)	Y	Ba-131	11,50 (6)	d
674,675 (3)	0,170 (4)	Y	Eu-152	13,522 (16)	a
674,677 (3)	0,017 1 (18)	Y	Eu-152	13,522 (16)	a
674,7 (8)	0,035 (5)	Y	Co-56	77,236 (26)	d
674,755	0,109	Y	Ac-228	6,15 (2)	h
674,8	0,13 (14)	Y	Pa-228	22 (1)	h

* : Radionucléide en équilibre avec son descendant
(Cf. liste en début de volume)

Énergie (keV)	Intensité (%)	Type	Parent	Période
675,0 (2)	3,7 (8)	Y	Sb-126	12,4 (1) d
675,02 (10)	0,002 7 (2)	Y	Pr-144	17,29 (3) min
675,1 (1)	0,1	Y	Pa-234	6,70 (5) h
675,37 (15)	0,072 (13)	Y	Xe-138	14,08 (8) min
675,4	0,30 (4)	Y	Ba-141	18,27 (7) min
675,5 (5)	0,000 9 (5)	Y	Ce-143	33,040 (7) h
675,79 (16)	0,162 (19)	Y	Xe-139	39,68 (14) s
675,86 (3)	0,509 (19)	Y	Eu-150	36,9 (9) a
675,883 6 (7)	0,806 (7)	Y	Au-198	2,6944 (8) d
675,9 (6)	0,046 (8)	Y	Mo-101	14,6 (1) min
676,5 (3)	0,6 (3)	Y	Bi-215	7,6 (2) min
676,5	0,015 (15)	Y	Pa-232	1,31 (2) d
676,58 (10)	0,14 (1)	Y	Ag-110m	249,78 (2) d
676,596 (12)	0,157 (11)	Y	Eu-154	8,601 (4) a
676,64 (7)	0,020 5 (25)	Y	Rn-219	3,96 (1) s
676,69 (7)	0,013 (4)	Y	Pb-211	36,1 (2) min
676,8 (5)	0,001 3 (5)	Y	La-141	3,92 (3) h
676,8	0,01 (1)	Y	Eu-150	36,9 (9) a
676,9 (2)	0,083 (15)	Y	Pa-228	22 (1) h
676,985 (13)	0,062 (5)	Y	Ac-228	6,15 (2) h
677,0 (3)	0,000 044 (15)	Y	Sm-153	1,92855 (5) d
677,2 (3)	0,006 7 (19)	Y	Sm-155	22,3 (2) min
677,338 (30)	7,8 (5)	Y	I-134	52,5 (2) min
677,34 (5)	0,235 (18)	Y	Kr-88	2,84 (3) h
677,41 (15)	0,005 5 (23)	Y	Bi-214	19,9 (4) min
677,6 (1)	0,000 001	Y	U-234	245,5 (6) E+3 a
677,621 7 (12)	10,56 (6)	Y	Ag-110m	249,78 (2) d
677,69 (7)	0,38 (4)	Y	Kr-90	32,32 (9) s
678,04 (10)	0,087	Y	Th-233	22,15 (15) min
678,07 (20)	0,05	Y	I-137	24,5 (2) s
678,30 (15)	0,045 (5)	Y	Pm-151	1,183 (2) d
678,488 (42)	0,022 (7)	Y	I-133	20,87 (8) h
678,623 (5)	0,470 (4)	Y	Eu-152	13,522 (16) a
679,22 (15)	0,055 (15)	Y	I-135	6,57 (2) h
679,7 (1)	0,000 87 (22)	Y	Ac-225	10,0 (1) d
679,8 (7)	0,06 (3)	Y	Te-133	12,45 (30) min
679,9 (10)	0,03 (1)	Y	In-116m	54,29 (17) min
680,0 (3)	0,12 (4)	Y	Kr-91	8,57 (4) s
680,0 (2)	0,006 9 (16)	Y	Pt-191	2,802 (25) d
680,1 (1)	0,000 003 31 (7)	Y	Am-241	432,6 (6) a
680,2 (1)	0,66 (9)	Y	Y-93	10,1 (2) h
680,24 (19)	0,054 (13)	Y	Xe-138	14,08 (8) min
680,25 (15)	0,010 (2)	Y	Rh-106	30,0 (2) s
680,252 (9)	0,645 (19)	Y	I-133	20,87 (8) h
680,36 (12)	0,038 8 (12)	Y	Ge-77	11,30 (1) h
680,5 (2)	0,200 (15)	Y	Xe-123	2,08 (2) h
680,515 (3)	0,754 (18)	Y	Pb-203	51,929 (10) h
680,52 (15)	0,018 (4)	Y	Nd-147	10,98 (1) d
680,56 (10)	0,001 5 (4)	Y	Ga-66	9,49 (7) h
681,0 (2)	0,003 9 (3)	Y	Br-83	2,40 (2) h
681,0 (1)	0,11 (6)	Y	Te-133m	55,4 (4) min
681,18 (5)	0,031 (5)	Y	Rb-83	86,2 (1) d
681,2 (6)	0,016	Y	Th-233	22,15 (15) min
681,22 (8)	0,38 (3)	Y	Br-87	55,65 (13) s
681,4 (2)	0,422 (25)	Y	Br-76	16,2 (2) h
682,00 (7)	0,2	Y	I-137	24,5 (2) s
682,0 (6)	0,000 15 (12)	Y	Sm-153	1,92855 (5) d
682,04 (6)	0,322 (22)	Y	Y-90m	3,19 (6) h
682,3 (1)	0,047 (5)	Y	Rb-81m	30,25 (25) min
682,30 (25)	0,000 5 (2)	Y	Fr-223	22,00 (7) min
682,31 (4)	0,596 (15)	Y	Tb-160	72,3 (2) d
682,34 (20)	0,007 (7)	Y	W-187	23,72 (6) h
682,57 (16)	0,000 312 (19)	Y	Ga-68	1,1275 (10) h
682,8 (9)	0,008 6 (18)	Y	Ce-143	33,040 (7) h
683,2 (1)	0,020 3 (22)	Y	Xe-137	3,818 (13) min
683,22 (6)	0,084 (6)	Y	Bi-214	19,9 (4) min
683,32 (11)	0,003 1 (8)	Y	Eu-152	13,522 (16) a
683,4 (10)	0,000 57 (8)	Y	Pa-234m	1,17 (3) min
683,59 (15)	0,108 (14)	Y	Cs-138	33,41 (18) min
683,9 (2)	0,15	Y	Pa-234	6,70 (5) h
684,0 (2)	0,011 (4)	Y	Sn-125	9,64 (3) d
684	0,019 (5)	Y	Ac-228	6,15 (2) h
684 (3)	0,043 (10)	Y	Pa-228	22 (1) h
684,4 (2)	0,08 (4)	Y	I-132	2,295 (13) h
684,6 (2)	0,023 (9)	Y	I-135	6,57 (2) h
684,672 (9)	99,7 (20)	Y	Mo-93m	6,85 (7) h
684,7 (2)	0,005 3 (6)	Y	Rh-106	30,0 (2) s
684,85 (20)	0,008 7 (6)	Y	Eu-152m	9,3116 (13) h
685,1 (2)	0,14	Y	Pa-234	6,70 (5) h
685,37 (20)	0,092 (10)	Y	Ge-77	11,30 (1) h

* : Radionucléide en équilibre avec son descendant
(Cf. liste en début de volume)

Énergie (keV)	Intensité (%)	Type	Parent	Période
685,4	0,18 (5)	Y	Ba-141	18,27 (7) min
685,72 (8)	0,22 (9)	Y	Te-131m*	1,25 (8) d
685,73 (4)	27,3 (10)	Y	W-187	23,72 (6) h
685,89 (4)	0,78 (3)	Y	Nd-147	10,98 (1) d
685,9 (7)	0,04 (2)	Y	Br-87	55,65 (13) s
685,97 (11)	0,000 001 26 (6)	Y	Pu-239	24 100 (11) a
686,0 (3)	0,067 (6)	Y	Mo-101	14,6 (1) min
686,080 (6)	0,252 (22)	Y	Ga-66	9,49 (7) h
686,2 (3)	0,18 (5)	Y	Xe-140	13,6 (1) s
686,61 (5)	0,020 0 (17)	Y	Eu-152	13,522 (16) a
687,0 (1)	0,26 (1)	Y	At-211	7,214 (7) h
687,0 (5)	0,05 (5)	Y	Pa-232	1,31 (2) d
687,009 1 (18)	6,45 (3)	Y	Ag-110m	249,78 (2) d
687,3 (4)	0,070 (19)	Y	Kr-89	3,17 (2) min
687,6 (3)	0,006 6 (14)	Y	Bi-214	19,9 (4) min
687,60 (5)	0,016	Y	Np-236	155 (8) E+3 a
687,60 (5)	0,292 (21)	Y	Np-236m	22,5 (4) h
687,60 (5)	0,000 003 56 (16)	Y	Pu-240	6 561 (7) a
687,8 (5)	0,04 (2)	Y	I-132	2,295 (13) h
687,95 (10)	0,026 9 (6)	Y	I-123	13,2234 (37) h
688	0,051 (15)	Y	Ba-141	18,27 (7) min
688,10 (5)	0,067 (5)	Y	Ac-228	6,15 (2) h
688,14 (8)	0,06 (6)	Y	Pa-228	22 (1) h
688,670 (5)	0,841 (6)	Y	Eu-152	13,522 (16) a
688,69 (5)	0,065 (8)	Y	Eu-152m	9,3116 (13) h
688,76 (4)	0,000 032 3 (5)	Y	Am-241	432,6 (6) a
688,8	0,006 1 (18)	Y	Au-196	6,183 (10) d
689,0 (3)	0,16 (3)	Y	In-116m	54,29 (17) min
689,05 (18)	0,113 (35)	Y	Tl-200	1,088 (5) d
689,07 (5)	0,070 (12)	Y	Mo-93m	6,85 (7) h
689,6 (9)	0,000 42 (18)	Y	Mo-99*	2,7479 (6) d
689,8 (3)	0,030 (3)	Y	Rb-81*	4,25 (25) h
690,13 (5)	0,129 (15)	Y	I-135	6,57 (2) h
690,5 (10)	0,08 (4)	Y	Xe-140	13,6 (1) s
690,52 (16)	0,237 (38)	Y	Zr-97	16,90 (5) h
690,72 (7)	0,40 (4)	Y	Kr-90	32,32 (9) s
690,8 (1)	0,14 (3)	Y	Te-133	12,45 (30) min
691,01 (6)	0,007 2 (3)	Y	U-239	23,46 (4) min
691,1 (1)	0,007 8 (5)	Y	Pa-234m	1,17 (3) min
691,253 (7)	1,32 (7)	Y	Ho-166m	1 200 (180) a
691,5 (3)	0,112 (15)	Y	Xe-123	2,08 (2) h
691,5 (4)	0,032 (13)	Y	Xe-138	14,08 (8) min
692,0 (7)	0,000 039 (11)	Y	Th-227	18,718 (5) d
692,01 (2)	0,159 (6)	Y	Co-57	271,80 (5) d
692,37 (8)	4,3 (3)	Y	Pb-201	9,33 (3) h
692,420 5 (18)	1,79 (3)	Y	Eu-154	8,601 (4) a
692,47 (7)	0,187 (18)	Y	Pa-228	22 (1) h
692,5 (4)	0,031 (2)	Y	Br-87	55,65 (13) s
692,5	0,005 6 (7)	Y	Ac-228	6,15 (2) h
692,6 (1)	1,24	Y	Pa-234	6,70 (5) h
692,61 (13)	0,001 6 (3)	Y	U-239	23,46 (4) min
692,79 (5)	3,7 (2)	Y	Sb-122	2,70 (1) d
693,06 (22)	0,001 4 (9)	Y	W-187	23,72 (6) h
693,3 (5)	0,005 9 (15)	Y	Bi-214	19,9 (4) min
693,4 (5)	0,10 (6)	Y	Cs-140	1,062 (5) min
693,46 (8)	0,000 008 7 (4)	Y	Yb-169	32,018 (5) d
693,46	0,000 003 54 (7)	Y	Am-241	432,6 (6) a
693,53 (16)	0,088 (13)	Y	Xe-138	14,08 (8) min
694,0 (15)	0,003 2 (8)	Y	K-42	12,359 (3) h
694,084 (35)	0,011 6 (13)	Y	Dy-165	2,334 (6) h
694,1 (3)	0,000 020 (6)	Y	Sm-153	1,92855 (5) d
694,30 (15)	0,054 (7)	Y	Tc-101	14,2 (1) min
694,3 (4)	0,035 (18)	Y	Tl-200	1,088 (5) d
694,6 (3)	0,000 5 (2)	Y	Fr-223	22,00 (7) min
694,61 (20)	0,16	Y	I-137	24,5 (2) s
694,7 (3)	0,19 (4)	Y	Y-94	18,7 (1) min
694,8 (2)	0,071 (10)	Y	Pa-228	22 (1) h
694,9 (6)	0,001 1 (7)	Y	La-141	3,92 (3) h
695,0 (2)	99,68 (5)	Y	Sb-126	12,4 (1) d
695,0 (2)	82 (6)	Y	Sb-126m	19,15 (8) min
695,12 (10)	0,002 8 (6)	Y	Os-193	1,2546 (4) d
695,18 (8)	0,003 5 (3)	Y	U-239	23,46 (4) min
695,2 (1)	0,009 (1)	Y	As-76	1,0778 (20) d
695,5 (5)	0,28 (6)	Y	Cs-140	1,062 (5) min
695,5 (10)	0,001 6 (1)	Y	Pa-234m	1,17 (3) min
695,56 (6)	6,66 (17)	Y	Mo-101	14,6 (1) min
695,60 (7)	0,50 (9)	Y	Te-131m*	1,25 (8) d
695,88 (6)	3,1 (17)	Y	Te-129m	33,6 (1) d
695,9 (2)	0,49 (4)	Y	Br-76	16,2 (2) h
696,0 (4)	0,000 9 (6)	Y	Ni-57	35,9 (3) h

* : Radionucléide en équilibre avec son descendant
(Cf. liste en début de volume)

Énergie (keV)	Intensité (%)	Type	Parent	Période
696 (1)	0,08 (4)	Y	Te-133	12,45 (30) min
696,15 (4)	0,21 (3)	Y	Te-131	25,0 (1) min
696,24 (10)	1,79 (17)	Y	Kr-89	3,17 (2) min
696,48	0,000 005 17 (6)	Y	Am-241	432,6 (6) a
696,49 (2)	0,145 (5)	Y	Ba-131	11,50 (6) d
696,510 (3)	1,34 (2)	Y	Pr-144	17,29 (3) min
696,8 (1)	86 (5)	Y	Sb-132	2,79 (5) min
696,8 (1)	95 (5)	Y	Sb-132m	4,10 (7) min
696,87 (19)	0,002 9 (10)	Y	Eu-152	13,522 (16) a
696,9 (3)	0,18 (5)	Y	Xe-140	13,6 (1) s
697,0 (2)	32 (6)	Y	Sb-126	12,4 (1) d
697,6 (4)	0,022 (10)	Y	Xe-138	14,08 (8) min
697,90 (25)	0,067 (4)	Y	Bi-214	19,9 (4) min
698,1 (1)	0,94 (18)	Y	Te-133m	55,4 (4) min
698,374 (5)	28,4 (4)	Y	Br-82	1,4708 (13) d
698,5 (6)	0,012	Y	Th-233	22,15 (15) min
698,54 (5)	0,229 (6)	Y	Ge-77	11,30 (1) h
698,59 (9)	0,14 (1)	Y	Br-87	55,65 (13) s
698,8	0,40 (4)	Y	Ba-141	18,27 (7) min
698,9	0,057 (9)	Y	Pa-228	22 (1) h
699,0 (8)	0,019 (6)	Y	Pm-151	1,183 (2) d
699,03 (5)	3,6	Y	Pa-234	6,70 (5) h
699,03 (5)	0,000 8 (1)	Y	Pa-234m	1,17 (3) min
699,08 (15)	0,037 (5)	Y	Ac-228	6,15 (2) h
699,2 (3)	0,104 (19)	Y	Zr-97	16,90 (5) h
699,27 (4)	0,070 (11)	Y	Eu-152m	9,3116 (13) h
699,5 (2)	0,182 (15)	Y	Pr-147	13,4 (4) min
699,5 (3)	0,006 (4)	Y	Eu-150	36,9 (9) a
699,5 (4)	0,002 5 (13)	Y	Ir-194	19,3 (1) h
699,6 (4)	0,025 (7)	Y	Rb-89	15,2 (1) min
699,6 (3)	0,084 (11)	Y	Xe-139	39,68 (14) s
699,82 (18)	0,016 (5)	Y	Bi-214	19,9 (4) min
700,3 (3)	0,010 6 (22)	Y	Eu-152m	9,3116 (13) h
700,4 (1)	0,000 002 9 (9)	Y	Th-228	1,9127 (6) a
700,55 (4)	0,026 (5)	Y	Ir-194	19,3 (1) h
700,7	0,129 (17)	Y	Ba-141	18,27 (7) min
701,10 (16)	0,001 3 (4)	Y	Te-129	1,160 (5) h
701,21 (10)	0,002 3 (2)	Y	U-239	23,46 (4) min
701,53 (12)	0,053 (8)	Y	Rb-81*	4,25 (25) h
701,56 (14)	1,29 (10)	Y	Tl-200	1,088 (5) d
701,7 (3)	0,025 (15)	Y	Te-129m	33,6 (1) d
701,72 (4)	0,35 (3)	Y	Pa-228	22 (1) h
701,755 (8)	0,173 (10)	Y	Ac-228	6,15 (2) h
701,79 (7)	0,43	Y	I-137	24,5 (2) s
701,80 (13)	0,357 (21)	Y	Mo-101	14,6 (1) min
701,8 (4)	0,000 029 (6)	Y	Sm-153	1,92855 (5) d
701,9 (2)	0,003 1 (3)	Y	Pd-109	13,7 (1) h
702 (1)	0,04 (3)	Y	Te-133	12,45 (30) min
702,05 (20)	0,007 7 (5)	Y	Pa-234m	1,17 (3) min
702,49 (6)	0,46 (7)	Y	Te-131m*	1,25 (8) d
702,622 (19)	97,9 (20)	Y	Nb-94	20 000 (2 400) a
702,66 (25)	0,105 (18)	Y	Rb-91	58,4 (4) s
702,91 (4)	2,43 (21)	Y	Te-133m	55,4 (4) min
702,92 (17)	0,084 (13)	Y	Cs-138	33,41 (18) min
703,106 (15)	0,011 1 (6)	Y	Ga-67	3,2613 (5) d
703,11 (4)	0,479 (11)	Y	Bi-214	19,9 (4) min
703,25 (6)	0,005 3 (13)	Y	Eu-152	13,522 (16) a
703,44 (8)	0,006 4 (4)	Y	Ba-131	11,50 (6) d
703,54 (5)	0,066 (11)	Y	Eu-152m	9,3116 (13) h
703,58 (17)	0,057 (10)	Y	Xe-138	14,08 (8) min
703,63 (10)	0,002 3 (2)	Y	U-239	23,46 (4) min
703,68 (5)	0,000 004 10 (13)	Y	Pu-239	24 100 (11) a
703,7 (3)	0,000 70 (44)	Y	Eu-152m	9,3116 (13) h
703,7 (6)	0,011	Y	Th-233	22,15 (15) min
703,76 (5)	1,040 (19)	Y	Zr-97	16,90 (5) h
703,8 (2)	0,19 (3)	Y	Br-80	17,68 (2) min
703,9 (1)	2,13 (13)	Y	Sr-94	1,235 (5) min
704,24 (8)	0,34 (3)	Y	Pm-151	1,183 (2) d
704,3 (5)	0,000 078 (16)	Y	Th-227	18,718 (5) d
704,6 (3)	0,001 8 (9)	Y	V-52	3,753 (5) min
704,6 (2)	0,028 (9)	Y	Mn-52m	21,2 (4) min
704,64 (3)	0,462 (11)	Y	Pb-211	36,1 (2) min
704,8	0,27 (4)	Y	Ba-141	18,27 (7) min
704,9 (3)	0,051 (10)	Y	Bi-214	19,9 (4) min
705,031 (15)	0,003 8 (5)	Y	Ga-66	9,49 (7) h
705,21 (7)	0,014 6 (12)	Y	Ho-166	26,795 (29) h
705,21 (7)	0,014 (7)	Y	Ho-166m	1 200 (180) a
705,24 (8)	0,106 7 (24)	Y	Ge-77	11,30 (1) h
705,3 (2)	0,022 (4)	Y	Tl-208	3,060 (8) min
705,47 (12)	0,125 (16)	Y	Kr-90	32,32 (9) s

* : Radionucléide en équilibre avec son descendant
(Cf. liste en début de volume)

Énergie (keV)	Intensité (%)	Type	Parent	Période
705,52 (7)	0,005 (3)	Y	Te-129m	33,6 (1) d
705,7 (3)	0,17 (3)	Y	In-116m	54,29 (17) min
705,9 (1)	2,27	Y	Pa-234	6,70 (5) h
705,9 (1)	0,004 0 (3)	Y	Pa-234m	1,17 (3) min
706,0 (1)	0,319 (24)	Y	Pr-147	13,4 (4) min
706,4 (7)	0,02 (2)	Y	I-132	2,295 (13) h
706,42 (2)	0,005 0 (5)	Y	Co-57	271,80 (5) d
706,575 (6)	1,49 (4)	Y	I-133	20,87 (8) h
706,65 (10)	0,83 (6)	Y	I-134	52,5 (2) min
706,676 0 (15)	16,48 (8)	Y	Ag-110m	249,78 (2) d
706,8 (5)	0,000 023 (12)	Y	Sm-153	1,92855 (5) d
707,0 (2)	0,001 59 (20)	Y	Pd-109	13,7 (1) h
707,01 (20)	0,50 (5)	Y	Kr-89	3,17 (2) min
707,1 (2)	0,065 (8)	Y	Eu-156	15,19 (8) d
707,2 (7)	0,000 039 (11)	Y	Th-227	18,718 (5) d
707,38 (9)	0,002 2 (2)	Y	U-239	23,46 (4) min
707,4 (6)	0,028 (9)	Y	Zr-97	16,90 (5) h
707,4 (3)	0,74 (6)	Y	Pa-228	22 (1) h
707,41 (5)	0,155 (15)	Y	Ac-228	6,15 (2) h
707,5 (5)	0,109 (11)	Y	I-124	4,1760 (3) d
707,6 (10)	0,010 (5)	Y	Tb-160	72,3 (2) d
707,8 (8)	0,064 (13)	Y	Mo-101	14,6 (1) min
707,8 (3)	0,012	Y	Th-233	22,15 (15) min
707,92 (4)	0,66 (4)	Y	I-135	6,57 (2) h
708,128 (20)	0,23 (5)	Y	Ag-110m	249,78 (2) d
708,3 (3)	0,001 5 (5)	Y	Fr-223	22,00 (7) min
708,3 (2)	0,023	Y	Pa-234	6,70 (5) h
708,36 (5)	0,008 7 (10)	Y	Ga-66	9,49 (7) h
708,75 (9)	0,77 (4)	Y	Pb-201	9,33 (3) h
708,8 (3)	0,011 9 (20)	Y	Bi-214	19,9 (4) min
709,2 (5)	0,044 (19)	Y	I-124	4,1760 (3) d
709,25 (6)	0,137 (13)	Y	Pm-151	1,183 (2) d
709,31 (5)	1,37 (2)	Y	Sb-124	60,20 (3) d
709,42 (5)	0,000 006 41 (18)	Y	Am-241	432,6 (6) a
709,59 (5)	0,008 6 (13)	Y	Ce-143	33,040 (7) h
709,71 (10)	0,28	Y	I-137	24,5 (2) s
709,86 (5)	0,88 (8)	Y	Eu-156	15,19 (8) d
709,93 (15)	0,002 1 (5)	Y	Os-193	1,2546 (4) d
710,05 (20)	0,78 (8)	Y	Kr-89	3,17 (2) min
710,1 (3)	0,22 (1)	Y	Pa-232	1,31 (2) d
710,358 (15)	0,000 031 3 (22)	Y	Yb-169	32,018 (5) d
710,4 (1)	0,72 (17)	Y	Te-133m	55,4 (4) min
710,40 (18)	0,196 (22)	Y	Xe-139	39,68 (14) s
710,4 (2)	0,003 1 (7)	Y	La-141	3,92 (3) h
710,67 (10)	0,076 (4)	Y	Bi-214	19,9 (4) min
710,8 (1)	0,011 (2)	Y	Bi-213	45,59 (6) min
711,2 (7)	0,004 (1)	Y	Ra-223	11,43 (5) d
711,5 (1)	0,113 (22)	Y	Cs-143	1,791 (7) s
711,5 (1)	0,15	Y	Pa-234	6,70 (5) h
711,697 (3)	54,9 (9)	Y	Ho-166m	1 200 (180) a
711,75 (14)	0,270 (35)	Y	Tl-200	1,088 (5) d
712,0 (1)	0,094 (10)	Y	Pm-151	1,183 (2) d
712,1 (1)	0,015 4 (25)	Y	Os-193	1,2546 (4) d
712,205 (15)	1,08 (5)	Y	Eu-150	36,9 (9) a
712,35 (4)	0,83 (2)	Y	Ge-77	11,30 (1) h
712,39 (15)	0,22 (3)	Y	Kr-91	8,57 (4) s
712,6 (5)	0,19 (6)	Y	Te-133	12,45 (30) min
712,843 (6)	0,096 1 (19)	Y	Eu-152	13,522 (16) a
712,89 (13)	0,30 (9)	Y	Ho-166m	1 200 (180) a
712,97 (5)	4,7 (9)	Y	Te-134	41,8 (8) min
713,04 (9)	3,33 (15)	Y	Mo-101	14,6 (1) min
713,1 (3)	0,045 (11)	Y	Pa-228	22 (1) h
713,14 (4)	1,5 (2)	Y	Te-131m*	1,25 (8) d
713,4 (5)	0,009 (4)	Y	Pm-151	1,183 (2) d
713,4 (8)	0,006 0 (15)	Y	Sm-155	22,3 (2) min
713,7 (1)	0,144	Y	Pa-234	6,70 (5) h
713,781 (5)	2,28 (2)	Y	Sb-124	60,20 (3) d
713,78 (5)	0,078 (9)	Y	I-124	4,1760 (3) d
713,9 (3)	0,000 231 (20)	Y	Sm-153	1,92855 (5) d
714,09 (7)	0,19 (1)	Y	Br-87	55,65 (13) s
714,22 (9)	0,003 0 (3)	Y	U-239	23,46 (4) min
714,35 (3)	7,17 (18)	Y	Ge-77	11,30 (1) h
714,4 (2)	0,017 (4)	Y	Y-93	10,1 (2) h
714,9 (1)	0,009 2 (24)	Y	Ag-110m	249,78 (2) d
715,04 (20)	0,006 1 (12)	Y	Kr-79	35,04 (10) h
715,2 (2)	0,006 6 (16)	Y	Xe-137	3,818 (13) min
715,328 (20)	0,53 (6)	Y	Dy-165	2,334 (6) h
715,53 (4)	0,67 (3)	Y	Tc-101	14,2 (1) min
715,77 (3)	0,19 (1)	Y	Eu-154	8,601 (4) a
715,9 (2)	0,010 (7)	Y	Rh-106	30,0 (2) s

* : Radionucléide en équilibre avec son descendant
(Cf. liste en début de volume)

Énergie (keV)	Intensité (%)	Type	Parent	Période
716,2 (5)	0,26 (7)	Y	Kr-89	3,17 (2) min
716,5 (2)	0,031	Y	Pa-234	6,70 (5) h
716,96 (22)	0,162 (19)	Y	Xe-139	39,68 (14) s
717,0 (2)	0,056	Y	Th-233	22,15 (15) min
717,3 (2)	0,006 6 (6)	Y	Rh-106	30,0 (2) s
717,424 (12)	3,94 (16)	Y	Os-185	93,6 (5) d
717,56 (13)	0,040 (12)	Y	Cs-138	33,41 (18) min
717,72 (8)	4,1 (3)	Y	Pm-151	1,183 (2) d
717,8 (2)	0,11 (5)	Y	Te-133	12,45 (30) min
717,81 (5)	0,000 32 (3)	Y	Sr-85	64,850 (7) d
717,90 (18)	0,013 5 (11)	Y	Xe-125	16,9 (2) h
718,0 (5)	0,000 002 76 (6)	Y	Pu-239	24 100 (11) a
718,31 (2)	0,60 (5)	Y	Pa-228	22 (1) h
718,329 (13)	0,019 (4)	Y	Ac-228	6,15 (2) h
718,5 (2)	0,17 (2)	Y	Xe-123	2,08 (2) h
718,5 (10)	0,000 029 (11)	Y	Th-227	18,718 (5) d
718,6 (6)	0,044 (26)	Y	Tl-200	1,088 (5) d
718,9 (2)	0,83 (23)	Y	Te-133m	55,4 (4) min
718,97 (5)	0,009 9 (10)	Y	Ga-66	9,49 (7) h
719,0 (5)	0,011 (4)	Y	Pm-151	1,183 (2) d
719,0 (4)	0,000 025 (5)	Y	Sm-153	1,92855 (5) d
719,01 (7)	0,000 026 (5)	Y	Pa-234m	1,17 (3) min
719,1 (1)	0,41 (4)	Y	Pr-147	13,4 (4) min
719,349 (4)	0,327 (15)	Y	Eu-152	13,522 (16) a
719,46 (10)	0,060 (7)	Y	Br-87	55,65 (13) s
719,53 (19)	0,090 (9)	Y	Nb-97	1,202 (12) h
719,562 (17)	6,85 (9)	Y	Nb-96	23,35 (5) h
719,71 (2)	8,85 (40)	Y	Te-133	12,45 (30) min
719,8 (6)	0,07 (3)	Y	Xe-139	39,68 (14) s
719,86 (3)	0,393 (10)	Y	Bi-214	19,9 (4) min
720,02 (5)	0,215 (11)	Y	Tc-101	14,2 (1) min
720,3 (3)	53,8 (24)	Y	Sb-126	12,4 (1) d
720,3 (5)	0,12 (6)	Y	Te-133	12,45 (30) min
720,6 (6)	0,044 (26)	Y	Tl-200	1,088 (5) d
720,70 (9)	0,013 6 (15)	Y	Rb-90	2,70 (5) min
720,70 (9)	0,54 (5)	Y	Rb-90m	4,30 (7) min
721,4 (4)	0,08 (4)	Y	Xe-140	13,6 (1) s
721,55 (8)	0,66 (6)	Y	Kr-91	8,57 (4) s
721,629 (19)	1,02 (6)	Y	Nb-96	23,35 (5) h
721,929 (13)	5,39 (7)	Y	Ce-143	33,040 (7) h
721,98 (3)	0,000 196 (4)	Y	Am-241	432,6 (6) a
722 (1)	0,019 (12)	Y	Te-133	12,45 (30) min
722,0 (1)	0,24 (4)	Y	Tl-208	3,060 (8) min
722,1 (6)	0,000 37 (12)	Y	Th-227	18,718 (5) d
722,65 (5)	0,040 (8)	Y	Fr-223	22,00 (7) min
722,78 (2)	10,80 (6)	Y	Sb-124	60,20 (3) d
722,78 (2)	10,35 (15)	Y	I-124	4,1760 (3) d
722,85 (4)	0,026 4 (3)	Y	U-239	23,46 (4) min
722,907 (10)	90,8 (16)	Y	Ag-108m	438 (9) a
722,911 (5)	1,796 (20)	Y	I-131*	8,0233 (19) d
722,98 (12)	0,037 (7)	Y	Bi-214	19,9 (4) min
723,17 (5)	0,003 4 (6)	Y	Ga-66	9,49 (7) h
723,301 4 (22)	20,05 (21)	Y	Eu-154	8,601 (4) a
723,47 (5)	5,4 (5)	Y	Eu-156	15,19 (8) d
723,5 (2)	0,28 (12)	Y	Te-133m	55,4 (4) min
723,5 (1)	0,000 27 (10)	Y	Th-227	18,718 (5) d
723,8 (1)	2,40 (14)	Y	Sr-94	1,235 (5) min
723,84 (6)	1,8 (2)	Y	Xe-139	39,68 (14) s
724 (1)	0,11 (6)	Y	Te-133m	55,4 (4) min
724,15 (5)	0,016 (4)	Y	Fr-223	22,00 (7) min
724,193 (3)	44,27 (22)	Y	Zr-95*	64,032 (6) d
724,4 (3)	0,000 19 (5)	Y	Pd-109	13,7 (1) h
724,42 (11)	0,04 (4)	Y	Pa-228	22 (1) h
724,57 (15)	0,082 (10)	Y	Br-87	55,65 (13) s
725,1 (2)	0,087	Y	Th-233	22,15 (15) min
725,24 (3)	4,15 (15)	Y	In-114m	49,51 (1) d
725,392 (30)	0,014 (2)	Y	Dy-165	2,334 (6) h
725,52 (15)	0,11	Y	I-137	24,5 (2) s
726,2 (5)	0,07 (6)	Y	Cs-140	1,062 (5) min
726,56 (20)	0,019 (4)	Y	Kr-79	35,04 (10) h
726,863 (15)	0,62 (8)	Y	Ac-228	6,15 (2) h
726,9 (1)	0,41 (6)	Y	Pa-228	22 (1) h
727,00 (7)	0,018 4 (16)	Y	As-76	1,0778 (20) d
727,0 (3)	2,2 (6)	Y	I-132	2,295 (13) h
727 (1)	0,04 (2)	Y	Te-133	12,45 (30) min
727,0 (3)	0,006 7 (14)	Y	Pm-151	1,183 (2) d
727,01 (4)	0,50 (9)	Y	Te-131	25,0 (1) min
727,10 (7)	0,055 1 (17)	Y	Xe-125	16,9 (2) h
727,2 (3)	3,2 (6)	Y	I-132	2,295 (13) h
727,22 (20)	0,038 (11)	Y	W-187	23,72 (6) h

* : Radionucléide en équilibre avec son descendant
(Cf. liste en début de volume)

Énergie (keV)	Intensité (%)	Type	Parent	Période
727,31 (15)	0,07	Y	I-137	24,5 (2) s
727,33 (1)	6,74 (12)	Y	Bi-212	60,54 (6) min
727,4 (1)	0,67 (15)	Y	Br-76	16,2 (2) h
727,52 (10)	0,002 5 (2)	Y	U-239	23,46 (4) min
727,53 (9)	0,142 (16)	Y	Pb-201	9,33 (3) h
727,8 (2)	0,113	Y	Pa-234	6,70 (5) h
727,99 (14)	0,010 6 (13)	Y	Eu-152	13,522 (16) a
728,19 (16)	0,098 (10)	Y	Mo-101	14,6 (1) min
728,3 (2)	0,12 (1)	Y	Xe-123	2,08 (2) h
728,4 (2)	1,6 (4)	Y	I-132	2,295 (13) h
728,9 (6)	0,09 (3)	Y	Cs-140	1,062 (5) min
729,09 (6)	0,28 (2)	Y	Rb-81*	4,25 (25) h
729,2 (8)	0,031 (5)	Y	Rb-81m	30,25 (25) min
729,23 (7)	1,37 (23)	Y	Cs-143	1,791 (7) s
729,52	0,000 001 37 (5)	Y	Am-241	432,6 (6) a
729,57 (5)	0,001 2 (4)	Y	Te-129	1,160 (5) h
729,57 (5)	0,7 (4)	Y	Te-129m	33,6 (1) d
729,63 (20)	0,30 (4)	Y	Kr-89	3,17 (2) min
729,87 (8)	0,003 0 (5)	Y	Ce-143	33,040 (7) h
730,3 (10)	0,008 (8)	Y	W-187	23,72 (6) h
730,4 (4)	0,020 5 (11)	Y	Ge-77	11,30 (1) h
730,4 (3)	0,151 (18)	Y	Xe-139	39,68 (14) s
730,5 (2)	0,58 (8)	Y	Br-76	16,2 (2) h
730,7 (3)	0,07 (3)	Y	In-116m	54,29 (17) min
730,74 (4)	1,82 (11)	Y	I-134	52,5 (2) min
730,9 (2)	0,63	Y	Pa-234	6,70 (5) h
730,95 (6)	0,009 2 (2)	Y	U-239	23,46 (4) min
731,01 (9)	0,035 (11)	Y	Kr-88	2,84 (3) h
731,220 (24)	0,336 (15)	Y	Eu-150	36,9 (9) a
731,33 (4)	1,49 (12)	Y	Kr-90	32,32 (9) s
731,52 (2)	0,055 (4)	Y	Xe-135	9,14 (2) h
731,6 (3)	0,007 (3)	Y	Kr-85m	4,480 (8) h
731,88 (1)	0,61 (12)	Y	Te-133m	55,4 (4) min
732,1 (2)	0,020 (3)	Y	Rb-81m	30,25 (25) min
732,42 (6)	1,91 (21)	Y	Xe-139	39,68 (14) s
732,5 (5)	0,02 (1)	Y	Cs-136	13,16 (3) d
732,5 (10)	0,001 28 (10)	Y	Pa-234m	1,17 (3) min
732,62 (16)	0,001 31 (25)	Y	Te-129	1,160 (5) h
732,98 (7)	0,268 (15)	Y	Mo-101	14,6 (1) min
733,0 (5)	0,012 (12)	Y	Ba-136m	308,4 (19) E-3 s
733,39 (5)	6,9	Y	Pa-234	6,70 (5) h
733,508 5 (23)	0,191 (4)	Y	Co-56	77,236 (26) d
733,80 (15)	0,038 (3)	Y	Bi-214	19,9 (4) min
733,9 (4)	0,032 (10)	Y	Xe-138	14,08 (8) min
734,00 (4)	1,77 (14)	Y	Te-133m	55,4 (4) min
734,1 (1)	0,07 (4)	Y	Te-133m	55,4 (4) min
734,1 (3)	0,28 (6)	Y	Xe-140	13,6 (1) s
734,12 (20)	0,013 (4)	Y	Kr-79	35,04 (10) h
734,4 (5)	0,000 10 (4)	Y	Th-227	18,718 (5) d
735	0,015 (15)	Y	Pa-232	1,31 (2) d
735,3 (3)	0,001 07 (28)	Y	Os-193	1,2546 (4) d
735,4 (1)	0,005 8 (10)	Y	Eu-152	13,522 (16) a
735,4 (2)	0,000 16 (5)	Y	Th-227	18,718 (5) d
735,6 (2)	0,08 (2)	Y	Br-82	1,4708 (13) d
735,66 (5)	0,13 (1)	Y	Sb-124	60,20 (3) d
735,75 (15)	0,367 (7)	Y	Ga-72	14,10 (2) h
735,78 (7)	0,061 6 (8)	Y	I-123	13,2234 (37) h
735,9 (3)	0,57 (4)	Y	Cs-140	1,062 (5) min
735,93 (20)	22,5 (15)	Y	Pm-146	5,53 (5) a
736,02 (8)	0,14 (2)	Y	Ho-166m	1 200 (180) a
736,12 (10)	0,47 (5)	Y	Pm-151	1,183 (2) d
736,2 (5)	0,21 (5)	Y	Xe-140	13,6 (1) s
736,68	0,000 001 28 (5)	Y	Am-241	432,6 (6) a
736,7 (2)	0,001 68 (21)	Y	Pd-109	13,7 (1) h
736,70 (7)	0,373 (6)	Y	Ho-166m	1 200 (180) a
736,9 (2)	0,000 60 (15)	Y	Fr-223	22,00 (7) min
736,9 (5)	0,134 (18)	Y	Fr-227	2,47 (3) min
737,3 (8)	0,035 (8)	Y	Mo-101	14,6 (1) min
737,34 (5)	0,000 007 94 (8)	Y	Am-241	432,6 (6) a
737,455 (15)	9,6 (4)	Y	Eu-150	36,9 (9) a
737,6	0,006 3 (24)	Y	Eu-154	8,601 (4) a
737,690 (25)	0,037 (4)	Y	Ac-228	6,15 (2) h
737,8 (2)	0,069 (13)	Y	Pa-228	22 (1) h
737,96 (7)	0,47 (3)	Y	Br-87	55,65 (13) s
738,0 (1)	1,15	Y	Pa-234	6,70 (5) h
738,29 (9)	17 (11)	Y	V-50	140 (40) E+15 a
738,39 (7)	4,2 (4)	Y	Kr-89	3,17 (2) min
738,4 (10)	0,000 068 (17)	Y	Th-227	18,718 (5) d
738,5 (4)	0,054 (4)	Y	Ga-72	14,10 (2) h
738,5 (5)	0,25 (6)	Y	I-138	6,49 (7) s

* : Radionucléide en équilibre avec son descendant
(Cf. liste en début de volume)

Énergie (keV)	Intensité (%)	Type	Parent	Période
738,8 (3)	0,07 (4)	Y	Te-131m*	1,25 (8) d
739 (1)	0,023 (8)	Y	Kr-90	32,32 (9) s
739,18 (8)	0,71 (7)	Y	I-134	52,5 (2) min
739,2 (4)	0,05 (1)	Y	Rb-90	2,70 (5) min
739,2 (4)	0,007 (1)	Y	Rb-90m	4,30 (7) min
739,2	4,8 (4)	Y	Ba-141	18,27 (7) min
739,2 (2)	0,053 (9)	Y	Pa-228	22 (1) h
739,42 (11)	0,000 001 83 (22)	Y	Yb-169	32,018 (5) d
739,500 (17)	12,12 (15)	Y	Mo-99*	2,7479 (6) d
739,54 (13)	0,297 (15)	Y	Mo-101	14,6 (1) min
739,79 (15)	0,61 (17)	Y	Te-133m	55,4 (4) min
739,95 (10)	0,011 0 (5)	Y	Pa-234m	1,17 (3) min
740,10 (5)	0,117 (11)	Y	As-76	1,0778 (20) d
740,3 (8)	0,16 (6)	Y	Br-76	16,2 (2) h
740,73 (18)	0,042 8 (21)	Y	Bi-214	19,9 (4) min
740,8 (2)	0,19 (4)	Y	Te-133	12,45 (30) min
740,8 (10)	0,058 (22)	Y	Cs-140	1,062 (5) min
740,8 (2)	0,022 (5)	Y	Pm-151	1,183 (2) d
740,96 (5)	0,037 (3)	Y	Te-129	1,160 (5) h
740,96 (5)	0,028 (16)	Y	Te-129m	33,6 (1) d
741,1 (2)	0,031	Y	Th-233	22,15 (15) min
741,34 (18)	0,035 (11)	Y	Kr-88	2,84 (3) h
741,467 (17)	0,85 (3)	Y	Eu-150	36,9 (9) a
741,87 (1)	0,000 001 4 (4)	Y	Th-228	1,9127 (6) a
742,1 (1)	0,000 001 2	Y	Pr-143	13,57 (2) d
742,37 (8)	0,001 2 (3)	Y	Fr-223	22,00 (7) min
742,5 (2)	0,000 4	Y	U-235	704 (1) E+6 a
742,59 (2)	15,4 (8)	Y	Te-134	41,8 (8) min
742,7 (5)	0,000 95 (31)	Y	At-211	7,214 (7) h
742,80 (3)	2,06	Y	Pa-234	6,70 (5) h
742,80 (3)	0,096 (6)	Y	Pa-234m	1,17 (3) min
742,813 (5)	0,000 005 10 (13)	Y	Pu-238	87,74 (3) a
742,9 (2)	0,39 (12)	Y	Te-133m	55,4 (4) min
743,0 (2)	0,31 (6)	Y	Te-133	12,45 (30) min
743,2 (3)	0,017 (5)	Y	I-124	4,1760 (3) d
743,36 (3)	94,75 (30)	Y	Zr-97	16,90 (5) h
743,4	97,90 (6)	Y	Nb-97m	58,7 (18) s
743,5 (1)	0,145 (20)	Y	I-128	24,99 (2) min
743,65 (5)	0,177 (5)	Y	Ge-77	11,30 (1) h
744,20 (5)	1,7 (1)	Y	Te-131m*	1,25 (8) d
744,214 (5)	90,34 (10)	Y	Mn-52	5,595 (3) d
744,275 5 (18)	4,71 (3)	Y	Ag-110m	249,78 (2) d
744,9 (5)	0,006 8	Y	Th-233	22,15 (15) min
745,16 (7)	0,53 (8)	Y	Xe-139	39,68 (14) s
745,216 (19)	0,298 (10)	Y	W-187	23,72 (6) h
745,5 (4)	0,001 4 (3)	Y	Ba-131	11,50 (6) d
745,75 (3)	0,965 (24)	Y	Ge-77	11,30 (1) h
745,8 (4)	0,062 (20)	Y	Kr-90	32,32 (9) s
745,8 (2)	0,11 (3)	Y	Te-133	12,45 (30) min
745,9 (1)	0,32	Y	Pa-234	6,70 (5) h
746,06 (11)	0,004 2 (5)	Y	U-239	23,46 (4) min
746,24 (30)	0,066	Y	I-137	24,5 (2) s
746,30 (5)	0,022 (5)	Y	Fr-223	22,00 (7) min
746,4 (7)	0,000 10 (4)	Y	Th-227	18,718 (5) d
747,0 (1)	0,001 3 (5)	Y	Ac-225	10,0 (1) d
747,24 (20)	33,9 (16)	Y	Pm-146	5,53 (5) a
747,4 (3)	0,11 (3)	Y	Kr-89	3,17 (2) min
748,0 (2)	0,004 2 (9)	Y	Pt-191	2,802 (25) d
748,057 (12)	5,18 (19)	Y	Eu-150	36,9 (9) a
748,09 (3)	0,087 0 (4)	Y	U-239	23,46 (4) min
748,1 (3)	0,103	Y	Pa-234	6,70 (5) h
748,64 (8)	0,57 (5)	Y	Kr-91	8,57 (4) s
748,7 (2)	0,046 (3)	Y	Tl-208	3,060 (8) min
748,8 (4)	0,000 40 (12)	Y	Th-227	18,718 (5) d
749,46 (8)	0,003 2 (4)	Y	Os-185	93,6 (5) d
749,5 (7)	0,70 (14)	Y	Br-86	55,1 (4) s
749,68 (10)	0,001 4 (4)	Y	Ga-66	9,49 (7) h
749,73 (25)	0,112 (22)	Y	Rb-91	58,4 (4) s
749,8 (1)	23,7 (8)	Y	Sr-91*	9,63 (5) h
749,80 (3)	0,672 (23)	Y	Eu-150	36,9 (9) a
749,86 (3)	0,884 (19)	Y	Ge-77	11,30 (1) h
749,95 (3)	49,5 (12)	Y	Ni-56	6,079 (10) d
750,1 (1)	0,062 (9)	Y	Pa-228	22 (1) h
750,65 (10)	0,020 9 (22)	Y	Xe-137	3,818 (13) min
751,068 (14)	2,14 (9)	Y	Eu-150	36,9 (9) a
751,3 (2)	0,001 0 (3)	Y	Rh-106	30,0 (2) s
751,6 (6)	0,002 4	Y	Th-233	22,15 (15) min
751,653 (7)	4,392 (24)	Y	La-140	1,67850 (17) d
752,1 (3)	0,071 (10)	Y	Rb-90	2,70 (5) min
752,1 (3)	0,001 2 (2)	Y	Rb-90m	4,30 (7) min

* : Radionucléide en équilibre avec son descendant
(Cf. liste en début de volume)

Énergie (keV)	Intensité (%)	Type	Parent	Période	
752,280 (4)	12,2 (3)	Y	Ho-166m	1 200 (180)	a
752,39 (14)	0,001 2 (3)	Y	U-239	23,46 (4)	min
752,4 (2)	0,06 (1)	Y	Xe-123	2,08 (2)	h
752,6 (1)	1,4 (2)	Y	Y-94	18,7 (1)	min
752,82 (8)	1,28 (11)	Y	Pm-151	1,183 (2)	d
752,84 (3)	0,126 (8)	Y	Bi-214	19,9 (4)	min
753,2 (2)	0,33 (11)	Y	Te-133m	55,4 (4)	min
753,35 (9)	0,152 (15)	Y	Pb-201	9,33 (3)	h
753,5 (4)	0,092 (25)	Y	Kr-89	3,17 (2)	min
753,65 (5)	0,105 (22)	Y	Fr-223	22,00 (7)	min
753,7 (3)	0,000 87 (22)	Y	Ac-225	10,0 (1)	d
753,74 (6)	0,000 18 (2)	Y	Gd-159	18,479 (7)	h
753,8	0,046 (19)	Y	Ba-141	18,27 (7)	min
753,819 (13)	4,2 (4)	Y	I-126	12,93 (5)	d
753,99 (3)	0,086 (6)	Y	Ru-97	2,9 (1)	d
754,1 (2)	0,000 24 (14)	Y	Th-227	18,718 (5)	d
754,5 (4)	0,034 (12)	Y	Cs-138	33,41 (18)	min
754,7 (2)	0,12 (5)	Y	Sr-94	1,235 (5)	min
754,7 (2)	0,51 (3)	Y	Pa-232	1,31 (2)	d
754,9 (5)	0,002 7 (1)	Y	Ag-111	7,45 (1)	d
755,0 (6)	0,025 (13)	Y	Xe-138	14,08 (8)	min
755 (1)	0,006 7 (23)	Y	Pm-151	1,183 (2)	d
755,0 (1)	1,22	Y	Pa-234	6,70 (5)	h
755,3 (1)	0,005 4 (6)	Y	Ni-57	35,9 (3)	h
755,314 (8)	1,00 (3)	Y	Ac-228	6,15 (2)	h
755,32 (2)	1,83 (14)	Y	Pa-228	22 (1)	h
755,91 (5)	0,000 007 84 (8)	Y	Am-241	432,6 (6)	a
756,12 (9)	0,005 4 (8)	Y	Eu-152	13,522 (16)	a
756,23 (6)	0,000 002 8 (5)	Y	Pu-239	24 100 (11)	a
756,51 (3)	0,113 (8)	Y	Eu-150	36,9 (9)	a
756,6 (5)	0,001 6 (5)	Y	Pt-191	2,802 (25)	d
756,7 (1)	0,52 (9)	Y	Cs-143	1,791 (7)	s
756,729 (12)	54,38 (22)	Y	Zr-95*	64,032 (6)	d
756,8 (4)	0,33 (11)	Y	Te-133m	55,4 (4)	min
756,802 0 (23)	4,53 (5)	Y	Eu-154	8,601 (4)	a
756,9 (2)	0,000 19 (5)	Y	Th-227	18,718 (5)	d
757,0 (2)	0,000 47 (10)	Y	Ba-131	11,50 (6)	d
757,20 (5)	0,008 4 (19)	Y	Fr-223	22,00 (7)	min
757,3 (4)	0,001 02 (24)	Y	Th-227	18,718 (5)	d
757,36 (4)	0,062 (5)	Y	Re-184	38,0 (5)	d
757,90 (7)	0,042	Y	Th-233	22,15 (15)	min
758,0 (15)	0,003 4 (19)	Y	Sm-155	22,3 (2)	min
758,23 (12)	0,054 (3)	Y	Rb-81*	4,25 (25)	h
758,5 (10)	0,037 (21)	Y	Cs-140	1,062 (5)	min
758,5 (4)	0,009 0 (21)	Y	Pm-151	1,183 (2)	d
758,63 (5)	0,000 013 8 (19)	Y	Cm-244	18,11 (3)	a
758,7 (1)	0,005 5 (11)	Y	Ac-225	10,0 (1)	d
758,9 (1)	0,25	Y	Pa-234	6,70 (5)	h
759 (1)	0,000 36 (18)	Y	Bi-212	60,54 (6)	min
759,1 (3)	0,044 4 (18)	Y	Au-196	6,183 (10)	d
759,5 (1)	0,000 001 81 (5)	Y	Am-241	432,6 (6)	a
759,57 (9)	0,077 (8)	Y	Eu-150	36,9 (9)	a
760,3 (10)	0,037 (21)	Y	Cs-140	1,062 (5)	min
760,3 (10)	0,001 6 (1)	Y	Pa-234m	1,17 (3)	min
760,5 (4)	0,000 032 (5)	Y	Sm-153	1,92855 (5)	d
761,0 (2)	0,072	Y	Pa-234	6,70 (5)	h
761,01 (8)	1,04 (9)	Y	Kr-91	8,57 (4)	s
761,04 (16)	0,196 (22)	Y	Xe-139	39,68 (14)	s
761,4 (1)	0,576 (22)	Y	Sr-91*	9,63 (5)	h
761,77 (8)	0,002 3 (13)	Y	Mo-99*	2,7479 (6)	d
761,9 (2)	0,009 (2)	Y	Rb-81m	30,25 (25)	min
762	0,19 (3)	Y	Ba-141	18,27 (7)	min
762,03 (9)	0,028 (5)	Y	Eu-150	36,9 (9)	a
762,57 (5)	0,002 7 (7)	Y	Fr-223	22,00 (7)	min
762,60 (15)	0,012 (2)	Y	Pt-191	2,802 (25)	d
762,6 (5)	0,000 26 (5)	Y	Th-227	18,718 (5)	d
762,7 (5)	0,92 (14)	Y	Kr-89	3,17 (2)	min
762,8 (2)	0,125 (30)	Y	Te-133	12,45 (30)	min
763,2 (1)	1,79 (3)	Y	Tl-208	3,060 (8)	min
763,3 (5)	0,40 (9)	Y	Kr-89	3,17 (2)	min
763,64 (3)	0,008 9 (10)	Y	Ga-66	9,49 (7)	h
763,8 (6)	0,000 044 (12)	Y	Sm-153	1,92855 (5)	d
763,942 4 (17)	22,31 (9)	Y	Ag-110m	249,78 (2)	d
764,04 (11)	0,002 5 (3)	Y	U-239	23,46 (4)	min
764,2 (3)	0,007 6 (17)	Y	Xe-125	16,9 (2)	h
764,55 (6)	0,12	Y	Th-233	22,15 (15)	min
764,8 (2)	0,2	Y	Pa-234	6,70 (5)	h
764,900 (9)	0,190 (4)	Y	Eu-152	13,522 (16)	a
764,900 (9)	0,000 4 (3)	Y	Eu-152m	9,3116 (13)	h
765 (2)	0,010 (5)	Y	Pt-191	2,802 (25)	d

* : Radionucléide en équilibre avec son descendant
(Cf. liste en début de volume)

Énergie (keV)	Intensité (%)	Type	Parent	Période
765,1 (7)	0,001 6 (8)	Y	Rb-90	2,70 (5) min
765,1 (7)	0,08 (3)	Y	Rb-90m	4,30 (7) min
765,28 (4)	2,14 (5)	Y	Tb-160	72,3 (2) d
765,4 (5)	0,009 (2)	Y	Sb-124	60,20 (3) d
765,8 (3)	0,001 3 (6)	Y	Ir-192	73,827 (13) d
765,803 (6)	99,808 (7)	Y	Nb-95	34,991 (6) d
765,96 (9)	0,053 (8)	Y	Pb-214	26,8 (9) min
766,0 (9)	0,05 (3)	Y	Kr-91	8,57 (4) s
766,10 (12)	0,146 (14)	Y	Cs-138	33,41 (18) min
766,3 (5)	0,000 29 (6)	Y	Th-227	18,718 (5) d
766,37 (2)	0,316 (6)	Y	Pa-234m	1,17 (3) min
766,38 (2)	0,000 021 9 (5)	Y	Pu-238	87,74 (3) a
766,4 (2)	0,07	Y	Pa-234	6,70 (5) h
766,51 (3)	0,617 (17)	Y	Pb-211	36,1 (2) min
766,64 (5)	0,005 7 (22)	Y	Fr-223	22,00 (7) min
766,675 (35)	4,10 (29)	Y	I-134	52,5 (2) min
766,72 (3)	0,787 (18)	Y	Ge-77	11,30 (1) h
766,76 (12)	0,176 (19)	Y	Rb-89	15,2 (1) min
767,0 (3)	0,195 (20)	Y	Ca-47	4,536 (2) d
767,0 (1)	0,000 005 01 (3)	Y	Am-241	432,6 (6) a
767,20 (3)	29,6 (6)	Y	Te-134	41,8 (8) min
767,28 (8)	3,28 (24)	Y	Pb-201	9,33 (3) h
767,4 (8)	0,001 6 (7)	Y	W-187	23,72 (6) h
767,478 (30)	0,032 7 (6)	Y	Re-186	3,7186 (17) d
767,70 (6)	0,003 2 (4)	Y	Ce-143	33,040 (7) h
768,15 (11)	0,002 0 (2)	Y	U-239	23,46 (4) min
768,356 (10)	4,892 (16)	Y	Bi-214	19,9 (4) min
768,360 (6)	0,457 (15)	Y	I-133	20,87 (8) h
768,4 (4)	0,005 6 (12)	Y	Sm-155	22,3 (2) min
768,56 (7)	0,087 (9)	Y	Eu-156	15,19 (8) d
768,77 (5)	0,004 2 (6)	Y	Te-129	1,160 (5) h
768,77 (5)	0,002 9 (17)	Y	Te-129m	33,6 (1) d
768,93 (6)	0,003 6 (4)	Y	Os-185	93,6 (5) d
768,944 (9)	0,088 (3)	Y	Eu-152	13,522 (16) a
769,1 (2)	0,262 (22)	Y	Pr-147	13,4 (4) min
769,10 (8)	0,106 (10)	Y	Pm-151	1,183 (2) d
769,1 (1)	0,185	Y	Pa-234	6,70 (5) h
769,15 (8)	0,000 005 1 (10)	Y	Pu-239	24 100 (11) a
769,4 (5)	0,000 006 8 (12)	Y	Pu-239	24 100 (11) a
769,52 (17)	0,000 4 (1)	Y	U-239	23,46 (4) min
769,778 (17)	0,67 (3)	Y	Re-184	38,0 (5) d
769,778 (17)	0,235 (19)	Y	Re-184m	169 (8) d
770,044 (18)	0,006 3 (8)	Y	Ac-228	6,15 (2) h
770,2 (2)	0,213 (18)	Y	Pa-228	22 (1) h
770,6 (2)	0,104 (8)	Y	Ni-65	2,5172 (3) h
770,6 (1)	0,000 004 81 (5)	Y	Am-241	432,6 (6) a
770,64 (9)	0,002 69 (22)	Y	Zn-65	244,01 (9) d
771,0 (9)	0,042 (16)	Y	Cs-140	1,062 (5) min
771,7 (7)	0,02 (2)	Y	I-132	2,295 (13) h
771,74 (5)	0,122 (11)	Y	As-76	1,0778 (20) d
771,8 (2)	0,414 (25)	Y	Br-76	16,2 (2) h
771,86 (16)	0,35 (5)	Y	Kr-91	8,57 (4) s
772 (1)	0,043 (10)	Y	Ga-72	14,10 (2) h
772,0 (1)	0,056 (9)	Y	Xe-139	39,68 (14) s
772,17	0,000 002 79 (3)	Y	Am-241	432,6 (6) a
772,28 (2)	2,35 (18)	Y	Pa-228	22 (1) h
772,291 (5)	1,49 (3)	Y	Ac-228	6,15 (2) h
772,4 (2)	0,072	Y	Pa-234	6,70 (5) h
772,60 (1)	75,6 (13)	Y	I-132	2,295 (13) h
772,60 (1)	14 (2)	Y	I-132m	1,387 (15) h
772,60 (1)	100	Y	Xe-132m	8,39 (11) E-3 s
772,76 (8)	0,90 (8)	Y	Pm-151	1,183 (2) d
772,89 (5)	4,12 (14)	Y	W-187	23,72 (6) h
772,94 (9)	0,002 9 (2)	Y	U-239	23,46 (4) min
773,16 (7)	0,94	Y	I-137	24,5 (2) s
773,283 (15)	0,605 (22)	Y	Eu-150	36,9 (9) a
773,31 (10)	0,233 (18)	Y	Cs-138	33,41 (18) min
773,32 (3)	0,000 022 (7)	Y	Re-186	3,7186 (17) d
773,390 (14)	0,002 19 (11)	Y	Yb-169	32,018 (5) d
773,4 (5)	0,112 (14)	Y	Xe-139	39,68 (14) s
773,4 (4)	0,000 15 (4)	Y	Th-227	18,718 (5) d
773,67 (3)	39,5 (18)	Y	Te-131m*	1,25 (8) d
774,0 (4)	0,014	Y	Th-233	22,15 (15) min
774,1 (1)	0,6 (2)	Y	Te-131m*	1,25 (8) d
774,1 (2)	0,06	Y	Ac-228	6,15 (2) h
774,1 (2)	0,024 2 (13)	Y	Pa-228	22 (1) h
774,12 (10)	4,1 (9)	Y	Xe-140	13,6 (1) s
774,14 (6)	0,097 (15)	Y	Kr-88	2,84 (3) h
774,15 (10)	0,35 (17)	Y	Mo-101	14,6 (1) min
774,21 (15)	0,066 (10)	Y	Xe-138	14,08 (8) min

* : Radionucléide en équilibre avec son descendant
(Cf. liste en début de volume)

Énergie (keV)	Intensité (%)	Type	Parent	Période
774,4	0,008 (4)	Y	Eu-154	8,601 (4) a
774,7 (1)	0,006 (3)	Y	Ag-110m	249,78 (2) d
774,77 (4)	0,015 (2)	Y	U-239	23,46 (4) min
775,0 (8)	0,190 (19)	Y	Zr-97	16,90 (5) h
775,1 (2)	0,014 (4)	Y	I-124	4,1760 (3) d
775,30 (5)	0,48 (10)	Y	Fr-223	22,00 (7) min
775,6 (4)	0,084 (11)	Y	Xe-139	39,68 (14) s
775,8 (3)	0,015 1 (6)	Y	Ge-77	11,30 (1) h
775,8 (8)	0,104 (19)	Y	Mo-101	14,6 (1) min
775,8	3,0 (15)	Y	Sb-132m	4,10 (7) min
775,8 (5)	0,001 51 (15)	Y	Th-227	18,718 (5) d
775,9 (3)	0,000 4 (2)	Y	Os-193	1,2546 (4) d
776,06 (7)	0,20 (6)	Y	Cs-143	1,791 (7) s
776,19 (25)	0,075 (19)	Y	Rb-89	15,2 (1) min
776,49 (20)	1,13 (20)	Y	Kr-89	3,17 (2) min
776,517 (3)	83,4 (2)	Y	Br-82	1,4708 (13) d
776,519 (12)	0,019 (6)	Y	Ac-228	6,15 (2) h
776,519 (12)	0,74 (6)	Y	Pa-228	22 (1) h
777	0,007 (3)	Y	Eu-150	36,9 (9) a
777,92 (40)	0,055	Y	I-137	24,5 (2) s
777,921 (20)	4,28 (8)	Y	Mo-99*	2,7479 (6) d
778,0 (3)	0,20 (6)	Y	Te-133	12,45 (30) min
778	0,026 (5)	Y	Eu-156	15,19 (8) d
778,10 (19)	0,044 (10)	Y	Xe-138	14,08 (8) min
778,1 (2)	0,25 (3)	Y	Pa-228	22 (1) h
778,200 (15)	96,45 (22)	Y	Nb-96	23,35 (5) h
778,23	0,022 (6)	Y	Ac-228	6,15 (2) h
778,29 (5)	0,97 (4)	Y	Mo-101	14,6 (1) min
778,3 (5)	0,001 5 (5)	Y	Pd-109	13,7 (1) h
778,4	0,078 (19)	Y	Ba-141	18,27 (7) min
778,48 (15)	0,001 66 (37)	Y	Os-193	1,2546 (4) d
778,6 (1)	0,64 (13)	Y	Cs-143	1,791 (7) s
778,6 (2)	0,045	Y	Pa-234	6,70 (5) h
778,8 (3)	0,004 8 (5)	Y	Po-213	3,70 (5) E-6 s
778,827 (6)	3,01 (8)	Y	Ho-166m	1 200 (180) a
778,9	0,001 9 (9)	Y	Eu-152m	9,3116 (13) h
778,904 5 (24)	12,97 (6)	Y	Eu-152	13,522 (16) a
779,0 (5)	0,20 (6)	Y	I-138	6,49 (7) s
779,12 (8)	0,097 (21)	Y	Kr-88	2,84 (3) h
779,57 (14)	0,000 6 (1)	Y	U-239	23,46 (4) min
779,67 (4)	1,77 (19)	Y	Te-133m	55,4 (4) min
779,9 (4)	0,27 (6)	Y	Rb-90m	4,30 (7) min
780,0 (2)	1,18 (4)	Y	I-132	2,295 (13) h
780,2 (6)	0,10 (4)	Y	Kr-91	8,57 (4) s
780,4 (2)	0,27 (5)	Y	In-116m	54,29 (17) min
780,4 (2)	0,9	Y	Pa-234	6,70 (5) h
780,81 (6)	0,003 0 (7)	Y	Fr-223	22,00 (7) min
781,0 (5)	0,000 32 (6)	Y	Th-227	18,718 (5) d
781,1 (8)	0,11 (2)	Y	In-116m	54,29 (17) min
781,26 (3)	1,013 (24)	Y	Ge-77	11,30 (1) h
781,37 (10)	0,007 5 (5)	Y	Pa-234m	1,17 (3) min
781,4 (2)	0,011 2 (13)	Y	Pd-109	13,7 (1) h
781,64 (8)	0,000 003 0 (3)	Y	Yb-169	32,018 (5) d
782,08 (9)	0,33 (3)	Y	Cs-138	33,41 (18) min
782,08 (3)	0,44 (4)	Y	Pa-228	22 (1) h
782,11 (13)	0,33 (6)	Y	Te-133m	55,4 (4) min
782,142 (5)	0,485 (19)	Y	Ac-228	6,15 (2) h
782,45 (8)	7,9 (6)	Y	Te-131m*	1,25 (8) d
782,5 (5)	0,014 (3)	Y	Rb-81*	4,25 (25) h
782,9 (2)	0,45 (5)	Y	Xe-123	2,08 (2) h
783,1 (5)	0,062 (24)	Y	Xe-139	39,68 (14) s
783,2 (5)	0,006 1	Y	Th-233	22,15 (15) min
783,4 (1)	0,3	Y	Pa-234	6,70 (5) h
783,5 (9)	0,022 (15)	Y	Kr-89	3,17 (2) min
783,59 (6)	0,059 1 (11)	Y	I-123	13,2234 (37) h
783,6 (3)	0,03 (3)	Y	Ba-141	18,27 (7) min
783,6 (4)	0,57 (18)	Y	Tl-200	1,088 (5) d
784,14 (10)	0,049 (6)	Y	Eu-156	15,19 (8) d
784,2 (2)	0,000 67 (16)	Y	Os-193	1,2546 (4) d
784,2 (5)	0,000 097 (24)	Y	Th-227	18,718 (5) d
784,2 (5)	0,004 9	Y	Th-233	22,15 (15) min
784,4 (4)	0,38 (4)	Y	I-132	2,295 (13) h
784,77 (3)	1,32 (3)	Y	Ge-77	11,30 (1) h
784,93 (5)	0,009 3 (20)	Y	Fr-223	22,00 (7) min
785,05 (4)	0,082 (5)	Y	Ru-97	2,9 (1) d
785,10 (7)	0,220 (18)	Y	Pm-151	1,183 (2) d
785,12 (16)	3,8 (7)	Y	Br-86	55,1 (4) s
785,25 (16)	0,47 (6)	Y	Kr-91	8,57 (4) s
785,37 (9)	1,11 (1)	Y	Bi-212	60,54 (6) min
785,48 (5)	0,152 (18)	Y	I-135	6,57 (2) h

* : Radionucléide en équilibre avec son descendant
(Cf. liste en début de volume)

Énergie (keV)	Intensité (%)	Type	Parent	Période
785,78 (7)	0,012 0 (3)	Y	Ho-166	26,795 (29) h
785,78 (7)	0,019 (4)	Y	Ho-166m	1 200 (180) a
785,92 (9)	0,002 3 (7)	Y	Ba-131	11,50 (6) d
785,96 (9)	1,064 (13)	Y	Pb-214	26,8 (9) min
786,1 (4)	0,31 (5)	Y	Bi-214	19,9 (4) min
786,1 (5)	0,048	Y	I-137	24,5 (2) s
786,19 (1)	0,016 (1)	Y	Nb-95m	3,61 (3) d
786,27 (3)	1,19	Y	Pa-234	6,70 (5) h
786,27 (3)	0,055 (4)	Y	Pa-234m	1,17 (3) min
786,27 (3)	0,000 003 20 (9)	Y	Pu-238	87,74 (3) a
786,44 (8)	3,20 (6)	Y	Ga-72	14,10 (2) h
786,7 (6)	0,022 (6)	Y	Xe-139	39,68 (14) s
786,7 (1)	0,19 (6)	Y	Cs-143	1,791 (7) s
786,89	0,003 6 (18)	Y	Xe-135m	15,30 (3) min
786,9 (2)	0,41 (6)	Y	Xe-140	13,6 (1) s
786,93 (2)	5,4 (1)	Y	Te-133	12,45 (30) min
787,1 (3)	1,03 (18)	Y	Tl-200	1,088 (5) d
787,2 (6)	0,000 002 (2)	Y	N-16	7,13 (2) s
787,29 (10)	0,59 (8)	Y	Pb-201	9,33 (3) h
787,40 (9)	0,002 6 (5)	Y	Ce-143	33,040 (7) h
787,4 (5)	0,000 039 (10)	Y	Th-227	18,718 (5) d
787,6 (1)	0,002 7 (7)	Y	Fr-223	22,00 (7) min
787,6 (5)	0,000 11 (3)	Y	Th-227	18,718 (5) d
787,739 1 (23)	0,310 (4)	Y	Co-56	77,236 (26) d
788 (3)	0,007 (7)	Y	Br-80	17,68 (2) min
788	0,004 (3)	Y	Eu-150	36,9 (9) a
788,04 (8)	3,5 (4)	Y	Xe-139	39,68 (14) s
788,19 (7)	0,004 7 (2)	Y	U-239	23,46 (4) min
788,28 (4)	0,53 (3)	Y	Kr-88	2,84 (3) h
788,6 (5)	0,015 (5)	Y	Bi-214	19,9 (4) min
788,742 (8)	34,4 (5)	Y	La-138	102 (1) E+9 a
788,92 (8)	0,097 (3)	Y	Ge-77	11,30 (1) h
789,1 (2)	0,47 (4)	Y	Br-76	16,2 (2) h
789,2 (5)	0,119 (17)	Y	Fr-227	2,47 (3) min
789,69 (6)	0,050 (4)	Y	I-133	20,87 (8) h
789,7 (3)	0,44 (12)	Y	Te-133m	55,4 (4) min
790,04 (13)	0,126 (10)	Y	Mo-101	14,6 (1) min
790,14 (5)	0,66 (4)	Y	Rb-83	86,2 (1) d
790,2	0,010 (3)	Y	Eu-154	8,601 (4) a
790,32 (7)	0,125 (12)	Y	Kr-88	2,84 (3) h
790,7 (2)	0,028 (4)	Y	I-124	4,1760 (3) d
790,73 (3)	0,74 (1)	Y	Sb-124	60,20 (3) d
791,07 (2)	0,013 3 (5)	Y	Ce-143	33,040 (7) h
791,2 (4)	0,099 (20)	Y	I-132	2,295 (13) h
791,33 (6)	0,007 3 (2)	Y	U-239	23,46 (4) min
791,427 (15)	0,013 (3)	Y	Ac-228	6,15 (2) h
791,427 (15)	0,36 (5)	Y	Pa-228	22 (1) h
791,49 (25)	0,010 (3)	Y	Ac-228	6,15 (2) h
791,7 (9)	0,11 (11)	Y	Te-133m	55,4 (4) min
791,94 (5)	0,000 011 4 (20)	Y	Pa-234m	1,17 (3) min
792,067 (22)	37,5 (11)	Y	Re-184	38,0 (5) d
792,067 (22)	3,69 (19)	Y	Re-184m	169 (8) d
792,1 (1)	0,66 (11)	Y	Cs-143	1,791 (7) s
792,2 (1)	0,000 75 (22)	Y	Fr-223	22,00 (7) min
792,5 (1)	2,5 (3)	Y	Tc-104	18,3 (3) min
792,6 (9)	0,11 (11)	Y	Te-133m	55,4 (4) min
792,6 (6)	0,000 068 (13)	Y	Th-227	18,718 (5) d
792,7	0,131 (7)	Y	Pa-228	22 (1) h
792,8 (7)	0,002 2 (16)	Y	Pm-151	1,183 (2) d
792,8	0,08	Y	Ac-228	6,15 (2) h
792,8 (3)	0,044	Y	Pa-234	6,70 (5) h
792,9 (9)	0,11 (11)	Y	Te-133m	55,4 (4) min
792,9 (4)	0,022 (10)	Y	Xe-138	14,08 (8) min
793,2 (2)	0,011 (5)	Y	Sb-122	2,70 (1) d
793,6 (1)	0,064 (4)	Y	Sr-91*	9,63 (5) h
793,75 (3)	14,1 (9)	Y	Te-131m*	1,25 (8) d
794,24 (10)	0,83 (6)	Y	Pr-147	13,4 (4) min
794,33 (3)	0,277 (7)	Y	Ge-77	11,30 (1) h
794,381 (15)	0,052 0 (24)	Y	Ga-67	3,2613 (5) d
794,6 (6)	0,084 (21)	Y	Cs-140	1,062 (5) min
794,7 (9)	1,1 (3)	Y	Te-133m	55,4 (4) min
794,7 (1)	0,000 6	Y	U-235	704 (1) E+6 a
794,8 (2)	0,025 (9)	Y	W-187	23,72 (6) h
794,81 (3)	0,026 3 (10)	Y	Eu-152	13,522 (16) a
794,9 (2)	0,67	Y	Pa-234	6,70 (5) h
794,947 (5)	4,25 (7)	Y	Ac-228	6,15 (2) h
794,97 (2)	3,21 (24)	Y	Pa-228	22 (1) h
795,13 (15)	0,000 8 (2)	Y	U-239	23,46 (4) min
795,3 (2)	0,041 (5)	Y	I-124	4,1760 (3) d
795,3 (5)	0,071 (17)	Y	Fr-227	2,47 (3) min

* : Radionucléide en équilibre avec son descendant
(Cf. liste en début de volume)

Énergie (keV)	Intensité (%)	Type	Parent	Période
795,4 (3)	0,17 (5)	Y	Tc-104	18,3 (3) min
795,5 (4)	0,023 (23)	Y	I-135	6,57 (2) h
795,74 (9)	0,058 (5)	Y	Pm-151	1,183 (2) d
795,84 (1)	85,52 (3)	Y	Cs-134	2,0651 (6) a
795,85 (8)	0,000 7 (2)	Y	Ba-131	11,50 (6) d
795,9 (8)	0,123 (19)	Y	Zr-97	16,90 (5) h
795,9 (9)	0,11 (11)	Y	Te-133m	55,4 (4) min
796 (1)	0,186 (10)	Y	Pa-228	22 (1) h
796,09 (15)	0,1	Y	I-137	24,5 (2) s
796,1 (3)	0,003 4 (15)	Y	Eu-152m	9,3116 (13) h
796,1 (1)	2,6	Y	Pa-234	6,70 (5) h
796,21 (5)	0,002 9 (7)	Y	Ga-66	9,49 (7) h
796,22 (5)	0,011 (3)	Y	Fr-223	22,00 (7) min
796,8 (5)	0,142 (14)	Y	Pr-147	13,4 (4) min
797,0 (4)	0,004 5 (32)	Y	As-76	1,0778 (20) d
797 (2)	0,074 (23)	Y	Br-76	16,2 (2) h
797,3 (5)	0,000 90 (12)	Y	Th-227	18,718 (5) d
797,45 (6)	0,036 (1)	Y	Ba-131	11,50 (6) d
797,68 (15)	0,24 (3)	Y	Kr-91	8,57 (4) s
797,7 (5)	0,053 (23)	Y	Cs-138	33,41 (18) min
797,71 (8)	0,17 (3)	Y	I-135	6,57 (2) h
797,73 (6)	0,109 (11)	Y	Eu-156	15,19 (8) d
798,0 (5)	0,069 (10)	Y	Mo-101	14,6 (1) min
798,6 (3)	0,082 (10)	Y	Br-87	55,65 (13) s
798,65 (21)	0,028 (10)	Y	Kr-88	2,84 (3) h
798,80 (8)	0,048 0 (12)	Y	Ge-77	11,30 (1) h
798,9 (8)	0,115 (17)	Y	Cs-140	1,062 (5) min
799,36 (4)	0,237 (16)	Y	Rb-83	86,2 (1) d
799,6 (6)	0,016 (10)	Y	Xe-138	14,08 (8) min
799,6 (3)	98,969 (30)	Y	Tl-210	1,30 (3) min
799,7 (1)	0,010 4 (6)	Y	Po-214	162,3 (12) E-6 s
800,1 (4)	0,54 (21)	Y	Xe-140	13,6 (1) s
800,13 (5)	0,001 0 (5)	Y	Ga-66	9,49 (7) h
800,2	0,032 (5)	Y	Eu-154	8,601 (4) a
800,28 (5)	1,1 (3)	Y	Sn-125	9,64 (3) d
800,3 (2)	0,120 (13)	Y	Pr-147	13,4 (4) min
800,54 (5)	1,1 (3)	Y	Te-133m	55,4 (4) min
800,9 (3)	0,000 32 (16)	Y	Os-193	1,2546 (4) d
801,1 (5)	0,019 (13)	Y	Rb-89	15,2 (1) min
801,2 (2)	0,147 (12)	Y	K-43	22,2 (1) h
801,2 (1)	0,043 (6)	Y	Pa-228	22 (1) h
801,21 (4)	0,012 (3)	Y	Eu-154	8,601 (4) a
801,62 (9)	0,59 (7)	Y	Xe-139	39,68 (14) s
801,7	0,133 (21)	Y	Ba-141	18,27 (7) min
801,93 (2)	8,70 (2)	Y	Cs-134	2,0651 (6) a
801,94 (20)	0,000 001 23 (7)	Y	Am-241	432,6 (6) a
802,10 (5)	0,192 (14)	Y	Te-129	1,160 (5) h
802,17 (15)	0,122 (23)	Y	Kr-91	8,57 (4) s
802,3 (2)	0,031	Y	Pa-234	6,70 (5) h
802,4 (4)	0,004 1 (13)	Y	Xe-137	3,818 (13) min
802,6 (3)	0,038 (23)	Y	Cs-138	33,41 (18) min
802,7 (3)	0,020 (5)	Y	Xe-123	2,08 (2) h
802,84 (23)	0,028 0 (11)	Y	Ge-77	11,30 (1) h
802,9 (3)	0,06 (2)	Y	Te-133	12,45 (30) min
803,06 (3)	0,005 0 (3)	Y	Tl-206	4,202 (11) min
803,10 (5)	0,001 23 (4)	Y	Po-210	138,3763 (17) d
803,25 (8)	0,15 (2)	Y	V-48	15,9735 (25) d
803,3 (3)	0,13 (2)	Y	Te-133	12,45 (30) min
803,5 (2)	0,53 (4)	Y	Br-76	16,2 (2) h
803,5 (3)	2,8 (7)	Y	Br-86	55,1 (4) s
803,66 (7)	1,52 (13)	Y	Pb-201	9,33 (3) h
803,74 (6)	0,82 (3)	Y	Rb-81*	4,25 (25) h
803,77 (5)	0,063 (13)	Y	Fr-223	22,00 (7) min
803,9 (4)	0,000 63 (6)	Y	Th-227	18,718 (5) d
804,1 (1)	0,62	Y	Pa-234	6,70 (5) h
804,29 (5)	0,96 (4)	Y	Mo-101	14,6 (1) min
804,52 (9)	0,66 (7)	Y	Zr-97	16,90 (5) h
804,60 (13)	0,022 (3)	Y	Te-129	1,160 (5) h
804,8 (4)	0,031	Y	Th-233	22,15 (15) min
804,9 (5)	0,001 9 (3)	Y	Po-216	150 (5) E-3 s
805,1 (3)	0,17 (6)	Y	Te-133m	55,4 (4) min
805,3	0,064 (15)	Y	Ba-141	18,27 (7) min
805,52 (10)	20 (2)	Y	Xe-140	13,6 (1) s
805,70 (7)	0,012 5 (8)	Y	Eu-152	13,522 (16) a
805,74 (10)	0,004 3 (3)	Y	Pa-234m	1,17 (3) min
805,80 (5)	2,5	Y	Pa-234	6,70 (5) h
805,83 (8)	0,094 (3)	Y	Ga-68	1,1275 (10) h
806,0 (1)	1,75 (13)	Y	Sr-94	1,235 (5) min
806,174 (18)	1,262 (6)	Y	Bi-214	19,9 (4) min
806,34 (2)	0,028 7 (9)	Y	Ce-143	33,040 (7) h

* : Radionucléide en équilibre avec son descendant
(Cf. liste en début de volume)

Énergie (keV)	Intensité (%)	Type	Parent	Période
806,4	0,064 (14)	Y	Ba-141	18,27 (7) min
806,4 (3)	0,003 8 (9)	Y	Pt-191	2,802 (25) d
806,4 (5)	0,013	Y	Th-233	22,15 (15) min
807 (1)	0,000 039 (4)	Y	Bi-212	60,54 (6) min
807,14 (9)	0,57 (5)	Y	Kr-91	8,57 (4) s
807,2 (3)	0,046 (18)	Y	I-135	6,57 (2) h
807,36 (1)	0,292 (12)	Y	Bi-213	45,59 (6) min
807,85 (10)	6,8 (4)	Y	Ca-47	4,536 (2) d
807,90 (6)	0,56 (5)	Y	Pm-151	1,183 (2) d
808,2 (5)	0,003 0 (2)	Y	Pa-234m	1,17 (3) min
808,3 (2)	0,030 (7)	Y	Tl-208	3,060 (8) min
808,4 (3)	0,036	Y	Pa-234	6,70 (5) h
808,6 (4)	0,000 076 (25)	Y	Th-227	18,718 (5) d
809,17 (10)	0,097 (7)	Y	Kr-79	35,04 (10) h
809,2 (4)	0,007 0 (11)	Y	Xe-125	16,9 (2) h
809,3 (2)	0,000 10 (2)	Y	Fr-221	4,79 (2) min
809,5 (2)	2,6 (3)	Y	I-132	2,295 (13) h
809,8 (1)	0,017 1 (12)	Y	As-76	1,0778 (20) d
809,8 (10)	0,05 (3)	Y	Cs-140	1,062 (5) min
809,98 (2)	0,031 2 (9)	Y	Ce-143	33,040 (7) h
810,20 (9)	2,00 (3)	Y	Ga-72	14,10 (2) h
810,286 (4)	57,3 (11)	Y	Ho-166m	1 200 (180) a
810,330 (15)	11,09 (10)	Y	Nb-96	23,35 (5) h
810,35 (3)	2,27 (6)	Y	Ge-77	11,30 (1) h
810,4 (5)	0,071 (17)	Y	Fr-227	2,47 (3) min
810,451 (5)	0,317 (3)	Y	Eu-152	13,522 (16) a
810,451 (5)	0,025 (3)	Y	Eu-152m	9,3116 (13) h
810,49 (4)	0,000 92 (22)	Y	Re-188	17,005 (4) h
810,66 (19)	0,002 5 (6)	Y	Ir-194	19,3 (1) h
810,759 (2)	99,45 (1)	Y	Co-58	70,83 (10) d
811,13 (9)	0,058 (6)	Y	Tc-101	14,2 (1) min
811,5 (1)	0,124	Y	Pa-234	6,70 (5) h
811,6 (2)	0,007 8	Y	Th-233	22,15 (15) min
811,77 (5)	9,7 (8)	Y	Eu-156	15,19 (8) d
811,8 (1)	0,068 (8)	Y	Pm-151	1,183 (2) d
811,84 (7)	0,23	Y	I-137	24,5 (2) s
811,85 (3)	86,0 (9)	Y	Ni-56	6,079 (10) d
812,0 (2)	5,5 (4)	Y	I-132	2,295 (13) h
812,2 (15)	0,040 (13)	Y	Br-80	17,68 (2) min
812,40 (6)	0,022 (5)	Y	Fr-223	22,00 (7) min
812,5 (5)	0,14 (5)	Y	Br-76	16,2 (2) h
812,581 (15)	2,95 (8)	Y	Nb-96	23,35 (5) h
812,6 (4)	0,001 7 (3)	Y	Th-227	18,718 (5) d
812,63 (3)	0,070 (3)	Y	Xe-135	9,14 (2) h
812,89 (3)	0,066 9 (3)	Y	U-239	23,46 (4) min
813,0 (3)	0,060 (18)	Y	Cs-138	33,41 (18) min
813,36 (8)	0,132 (4)	Y	Ge-77	11,30 (1) h
813,4 (2)	0,12 (3)	Y	Te-133	12,45 (30) min
813,919 (21)	0,007 0 (16)	Y	Ac-228	6,15 (2) h
813,919 (21)	0,001 1 (3)	Y	Pa-228	22 (1) h
814,0 (4)	0,13 (4)	Y	Kr-91	8,57 (4) s
814,07 (10)	0,003 3 (2)	Y	Pr-144	17,29 (3) min
814,1 (3)	4,9 (5)	Y	Sb-132	2,79 (5) min
814,1 (2)	0,057 (7)	Y	Pr-147	13,4 (4) min
814,2 (1)	0,10 (3)	Y	Pa-232	1,31 (2) d
814,2 (1)	0,31	Y	Pa-234	6,70 (5) h
814,25 (6)	0,164 (10)	Y	Kr-87	1,272 (8) h
814,3 (6)	0,057 (19)	Y	Zr-97	16,90 (5) h
815,0 (1)	0,039 (3)	Y	Bi-214	19,9 (4) min
815,29 (8)	0,19 (3)	Y	Mo-101	14,6 (1) min
815,50 (2)	0,039 (4)	Y	Ag-110	24,56 (11) s
815,53 (5)	0,512 (7)	Y	Eu-154	8,601 (4) a
815,781 (6)	23,72 (12)	Y	La-140	1,67850 (17) d
815,9 (4)	0,028	Y	Th-233	22,15 (15) min
816,06 (18)	0,072 (13)	Y	Xe-138	14,08 (8) min
816,34 (8)	0,07 (1)	Y	Xe-123	2,08 (2) h
816,34 (8)	0,77 (6)	Y	Te-133m	55,4 (4) min
816,38 (7)	0,59 (5)	Y	I-134	52,5 (2) min
816,44 (8)	0,049 (5)	Y	Eu-150	36,9 (9) a
816,5 (5)	0,101 (25)	Y	Rb-91	58,4 (4) s
816,5 (12)	0,031 (4)	Y	Pa-228	22 (1) h
816,54 (8)	0,001 6 (4)	Y	Fr-223	22,00 (7) min
816,56 (2)	0,009 9 (8)	Y	W-187	23,72 (6) h
816,6 (2)	10,9 (10)	Y	Sb-132	2,79 (5) min
816,71 (10)	0,030 (3)	Y	Ac-228	6,15 (2) h
816,9 (2)	0,078 (5)	Y	Sb-124	60,20 (3) d
817,0 (6)	0,016	Y	Th-233	22,15 (15) min
817,04 (5)	0,09 (6)	Y	Te-129m	33,6 (1) d
817,64 (18)	0,46 (5)	Y	Kr-91	8,57 (4) s
817,7 (2)	0,26 (6)	Y	Pm-151	1,183 (2) d

* : Radionucléide en équilibre avec son descendant
(Cf. liste en début de volume)

Énergie (keV)	Intensité (%)	Type	Parent	Période
817,89 (7)	0,000 068 (9)	Y	Cm-244	18,11 (3) a
818 (1)	0,000 029 (11)	Y	Th-227	18,718 (5) d
818,024 4 (18)	0,009 2 (9)	Y	Ag-110	24,56 (11) s
818,024 4 (18)	7,33 (4)	Y	Ag-110m	249,78 (2) d
818,1 (2)	0,000 17 (8)	Y	Th-227	18,718 (5) d
818,2 (5)	0,001 0 (2)	Y	Pa-234m	1,17 (3) min
818,29 (15)	0,27 (3)	Y	Xe-139	39,68 (14) s
818,514 (12)	99,7	Y	Cs-136	13,16 (3) d
818,514 (12)	99,59 (2)	Y	Ba-136m	308,4 (19) E-3 s
818,7 (2)	11,5 (4)	Y	In-116m	54,29 (17) min
819,187 (30)	7,45 (10)	Y	Pa-232	1,31 (2) d
819,19 (2)	0,125 9 (4)	Y	U-239	23,46 (4) min
819,2 (1)	1,88	Y	Pa-234	6,70 (5) h
819,30 (12)	0,024 3 (11)	Y	Xe-125	16,9 (2) h
819,3 (3)	0,17 (11)	Y	Te-133m	55,4 (4) min
820,1 (3)	0,06 (1)	Y	Xe-123	2,08 (2) h
820,106 (25)	0,008 1 (10)	Y	Dy-165	2,334 (6) h
820,36 (7)	0,169 (15)	Y	Eu-156	15,19 (8) d
820,5 (4)	0,078 (10)	Y	Xe-139	39,68 (14) s
820,505 (17)	0,154 (6)	Y	I-133	20,87 (8) h
820,61 (1)	0,000 38	Y	Nb-95m	3,61 (3) d
820,8 (2)	0,161 (7)	Y	Sr-91*	9,63 (5) h
820,9 (5)	0,044 (21)	Y	Xe-140	13,6 (1) s
820,9 (4)	0,247 (20)	Y	Cs-140	1,062 (5) min
821,1 (2)	0,041 (4)	Y	Tl-208	3,060 (8) min
821,18 (3)	0,166 (10)	Y	Bi-214	19,9 (4) min
821,2 (1)	1,06 (9)	Y	Np-240	61,9 (2) min
821,56 (18)	0,000 137 (10)	Y	Se-75	119,79 (4) d
822,0 (4)	0,031 (13)	Y	Rb-89	15,2 (1) min
822,01 (12)	0,090 (11)	Y	Kr-88	2,84 (3) h
822,14 (18)	0,40 (5)	Y	Kr-91	8,57 (4) s
822,45 (11)	0,034 (10)	Y	Pm-151	1,183 (2) d
822,48 (5)	4,3 (12)	Y	Sn-125	9,64 (3) d
822,7 (1)	0,5 (3)	Y	Cs-143	1,791 (7) s
822,74 (6)	6,2 (5)	Y	Te-131m*	1,25 (8) d
822,9 (4)	0,000 19 (3)	Y	Pd-109	13,7 (1) h
822,972 (15)	0,132 1 (29)	Y	Mo-99*	2,7479 (6) d
823,13 (4)	0,598 (13)	Y	Ge-77	11,30 (1) h
823,20 (7)	0,008 7 (20)	Y	Fr-223	22,00 (7) min
823,4 (4)	0,002 5 (3)	Y	Th-227	18,718 (5) d
823,5 (3)	0,015 (5)	Y	Xe-123	2,08 (2) h
823,7 (1)	0,067 (4)	Y	Sr-91*	9,63 (5) h
823,9 (5)	0,080 (25)	Y	Te-133	12,45 (30) min
824,0 (3)	0,12 (2)	Y	Br-87	55,65 (13) s
824,2 (3)	0,014 (3)	Y	Rb-81m	30,25 (25) min
824,2 (2)	1,24	Y	Pa-234	6,70 (5) h
824,23 (10)	0,207 (20)	Y	Rb-90	2,70 (5) min
824,23 (10)	8,7 (6)	Y	Rb-90m	4,30 (7) min
824,934 (23)	0,050 (5)	Y	Ac-228	6,15 (2) h
825,1 (2)	1,88	Y	Pa-234	6,70 (5) h
825,2 (7)	0,017 6 (15)	Y	Re-188	17,005 (4) h
825,4 (8)	0,043 (11)	Y	Ge-77	11,30 (1) h
825,5 (3)	0,000 7 (5)	Y	Eu-152m	9,3116 (13) h
825,6 (5)	0,001 4 (2)	Y	Pa-234m	1,17 (3) min
825,82 (16)	0,41 (5)	Y	Kr-91	8,57 (4) s
825,95 (7)	0,057 (12)	Y	Fr-223	22,00 (7) min
826,01 (7)	0,000 7 (5)	Y	Eu-152m	9,3116 (13) h
826,10 (3)	0,007 6 (8)	Y	Co-60	5,2710 (8) a
826,21 (8)	2,38 (17)	Y	Pb-201	9,33 (3) h
826,28 (9)	0,008	Y	Co-60m	10,47 (4) min
826,3 (2)	0,129 (11)	Y	Bi-214	19,9 (4) min
826,4	0,40 (4)	Y	Ba-141	18,27 (7) min
826,7 (5)	0,000 16 (5)	Y	Th-227	18,718 (5) d
826,75 (10)	0,76 (8)	Y	Kr-89	3,17 (2) min
826,8 (2)	0,007 1 (8)	Y	Bi-213	45,59 (6) min
826,9 (15)	0,026 (16)	Y	Cs-140	1,062 (5) min
827	0,002 5 (25)	Y	Mo-93m	6,85 (7) h
827,05 (9)	0,55 (12)	Y	Te-133m	55,4 (4) min
827,828 (6)	24,1 (3)	Y	Br-82	1,4708 (13) d
828,32 (10)	10,8 (6)	Y	Tl-200	1,088 (5) d
828,5 (5)	0,000 19 (5)	Y	Th-227	18,718 (5) d
828,562 (14)	0,59 (3)	Y	Eu-150	36,9 (9) a
828,9 (2)	0,000 76 (4)	Y	Th-227	18,718 (5) d
829,2 (3)	0,095 (25)	Y	Te-133	12,45 (30) min
829,3 (2)	0,36	Y	Pa-234	6,70 (5) h
829,47 (4)	0,41 (3)	Y	Re-188	17,005 (4) h
829,59 (17)	0,000 4 (1)	Y	U-239	23,46 (4) min
829,7 (1)	0,015 (6)	Y	Ta-182	114,43 (3) d
829,79 (9)	0,227 (19)	Y	Zr-97	16,90 (5) h
829,93 (5)	0,006 4 (5)	Y	Te-129	1,160 (5) h

* : Radionucléide en équilibre avec son descendant
(Cf. liste en début de volume)

Énergie (keV)	Intensité (%)	Type	Parent	Période	
830,3	0,008 (3)	Y	Eu-154	8,601 (4)	a
830,485 (9)	0,540 (21)	Y	Ac-228	6,15 (2)	h
830,485 (9)	2,7 (2)	Y	Pa-228	22 (1)	h
830,565 (4)	9,72 (18)	Y	Ho-166m	1 200 (180)	a
830,69 (8)	1,62 (18)	Y	I-138	6,49 (7)	s
830,7 (2)	0,057	Y	I-137	24,5 (2)	s
830,816 (21)	0,532 (21)	Y	Eu-150	36,9 (9)	a
830,9 (4)	0,05 (1)	Y	In-116m	54,29 (17)	min
831,26 (7)	1,30 (9)	Y	Br-87	55,65 (13)	s
831,3 (5)	0,03 (1)	Y	I-132	2,295 (13)	h
831,5 (1)	4,1	Y	Pa-234	6,70 (5)	h
831,62 (3)	0,227 9 (22)	Y	Ba-131	11,50 (6)	d
831,69 (5)	40 (3)	Y	Rb-90	2,70 (5)	min
831,69 (5)	94 (6)	Y	Rb-90m	4,30 (7)	min
831,7	1,61 (14)	Y	Ba-141	18,27 (7)	min
831,89 (9)	0,002 0 (2)	Y	U-239	23,46 (4)	min
831,92 (25)	0,067 (20)	Y	Eu-150	36,9 (9)	a
831,97 (10)	1,26 (8)	Y	Kr-79	35,04 (10)	h
832,0 (1)	0,000 014 (2)	Y	Th-228	1,9127 (6)	a
832,0 (3)	0,008 1	Y	Th-233	22,15 (15)	min
832,01 (3)	3,52 (6)	Y	Pb-211	36,1 (2)	min
832,39 (11)	0,035 (2)	Y	Bi-214	19,9 (4)	min
832,41 (24)	0,073 (10)	Y	Xe-139	39,68 (14)	s
833 (1)	0,220 (5)	Y	Cu-66	5,120 (14)	min
833 (1)	0,15 (5)	Y	Cs-143	1,791 (7)	s
833	0,001 08 (6)	Y	Rn-219	3,96 (1)	s
833,28 (5)	0,045 (4)	Y	Te-129	1,160 (5)	h
833,3 (3)	0,040 (5)	Y	Xe-123	2,08 (2)	h
833,532 4 (21)	5,9 (5)	Y	Ga-66	9,49 (7)	h
833,8	0,17 (4)	Y	Ba-141	18,27 (7)	min
833,9 (1)	0,001 4 (3)	Y	Fr-223	22,00 (7)	min
834,0 (1)	0,73 (13)	Y	Cs-143	1,791 (7)	s
834,03 (3)	95,60 (7)	Y	Ga-72	14,10 (2)	h
834,4 (3)	0,043	Y	I-137	24,5 (2)	s
834,73 (6)	0,79 (3)	Y	Rb-81*	4,25 (25)	h
834,8 (4)	0,002 0 (7)	Y	La-141	3,92 (3)	h
834,83 (3)	13,0 (7)	Y	Kr-88	2,84 (3)	h
834,838 (5)	99,974 6 (11)	Y	Mn-54	312,13 (3)	d
834,9 (4)	0,17 (7)	Y	Br-87	55,65 (13)	s
835,13 (1)	0,000 025	Y	Nb-95m	3,61 (3)	d
835,2 (3)	1,5 (5)	Y	Bi-215	7,6 (2)	min
835,53 (10)	1,11 (11)	Y	Kr-89	3,17 (2)	min
835,55 (20)	0,009 (3)	Y	W-187	23,72 (6)	h
835,65 (2)	4,0 (3)	Y	Pa-228	22 (1)	h
835,710 (6)	1,61 (6)	Y	Ac-228	6,15 (2)	h
835,9 (2)	0,076 (11)	Y	Tl-208	3,060 (8)	min
836 (2)	0,001 1 (11)	Y	Po-218	3,094 (6)	min
836,37 (6)	0,77 (5)	Y	Kr-87	1,272 (8)	h
836,4 (2)	0,38 (8)	Y	Br-76	16,2 (2)	h
836,52 (7)	0,081 (9)	Y	Eu-156	15,19 (8)	d
836,58 (3)	0,307 (14)	Y	Eu-150	36,9 (9)	a
836,804 (16)	6,69 (23)	Y	I-135	6,57 (2)	h
837,1 (2)	0,000 582 (8)	Y	I-123	13,2234 (37)	h
837,1 (1)	0,52 (9)	Y	Cs-143	1,791 (7)	s
837,5 (5)	0,13 (5)	Y	I-138	6,49 (7)	s
837,5 (3)	0,010 (3)	Y	Fr-223	22,00 (7)	min
837,8 (5)	0,000 52 (12)	Y	Th-227	18,718 (5)	d
838,40 (8)	0,058 (10)	Y	Eu-150	36,9 (9)	a
838,6 (1)	0,78 (9)	Y	Tc-104	18,3 (3)	min
839,0 (2)	0,030 (6)	Y	Eu-156	15,19 (8)	d
839,04 (9)	0,587 (8)	Y	Pb-214	26,8 (9)	min
839,36 (4)	0,016 0 (8)	Y	Eu-152	13,522 (16)	a
839,5 (1)	0,031	Y	Pa-234	6,70 (5)	h
840,377 (7)	0,91 (4)	Y	Ac-228	6,15 (2)	h
840,377 (4)	1,48 (11)	Y	Pa-228	22 (1)	h
840,9 (4)	0,001 9 (10)	Y	Ba-131	11,50 (6)	d
841	0,046 (10)	Y	Ba-141	18,27 (7)	min
841,16 (10)	0,208 (18)	Y	Eu-156	15,19 (8)	d
841,48 (12)	0,002 4 (4)	Y	U-239	23,46 (4)	min
841,574 (5)	0,163 (2)	Y	Eu-152	13,522 (16)	a
841,63 (4)	14,2 (16)	Y	Eu-152m	9,3116 (13)	h
841,97 (5)	0,20 (2)	Y	Te-131	25,0 (1)	min
842,2 (2)	0,58 (9)	Y	Xe-140	13,6 (1)	s
842,2 (1)	0,005 7 (15)	Y	Fr-223	22,00 (7)	min
842,21 (16)	0,082 (11)	Y	Cs-138	33,41 (18)	min
842,5 (3)	0,000 87 (13)	Y	Th-227	18,718 (5)	d
842,7 (3)	0,040 (5)	Y	Xe-123	2,08 (2)	h
842,73 (7)	0,224 (9)	Y	Tc-101	14,2 (1)	min
843,17 (5)	0,208 (5)	Y	Ge-77	11,30 (1)	h
843,76 (3)	71,8 (4)	Y	Mg-27	9,458 (12)	min

* : Radionucléide en équilibre avec son descendant
(Cf. liste en début de volume)

Énergie (keV)	Intensité (%)	Type	Parent	Période
844,05 (2)	0,135 5 (4)	Y	U-239	23,46 (4) min
844,06 (5)	1,2 (3)	Y	Te-134	41,8 (8) min
844,1 (1)	0,42	Y	Pa-234	6,70 (5) h
844,1 (1)	0,001 10 (16)	Y	Pa-234m	1,17 (3) min
844,3 (1)	1,25 (12)	Y	Y-92	3,54 (2) h
844,36 (1)	3,3 (1)	Y	Te-133	12,45 (30) min
844,7 (6)	0,52 (11)	Y	Kr-89	3,17 (2) min
844,81 (5)	0,035 (20)	Y	Te-129m	33,6 (1) d
844,9 (2)	0,020 (11)	Y	Mo-93m	6,85 (7) h
845,07 (4)	0,006 5 (5)	Y	Re-188	17,005 (4) h
845,4 (5)	0,009 0 (19)	Y	Eu-152m	9,3116 (13) h
845,416 (7)	0,586 (9)	Y	Eu-154	8,601 (4) a
845,44 (4)	7,36 (40)	Y	Kr-87	1,272 (8) h
846,1 (2)	0,052	Y	Pa-234	6,70 (5) h
846,39 (4)	0,030 4 (4)	Y	U-239	23,46 (4) min
846,51 (6)	1,11 (4)	Y	Xe-125	16,9 (2) h
846,55 (8)	0,20 (4)	Y	Cs-143	1,791 (7) s
846,6 (4)	0,002 5 (13)	Y	I-124	4,1760 (3) d
846,6	0,064 (11)	Y	Ba-141	18,27 (7) min
846,7 (4)	0,11 (4)	Y	Kr-91	8,57 (4) s
846,7 (5)	0,000 15 (3)	Y	Th-227	18,718 (5) d
846,763 8 (19)	98,85 (3)	Y	Mn-56	2,57878 (46) h
846,763 8 (19)	99,939 9 (23)	Y	Co-56	77,236 (26) d
846,8 (5)	0,103 (17)	Y	Fr-227	2,47 (3) min
846,8 (7)	0,001 4	Y	Th-233	22,15 (15) min
846,9 (1)	0,057 (12)	Y	Fr-223	22,00 (7) min
847,0 (2)	0,000 3 (1)	Y	Cs-134	2,0651 (6) a
847,025 (25)	95,4 (19)	Y	I-134	52,5 (2) min
847,1 (3)	0,20 (7)	Y	Xe-140	13,6 (1) s
847,1 (2)	0,120 (13)	Y	Pr-147	13,4 (4) min
847,16 (11)	0,016 (6)	Y	Bi-214	19,9 (4) min
847,24 (24)	0,075 (10)	Y	Mo-101	14,6 (1) min
847,45 (12)	0,26 (3)	Y	Xe-139	39,68 (14) s
847,69 (2)	1,14 (6)	Y	Nb-96	23,35 (5) h
847,9 (5)	0,017 (5)	Y	I-132	2,295 (13) h
848,13 (3)	3,35 (2)	Y	Mn-52	5,595 (3) d
848,3 (6)	0,000 27 (11)	Y	Th-227	18,718 (5) d
848,65 (7)	0,281 (24)	Y	Pm-151	1,183 (2) d
848,7 (3)	0,044 (13)	Y	Xe-138	14,08 (8) min
848,85 (15)	0,004 4 (8)	Y	Os-193	1,2546 (4) d
848,9 (2)	0,027	Y	Pa-234	6,70 (5) h
848,95 (6)	0,62 (4)	Y	Xe-137	3,818 (13) min
849,44 (9)	0,002 0 (2)	Y	U-239	23,46 (4) min
849,5 (5)	0,004 7	Y	Th-233	22,15 (15) min
849,9 (5)	0,13 (3)	Y	I-138	6,49 (7) s
849,929 (13)	20,45 (20)	Y	Nb-96	23,35 (5) h
850,1 (4)	0,001 4 (12)	Y	Ru-97	2,9 (1) d
850,34 (5)	0,173 (14)	Y	Kr-88	2,84 (3) h
850,4 (2)	0,42 (8)	Y	Xe-140	13,6 (1) s
850,64 (3)	0,241 (4)	Y	Eu-154	8,601 (4) a
850,643 (24)	0,048 (18)	Y	Y-88	106,626 (21) d
851,13 (15)	0,038 (4)	Y	Kr-79	35,04 (10) h
851,30 (17)	0,069 (13)	Y	Xe-138	14,08 (8) min
851,37 (7)	0,31 (3)	Y	Te-133	12,45 (30) min
851,57 (10)	0,006 3 (4)	Y	Pa-234m	1,17 (3) min
851,7 (5)	0,11 (6)	Y	Te-133m	55,4 (4) min
851,7 (1)	0,000 001 27 (4)	Y	Pu-238	87,74 (3) a
851,8 (1)	0,072	Y	Pa-234	6,70 (5) h
852,21 (3)	0,045 (15)	Y	Te-131	25,0 (1) min
852,21 (3)	21,4 (8)	Y	Te-131m*	1,25 (8) d
852,4 (3)	0,052	Y	I-137	24,5 (2) s
852,7 (2)	0,097 (12)	Y	Ni-65	2,5172 (3) h
852,7 (1)	0,28 (6)	Y	Cs-143	1,791 (7) s
852,78 (5)	0,049 (3)	Y	Co-56	77,236 (26) d
852,8 (10)	0,002 2 (14)	Y	As-76	1,0778 (20) d
853,0 (3)	0,003 1 (7)	Y	La-141	3,92 (3) h
853,038 (8)	0,076 (6)	Y	Ga-66	9,49 (7) h
853,09 (7)	0,240 (11)	Y	Mo-101	14,6 (1) min
853,17 (10)	0,003 1 (4)	Y	Ac-228	6,15 (2) h
853,17 (10)	0,008 8 (18)	Y	Ac-228	6,15 (2) h
853,5 (3)	0,029 (5)	Y	Xe-123	2,08 (2) h
853,6 (6)	0,05 (2)	Y	Br-87	55,65 (13) s
853,6 (4)	0,001 04	Y	Pt-191	2,802 (25) d
853,8 (3)	0,05 (2)	Y	Br-87	55,65 (13) s
853,8 (1)	0,096 (15)	Y	Te-131	25,0 (1) min
853,9 (3)	0,057 (7)	Y	Pr-147	13,4 (4) min
853,97 (8)	0,076 (8)	Y	Pa-228	22 (1) h
854,2 (9)	0,06 (3)	Y	Te-133	12,45 (30) min
854,3 (5)	0,000 068 (14)	Y	Th-227	18,718 (5) d
854,89 (8)	0,341 (38)	Y	Zr-97	16,90 (5) h

* : Radionucléide en équilibre avec son descendant
(Cf. liste en début de volume)

Énergie (keV)	Intensité (%)	Type	Parent	Période
854,947 (20)	0,002 46 (14)	Y	Gd-159	18,479 (7) h
855,40 (6)	0,049 3 (39)	Y	Ru-97	2,9 (1) d
855,6 (5)	0,023 (9)	Y	Cs-138	33,41 (18) min
856,06 (5)	0,13 (2)	Y	Te-131	25,0 (1) min
856,06 (5)	0,59 (7)	Y	Te-131m*	1,25 (8) d
856,1 (5)	0,13 (3)	Y	Ca-49	8,718 (6) min
856,2 (3)	0,006 5 (12)	Y	Pm-151	1,183 (2) d
856,278 (9)	1,23 (4)	Y	I-133	20,87 (8) h
856,4 (2)	0,71 (14)	Y	Cs-143	1,791 (7) s
856,527 (10)	0,111 (11)	Y	Ga-66	9,49 (7) h
856,7 (2)	17,5 (9)	Y	Sb-126	12,4 (1) d
856,9 (2)	0,028 (3)	Y	Sb-124	60,20 (3) d
857,0 (4)	0,11 (3)	Y	Xe-140	13,6 (1) s
857,093 (9)	0,015 (5)	Y	Ga-66	9,49 (7) h
857,12 (19)	0,007 1 (12)	Y	Ir-194	19,3 (1) h
857,25 (3)	0,162 (9)	Y	Re-184m	169 (8) d
857,285 (30)	6,96 (19)	Y	I-134	52,5 (2) min
857,3 (7)	0,000 058 (18)	Y	Th-227	18,718 (5) d
857,37 (15)	0,29 (3)	Y	Kr-89	3,17 (2) min
857,5 (2)	0,045 (7)	Y	Nb-97	1,202 (12) h
857,50 (4)	0,000 005 7 (8)	Y	Cm-244	18,11 (3) a
857,62 (10)	0,030 7 (12)	Y	Ge-77	11,30 (1) h
857,7 (2)	0,036	Y	Pa-234	6,70 (5) h
858,36 (12)	0,205 (18)	Y	Eu-156	15,19 (8) d
858,68 (22)	0,26 (5)	Y	Kr-91	8,57 (4) s
858,9 (2)	0,000 25 (4)	Y	Th-227	18,718 (5) d
859 (1)	0,11 (6)	Y	Te-133m	55,4 (4) min
859,1 (2)	0,000 07 (7)	Y	Fr-223	22,00 (7) min
859,13 (18)	0,124 (10)	Y	Mo-101	14,6 (1) min
859,45 (18)	0,001 7 (8)	Y	Ir-194	19,3 (1) h
859,7 (3)	0,044 (5)	Y	Xe-123	2,08 (2) h
859,8 (3)	0,008 3 (12)	Y	Pm-151	1,183 (2) d
859,867 (18)	0,586 (21)	Y	Eu-150	36,9 (9) a
860,00 (15)	0,020 (3)	Y	Br-87	55,65 (13) s
860 (30)	6,9 (20)	Y	Tl-210	1,30 (3) min
860,2 (7)	0,06 (3)	Y	Te-133	12,45 (30) min
860,56 (3)	12,5 (1)	Y	Tl-208	3,060 (8) min
861,1	0,004 8 (12)	Y	Sm-155	22,3 (2) min
861,11 (5)	0,91 (2)	Y	Ga-72	14,10 (2) h
861,2 (9)	0,000 7 (2)	Y	Mo-99*	2,7479 (6) d
862,2 (3)	0,034 (5)	Y	Xe-123	2,08 (2) h
862,3 (14)	0,042 (26)	Y	Cs-140	1,062 (5) min
862,33 (2)	0,67 (4)	Y	Kr-88	2,84 (3) h
862,4 (5)	0,16 (6)	Y	Xe-140	13,6 (1) s
862,5 (4)	0,000 13 (3)	Y	Pd-109	13,7 (1) h
862,56 (18)	0,000 4 (1)	Y	U-239	23,46 (4) min
862,926 (13)	0,015 2 (14)	Y	Ga-66	9,49 (7) h
863,0 (2)	0,56 (5)	Y	I-132	2,295 (13) h
863 (1)	0,000 019 (8)	Y	Th-227	18,718 (5) d
863,2 (2)	0,072	Y	Pa-234	6,70 (5) h
863,27 (20)	0,089	Y	I-137	24,5 (2) s
863,6 (1)	0,003 9 (9)	Y	Fr-223	22,00 (7) min
863,8 (4)	0,011 2 (11)	Y	As-76	1,0778 (20) d
863,89 (6)	1,94 (20)	Y	Pa-232	1,31 (2) d
863,951 (6)	0,69 (1)	Y	Co-58	70,83 (10) d
863,955 (9)	15,6 (8)	Y	Te-133m	55,4 (4) min
864,0 (3)	0,19 (3)	Y	I-134	52,5 (2) min
864,2 (5)	0,22 (7)	Y	Xe-140	13,6 (1) s
864,47 (10)	0,002 6 (2)	Y	Pr-144	17,29 (3) min
864,55 (1)	0,336 (12)	Y	W-187	23,72 (6) h
865,15 (13)	0,047 (7)	Y	Pa-228	22 (1) h
865,8 (3)	0,188 (19)	Y	Eu-156	15,19 (8) d
865,82 (7)	0,296 (22)	Y	Xe-138	14,08 (8) min
865,9 (8)	0,001 5 (3)	Y	Ag-111	7,45 (1) d
865,93 (14)	0,005 9 (4)	Y	Pb-211	36,1 (2) min
866,0 (6)	0,036 (14)	Y	I-132	2,295 (13) h
866,61 (10)	0,003 6 (3)	Y	Ag-111	7,45 (1) d
866,76 (4)	5,81 (20)	Y	Pa-232	1,31 (2) d
866,8 (10)	0,001 10 (15)	Y	Pa-234m	1,17 (3) min
867,01 (8)	1,33 (11)	Y	Eu-156	15,19 (8) d
867,08 (7)	5,9 (5)	Y	Kr-89	3,17 (2) min
867,1 (7)	0,002 9 (12)	Y	Pm-151	1,183 (2) d
867,11 (11)	0,000 74 (8)	Y	U-239	23,46 (4) min
867,2 (1)	8,1 (5)	Y	Np-240	61,9 (2) min
867,3 (5)	0,000 29 (22)	Y	Th-227	18,718 (5) d
867,380 (3)	4,243 (23)	Y	Eu-152	13,522 (16) a
867,4 (1)	0,001 8 (5)	Y	Fr-223	22,00 (7) min
867,6 (2)	0,30 (3)	Y	Br-76	16,2 (2) h
867,64 (8)	0,130 (11)	Y	As-76	1,0778 (20) d
867,7 (1)	0,000 21	Y	N-16	7,13 (2) s

* : Radionucléide en équilibre avec son descendant
(Cf. liste en début de volume)

Énergie (keV)	Intensité (%)	Type	Parent	Période
867,75 (20)	0,12	Y	I-137	24,5 (2) s
867,8	0,11 (2)	Y	Ba-141	18,27 (7) min
867,839 (16)	5,58 (3)	Y	La-140	1,67850 (17) d
867,93 (3)	0,004 3 (6)	Y	Ga-66	9,49 (7) h
868,0 (2)	0,012 7 (15)	Y	Bi-213	45,59 (6) min
868,2 (1)	0,76 (13)	Y	Cs-143	1,791 (7) s
868,7 (1)	0,056 (9)	Y	Xe-139	39,68 (14) s
868,98 (5)	0,012 1 (4)	Y	Sr-85	64,850 (7) d
869,256 (14)	1,85 (7)	Y	Eu-150	36,9 (9) a
869,35 (6)	0,62 (4)	Y	Xe-138	14,08 (8) min
869,57 (9)	0,001 6 (1)	Y	U-239	23,46 (4) min
869,7 (3)	0,288 (19)	Y	Mo-101	14,6 (1) min
869,7 (1)	0,2	Y	Pa-234	6,70 (5) h
869,92 (20)	0,14	Y	I-137	24,5 (2) s
870,13 (5)	0,088 (10)	Y	Eu-152m	9,3116 (13) h
870,2 (2)	3,2 (6)	Y	I-138	6,49 (7) s
870,42 (20)	0,161 (21)	Y	Kr-89	3,17 (2) min
870,467 (18)	0,044 (4)	Y	Ac-228	6,15 (2) h
870,467 (18)	1,48 (11)	Y	Pa-228	22 (1) h
870,63	0,000 001 50 (3)	Y	Am-241	432,6 (6) a
870,7 (3)	0,28 (3)	Y	Xe-123	2,08 (2) h
870,7 (7)	0,002 1	Y	Th-233	22,15 (15) min
871,08 (5)	1,71 (8)	Y	Mo-101	14,6 (1) min
871,091 (18)	99,9 (1)	Y	Nb-94	20 000 (2 400) a
871,2 (5)	0,008 (3)	Y	Kr-79	35,04 (10) h
871,7 (2)	0,000 25 (8)	Y	Zn-69	56,4 (9) min
871,80 (8)	5,11 (13)	Y	Cs-138	33,41 (18) min
871,8 (1)	0,53 (9)	Y	Cs-143	1,791 (7) s
872,00 (15)	0,53 (5)	Y	Rb-90m	4,30 (7) min
872,03 (6)	0,218 (6)	Y	Tb-160	72,3 (2) d
872,29 (6)	0,12 (3)	Y	Te-131m*	1,25 (8) d
872,39 (9)	0,040 (6)	Y	Eu-156	15,19 (8) d
872,8	0,017 (9)	Y	Tl-200	1,088 (5) d
873,0 (2)	0,155 (18)	Y	Pa-228	22 (1) h
873,07 (19)	0,019 (3)	Y	Bi-214	19,9 (4) min
873,17 (15)	0,031 (6)	Y	Ac-228	6,15 (2) h
873,183 4 (23)	12,17 (12)	Y	Eu-154	8,601 (4) a
873,2 (6)	0,07 (3)	Y	Cs-140	1,062 (5) min
873,392 (21)	0,017 0 (18)	Y	Ga-66	9,49 (7) h
873,5 (1)	0,43 (2)	Y	Rh-106	30,0 (2) s
873,8 (3)	0,008 (2)	Y	Rb-81m	30,25 (25) min
873,8	0,052 (18)	Y	Tl-200	1,088 (5) d
874,0 (5)	0,006 2	Y	Th-233	22,15 (15) min
874,0 (3)	0,036	Y	Pa-234	6,70 (5) h
874,22 (7)	0,003 2 (1)	Y	U-239	23,46 (4) min
874,30 (7)	0,39 (3)	Y	Br-87	55,65 (13) s
874,36 (15)	0,019 0 (29)	Y	Os-193	1,2546 (4) d
874,44 (7)	0,047 (10)	Y	Ac-228	6,15 (2) h
874,5 (2)	0,072 (12)	Y	Pa-228	22 (1) h
874,813 (13)	6,29 (25)	Y	Os-185	93,6 (5) d
874,92 (8)	1,27 (10)	Y	Kr-91	8,57 (4) s
875,0 (3)	0,108 (18)	Y	Rb-91	58,4 (4) s
875,19 (3)	0,782 (23)	Y	Ge-77	11,30 (1) h
875,23 (13)	9,2 (12)	Y	I-138	6,49 (7) s
875,328 (5)	4,47 (12)	Y	I-133	20,87 (8) h
875,663 (7)	0,721 (9)	Y	Ho-166m	1 200 (180) a
876,0 (1)	2,52	Y	Pa-234	6,70 (5) h
876,3	3,7 (3)	Y	Ba-141	18,27 (7) min
876,3 (4)	0,000 23 (8)	Y	Th-227	18,718 (5) d
876,5 (2)	0,022 (4)	Y	I-124	4,1760 (3) d
876,50 (7)	0,042 (9)	Y	Fr-223	22,00 (7) min
876,6 (2)	1,04 (4)	Y	I-132	2,295 (13) h
877,15 (20)	0,073	Y	I-137	24,5 (2) s
877,35 (7)	0,090 (9)	Y	Pa-228	22 (1) h
877,39 (4)	3,22 (19)	Y	Mo-101	14,6 (1) min
877,421 (40)	0,014 (3)	Y	Ac-228	6,15 (2) h
877,52 (17)	0,000 83 (7)	Y	I-123	13,2234 (37) h
877,6 (1)	0,29 (6)	Y	Cs-143	1,791 (7) s
877,7 (1)	0,101 (10)	Y	Pm-151	1,183 (2) d
878,03 (12)	0,011 8 (27)	Y	Bi-214	19,9 (4) min
878,2 (4)	0,000 14 (4)	Y	Th-227	18,718 (5) d
878,3 (5)	0,028 (9)	Y	Br-87	55,65 (13) s
878,32 (18)	0,073 (5)	Y	Ga-72	14,10 (2) h
879,378 (2)	30,1 (6)	Y	Tb-160	72,3 (2) d
879,45 (5)	0,142 (6)	Y	W-187	23,72 (6) h
879,5 (3)	0,126 (23)	Y	Kr-91	8,57 (4) s
879,51 (19)	0,024 (7)	Y	Kr-88	2,84 (3) h
879,7 (1)	0,188 (7)	Y	Sr-91*	9,63 (5) h
879,74 (18)	0,157 (21)	Y	Xe-139	39,68 (14) s
879,75 (10)	2,7 (4)	Y	Xe-140	13,6 (1) s

* : Radionucléide en équilibre avec son descendant
(Cf. liste en début de volume)

Énergie (keV)	Intensité (%)	Type	Parent	Période
879,876 (13)	0,75 (6)	Y	I-126	12,93 (5) d
880 (10)	0,002 8 (6)	Y	Sm-155	22,3 (2) min
880,26 (10)	0,002 98 (48)	Y	Ag-108	2,382 (11) min
880,461 (12)	1,030 (13)	Y	Ce-143	33,040 (7) h
880,5 (1)	0,126 (24)	Y	Cs-143	1,791 (7) s
880,5 (1)	10,4	Y	Pa-234	6,70 (5) h
880,523 (13)	5,17 (21)	Y	Os-185	93,6 (5) d
880,60 (3)	0,081 (4)	Y	Eu-154	8,601 (4) a
880,7 (1)	0,06 (3)	Y	Te-133	12,45 (30) min
880,8 (3)	0,11 (3)	Y	Cs-138	33,41 (18) min
880,8	0,032 (19)	Y	Ba-141	18,27 (7) min
880,82 (7)	0,006 2 (18)	Y	Ac-228	6,15 (2) h
880,9 (5)	0,007 8	Y	Th-233	22,15 (15) min
880,9 (5)	0,003 84 (30)	Y	Pa-234m	1,17 (3) min
881,1 (5)	0,058 (16)	Y	Cs-140	1,062 (5) min
881,2 (2)	0,03 (1)	Y	Te-131	25,0 (1) min
881,2	0,147 (25)	Y	Ba-141	18,27 (7) min
881,5 (1)	0,228 (21)	Y	Pr-147	13,4 (4) min
881,610 (3)	69,0 (16)	Y	Rb-84	32,77 (14) d
881,9 (3)	6,0 (12)	Y	Sb-132m	4,10 (7) min
882,13 (5)	0,058 (6)	Y	As-76	1,0778 (20) d
882,13 (7)	0,31	Y	I-137	24,5 (2) s
882,3 (2)	0,407 (25)	Y	Br-76	16,2 (2) h
882,70 (5)	2,21 (20)	Y	Te-133m	55,4 (4) min
883,06 (14)	0,042 (8)	Y	Kr-88	2,84 (3) h
883,24 (4)	9,6	Y	Pa-234	6,70 (5) h
883,24 (4)	0,003 56 (20)	Y	Pa-234m	1,17 (3) min
883,39 (6)	0,65 (3)	Y	Mo-101	14,6 (1) min
883,4 (2)	0,031 (3)	Y	Tl-208	3,060 (8) min
883,6 (3)	0,014 (4)	Y	Pa-228	22 (1) h
883,68 (13)	0,045 (5)	Y	Pm-151	1,183 (2) d
884,090 (25)	64,9 (10)	Y	I-134	52,5 (2) min
884,17 (16)	0,015 6 (6)	Y	Ge-77	11,30 (1) h
884,29 (3)	0,72 (7)	Y	Te-133	12,45 (30) min
884,4 (1)	10,9 (13)	Y	Tc-104	18,3 (3) min
884,45 (5)	0,008 4 (2)	Y	U-239	23,46 (4) min
884,536 5 (7)	0,291 (7)	Y	Ir-192	73,827 (13) d
884,678 1 (13)	74,0 (12)	Y	Ag-110m	249,78 (2) d
884,80 (6)	0,99 (18)	Y	Te-133m	55,4 (4) min
885,00 (5)	0,001 9 (5)	Y	Ga-66	9,49 (7) h
885,0 (2)	0,036 (5)	Y	Rb-81m	30,25 (25) min
885,2	0,046 (10)	Y	Ba-141	18,27 (7) min
886,0 (4)	0,044 (25)	Y	Te-133	12,45 (30) min
886,1 (5)	0,025 (8)	Y	I-132	2,295 (13) h
886,15 (10)	2,02 (13)	Y	Tl-200	1,088 (5) d
886,2 (2)	0,333 (24)	Y	Br-76	16,2 (2) h
886,3 (10)	0,20 (11)	Y	Kr-89	3,17 (2) min
886,3 (3)	0,064 (13)	Y	Rb-90	2,70 (5) min
886,3 (3)	0,006 (1)	Y	Rb-90m	4,30 (7) min
887,0 (3)	0,188 (13)	Y	Mo-101	14,6 (1) min
887,0 (1)	0,268 (23)	Y	Pr-147	13,4 (4) min
887,16 (5)	0,027 (3)	Y	Ac-228	6,15 (2) h
887,16 (5)	0,033 (5)	Y	Pa-228	22 (1) h
887,28 (10)	0,007 4 (5)	Y	Pa-234m	1,17 (3) min
887,5 (4)	0,08 (2)	Y	Y-94	18,7 (1) min
887,6 (6)	0,002 7 (9)	Y	Pm-151	1,183 (2) d
887,688 (15)	0,147 (5)	Y	Ga-67	3,2613 (5) d
887,83 (10)	0,002 3 (2)	Y	U-239	23,46 (4) min
887,9 (6)	0,64 (13)	Y	Kr-89	3,17 (2) min
888,43 (15)	0,1	Y	I-137	24,5 (2) s
888,53 (15)	0,83 (17)	Y	Te-133m	55,4 (4) min
888,6 (5)	0,067 (9)	Y	Xe-139	39,68 (14) s
888,7 (3)	0,237 (15)	Y	Mo-101	14,6 (1) min
888,7 (5)	0,035 (8)	Y	I-132	2,295 (13) h
888,8 (1)	2,30 (12)	Y	Np-240	61,9 (2) min
888,9 (4)	0,03 (2)	Y	Te-133	12,45 (30) min
889,0 (15)	0,001 6 (8)	Y	Rn-219	3,96 (1) s
889,1 (2)	0,39 (7)	Y	Xe-140	13,6 (1) s
889,1 (8)	0,037 (21)	Y	Cs-140	1,062 (5) min
889,23 (19)	0,014 0 (6)	Y	Ge-77	11,30 (1) h
889,271 (2)	99,983 3 (5)	Y	Sc-46	83,788 (22) d
889,3 (5)	0,142 (25)	Y	Fr-227	2,47 (3) min
889,49 (4)	0,020 4 (2)	Y	U-239	23,46 (4) min
889,9 (7)	0,06 (3)	Y	Br-87	55,65 (13) s
889,9 (3)	0,28 (6)	Y	Te-133m	55,4 (4) min
889,98 (4)	0,051 (7)	Y	Ir-194	19,3 (1) h
890,0 (1)	0,14 (3)	Y	Cs-143	1,791 (7) s
890,1 (5)	0,14	Y	Th-233	22,15 (15) min
890,1 (4)	0,027	Y	Pa-234	6,70 (5) h
890,5 (5)	0,009 (3)	Y	Sn-125	9,64 (3) d

* : Radionucléide en équilibre avec son descendant
(Cf. liste en début de volume)

Énergie (keV)	Intensité (%)	Type	Parent	Période
891 (1)	0,50 (15)	Y	Kr-89	3,17 (2) min
891 (1)	0,000 019 (6)	Y	Th-227	18,718 (5) d
891,26 (15)	0,002 84 (45)	Y	Os-193	1,2546 (4) d
891,4 (1)	1,05 (18)	Y	Te-133m	55,4 (4) min
891,47 (7)	0,008 1 (9)	Y	Ce-143	33,040 (7) h
891,76 (18)	0,174 (22)	Y	Xe-139	39,68 (14) s
891,9 (3)	0,000 038 (10)	Y	Fr-221	4,79 (2) min
891,980 (2)	0,057 (5)	Y	Ta-182	114,43 (3) d
892,2 (4)	0,08 (2)	Y	Sr-92	2,65 (6) h
892,5 (7)	0,028 (12)	Y	Rb-90	2,70 (5) min
892,775 (6)	0,514 (7)	Y	Eu-154	8,601 (4) a
892,9 (1)	0,070 (4)	Y	Sr-91*	9,63 (5) h
893 (1)	0,000 013 (4)	Y	Th-227	18,718 (5) d
893,1 (1)	10,2 (12)	Y	Tc-104	18,3 (3) min
893,1 (2)	0,002 7 (8)	Y	Fr-223	22,00 (7) min
893,40 (5)	0,29 (8)	Y	Sn-125	9,64 (3) d
893,4 (5)	0,037 (21)	Y	Cs-140	1,062 (5) min
893,41 (2)	0,38 (1)	Y	Bi-212	60,54 (6) min
893,42 (9)	0,40 (3)	Y	Br-87	55,65 (13) s
893,42 (7)	0,34	Y	I-137	24,5 (2) s
893,6 (4)	0,17 (5)	Y	Kr-91	8,57 (4) s
894,02 (13)	0,045 (4)	Y	Kr-87	1,272 (8) h
894,1 (7)	0,002 7 (9)	Y	Pm-151	1,183 (2) d
894,25 (10)	9,87 (16)	Y	Ga-72	14,10 (2) h
894,351 (30)	19,84 (30)	Y	Pa-232	1,31 (2) d
894,4 (16)	0,056 (24)	Y	Mo-101	14,6 (1) min
894,4 (8)	0,016 (6)	Y	Xe-125	16,9 (2) h
894,760 (19)	15,6 (5)	Y	Re-184	38,0 (5) d
894,760 (19)	2,75 (16)	Y	Re-184m	169 (8) d
894,8 (2)	0,001 01 (7)	Y	I-123	13,2234 (37) h
895,0 (5)	0,29 (7)	Y	Kr-91	8,57 (4) s
895,15 (15)	0,000 8 (2)	Y	U-239	23,46 (4) min
895,24 (6)	0,000 001 8 (6)	Y	Cm-244	18,11 (3) a
895,3 (10)	0,30 (11)	Y	Kr-89	3,17 (2) min
895,5 (4)	0,011 2 (21)	Y	Kr-79	35,04 (10) h
895,8 (1)	13,6 (8)	Y	Np-240	61,9 (2) min
895,89 (20)	0,173 (12)	Y	Mo-101	14,6 (1) min
895,9 (1)	0,131 (10)	Y	Pa-228	22 (1) h
896,0 (4)	0,13 (3)	Y	Br-87	55,65 (13) s
896,02 (10)	0,44 (12)	Y	Te-134	41,8 (8) min
896,1 (5)	0,000 11 (3)	Y	Th-227	18,718 (5) d
896,3 (3)	0,15 (8)	Y	Xe-139	39,68 (14) s
896,503 (7)	0,070 4 (22)	Y	Co-56	77,236 (26) d
896,51 (5)	0,122 (3)	Y	Ge-77	11,30 (1) h
896,58 (9)	0,066 9 (21)	Y	Eu-152	13,522 (16) a
896,7 (2)	0,050 (15)	Y	Te-133	12,45 (30) min
896,7 (2)	0,017 (5)	Y	Fr-223	22,00 (7) min
896,87 (12)	0,132 (14)	Y	Xe-138	14,08 (8) min
897 (1)	0,170 (23)	Y	Br-76	16,2 (2) h
897,0 (6)	0,48 (11)	Y	Kr-89	3,17 (2) min
897,33 (10)	0,000 022 (6)	Y	Cm-242	162,86 (8) d
897,77 (12)	0,260 (9)	Y	Tl-207	4,77 (2) min
897,8 (1)	0,131 (6)	Y	Bi-207	32,9 (14) a
897,8 (1)	0,561 (25)	Y	Po-211	516 (3) E-3 s
898,02 (2)	14,7 (6)	Y	Rb-88	17,8 (1) min
898,036 (4)	93,90 (23)	Y	Y-88	106,626 (21) d
898,3 (5)	0,003 3	Y	Th-233	22,15 (15) min
898,36	0,002 0 (5)	Y	Eu-154	8,601 (4) a
898,52 (12)	0,619 (44)	Y	Tl-200	1,088 (5) d
898,57 (10)	0,17 (2)	Y	Te-131	25,0 (1) min
898,58 (12)	0,024 7 (25)	Y	Pm-151	1,183 (2) d
898,67 (5)	3,2	Y	Pa-234	6,70 (5) h
899,0 (1)	0,031 (19)	Y	I-124	4,1760 (3) d
899,071 (15)	0,94 (3)	Y	Eu-150	36,9 (9) a
899,39 (4)	0,052 (3)	Y	K-42	12,359 (3) h
899,6 (4)	2,45 (25)	Y	Xe-123	2,08 (2) h
899,6 (3)	0,016 (9)	Y	Sb-124	60,20 (3) d
900 (15)	1,65 (11)	Y	Po-211m	25,2 (6) s
900,32 (4)	0,000 001 3 (6)	Y	Cm-244	18,11 (3) a
900,41 (5)	0,002 5 (4)	Y	Dy-165	2,334 (6) h
900,5 (4)	0,16 (4)	Y	Kr-91	8,57 (4) s
900,7 (5)	0,20 (7)	Y	Xe-140	13,6 (1) s
900,97 (11)	0,121 (3)	Y	Ge-77	11,30 (1) h
901,0 (7)	0,155 (16)	Y	Br-76	16,2 (2) h
901,181 (11)	0,084 (3)	Y	Eu-152	13,522 (16) a
901,3 (2)	0,094 (5)	Y	Sr-91*	9,63 (5) h
901,343 (11)	0,016 (3)	Y	Ac-228	6,15 (2) h
901,343 (11)	0,19 (3)	Y	Pa-228	22 (1) h
901,5 (3)	0,027 (5)	Y	Kr-87	1,272 (8) h
901,51 (10)	0,580 (14)	Y	Xe-125	16,9 (2) h

* : Radionucléide en équilibre avec son descendant
(Cf. liste en début de volume)

Énergie (keV)	Intensité (%)	Type	Parent	Période
901,87 (18)	0,044 (4)	Y	Mn-52	5,595 (3) d
902,3 (3)	0,044 (13)	Y	Xe-138	14,08 (8) min
902,5 (1)	0,19 (3)	Y	Te-133	12,45 (30) min
902,8 (6)	0,80 (15)	Y	Kr-89	3,17 (2) min
902,9 (3)	0,40 (8)	Y	Xe-140	13,6 (1) s
903,282 (19)	37,9 (11)	Y	Re-184	38,0 (5) d
903,282 (19)	3,74 (19)	Y	Re-184m	169 (8) d
903,5 (5)	0,013 (5)	Y	Sn-125	9,64 (3) d
903,5 (5)	0,003 2 (9)	Y	Pm-151	1,183 (2) d
903,55 (9)	0,219 (12)	Y	Mo-101	14,6 (1) min
903,62 (10)	0,040 (6)	Y	Eu-156	15,19 (8) d
903,76 (9)	0,58 (5)	Y	Pr-147	13,4 (4) min
904,064 (3)	0,890 (11)	Y	Eu-154	8,601 (4) a
904,20 (4)	0,77 (3)	Y	Ac-228	6,15 (2) h
904,20 (4)	2,47 (18)	Y	Pa-228	22 (1) h
904,2 (1)	0,34	Y	Pa-234	6,70 (5) h
904,27 (7)	7,2 (6)	Y	Kr-89	3,17 (2) min
904,29 (10)	0,066 (8)	Y	Bi-214	19,9 (4) min
904,4 (5)	0,013 (4)	Y	I-132	2,295 (13) h
906,01 (6)	0,016 (1)	Y	Eu-152	13,522 (16) a
906,1	0,011 8 (6)	Y	Eu-154	8,601 (4) a
906,4	0,054 (7)	Y	S-37	5,05 (2) min
906,9 (1)	0,39 (6)	Y	Sr-94	1,235 (5) min
906,98 (5)	0,075 (14)	Y	Ni-57	35,9 (3) h
906,99 (3)	0,949 (24)	Y	Ge-77	11,30 (1) h
907,1 (1)	0,001 3 (5)	Y	Ce-143	33,040 (7) h
907,390 (19)	0,021 8 (23)	Y	Ga-66	9,49 (7) h
907,5 (4)	0,001 8 (14)	Y	As-76	1,0778 (20) d
907,56 (11)	6,1 (5)	Y	Pb-201	9,33 (3) h
907,6 (2)	0,015 (3)	Y	Fr-223	22,00 (7) min
907,84 (5)	0,000 13 (8)	Y	I-128	24,99 (2) min
907,86 (20)	0,07 (1)	Y	Br-87	55,65 (13) s
908,25 (5)	8,6 (5)	Y	Cs-140	1,062 (5) min
908,28 (1)	0,000 001 6 (5)	Y	Th-228	1,9127 (6) a
908,5 (5)	0,055 (16)	Y	Fr-227	2,47 (3) min
908,6 (4)	0,002 3 (3)	Y	Th-227	18,718 (5) d
908,9 (1)	0,22 (3)	Y	Xe-139	39,68 (14) s
909,0 (30)	99,16 (3)	Y	Y-89m	16,06 (4) s
909,0 (1)	0,009 56 (6)	Y	Sr-89	50,57 (3) d
909,0 (4)	0,09 (1)	Y	Xe-123	2,08 (2) h
909,12 (12)	0,001 41 (8)	Y	I-123	13,2234 (37) h
909,15 (15)	99,04 (3)	Y	Zr-89	78,41 (12) h
909,3	0,115 (20)	Y	Ba-141	18,27 (7) min
909,33 (15)	0,11	Y	I-137	24,5 (2) s
909,57 (30)	0,039 (7)	Y	Nb-97	1,202 (12) h
909,683 (31)	0,212 (9)	Y	I-133	20,87 (8) h
909,847 (18)	0,070 (7)	Y	Te-121m	154 (7) d
909,96 (4)	3,4 (4)	Y	Te-131m*	1,25 (8) d
910,0 (7)	0,12 (6)	Y	Te-133	12,45 (30) min
910 (30)	3 (2)	Y	Tl-210	1,30 (3) min
910 (1)	0,000 015 (6)	Y	Th-227	18,718 (5) d
910,1 (2)	0,93 (3)	Y	I-132	2,295 (13) h
910,88 (4)	0,086 (10)	Y	Eu-150	36,9 (9) a
911,204 (4)	25,8 (4)	Y	Ac-228	6,15 (2) h
911,204 (4)	23,0 (17)	Y	Pa-228	22 (1) h
911,25 (15)	0,026 (3)	Y	Pm-151	1,183 (2) d
911,3 (2)	0,000 81 (25)	Y	Fr-223	22,00 (7) min
911,4 (1)	0,012 (1)	Y	Pa-232	1,31 (2) d
911,447 (30)	0,046 (6)	Y	I-133	20,87 (8) h
911,57 (12)	0,053 (18)	Y	Tc-101	14,2 (1) min
912,0 (4)	0,083 (10)	Y	Xe-123	2,08 (2) h
912,0 (5)	0,007 (3)	Y	Sn-125	9,64 (3) d
912,3 (6)	0,06 (2)	Y	Te-133	12,45 (30) min
912,51 (7)	0,328 (22)	Y	Xe-138	14,08 (8) min
912,6 (2)	1,8 (1)	Y	Nb-92m	10,15 (2) d
912,671 (4)	0,06 (4)	Y	Te-133	12,45 (30) min
912,671 (4)	55 (3)	Y	Te-133m	55,4 (4) min
912,8 (4)	0,071 (24)	Y	Rb-91	58,4 (4) s
912,8 (3)	0,63 (6)	Y	Y-92	3,54 (2) h
912,8 (2)	0,88 (12)	Y	Xe-140	13,6 (1) s
913 (2)	0,05 (3)	Y	Br-76	16,2 (2) h
913,6 (3)	0,000 45 (10)	Y	Fr-223	22,00 (7) min
913,68 (9)	0,001 8 (1)	Y	U-239	23,46 (4) min
913,81 (3)	0,365 (9)	Y	Ge-77	11,30 (1) h
914,07 (2)	0,046 3 (10)	Y	Ba-131	11,50 (6) d
914,388 (14)	0,027 (3)	Y	Ga-66	9,49 (7) h
914,774 (12)	0,68 (12)	Y	Te-133	12,45 (30) min
914,774 (12)	10,9 (6)	Y	Te-133m	55,4 (4) min
914,8 (5)	0,007 (3)	Y	Kr-79	35,04 (10) h
915,28 (12)	0,016 (7)	Y	Eu-150	36,9 (9) a

* : Radionucléide en équilibre avec son descendant
(Cf. liste en début de volume)

Énergie (keV)	Intensité (%)	Type	Parent	Période
915,55 (5)	4,1 (12)	Y	Sn-125	9,64 (3) d
915,7 (4)	0,010 (2)	Y	Eu-152m	9,3116 (13) h
915,74 (15)	0,023 (5)	Y	Bi-214	19,9 (4) min
916,0 (1)	1,22 (11)	Y	Np-240	61,9 (2) min
916,4 (4)	0,032 (7)	Y	Eu-156	15,19 (8) d
916,5 (2)	0,024	Y	Pa-234	6,70 (5) h
917,13 (6)	0,92 (5)	Y	Xe-138	14,08 (8) min
917,4	0,055 (10)	Y	Ba-141	18,27 (7) min
917,40 (8)	0,002 6 (1)	Y	U-239	23,46 (4) min
917,59 (22)	0,19 (4)	Y	Rb-91	58,4 (4) s
917,78 (20)	0,074 (13)	Y	Kr-89	3,17 (2) min
917,8 (3)	0,005 (3)	Y	Bi-214	19,9 (4) min
918,2 (1)	56 (3)	Y	Y-94	18,7 (1) min
918,3 (2)	0,430 (23)	Y	Cs-140	1,062 (5) min
918,4 (1)	0,099	Y	Pa-234	6,70 (5) h
918,8 (2)	0,257 (22)	Y	Pr-147	13,4 (4) min
918,9 (5)	0,007	Y	Th-233	22,15 (15) min
919,0 (2)	0,12 (5)	Y	Tc-104	18,3 (3) min
919,09 (5)	0,027 (3)	Y	Ac-228	6,15 (2) h
919,24	0,012 (1)	Y	Eu-154	8,601 (4) a
919,3 (7)	0,001 8 (9)	Y	Pm-151	1,183 (2) d
919,337 (4)	0,429 (5)	Y	Eu-152	13,522 (16) a
919,4 (3)	0,056 (19)	Y	Pa-228	22 (1) h
919,533 (10)	2,730 (23)	Y	La-140	1,67850 (17) d
919,60 (9)	0,008 9 (5)	Y	Ba-131	11,50 (6) d
920,0 (5)	0,000 011 (3)	Y	Th-227	18,718 (5) d
920,13 (17)	0,61 (6)	Y	Tl-209	2,20 (1) min
920,5 (2)	0,029	Y	Pa-234	6,70 (5) h
920,56 (4)	1,2 (1)	Y	Te-131m*	1,25 (8) d
920,8 (3)	0,035 (10)	Y	Pa-228	22 (1) h
920,933 (21)	8,1 (4)	Y	Re-184m	169 (8) d
920,95 (8)	0,002 5 (1)	Y	U-239	23,46 (4) min
920,98 (7)	0,52 (4)	Y	Br-87	55,65 (13) s
921,04 (9)	0,071 1 (18)	Y	Ge-77	11,30 (1) h
921,2 (24)	0,30 (7)	Y	Rb-90m	4,30 (7) min
921,20 (8)	0,20 (5)	Y	Cs-143	1,791 (7) s
921,43 (5)	0,082 (23)	Y	Sn-125	9,64 (3) d
921,7	0,014 (14)	Y	Pa-228	22 (1) h
921,7 (1)	0,012 3 (7)	Y	Pa-234m	1,17 (3) min
921,98 (10)	0,029 4 (30)	Y	Ac-228	6,15 (2) h
922 (1)	0,12 (6)	Y	Te-133	12,45 (30) min
922,1 (7)	0,001 3 (7)	Y	Pm-151	1,183 (2) d
922,5 (2)	0,210 (16)	Y	Pa-228	22 (1) h
922,6 (3)	0,14 (3)	Y	I-134	52,5 (2) min
922,83 (13)	0,000 5 (1)	Y	U-239	23,46 (4) min
923,0 (2)	0,041 (3)	Y	Pa-232	1,31 (2) d
923,14 (3)	0,69 (2)	Y	Ge-77	11,30 (1) h
923,267 (19)	0,32 (23)	Y	Eu-150	36,9 (9) a
923,4 (6)	0,12 (7)	Y	Te-131m*	1,25 (8) d
923,87 (2)	0,721 (10)	Y	Ba-131	11,50 (6) d
924,026	0,007 5 (10)	Y	Ac-228	6,15 (2) h
924,22 (18)	0,142 (4)	Y	Ga-72	14,10 (2) h
924,3 (2)	0,252 (23)	Y	Pa-228	22 (1) h
924,5 (6)	0,162 (21)	Y	Xe-139	39,68 (14) s
924,63 (5)	0,062 (2)	Y	Eu-154	8,601 (4) a
925,0 (1)	7,8	Y	Pa-234	6,70 (5) h
925,04 (15)	1,44 (19)	Y	Xe-140	13,6 (1) s
925,198 (7)	7,04 (4)	Y	La-140	1,67850 (17) d
925,26 (6)	0,012 6 (18)	Y	Ir-194	19,3 (1) h
925,47 (20)	0,78 (9)	Y	Ge-77	11,30 (1) h
925,49 (9)	0,222 (24)	Y	Kr-90	32,32 (9) s
925,55 (7)	1,6 (2)	Y	Te-134	41,8 (8) min
925,8 (2)	3,85 (13)	Y	Sr-91*	9,63 (5) h
926 (1)	0,19 (6)	Y	Te-133	12,45 (30) min
926,0 (2)	1,8	Y	Pa-234	6,70 (5) h
926,1 (5)	0,004 0 (7)	Y	Pm-151	1,183 (2) d
926,2	3,0 (15)	Y	Sb-132m	4,10 (7) min
926,317 (15)	0,273 (4)	Y	Eu-152	13,522 (16) a
926,5 (3)	0,001 6 (4)	Y	Fr-223	22,00 (7) min
926,72 (10)	7,2	Y	Pa-234	6,70 (5) h
926,72 (10)	0,001 24 (9)	Y	Pa-234m	1,17 (3) min
926,8 (8)	0,034 (7)	Y	Xe-139	39,68 (14) s
927 (1)	0,000 006 (3)	Y	Th-227	18,718 (5) d
927,1 (3)	0,17	Y	I-137	24,5 (2) s
927,6 (3)	0,41 (4)	Y	I-132	2,295 (13) h
927,6 (2)	0,125 (1)	Y	Tl-208	3,060 (8) min
927,75 (3)	0,50 (7)	Y	Te-133	12,45 (30) min
927,992 (2)	0,619 (13)	Y	Ta-182	114,43 (3) d
928,0 (4)	0,002 2 (10)	Y	I-124	4,1760 (3) d
928 (1)	0,12 (6)	Y	Te-133	12,45 (30) min

* : Radionucléide en équilibre avec son descendant
(Cf. liste en début de volume)

Énergie (keV)	Intensité (%)	Type	Parent	Période
928,00 (6)	0,005 0 (1)	Y	U-239	23,46 (4) min
928,2 (3)	1,3 (3)	Y	Sb-126m	19,15 (8) min
928,327 (5)	0,77 (5)	Y	V-48	15,9735 (25) d
928,4	0,004 5 (21)	Y	Eu-154	8,601 (4) a
928,4 (2)	0,083 (9)	Y	Pa-228	22 (1) h
928,63 (6)	6,9 (4)	Y	Ti-51	5,76 (1) min
928,72 (6)	0,111 (8)	Y	Tc-101	14,2 (1) min
928,8 (4)	0,028 (6)	Y	Eu-156	15,19 (8) d
928,85 (3)	1,046 (24)	Y	Ge-77	11,30 (1) h
929,5	0,75 (7)	Y	Ba-141	18,27 (7) min
929,68 (3)	0,004 6 (7)	Y	Ga-66	9,49 (7) h
930,0 (2)	0,99 (20)	Y	Sb-132	2,79 (5) min
930,2 (2)	0,043 (8)	Y	Bi-214	19,9 (4) min
930,58 (15)	0,072 9 (19)	Y	Eu-152	13,522 (16) a
930,71 (1)	3,8 (2)	Y	Te-133	12,45 (30) min
930,93 (10)	0,012 4 (18)	Y	Ac-228	6,15 (2) h
930,95 (10)	0,62 (6)	Y	Kr-89	3,17 (2) min
931,02 (7)	0,092 (9)	Y	Pa-228	22 (1) h
931,057 (15)	0,048 4 (25)	Y	Os-185	93,6 (5) d
931,07 (12)	0,000 48 (8)	Y	Ag-108	2,382 (11) min
931,345 (10)	0,55 (4)	Y	Re-188	17,005 (4) h
931,80 (5)	0,08 (2)	Y	In-116m	54,29 (17) min
931,97 (7)	0,005 2 (2)	Y	U-239	23,46 (4) min
932,4 (2)	0,036 (5)	Y	Rb-81m	30,25 (25) min
932,9 (4)	0,009 3 (19)	Y	Sm-155	22,3 (2) min
933,09 (3)	0,025 6 (2)	Y	U-239	23,46 (4) min
933,3 (3)	0,60 (6)	Y	Mo-101	14,6 (1) min
933,75 (8)	0,19 (4)	Y	Cs-143	1,791 (7) s
933,8 (7)	2,0 (7)	Y	Cd-115m	44,56 (24) d
933,8 (2)	0,014 (6)	Y	W-187	23,72 (6) h
933,82 (6)	0,084 (7)	Y	Xe-137	3,818 (13) min
933,9 (5)	0,003 8 (7)	Y	Pm-151	1,183 (2) d
934 (1)	0,12 (6)	Y	Te-133	12,45 (30) min
934,061 (12)	3,10 (1)	Y	Bi-214	19,9 (4) min
934,2 (10)	0,074 (15)	Y	Br-76	16,2 (2) h
934,21 (3)	4,1 (3)	Y	Mo-101	14,6 (1) min
934,44 (10)	99,07 (4)	Y	Nb-92m	10,15 (2) d
934,47 (3)	1,0 (2)	Y	Te-131	25,0 (1) min
934,5 (1)	13,9 (13)	Y	Y-92	3,54 (2) h
934,5 (1)	99,9 (1)	Y	Nb-92	35 (3) E+6 a
934,5 (1)	0,33 (4)	Y	Np-240	61,9 (2) min
934,6 (5)	0,038 (13)	Y	Kr-89	3,17 (2) min
934,63 (5)	0,21 (6)	Y	Sn-125	9,64 (3) d
934,84 (15)	0,121 (9)	Y	Kr-79	35,04 (10) h
934,9 (3)	0,314 (30)	Y	Xe-123	2,08 (2) h
934,9 (3)	0,042 (21)	Y	Cs-140	1,062 (5) min
935,03 (12)	0,181 (16)	Y	Cs-138	33,41 (18) min
935,2 (7)	0,049	Y	Th-233	22,15 (15) min
935,33 (15)	0,012 (2)	Y	Pt-191	2,802 (25) d
935,52 (2)	0,061 (3)	Y	V-52	3,753 (5) min
935,52 (1)	94,90 (5)	Y	Mn-52	5,595 (3) d
935,8 (2)	0,066	Y	Pa-234	6,70 (5) h
935,9 (3)	0,084 (22)	Y	Xe-140	13,6 (1) s
936,1 (4)	0,061 (35)	Y	Tl-200	1,088 (5) d
936,25 (20)	0,000 22 (2)	Y	Lu-176m	3,635 (12) h
936,3 (10)	0,001 85 (30)	Y	Pa-234m	1,17 (3) min
936,36 (11)	0,135 (14)	Y	Xe-138	14,08 (8) min
937,0 (5)	0,095 (17)	Y	Fr-227	2,47 (3) min
937,050 (15)	0,002 7 (6)	Y	Eu-152	13,522 (16) a
937,19 (20)	0,18	Y	I-137	24,5 (2) s
937,485 (3)	34,51 (27)	Y	Ag-110m	249,78 (2) d
937,49 (7)	0,151 (4)	Y	Xe-125	16,9 (2) h
937,82 (1)	0,026 1 (13)	Y	Ce-143	33,040 (7) h
937,9 (8)	0,006 3 (7)	Y	Sb-124	60,20 (3) d
937,9 (4)	0,067 (10)	Y	Xe-139	39,68 (14) s
938	0,000 8 (5)	Y	V-48	15,9735 (25) d
938,0 (8)	0,000 010 (4)	Y	Th-227	18,718 (5) d
938,2 (1)	0,17 (3)	Y	Np-240	61,9 (2) min
938,4 (2)	0,076 (3)	Y	Ga-72	14,10 (2) h
938,59 (16)	0,000 30 (8)	Y	U-239	23,46 (4) min
938,61 (20)	0,000 177 (17)	Y	Ga-68	1,1275 (10) h
938,65 (20)	0,082 (6)	Y	Tc-101	14,2 (1) min
938,690 (25)	0,60 (8)	Y	Ir-194	19,3 (1) h
939,0 (5)	0,021 (16)	Y	Cs-140	1,062 (5) min
939,35 (3)	0,285 (7)	Y	Ge-77	11,30 (1) h
939,36 (7)	0,259 (7)	Y	Ga-72	14,10 (2) h
939,4 (3)	0,066 (15)	Y	Kr-89	3,17 (2) min
939,6 (20)	0,000 55 (15)	Y	Rh-106	30,0 (2) s
939,6 (5)	0,016 (4)	Y	Bi-214	19,9 (4) min
939,8 (5)	0,003 8 (10)	Y	Pm-151	1,183 (2) d

* : Radionucléide en équilibre avec son descendant
(Cf. liste en début de volume)

Énergie (keV)	Intensité (%)	Type	Parent	Période
939,87 (17)	0,009 (3)	Y	Ac-228	6,15 (2) h
940,8 (6)	0,15 (5)	Y	Br-87	55,65 (13) s
941,2 (3)	0,003 3 (8)	Y	Fr-223	22,00 (7) min
941,25 (8)	0,230 (18)	Y	Xe-138	14,08 (8) min
941,27 (6)	0,9 (1)	Y	Te-131m*	1,25 (8) d
941,41 (7)	0,67	Y	I-137	24,5 (2) s
941,420 (7)	0,000 24 (9)	Y	Cd-115m	44,56 (24) d
941,45 (3)	38,3 (10)	Y	Mg-28	20,91 (3) h
941,6 (3)	0,000 069 (11)	Y	Th-227	18,718 (5) d
941,86 (5)	1,34 (11)	Y	Kr-90	32,32 (9) s
941,9 (8)	0,007 8	Y	Th-233	22,15 (15) min
941,9 (2)	0,003 0 (2)	Y	Pa-234m	1,17 (3) min
942,0 (3)	0,045	Y	Pa-234	6,70 (5) h
942,10 (9)	0,56 (5)	Y	Pr-147	13,4 (4) min
942,2 (2)	0,31 (7)	Y	Te-133	12,45 (30) min
942,3 (5)	0,18 (18)	Y	Br-76	16,2 (2) h
942,61 (22)	0,08 (5)	Y	Xe-139	39,68 (14) s
942,91 (8)	0,66 (7)	Y	I-138	6,49 (7) s
943 (1)	0,06 (4)	Y	Te-133	12,45 (30) min
943,2	0,81 (7)	Y	Ba-141	18,27 (7) min
943,34 (12)	0,017 (3)	Y	Bi-214	19,9 (4) min
943,5 (3)	0,049 (10)	Y	Xe-123	2,08 (2) h
943,98 (21)	0,107 (11)	Y	Mo-101	14,6 (1) min
944,12 (7)	1,4 (1)	Y	Br-87	55,65 (13) s
944,132 (5)	7,76 (10)	Y	V-48	15,9735 (25) d
944,19 (15)	0,165 (19)	Y	Kr-89	3,17 (2) min
944,199 (14)	0,095 (8)	Y	Ac-228	6,15 (2) h
944,3 (10)	0,037 (16)	Y	Cs-140	1,062 (5) min
944,31 (6)	0,091 (9)	Y	Pa-228	22 (1) h
944,35 (7)	1,33 (11)	Y	Eu-156	15,19 (8) d
944,6 (5)	0,079 (24)	Y	Fr-227	2,47 (3) min
944,92 (4)	0,294 (20)	Y	Kr-88	2,84 (3) h
945,2 (2)	0,61 (12)	Y	Te-133m	55,4 (4) min
945,5 (4)	0,08 (3)	Y	Xe-140	13,6 (1) s
945,73 (20)	0,061 4 (24)	Y	Ge-77	11,30 (1) h
945,91 (5)	0,010 0 (7)	Y	Pa-234m	1,17 (3) min
945,96 (8)	7,2 (6)	Y	Pb-201	9,33 (3) h
946,0 (5)	0,031 (13)	Y	Cs-138	33,41 (18) min
946,00 (3)	13,4	Y	Pa-234	6,70 (5) h
946,5 (3)	0,062 (34)	Y	Xe-139	39,68 (14) s
946,63 (20)	0,063 (13)	Y	Xe-138	14,08 (8) min
946,69 (13)	0,129 (8)	Y	Kr-87	1,272 (8) h
946,8 (4)	0,47 (17)	Y	Pb-201	9,33 (3) h
946,989 (18)	0,008 2 (9)	Y	Te-121m	154 (7) d
947,1 (1)	2,1 (3)	Y	Y-93	10,1 (2) h
947,2 (6)	0,044 (14)	Y	I-132	2,295 (13) h
947,46 (15)	0,292 (25)	Y	Eu-156	15,19 (8) d
947,6 (4)	0,058 (20)	Y	Kr-90	32,32 (9) s
947,7 (2)	1,62	Y	Pa-234	6,70 (5) h
947,73 (7)	10,0 (6)	Y	Rb-89	15,2 (1) min
947,8	0,11 (11)	Y	Mo-93m	6,85 (7) h
947,86 (4)	4,01 (19)	Y	I-134	52,5 (2) min
947,982 (11)	0,106 (8)	Y	Ac-228	6,15 (2) h
948	0,018 6 (10)	Y	Pa-228	22 (1) h
948,3 (5)	0,007 5	Y	Th-233	22,15 (15) min
948,49 (5)	1,17 (9)	Y	Rb-91	58,4 (4) s
948,50 (5)	2,4 (2)	Y	Te-131	25,0 (1) min
948,72 (7)	0,35 (3)	Y	Pm-151	1,183 (2) d
948,88 (19)	0,000 23 (9)	Y	U-239	23,46 (4) min
949,2 (3)	0,66 (17)	Y	Te-133m	55,4 (4) min
949,3 (3)	0,000 4 (1)	Y	Fr-223	22,00 (7) min
949,4 (7)	0,047 (16)	Y	Cs-140	1,062 (5) min
949,4 (3)	0,050 (9)	Y	Pr-147	13,4 (4) min
949,5 (3)	0,029 (5)	Y	Xe-123	2,08 (2) h
949,8 (5)	0,005 5 (23)	Y	Bi-214	19,9 (4) min
949,82 (3)	0,120 (15)	Y	Mo-93m	6,85 (7) h
950,49 (12)	0,038 (11)	Y	Kr-88	2,84 (3) h
950,85 (20)	0,082	Y	I-137	24,5 (2) s
950,988 (20)	0,531 (5)	Y	La-140	1,67850 (17) d
950,988 (4)	2,744 (19)	Y	Ho-166m	1 200 (180) a
951	0,022 (13)	Y	Pb-211	36,1 (2) min
951,38 (6)	0,38 (7)	Y	Te-131	25,0 (1) min
951,51 (7)	0,23 (3)	Y	Te-133	12,45 (30) min
951,9 (2)	0,88 (12)	Y	Xe-140	13,6 (1) s
951,95 (4)	0,38 (2)	Y	Br-82	1,4708 (13) d
952,12 (2)	0,14 (4)	Y	Bi-212	60,54 (6) min
952,2 (8)	0,005 9 (23)	Y	Bi-214	19,9 (4) min
952,44 (7)	1,68 (9)	Y	Rb-90m	4,30 (7) min
952,66 (15)	0,74 (7)	Y	Br-87	55,65 (13) s
952,7 (1)	0,082	Y	Pa-234	6,70 (5) h

* : Radionucléide en équilibre avec son descendant
(Cf. liste en début de volume)

Énergie (keV)	Intensité (%)	Type	Parent	Période
952,87 (17)	0,053 (14)	Y	Cs-138	33,41 (18) min
953,1 (5)	0,028 (13)	Y	Xe-138	14,08 (8) min
953,18 (20)	0,107 (18)	Y	Kr-89	3,17 (2) min
953,20 (8)	0,045 (7)	Y	Eu-150	36,9 (9) a
953,24 (16)	0,33 (4)	Y	Kr-91	8,57 (4) s
953,32 (9)	3,5 (2)	Y	Sr-92	2,65 (6) h
953,41 (11)	0,097 (10)	Y	Pm-151	1,183 (2) d
953,93 (9)	0,001 00 (13)	Y	Ga-66	9,49 (7) h
954,0 (2)	1,5 (5)	Y	Sb-126	12,4 (1) d
954,12 (7)	0,004 5 (7)	Y	Ga-66	9,49 (7) h
954,5 (3)	0,001 8 (18)	Y	Ni-65	2,5172 (3) h
954,55 (9)	17,6 (5)	Y	I-132	2,295 (13) h
954,6 (3)	0,001 8 (14)	Y	As-76	1,0778 (20) d
954,61 (3)	0,032 8 (5)	Y	Ba-131	11,50 (6) d
955 (1)	0,005 4	Y	Th-233	22,15 (15) min
955,1 (3)	0,36 (7)	Y	Br-87	55,65 (13) s
955,74 (16)	0,32 (4)	Y	Kr-91	8,57 (4) s
956,8 (2)	0,23 (5)	Y	Pa-228	22 (1) h
956,9 (1)	0,001 3 (5)	Y	Ce-143	33,040 (7) h
957,3 (4)	0,067 (10)	Y	Xe-139	39,68 (14) s
957,35 (10)	0,009 3 (19)	Y	Ag-110m	249,78 (2) d
957,4 (2)	0,000 04 (1)	Y	Lu-176m	3,635 (12) h
957,6 (5)	0,001 8 (9)	Y	As-76	1,0778 (20) d
958,0 (7)	0,000 6 (2)	Y	Fr-223	22,00 (7) min
958,61 (4)	0,28 (4)	Y	Ac-228	6,15 (2) h
958,63 (5)	0,021 0 (19)	Y	Eu-152	13,522 (16) a
958,69 (11)	0,47 (7)	Y	Pa-228	22 (1) h
958,7 (3)	0,000 061 (13)	Y	Th-227	18,718 (5) d
959	0,055 (16)	Y	Ba-141	18,27 (7) min
959,1 (1)	1,69 (13)	Y	Np-240	61,9 (2) min
959,24 (5)	0,070 1 (18)	Y	Ge-77	11,30 (1) h
959,48 (6)	0,007 6 (2)	Y	U-239	23,46 (4) min
959,6 (2)	0,5 (1)	Y	Sb-126	12,4 (1) d
959,7 (3)	0,063 (8)	Y	Pm-151	1,183 (2) d
959,7 (4)	0,069 (6)	Y	Tl-202	12,23 (2) d
959,730 (2)	0,348 (8)	Y	Ta-182	114,43 (3) d
960,0 (1)	0,072	Y	Pa-234	6,70 (5) h
960,0 (1)	0,000 85 (20)	Y	Pa-234m	1,17 (3) min
960,17 (5)	0,001 31 (9)	Y	W-187	23,72 (6) h
960,3	0,03 (3)	Y	I-135	6,57 (2) h
960,42 (10)	0,32 (4)	Y	Kr-89	3,17 (2) min
960,50 (8)	1,45 (13)	Y	Eu-156	15,19 (8) d
960,6 (5)	0,056 (13)	Y	Xe-139	39,68 (14) s
960,754 (20)	0,095 (3)	Y	Mo-99*	2,7479 (6) d
960,8 (8)	0,006 8	Y	Th-233	22,15 (15) min
960,99 (5)	0,010 2 (2)	Y	U-239	23,46 (4) min
961,0 (6)	0,15 (4)	Y	Eu-156	15,19 (8) d
961,06 (22)	0,198 (25)	Y	Eu-152m	9,3116 (13) h
961,4	0,15 (3)	Y	I-135	6,57 (2) h
961,61 (17)	0,010 1 (14)	Y	Bi-214	19,9 (4) min
961,76 (9)	0,023 (3)	Y	I-124	4,1760 (3) d
961,83 (6)	0,083 (11)	Y	Kr-88	2,84 (3) h
962,3 (2)	0,012 0 (22)	Y	Y-93	10,1 (2) h
962,311 (3)	9,81 (22)	Y	Tb-160	72,3 (2) d
962,8 (9)	0,001 4	Y	Th-233	22,15 (15) min
963	0,034 (6)	Y	Eu-156	15,19 (8) d
963,390 (12)	0,134 1 (20)	Y	Eu-152	13,522 (16) a
963,390 (12)	11,7 (14)	Y	Eu-152m	9,3116 (13) h
963,6 (5)	0,14 (7)	Y	Xe-140	13,6 (1) s
963,892 (15)	0,014 4 (16)	Y	Ga-66	9,49 (7) h
963,9 (3)	0,074 (10)	Y	Br-87	55,65 (13) s
964,0 (3)	0,54 (5)	Y	Xe-123	2,08 (2) h
964,0 (8)	0,001 5 (9)	Y	La-141	3,92 (3) h
964,079 (18)	14,50 (6)	Y	Eu-152	13,522 (16) a
964,08 (3)	0,363 (12)	Y	Bi-214	19,9 (4) min
964,2 (4)	0,058 (15)	Y	Kr-89	3,17 (2) min
964,30 (3)	0,088 4 (4)	Y	U-239	23,46 (4) min
964,4 (4)	0,004 7 (10)	Y	Pm-151	1,183 (2) d
964,766 (10)	4,99 (9)	Y	Ac-228	6,15 (2) h
964,766 (10)	11,4 (9)	Y	Pa-228	22 (1) h
965,8 (5)	0,035 (8)	Y	I-132	2,295 (13) h
965,8 (1)	0,47	Y	Pa-234	6,70 (5) h
966,166 (2)	25,1 (5)	Y	Tb-160	72,3 (2) d
966,2 (3)	0,000 09 (3)	Y	Pd-109	13,7 (1) h
966,4 (10)	0,04 (1)	Y	Ge-77	11,30 (1) h
966,5 (7)	0,09 (5)	Y	Xe-140	13,6 (1) s
966,6	0,023 (23)	Y	Pa-228	22 (1) h
966,90 (5)	0,36 (5)	Y	I-134	52,5 (2) min
967,3 (5)	0,067 (10)	Y	Xe-139	39,68 (14) s
967,33 (11)	0,21 (3)	Y	Kr-90	32,32 (9) s

* : Radionucléide en équilibre avec son descendant
(Cf. liste en début de volume)

Énergie (keV)	Intensité (%)	Type	Parent	Période
967,6	0,032 (10)	Y	Ba-141	18,27 (7) min
968,2 (9)	0,011	Y	Th-233	22,15 (15) min
968,201 (4)	1,88 (2)	Y	Sb-124	60,20 (3) d
968,201 (4)	0,435 (10)	Y	I-124	4,1760 (3) d
968,78 (20)	0,041 (14)	Y	W-187	23,72 (6) h
968,9 (20)	0,014 6 (17)	Y	Pm-151	1,183 (2) d
968,94 (3)	0,036 5 (19)	Y	Ba-131	11,50 (6) d
968,971 (17)	15,8 (3)	Y	Ac-228	6,15 (2) h
968,971 (17)	13,9 (11)	Y	Pa-228	22 (1) h
969,2 (4)	0,000 24 (13)	Y	Fr-223	22,00 (7) min
969,315 (30)	41,6 (19)	Y	Pa-232	1,31 (2) d
969,4 (7)	0,026 (16)	Y	Cs-140	1,062 (5) min
969,458 (4)	0,38 (5)	Y	I-128	24,99 (2) min
969,7 (3)	0,094 (16)	Y	Kr-89	3,17 (2) min
969,83 (6)	0,37 (4)	Y	Eu-156	15,19 (8) d
970,02 (5)	0,055 (8)	Y	Ta-178	9,29 (4) min
970,07 (14)	0,000 9 (1)	Y	U-239	23,46 (4) min
970,1 (1)	0,027 (8)	Y	Ge-77	11,30 (1) h
970,2 (2)	0,000 14 (11)	Y	Th-227	18,718 (5) d
970,3 (4)	0,084 (11)	Y	Xe-139	39,68 (14) s
970,350 (9)	0,59 (11)	Y	Eu-152m	9,3116 (13) h
970,5 (2)	0,33 (17)	Y	Te-133m	55,4 (4) min
970,55 (6)	1,10 (2)	Y	Ga-72	14,10 (2) h
971,0 (8)	0,006 7 (25)	Y	Y-93	10,1 (2) h
971 (1)	0,05 (3)	Y	Te-133	12,45 (30) min
971,1 (2)	0,15 (3)	Y	Cs-143	1,791 (7) s
971,34 (15)	0,294 (28)	Y	Zr-97	16,90 (5) h
971,7 (10)	0,000 010 (5)	Y	Th-227	18,718 (5) d
972	0,89 (4)	Y	I-135	6,57 (2) h
972,3 (2)	0,068 (6)	Y	Y-92	3,54 (2) h
972,550 (25)	0,45 (2)	Y	In-116m	54,29 (17) min
972,6	1,21 (5)	Y	I-135	6,57 (2) h
972,64 (11)	0,55 (17)	Y	Te-133m	55,4 (4) min
973,49 (15)	0,12	Y	I-137	24,5 (2) s
973,9 (1)	0,040 (4)	Y	Sr-91*	9,63 (5) h
973,9 (1)	99 (5)	Y	Sb-132	2,79 (5) min
973,9 (1)	95 (5)	Y	Sb-132m	4,10 (7) min
973,9 (1)	23,8 (14)	Y	Np-240	61,9 (2) min
974,09 (4)	0,013 8 (8)	Y	Eu-152	13,522 (16) a
974,39 (10)	0,98 (9)	Y	Kr-89	3,17 (2) min
974,670 (35)	4,77 (29)	Y	I-134	52,5 (2) min
974,9 (7)	0,037 (15)	Y	Ba-141	18,27 (7) min
974,91 (14)	0,000 40 (8)	Y	U-239	23,46 (4) min
975,1 (1)	0,027	Y	Pa-234	6,70 (5) h
975,2 (5)	0,000 18 (5)	Y	Fr-223	22,00 (7) min
975,3 (4)	0,079 (26)	Y	Tl-200	1,088 (5) d
975,4 (19)	0,063 (13)	Y	Rb-89	15,2 (1) min
975,5 (5)	0,033 (10)	Y	Ga-72	14,10 (2) h
975,925 (12)	0,050 (5)	Y	Ac-228	6,15 (2) h
975,925 (12)	1,25 (10)	Y	Pa-228	22 (1) h
976,18 (12)	0,015 1 (21)	Y	Bi-214	19,9 (4) min
976,26 (16)	0,057 (5)	Y	Kr-87	1,272 (8) h
976,32 (14)	0,103 (4)	Y	I-124	4,1760 (3) d
976,4 (6)	0,48 (9)	Y	Kr-89	3,17 (2) min
976,4 (1)	0,088 (10)	Y	Sb-124	60,20 (3) d
976,74 (20)	0,000 230 (47)	Y	Dy-165	2,334 (6) h
977,15 (4)	0,47 (2)	Y	Rb-81*	4,25 (25) h
977,2 (2)	0,13 (3)	Y	Tc-104	18,3 (3) min
977,363 (4)	1,422 (7)	Y	Co-56	77,236 (26) d
978 (1)	0,12 (6)	Y	Te-133	12,45 (30) min
978,18 (20)	0,087	Y	I-137	24,5 (2) s
978,2 (5)	0,007 5	Y	Th-233	22,15 (15) min
978,2 (3)	0,09	Y	Pa-234	6,70 (5) h
978,30 (4)	4,9 (3)	Y	Te-133m	55,4 (4) min
978,47 (5)	0,020 (5)	Y	Eu-150	36,9 (9) a
978,7 (4)	0,000 8 (2)	Y	Fr-223	22,00 (7) min
979	0,003 (3)	Y	Mo-93m	6,85 (7) h
979,25 (17)	0,001 04 (20)	Y	Re-188	17,005 (4) h
979,4 (3)	0,28 (3)	Y	Xe-123	2,08 (2) h
979,48 (10)	0,026 (3)	Y	Ac-228	6,15 (2) h
979,48 (10)	0,046 6 (25)	Y	Pa-228	22 (1) h
979,5 (3)	0,032 (16)	Y	Pb-201	9,33 (3) h
980,26 (5)	1,49 (18)	Y	Te-133m	55,4 (4) min
980,29 (11)	0,187 (22)	Y	Kr-90	32,32 (9) s
980,3 (1)	4,45	Y	Pa-234	6,70 (5) h
980,52 (7)	0,273 (15)	Y	Mo-101	14,6 (1) min
980,59 (18)	0,123 (15)	Y	Xe-139	39,68 (14) s
980,7 (10)	0,074 (26)	Y	Cs-140	1,062 (5) min
980,8 (2)	0,51 (7)	Y	Tc-104	18,3 (3) min
980,8 (1)	0,123 (15)	Y	Xe-139	39,68 (14) s

* : Radionucléide en équilibre avec son descendant
(Cf. liste en début de volume)

Énergie (keV)	Intensité (%)	Type	Parent	Période
980,9 (1)	0,041 (3)	Y	As-76	1,0778 (20) d
980,9 (2)	0,33 (3)	Y	Br-76	16,2 (2) h
980,934 (13)	0,048 (19)	Y	Ga-66	9,49 (7) h
981,2	0,18 (5)	Y	Ba-141	18,27 (7) min
981,3 (5)	0,008 4 (17)	Y	Eu-154	8,601 (4) a
981,3 (5)	0,032 (8)	Y	Fr-227	2,47 (3) min
981,5 (2)	0,071 (10)	Y	Pa-228	22 (1) h
981,6 (2)	0,028 (4)	Y	Rb-81m	30,25 (25) min
981,6 (3)	0,72	Y	Pa-234	6,70 (5) h
981,7	0,74 (11)	Y	Ba-141	18,27 (7) min
982,25 (5)	0,209 (13)	Y	Xe-137	3,818 (13) min
982,27 (5)	0,016 0 (12)	Y	Te-129	1,160 (5) h
982,7 (4)	0,46 (10)	Y	Xe-140	13,6 (1) s
982,7 (2)	0,205 (8)	Y	Tl-208	3,060 (8) min
982,9 (5)	0,020 (9)	Y	Mg-28	20,91 (3) h
983,5 (5)	0,039 (9)	Y	Fr-227	2,47 (3) min
983,521 (7)	99,85 (15)	Y	V-48	15,9735 (25) d
983,526 (12)	99,9 (1)	Y	Sc-48	1,820 (4) d
984,0 (2)	0,15 (3)	Y	Tc-104	18,3 (3) min
984,1 (5)	0,000 34 (21)	Y	Re-188	17,005 (4) h
984,2 (2)	0,59 (4)	Y	I-132	2,295 (13) h
984,2 (1)	1,62	Y	Pa-234	6,70 (5) h
984,4 (5)	0,014 (4)	Y	I-124	4,1760 (3) d
984,5 (9)	0,08 (3)	Y	Cs-140	1,062 (5) min
984,5	0,009 4 (21)	Y	Eu-154	8,601 (4) a
984,5 (1)	0,000 002 0 (6)	Y	Cm-242	162,86 (8) d
984,8 (5)	0,001 4	Y	Th-233	22,15 (15) min
984,92 (4)	0,006 4 (8)	Y	Dy-165	2,334 (6) h
985,4 (5)	0,024 (8)	Y	Rb-90	2,70 (5) min
985,4 (5)	0,080 (24)	Y	Rb-90m	4,30 (7) min
985,7 (1)	0,23 (4)	Y	Cs-143	1,791 (7) s
985,73 (6)	0,098 6 (24)	Y	Ge-77	11,30 (1) h
985,780 (16)	1,31 (7)	Y	Kr-88	2,84 (3) h
986,02 (11)	0,302 (34)	Y	Xe-139	39,68 (14) s
986,44 (4)	0,001 4 (1)	Y	Mo-99*	2,7479 (6) d
986,6 (2)	0,21 (4)	Y	Tc-104	18,3 (3) min
986,93 (15)	0,003 4 (8)	Y	N-16	7,13 (2) s
987,3 (5)	0,08 (3)	Y	Ca-49	8,718 (6) min
987,5 (5)	0,16 (5)	Y	I-138	6,49 (7) s
987,7 (3)	0,010 (3)	Y	Y-93	10,1 (2) h
987,7 (1)	6,7 (5)	Y	Np-240	61,9 (2) min
987,71 (20)	0,077 (13)	Y	Ac-228	6,15 (2) h
987,8 (3)	0,048 (2)	Y	Br-87	55,65 (13) s
987,8 (1)	0,16 (4)	Y	Te-131m*	1,25 (8) d
987,92 (10)	0,40 (3)	Y	Pa-228	22 (1) h
988,05 (12)	0,177 (12)	Y	Mo-101	14,6 (1) min
988,51 (14)	0,000 43 (9)	Y	U-239	23,46 (4) min
988,63 (20)	0,077 (13)	Y	Ac-228	6,15 (2) h
989,02 (10)	3,0 (4)	Y	Xe-140	13,6 (1) s
989,3 (2)	6,8 (3)	Y	Sb-126	12,4 (1) d
989,4 (5)	0,000 15 (10)	Y	Fr-223	22,00 (7) min
989,5 (1)	0,103	Y	Pa-234	6,70 (5) h
989,6 (2)	14,9 (15)	Y	Sb-132	2,79 (5) min
990,0 (7)	0,000 034 (9)	Y	Th-227	18,718 (5) d
990,09 (9)	0,142 (19)	Y	Kr-88	2,84 (3) h
990,19 (3)	0,031 5 (13)	Y	Eu-152	13,522 (16) a
990,25 (20)	0,33 (7)	Y	K-43	22,2 (1) h
990,3 (3)	0,013 (2)	Y	Br-87	55,65 (13) s
991,49 (19)	0,011 (3)	Y	Bi-214	19,9 (4) min
992,0 (2)	0,082	Y	Pa-234	6,70 (5) h
992,00 (7)	0,002 7 (1)	Y	U-239	23,46 (4) min
992,1 (6)	0,13 (5)	Y	Kr-91	8,57 (4) s
992,2 (1)	0,044 (4)	Y	Sr-91*	9,63 (5) h
992,43 (8)	0,102 1 (23)	Y	Xe-125	16,9 (2) h
992,64 (18)	0,010 0 (25)	Y	La-140	1,67850 (17) d
992,65 (6)	0,000 001 4 (4)	Y	Th-228	1,9127 (6) a
993,0 (5)	0,158 (18)	Y	Fr-227	2,47 (3) min
993,69 (13)	0,30 (4)	Y	Rb-91	58,4 (4) s
994 (1)	0,000 94	Y	Th-233	22,15 (15) min
994,3 (3)	0,000 12 (3)	Y	Fr-223	22,00 (7) min
994,6 (3)	0,062	Y	Pa-234	6,70 (5) h
995 (1)	0,000 006 (4)	Y	Th-227	18,718 (5) d
995,08 (12)	0,80 (8)	Y	Kr-91	8,57 (4) s
995,089 (25)	0,055 (6)	Y	Dy-165	2,334 (6) h
995,09 (2)	0,69 (6)	Y	Te-133	12,45 (30) min
995,09 (2)	0,50 (17)	Y	Te-133m	55,4 (4) min
995,09 (10)	0,15 (3)	Y	I-135	6,57 (2) h
995,2 (2)	0,009 (5)	Y	Te-131m*	1,25 (8) d
995,8 (5)	0,03 (1)	Y	I-132	2,295 (13) h
995,87 (1)	0,068 (8)	Y	Eu-152m	9,3116 (13) h

* : Radionucléide en équilibre avec son descendant
(Cf. liste en début de volume)

Énergie (keV)	Intensité (%)	Type	Parent	Période
995,97 (8)	0,83 (7)	Y	Pr-147	13,4 (4) min
996,09 (6)	0,001 23 (27)	Y	Na-24	14,9574 (20) h
996,1 (3)	0,4 (3)	Y	Te-133m	55,4 (4) min
996,1 (5)	0,055 (16)	Y	Fr-227	2,47 (3) min
996,1 (20)	0,004 1 (5)	Y	Pa-234m	1,17 (3) min
996,25 (5)	10,5 (1)	Y	Eu-154	8,601 (4) a
996,4 (2)	0,30 (3)	Y	Xe-139	39,68 (14) s
996,55 (5)	0,105 (2)	Y	Ge-77	11,30 (1) h
996,8 (3)	0,063 (16)	Y	Xe-138	14,08 (8) min
996,8	0,129 (25)	Y	Ba-141	18,27 (7) min
996,939 (5)	0,116 (6)	Y	Co-56	77,236 (26) d
997,0 (5)	0,006 (2)	Y	Sb-124	60,20 (3) d
997,2 (4)	3,6 (3)	Y	Te-131	25,0 (1) min
997,243 (15)	0,128 (4)	Y	Ag-110m	249,78 (2) d
997,37 (10)	0,66 (6)	Y	Kr-89	3,17 (2) min
997,66 (1)	1,03 (5)	Y	Te-133	12,45 (30) min
997,7 (3)	0,045	Y	Pa-234	6,70 (5) h
997,85 (6)	0,45 (3)	Y	Rb-90	2,70 (5) min
997,9 (4)	0,012 (3)	Y	Sm-155	22,3 (2) min
998,291 (11)	0,080 (8)	Y	Te-121m	154 (7) d
998,6 (3)	0,042 (10)	Y	Br-87	55,65 (13) s
999,2 (2)	0,03 (2)	Y	Te-131	25,0 (1) min
999,2 (2)	0,17 (6)	Y	Te-131m*	1,25 (8) d
999,23 (7)	0,64 (4)	Y	Pb-201	9,33 (3) h
999,3 (5)	0,000 21 (13)	Y	Fr-223	22,00 (7) min
999,8 (5)	0,10 (6)	Y	Xe-140	13,6 (1) s
999,8 (5)	0,000 029 (8)	Y	Th-227	18,718 (5) d
999,86 (6)	0,798 (10)	Y	Ga-72	14,10 (2) h
1 000,12 (4)	0,047 (6)	Y	Ir-194	19,3 (1) h
1 000,697 (17)	0,005	Y	Ac-228	6,15 (2) h
1 000,7 (5)	0,100 (27)	Y	Cs-140	1,062 (5) min
1 000,72 (1)	3,62 (10)	Y	Te-133	12,45 (30) min
1 000,82 (2)	0,004 4 (14)	Y	W-187	23,72 (6) h
1 001	0,023 (23)	Y	Pa-228	22 (1) h
1 001 (1)	0,001 2	Y	Th-233	22,15 (15) min
1 001,03 (3)	0,839 (12)	Y	Pa-234m	1,17 (3) min
1 001,1 (3)	0,004 6 (10)	Y	Eu-152	13,522 (16) a
1 001,343 (18)	0,004 3 (4)	Y	Mo-99*	2,7479 (6) d
1 001,695 (2)	2,07 (4)	Y	Ta-182	114,43 (3) d
1 001,7 (4)	0,062 (9)	Y	Xe-139	39,68 (14) s
1 001,8 (3)	0,06 (2)	Y	Y-94	18,7 (1) min
1 002,40 (13)	0,000 47 (9)	Y	U-239	23,46 (4) min
1 002,5 (6)	0,026 (7)	Y	I-132	2,295 (13) h
1 002,7 (3)	0,016 8 (23)	Y	Sm-155	22,3 (2) min
1 002,85 (1)	0,075 3 (19)	Y	Ce-143	33,040 (7) h
1 002,88 (4)	1,038 (22)	Y	Tb-160	72,3 (2) d
1 003,28 (6)	0,16 (1)	Y	Pa-232	1,31 (2) d
1 003,57 (3)	0,053 (6)	Y	Bi-213	45,59 (6) min
1 003,9 (9)	0,011 (6)	Y	Rb-90	2,70 (5) min
1 003,9 (9)	0,06 (3)	Y	Rb-90m	4,30 (7) min
1 004,2 (3)	0,074 (10)	Y	Xe-123	2,08 (2) h
1 004,718 (7)	17,86 (18)	Y	Eu-154	8,601 (4) a
1 005 (1)	0,039 (9)	Y	Tb-160	72,3 (2) d
1 005,0 (5)	0,071 (17)	Y	Fr-227	2,47 (3) min
1 005,27 (13)	0,000 6 (1)	Y	U-239	23,46 (4) min
1 005,272 (17)	0,665 (23)	Y	Eu-152	13,522 (16) a
1 005,4 (6)	0,016 (5)	Y	I-132	2,295 (13) h
1 005,7 (3)	0,002 7 (3)	Y	Au-196	6,183 (10) d
1 005,78 (9)	0,11 (4)	Y	Te-131m*	1,25 (8) d
1 006,0 (3)	0,26 (3)	Y	Xe-139	39,68 (14) s
1 006,3 (4)	0,095 (25)	Y	Rb-91	58,4 (4) s
1 007 (1)	0,002 8	Y	Th-233	22,15 (15) min
1 007,22 (5)	0,012 6 (20)	Y	Ag-108	2,382 (11) min
1 007,4 (3)	0,173 (15)	Y	Mo-101	14,6 (1) min
1 007,43 (8)	0,161 (4)	Y	Xe-125	16,9 (2) h
1 007,47 (20)	0,013 5 (6)	Y	Ge-77	11,30 (1) h
1 007,5 (2)	0,66 (17)	Y	Te-133m	55,4 (4) min
1 007,54 (3)	1,27 (2)	Y	Br-82	1,4708 (13) d
1 007,98 (8)	0,9 (1)	Y	Te-131	25,0 (1) min
1 008,1 (2)	0,82 (5)	Y	Cs-140	1,062 (5) min
1 008,4	0,064 (16)	Y	Ba-141	18,27 (7) min
1 008,588 (12)	0,059 (9)	Y	Ga-66	9,49 (7) h
1 008,98 (23)	0,19 (4)	Y	Kr-91	8,57 (4) s
1 009,0 (4)	0,046 (7)	Y	I-132	2,295 (13) h
1 009,2 (3)	0,048 (10)	Y	Br-87	55,65 (13) s
1 009,38 (18)	0,000 3 (1)	Y	U-239	23,46 (4) min
1 009,78 (8)	29,8 (6)	Y	Cs-138	33,41 (18) min
1 009,9 (2)	0,004 1 (10)	Y	Xe-137	3,818 (13) min
1 009,9 (3)	0,066	Y	Pa-234	6,70 (5) h
1 010,0 (3)	0,000 061 (20)	Y	Pd-109	13,7 (1) h

* : Radionucléide en équilibre avec son descendant
(Cf. liste en début de volume)

Énergie (keV)	Intensité (%)	Type	Parent	Période
1 010,24 (3)	0,091 (6)	Y	Re-184	38,0 (5) d
1 010,27 (6)	0,079 4 (16)	Y	Ho-166m	1 200 (180) a
1 010,3 (3)	0,017 (4)	Y	Pb-201	9,33 (3) h
1 010,4 (10)	0,41 (4)	Y	Cs-140	1,062 (5) min
1 010,84 (20)	0,109 (16)	Y	Kr-89	3,17 (2) min
1 010,957 (19)	0,027 (3)	Y	Ga-66	9,49 (7) h
1 011 (1)	0,004	Y	Th-233	22,15 (15) min
1 011,05 (14)	0,89 (8)	Y	Mo-101	14,6 (1) min
1 011,3 (5)	0,44 (5)	Y	Xe-123	2,08 (2) h
1 011,87 (5)	0,31 (3)	Y	Eu-156	15,19 (8) d
1 012,2 (5)	0,003 6 (10)	Y	Pm-151	1,183 (2) d
1 012,47 (4)	13,0 (7)	Y	Mo-101	14,6 (1) min
1 012,5	0,147 (23)	Y	Ba-141	18,27 (7) min
1 012,8 (2)	0,003 (1)	Y	Eu-154	8,601 (4) a
1 013,4 (5)	0,071 (16)	Y	Fr-227	2,47 (3) min
1 013,43 (16)	0,004 6 (13)	Y	Ac-228	6,15 (2) h
1 013,5 (5)	0,007 (3)	Y	Mg-28	20,91 (3) h
1 013,5 (5)	0,118 (15)	Y	Xe-123	2,08 (2) h
1 013,54 (13)	0,02 (2)	Y	Pa-228	22 (1) h
1 013,57 (8)	0,001 3 (4)	Y	Te-129	1,160 (5) h
1 013,8 (2)	0,008 7 (19)	Y	Bi-214	19,9 (4) min
1 013,95 (19)	0,25 (3)	Y	Rb-90m	4,30 (7) min
1 014,3 (3)	0,001 3 (5)	Y	Ce-143	33,040 (7) h
1 014,33	0,000 001 0 (2)	Y	Am-241	432,6 (6) a
1 014,4 (4)	0,012 (3)	Y	Rb-81m	30,25 (25) min
1 014,4 (1)	0,21 (6)	Y	Np-240	61,9 (2) min
1 014,44 (3)	28,0 (4)	Y	Mg-27	9,458 (12) min
1 014,5 (8)	0,009 (3)	Y	Sb-124	60,20 (3) d
1 014,64 (5)	0,017 3 (6)	Y	Pb-211	36,1 (2) min
1 015,081 (18)	0,012 (3)	Y	Ga-66	9,49 (7) h
1 015,1 (3)	0,11 (6)	Y	Te-133m	55,4 (4) min
1 015,2 (7)	0,000 015 (4)	Y	Th-227	18,718 (5) d
1 015,3 (3)	0,12 (5)	Y	Te-133	12,45 (30) min
1 016	0,032 (6)	Y	Pa-228	22 (1) h
1 016,162 (13)	0,349 (13)	Y	Rb-84	32,77 (14) d
1 016,44 (15)	0,038 0 (42)	Y	Ac-228	6,15 (2) h
1 016,7 (2)	0,014 (2)	Y	Pa-232	1,31 (2) d
1 017,0 (5)	0,000 7 (2)	Y	Mo-99*	2,7479 (6) d
1 017,2 (2)	0,076 (12)	Y	Pa-228	22 (1) h
1 017,40 (5)	0,3 (1)	Y	Sn-125	9,64 (3) d
1 017,7 (3)	0,10 (2)	Y	Br-87	55,65 (13) s
1 017,7 (3)	0,090 (15)	Y	Xe-139	39,68 (14) s
1 017,7 (1)	0,014 7 (11)	Y	Re-188	17,005 (4) h
1 017,92 (20)	0,005 7 (13)	Y	Ac-228	6,15 (2) h
1 018,1 (5)	0,006 0 (26)	Y	I-133	20,87 (8) h
1 018,5 (2)	0,29 (6)	Y	Xe-140	13,6 (1) s
1 018,5 (1)	0,084 (9)	Y	Eu-156	15,19 (8) d
1 018,58 (25)	0,73 (4)	Y	Mo-101	14,6 (1) min
1 018,9 (2)	0,121 (20)	Y	Pa-228	22 (1) h
1 018,93 (5)	0,001 1 (2)	Y	Re-184	38,0 (5) d
1 018,93 (5)	0,094 (11)	Y	Re-184m	169 (8) d
1 018,95 (8)	0,014 1 (7)	Y	Ag-110m	249,78 (2) d
1 019,0 (8)	0,284 (28)	Y	Zr-97	16,90 (5) h
1 019,32 (15)	0,073	Y	I-137	24,5 (2) s
1 019,43 (6)	0,002 2 (6)	Y	Te-129	1,160 (5) h
1 019,5 (4)	0,027	Y	Pa-234	6,70 (5) h
1 019,8 (3)	0,025 (8)	Y	Pb-201	9,33 (3) h
1 019,86 (10)	0,021 (4)	Y	Ac-228	6,15 (2) h
1 020,0 (3)	0,386 (17)	Y	Mo-101	14,6 (1) min
1 020 (1)	0,000 019 (6)	Y	Th-227	18,718 (5) d
1 020,5 (1)	0,26 (5)	Y	Cs-143	1,791 (7) s
1 020,55 (15)	0,023 8 (6)	Y	Xe-125	16,9 (2) h
1 021,0 (5)	0,016 (3)	Y	Bi-214	19,9 (4) min
1 021,13 (8)	2,81 (9)	Y	Te-133	12,45 (30) min
1 021,2 (3)	1,04 (19)	Y	Zr-97	16,90 (5) h
1 021,26 (7)	1,30 (9)	Y	Br-87	55,65 (13) s
1 021,79 (18)	1,88 (8)	Y	K-43	22,2 (1) h
1 021,8 (1)	0,46 (5)	Y	Tc-104	18,3 (3) min
1 021,8 (2)	0,14	Y	Pa-234	6,70 (5) h
1 021,9 (5)	0,005 9 (6)	Y	Ge-77	11,30 (1) h
1 021,9 (7)	0,08 (3)	Y	Rb-90m	4,30 (7) min
1 022,0 (6)	0,039 (7)	Y	Xe-139	39,68 (14) s
1 022,43 (5)	0,018 (10)	Y	Te-129m	33,6 (1) d
1 022,63 (3)	0,52 (4)	Y	Re-184	38,0 (5) d
1 022,63 (3)	0,180 (18)	Y	Re-184m	169 (8) d
1 022,71 (9)	0,025 (7)	Y	K-42	12,359 (3) h
1 023 (1)	0,006 6 (25)	Y	Eu-154	8,601 (4) a
1 023,20 (12)	0,44 (5)	Y	Rb-91	58,4 (4) s
1 023,38 (8)	0,12 (8)	Y	Te-131m*	1,25 (8) d
1 023,6 (2)	0,062	Y	Pa-234	6,70 (5) h

* : Radionucléide en équilibre avec son descendant
(Cf. liste en début de volume)

Énergie (keV)	Intensité (%)	Type	Parent	Période
1 024,00 (25)	0,000 08 (4)	Y	Te-121m	154 (7) d
1 024,1 (3)	0,121 (17)	Y	Cs-140	1,062 (5) min
1 024,3 (1)	33,5 (11)	Y	Sr-91*	9,63 (5) h
1 024,4 (2)	0,040 (6)	Y	Pa-228	22 (1) h
1 024,5 (1)	0,16 (3)	Y	Cs-143	1,791 (7) s
1 024,53 (30)	1,08 (7)	Y	Nb-97	1,202 (12) h
1 024,7 (2)	0,26 (6)	Y	Xe-140	13,6 (1) s
1 024,91 (15)	2,9 (3)	Y	Kr-91	8,57 (4) s
1 025 (1)	0,000 015 (4)	Y	Th-227	18,718 (5) d
1 025,1 (2)	0,008 (4)	Y	Rb-81*	4,25 (25) h
1 025,1 (5)	0,000 15 (3)	Y	Fr-223	22,00 (7) min
1 025,3 (5)	0,25 (9)	Y	Rb-89	15,2 (1) min
1 025,3 (2)	0,052	Y	Pa-234	6,70 (5) h
1 025,73 (10)	0,151 (12)	Y	Kr-79	35,04 (10) h
1 026,5 (10)	0,008 1	Y	Th-233	22,15 (15) min
1 026,7 (8)	0,284 (28)	Y	Zr-97	16,90 (5) h
1 026,8 (2)	0,055 (20)	Y	Te-133	12,45 (30) min
1 027,0 (1)	0,4 (1)	Y	Te-134	41,8 (8) min
1 027,1 (4)	0,020 (3)	Y	Rb-90	2,70 (5) min
1 027,1 (4)	0,12 (3)	Y	Rb-90m	4,30 (7) min
1 027,11 (20)	0,061 (18)	Y	Tl-200	1,088 (5) d
1 027,3 (2)	0,011 (5)	Y	Rb-88	17,8 (1) min
1 027,39 (8)	0,128 (12)	Y	Eu-156	15,19 (8) d
1 028,3 (3)	0,65 (14)	Y	Kr-91	8,57 (4) s
1 028,5 (2)	0,000 001 6 (5)	Y	Cm-242	162,86 (8) d
1 028,7 (1)	0,57	Y	Pa-234	6,70 (5) h
1 029,2 (5)	0,000 30 (3)	Y	Tl-200	1,088 (5) d
1 029,88 (6)	1,22 (18)	Y	Te-133m	55,4 (4) min
1 029,9 (5)	0,57 (7)	Y	Br-76	16,2 (2) h
1 030,1 (4)	0,069 (8)	Y	Mo-101	14,6 (1) min
1 031,2 (3)	0,062 (17)	Y	Kr-90	32,32 (9) s
1 031,22 (3)	0,020 1 (9)	Y	Ce-143	33,040 (7) h
1 031,5 (3)	0,131 (17)	Y	Cs-140	1,062 (5) min
1 031,92 (6)	63 (4)	Y	Rb-89	15,2 (1) min
1 032,3 (4)	0,065 (6)	Y	Ga-72	14,10 (2) h
1 032,37 (8)	0,061 (4)	Y	Bi-214	19,9 (4) min
1 032,6 (5)	0,58 (7)	Y	Br-76	16,2 (2) h
1 032,8 (2)	0,018	Y	Pa-234	6,70 (5) h
1 033,248 (9)	0,201 (13)	Y	Ac-228	6,15 (2) h
1 033,248 (9)	0,71 (6)	Y	Pa-228	22 (1) h
1 033,4	0,011 9 (7)	Y	Eu-154	8,601 (4) a
1 033,5 (2)	0,14 (4)	Y	Np-240	61,9 (2) min
1 034,3	0,19 (5)	Y	Ba-141	18,27 (7) min
1 034,9 (6)	0,13 (6)	Y	Rb-91	58,4 (4) s
1 034,9 (2)	1,00 (5)	Y	Sb-126	12,4 (1) d
1 034,9 (2)	1,8 (2)	Y	Sb-126m	19,15 (8) min
1 035,0 (2)	0,51 (5)	Y	I-132	2,295 (13) h
1 035,4 (1)	0,000 56 (25)	Y	Te-121m	154 (7) d
1 035,5 (1)	0,11 (3)	Y	Te-131m*	1,25 (8) d
1 035,5 (1)	0,11 (6)	Y	Te-133m	55,4 (4) min
1 035,53 (6)	0,008 6 (18)	Y	I-133	20,87 (8) h
1 035,8 (2)	0,007 3 (25)	Y	Ta-182	114,43 (3) d
1 035,9 (2)	0,026	Y	Pa-234	6,70 (5) h
1 036,3 (3)	0,123 (18)	Y	Xe-139	39,68 (14) s
1 036,6 (2)	0,120 (13)	Y	Pr-147	13,4 (4) min
1 036,63 (17)	0,000 97 (7)	Y	I-123	13,2234 (37) h
1 037,0 (4)	0,000 47 (10)	Y	Ba-131	11,50 (6) d
1 037	0,053 (7)	Y	Eu-156	15,19 (8) d
1 037,2 (6)	0,021 (2)	Y	Ga-72	14,10 (2) h
1 037,522 (12)	97,6 (7)	Y	Sc-48	1,820 (4) d
1 037,6 (7)	0,29 (2)	Y	Br-87	55,65 (13) s
1 037,833 3 (24)	0,040 (4)	Y	Mn-56	2,57878 (46) h
1 037,833 3 (24)	14,03 (5)	Y	Co-56	77,236 (26) d
1 037,9 (2)	0,018	Y	Pa-234	6,70 (5) h
1 038,0 (3)	0,008 6 (15)	Y	Bi-214	19,9 (4) min
1 038,3 (5)	0,030 (13)	Y	Kr-89	3,17 (2) min
1 038,555 (20)	0,991 (4)	Y	Cs-134	2,0651 (6) a
1 038,63 (7)	0,311 (21)	Y	Rb-90	2,70 (5) min
1 038,760 (21)	7,9 (3)	Y	I-135	6,57 (2) h
1 039,11 (8)	0,42 (4)	Y	Kr-90	32,32 (9) s
1 039,2 (2)	9,23 (9)	Y	Cu-66	5,120 (14) min
1 039,2 (5)	0,008 1 (20)	Y	Eu-152m	9,3116 (13) h
1 039,220 (3)	37 (3)	Y	Ga-66	9,49 (7) h
1 039,59 (3)	0,48 (3)	Y	Kr-88	2,84 (3) h
1 039,65 (15)	0,044 (9)	Y	Ac-228	6,15 (2) h
1 039,87 (6)	0,272 (20)	Y	Pa-228	22 (1) h
1 039,9	0,087 (15)	Y	Ba-141	18,27 (7) min
1 040,19 (9)	0,001 1 (1)	Y	U-239	23,46 (4) min
1 040,25 (10)	1,91 (19)	Y	I-134	52,5 (2) min
1 040,44 (7)	0,50 (5)	Y	Eu-156	15,19 (8) d

* : Radionucléide en équilibre avec son descendant
(Cf. liste en début de volume)

Énergie (keV)	Intensité (%)	Type	Parent	Période
1 040,5 (2)	0,236 (19)	Y	Cs-140	1,062 (5) min
1 040,7 (10)	0,07 (4)	Y	Br-76	16,2 (2) h
1 041,0 (3)	0,074 (10)	Y	Xe-123	2,08 (2) h
1 041	0,014 (14)	Y	Pa-228	22 (1) h
1 041,1 (2)	0,032	Y	Pa-234	6,70 (5) h
1 041,14 (5)	0,044 (9)	Y	Ac-228	6,15 (2) h
1 041,25 (5)	0,50 (2)	Y	Rb-81*	4,25 (25) h
1 041,5 (3)	18 (2)	Y	Sb-132m	4,10 (7) min
1 041,51 (11)	0,063 (17)	Y	Cs-138	33,41 (18) min
1 041,7 (1)	0,001 42 (10)	Y	Pa-234m	1,17 (3) min
1 041,77 (10)	0,076 (10)	Y	Br-87	55,65 (13) s
1 041,99 (5)	0,22 (3)	Y	Kr-91	8,57 (4) s
1 041,99 (5)	2,20 (16)	Y	Rb-91	58,4 (4) s
1 042,9	0,000 026 (3)	Y	Ba-139	1,384 (5) h
1 043,3 (6)	0,12 (4)	Y	Br-87	55,65 (13) s
1 044,002 (7)	27,5 (6)	Y	Br-82	1,4708 (13) d
1 044,3 (6)	0,06 (2)	Y	Br-87	55,65 (13) s
1 044,4 (1)	0,41 (4)	Y	Kr-89	3,17 (2) min
1 044,4 (2)	0,031	Y	Pa-234	6,70 (5) h
1 044,410 (2)	0,237 (6)	Y	Ta-182	114,43 (3) d
1 045,0 (1)	0,441 (12)	Y	I-124	4,1760 (3) d
1 045,02 (9)	0,020 (3)	Y	La-140	1,67850 (17) d
1 045,131 (4)	1,82 (2)	Y	Sb-124	60,20 (3) d
1 045,6 (6)	0,005	Y	Rh-106	30,0 (2) s
1 045,60 (15)	0,000 5 (1)	Y	Dy-165	2,334 (6) h
1 045,6 (2)	0,023 (3)	Y	Bi-214	19,9 (4) min
1 045,72 (5)	0,005 (5)	Y	V-52	3,753 (5) min
1 045,72 (8)	0,05 (2)	Y	Mn-52	5,595 (3) d
1 045,873 (12)	1,0 (7)	Y	Eu-150	36,9 (9) a
1 046,12 (8)	0,088 (12)	Y	Eu-150	36,9 (9) a
1 046,3	0,34 (5)	Y	Ba-141	18,27 (7) min
1 046,31 (15)	0,30 (3)	Y	Xe-139	39,68 (14) s
1 046,4 (3)	0,090 (7)	Y	Ba-131	11,50 (6) d
1 046,68 (14)	0,132 (3)	Y	Ni-57	35,9 (3) h
1 046,78 (4)	0,012 0 (9)	Y	Ce-143	33,040 (7) h
1 047,4 (1)	0,049 (3)	Y	Eu-154	8,601 (4) a
1 047,60 (3)	1,324 (16)	Y	Ba-131	11,50 (6) d
1 047,83 (15)	0,03 (2)	Y	Rb-81*	4,25 (25) h
1 048,07 (2)	99,82 (2)	Y	Ba-136m	308,4 (19) E-3 s
1 048,073 (20)	80 (3)	Y	Cs-136	13,16 (3) d
1 048,2 (3)	0,062 (13)	Y	Kr-89	3,17 (2) min
1 048,4 (5)	0,095 (17)	Y	Fr-227	2,47 (3) min
1 048,64 (5)	0,026 (4)	Y	Ir-194	19,3 (1) h
1 048,9 (3)	0,138 (15)	Y	Xe-123	2,08 (2) h
1 049	0,076 (18)	Y	Cs-143	1,791 (7) s
1 049,04 (3)	5,4 (3)	Y	Eu-150	36,9 (9) a
1 049,4 (1)	0,017 2 (8)	Y	Eu-154	8,601 (4) a
1 049,48 (12)	0,142 (12)	Y	Kr-88	2,84 (3) h
1 049,6 (4)	0,046 (12)	Y	I-132	2,295 (13) h
1 049,8 (6)	0,348 (19)	Y	Mo-101	14,6 (1) min
1 050,21 (5)	0,018 (11)	Y	Te-129m	33,6 (1) d
1 050,4 (1)	1,47 (4)	Y	Rh-106	30,0 (2) s
1 050,5 (5)	0,007 6 (10)	Y	Ag-110m	249,78 (2) d
1 050,69 (5)	6,91 (10)	Y	Ga-72	14,10 (2) h
1 051,0 (1)	0,016 (2)	Y	Pa-232	1,31 (2) d
1 051,1 (3)	0,05 (2)	Y	Te-133	12,45 (30) min
1 051,4 (2)	0,062	Y	Pa-234	6,70 (5) h
1 051,7 (1)	0,24 (4)	Y	Cs-143	1,791 (7) s
1 051,96 (3)	0,324 (8)	Y	Bi-214	19,9 (4) min
1 052,2 (3)	0,067 (19)	Y	I-134	52,5 (2) min
1 052,393 (17)	0,551 (16)	Y	I-133	20,87 (8) h
1 052,54 (15)	0,031 3 (12)	Y	Ge-77	11,30 (1) h
1 053,0 (5)	0,000 31 (14)	Y	Ba-139	1,384 (5) h
1 053,09 (20)	0,013 (4)	Y	Ac-228	6,15 (2) h
1 053,7 (3)	0,17 (6)	Y	Te-133m	55,4 (4) min
1 054,0 (2)	0,126 (6)	Y	I-124	4,1760 (3) d
1 054	0,046 6 (25)	Y	Pa-228	22 (1) h
1 054,11 (20)	0,018 (5)	Y	Ac-228	6,15 (2) h
1 054,23 (6)	0,31 (4)	Y	Pa-228	22 (1) h
1 054,32 (15)	0,159 (19)	Y	Cs-138	33,41 (18) min
1 054,54 (20)	0,031 (10)	Y	Kr-88	2,84 (3) h
1 054,6 (1)	0,224 (8)	Y	Sr-91*	9,63 (5) h
1 055,0 (2)	0,000 6 (4)	Y	Rn-219	3,96 (1) s
1 055,0 (4)	0,068 (4)	Y	Pa-232	1,31 (2) d
1 055,2	0,092 (20)	Y	Ba-141	18,27 (7) min
1 055,76 (3)	0,031 (4)	Y	Dy-165	2,334 (6) h
1 056,20 (5)	0,001 03 (9)	Y	Mo-99*	2,7479 (6) d
1 057,2 (4)	0,025 (13)	Y	Rb-89	15,2 (1) min
1 057,2 (5)	0,063 (22)	Y	Cs-140	1,062 (5) min
1 057,8 (3)	0,017 5	Y	Pa-234	6,70 (5) h

* : Radionucléide en équilibre avec son descendant
(Cf. liste en début de volume)

Énergie (keV)	Intensité (%)	Type	Parent	Période
1 058,5 (1)	0,062 (8)	Y	Pa-228	22 (1) h
1 058,6 (8)	0,030 (17)	Y	Kr-89	3,17 (2) min
1 058,8 (3)	0,095 (29)	Y	I-134	52,5 (2) min
1 058,90 (15)	0,27 (3)	Y	Kr-91	8,57 (4) s
1 059,4 (8)	0,001 10 (15)	Y	Pa-234m	1,17 (3) min
1 059,67 (4)	1,6 (1)	Y	Te-131m*	1,25 (8) d
1 059,8 (5)	0,06 (6)	Y	Te-133m	55,4 (4) min
1 060 (2)	0,04 (3)	Y	Br-76	16,2 (2) h
1 060,051 (11)	0,015 5 (17)	Y	Ga-66	9,49 (7) h
1 060,063	0,137 (7)	Y	I-133	20,87 (8) h
1 060,22 (2)	0,036 4 (14)	Y	Ce-143	33,040 (7) h
1 060,6 (3)	0,001 8 (5)	Y	As-76	1,0778 (20) d
1 060,69 (15)	0,089 (10)	Y	Br-87	55,65 (13) s
1 060,70 (4)	9,5 (7)	Y	Rb-90	2,70 (5) min
1 060,7 (4)	7,6 (5)	Y	Rb-90m	4,30 (7) min
1 060,7 (4)	0,78 (1)	Y	Xe-123	2,08 (2) h
1 061,04 (14)	0,002 6 (5)	Y	Re-184	38,0 (5) d
1 061,42 (8)	0,000 75 (5)	Y	Lu-176m	3,635 (12) h
1 061,48 (4)	0,053 (1)	Y	Ir-192	73,827 (13) d
1 061,6 (4)	0,51 (9)	Y	Sb-126m	19,15 (8) min
1 061,61 (1)	1,20 (15)	Y	Te-133	12,45 (30) min
1 061,70 (5)	0,150 (4)	Y	Ge-77	11,30 (1) h
1 061,9 (5)	0,002 0 (1)	Y	Pa-234m	1,17 (3) min
1 061,89 (6)	1,66 (19)	Y	Te-133m	55,4 (4) min
1 062,15 (5)	0,030 (3)	Y	Rh-106	30,0 (2) s
1 062,4 (1)	0,053 (7)	Y	Pa-228	22 (1) h
1 062,41 (2)	0,004 (1)	Y	Xe-135	9,14 (2) h
1 062,68 (9)	0,010 (3)	Y	Ac-228	6,15 (2) h
1 062,79 (15)	0,070 (9)	Y	Pb-201	9,33 (3) h
1 063,1 (1)	0,027 (7)	Y	Kr-87	1,272 (8) h
1 063,1 (4)	0,070 (17)	Y	Kr-89	3,17 (2) min
1 063,656 (3)	74,58 (49)	Y	Bi-207	32,9 (14) a
1 063,9 (1)	0,005 (1)	Y	V-48	15,9735 (25) d
1 063,9 (2)	0,90 (6)	Y	Sb-126	12,4 (1) d
1 064,0 (7)	0,126 (17)	Y	Cs-140	1,062 (5) min
1 064,3 (4)	0,66 (7)	Y	Xe-123	2,08 (2) h
1 064,59 (11)	0,275 (15)	Y	Mo-101	14,6 (1) min
1 064,75 (15)	0,075 (10)	Y	Br-87	55,65 (13) s
1 065,1 (1)	0,027	Y	Pa-234	6,70 (5) h
1 065,14 (5)	4,9 (4)	Y	Eu-156	15,19 (8) d
1 065,18 (4)	0,132 (10)	Y	Ac-228	6,15 (2) h
1 065,18 (4)	0,096 (9)	Y	Pa-228	22 (1) h
1 065,305 (9)	0,002 3 (5)	Y	Ga-66	9,49 (7) h
1 065,76 (12)	0,000 58 (8)	Y	U-239	23,46 (4) min
1 065,9 (4)	0,157 (11)	Y	Mo-101	14,6 (1) min
1 066,450 (12)	0,002 4 (5)	Y	Ga-66	9,49 (7) h
1 066,5 (3)	0,06 (2)	Y	Y-94	18,7 (1) min
1 066,6 (2)	0,054 (10)	Y	Xe-137	3,818 (13) min
1 066,66	0,101 (23)	Y	Ba-141	18,27 (7) min
1 066,9 (3)	0,3	Y	I-137	24,5 (2) s
1 067,10 (5)	9,7 (26)	Y	Sn-125	9,64 (3) d
1 067,2 (3)	0,024 (7)	Y	Bi-214	19,9 (4) min
1 067,4 (2)	0,049 (10)	Y	Xe-137	3,818 (13) min
1 067,5 (10)	0,000 015 (15)	Y	N-16	7,13 (2) s
1 067,56 (24)	0,163 (20)	Y	Xe-139	39,68 (14) s
1 067,7 (4)	0,068 (17)	Y	Kr-89	3,17 (2) min
1 068 (1)	0,07 (3)	Y	Cs-140	1,062 (5) min
1 068,12 (15)	0,001 42 (7)	Y	I-123	13,2234 (37) h
1 069,0 (3)	0,087 (23)	Y	Kr-91	8,57 (4) s
1 069,09 (5)	0,099 9 (25)	Y	Tb-160	72,3 (2) d
1 069,44 (10)	0,061 (5)	Y	Rb-81*	4,25 (25) h
1 069,96 (8)	0,271 (10)	Y	Bi-214	19,9 (4) min
1 070 (20)	11,9 (49)	Y	Tl-210	1,30 (3) min
1 070,04 (8)	1,22 (9)	Y	Pb-201	9,33 (3) h
1 070,40 (7)	0,112 (10)	Y	Pa-228	22 (1) h
1 070,9 (3)	0,017 8 (11)	Y	Xe-125	16,9 (2) h
1 070,97 (15)	0,061 (11)	Y	Kr-79	35,04 (10) h
1 071,00 (3)	0,144 (11)	Y	Eu-150	36,9 (9) a
1 071,4 (3)	0,000 67 (13)	Y	Re-188	17,005 (4) h
1 072,2 (4)	0,001 2 (5)	Y	Mo-99*	2,7479 (6) d
1 072,2	0,003 5 (14)	Y	Eu-154	8,601 (4) a
1 072,3 (2)	0,02 (1)	Y	Te-131m*	1,25 (8) d
1 072,36 (4)	0,02 (1)	Y	In-116m	54,29 (17) min
1 072,55 (3)	15,0 (8)	Y	I-134	52,5 (2) min
1 072,6 (2)	0,07 (1)	Y	Br-82	1,4708 (13) d
1 072,9 (10)	0,194 (23)	Y	Cs-140	1,062 (5) min
1 073,6 (2)	0,015 (5)	Y	Bi-212	60,54 (6) min
1 073,6 (2)	0,103	Y	Pa-234	6,70 (5) h
1 074,0 (2)	0,000 9 (5)	Y	Ag-110	24,56 (11) s
1 074,7 (3)	0,039 (5)	Y	Pa-228	22 (1) h

* : Radionucléide en équilibre avec son descendant
(Cf. liste en début de volume)

Énergie (keV)	Intensité (%)	Type	Parent	Période
1 074,81 (10)	0,010 (3)	Y	Ac-228	6,15 (2) h
1 075,54 (8)	0,061 6 (17)	Y	Xe-125	16,9 (2) h
1 076	0,34 (3)	Y	Eu-156	15,19 (8) d
1 076,1 (4)	0,007 (3)	Y	Kr-79	35,04 (10) h
1 076,38 (22)	0,088 (16)	Y	Xe-138	14,08 (8) min
1 076,48 (20)	0,24 (3)	Y	Kr-89	3,17 (2) min
1 076,78 (5)	8,71 (5)	Y	Rb-86	18,64 (2) d
1 077,34 (5)	3,22 (3)	Y	Ga-68	1,1275 (10) h
1 077,5 (3)	0,034 (5)	Y	Pa-228	22 (1) h
1 077,6 (10)	0,16 (9)	Y	Xe-140	13,6 (1) s
1 078,13 (15)	0,17 (11)	Y	Te-133m	55,4 (4) min
1 078,2 (5)	0,000 04 (4)	Y	Cd-115m	44,56 (24) d
1 078,63 (11)	0,55 (2)	Y	Bi-212	60,54 (6) min
1 078,88 (9)	0,10 (1)	Y	Br-87	55,65 (13) s
1 079,16 (5)	4,6 (4)	Y	Eu-156	15,19 (8) d
1 079,63 (14)	0,55 (12)	Y	Te-133m	55,4 (4) min
1 079,63 (3)	0,092 (10)	Y	Dy-165	2,334 (6) h
1 079,8 (5)	0,28 (11)	Y	Xe-140	13,6 (1) s
1 080,16 (6)	0,012 3 (7)	Y	Pb-211	36,1 (2) min
1 080,82 (8)	0,241 (6)	Y	Ge-77	11,30 (1) h
1 081,3 (1)	0,63 (4)	Y	Br-82	1,4708 (13) d
1 081,4 (3)	0,025 (7)	Y	Rb-89	15,2 (1) min
1 081,46 (8)	0,029 (10)	Y	Eu-150	36,9 (9) a
1 081,52 (7)	0,017 (3)	Y	Ta-178	9,29 (4) min
1 081,8 (4)	0,035 (8)	Y	I-132	2,295 (13) h
1 081,9 (10)	0,000 90 (13)	Y	Pa-234m	1,17 (3) min
1 082,75 (2)	0,013 3 (13)	Y	Ga-66	9,49 (7) h
1 083,2 (1)	0,5	Y	Pa-234	6,70 (5) h
1 083,34 (3)	0,163 (11)	Y	Eu-150	36,9 (9) a
1 083,4 (2)	0,35 (6)	Y	Cs-143	1,791 (7) s
1 083,85 (5)	0,49 (4)	Y	Te-129	1,160 (5) h
1 084,0 (3)	0,47 (4)	Y	Pr-147	13,4 (4) min
1 084 (1)	0,244 (8)	Y	Eu-152	13,522 (16) a
1 085,19 (3)	6,05 (15)	Y	Ge-77	11,30 (1) h
1 085,3 (1)	0,023 (2)	Y	Pa-232	1,31 (2) d
1 085,3 (3)	0,027	Y	Pa-234	6,70 (5) h
1 085,447 (14)	0,072 (4)	Y	Ag-110m	249,78 (2) d
1 085,7 (1)	0,000 50 (6)	Y	Pa-234m	1,17 (3) min
1 085,837 (10)	10,13 (6)	Y	Eu-152	13,522 (16) a
1 085,9 (3)	0,117 (23)	Y	Kr-91	8,57 (4) s
1 086,2 (2)	0,037 (8)	Y	Sb-124	60,20 (3) d
1 086,2 (4)	0,08 (2)	Y	I-132	2,295 (13) h
1 086,7 (8)	0,070 (15)	Y	Rb-90m	4,30 (7) min
1 086,7 (5)	0,26 (11)	Y	Xe-140	13,6 (1) s
1 087,0 (2)	0,086 (19)	Y	I-134	52,5 (2) min
1 087,67 (6)	0,012 1 (18)	Y	I-133	20,87 (8) h
1 087,684 2 (7)	0,159 (3)	Y	Au-198	2,6944 (8) d
1 087,7 (5)	0,007 (3)	Y	Rb-81*	4,25 (25) h
1 087,7 (1)	1,2 (3)	Y	Sn-125	9,64 (3) d
1 088,07 (10)	0,36 (4)	Y	Kr-89	3,17 (2) min
1 088,18 (15)	0,005 9 (13)	Y	Ac-228	6,15 (2) h
1 088,80 (9)	0,86 (7)	Y	Pb-201	9,33 (3) h
1 089,03 (24)	0,054 (4)	Y	Co-56	77,236 (26) d
1 089,15 (10)	4,6 (12)	Y	Sn-125	9,64 (3) d
1 089,737 (5)	1,73 (1)	Y	Eu-152	13,522 (16) a
1 089,8 (10)	0,12 (8)	Y	Xe-140	13,6 (1) s
1 089,86 (11)	0,065 3 (22)	Y	Xe-125	16,9 (2) h
1 089,9 (3)	0,001 2 (2)	Y	Ir-192	73,827 (13) d
1 090,0 (4)	0,009 (3)	Y	Rb-81*	4,25 (25) h
1 090,5 (2)	0,11 (6)	Y	Te-133m	55,4 (4) min
1 090,5 (5)	0,002 6 (7)	Y	Pb-211	36,1 (2) min
1 090,5 (2)	0,07 (3)	Y	Np-240	61,9 (2) min
1 090,53 (12)	0,062 (14)	Y	Kr-88	2,84 (3) h
1 090,8 (2)	0,008 1 (12)	Y	Ba-139	1,384 (5) h
1 091,33 (5)	48,5 (16)	Y	Nb-96	23,35 (5) h
1 091,4 (2)	0,149 (7)	Y	Au-196	6,183 (10) d
1 091,61 (14)	0,34 (4)	Y	Kr-91	8,57 (4) s
1 091,91 (8)	0,001 01 (13)	Y	Dy-165	2,334 (6) h
1 092,5 (10)	0,007	Y	Th-233	22,15 (15) min
1 092,9 (1)	0,45 (5)	Y	Tc-104	18,3 (3) min
1 093,2 (3)	4,9 (5)	Y	Sb-132	2,79 (5) min
1 093,2	0,09 (5)	Y	Ba-141	18,27 (7) min
1 093,4 (3)	2,79 (25)	Y	Xe-123	2,08 (2) h
1 093,87 (9)	0,41 (3)	Y	Xe-138	14,08 (8) min
1 093,9 (1)	0,43 (2)	Y	Tl-208	3,060 (8) min
1 094,2	0,14 (5)	Y	Ba-141	18,27 (7) min
1 095 (7)	0,11 (5)	Y	Sb-122	2,70 (1) d
1 095,16 (15)	0,093 (10)	Y	Br-87	55,65 (13) s
1 095,679 (20)	0,129 (10)	Y	Ac-228	6,15 (2) h
1 095,679 (20)	0,030 (6)	Y	Pa-228	22 (1) h

* : Radionucléide en équilibre avec son descendant
(Cf. liste en début de volume)

Énergie (keV)	Intensité (%)	Type	Parent	Période
1 096,1 (3)	0,120 (13)	Y	Pr-147	13,4 (4) min
1 096,8 (4)	0,000 64 (17)	Y	Re-188	17,005 (4) h
1 096,86 (10)	0,089 (15)	Y	I-135	6,57 (2) h
1 096,9 (4)	0,044 (8)	Y	I-132	2,295 (13) h
1 096,92 (8)	0,001 6 (1)	Y	U-239	23,46 (4) min
1 097,3 (2)	56,2 (11)	Y	In-116m	54,29 (17) min
1 097,58 (9)	0,023 (5)	Y	La-140	1,67850 (17) d
1 098,1 (5)	0,064 (25)	Y	Kr-89	3,17 (2) min
1 098,2 (2)	0,003 6 (5)	Y	As-76	1,0778 (20) d
1 098,22 (5)	0,20 (3)	Y	Te-131	25,0 (1) min
1 098,4 (2)	0,88 (23)	Y	Te-133m	55,4 (4) min
1 098,51 (7)	1,88 (14)	Y	Pb-201	9,33 (3) h
1 098,6 (10)	0,13 (3)	Y	Cs-140	1,062 (5) min
1 098,77 (11)	0,214 (18)	Y	Xe-138	14,08 (8) min
1 099,245 (3)	56,59 (21)	Y	Fe-59	44,495 (8) d
1 099,4 (5)	0,062 (9)	Y	Xe-139	39,68 (14) s
1 099,88 (4)	0,099 (10)	Y	Br-87	55,65 (13) s
1 099,9 (2)	0,072 (6)	Y	Rb-81m	30,25 (25) min
1 100,07 (12)	0,69 (6)	Y	I-134	52,5 (2) min
1 100,1 (4)	0,257 (22)	Y	Pr-147	13,4 (4) min
1 100,16 (2)	0,29 (2)	Y	Bi-213	45,59 (6) min
1 100,4 (3)	0,046	Y	I-137	24,5 (2) s
1 100,8 (1)	0,126 (24)	Y	Cs-143	1,791 (7) s
1 101,58 (3)	1,61 (6)	Y	I-135	6,57 (2) h
1 101,6 (10)	0,08 (3)	Y	Cs-140	1,062 (5) min
1 101,80 (11)	0,042 (7)	Y	Eu-156	15,19 (8) d
1 101,99 (16)	0,000 30 (1)	Y	U-239	23,46 (4) min
1 102,150 (18)	2,5 (3)	Y	Te-121m	154 (7) d
1 102,18 (15)	0,76 (9)	Y	Kr-91	8,57 (4) s
1 102,24 (17)	0,107 (14)	Y	Xe-138	14,08 (8) min
1 102,42 (10)	0,016 5 (16)	Y	Xe-137	3,818 (13) min
1 102,60 (3)	0,582 (12)	Y	Tb-160	72,3 (2) d
1 103,18 (20)	0,90 (8)	Y	Kr-89	3,17 (2) min
1 103,18 (12)	0,73 (6)	Y	I-134	52,5 (2) min
1 103,25 (2)	0,415 (6)	Y	Ce-143	33,040 (7) h
1 103,40 (1)	0,041 (5)	Y	Pa-228	22 (1) h
1 103,41 (10)	0,015 0 (23)	Y	Ac-228	6,15 (2) h
1 103,52 (20)	0,004 6 (7)	Y	Pb-211	36,1 (2) min
1 103,6 (3)	0,057	Y	I-137	24,5 (2) s
1 103,64 (19)	0,106 (15)	Y	Bi-214	19,9 (4) min
1 103,9 (3)	0,11 (6)	Y	Te-133m	55,4 (4) min
1 103,92 (7)	0,34 (4)	Y	Kr-90	32,32 (9) s
1 104,0 (5)	0,013 (7)	Y	Kr-79	35,04 (10) h
1 104,05 (5)	0,026 (4)	Y	Ir-194	19,3 (1) h
1 104,23 (7)	0,034 0 (12)	Y	Ge-77	11,30 (1) h
1 104,79 (19)	0,073 (14)	Y	Bi-214	19,9 (4) min
1 104,8 (10)	0,06 (3)	Y	Cs-140	1,062 (5) min
1 105,6 (3)	0,101 (13)	Y	Xe-139	39,68 (14) s
1 106,01 (7)	0,001 30 (22)	Y	Ag-108	2,382 (11) min
1 106,11 (7)	0,52 (8)	Y	Ta-178	9,29 (4) min
1 106,53 (24)	0,001 2 (4)	Y	Ga-66	9,49 (7) h
1 106,9 (2)	0,082	Y	Pa-234	6,70 (5) h
1 107,60 (18)	0,000 40 (16)	Y	Te-121m	154 (7) d
1 107,78 (10)	2,9 (3)	Y	Kr-89	3,17 (2) min
1 108,0 (2)	0,052 (4)	Y	Rb-81*	4,25 (25) h
1 108,28 (18)	0,39 (5)	Y	I-138	6,49 (7) s
1 108,5 (4)	0,002 6 (6)	Y	Xe-125	16,9 (2) h
1 108,63 (6)	0,051 (5)	Y	Xe-137	3,818 (13) min
1 108,68 (10)	7,2 (6)	Y	Kr-91	8,57 (4) s
1 108,7 (1)	0,005 1 (8)	Y	Rh-106	30,0 (2) s
1 109,174 (12)	0,186 (4)	Y	Eu-152	13,522 (16) a
1 109,174	0,000 28 (15)	Y	Eu-152m	9,3116 (13) h
1 109,2 (8)	0,13 (8)	Y	Rb-90m	4,30 (7) min
1 109,2 (2)	0,12 (6)	Y	Te-133	12,45 (30) min
1 109,48 (5)	0,115 (4)	Y	Pb-211	36,1 (2) min
1 109,5 (10)	0,06 (3)	Y	Cs-140	1,062 (5) min
1 110	0,003 (2)	Y	Eu-154	8,601 (4) a
1 110 (20)	6,9 (20)	Y	Tl-210	1,30 (3) min
1 110,08 (3)	0,58 (4)	Y	Re-184m	169 (8) d
1 110,44 (19)	0,114 (19)	Y	Zr-97	16,90 (5) h
1 110,55 (5)	0,66 (6)	Y	Pa-228	22 (1) h
1 110,597 (11)	0,019 (10)	Y	Ac-228	6,15 (2) h
1 110,6 (1)	0,062	Y	Pa-234	6,70 (5) h
1 110,61 (1)	0,285 (23)	Y	Ac-228	6,15 (2) h
1 111,4 (1)	0,014 (4)	Y	Sn-125	9,64 (3) d
1 111,64 (5)	0,191 (15)	Y	Te-129	1,160 (5) h
1 112,076 (3)	13,41 (6)	Y	Eu-152	13,522 (16) a
1 112,4 (4)	0,07 (2)	Y	I-132	2,295 (13) h
1 112,6 (3)	0,068 (12)	Y	Pr-147	13,4 (4) min
1 112,8 (5)	0,07 (4)	Y	Kr-79	35,04 (10) h

* : Radionucléide en équilibre avec son descendant
(Cf. liste en début de volume)

Énergie (keV)	Intensité (%)	Type	Parent	Période
1 113,05 (20)	0,044 (9)	Y	Br-87	55,65 (13) s
1 113,1 (3)	1,56 (15)	Y	Xe-123	2,08 (2) h
1 113,40 (5)	0,446 (9)	Y	Ta-182	114,43 (3) d
1 113,6 (10)	0,032 (21)	Y	Cs-140	1,062 (5) min
1 114,29 (10)	1,47 (9)	Y	Xe-138	14,08 (8) min
1 114,32 (6)	0,092 (7)	Y	Xe-137	3,818 (13) min
1 114,5 (1)	0,011 3 (10)	Y	Rh-106	30,0 (2) s
1 114,72 (8)	0,166 (16)	Y	Pb-201	9,33 (3) h
1 114,80 (5)	0,103 (4)	Y	Ge-77	11,30 (1) h
1 114,8 (1)	0,134 (19)	Y	Xe-139	39,68 (14) s
1 115,0 (8)	0,16 (7)	Y	Kr-89	3,17 (2) min
1 115,0 (1)	0,174 (34)	Y	Xe-139	39,68 (14) s
1 115,1 (3)	0,37 (4)	Y	Kr-79	35,04 (10) h
1 115,12 (3)	1,57 (4)	Y	Tb-160	72,3 (2) d
1 115,4 (3)	0,015 (6)	Y	Eu-150	36,9 (9) a
1 115,53 (4)	15,43 (14)	Y	Ni-65	2,5172 (3) h
1 115,539 (2)	50,22 (11)	Y	Zn-65	244,01 (9) d
1 115,78 (7)	0,050 (7)	Y	Eu-156	15,19 (8) d
1 116 (1)	0,001 0 (6)	Y	Eu-152m	9,3116 (13) h
1 116,61 (7)	1,67 (15)	Y	Kr-89	3,17 (2) min
1 117,01 (20)	0,086 (10)	Y	Nb-97	1,202 (12) h
1 117,46 (3)	0,048 8 (9)	Y	Ag-110m	249,78 (2) d
1 117,63 (10)	0,054 (8)	Y	Ac-228	6,15 (2) h
1 118,52 (6)	0,108 (14)	Y	Eu-154	8,601 (4) a
1 118,69 (5)	39 (4)	Y	Kr-90	32,32 (9) s
1 118,9 (5)	0,010 (4)	Y	Bi-214	19,9 (4) min
1 119,33 (6)	0,107 (7)	Y	Xe-137	3,818 (13) min
1 119,4 (1)	0,61 (7)	Y	Tc-104	18,3 (3) min
1 119,4 (1)	0,062 (7)	Y	Bi-213	45,59 (6) min
1 119,6 (7)	0,38 (11)	Y	Kr-89	3,17 (2) min
1 120,19 (15)	0,072 (9)	Y	Br-87	55,65 (13) s
1 120,287 (10)	14,91 (3)	Y	Bi-214	19,9 (4) min
1 120,32 (3)	0,199 (4)	Y	Ho-166m	1 200 (180) a
1 120,537 (3)	99,986 (36)	Y	Sc-46	83,788 (22) d
1 120,6 (8)	0,001 7 (1)	Y	Pa-234m	1,17 (3) min
1 121,300 (2)	34,9 (6)	Y	Ta-182	114,43 (3) d
1 121,44 (4)	0,035 (3)	Y	Re-184	38,0 (5) d
1 121,7 (1)	0,25	Y	Pa-234	6,70 (5) h
1 122,8 (5)	0,16 (9)	Y	Xe-140	13,6 (1) s
1 122,855 (15)	0,336 (15)	Y	Eu-150	36,9 (9) a
1 123,9 (5)	0,032	Y	I-137	24,5 (2) s
1 123,9 (3)	0,06 (5)	Y	Te-133	12,45 (30) min
1 124,00 (3)	3,62 (12)	Y	I-135	6,57 (2) h
1 124,2	0,006 9 (10)	Y	Eu-154	8,601 (4) a
1 124,99 (5)	0,118 (3)	Y	Ge-77	11,30 (1) h
1 125,2 (1)	0,36	Y	Pa-234	6,70 (5) h
1 125,44 (5)	11,9 (9)	Y	Te-131m*	1,25 (8) d
1 125,48 (20)	0,213 (10)	Y	Pa-232	1,31 (2) d
1 125,699 (20)	0,015 6 (14)	Y	Ag-110	24,56 (11) s
1 125,699 (20)	0,030 4 (14)	Y	Ag-110m	249,78 (2) d
1 125,7 (4)	0,005 (2)	Y	Tl-208	3,060 (8) min
1 125,7 (5)	0,004 0 (3)	Y	Pa-234m	1,17 (3) min
1 125,97 (16)	0,002 7 (5)	Y	Ba-131	11,50 (6) d
1 126,5 (4)	0,05 (2)	Y	I-132	2,295 (13) h
1 126,78 (15)	0,085 (10)	Y	Br-87	55,65 (13) s
1 126,8 (1)	0,3	Y	Pa-234	6,70 (5) h
1 126,965 (21)	0,424 (20)	Y	Nb-96	23,35 (5) h
1 127,59 (10)	0,17	Y	I-137	24,5 (2) s
1 128,0 (3)	0,31 (9)	Y	Tc-104	18,3 (3) min
1 128,02 (8)	1,0 (1)	Y	Te-131m*	1,25 (8) d
1 128,1 (1)	0,38 (1)	Y	Rh-106	30,0 (2) s
1 128,1 (2)	0,045 (7)	Y	I-124	4,1760 (3) d
1 128,552 (7)	0,317 (5)	Y	Eu-154	8,601 (4) a
1 129,2 (1)	0,078 (10)	Y	Xe-139	39,68 (14) s
1 129,47 (7)	0,135 (13)	Y	Eu-156	15,19 (8) d
1 129,65 (5)	1,21 (6)	Y	Cs-140	1,062 (5) min
1 129,67 (10)	2,5 (2)	Y	Al-26	717 (24) E+3 a
1 129,8 (6)	0,11 (4)	Y	Kr-91	8,57 (4) s
1 129,85 (6)	4,6 (3)	Y	Br-76	16,2 (2) h
1 129,87 (5)	0,126 (15)	Y	As-76	1,0778 (20) d
1 129,9 (2)	0,160 (15)	Y	Pr-147	13,4 (4) min
1 129,923 (18)	0,013 6 (13)	Y	Ga-66	9,49 (7) h
1 130 (1)	0,018 (14)	Y	As-76	1,0778 (20) d
1 130,29 (19)	0,036 (3)	Y	Bi-214	19,9 (4) min
1 131,51 (20)	0,161 (25)	Y	Kr-89	3,17 (2) min
1 131,511 (18)	22,6 (8)	Y	I-135	6,57 (2) h
1 131,56 (20)	0,042 (6)	Y	Kr-79	35,04 (10) h
1 132	0,001 9 (4)	Y	Sm-155	22,3 (2) min
1 132,17 (14)	0,005	Y	Nb-92m	10,15 (2) d
1 132,2 (3)	0,059 (5)	Y	Xe-123	2,08 (2) h

* : Radionucléide en équilibre avec son descendant
(Cf. liste en début de volume)

Énergie (keV)	Intensité (%)	Type	Parent	Période
1 132,31 (2)	0,083 (7)	γ	Re-188	17,005 (4) h
1 132,4 (1)	0,24 (2)	γ	Y-92	3,54 (2) h
1 132,4 (2)	0,010 (3)	γ	Pa-232	1,31 (2) d
1 132,570 (11)	0,086 (30)	γ	Cd-115m	44,56 (24) d
1 132,7 (4)	0,66 (18)	γ	Xe-140	13,6 (1) s
1 133	0,000 24	γ	Xe-135m	15,30 (3) min
1 133,4 (3)	0,22 (9)	γ	Tc-104	18,3 (3) min
1 133,5 (3)	5,9 (6)	γ	Sb-132	2,79 (5) min
1 133,66 (3)	0,254 (8)	γ	Bi-214	19,9 (4) min
1 134,77 (10)	0,027 (1)	γ	Ge-77	11,30 (1) h
1 134,88 (15)	0,33 (12)	γ	Te-133m	55,4 (4) min
1 135,24 (15)	0,009 8 (15)	γ	Ac-228	6,15 (2) h
1 135,24 (15)	0,001 3 (4)	γ	Pa-228	22 (1) h
1 135,47 (9)	0,004 7 (6)	γ	Ga-66	9,49 (7) h
1 136,00 (2)	3,01 (14)	γ	I-132	2,295 (13) h
1 136,06 (30)	0,043	γ	I-137	24,5 (2) s
1 136,1	0,007 (1)	γ	Eu-154	8,601 (4) a
1 136,160 (35)	9,2 (5)	γ	I-134	52,5 (2) min
1 136,4 (4)	0,011 (3)	γ	Rb-81*	4,25 (25) h
1 136,46 (9)	0,98 (8)	γ	Pr-147	13,4 (4) min
1 136,8	0,037 (10)	γ	Ba-141	18,27 (7) min
1 136,81 (14)	1,04 (10)	γ	Kr-91	8,57 (4) s
1 137 (1)	0,12 (6)	γ	Te-133	12,45 (30) min
1 137,09 (10)	2,1 (3)	γ	Xe-140	13,6 (1) s
1 137,24 (5)	3,9 (3)	γ	Rb-91	58,4 (4) s
1 137,3 (5)	0,28 (17)	γ	Te-133m	55,4 (4) min
1 137,5 (5)	0,003 (1)	γ	Sn-125	9,64 (3) d
1 137,5 (4)	0,094 (12)	γ	Cs-140	1,062 (5) min
1 137,5 (3)	0,013 (9)	γ	Eu-152m	9,3116 (13) h
1 137,52 (10)	0,36 (6)	γ	Xe-139	39,68 (14) s
1 138,23 (8)	0,300 (9)	γ	Xe-125	16,9 (2) h
1 138,25 (15)	0,000 23 (2)	γ	Lu-176m	3,635 (12) h
1 138,5 (5)	0,013 (7)	γ	Rb-89	15,2 (1) min
1 138,9 (1)	6,0 (5)	γ	Y-94	18,7 (1) min
1 139 (1)	0,001 3 (3)	γ	Eu-152	13,522 (16) a
1 139,7 (4)	0,044 (9)	γ	Br-87	55,65 (13) s
1 140,079 (3)	0,010 (1)	γ	I-128	24,99 (2) min
1 140,356 (7)	0,132 (4)	γ	Co-56	77,236 (26) d
1 140,36 (5)	0,001 34 (16)	γ	Dy-165	2,334 (6) h
1 140,46 (10)	0,74 (7)	γ	Sb-122	2,70 (1) d
1 140,50 (6)	0,065 (6)	γ	Rb-90	2,70 (5) min
1 140,5 (6)	0,88 (6)	γ	Rb-90m	4,30 (7) min
1 140,51 (5)	0,283 (24)	γ	Eu-156	15,19 (8) d
1 140,702 (6)	0,235 (4)	γ	Eu-154	8,601 (4) a
1 140,8 (1)	0,127 (6)	γ	Sr-91*	9,63 (5) h
1 141,33 (6)	1,28 (7)	γ	Kr-88	2,84 (3) h
1 141,5 (4)	0,30 (9)	γ	Xe-140	13,6 (1) s
1 141,64 (9)	0,51 (4)	γ	Xe-138	14,08 (8) min
1 142,3 (1)	2,8 (2)	γ	Sr-92	2,65 (6) h
1 142,3 (2)	0,33 (5)	γ	Tc-104	18,3 (3) min
1 142,74 (9)	1,33 (23)	γ	Te-133m	55,4 (4) min
1 142,85 (15)	0,010 3 (21)	γ	Ac-228	6,15 (2) h
1 143,3 (2)	1,35 (6)	γ	I-132	2,295 (13) h
1 143,3 (2)	0,009 (3)	γ	Pa-228	22 (1) h
1 144 (1)	0,002 9	γ	Th-233	22,15 (15) min
1 144,5 (5)	0,11 (3)	γ	Ca-49	8,718 (6) min
1 144,65 (4)	0,001 08 (12)	γ	Te-121m	154 (7) d
1 144,7 (2)	0,41 (5)	γ	Tc-104	18,3 (3) min
1 145 (2)	0,059 (15)	γ	Br-76	16,2 (2) h
1 145,44 (18)	0,132 (20)	γ	Xe-138	14,08 (8) min
1 146,2 (6)	0,16 (4)	γ	Br-87	55,65 (13) s
1 146,3 (6)	0,15 (4)	γ	Br-87	55,65 (13) s
1 146,77 (3)	0,205 9 (26)	γ	Ho-166m	1 200 (180) a
1 146,9 (4)	0,079 (11)	γ	Cs-140	1,062 (5) min
1 146,93 (4)	5,8 (3)	γ	Te-131	25,0 (1) min
1 146,96 (25)	0,043 (6)	γ	Rb-90	2,70 (5) min
1 146,96 (25)	0,015 (5)	γ	Rb-90m	4,30 (7) min
1 147	0,027 (13)	γ	Ba-141	18,27 (7) min
1 147,12 (20)	0,122 (35)	γ	Tl-200	1,088 (5) d
1 147,22 (9)	1,24 (7)	γ	Cs-138	33,41 (18) min
1 147,4 (5)	0,047 (16)	γ	Fr-227	2,47 (3) min
1 147,8 (5)	0,27 (5)	γ	I-132	2,295 (13) h
1 147,896 (10)	0,078 (9)	γ	Ga-66	9,49 (7) h
1 147,97 (8)	2,65 (28)	γ	Zr-97	16,90 (5) h
1 148,20 (14)	0,028 (4)	γ	Pa-228	22 (1) h
1 148,36 (10)	0,005 9 (13)	γ	Ac-228	6,15 (2) h
1 148,5 (1)	0,11 (2)	γ	Te-131	25,0 (1) min
1 148,6 (3)	0,049 (10)	γ	Nb-97	1,202 (12) h
1 148,73 (5)	1,7 (2)	γ	Te-131m*	1,25 (8) d
1 148,75 (8)	0,80 (6)	γ	Pb-201	9,33 (3) h

* : Radionucléide en équilibre avec son descendant
(Cf. liste en début de volume)

Énergie (keV)	Intensité (%)	Type	Parent	Période
1 148,9 (2)	0,06 (2)	Y	Te-131	25,0 (1) min
1 149	0,000 5	Y	O-19	26,91 (8) s
1 149,2 (3)	0,140 (23)	Y	Xe-139	39,68 (14) s
1 149,7 (7)	0,07 (3)	Y	Rb-91	58,4 (4) s
1 149,7 (4)	0,015 (1)	Y	Re-188	17,005 (4) h
1 150,2 (2)	0,002 7 (3)	Y	Rh-106	30,0 (2) s
1 150,35 (10)	0,2	Y	I-137	24,5 (2) s
1 150,5 (4)	0,015 (1)	Y	Re-188	17,005 (4) h
1 150,75 (5)	0,60 (8)	Y	Ir-194	19,3 (1) h
1 150,86 (7)	0,7 (1)	Y	Te-131m*	1,25 (8) d
1 151,23 (5)	0,11 (3)	Y	Sn-125	9,64 (3) d
1 151,4 (3)	0,032	Y	Pa-234	6,70 (5) h
1 151,84 (5)	0,195 (5)	Y	Ge-77	11,30 (1) h
1 152	0,01 (1)	Y	I-135	6,57 (2) h
1 152,2 (4)	0,064 (17)	Y	Kr-89	3,17 (2) min
1 152,2 (4)	3,0 (3)	Y	Sb-132	2,79 (5) min
1 153,1 (5)	0,011 (4)	Y	Eu-154	8,601 (4) a
1 153,5 (3)	0,045	Y	Pa-234	6,70 (5) h
1 153,52 (4)	0,139 (10)	Y	Ac-228	6,15 (2) h
1 153,6 (5)	0,032 (16)	Y	Xe-138	14,08 (8) min
1 153,6 (1)	0,126 (24)	Y	Cs-143	1,791 (7) s
1 153,6 (3)	0,034 (8)	Y	Pa-228	22 (1) h
1 153,67 (10)	6,8 (6)	Y	Eu-156	15,19 (8) d
1 153,8 (3)	0,098 (1)	Y	Xe-123	2,08 (2) h
1 154,08 (10)	4,7 (4)	Y	Eu-156	15,19 (8) d
1 154,2 (15)	0,037 (11)	Y	Cs-140	1,062 (5) min
1 154,5 (3)	0,30 (5)	Y	Xe-140	13,6 (1) s
1 155,19 (2)	1,635 (7)	Y	Bi-214	19,9 (4) min
1 155,37 (17)	0,019 4 (11)	Y	Ge-77	11,30 (1) h
1 155,7 (6)	0,010 (2)	Y	Ga-72	14,10 (2) h
1 156	0,131 (23)	Y	Eu-156	15,19 (8) d
1 156,3 (3)	0,070 (25)	Y	Te-133	12,45 (30) min
1 156,6 (3)	0,001 8 (5)	Y	Ir-194	19,3 (1) h
1 157,0 (4)	0,007 (1)	Y	Rb-81m	30,25 (25) min
1 157,020 (15)	99,875 (3)	Y	Sc-44	3,97 (4) h
1 157,14 (15)	0,007 0 (13)	Y	Ac-228	6,15 (2) h
1 157,2 (2)	0,091 (13)	Y	Pr-147	13,4 (4) min
1 157,4 (1)	2,8 (3)	Y	Tc-104	18,3 (3) min
1 157,420 (2)	0,59 (11)	Y	Ta-182	114,43 (3) d
1 157,55 (9)	0,134 (16)	Y	Pb-201	9,33 (3) h
1 158,080 (2)	0,40 (6)	Y	Ta-182	114,43 (3) d
1 158,2 (5)	0,148 (16)	Y	Br-76	16,2 (2) h
1 158,42 (15)	0,094	Y	I-137	24,5 (2) s
1 158,5 (2)	0,030 (5)	Y	Y-93	10,1 (2) h
1 158,5 (8)	0,016 (11)	Y	Cs-140	1,062 (5) min
1 158,8 (7)	0,10 (5)	Y	Kr-91	8,57 (4) s
1 159,10 (8)	0,33 (3)	Y	I-134	52,5 (2) min
1 159,26 (7)	0,001 37 (10)	Y	Lu-176m	3,635 (12) h
1 159,7 (3)	0,013 (3)	Y	Sm-155	22,3 (2) min
1 159,9 (2)	0,103 (24)	Y	I-135	6,57 (2) h
1 159,933 (8)	0,088 (3)	Y	Co-56	77,236 (26) d
1 160,36 (8)	0,043 6 (21)	Y	Eu-154	8,601 (4) a
1 160,47 (25)	0,038 (7)	Y	Rb-89	15,2 (1) min
1 160,58 (6)	0,002 4 (3)	Y	Ce-143	33,040 (7) h
1 160,8	1,10 (9)	Y	Ba-141	18,27 (7) min
1 160,8 (2)	0,011 (3)	Y	Tl-208	3,060 (8) min
1 160,96 (18)	0,098 (13)	Y	Xe-138	14,08 (8) min
1 160,98 (4)	4,02 (14)	Y	Mo-101	14,6 (1) min
1 161 (2)	0,163 (23)	Y	Br-76	16,2 (2) h
1 161,3 (3)	0,103 (10)	Y	Xe-123	2,08 (2) h
1 161,8 (1)	0,7 (1)	Y	Y-94	18,7 (1) min
1 162,5 (1)	0,215 (24)	Y	Kr-89	3,17 (2) min
1 163,12 (18)	0,074 (7)	Y	Ga-72	14,10 (2) h
1 163,14 (8)	0,074 (24)	Y	Ag-110m	249,78 (2) d
1 163,2 (2)	0,019 (10)	Y	Sb-124	60,20 (3) d
1 163,84 (5)	0,03 (1)	Y	Sn-125	9,64 (3) d
1 164,0 (3)	0,13 (3)	Y	I-134	52,5 (2) min
1 164,2 (3)	0,065 (8)	Y	Eu-156	15,19 (8) d
1 164,4 (20)	0,032 (21)	Y	Cs-140	1,062 (5) min
1 164,5 (5)	0,015 (3)	Y	Pa-232	1,31 (2) d
1 164,62 (5)	0,065 (5)	Y	Ac-228	6,15 (2) h
1 164,62 (5)	0,123 (10)	Y	Pa-228	22 (1) h
1 164,65 (12)	0,050 1 (12)	Y	Ge-77	11,30 (1) h
1 164,94 (9)	0,043 (3)	Y	Ag-110m	249,78 (2) d
1 165,00 (15)	0,096	Y	I-137	24,5 (2) s
1 165,50 (6)	0,18 (4)	Y	Te-131m*	1,25 (8) d
1 165,56 (6)	0,83 (7)	Y	Kr-90	32,32 (9) s
1 165,74 (3)	0,106 (11)	Y	Eu-150	36,9 (9) a
1 165,92 (15)	0,000 016 (10)	Y	Ga-68	1,1275 (10) h
1 166,9 (4)	10 (2)	Y	Sb-132m	4,10 (7) min

* : Radionucléide en équilibre avec son descendant
(Cf. liste en début de volume)

Énergie (keV)	Intensité (%)	Type	Parent	Période
1 167,1 (3)	0,105 (35)	Y	Tl-200	1,088 (5) d
1 167,1 (1)	4,5 (3)	Y	Np-240	61,9 (2) min
1 167,3 (2)	0,012 3 (17)	Y	Bi-214	19,9 (4) min
1 167,4 (6)	0,034 (15)	Y	Kr-89	3,17 (2) min
1 167,92 (2)	1,792 (8)	Y	Cs-134	2,0651 (6) a
1 168,16 (19)	0,006 0 (16)	Y	Eu-152m	9,3116 (13) h
1 168,6 (2)	0,010 (4)	Y	Y-93	10,1 (2) h
1 168,6 (1)	0,12 (7)	Y	Xe-140	13,6 (1) s
1 169	0,034 (7)	Y	S-37	5,05 (2) min
1 169,04 (4)	0,88 (4)	Y	I-135	6,57 (2) h
1 169,12 (5)	0,266 (23)	Y	Eu-156	15,19 (8) d
1 169,23 (17)	0,220 (17)	Y	Mo-101	14,6 (1) min
1 170,53 (11)	0,001 6 (3)	Y	Ba-131	11,50 (6) d
1 170,587 (24)	1,33 (5)	Y	Eu-150	36,9 (9) a
1 170,7 (5)	0,003 6 (10)	Y	Eu-154	8,601 (4) a
1 170,93 (11)	0,036 5 (13)	Y	Eu-152	13,522 (16) a
1 171	0,002 4 (24)	Y	Pa-232	1,31 (2) d
1 171,2 (1)	0,10 (6)	Y	Xe-140	13,6 (1) s
1 171,3 (1)	0,09	Y	Pa-234	6,70 (5) h
1 171,5 (4)	0,146 (17)	Y	Xe-139	39,68 (14) s
1 171,6 (20)	0,024 (24)	Y	Cs-140	1,062 (5) min
1 172,33 (20)	0,98 (10)	Y	Kr-89	3,17 (2) min
1 172,9 (2)	1,09 (7)	Y	I-132	2,295 (13) h
1 172,98 (10)	0,055 (7)	Y	Bi-214	19,9 (4) min
1 173,1	0,175 (18)	Y	Ba-141	18,27 (7) min
1 173,1 (1)	0,045	Y	Pa-234	6,70 (5) h
1 173,228 (3)	99,85 (3)	Y	Co-60	5,2710 (8) a
1 173,3 (3)	0,11 (3)	Y	Br-82	1,4708 (13) d
1 173,30 (5)	0,18 (5)	Y	Sn-125	9,64 (3) d
1 173,77 (3)	1,21 (9)	Y	Re-184m	169 (8) d
1 174,0 (5)	0,39 (12)	Y	Te-133m	55,4 (4) min
1 174,1 (5)	0,10 (3)	Y	Rb-91	58,4 (4) s
1 174,2 (10)	0,001 90 (13)	Y	Pa-234m	1,17 (3) min
1 174,5 (15)	0,001 5 (4)	Y	Sm-155	22,3 (2) min
1 174,57 (3)	0,018 0 (15)	Y	Re-188	17,005 (4) h
1 174,63 (7)	0,016 (3)	Y	Ta-178	9,29 (4) min
1 175,087 8 (22)	2,249 (9)	Y	Co-56	77,236 (26) d
1 175,31 (10)	0,024 (3)	Y	Ac-228	6,15 (2) h
1 175,38 (5)	0,061 (8)	Y	Ir-194	19,3 (1) h
1 175,40 (8)	1,11 (7)	Y	Kr-87	1,272 (8) h
1 175,6 (2)	0,022 (4)	Y	Pa-228	22 (1) h
1 176,3 (6)	0,078 (10)	Y	Xe-139	39,68 (14) s
1 176,7 (2)	1,10 (18)	Y	Xe-140	13,6 (1) s
1 176,9 (9)	0,040 (17)	Y	Rb-90	2,70 (5) min
1 176,9 (9)	0,004 (2)	Y	Rb-90m	4,30 (7) min
1 177,954 (3)	14,9 (3)	Y	Tb-160	72,3 (2) d
1 178,03 (11)	1,29 (10)	Y	Kr-91	8,57 (4) s
1 178,2 (5)	0,071 (17)	Y	Fr-227	2,47 (3) min
1 178,3	0,069 (15)	Y	Ba-141	18,27 (7) min
1 178,73 (12)	0,37 (7)	Y	Xe-139	39,68 (14) s
1 179 (1)	0,09 (4)	Y	Br-76	16,2 (2) h
1 179,51 (3)	1,00 (5)	Y	Kr-88	2,84 (3) h
1 180,2 (1)	0,12 (5)	Y	Br-82	1,4708 (13) d
1 180,2 (5)	0,14 (7)	Y	Xe-140	13,6 (1) s
1 180,5 (3)	0,110 (35)	Y	Tl-200	1,088 (5) d
1 180,7 (1)	0,014 (1)	Y	Rh-106	30,0 (2) s
1 180,78 (10)	0,086 (6)	Y	Ta-182	114,43 (3) d
1 180,84 (8)	0,686 (17)	Y	Xe-125	16,9 (2) h
1 181,4 (8)	0,021 (16)	Y	Cs-140	1,062 (5) min
1 182,1 (2)	0,009 3	Y	Pa-234	6,70 (5) h
1 182,38 (20)	0,167 (25)	Y	Kr-89	3,17 (2) min
1 182,70 (8)	0,64 (5)	Y	Pr-147	13,4 (4) min
1 183,0 (4)	1,3 (3)	Y	Sb-132	2,79 (5) min
1 183,2 (5)	0,06 (7)	Y	I-134	52,5 (2) min
1 183,40 (7)	0,17 (3)	Y	Ta-178	9,29 (4) min
1 183,49 (5)	0,31 (4)	Y	Ir-194	19,3 (1) h
1 183,5 (1)	0,048 (9)	Y	Y-93	10,1 (2) h
1 184,19 (23)	0,182 (13)	Y	Mo-101	14,6 (1) min
1 184,7 (6)	0,019 (5)	Y	Y-93	10,1 (2) h
1 184,70 (6)	0,084 (10)	Y	Xe-137	3,818 (13) min
1 184,71 (9)	0,044 (5)	Y	Pa-228	22 (1) h
1 184,95 (4)	0,69 (5)	Y	Kr-88	2,84 (3) h
1 185,2 (3)	0,017 (5)	Y	Tl-208	3,060 (8) min
1 186,15 (15)	0,009 (3)	Y	Sn-125	9,64 (3) d
1 186,27 (10)	0,13 (2)	Y	Br-87	55,65 (13) s
1 186,3 (2)	0,002 8 (5)	Y	Ag-110	24,56 (11) s
1 186,4 (4)	0,008 4 (19)	Y	Ir-194	19,3 (1) h
1 186,52 (10)	0,037 2 (12)	Y	Ge-77	11,30 (1) h
1 186,54 (20)	0,185 (22)	Y	Kr-89	3,17 (2) min
1 186,56 (10)	0,000 46 (7)	Y	Dy-165	2,334 (6) h

* : Radionucléide en équilibre avec son descendant
(Cf. liste en début de volume)

Énergie (keV)	Intensité (%)	Type	Parent	Période
1 186,7 (1)	0,001 60 (5)	Y	Ag-110m	249,78 (2) d
1 186,76 (4)	1,01 (4)	Y	Mo-101	14,6 (1) min
1 187,3 (5)	0,015 (7)	Y	Eu-156	15,19 (8) d
1 187,7 (2)	0,34 (4)	Y	Tc-104	18,3 (3) min
1 187,8	0,011 (9)	Y	Ba-141	18,27 (7) min
1 188 (1)	0,005	Y	Sb-122	2,70 (1) d
1 188,34 (17)	0,093 (7)	Y	Eu-154	8,601 (4) a
1 189,050 3 (17)	16,2 (3)	Y	Ta-182	114,43 (3) d
1 189,5 (1)	0,24 (7)	Y	Xe-140	13,6 (1) s
1 189,50 (11)	0,027 (3)	Y	Ta-178	9,29 (4) min
1 189,54 (21)	0,082 (13)	Y	Xe-138	14,08 (8) min
1 189,9 (3)	0,054 (5)	Y	Xe-123	2,08 (2) h
1 190,0 (15)	0,215 (15)	Y	Cs-140	1,062 (5) min
1 190,03 (8)	0,35 (3)	Y	I-134	52,5 (2) min
1 190,287 (7)	0,128 (13)	Y	Ga-66	9,49 (7) h
1 190,3 (5)	0,063 (17)	Y	Fr-227	2,47 (3) min
1 190,6 (6)	0,08 (4)	Y	Xe-139	39,68 (14) s
1 191,01 (10)	0,006 2 (16)	Y	Ac-228	6,15 (2) h
1 191,01 (10)	0,005 (5)	Y	Pa-228	22 (1) h
1 191,84 (12)	0,013 4 (11)	Y	Re-188	17,005 (4) h
1 192	0,000 032	Y	Xe-135m	15,30 (3) min
1 192,4 (4)	0,035 (8)	Y	Ga-72	14,10 (2) h
1 192,8 (1)	0,16 (7)	Y	Xe-140	13,6 (1) s
1 193 (2)	0,10 (5)	Y	Br-76	16,2 (2) h
1 193,23 (10)	0,066 4 (17)	Y	Xe-125	16,9 (2) h
1 193,26 (3)	2,57 (6)	Y	Ge-77	11,30 (1) h
1 193,77 (3)	0,013 1 (5)	Y	Pa-234m	1,17 (3) min
1 193,826 (24)	0,80 (4)	Y	Eu-150	36,9 (9) a
1 194,0 (2)	0,021	Y	Pa-234	6,70 (5) h
1 194,6 (2)	0,11 (2)	Y	Rb-81m	30,25 (25) min
1 194,6 (1)	0,054 (3)	Y	Rh-106	30,0 (2) s
1 194,94 (20)	0,088 (13)	Y	Xe-138	14,08 (8) min
1 195,1 (3)	0,084 (15)	Y	Kr-89	3,17 (2) min
1 195,3 (4)	0,002 5 (13)	Y	Kr-79	35,04 (10) h
1 195,32 (9)	0,000 9 (3)	Y	Ga-66	9,49 (7) h
1 195,42 (20)	0,26 (3)	Y	Kr-91	8,57 (4) s
1 195,7 (5)	0,019 (7)	Y	I-124	4,1760 (3) d
1 195,75 (6)	0,048 (4)	Y	Xe-137	3,818 (13) min
1 196,33 (5)	0,010 2 (4)	Y	Pb-211	36,1 (2) min
1 196,5 (4)	3,0 (3)	Y	Sb-132	2,79 (5) min
1 197,108 (24)	1,13 (6)	Y	Eu-150	36,9 (9) a
1 197,3	4,8 (4)	Y	Ba-141	18,27 (7) min
1 197,7 (4)	0,005 6 (12)	Y	Sm-155	22,3 (2) min
1 197,9 (4)	0,023 (6)	Y	Pr-147	13,4 (4) min
1 198 (2)	0,007 (2)	Y	Sb-124	60,20 (3) d
1 198 (1)	0,22 (12)	Y	Te-133m	55,4 (4) min
1 198,1 (3)	0,06 (1)	Y	Br-87	55,65 (13) s
1 198,7 (15)	0,016 (4)	Y	Sn-125	9,64 (3) d
1 198,78 (20)	0,044 (3)	Y	Co-56	77,236 (26) d
1 198,9 (5)	0,10 (3)	Y	Kr-91	8,57 (4) s
1 199,15 (24)	0,17 (3)	Y	Cs-138	33,41 (18) min
1 199,43 (23)	0,18 (5)	Y	Xe-139	39,68 (14) s
1 199,7 (5)	0,004 0 (5)	Y	Xe-125	16,9 (2) h
1 199,89 (3)	2,38 (5)	Y	Tb-160	72,3 (2) d
1 199,94 (4)	1,80 (6)	Y	Mo-101	14,6 (1) min
1 200,19 (5)	19,97 (10)	Y	Nb-96	23,35 (5) h
1 200,3 (1)	4,72 (22)	Y	Cs-140	1,062 (5) min
1 200,6 (11)	0,018 (13)	Y	Kr-89	3,17 (2) min
1 201 (1)	0,007	Y	Th-233	22,15 (15) min
1 201,43 (10)	0,081 (2)	Y	Ge-77	11,30 (1) h
1 201,5 (3)	0,09 (1)	Y	Xe-123	2,08 (2) h
1 201,6 (2)	0,44 (6)	Y	Tc-104	18,3 (3) min
1 202,2 (4)	0,12 (3)	Y	Kr-91	8,57 (4) s
1 202,37 (7)	0,113 (26)	Y	Tl-200	1,088 (5) d
1 203,3 (1)	0,107 (16)	Y	Y-93	10,1 (2) h
1 203,69 (13)	0,40 (4)	Y	Cs-138	33,41 (18) min
1 204,2 (2)	0,22 (6)	Y	Te-133m	55,4 (4) min
1 204,5 (4)	0,035 (13)	Y	Xe-138	14,08 (8) min
1 204,7 (3)	0,063 (12)	Y	Pr-147	13,4 (4) min
1 204,70 (18)	0,000 09 (1)	Y	Lu-176m	3,635 (12) h
1 204,9 (5)	0,019 (7)	Y	I-124	4,1760 (3) d
1 205,0 (7)	0,26 (4)	Y	Y-91	58,51 (6) d
1 205,1 (6)	0,17	Y	I-137	24,5 (2) s
1 205,6 (3)	0,115 (25)	Y	Rb-91	58,4 (4) s
1 205,70 (9)	29,9 (18)	Y	Tl-200	1,088 (5) d
1 206,11 (15)	0,013 5 (8)	Y	Eu-152	13,522 (16) a
1 206,45 (10)	0,540 (46)	Y	Xe-139	39,68 (14) s
1 206,65 (6)	10,1 (8)	Y	Te-131m*	1,25 (8) d
1 207,3 (6)	0,003 (1)	Y	Eu-152m	9,3116 (13) h
1 207,68 (3)	0,454 (12)	Y	Bi-214	19,9 (4) min

* : Radionucléide en équilibre avec son descendant
(Cf. liste en début de volume)

Énergie (keV)	Intensité (%)	Type	Parent	Période
1 207,8 (10)	0,001 5 (4)	Y	Sm-155	22,3 (2) min
1 208,4 (2)	0,008 (3)	Y	Sn-125	9,64 (3) d
1 208,4 (1)	0,25 (6)	Y	Cs-143	1,791 (7) s
1 208,43 (12)	0,001 7 (4)	Y	Ba-131	11,50 (6) d
1 208,5 (3)	0,16 (4)	Y	Te-133	12,45 (30) min
1 209,08 (10)	1,36 (21)	Y	Xe-140	13,6 (1) s
1 209,46 (19)	0,003 4 (17)	Y	Eu-150	36,9 (9) a
1 209,790 (24)	0,003 00 (24)	Y	Re-188	17,005 (4) h
1 209,8 (2)	0,000 4 (1)	Y	Rh-106	30,0 (2) s
1 209,84 (8)	0,140 (25)	Y	Kr-88	2,84 (3) h
1 209,92 (21)	0,131 (11)	Y	Mo-101	14,6 (1) min
1 210,0 (3)	0,29 (4)	Y	Tc-104	18,3 (3) min
1 210 (20)	16,8 (40)	Y	Tl-210	1,30 (3) min
1 210,2 (9)	0,022 (15)	Y	Kr-89	3,17 (2) min
1 211,4 (3)	0,06 (4)	Y	Te-131m*	1,25 (8) d
1 211,7 (5)	0,013 (7)	Y	Rb-89	15,2 (1) min
1 212,3 (4)	0,012 (3)	Y	I-132	2,295 (13) h
1 212,6 (9)	0,19 (2)	Y	Br-87	55,65 (13) s
1 212,73 (17)	0,14 (5)	Y	Kr-88	2,84 (3) h
1 212,880 (12)	2,38 (5)	Y	Sc-48	1,820 (4) d
1 212,92 (5)	1,44 (11)	Y	As-76	1,0778 (20) d
1 212,948 (11)	1,416 (9)	Y	Eu-152	13,522 (16) a
1 213,0 (2)	2,3 (2)	Y	Sb-126	12,4 (1) d
1 213,1 (1)	1,7 (6)	Y	Br-76	16,2 (2) h
1 213,3 (4)	2,0 (4)	Y	Sb-132	2,79 (5) min
1 214,3 (2)	0,274 (23)	Y	Pr-147	13,4 (4) min
1 214,9 (4)	0,073 (24)	Y	Xe-139	39,68 (14) s
1 215,15 (7)	0,790 (14)	Y	Ga-72	14,10 (2) h
1 215,4 (3)	0,28 (7)	Y	Xe-140	13,6 (1) s
1 215,42 (5)	0,127 (3)	Y	Ge-77	11,30 (1) h
1 215,5 (4)	0,003 1 (4)	Y	Ba-139	1,384 (5) h
1 215,57 (14)	0,66 (7)	Y	Kr-91	8,57 (4) s
1 216,08 (5)	3,42 (24)	Y	As-76	1,0778 (20) d
1 216,10 (5)	8,8 (5)	Y	Br-76	16,2 (2) h
1 216,79 (12)	0,006 (1)	Y	Ta-178	9,29 (4) min
1 216,8	0,003 3 (10)	Y	Eu-154	8,601 (4) a
1 217,0 (5)	0,119 (17)	Y	Fr-227	2,47 (3) min
1 217,030 (26)	0,021 (3)	Y	Ac-228	6,15 (2) h
1 217,24 (13)	6,0 (9)	Y	Br-86	55,1 (4) s
1 217,3 (1)	0,22	Y	Pa-234	6,70 (5) h
1 218,0 (5)	0,056 (8)	Y	Mo-101	14,6 (1) min
1 218,0 (1)	12,8	Y	I-137	24,5 (2) s
1 218,3 (3)	0,053 (6)	Y	Rb-88	17,8 (1) min
1 218,30 (15)	0,000 47 (10)	Y	Ba-131	11,50 (6) d
1 218,7 (5)	0,038 (16)	Y	Xe-138	14,08 (8) min
1 218,78 (5)	0,056 (8)	Y	Ir-194	19,3 (1) h
1 219,0 (4)	0,002 8 (7)	Y	Xe-137	3,818 (13) min
1 219,1 (4)	0,003 9 (7)	Y	Ba-139	1,384 (5) h
1 219,33 (21)	0,19 (4)	Y	Xe-139	39,68 (14) s
1 219,40 (15)	0,024 5 (24)	Y	Pb-201	9,33 (3) h
1 219,9 (1)	0,25 (6)	Y	Cs-143	1,791 (7) s
1 220,0 (15)	0,001 0 (2)	Y	Pa-234m	1,17 (3) min
1 220,07 (15)	3,5	Y	I-137	24,5 (2) s
1 220,35 (9)	0,239 (20)	Y	Rb-89	15,2 (1) min
1 220,4 (2)	0,062	Y	Pa-234	6,70 (5) h
1 220,50 (11)	0,019 (6)	Y	Eu-156	15,19 (8) d
1 220,7 (4)	0,038 (10)	Y	Br-87	55,65 (13) s
1 220,88 (10)	0,27 (8)	Y	Sn-125	9,64 (3) d
1 221,29 (4)	0,019 9 (18)	Y	Re-184m	169 (8) d
1 221,4 (1)	2,36 (11)	Y	Cs-140	1,062 (5) min
1 221,406 6 (17)	27,0 (5)	Y	Ta-182	114,43 (3) d
1 221,7 (3)	0,019 (6)	Y	Te-133	12,45 (30) min
1 223,0 (3)	0,022 4 (23)	Y	Sm-155	22,3 (2) min
1 223,8 (3)	0,076 (13)	Y	Ni-57	35,9 (3) h
1 223,803 2 (19)	0,23 (8)	Y	Ta-182	114,43 (3) d
1 224 (1)	0,006 (3)	Y	Te-133	12,45 (30) min
1 224,01 (20)	0,24	Y	I-137	24,5 (2) s
1 224,3 (5)	0,28 (11)	Y	Br-76	16,2 (2) h
1 224,9	0,44 (7)	Y	Ba-141	18,27 (7) min
1 225,5 (3)	0,067 (19)	Y	I-134	52,5 (2) min
1 225,50 (9)	3,36 (20)	Y	Tl-200	1,088 (5) d
1 225,58 (15)	0,091 (20)	Y	Br-87	55,65 (13) s
1 225,6 (3)	0,043 (18)	Y	I-135	6,57 (2) h
1 226,61 (16)	0,000 13 (1)	Y	Lu-176m	3,635 (12) h
1 226,7 (3)	0,018 (8)	Y	Bi-214	19,9 (4) min
1 227,49 (22)	0,122 (23)	Y	Kr-91	8,57 (4) s
1 227,5 (8)	0,17 (11)	Y	Te-133m	55,4 (4) min
1 227,7 (5)	0,002 3 (12)	Y	K-42	12,359 (3) h
1 227,7 (4)	0,11 (2)	Y	Te-133	12,45 (30) min
1 228,3 (4)	0,063 (23)	Y	Xe-138	14,08 (8) min

* : Radionucléide en équilibre avec son descendant
(Cf. liste en début de volume)

Énergie (keV)	Intensité (%)	Type	Parent	Période
1 228,46 (13)	0,132 (19)	Y	Rb-89	15,2 (1) min
1 228,52 (5)	1,22 (11)	Y	As-76	1,0778 (20) d
1 228,65 (6)	2,09 (11)	Y	Br-76	16,2 (2) h
1 228,8 (3)	0,145 (20)	Y	Kr-89	3,17 (2) min
1 228,8 (5)	0,078 (10)	Y	Xe-139	39,68 (14) s
1 229,40 (15)	0,007 5 (23)	Y	Ac-228	6,15 (2) h
1 229,6 (3)	0,22 (12)	Y	Te-133m	55,4 (4) min
1 230,0 (1)	0,165 (15)	Y	Pr-147	13,4 (4) min
1 230,10 (4)	0,001 31 (14)	Y	W-187	23,72 (6) h
1 230,6 (4)	0,007 (5)	Y	Bi-214	19,9 (4) min
1 230,64 (15)	0,29 (4)	Y	Rb-91	58,4 (4) s
1 230,71 (6)	8,0 (7)	Y	Eu-156	15,19 (8) d
1 230,86 (7)	1,45 (2)	Y	Ga-72	14,10 (2) h
1 231,015 6 (17)	11,44 (20)	Y	Ta-182	114,43 (3) d
1 231,1 (3)	0,052 (22)	Y	Kr-91	8,57 (4) s
1 232,1 (7)	0,001 6 (7)	Y	Xe-137	3,818 (13) min
1 232,1 (5)	0,008 (5)	Y	Eu-154	8,601 (4) a
1 232,264 (8)	0,50 (4)	Y	Ga-66	9,49 (7) h
1 232,480 (15)	0,056 (19)	Y	Ga-66	9,49 (7) h
1 232,6 (2)	0,33 (4)	Y	Y-94	18,7 (1) min
1 232,82 (5)	0,007 5 (6)	Y	Te-129	1,160 (5) h
1 233,2 (7)	0,018 (15)	Y	Ba-141	18,27 (7) min
1 233,8 (1)	0,039 (7)	Y	Xe-139	39,68 (14) s
1 234,0 (4)	0,031 (19)	Y	Rb-89	15,2 (1) min
1 234,3 (4)	0,001 3 (3)	Y	Pb-211	36,1 (2) min
1 234,55 (11)	0,028 (1)	Y	Ge-77	11,30 (1) h
1 235 (1)	0,009 (5)	Y	Sb-124	60,20 (3) d
1 235,362 (23)	20,0 (7)	Y	Cs-136	13,16 (3) d
1 235,5 (10)	0,09 (2)	Y	In-116m	54,29 (17) min
1 235,62 (10)	0,60 (6)	Y	Kr-89	3,17 (2) min
1 236	0,017 (2)	Y	O-19	26,91 (8) s
1 236	0,193 (30)	Y	Ba-141	18,27 (7) min
1 236,2 (4)	0,003 4 (7)	Y	Xe-137	3,818 (13) min
1 236,443 (5)	1,49 (4)	Y	I-133	20,87 (8) h
1 236,6 (2)	0,13 (4)	Y	Y-94	18,7 (1) min
1 236,67 (20)	0,066	Y	I-137	24,5 (2) s
1 237,1 (4)	0,098 (15)	Y	Xe-123	2,08 (2) h
1 237,26 (4)	0,69 (7)	Y	Te-131m*	1,25 (8) d
1 237,3 (3)	0,005	Y	Pa-234	6,70 (5) h
1 237,4 (1)	0,029 (8)	Y	Y-93	10,1 (2) h
1 237,4 (3)	0,005 12 (40)	Y	Pa-234m	1,17 (3) min
1 238,111 (12)	5,831 (14)	Y	Bi-214	19,9 (4) min
1 238,273 6 (22)	0,097 (2)	Y	Mn-56	2,57878 (46) h
1 238,273 6 (22)	66,41 (16)	Y	Co-56	77,236 (26) d
1 238,5 (5)	0,12 (6)	Y	Te-133	12,45 (30) min
1 238,7 (6)	0,07 (2)	Y	Rb-91	58,4 (4) s
1 238,76 (7)	1,15 (9)	Y	Pb-201	9,33 (3) h
1 239,0 (3)	0,21 (6)	Y	I-134	52,5 (2) min
1 239,16 (19)	0,46 (5)	Y	Tl-209	2,20 (1) min
1 239,2 (10)	0,008 (4)	Y	Kr-79	35,04 (10) h
1 239,6 (2)	0,18 (3)	Y	Tc-104	18,3 (3) min
1 239,9 (3)	0,21 (5)	Y	Te-133	12,45 (30) min
1 240,34 (11)	0,35 (4)	Y	Kr-90	32,32 (9) s
1 240,47 (3)	0,9 (4)	Y	I-135	6,57 (2) h
1 241,2 (1)	0,23	Y	Pa-234	6,70 (5) h
1 241,43 (10)	0,133 (6)	Y	Eu-154	8,601 (4) a
1 241,5 (4)	0,088 (17)	Y	Kr-89	3,17 (2) min
1 241,519 (4)	0,85 (3)	Y	Ho-166m	1 200 (180) a
1 242,0 (4)	0,56 (20)	Y	Xe-123	2,08 (2) h
1 242,18 (3)	0,398 (9)	Y	Ge-77	11,30 (1) h
1 242,42 (5)	6,6 (6)	Y	Eu-156	15,19 (8) d
1 242,6 (7)	0,008 9	Y	I-132	2,295 (13) h
1 242,84 (4)	3,03 (22)	Y	Rb-90m	4,30 (7) min
1 242,88 (8)	0,65 (7)	Y	Xe-139	39,68 (14) s
1 243,0 (7)	0,018	Y	I-137	24,5 (2) s
1 243,8 (3)	0,076 (19)	Y	I-134	52,5 (2) min
1 243,9 (2)	0,075 (25)	Y	Te-133	12,45 (30) min
1 245,05 (20)	0,095 (18)	Y	Ac-228	6,15 (2) h
1 245,17 (6)	0,52 (4)	Y	Pa-228	22 (1) h
1 245,22 (4)	0,363 (24)	Y	Kr-88	2,84 (3) h
1 246,121 (4)	0,862 (11)	Y	Eu-154	8,601 (4) a
1 246,25 (1)	4,23 (4)	Y	Mn-52	5,595 (3) d
1 246,968 (24)	1,91 (8)	Y	Eu-150	36,9 (9) a
1 247,08 (4)	0,50 (3)	Y	Ac-228	6,15 (2) h
1 247,08 (4)	0,76 (6)	Y	Pa-228	22 (1) h
1 247,4 (4)	0,17 (5)	Y	Kr-91	8,57 (4) s
1 247,4 (5)	0,032 (8)	Y	Fr-227	2,47 (3) min
1 247,6 (1)	0,56 (7)	Y	Tc-104	18,3 (3) min
1 247,62 (9)	0,000 020 (5)	Y	Lu-176m	3,635 (12) h
1 247,8 (2)	0,022	Y	Pa-234	6,70 (5) h

* : Radionucléide en équilibre avec son descendant
(Cf. liste en début de volume)

Énergie (keV)	Intensité (%)	Type	Parent	Période
1 247,85 (9)	0,38 (4)	Y	Mn-52	5,595 (3) d
1 248,14 (6)	46 (3)	Y	Rb-89	15,2 (1) min
1 248,55 (7)	0,51	Y	I-137	24,5 (2) s
1 248,779 (22)	0,001 0 (3)	Y	Ga-66	9,49 (7) h
1 249,4 (5)	0,231 (17)	Y	Mo-101	14,6 (1) min
1 249,7 (2)	0,068 (10)	Y	Pa-228	22 (1) h
1 249,938 (13)	0,186 (3)	Y	Eu-152	13,522 (16) a
1 250,04 (10)	0,062 (5)	Y	Ac-228	6,15 (2) h
1 250,6 (4)	0,006 6 (10)	Y	Xe-137	3,818 (13) min
1 250,67 (4)	1,12 (6)	Y	Kr-88	2,84 (3) h
1 250,7 (8)	0,05 (2)	Y	Rb-91	58,4 (4) s
1 251,0 (7)	0,060 (42)	Y	Kr-89	3,17 (2) min
1 251,04 (4)	0,026 (3)	Y	Ag-110m	249,78 (2) d
1 251,1 (4)	4,72 (16)	Y	Mo-101	14,6 (1) min
1 251,25 (3)	0,163 (11)	Y	Eu-150	36,9 (9) a
1 251,27 (5)	0,106 0 (23)	Y	Tb-160	72,3 (2) d
1 252,08 (2)	1,435 (15)	Y	Te-133	12,45 (30) min
1 252,08 (2)	0,33 (12)	Y	Te-133m	55,4 (4) min
1 252,6 (2)	0,018	Y	Pa-234	6,70 (5) h
1 252,98 (10)	0,063 (7)	Y	Pa-228	22 (1) h
1 253 (2)	0,08 (3)	Y	Br-76	16,2 (2) h
1 253,4 (4)	0,006 (4)	Y	Sb-124	60,20 (3) d
1 253,4 (1)	0,076 (18)	Y	Cs-143	1,791 (7) s
1 254,1 (10)	0,040 (19)	Y	In-116m	54,29 (17) min
1 254,1 (4)	0,059 (7)	Y	I-132	2,295 (13) h
1 254,11 (11)	0,93 (7)	Y	Tl-200	1,088 (5) d
1 254,2 (5)	0,019 (7)	Y	Te-133	12,45 (30) min
1 254,4 (4)	0,001 6 (5)	Y	Xe-125	16,9 (2) h
1 254,7 (2)	0,026 (4)	Y	Ba-139	1,384 (5) h
1 254,72 (13)	0,035 (5)	Y	Ta-178	9,29 (4) min
1 254,8 (10)	0,005 7 (29)	Y	I-135	6,57 (2) h
1 255,1 (5)	0,11 (3)	Y	Br-87	55,65 (13) s
1 256,2 (4)	0,074 (7)	Y	Br-80	17,68 (2) min
1 256,5 (1)	0,059	Y	Pa-234	6,70 (5) h
1 256,7 (10)	0,002 7 (5)	Y	Ba-139	1,384 (5) h
1 256,76 (15)	0,089	Y	I-137	24,5 (2) s
1 256,91 (7)	0,78 (7)	Y	Sb-122	2,70 (1) d
1 257,418 5 (18)	1,49 (3)	Y	Ta-182	114,43 (3) d
1 257,5 (3)	0,011 (5)	Y	Rb-88	17,8 (1) min
1 258,03 (7)	0,095 (9)	Y	Eu-156	15,19 (8) d
1 258,8 (2)	0,000 70 (15)	Y	Rh-106	30,0 (2) s
1 258,84 (14)	0,73 (8)	Y	I-138	6,49 (7) s
1 259,26 (9)	0,55 (7)	Y	Xe-139	39,68 (14) s
1 259,35 (10)	0,031 (9)	Y	Sn-125	9,64 (3) d
1 260,10 (7)	1,13 (3)	Y	Ga-72	14,10 (2) h
1 260,21 (15)	0,148 (13)	Y	Mo-101	14,6 (1) min
1 260,409 (17)	28,7 (9)	Y	I-135	6,57 (2) h
1 260,63 (5)	0,011 2 (9)	Y	Te-129	1,160 (5) h
1 261,08 (9)	0,094 (3)	Y	Ga-68	1,1275 (10) h
1 261,11 (10)	2,62 (22)	Y	Pr-147	13,4 (4) min
1 261,343 (23)	0,033 6 (11)	Y	Eu-152	13,522 (16) a
1 261,98 (3)	0,461 (18)	Y	Eu-150	36,9 (9) a
1 262,4 (5)	0,002 2 (8)	Y	Sm-155	22,3 (2) min
1 262,9 (6)	0,073 (22)	Y	Cs-140	1,062 (5) min
1 262,97 (21)	0,79 (7)	Y	Tl-200	1,088 (5) d
1 263,1 (2)	0,044 (10)	Y	Sb-124	60,20 (3) d
1 263,24 (15)	0,015 5 (9)	Y	Ho-166	26,795 (29) h
1 263,6 (5)	0,027 (6)	Y	I-132	2,295 (13) h
1 263,6 (2)	0,86 (7)	Y	Pr-147	13,4 (4) min
1 263,86 (3)	0,846 (18)	Y	Ge-77	11,30 (1) h
1 264	0,87 (8)	Y	Ba-141	18,27 (7) min
1 264,16 (5)	0,008 2 (7)	Y	Te-129	1,160 (5) h
1 264,7 (4)	0,029 (5)	Y	Xe-123	2,08 (2) h
1 264,94 (16)	0,137 (17)	Y	Cs-138	33,41 (18) min
1 266,0 (2)	0,001 1 (1)	Y	Rh-106	30,0 (2) s
1 266,15 (10)	0,07	Y	Si-31	2,623 (5) h
1 266,58 (5)	0,19 (3)	Y	Te-133	12,45 (30) min
1 267,0 (1)	0,045 (8)	Y	Xe-139	39,68 (14) s
1 267,2 (6)	0,024 (19)	Y	Kr-89	3,17 (2) min
1 267,83 (13)	0,67 (6)	Y	Kr-91	8,57 (4) s
1 268,48 (40)	0,039	Y	I-137	24,5 (2) s
1 268,63 (10)	0,147 (20)	Y	Nb-97	1,202 (12) h
1 269,0 (2)	0,44 (6)	Y	Tc-104	18,3 (3) min
1 269 (1)	0,008 (4)	Y	Sb-124	60,20 (3) d
1 269,23 (8)	0,028 (4)	Y	Ta-178	9,29 (4) min
1 269,4 (5)	0,001 1 (3)	Y	Xe-125	16,9 (2) h
1 269,49 (5)	0,56 (4)	Y	I-134	52,5 (2) min
1 270,71 (8)	0,006 8 (6)	Y	Pb-211	36,1 (2) min
1 270,9 (4)	0,126 (17)	Y	Cs-140	1,062 (5) min
1 271 (2)	0,06 (3)	Y	Br-76	16,2 (2) h

* : Radionucléide en équilibre avec son descendant
(Cf. liste en début de volume)

Énergie (keV)	Intensité (%)	Type	Parent	Période
1 271,77 (7)	0,039 (4)	Y	Rb-90	2,70 (5) min
1 271,77 (7)	1,54 (22)	Y	Rb-90m	4,30 (7) min
1 271,873 (5)	7,44 (15)	Y	Tb-160	72,3 (2) d
1 272,2 (6)	0,020 2 (8)	Y	Co-56	77,236 (26) d
1 272,4 (5)	0,024 (8)	Y	Fr-227	2,47 (3) min
1 272,8 (4)	0,17 (2)	Y	I-132	2,295 (13) h
1 273,1 (5)	0,045 (8)	Y	Xe-139	39,68 (14) s
1 273,23 (10)	0,228 (23)	Y	Xe-137	3,818 (13) min
1 273,4	0,50 (5)	Y	Ba-141	18,27 (7) min
1 273,52 (10)	3,31 (20)	Y	Tl-200	1,088 (5) d
1 273,73 (10)	1,37 (12)	Y	Kr-89	3,17 (2) min
1 273,730 5 (17)	0,651 (12)	Y	Ta-182	114,43 (3) d
1 274,05 (18)	0,25 (4)	Y	Rb-91	58,4 (4) s
1 274,429 (4)	34,9 (3)	Y	Eu-154	8,601 (4) a
1 274,50 (3)	0,007 0 (8)	Y	Ga-66	9,49 (7) h
1 274,537 (7)	99,940 (14)	Y	Na-22	2,6027 (10) a
1 274,6 (3)	0,044 (5)	Y	Xe-123	2,08 (2) h
1 274,6 (4)	1,19 (20)	Y	Sb-132	2,79 (5) min
1 275,11 (3)	0,119 (7)	Y	Re-184	38,0 (5) d
1 275,27 (30)	0,048	Y	I-137	24,5 (2) s
1 276,07 (9)	0,95 (9)	Y	Zr-97	16,90 (5) h
1 276,4 (4)	0,045 (10)	Y	Br-87	55,65 (13) s
1 276,56 (8)	0,04 (2)	Y	Ta-178	9,29 (4) min
1 276,6 (5)	0,11 (3)	Y	Cs-140	1,062 (5) min
1 276,7 (1)	0,014 (3)	Y	Ac-228	6,15 (2) h
1 276,76 (7)	1,560 (17)	Y	Ga-72	14,10 (2) h
1 277,0 (4)	0,21 (4)	Y	Kr-91	8,57 (4) s
1 277,13 (7)	1,69 (12)	Y	Pb-201	9,33 (3) h
1 277,42 (3)	0,12 (2)	Y	Te-131	25,0 (1) min
1 277,43 (5)	2,89 (24)	Y	Eu-156	15,19 (8) d
1 277,45 (11)	2,37 (25)	Y	I-138	6,49 (7) s
1 277,7 (2)	0,044	Y	Pa-234	6,70 (5) h
1 277,83 (12)	0,058 (3)	Y	I-135	6,57 (2) h
1 278	0,66 (6)	Y	Ba-141	18,27 (7) min
1 278,5 (8)	0,032 (19)	Y	Kr-89	3,17 (2) min
1 279,96 (5)	0,174 (5)	Y	Ge-77	11,30 (1) h
1 279,99 (6)	0,009 6 (7)	Y	Ni-57	35,9 (3) h
1 280 (2)	0,07 (3)	Y	Br-76	16,2 (2) h
1 280,05 (15)	0,009 4 (10)	Y	Xe-137	3,818 (13) min
1 280,9 (5)	0,93 (4)	Y	Sr-91*	9,63 (5) h
1 280,96 (2)	1,435 (6)	Y	Bi-214	19,9 (4) min
1 281,1 (10)	0,06 (3)	Y	Cs-140	1,062 (5) min
1 281,11 (15)	0,62 (6)	Y	Kr-91	8,57 (4) s
1 281,7 (2)	0,027 (4)	Y	Pa-228	22 (1) h
1 281,8 (1)	2,05 (19)	Y	Tc-104	18,3 (3) min
1 282,102 (5)	0,183 (7)	Y	Ho-166m	1 200 (180) a
1 282,8 (3)	0,052 (5)	Y	Tl-208	3,060 (8) min
1 284 (1)	0,013 (6)	Y	Bi-214	19,9 (4) min
1 285 (1)	0,025 (13)	Y	Te-133	12,45 (30) min
1 285,58 (10)	0,015 4 (12)	Y	Tb-160	72,3 (2) d
1 285,66 (9)	0,22 (4)	Y	Br-87	55,65 (13) s
1 285,97 (26)	7,7 (9)	Y	Br-86	55,1 (4) s
1 286 (1)	0,025 (13)	Y	Te-133	12,45 (30) min
1 286,26 (17)	0,107 (10)	Y	Mo-101	14,6 (1) min
1 286,27 (20)	0,05 (1)	Y	Ac-228	6,15 (2) h
1 286,3 (2)	0,065 (4)	Y	Pb-201	9,33 (3) h
1 286,3 (3)	0,036 (9)	Y	Pa-228	22 (1) h
1 286,6 (3)	0,006 6 (9)	Y	Rb-81m	30,25 (25) min
1 287,74 (5)	0,080 (15)	Y	Ac-228	6,15 (2) h
1 287,74 (5)	0,145 (13)	Y	Pa-228	22 (1) h
1 288 (1)	0,052 (23)	Y	Br-76	16,2 (2) h
1 288,4 (5)	0,07 (3)	Y	Ca-49	8,718 (6) min
1 288,5 (8)	0,12 (4)	Y	Cs-140	1,062 (5) min
1 289,156 1 (17)	1,349 (24)	Y	Ta-182	114,43 (3) d
1 289,2 (3)	0,20 (7)	Y	Xe-140	13,6 (1) s
1 289,47 (19)	0,49 (6)	Y	Xe-139	39,68 (14) s
1 290 (1)	0,018 (13)	Y	Te-133	12,45 (30) min
1 290,0 (5)	0,000 89 (14)	Y	Eu-152m	9,3116 (13) h
1 290,5 (1)	0,025 (3)	Y	Eu-154	8,601 (4) a
1 290,580 (11)	0,89 (31)	Y	Cd-115m	44,56 (24) d
1 290,7 (3)	0,113 (8)	Y	Mo-101	14,6 (1) min
1 290,8 (2)	1,13 (5)	Y	I-132	2,295 (13) h
1 291,11 (11)	0,60 (6)	Y	Tl-200	1,088 (5) d
1 291,3 (4)	0,056 (5)	Y	Ga-72	14,10 (2) h
1 291,3 (2)	0,004 9 (20)	Y	Sn-125	9,64 (3) d
1 291,4 (4)	0,17 (3)	Y	Xe-139	39,68 (14) s
1 291,590 (6)	43,21 (25)	Y	Fe-59	44,495 (8) d
1 291,7 (2)	0,11 (1)	Y	Br-87	55,65 (13) s
1 291,9 (10)	0,147 (32)	Y	Cs-140	1,062 (5) min
1 292,0 (2)	0,012 7 (5)	Y	Eu-154	8,601 (4) a

* : Radionucléide en équilibre avec son descendant
(Cf. liste en début de volume)

Énergie (keV)	Intensité (%)	Type	Parent	Période
1 292,778 (19)	0,104 (3)	Y	Eu-152	13,522 (16) a
1 292,8 (1)	0,46	Y	Pa-234	6,70 (5) h
1 292,95 (17)	0,49 (6)	Y	Kr-91	8,57 (4) s
1 293,29 (17)	0,211 (10)	Y	Mo-101	14,6 (1) min
1 293,54 (4)	84,4 (17)	Y	In-116m	54,29 (17) min
1 293,587 (8)	99,16 (2)	Y	Ar-41	1,827 (1) h
1 293,67 (6)	0,046 (7)	Y	Ir-194	19,3 (1) h
1 293,7 (4)	0,058 (17)	Y	Kr-90	32,32 (9) s
1 294,0 (2)	0,13 (3)	Y	Te-133	12,45 (30) min
1 294,33 (4)	0,56 (5)	Y	Te-131	25,0 (1) min
1 295,1 (2)	1,88 (7)	Y	I-132	2,295 (13) h
1 295,5 (2)	0,009 1 (10)	Y	Eu-154	8,601 (4) a
1 295,71 (20)	0,15 (2)	Y	Ge-77	11,30 (1) h
1 296,3 (3)	0,029 (5)	Y	Xe-123	2,08 (2) h
1 296,4 (2)	0,029	Y	Pa-234	6,70 (5) h
1 297,09 (10)	75 (2)	Y	Ca-47	4,536 (2) d
1 297,85 (19)	0,44 (5)	Y	Xe-139	39,68 (14) s
1 297,91 (2)	0,9 (1)	Y	I-132	2,295 (13) h
1 298 (2)	0,09 (2)	Y	Br-76	16,2 (2) h
1 298,0 (5)	0,044 (15)	Y	Kr-89	3,17 (2) min
1 298,227 (5)	2,33 (7)	Y	I-133	20,87 (8) h
1 298,3 (2)	0,042 (5)	Y	Pa-228	22 (1) h
1 298,5 (5)	0,20 (4)	Y	Rb-90m	4,30 (7) min
1 298,6 (5)	0,058 (20)	Y	Br-87	55,65 (13) s
1 298,78 (15)	0,093 (21)	Y	Kr-88	2,84 (3) h
1 298,95 (7)	0,003 8 (5)	Y	Ga-66	9,49 (7) h
1 299,142 (8)	1,633 (9)	Y	Eu-152	13,522 (16) a
1 299,2 (2)	0,17 (11)	Y	Te-133m	55,4 (4) min
1 299,2 (15)	0,226 (19)	Y	Cs-140	1,062 (5) min
1 299,3 (3)	0,005 4 (6)	Y	Tb-160	72,3 (2) d
1 299,8 (9)	0,050 (8)	Y	Xe-139	39,68 (14) s
1 299,87 (7)	0,139 (10)	Y	In-114	71,9 (4) s
1 299,9 (3)	0,16 (3)	Y	Rb-91	58,4 (4) s
1 300,05 (10)	0,018 9 (7)	Y	Ag-110m	249,78 (2) d
1 300,42 (6)	1,54 (14)	Y	Pr-147	13,4 (4) min
1 300,5 (8)	0,155 (16)	Y	Br-76	16,2 (2) h
1 301,2 (3)	0,04 (1)	Y	Sb-124	60,20 (3) d
1 301,2 (2)	0,078 (8)	Y	Sm-155	22,3 (2) min
1 301,2 (2)	0,018	Y	Pa-234	6,70 (5) h
1 302 (1)	0,044 (25)	Y	Te-133	12,45 (30) min
1 302,1	0,110 (16)	Y	Ba-141	18,27 (7) min
1 302,2 (3)	0,19 (5)	Y	Rb-90m	4,30 (7) min
1 302,4 (3)	0,005 7 (8)	Y	Re-188	17,005 (4) h
1 302,64 (7)	4,42	Y	I-137	24,5 (2) s
1 302,7 (3)	0,101 (16)	Y	Kr-89	3,17 (2) min
1 303,09 (24)	0,066 (24)	Y	Kr-88	2,84 (3) h
1 303,34 (7)	0,045 (4)	Y	La-140	1,67850 (17) d
1 303,36 (24)	0,094 (18)	Y	Kr-90	32,32 (9) s
1 303,76 (8)	0,105 (5)	Y	Bi-214	19,9 (4) min
1 303,8 (6)	0,045 (15)	Y	Y-94	18,7 (1) min
1 304,00 (4)	2,71 (8)	Y	Mo-101	14,6 (1) min
1 304,28 (13)	1,25 (11)	Y	Kr-91	8,57 (4) s
1 304,86 (20)	0,002 8 (4)	Y	Re-188	17,005 (4) h
1 305,2 (2)	0,001 2 (1)	Y	Rh-106	30,0 (2) s
1 305,3 (1)	0,017 (4)	Y	Sr-91*	9,63 (5) h
1 305,807 (21)	0,004 0 (5)	Y	Ga-66	9,49 (7) h
1 306,0 (6)	0,27 (3)	Y	Te-133	12,45 (30) min
1 306,5 (4)	0,99 (20)	Y	Sb-132	2,79 (5) min
1 307,1 (5)	0,44 (6)	Y	Fr-227	2,47 (3) min
1 307,19 (6)	0,005 5 (11)	Y	Ho-166m	1 200 (180) a
1 307,2 (2)	0,53 (3)	Y	Te-133	12,45 (30) min
1 307,2 (2)	0,39 (6)	Y	Te-133m	55,4 (4) min
1 308 (1)	0,185 (23)	Y	Br-76	16,2 (2) h
1 308,0 (2)	0,067 (1)	Y	Te-131	25,0 (1) min
1 308,03 (6)	0,065 (5)	Y	Re-188	17,005 (4) h
1 308,13 (20)	0,087 (10)	Y	Mo-101	14,6 (1) min
1 308,15 (12)	0,001 30 (22)	Y	Ir-194	19,3 (1) h
1 308,41 (8)	0,55 (4)	Y	Pb-201	9,33 (3) h
1 308,675 (23)	0,89 (4)	Y	Eu-150	36,9 (9) a
1 308,9 (3)	0,068 (15)	Y	Kr-89	3,17 (2) min
1 309,08 (10)	6,4 (9)	Y	Xe-140	13,6 (1) s
1 309,27 (3)	0,486 (12)	Y	Ge-77	11,30 (1) h
1 309,4 (8)	0,42 (7)	Y	Xe-139	39,68 (14) s
1 309,4	0,23 (4)	Y	Ba-141	18,27 (7) min
1 309,68 (10)	0,28 (3)	Y	Kr-90	32,32 (9) s
1 309,90 (8)	0,041 (6)	Y	Ta-178	9,29 (4) min
1 310 (20)	20,8 (49)	Y	Tl-210	1,30 (3) min
1 310,277 (10)	0,019 (6)	Y	Ac-228	6,15 (2) h
1 310,277 (10)	0,007 (3)	Y	Pa-228	22 (1) h
1 310,3 (3)	0,13 (1)	Y	Xe-123	2,08 (2) h

* : Radionucléide en équilibre avec son descendant
(Cf. liste en début de volume)

Énergie (keV)	Intensité (%)	Type	Parent	Période
1 310,4 (12)	0,14 (1)	Y	Te-133	12,45 (30) min
1 310,6 (2)	0,015 9 (18)	Y	Ba-139	1,384 (5) h
1 310,6 (1)	0,319 (24)	Y	Pr-147	13,4 (4) min
1 310,7 (13)	0,031 (8)	Y	Mo-101	14,6 (1) min
1 310,8 (1)	0,045 (6)	Y	Pa-228	22 (1) h
1 311,07 (24)	0,085 (16)	Y	Xe-138	14,08 (8) min
1 311,1 (3)	0,000 86 (3)	Y	Rh-106	30,0 (2) s
1 311,2	0,66 (7)	Y	Ba-141	18,27 (7) min
1 311,21 (10)	0,16 (2)	Y	Br-87	55,65 (13) s
1 311,34 (21)	0,44 (6)	Y	Kr-91	8,57 (4) s
1 312,096 (6)	97,5 (9)	Y	V-48	15,9735 (25) d
1 312,120 (12)	99,9 (1)	Y	Sc-48	1,820 (4) d
1 312,14 (4)	2,86 (7)	Y	Tb-160	72,3 (2) d
1 312,6 (1)	0,33 (6)	Y	Cs-143	1,791 (7) s
1 312,80 (3)	0,358 (9)	Y	Ge-77	11,30 (1) h
1 312,80 (13)	0,85 (5)	Y	Te-133	12,45 (30) min
1 313,7 (5)	0,087 (17)	Y	Fr-227	2,47 (3) min
1 313,79 (4)	0,011 1 (9)	Y	Re-184	38,0 (5) d
1 314,0 (5)	0,06 (1)	Y	I-132	2,295 (13) h
1 314,28 (25)	0,213 (12)	Y	Mo-101	14,6 (1) min
1 314,28 (10)	1,0 (1)	Y	I-138	6,49 (7) s
1 314,67 (1)	0,93 (15)	Y	Eu-152m	9,3116 (13) h
1 314,7 (2)	0,004 8 (6)	Y	Eu-152	13,522 (16) a
1 315 (1)	0,052 (15)	Y	Br-76	16,2 (2) h
1 315,05 (10)	8,2 (12)	Y	Xe-140	13,6 (1) s
1 315,118 (16)	0,015 (3)	Y	Ac-228	6,15 (2) h
1 315,2 (2)	0,036 (5)	Y	I-124	4,1760 (3) d
1 315,2 (2)	0,019 (5)	Y	Pa-228	22 (1) h
1 315,22 (7)	0,81 (6)	Y	Te-131m*	1,25 (8) d
1 315,54 (17)	0,59 (7)	Y	Kr-91	8,57 (4) s
1 315,7 (2)	0,003 3 (3)	Y	Rh-106	30,0 (2) s
1 315,77 (11)	0,066 (18)	Y	I-135	6,57 (2) h
1 316,4 (4)	0,151 (20)	Y	Xe-139	39,68 (14) s
1 316,4 (3)	0,017 (4)	Y	Eu-154	8,601 (4) a
1 316,96 (15)	0,077 (7)	Y	Bi-214	19,9 (4) min
1 317,476 (6)	27,0 (8)	Y	Br-82	1,4708 (13) d
1 317,9 (7)	0,118 (15)	Y	I-132	2,295 (13) h
1 318,3 (5)	0,001 1 (3)	Y	Xe-125	16,9 (2) h
1 318,4 (2)	0,04 (2)	Y	Te-131m*	1,25 (8) d
1 319,66 (3)	0,301 (7)	Y	Ge-77	11,30 (1) h
1 319,7 (20)	0,021 (16)	Y	Cs-140	1,062 (5) min
1 319,94 (14)	0,002 3 (3)	Y	Re-184	38,0 (5) d
1 320,4 (6)	0,02 (1)	Y	Te-133	12,45 (30) min
1 321,58 (40)	0,05 (2)	Y	Cs-136	13,16 (3) d
1 321,91 (3)	0,173 (11)	Y	Eu-150	36,9 (9) a
1 322,4 (3)	0,10 (4)	Y	I-134	52,5 (2) min
1 322,91 (20)	0,011 (3)	Y	Re-188	17,005 (4) h
1 323,32 (10)	0,016 2 (6)	Y	Ge-77	11,30 (1) h
1 323,4 (7)	0,068 (16)	Y	Cs-140	1,062 (5) min
1 323,8	0,97 (8)	Y	Ba-141	18,27 (7) min
1 324 (2)	0,044 (23)	Y	Br-76	16,2 (2) h
1 324,22 (18)	0,55 (6)	Y	Kr-91	8,57 (4) s
1 324,28 (7)	3,1 (3)	Y	Kr-89	3,17 (2) min
1 324,38 (21)	0,21 (3)	Y	Xe-139	39,68 (14) s
1 324,48 (3)	0,001 58 (5)	Y	Ce-143	33,040 (7) h
1 324,98 (4)	0,160 (4)	Y	Kr-88	2,84 (3) h
1 325,512 (6)	1,55 (3)	Y	Sb-124	60,20 (3) d
1 325,512 (6)	1,561 (21)	Y	I-124	4,1760 (3) d
1 325,65 (15)	0,28 (4)	Y	Mo-101	14,6 (1) min
1 326,01 (30)	0,000 59 (22)	Y	Xe-125	16,9 (2) h
1 326,05 (8)	0,038 3 (12)	Y	Ge-77	11,30 (1) h
1 326,46 (21)	0,132 (18)	Y	Rb-90	2,70 (5) min
1 326,46 (21)	0,001 8 (2)	Y	Rb-90m	4,30 (7) min
1 326,8 (3)	0,010 (3)	Y	Xe-123	2,08 (2) h
1 327,0 (2)	0,018	Y	Pa-234	6,70 (5) h
1 327,23 (7)	0,000 22 (22)	Y	I-133	20,87 (8) h
1 327,3 (6)	0,13 (4)	Y	Kr-91	8,57 (4) s
1 327,4 (1)	0,040 (4)	Y	Sr-91*	9,63 (5) h
1 327,98 (6)	0,029 (3)	Y	Xe-137	3,818 (13) min
1 330,0 (2)	0,012 0 (14)	Y	Bi-214	19,9 (4) min
1 330,4 (3)	0,062	Y	I-137	24,5 (2) s
1 330,43 (15)	0,14 (2)	Y	Br-87	55,65 (13) s
1 330,50 (15)	0,024 (16)	Y	Pb-201	9,33 (3) h
1 331,12 (7)	0,004 3 (12)	Y	Ho-166m	1 200 (180) a
1 331,95 (7)	0,001 74 (24)	Y	Re-188	17,005 (4) h
1 332,21 (10)	0,43 (4)	Y	Kr-79	35,04 (10) h
1 332,27 (13)	0,16 (2)	Y	I-138	6,49 (7) s
1 332,492 (4)	99,982 6 (6)	Y	Co-60	5,2710 (8) a
1 332,492 (4)	0,25 (9)	Y	Co-60m	10,47 (4) min
1 332,5 (15)	0,003 7 (3)	Y	Cu-66	5,120 (14) min

* : Radionucléide en équilibre avec son descendant
(Cf. liste en début de volume)

Énergie (keV)	Intensité (%)	Type	Parent	Période
1 333,112 (5)	1,17 (9)	Y	Ga-66	9,49 (7) h
1 333,21 (2)	10,70 (15)	Y	Te-133	12,45 (30) min
1 333,615 (12)	5,07 (3)	Y	Mn-52	5,595 (3) d
1 333,615 (12)	0,03 (1)	Y	Mn-52m	21,2 (4) min
1 333,62 (3)	0,588 (12)	Y	V-52	3,753 (5) min
1 333,7 (5)	0,08 (3)	Y	Te-133	12,45 (30) min
1 334,0 (2)	0,06 (3)	Y	Te-131m*	1,25 (8) d
1 334 (1)	0,28 (23)	Y	Te-133m	55,4 (4) min
1 334,06 (3)	0,413 (16)	Y	Eu-150	36,9 (9) a
1 334,3 (3)	0,025 (5)	Y	Xe-123	2,08 (2) h
1 334,326 (17)	0,141 (5)	Y	Ag-110m	249,78 (2) d
1 334,8 (2)	0,032 (9)	Y	I-135	6,57 (2) h
1 334,94 (7)	0,42	Y	I-137	24,5 (2) s
1 335,380 (29)	0,122 8 (16)	Y	Co-56	77,236 (26) d
1 335,4 (3)	0,13 (3)	Y	Kr-89	3,17 (2) min
1 335,81 (14)	0,066 (11)	Y	Kr-88	2,84 (3) h
1 336,0 (2)	0,14 (3)	Y	I-134	52,5 (2) min
1 336,40 (13)	0,153 (8)	Y	Mo-101	14,6 (1) min
1 337,33 (20)	0,004 9 (15)	Y	Ac-228	6,15 (2) h
1 338,00 (7)	0,63 (5)	Y	Kr-87	1,272 (8) h
1 338,0 (4)	0,17 (4)	Y	Kr-91	8,57 (4) s
1 338,03 (7)	0,74 (5)	Y	Br-87	55,65 (13) s
1 339,19 (5)	0,068 5 (18)	Y	Ge-77	11,30 (1) h
1 339,2 (15)	0,09 (4)	Y	Cs-140	1,062 (5) min
1 339,42 (9)	0,178 (12)	Y	Mo-101	14,6 (1) min
1 340,1 (1)	0,003 08 (14)	Y	Ce-143	33,040 (7) h
1 340,6 (3)	0,19 (3)	Y	Kr-89	3,17 (2) min
1 340,65 (15)	0,16 (9)	Y	Te-131m*	1,25 (8) d
1 340,77 (12)	0,43 (4)	Y	Pb-201	9,33 (3) h
1 340,84 (9)	1,0 (1)	Y	Ta-178	9,29 (4) min
1 341,31 (22)	0,156 (23)	Y	Kr-90	32,32 (9) s
1 341,49 (16)	0,021 4 (27)	Y	Bi-214	19,9 (4) min
1 341,7 (5)	0,043 (18)	Y	Tl-200	1,088 (5) d
1 341,88 (15)	0,001 08 (30)	Y	Ba-131	11,50 (6) d
1 342,16 (6)	0,038 (5)	Y	Ir-194	19,3 (1) h
1 342,25 (3)	52,6 (16)	Y	Mg-28	20,91 (3) h
1 342,4 (5)	0,24 (3)	Y	Fr-227	2,47 (3) min
1 342,72 (5)	0,251 (5)	Y	Ta-182	114,43 (3) d
1 342,9 (2)	0,012	Y	Pa-234	6,70 (5) h
1 343,59 (9)	1,14 (5)	Y	Cs-138	33,41 (18) min
1 343,66 (9)	0,077 (12)	Y	I-135	6,57 (2) h
1 343,777 (22)	2,59 (11)	Y	Eu-150	36,9 (9) a
1 343,9 (1)	0,67 (8)	Y	Tc-104	18,3 (3) min
1 344,59 (15)	0,009 0 (18)	Y	Ac-228	6,15 (2) h
1 344,60 (15)	0,21 (2)	Y	Br-87	55,65 (13) s
1 344,93 (7)	1,11 (13)	Y	Xe-139	39,68 (14) s
1 345	0,001 2 (4)	Y	Pa-228	22 (1) h
1 345,7	0,179 (22)	Y	Ba-141	18,27 (7) min
1 345,77 (16)	0,475 (10)	Y	Cu-64	12,701 (2) h
1 346,09 (7)	0,94 (4)	Y	Mo-101	14,6 (1) min
1 346,40 (7)	0,029 (7)	Y	Eu-150	36,9 (9) a
1 346,7 (5)	0,034	Y	I-137	24,5 (2) s
1 346,9 (3)	0,024 (10)	Y	Nb-96	23,35 (5) h
1 347,4 (5)	0,53 (7)	Y	Fr-227	2,47 (3) min
1 347,5 (2)	0,14 (5)	Y	Xe-140	13,6 (1) s
1 347,50 (15)	0,015 (3)	Y	Ac-228	6,15 (2) h
1 348	0,005 (5)	Y	Pa-228	22 (1) h
1 348,10 (7)	0,017 5 (8)	Y	Eu-152	13,522 (16) a
1 348,87 (5)	1,49 (9)	Y	Te-133m	55,4 (4) min
1 349,19 (7)	0,45 (3)	Y	Br-87	55,65 (13) s
1 349,42 (10)	0,06 (2)	Y	Sn-125	9,64 (3) d
1 349,63 (13)	0,10 (3)	Y	Te-133	12,45 (30) min
1 350,29 (3)	0,173 (11)	Y	Eu-150	36,9 (9) a
1 350,35 (16)	0,148 (13)	Y	Tl-200	1,088 (5) d
1 350,373 (17)	0,148 (5)	Y	I-133	20,87 (8) h
1 350,52 (6)	0,002 (1)	Y	Ni-57	35,9 (3) h
1 350,55 (9)	1,2 (2)	Y	Ta-178	9,29 (4) min
1 350,8 (7)	0,049 (6)	Y	Mo-101	14,6 (1) min
1 350,93 (8)	0,062 (3)	Y	Te-131	25,0 (1) min
1 351 (1)	0,004 2 (11)	Y	Bi-214	19,9 (4) min
1 351,02 (10)	0,14	Y	I-137	24,5 (2) s
1 351,6 (4)	0,095 (12)	Y	Xe-139	39,68 (14) s
1 352,32 (11)	0,159 (22)	Y	Kr-88	2,84 (3) h
1 352,62 (8)	0,40 (4)	Y	I-134	52,5 (2) min
1 352,9 (1)	1,15	Y	Pa-234	6,70 (5) h
1 353,0 (15)	0,000 63 (9)	Y	Pa-234m	1,17 (3) min
1 353,4 (8)	0,003 6 (9)	Y	Bi-214	19,9 (4) min
1 353,5 (2)	0,023 (4)	Y	Sr-91*	9,63 (5) h
1 353,54 (21)	0,6 (1)	Y	Kr-91	8,57 (4) s
1 354,3 (8)	0,032 (8)	Y	Fr-227	2,47 (3) min

* : Radionucléide en équilibre avec son descendant
(Cf. liste en début de volume)

Énergie (keV)	Intensité (%)	Type	Parent	Période
1 354,31 (19)	0,014 6 (6)	Y	Ge-77	11,30 (1) h
1 354,52 (9)	1,64 (15)	Y	La-141	3,92 (3) h
1 354,6	0,074 (14)	Y	Ba-141	18,27 (7) min
1 354,6 (2)	0,13	Y	Pa-234	6,70 (5) h
1 355,1 (6)	0,10 (3)	Y	Br-87	55,65 (13) s
1 355,11 (3)	1,03 (3)	Y	Sb-124	60,20 (3) d
1 355,11 (3)	0,044 (7)	Y	I-124	4,1760 (3) d
1 355,81 (11)	0,40 (5)	Y	I-138	6,49 (7) s
1 355,89 (5)	1,69 (8)	Y	Mo-101	14,6 (1) min
1 356,0 (6)	0,07 (2)	Y	Br-87	55,65 (13) s
1 356,0 (3)	0,000 4 (2)	Y	Rh-106	30,0 (2) s
1 356,104 (9)	0,36 (5)	Y	Ga-66	9,49 (7) h
1 356,17 (18)	0,75 (10)	Y	Kr-91	8,57 (4) s
1 356,320 (15)	0,122 (21)	Y	Ga-66	9,49 (7) h
1 356,6 (4)	0,050 (16)	Y	Xe-138	14,08 (8) min
1 356,843 (8)	50,4 (11)	Y	O-19	26,91 (8) s
1 357,1	0,106 (20)	Y	Ba-141	18,27 (7) min
1 357,250 (12)	0,16 (5)	Y	Ga-66	9,49 (7) h
1 357,37 (15)	0,18	Y	I-137	24,5 (2) s
1 357,78 (15)	0,020 (4)	Y	Ac-228	6,15 (2) h
1 358	0,000 16	Y	Xe-135m	15,30 (3) min
1 358,0 (2)	0,032 (5)	Y	Pa-228	22 (1) h
1 358,6 (2)	0,108 (13)	Y	Pr-147	13,4 (4) min
1 358,74 (21)	0,029 (1)	Y	Ge-77	11,30 (1) h
1 359,0 (1)	0,15	Y	Pa-234	6,70 (5) h
1 359,4 (3)	0,048 (19)	Y	Cs-138	33,41 (18) min
1 359,45 (7)	0,09 (2)	Y	Te-133	12,45 (30) min
1 359,63 (22)	0,22 (5)	Y	Kr-91	8,57 (4) s
1 360,0 (5)	0,006 (2)	Y	I-132	2,295 (13) h
1 360,196 (4)	4,280 (13)	Y	Co-56	77,236 (26) d
1 360,2 (2)	0,001 6 (5)	Y	Rh-106	30,0 (2) s
1 360,59 (20)	3,4 (2)	Y	Br-87	55,65 (13) s
1 361,2	0,032 (12)	Y	Ba-141	18,27 (7) min
1 361,65 (11)	10,4 (14)	Y	Br-86	55,1 (4) s
1 361,9 (6)	0,035 (16)	Y	Xe-138	14,08 (8) min
1 362,68 (9)	1,33 (19)	Y	Zr-97	16,90 (5) h
1 362,9 (3)	3,4 (4)	Y	Tl-200	1,088 (5) d
1 362,91 (12)	0,31 (4)	Y	Xe-139	39,68 (14) s
1 363,02 (3)	0,787 (20)	Y	Mo-93m	6,85 (7) h
1 363,3 (3)	0,24 (5)	Y	Tc-104	18,3 (3) min
1 363,3 (5)	0,257 (20)	Y	Cs-140	1,062 (5) min
1 363,77 (5)	0,025 6 (8)	Y	Eu-152	13,522 (16) a
1 363,8 (6)	0,005 (2)	Y	Rb-81*	4,25 (25) h
1 365,1 (5)	0,095 (17)	Y	Fr-227	2,47 (3) min
1 365,16 (2)	3,015 (13)	Y	Cs-134	2,0651 (6) a
1 365,3 (5)	0,23 (6)	Y	Kr-91	8,57 (4) s
1 365,707 (32)	0,014 (3)	Y	Ac-228	6,15 (2) h
1 365,707 (32)	0,037 (5)	Y	Pa-228	22 (1) h
1 366,3 (10)	0,87 (26)	Y	Tl-200	1,088 (5) d
1 366,4 (4)	0,062 (20)	Y	Br-87	55,65 (13) s
1 366,41 (5)	1,57 (13)	Y	Eu-156	15,19 (8) d
1 366,7 (2)	0,100 (15)	Y	Rb-88	17,8 (1) min
1 366,77 (20)	0,13	Y	I-137	24,5 (2) s
1 367,19 (16)	0,168 (19)	Y	Xe-139	39,68 (14) s
1 367,48 (20)	0,149 (21)	Y	Kr-89	3,17 (2) min
1 367,76 (8)	0,76 (7)	Y	Rb-91	58,4 (4) s
1 367,89 (4)	0,61 (3)	Y	I-135	6,57 (2) h
1 368,164 (7)	2,61 (3)	Y	Sb-124	60,20 (3) d
1 368,20 (6)	0,302 (9)	Y	I-124	4,1760 (3) d
1 368,4 (5)	3,3 (4)	Y	Ge-77	11,30 (1) h
1 368,5 (3)	0,33 (6)	Y	Kr-91	8,57 (4) s
1 368,626 (5)	99,993 5 (5)	Y	Na-24	14,9574 (20) h
1 368,7 (2)	0,004 9 (6)	Y	La-141	3,92 (3) h
1 369,5 (2)	1,48 (9)	Y	Kr-88	2,84 (3) h
1 370,5 (3)	0,002 9 (5)	Y	Ba-139	1,384 (5) h
1 371,4 (5)	0,26 (6)	Y	I-138	6,49 (7) s
1 371,7 (5)	0,009 (4)	Y	Te-133	12,45 (30) min
1 372,07 (13)	2,47 (10)	Y	I-132	2,295 (13) h
1 372,1 (2)	0,55 (5)	Y	Br-76	16,2 (2) h
1 372,16 (20)	0,127 (18)	Y	Kr-89	3,17 (2) min
1 372,3 (2)	0,001 95 (20)	Y	Rh-106	30,0 (2) s
1 372,3 (5)	0,28 (12)	Y	Te-133m	55,4 (4) min
1 372,89 (6)	4,7 (2)	Y	Mg-28	20,91 (3) h
1 373,1	0,09	Y	Ba-141	18,27 (7) min
1 373,836 3 (17)	0,218 (4)	Y	Ta-182	114,43 (3) d
1 374,19 (10)	0,014 (4)	Y	Ac-228	6,15 (2) h
1 374,26 (7)	0,093 (5)	Y	Pa-228	22 (1) h
1 375,36 (3)	0,18 (3)	Y	Rb-90	2,70 (5) min
1 375,36 (3)	16,7 (10)	Y	Rb-90m	4,30 (7) min
1 375,9 (4)	0,105 (22)	Y	Cs-140	1,062 (5) min

* : Radionucléide en équilibre avec son descendant
(Cf. liste en début de volume)

Énergie (keV)	Intensité (%)	Type	Parent	Période
1 376,0 (1)	1,75 (3)	Y	I-124	4,1760 (3) d
1 376,08 (15)	0,10 (1)	Y	Br-87	55,65 (13) s
1 376,1 (2)	0,36 (6)	Y	Tc-104	18,3 (3) min
1 376,1 (1)	0,49 (2)	Y	Sb-124	60,20 (3) d
1 376,3 (3)	0,000 39 (3)	Y	Pr-144	17,29 (3) min
1 376,8 (4)	0,040 (2)	Y	Te-131m*	1,25 (8) d
1 376,8	0,83 (7)	Y	Ba-141	18,27 (7) min
1 377,2 (5)	2,3 (8)	Y	Rb-90m	4,30 (7) min
1 377,62 (4)	81,2 (6)	Y	Ni-57	35,9 (3) h
1 377,669 (12)	3,968 (11)	Y	Bi-214	19,9 (4) min
1 377,95 (17)	0,239 (13)	Y	Mo-101	14,6 (1) min
1 378,1 (5)	0,39 (5)	Y	Fr-227	2,47 (3) min
1 378,20 (15)	0,001 2 (3)	Y	Ir-192	73,827 (13) d
1 378,23 (10)	0,005 9 (18)	Y	Ac-228	6,15 (2) h
1 378,8 (4)	4 (1)	Y	Sb-132m	4,10 (7) min
1 379	0,002 4 (2)	Y	I-126	12,93 (5) d
1 379,12 (6)	0,044 (31)	Y	Eu-150	36,9 (9) a
1 379,446 (10)	0,933 (35)	Y	Ho-166	26,795 (29) h
1 380,4 (8)	0,115 (11)	Y	Mo-101	14,6 (1) min
1 380,5 (1)	1,69 (19)	Y	Tc-104	18,3 (3) min
1 380,53 (8)	2,52 (15)	Y	Br-76	16,2 (2) h
1 381,0 (24)	0,001 51 (22)	Y	Xe-125	16,9 (2) h
1 381,1 (5)	0,007 (3)	Y	Tl-208	3,060 (8) min
1 381,4 (3)	0,069 (16)	Y	Xe-138	14,08 (8) min
1 381,4 (3)	0,019 (4)	Y	Pb-201	9,33 (3) h
1 381,5 (5)	0,009 (3)	Y	Rb-81*	4,25 (25) h
1 381,5 (5)	0,000 08 (4)	Y	Ba-139	1,384 (5) h
1 381,8 (9)	0,058 (16)	Y	Cs-140	1,062 (5) min
1 381,9 (5)	0,058 (17)	Y	Kr-89	3,17 (2) min
1 382 (1)	0,000 39 (13)	Y	Ce-143	33,040 (7) h
1 382,397 (26)	0,016 (3)	Y	Y-88	106,626 (21) d
1 382,5 (1)	0,78 (5)	Y	Rb-88	17,8 (1) min
1 382,55 (6)	0,288 (17)	Y	Kr-87	1,272 (8) h
1 382,71 (6)	1,13 (4)	Y	Mo-101	14,6 (1) min
1 383,2 (2)	0,051 (6)	Y	Pa-228	22 (1) h
1 384,293 1 (20)	24,7 (5)	Y	Ag-110m	249,78 (2) d
1 384,4 (6)	0,03 (1)	Y	Y-94	18,7 (1) min
1 384,9 (5)	0,19 (3)	Y	Fr-227	2,47 (3) min
1 384,94 (6)	90,0 (3)	Y	Sr-92	2,65 (6) h
1 385,15 (12)	0,003 0 (3)	Y	Xe-125	16,9 (2) h
1 385,2 (2)	0,06 (3)	Y	Sb-124	60,20 (3) d
1 385,31 (3)	0,795 (5)	Y	Bi-214	19,9 (4) min
1 385,39 (10)	0,010 6 (21)	Y	Ac-228	6,15 (2) h
1 385,5 (3)	0,076 (16)	Y	Xe-138	14,08 (8) min
1 385,78 (21)	0,007 5 (6)	Y	Ge-77	11,30 (1) h
1 386,145 (8)	0,008 6 (26)	Y	I-133	20,87 (8) h
1 386,19 (11)	0,52 (6)	Y	Xe-139	39,68 (14) s
1 386,33 (3)	0,103 (5)	Y	Re-184	38,0 (5) d
1 386,39 (21)	0,076 (11)	Y	Cs-138	33,41 (18) min
1 386,62 (15)	0,195 (25)	Y	Kr-90	32,32 (9) s
1 386,99 (17)	0,55 (7)	Y	Kr-91	8,57 (4) s
1 387,0 (5)	0,019 (2)	Y	Eu-154	8,601 (4) a
1 387,402 2 (17)	0,070 8 (15)	Y	Ta-182	114,43 (3) d
1 387,6 (3)	0,073 (6)	Y	Mo-101	14,6 (1) min
1 388,13 (24)	0,22 (4)	Y	Rb-91	58,4 (4) s
1 388,14 (10)	0,006 4 (7)	Y	Pr-144	17,29 (3) min
1 389,00 (1)	0,75 (9)	Y	Eu-152m	9,3116 (13) h
1 389,6 (2)	0,072	Y	Pa-234	6,70 (5) h
1 389,77 (7)	0,11 (3)	Y	Br-87	55,65 (13) s
1 389,87 (21)	9,8 (10)	Y	Br-86	55,1 (4) s
1 389,87 (12)	0,119 (8)	Y	Kr-87	1,272 (8) h
1 390,36 (16)	0,004 8 (6)	Y	Eu-152	13,522 (16) a
1 390,42 (18)	0,085 (6)	Y	Ga-72	14,10 (2) h
1 390,7 (7)	0,015 (10)	Y	I-132	2,295 (13) h
1 390,9 (3)	0,118 (10)	Y	Xe-123	2,08 (2) h
1 391	0,055 (15)	Y	Ba-141	18,27 (7) min
1 391,25 (10)	1,84 (9)	Y	Cs-140	1,062 (5) min
1 391,6 (3)	0,43 (8)	Y	Rb-90m	4,30 (7) min
1 391,7 (3)	0,049 (9)	Y	Pr-147	13,4 (4) min
1 392,3 (5)	0,11 (6)	Y	Te-133m	55,4 (4) min
1 392,4 (5)	0,000 08 (4)	Y	Ba-139	1,384 (5) h
1 392,5 (4)	0,008 7 (19)	Y	Bi-214	19,9 (4) min
1 392,7 (10)	0,001 56 (10)	Y	Pa-234m	1,17 (3) min
1 392,74 (17)	0,55 (6)	Y	Kr-91	8,57 (4) s
1 393,9 (1)	2,06	Y	Pa-234	6,70 (5) h
1 394,5 (3)	0,10 (2)	Y	K-43	22,2 (1) h
1 394,86 (6)	0,62 (3)	Y	Mo-101	14,6 (1) min
1 394,98 (13)	0,13 (5)	Y	Te-131m*	1,25 (8) d
1 395 (1)	0,076 (19)	Y	I-134	52,5 (2) min
1 396,03 (10)	0,15	Y	I-137	24,5 (2) s

* : Radionucléide en équilibre avec son descendant
(Cf. liste en début de volume)

Énergie (keV)	Intensité (%)	Type	Parent	Période
1 396,4 (15)	0,06 (5)	Y	Cs-140	1,062 (5) min
1 396,6 (1)	2,4 (3)	Y	Tc-104	18,3 (3) min
1 397,3 (3)	0,007 5 (6)	Y	Ge-77	11,30 (1) h
1 397,34 (5)	0,003 1 (8)	Y	Eu-154	8,601 (4) a
1 397,5 (2)	0,082	Y	Pa-234	6,70 (5) h
1 397,7 (2)	0,002 6 (3)	Y	Rh-106	30,0 (2) s
1 398,3 (2)	0,043 (8)	Y	Pr-147	13,4 (4) min
1 398,57 (10)	7,0 (2)	Y	I-132	2,295 (13) h
1 400,3 (1)	0,18	Y	Pa-234	6,70 (5) h
1 400,79 (2)	0,508 (6)	Y	Ho-166m	1 200 (180) a
1 400,85 (30)	0,064	Y	I-137	24,5 (2) s
1 401,29 (8)	0,132 (8)	Y	Pb-201	9,33 (3) h
1 401,36 (6)	0,003 6 (20)	Y	Te-129m	33,6 (1) d
1 401,50 (4)	1,330 (7)	Y	Bi-214	19,9 (4) min
1 401,57 (8)	0,012 (3)	Y	Ac-228	6,15 (2) h
1 402,0 (3)	0,23 (5)	Y	Kr-91	8,57 (4) s
1 402,87 (9)	0,48 (5)	Y	Ta-178	9,29 (4) min
1 404,16 (25)	0,129 (15)	Y	Xe-139	39,68 (14) s
1 404,66 (9)	0,062 (5)	Y	La-140	1,67850 (17) d
1 405,0 (9)	0,11 (6)	Y	Te-133m	55,4 (4) min
1 405,1	0,33 (4)	Y	Ba-141	18,27 (7) min
1 405,4 (1)	4,8 (4)	Y	Y-92	3,54 (2) h
1 405,5 (5)	0,59 (5)	Y	Te-133	12,45 (30) min
1 406,5 (5)	0,000 7 (5)	Y	Eu-152m	9,3116 (13) h
1 406,94 (10)	0,218 (20)	Y	Kr-88	2,84 (3) h
1 407,4 (2)	0,095 (20)	Y	I-134	52,5 (2) min
1 407,64 (11)	1,45 (13)	Y	Tl-200	1,088 (5) d
1 407,98 (4)	2,389 (8)	Y	Bi-214	19,9 (4) min
1 408,013 (3)	20,85 (8)	Y	Eu-152	13,522 (16) a
1 408,5 (2)	0,023 (3)	Y	Eu-154	8,601 (4) a
1 408,9 (2)	0,63 (7)	Y	Ca-49	8,718 (6) min
1 409,1 (2)	0,044	Y	Pa-234	6,70 (5) h
1 409,35 (24)	0,001 6 (7)	Y	Ga-66	9,49 (7) h
1 409,75 (15)	0,15	Y	I-137	24,5 (2) s
1 410 (20)	4,9 (20)	Y	Tl-210	1,30 (3) min
1 410,1 (1)	0,039 4 (13)	Y	Ta-182	114,43 (3) d
1 410,6 (3)	0,043 (7)	Y	I-132	2,295 (13) h
1 411,1 (10)	0,09 (3)	Y	Cs-140	1,062 (5) min
1 411,70 (3)	0,044 0 (7)	Y	Eu-152m	9,3116 (13) h
1 411,9 (7)	0,08 (2)	Y	Y-94	18,7 (1) min
1 412,59 (15)	0,27 (3)	Y	Kr-89	3,17 (2) min
1 413,4 (1)	0,98 (4)	Y	Sr-91*	9,63 (5) h
1 413,6 (3)	0,002 1 (1)	Y	Pa-234m	1,17 (3) min
1 413,66 (10)	12,2 (18)	Y	Xe-140	13,6 (1) s
1 414,2 (6)	0,495 (25)	Y	Mo-101	14,6 (1) min
1 414,3 (5)	0,22 (6)	Y	I-134	52,5 (2) min
1 414,4 (2)	0,001 3	Y	Pa-234	6,70 (5) h
1 415,0 (5)	0,040 (2)	Y	Eu-154	8,601 (4) a
1 415,42 (10)	0,090 (8)	Y	Pa-228	22 (1) h
1 415,43 (15)	1,5 (2)	Y	Br-87	55,65 (13) s
1 415,68 (13)	0,37 (3)	Y	Cs-138	33,41 (18) min
1 415,882 (30)	0,021 (4)	Y	Ac-228	6,15 (2) h
1 416,3 (4)	0,031 (9)	Y	I-135	6,57 (2) h
1 416,5 (4)	0,174 (20)	Y	Xe-139	39,68 (14) s
1 416,8 (1)	0,097 (13)	Y	Pr-147	13,4 (4) min
1 416,90 (7)	0,13 (2)	Y	Te-133	12,45 (30) min
1 416,94 (20)	0,16 (3)	Y	Xe-139	39,68 (14) s
1 417,9 (2)	0,030 (11)	Y	Mo-93m	6,85 (7) h
1 418,240 (11)	0,001 8 (6)	Y	Cd-115m	44,56 (24) d
1 418,5 (7)	0,37 (6)	Y	Cs-140	1,062 (5) min
1 418,56 (6)	0,89 (4)	Y	Mo-101	14,6 (1) min
1 418,6 (2)	0,011 (2)	Y	Eu-154	8,601 (4) a
1 418,754 (5)	0,61 (5)	Y	Ga-66	9,49 (7) h
1 419,0 (2)	0,002 0 (1)	Y	Eu-154	8,601 (4) a
1 419,55 (9)	0,101 (13)	Y	Rb-89	15,2 (1) min
1 419,70 (5)	0,49 (14)	Y	Sn-125	9,64 (3) d
1 419,7 (3)	0,005 5 (10)	Y	Bi-214	19,9 (4) min
1 419,71 (7)	22,0 (15)	Y	Br-87	55,65 (13) s
1 419,72 (13)	0,84 (8)	Y	Kr-91	8,57 (4) s
1 420	0,007 (3)	Y	Eu-150	36,9 (9) a
1 420 (1)	0,000 57 (44)	Y	Eu-152m	9,3116 (13) h
1 420,07 (5)	0,026 (4)	Y	Ag-110m	249,78 (2) d
1 420,19 (3)	0,295 (23)	Y	I-126	12,93 (5) d
1 420,5 (2)	0,26 (4)	Y	Ba-139	1,384 (5) h
1 420,52 (11)	0,004 0 (8)	Y	Ta-178	9,29 (4) min
1 421,1 (2)	0,131 (10)	Y	Pa-228	22 (1) h
1 421,48 (28)	0,000 63 (21)	Y	Ir-194	19,3 (1) h
1 421,5 (2)	0,002 3 (5)	Y	Ag-110	24,56 (11) s
1 421,64 (20)	0,225 (25)	Y	Kr-89	3,17 (2) min
1 421,9 (8)	0,12 (12)	Y	Ba-141	18,27 (7) min

* : Radionucléide en équilibre avec son descendant
(Cf. liste en début de volume)

Énergie (keV)	Intensité (%)	Type	Parent	Période
1 422,0 (5)	0,77 (8)	Y	Cs-140	1,062 (5) min
1 423,77 (6)	2,94 (24)	Y	Kr-90	32,32 (9) s
1 424,16 (9)	0,092 (6)	Y	Pb-201	9,33 (3) h
1 425,2 (3)	0,27 (3)	Y	Rb-90m	4,30 (7) min
1 425,25 (2)	0,006 0 (7)	Y	Ga-66	9,49 (7) h
1 425,4 (1)	0,24 (4)	Y	Y-93	10,1 (2) h
1 425,9 (5)	0,001 2 (7)	Y	Eu-154	8,601 (4) a
1 426,1 (6)	0,10 (4)	Y	Kr-91	8,57 (4) s
1 426,5 (2)	0,045 (6)	Y	Pa-228	22 (1) h
1 426,9 (9)	0,035 (6)	Y	Mo-101	14,6 (1) min
1 426,9 (3)	1,2 (4)	Y	I-138	6,49 (7) s
1 426,9 (1)	0,16	Y	Pa-234	6,70 (5) h
1 427,14 (5)	0,11 (2)	Y	Te-131	25,0 (1) min
1 427,24 (2)	0,498 (6)	Y	Ho-166m	1 200 (180) a
1 427,56 (10)	1,14 (17)	Y	Xe-140	13,6 (1) s
1 427,7 (1)	94,2 (9)	Y	Sr-94	1,235 (5) min
1 427,85 (15)	0,032 (3)	Y	Rb-81*	4,25 (25) h
1 428,2 (3)	0,17 (4)	Y	I-134	52,5 (2) min
1 428,70 (21)	0,185 (21)	Y	Xe-139	39,68 (14) s
1 429,1 (2)	0,13 (13)	Y	Br-76	16,2 (2) h
1 429,21 (20)	0,07 (4)	Y	Mo-101	14,6 (1) min
1 429,6 (5)	0,013 (7)	Y	Rb-89	15,2 (1) min
1 430,4 (4)	0,05 (1)	Y	Rb-90	2,70 (5) min
1 430,95 (7)	0,035 (7)	Y	Ac-228	6,15 (2) h
1 430,96 (8)	0,002 4 (3)	Y	Re-184	38,0 (5) d
1 431,35 (25)	0,17 (4)	Y	I-134	52,5 (2) min
1 431,35 (34)	0,002 2 (7)	Y	Ir-194	19,3 (1) h
1 431,68 (18)	0,489 (22)	Y	Mo-101	14,6 (1) min
1 432 (1)	0,12 (6)	Y	Pa-228	22 (1) h
1 432,3 (5)	0,055 (9)	Y	Fr-227	2,47 (3) min
1 432,52 (12)	0,001 1 (3)	Y	Ir-194	19,3 (1) h
1 433,63 (4)	0,001 8 (4)	Y	Ga-66	9,49 (7) h
1 434,05 (1)	99,987 (2)	Y	Mn-52	5,595 (3) d
1 434,05 (1)	98,2 (2)	Y	Mn-52m	21,2 (4) min
1 434,06 (1)	99,75 (25)	Y	V-52	3,753 (5) min
1 434,13 (24)	0,25 (3)	Y	Xe-139	39,68 (14) s
1 434,13 (10)	0,008 3 (6)	Y	Pa-234m	1,17 (3) min
1 434,22 (15)	0,008 0 (23)	Y	Ac-228	6,15 (2) h
1 434,40 (7)	0,000 6 (1)	Y	I-128	24,99 (2) min
1 435,1 (4)	0,082 (8)	Y	Mo-101	14,6 (1) min
1 435,795 (10)	65,6 (5)	Y	La-138	102 (1) E+9 a
1 435,86 (9)	76,3 (16)	Y	Cs-138	33,41 (18) min
1 436,2 (4)	0,021 (5)	Y	Br-87	55,65 (13) s
1 436,3 (3)	0,36 (9)	Y	Tc-104	18,3 (3) min
1 436,3 (4)	2,0 (4)	Y	Sb-132	2,79 (5) min
1 436,563 (7)	1,20 (3)	Y	Sb-124	60,20 (3) d
1 436,563 (7)	0,075 (19)	Y	I-124	4,1760 (3) d
1 436,6	0,86 (8)	Y	Ba-141	18,27 (7) min
1 437,35 (7)	0,12 (2)	Y	V-48	15,9735 (25) d
1 437,7 (7)	0,11 (4)	Y	Xe-139	39,68 (14) s
1 437,8	0,19 (4)	Y	Ba-141	18,27 (7) min
1 438 (1)	0,006 (6)	Y	Te-133	12,45 (30) min
1 438,01 (10)	0,005 9 (15)	Y	Ac-228	6,15 (2) h
1 438,3 (8)	0,032 (12)	Y	Rb-90	2,70 (5) min
1 439,0 (7)	0,048	Y	I-137	24,5 (2) s
1 439,10 (5)	0,279 (19)	Y	As-76	1,0778 (20) d
1 439,11 (21)	0,36 (5)	Y	Kr-91	8,57 (4) s
1 439,4 (2)	0,58 (4)	Y	Br-76	16,2 (2) h
1 440,84 (11)	0,151 (10)	Y	Mo-101	14,6 (1) min
1 440,9 (1)	0,025 (14)	Y	Cs-143	1,791 (7) s
1 441,15 (5)	0,002 69 (44)	Y	Ag-108	2,382 (11) min
1 441,3 (8)	0,020 (11)	Y	Kr-89	3,17 (2) min
1 441,78 (14)	0,001 5 (3)	Y	Ir-194	19,3 (1) h
1 441,8 (5)	0,017 (12)	Y	I-135	6,57 (2) h
1 442,10 (18)	0,007 0 (6)	Y	Xe-125	16,9 (2) h
1 442,2 (2)	0,131 (2)	Y	Bi-207	32,9 (14) a
1 442,4 (3)	0,142 (17)	Y	Cs-140	1,062 (5) min
1 442,56 (10)	1,40 (5)	Y	I-132	2,295 (13) h
1 442,75 (8)	0,180 (4)	Y	Co-56	77,236 (26) d
1 442,8 (2)	0,031	Y	Pa-234	6,70 (5) h
1 443,21 (15)	0,14 (2)	Y	Br-87	55,65 (13) s
1 444,085 (10)	2,64 (6)	Y	O-19	26,91 (8) s
1 444,9 (1)	0,050 (19)	Y	I-124	4,1760 (3) d
1 444,90 (17)	0,26 (3)	Y	I-138	6,49 (7) s
1 445,04 (25)	0,97 (19)	Y	Cs-138	33,41 (18) min
1 445,3 (1)	0,35 (2)	Y	Sb-124	60,20 (3) d
1 445,4 (1)	0,32	Y	Pa-234	6,70 (5) h
1 445,8 (1)	0,036 4 (24)	Y	Pb-201	9,33 (3) h
1 446,08 (30)	0,05	Y	I-137	24,5 (2) s
1 447	0,143 (21)	Y	Ba-141	18,27 (7) min

* : Radionucléide en équilibre avec son descendant
(Cf. liste en début de volume)

Énergie (keV)	Intensité (%)	Type	Parent	Période
1 447,4 (2)	0,25 (5)	Y	Y-94	18,7 (1) min
1 447,66 (15)	0,001 05 (10)	Y	Ho-166	26,795 (29) h
1 448,35 (10)	0,32 (3)	Y	I-135	6,57 (2) h
1 448,780 (6)	0,017 (6)	Y	Cd-115m	44,56 (24) d
1 449,0 (4)	0,140 (16)	Y	Xe-139	39,68 (14) s
1 449,24 (7)	1,10 (8)	Y	Br-87	55,65 (13) s
1 450,0 (5)	0,007 9 (20)	Y	I-132	2,295 (13) h
1 450,23 (11)	0,001 6 (3)	Y	Ir-194	19,3 (1) h
1 450,5 (1)	0,33 (5)	Y	Y-93	10,1 (2) h
1 451	0,003 6 (9)	Y	Pa-228	22 (1) h
1 451,1 (4)	0,064 (8)	Y	Mo-101	14,6 (1) min
1 451,40 (15)	0,010 6 (21)	Y	Ac-228	6,15 (2) h
1 452,59 (5)	0,121 (4)	Y	Ge-77	11,30 (1) h
1 452,7 (1)	0,8	Y	Pa-234	6,70 (5) h
1 453,123 7 (20)	0,028 4 (10)	Y	Ta-182	114,43 (3) d
1 453,2 (2)	0,02	Y	Sb-124	60,20 (3) d
1 453,32 (10)	0,49 (6)	Y	Xe-139	39,68 (14) s
1 453,62 (5)	0,108 (11)	Y	As-76	1,0778 (20) d
1 454,0 (5)	0,59 (20)	Y	Sb-132	2,79 (5) min
1 454,08 (10)	0,80 (5)	Y	Br-76	16,2 (2) h
1 454,7 (4)	0,158 (22)	Y	Cs-140	1,062 (5) min
1 454,75 (15)	0,037 (1)	Y	Ge-77	11,30 (1) h
1 455,0 (1)	0,72 (17)	Y	Te-133m	55,4 (4) min
1 455,0 (2)	0,108 (9)	Y	Pa-228	22 (1) h
1 455,24 (7)	0,15 (5)	Y	Te-133	12,45 (30) min
1 455,24 (5)	2,29 (19)	Y	I-134	52,5 (2) min
1 455,3 (7)	0,052 (23)	Y	Kr-89	3,17 (2) min
1 455,3 (5)	0,20 (3)	Y	Fr-227	2,47 (3) min
1 455,9	0,13 (4)	Y	Ba-141	18,27 (7) min
1 456	0,11 (11)	Y	Te-133m	55,4 (4) min
1 456,39 (10)	0,21	Y	I-137	24,5 (2) s
1 456,5 (5)	0,35 (11)	Y	Kr-91	8,57 (4) s
1 456,5 (2)	0,05 (1)	Y	I-132	2,295 (13) h
1 456,7 (3)	0,038 (5)	Y	Rb-90	2,70 (5) min
1 456,7 (3)	0,24 (7)	Y	Rb-90m	4,30 (7) min
1 457,54 (13)	0,018 6 (15)	Y	Re-188	17,005 (4) h
1 457,56 (3)	8,7 (3)	Y	I-135	6,57 (2) h
1 457,643 (11)	0,498 (4)	Y	Eu-152	13,522 (16) a
1 458,3 (7)	0,074 (25)	Y	Kr-89	3,17 (2) min
1 458,5 (15)	0,001 85 (30)	Y	Pa-234m	1,17 (3) min
1 458,662 (12)	0,096 (23)	Y	Ga-66	9,49 (7) h
1 458,9 (2)	0,17 (6)	Y	Te-133m	55,4 (4) min
1 458,9 (1)	0,093	Y	Pa-234	6,70 (5) h
1 458,98 (22)	0,25 (10)	Y	Xe-139	39,68 (14) s
1 459,0 (7)	0,28 (8)	Y	Kr-91	8,57 (4) s
1 459,138 (15)	0,83 (8)	Y	Ac-228	6,15 (2) h
1 459,2 (2)	0,80 (7)	Y	Pa-228	22 (1) h
1 459,3 (4)	0,152 (23)	Y	Cs-140	1,062 (5) min
1 460	0,76 (9)	Y	Ba-141	18,27 (7) min
1 460,018 (10)	0,000 2	Y	Ho-166	26,795 (29) h
1 460,1 (6)	0,19 (5)	Y	Rb-90m	4,30 (7) min
1 460,6 (5)	0,066 (21)	Y	Kr-90	32,32 (9) s
1 460,64 (13)	0,001 6 (5)	Y	Eu-152m	9,3116 (13) h
1 460,822 (6)	10,66 (13)	Y	K-40	1,265 (13) E+9 a
1 461 (2)	0,13 (3)	Y	Br-76	16,2 (2) h
1 461,16 (20)	0,017 2 (22)	Y	Xe-137	3,818 (13) min
1 461,3 (6)	0,050 (6)	Y	Kr-87	1,272 (8) h
1 461,3 (5)	0,12 (3)	Y	Kr-89	3,17 (2) min
1 462,34 (12)	0,077 8 (9)	Y	Co-56	77,236 (26) d
1 463,0 (6)	0,000 8 (3)	Y	Re-188	17,005 (4) h
1 463,50 (15)	0,005 9 (14)	Y	Ir-194	19,3 (1) h
1 464,00 (7)	3,55 (6)	Y	Ga-72	14,10 (2) h
1 464,0 (2)	0,62 (9)	Y	I-138	6,49 (7) s
1 464,2 (3)	0,18 (3)	Y	Kr-89	3,17 (2) min
1 464,84 (9)	0,114 (15)	Y	Kr-88	2,84 (3) h
1 464,95 (15)	0,16 (3)	Y	Br-87	55,65 (13) s
1 465,2 (6)	5,6 (6)	Y	Br-86	55,1 (4) s
1 465,4 (1)	0,068 (7)	Y	Pr-147	13,4 (4) min
1 465,6 (1)	0,001 8 (2)	Y	Ag-110m	249,78 (2) d
1 465,75 (20)	0,06 (6)	Y	Ge-77	11,30 (1) h
1 466,26 (15)	0,25 (3)	Y	Kr-90	32,32 (9) s
1 466,7 (1)	0,89 (10)	Y	Tc-104	18,3 (3) min
1 468,1 (5)	0,28 (4)	Y	Fr-227	2,47 (3) min
1 468,13 (12)	0,011 (2)	Y	Ta-178	9,29 (4) min
1 468,2 (6)	0,16 (4)	Y	Kr-91	8,57 (4) s
1 468,2 (6)	0,05 (3)	Y	Te-133	12,45 (30) min
1 468,5 (3)	0,22 (16)	Y	Kr-89	3,17 (2) min
1 468,6 (3)	0,000 57 (15)	Y	Tb-160	72,3 (2) d
1 468,91 (7)	0,19 (3)	Y	Ir-194	19,3 (1) h
1 468,97 (5)	0,001 4 (4)	Y	Ga-66	9,49 (7) h

* : Radionucléide en équilibre avec son descendant
(Cf. liste en début de volume)

Énergie (keV)	Intensité (%)	Type	Parent	Période
1 469,64 (8)	0,020 (4)	Y	Ac-228	6,15 (2) h
1 470,00 (7)	0,75 (5)	Y	I-134	52,5 (2) min
1 470,1 (1)	0,065 (16)	Y	Y-93	10,1 (2) h
1 470,9 (3)	0,009 4 (13)	Y	Bi-214	19,9 (4) min
1 471,13 (7)	2,31 (14)	Y	Br-76	16,2 (2) h
1 471,68 (15)	0,44 (5)	Y	Br-87	55,65 (13) s
1 472,5 (1)	0,69 (8)	Y	Tc-104	18,3 (3) min
1 472,76 (10)	6,9 (6)	Y	Kr-89	3,17 (2) min
1 473,2 (3)	0,069 (13)	Y	Xe-138	14,08 (8) min
1 473,29 (14)	0,38 (4)	Y	Rb-89	15,2 (1) min
1 473,32 (12)	0,003 0 (6)	Y	Ta-178	9,29 (4) min
1 473,6 (7)	0,063 (16)	Y	Cs-140	1,062 (5) min
1 473,74 (8)	0,32 (3)	Y	Te-133	12,45 (30) min
1 473,8 (1)	0,167 (7)	Y	Sr-91*	9,63 (5) h
1 474,6 (5)	0,09 (3)	Y	Kr-91	8,57 (4) s
1 474,884 (6)	16,4 (2)	Y	Br-82	1,4708 (13) d
1 474,9 (5)	0,032 (8)	Y	Fr-227	2,47 (3) min
1 475,779 2 (23)	0,003 7 (6)	Y	Ag-110	24,56 (11) s
1 475,779 2 (23)	4,03 (5)	Y	Ag-110m	249,78 (2) d
1 475,8 (2)	0,008	Y	Pa-234	6,70 (5) h
1 476,04 (6)	7,9 (6)	Y	Br-87	55,65 (13) s
1 476,1 (6)	0,34 (9)	Y	Sb-126m	19,15 (8) min
1 476,3 (3)	0,001 59 (16)	Y	Ba-139	1,384 (5) h
1 476,52 (5)	0,242 (6)	Y	Ge-77	11,30 (1) h
1 476,7 (2)	0,130 (9)	Y	I-132	2,295 (13) h
1 477,113 (20)	99,1 (25)	Y	Mo-93m	6,85 (7) h
1 477,290 8	0,30 (5)	Y	Sb-126	12,4 (1) d
1 477,78 (14)	0,152 (13)	Y	Tl-200	1,088 (5) d
1 478,5 (3)	0,000 010 (6)	Y	Cd-115m	44,56 (24) d
1 478,99 (20)	0,212 (22)	Y	Ge-77	11,30 (1) h
1 479,15 (14)	0,051 (4)	Y	Bi-214	19,9 (4) min
1 479,2 (9)	0,052 (16)	Y	Cs-140	1,062 (5) min
1 479,89 (10)	0,164 (9)	Y	Pb-201	9,33 (3) h
1 479,9 (21)	0,54 (7)	Y	Kr-91	8,57 (4) s
1 480,37 (15)	0,016 (3)	Y	Ac-228	6,15 (2) h
1 480,37 (15)	0,072 (10)	Y	Pa-228	22 (1) h
1 481,5 (1)	0,067 (14)	Y	Xe-139	39,68 (14) s
1 481,7 (2)	0,060 3 (37)	Y	Fe-59	44,495 (8) d
1 481,84 (5)	23,59 (14)	Y	Ni-65	2,5172 (3) h
1 481,9 (6)	0,044 (21)	Y	Kr-89	3,17 (2) min
1 482,17 (11)	1,45 (13)	Y	Rb-91	58,4 (4) s
1 483,2 (3)	0,048 (7)	Y	Pa-228	22 (1) h
1 485,4 (2)	0,03	Y	Pa-234	6,70 (5) h
1 485,49 (3)	1,9 (1)	Y	Eu-150	36,9 (9) a
1 485,6 (7)	0,068 (21)	Y	Rb-90	2,70 (5) min
1 485,9 (2)	0,100 (6)	Y	Mo-101	14,6 (1) min
1 486,100 (11)	0,000 56 (20)	Y	Cd-115m	44,56 (24) d
1 486,20 (12)	0,019 0 (24)	Y	Pb-201	9,33 (3) h
1 486,3 (3)	0,025 (7)	Y	Pa-228	22 (1) h
1 486,4 (1)	0,013 (4)	Y	Sr-91*	9,63 (5) h
1 487,05 (8)	0,017 0 (23)	Y	Ir-194	19,3 (1) h
1 487,2 (3)	0,016 (8)	Y	Rb-81*	4,25 (25) h
1 488,0 (2)	0,013	Y	Pa-234	6,70 (5) h
1 488,1 (4)	0,094 (21)	Y	Kr-89	3,17 (2) min
1 488,39 (10)	0,015 (9)	Y	Br-87	55,65 (13) s
1 488,62 (20)	0,16	Y	I-137	24,5 (2) s
1 488,9 (1)	0,199 (10)	Y	I-124	4,1760 (3) d
1 489,0 (4)	0,031 (6)	Y	Rb-90	2,70 (5) min
1 489,0 (4)	0,35 (5)	Y	Rb-90m	4,30 (7) min
1 489,0 (1)	0,68 (3)	Y	Sb-124	60,20 (3) d
1 489,160 (5)	0,279 (5)	Y	Pr-144	17,29 (3) min
1 489,5 (2)	0,001 8 (5)	Y	Rh-106	30,0 (2) s
1 489,6 (2)	0,002 9 (4)	Y	Eu-154	8,601 (4) a
1 489,88 (14)	0,12 (2)	Y	Te-133	12,45 (30) min
1 490,0 (4)	0,21 (4)	Y	Xe-139	39,68 (14) s
1 490 (20)	2 (1)	Y	Tl-210	1,30 (3) min
1 492,18 (13)	0,001 5 (3)	Y	Ir-194	19,3 (1) h
1 492,3 (5)	0,09 (3)	Y	Cs-140	1,062 (5) min
1 493 (1)	0,025 (12)	Y	Te-133	12,45 (30) min
1 493,38 (8)	0,34 (3)	Y	Br-87	55,65 (13) s
1 493,6 (1)	0,103	Y	Pa-234	6,70 (5) h
1 494,048 (4)	0,698 (9)	Y	Eu-154	8,601 (4) a
1 495,60 (3)	0,498 (12)	Y	Ge-77	11,30 (1) h
1 495,63 (23)	0,18 (4)	Y	Cs-138	33,41 (18) min
1 495,91 (2)	0,86 (4)	Y	Ac-228	6,15 (2) h
1 496,0 (2)	0,036	Y	Pa-234	6,70 (5) h
1 496,05 (11)	0,27 (3)	Y	Ta-178	9,29 (4) min
1 496,15 (6)	0,255 (19)	Y	Pa-228	22 (1) h
1 496,2 (1)	0,024 (3)	Y	Rh-106	30,0 (2) s
1 496,24 (6)	0,06 (1)	Y	Te-131m*	1,25 (8) d

* : Radionucléide en équilibre avec son descendant
(Cf. liste en début de volume)

Énergie (keV)	Intensité (%)	Type	Parent	Période
1 496,8 (2)	0,061 (7)	Y	Br-87	55,65 (13) s
1 497,0 (1)	0,018 2 (17)	Y	La-141	3,92 (3) h
1 497,19 (20)	0,11	Y	I-137	24,5 (2) s
1 497,807 (15)	3,28 (7)	Y	Nb-96	23,35 (5) h
1 499,35 (10)	0,039 4 (23)	Y	Eu-150	36,9 (9) a
1 499,46 (2)	0,908 (15)	Y	Sc-44	3,97 (4) h
1 500,0 (2)	0,011	Y	Pa-234	6,70 (5) h
1 500,40 (11)	0,91 (10)	Y	I-138	6,49 (7) s
1 500,6 (5)	0,7 (1)	Y	Kr-91	8,57 (4) s
1 500,65 (7)	0,14 (7)	Y	Te-131	25,0 (1) min
1 500,9 (5)	0,019 (1)	Y	Ga-72	14,10 (2) h
1 500,96 (10)	1,33 (13)	Y	Kr-89	3,17 (2) min
1 501,00 (15)	0,214 (20)	Y	Rb-89	15,2 (1) min
1 501,4	0,39 (7)	Y	Ba-141	18,27 (7) min
1 501,566 (12)	0,46 (3)	Y	Ac-228	6,15 (2) h
1 501,566 (12)	0,069 (7)	Y	Pa-228	22 (1) h
1 501,6 (5)	0,000 5 (5)	Y	Kr-79	35,04 (10) h
1 501,60 (11)	4,8 (4)	Y	Kr-91	8,57 (4) s
1 502,79 (4)	1,08 (5)	Y	I-135	6,57 (2) h
1 502,8 (5)	0,031 (25)	Y	Te-133	12,45 (30) min
1 503,0 (7)	0,09 (4)	Y	Rb-91	58,4 (4) s
1 503,1 (6)	0,202 (23)	Y	Xe-139	39,68 (14) s
1 503,7 (2)	0,067 (7)	Y	Pa-228	22 (1) h
1 504,1 (5)	0,09 (4)	Y	Br-76	16,2 (2) h
1 505,028 (2)	13,16 (16)	Y	Ag-110m	249,78 (2) d
1 505,2 (3)	0,07 (3)	Y	Te-133	12,45 (30) min
1 505,5 (4)	0,11 (4)	Y	I-134	52,5 (2) min
1 505,9 (2)	0,051 (6)	Y	Pa-228	22 (1) h
1 506,2 (3)	0,113 (22)	Y	Kr-89	3,17 (2) min
1 506,2 (8)	0,28 (12)	Y	Te-133m	55,4 (4) min
1 506,4 (4)	0,83 (18)	Y	Kr-91	8,57 (4) s
1 506,79 (40)	0,078	Y	I-137	24,5 (2) s
1 507,0 (7)	0,049 (13)	Y	Mo-101	14,6 (1) min
1 507,3 (2)	0,02	Y	Pa-234	6,70 (5) h
1 507,4 (2)	9,96 (34)	Y	In-116m	54,29 (17) min
1 508,158 (7)	0,55 (4)	Y	Ga-66	9,49 (7) h
1 508,4 (3)	0,049 (5)	Y	Xe-123	2,08 (2) h
1 509,228 (15)	2,128 (10)	Y	Bi-214	19,9 (4) min
1 509,49 (4)	3,13 (6)	Y	I-124	4,1760 (3) d
1 510,0 (5)	0,004 8 (10)	Y	Eu-154	8,601 (4) a
1 510,1 (2)	0,005	Y	Pa-234	6,70 (5) h
1 510,5 (5)	0,013 0 (5)	Y	Pa-234m	1,17 (3) min
1 510,83 (5)	0,006 4 (9)	Y	Eu-152m	9,3116 (13) h
1 511,98 (10)	0,024 (4)	Y	Ir-194	19,3 (1) h
1 512,1 (2)	0,009 2 (11)	Y	La-141	3,92 (3) h
1 512,15 (21)	0,013 2 (18)	Y	Ir-194	19,3 (1) h
1 512,16 (7)	1,24	Y	I-137	24,5 (2) s
1 512,70 (8)	0,29 (1)	Y	Bi-212	60,54 (6) min
1 513,5 (5)	2,0 (4)	Y	Sb-132	2,79 (5) min
1 513,63 (12)	0,004 3 (8)	Y	Ta-178	9,29 (4) min
1 513,8 (5)	0,14 (3)	Y	Cs-140	1,062 (5) min
1 514,10 (22)	0,177 (12)	Y	Mo-101	14,6 (1) min
1 514,9 (1)	4,0 (3)	Y	Tl-200	1,088 (5) d
1 515,162 (20)	0,006 2 (7)	Y	Ga-66	9,49 (7) h
1 515,5 (2)	0,79 (10)	Y	Tc-104	18,3 (3) min
1 515,5 (3)	0,007 2 (21)	Y	Bi-214	19,9 (4) min
1 515,59 (20)	0,122 (20)	Y	Nb-97	1,202 (12) h
1 515,6 (2)	0,072	Y	Pa-234	6,70 (5) h
1 516,26 (8)	1,27 (18)	Y	Te-133m	55,4 (4) min
1 517,0 (5)	0,200 (23)	Y	Cs-140	1,062 (5) min
1 517,4 (2)	0,74 (10)	Y	Tc-104	18,3 (3) min
1 517,8 (5)	0,09 (3)	Y	Kr-91	8,57 (4) s
1 517,8 (4)	0,217 (17)	Y	Mo-101	14,6 (1) min
1 518 (1)	0,000 03 (3)	Y	Ba-139	1,384 (5) h
1 518,39 (3)	2,15 (11)	Y	Kr-88	2,84 (3) h
1 518,76 (14)	0,001 7 (3)	Y	Ir-194	19,3 (1) h
1 518,8 (5)	0,001 9 (7)	Y	Xe-137	3,818 (13) min
1 518,8 (7)	0,063 (12)	Y	Pr-147	13,4 (4) min
1 519,4 (5)	0,031 (6)	Y	Ga-72	14,10 (2) h
1 519,6 (2)	0,079 (5)	Y	I-132	2,295 (13) h
1 520,17 (8)	0,71 (9)	Y	Xe-139	39,68 (14) s
1 520,4 (5)	0,23 (3)	Y	Mo-101	14,6 (1) min
1 520,7 (2)	0,009 3	Y	Pa-234	6,70 (5) h
1 521,99 (13)	0,037 (18)	Y	I-135	6,57 (2) h
1 522 (1)	0,000 6 (3)	Y	Eu-154	8,601 (4) a
1 522,1 (4)	0,038 (9)	Y	Rb-90	2,70 (5) min
1 523,0 (3)	0,280 (14)	Y	Mo-101	14,6 (1) min
1 523,279 (15)	0,005 5 (7)	Y	Ga-66	9,49 (7) h
1 523,4 (2)	0,03 (3)	Y	Pa-228	22 (1) h
1 524,665 (20)	17,9 (5)	Y	K-42	12,359 (3) h

* : Radionucléide en équilibre avec son descendant
(Cf. liste en début de volume)

Énergie (keV)	Intensité (%)	Type	Parent	Période
1 525,0 (5)	0,16 (4)	Y	Kr-91	8,57 (4) s
1 525,7 (9)	0,051 (16)	Y	Ba-141	18,27 (7) min
1 525,82 (13)	0,85 (11)	Y	I-138	6,49 (7) s
1 526,35 (10)	0,40 (3)	Y	Sb-124	60,20 (3) d
1 526,6 (5)	0,098 (10)	Y	Mo-101	14,6 (1) min
1 526,8 (8)	0,063 (21)	Y	Cs-140	1,062 (5) min
1 527,21 (10)	0,002 1 (2)	Y	Pa-234m	1,17 (3) min
1 527,77 (6)	0,060 (5)	Y	Te-131	25,0 (1) min
1 528,103 (18)	0,281 (5)	Y	Eu-152	13,522 (16) a
1 528,20 (5)	0,046 4 (12)	Y	Ge-77	11,30 (1) h
1 528,23 (15)	0,000 14 (5)	Y	Ho-166	26,795 (29) h
1 528,29 (14)	0,91 (8)	Y	Kr-91	8,57 (4) s
1 528,37 (15)	0,66 (7)	Y	I-138	6,49 (7) s
1 529,05 (10)	0,057 (6)	Y	Ac-228	6,15 (2) h
1 529,05 (10)	0,243 (18)	Y	Pa-228	22 (1) h
1 529,77 (3)	10,9 (6)	Y	Kr-88	2,84 (3) h
1 530,04 (15)	3,3 (3)	Y	Kr-89	3,17 (2) min
1 530,3 (5)	0,15 (6)	Y	Mo-101	14,6 (1) min
1 530,5 (2)	0,04 (2)	Y	Kr-90	32,32 (9) s
1 530,5 (3)	0,000 55 (17)	Y	Re-188	17,005 (4) h
1 530,67 (1)	0,116 0 (24)	Y	V-52	3,753 (5) min
1 530,67 (1)	0,046 (2)	Y	Mn-52m	21,2 (4) min
1 531,2 (4)	0,36 (6)	Y	Kr-87	1,272 (8) h
1 531,2 (3)	0,40 (9)	Y	Tc-104	18,3 (3) min
1 531,4 (2)	0,006 0 (4)	Y	Eu-154	8,601 (4) a
1 531,9 (5)	0,006 (2)	Y	I-132	2,295 (13) h
1 532 (2)	0,06 (4)	Y	Br-76	16,2 (2) h
1 532,49 (4)	6,14 (20)	Y	Mo-101	14,6 (1) min
1 532,8 (2)	0,024 3 (18)	Y	As-76	1,0778 (20) d
1 533,68 (15)	5,1 (5)	Y	Kr-89	3,17 (2) min
1 534,32 (7)	3,24	Y	I-137	24,5 (2) s
1 534,60 (4)	0,005 7 (16)	Y	Ga-66	9,49 (7) h
1 534,70 (24)	9,3 (16)	Y	Br-86	55,1 (4) s
1 534,9 (3)	0,304 (30)	Y	Xe-123	2,08 (2) h
1 535,1 (1)	0,21 (3)	Y	Te-133	12,45 (30) min
1 536,2 (2)	0,63 (4)	Y	Cs-140	1,062 (5) min
1 536,3 (3)	0,002 11 (16)	Y	Ba-139	1,384 (5) h
1 536,7 (4)	0,17 (5)	Y	Tc-104	18,3 (3) min
1 537,0 (8)	0,09 (3)	Y	Te-133m	55,4 (4) min
1 537,34 (24)	0,33 (5)	Y	Kr-91	8,57 (4) s
1 537,454 (7)	0,047 (5)	Y	Ac-228	6,15 (2) h
1 537,8 (20)	0,068 (10)	Y	Pa-228	22 (1) h
1 537,81 (4)	0,053 (2)	Y	Eu-154	8,601 (4) a
1 537,85 (5)	9,7 (8)	Y	Kr-90	32,32 (9) s
1 537,90 (7)	0,10 (2)	Y	Cs-136	13,16 (3) d
1 538 (2)	0,17 (7)	Y	Br-76	16,2 (2) h
1 538,07 (9)	2,77 (20)	Y	Rb-89	15,2 (1) min
1 538,50 (6)	0,401 (22)	Y	Bi-214	19,9 (4) min
1 538,76 (5)	0,142 (4)	Y	Ge-77	11,30 (1) h
1 538,8 (2)	0,013	Y	Pa-234	6,70 (5) h
1 539,2	0,083 (11)	Y	Ba-141	18,27 (7) min
1 539,94 (7)	0,000 94 (16)	Y	Ag-108	2,382 (11) min
1 540 (30)	2 (1)	Y	Tl-210	1,30 (3) min
1 540,1 (7)	0,062 (9)	Y	Xe-139	39,68 (14) s
1 540,2	0,083 (11)	Y	Ba-141	18,27 (7) min
1 540,4 (5)	0,99 (20)	Y	Sb-132	2,79 (5) min
1 541,2 (6)	0,016 (1)	Y	Ga-72	14,10 (2) h
1 541,3 (1)	1,07 (10)	Y	Tc-104	18,3 (3) min
1 541,51 (7)	0,51 (4)	Y	I-134	52,5 (2) min
1 542,3 (6)	0,016 (2)	Y	I-132	2,295 (13) h
1 542,3 (6)	0,073 (22)	Y	Cs-140	1,062 (5) min
1 542,8 (2)	0,026 (5)	Y	Pa-228	22 (1) h
1 543,3 (3)	0,1	Y	I-137	24,5 (2) s
1 543,32 (6)	0,302 (13)	Y	Bi-214	19,9 (4) min
1 543,6 (6)	0,028 (7)	Y	Xe-139	39,68 (14) s
1 543,7 (2)	0,026 (9)	Y	I-135	6,57 (2) h
1 543,9 (3)	0,177 (15)	Y	Pr-147	13,4 (4) min
1 545,2 (15)	0,10 (4)	Y	Kr-89	3,17 (2) min
1 545,9 (1)	0,067 (4)	Y	Sr-91*	9,63 (5) h
1 546,3 (5)	0,120 (13)	Y	Pr-147	13,4 (4) min
1 547,1	0,032 (10)	Y	Ba-141	18,27 (7) min
1 547,2 (3)	0,050 (11)	Y	Pa-228	22 (1) h
1 547,65 (25)	0,37 (6)	Y	Kr-91	8,57 (4) s
1 547,79 (8)	0,08 (1)	Y	Te-131m*	1,25 (8) d
1 547,8 (5)	0,064 (17)	Y	Rb-90	2,70 (5) min
1 548,621 (25)	0,038 (4)	Y	Ac-228	6,15 (2) h
1 548,68 (24)	0,149 (11)	Y	Mo-101	14,6 (1) min
1 548,9 (4)	0,076 (19)	Y	Xe-138	14,08 (8) min
1 549,26 (10)	0,001 6 (9)	Y	Re-188	17,005 (4) h
1 549,3 (2)	0,112 (20)	Y	Pa-228	22 (1) h

* : Radionucléide en équilibre avec son descendant
(Cf. liste en début de volume)

Énergie (keV)	Intensité (%)	Type	Parent	Période
1 550 (1)	0,001 85 (10)	Y	Pa-234m	1,17 (3) min
1 550,1 (1)	0,072	Y	Pa-234	6,70 (5) h
1 550,2	0,391 (40)	Y	Ba-141	18,27 (7) min
1 550,5 (4)	0,004 7 (8)	Y	Pb-201	9,33 (3) h
1 550,98 (4)	0,015 (5)	Y	Cs-136	13,16 (3) d
1 550,98 (4)	0,009 (9)	Y	Ba-136m	308,4 (19) E-3 s
1 551,7 (2)	0,061 (7)	Y	Br-87	55,65 (13) s
1 552 (1)	0,17 (11)	Y	Te-133m	55,4 (4) min
1 552,18 (6)	2,2 (2)	Y	Kr-90	32,32 (9) s
1 553,6 (3)	0,017 (4)	Y	Sr-91*	9,63 (5) h
1 553,74 (10)	0,009 0 (5)	Y	Pa-234m	1,17 (3) min
1 553,77 (6)	83 (11)	Y	V-50	140 (40) E+15 a
1 553,970 (8)	1,39 (3)	Y	O-19	26,91 (8) s
1 553,98 (15)	0,21	Y	I-137	24,5 (2) s
1 554	0,001 1 (5)	Y	Eu-154	8,601 (4) a
1 554,1 (3)	0,045 (3)	Y	Rb-81*	4,25 (25) h
1 554,58 (15)	0,11 (1)	Y	Br-87	55,65 (13) s
1 554,62 (3)	0,018 3 (18)	Y	Ga-66	9,49 (7) h
1 555,28 (20)	0,153 (21)	Y	Kr-89	3,17 (2) min
1 555,3 (4)	0,61 (18)	Y	Kr-91	8,57 (4) s
1 555,31 (10)	0,366 (23)	Y	Cs-138	33,41 (18) min
1 556,6 (4)	0,000 48 (6)	Y	Tb-160	72,3 (2) d
1 557,03 (17)	0,012 4 (6)	Y	Ge-77	11,30 (1) h
1 557,061 (30)	0,178 (13)	Y	Ac-228	6,15 (2) h
1 557,061 (30)	0,41 (3)	Y	Pa-228	22 (1) h
1 557,2 (5)	0,48 (18)	Y	Kr-91	8,57 (4) s
1 557,3 (1)	0,004 (1)	Y	Sn-125	9,64 (3) d
1 558,2 (4)	0,000 20 (8)	Y	Ba-139	1,384 (5) h
1 558,3 (10)	0,000 71 (10)	Y	Pa-234m	1,17 (3) min
1 558,73 (3)	0,007 8 (10)	Y	Eu-152m	9,3116 (13) h
1 559,0 (4)	0,009 (2)	Y	I-132	2,295 (13) h
1 559,627 (10)	0,021 9 (23)	Y	Ga-66	9,49 (7) h
1 559,7 (2)	0,032 (5)	Y	Pa-228	22 (1) h
1 559,8 (2)	0,165 (7)	Y	I-124	4,1760 (3) d
1 559,85 (20)	0,020 (4)	Y	Ac-228	6,15 (2) h
1 559,9 (7)	0,06 (3)	Y	Ba-141	18,27 (7) min
1 559,9 (4)	0,040 (8)	Y	Pr-147	13,4 (4) min
1 560,0 (5)	0,46 (3)	Y	Br-76	16,2 (2) h
1 560,7 (2)	0,064 (17)	Y	Sr-94	1,235 (5) min
1 561,0 (4)	0,005 3 (20)	Y	Br-87	55,65 (13) s
1 561,0 (1)	0,000 21 (8)	Y	Pr-144	17,29 (3) min
1 561,30 (13)	0,010 (2)	Y	Ta-178	9,29 (4) min
1 561,80 (5)	14,0 (6)	Y	Ni-56	6,079 (10) d
1 562,22 (6)	0,15 (1)	Y	Rh-106	30,0 (2) s
1 562,294 0 (18)	1,21 (3)	Y	Ag-110m	249,78 (2) d
1 562,4 (9)	0,001 08 (17)	Y	Xe-125	16,9 (2) h
1 563 (1)	0,001 8 (5)	Y	As-76	1,0778 (20) d
1 563,6 (4)	0,17 (4)	Y	Kr-91	8,57 (4) s
1 564,0 (2)	0,07 (2)	Y	Te-133	12,45 (30) min
1 564,0 (2)	0,010 0 (13)	Y	Xe-137	3,818 (13) min
1 564,92 (9)	64 (7)	Y	Br-86	55,1 (4) s
1 565,15 (8)	0,021 (3)	Y	Ir-194	19,3 (1) h
1 566,41 (3)	1,29 (5)	Y	I-135	6,57 (2) h
1 567,0 (2)	0,011 3	Y	Pa-234	6,70 (5) h
1 567,09 (3)	99,8 (20)	Y	Tl-209	2,20 (1) min
1 567,1 (5)	0,23 (6)	Y	I-138	6,49 (7) s
1 567,9 (1)	0,007 7 (6)	Y	As-76	1,0778 (20) d
1 568,1 (2)	0,200 (7)	Y	Ga-72	14,10 (2) h
1 568,3	0,28 (4)	Y	Ba-141	18,27 (7) min
1 568,47 (8)	0,96 (8)	Y	Br-76	16,2 (2) h
1 569,39 (10)	0,057 1 (23)	Y	Ge-77	11,30 (1) h
1 569,77 (7)	0,085 (7)	Y	Xe-137	3,818 (13) min
1 569,8	0,046 (24)	Y	Ba-141	18,27 (7) min
1 570,0 (3)	0,11 (6)	Y	Te-133m	55,4 (4) min
1 570,6 (4)	0,270 (44)	Y	Tl-200	1,088 (5) d
1 570,68 (10)	0,001 22 (20)	Y	Pa-234m	1,17 (3) min
1 571,41 (12)	0,005 7 (16)	Y	Ac-228	6,15 (2) h
1 571,60 (14)	0,82 (2)	Y	Ga-72	14,10 (2) h
1 571,8 (10)	0,068 (21)	Y	Kr-89	3,17 (2) min
1 571,84 (16)	0,26 (3)	Y	Xe-138	14,08 (8) min
1 572,3 (6)	0,001 7 (2)	Y	Rh-106	30,0 (2) s
1 572,4 (2)	0,001 1 (3)	Y	Ag-110m	249,78 (2) d
1 573,3 (3)	0,065 (8)	Y	Pa-228	22 (1) h
1 573,389 (24)	0,033 (3)	Y	Ac-228	6,15 (2) h
1 573,5 (2)	0,28 (12)	Y	Te-133m	55,4 (4) min
1 573,6 (10)	0,052 (26)	Y	Tl-200	1,088 (5) d
1 573,69 (3)	0,658 (18)	Y	Ge-77	11,30 (1) h
1 573,7 (5)	0,000 3 (3)	Y	Kr-79	35,04 (10) h
1 573,78 (20)	0,191 (22)	Y	Kr-89	3,17 (2) min
1 574,57 (25)	0,000 63 (11)	Y	Re-188	17,005 (4) h

* : Radionucléide en équilibre avec son descendant
(Cf. liste en début de volume)

Énergie (keV)	Intensité (%)	Type	Parent	Période
1 574,83 (15)	0,072 (10)	Y	Xe-137	3,818 (13) min
1 575,0 (8)	1,29 (20)	Y	Sb-132	2,79 (5) min
1 576,75 (10)	0,103 (10)	Y	Xe-137	3,818 (13) min
1 576,9 (7)	0,11 (4)	Y	Rb-90m	4,30 (7) min
1 577,2 (2)	0,000 96 (5)	Y	Rh-106	30,0 (2) s
1 577,308 (20)	0,004 0 (7)	Y	Ga-66	9,49 (7) h
1 577,60 (7)	6,0 (4)	Y	Br-87	55,65 (13) s
1 577,6 (6)	0,10 (3)	Y	Kr-91	8,57 (4) s
1 578,03 (14)	0,129 (12)	Y	Kr-87	1,272 (8) h
1 578,1 (5)	0,050 (19)	Y	Xe-138	14,08 (8) min
1 578,2 (4)	0,000 52 (14)	Y	Ba-139	1,384 (5) h
1 578,2 (2)	0,124 (14)	Y	Pa-228	22 (1) h
1 579,5 (4)	0,20 (4)	Y	Xe-139	39,68 (14) s
1 579,7 (1)	0,152 (12)	Y	Sb-124	60,20 (3) d
1 579,9 (1)	0,072	Y	Pa-234	6,70 (5) h
1 580,1 (2)	0,007 5 (15)	Y	Te-131	25,0 (1) min
1 580,21 (40)	0,05	Y	I-137	24,5 (2) s
1 580,53 (3)	0,60 (4)	Y	Ac-228	6,15 (2) h
1 580,53 (3)	0,203 (17)	Y	Pa-228	22 (1) h
1 580,9 (3)	0,29 (5)	Y	Tc-104	18,3 (3) min
1 581,0 (8)	0,17 (11)	Y	Te-133m	55,4 (4) min
1 581,852 (15)	0,186 (4)	Y	Ho-166	26,795 (29) h
1 582,9 (3)	0,090 (15)	Y	Kr-89	3,17 (2) min
1 583,1 (3)	0,082 (8)	Y	Mo-101	14,6 (1) min
1 583,22 (4)	0,707 (5)	Y	Bi-214	19,9 (4) min
1 583,51 (19)	0,38 (4)	Y	Kr-91	8,57 (4) s
1 584,7 (4)	0,12 (4)	Y	Xe-139	39,68 (14) s
1 585,7 (3)	0,18 (5)	Y	Xe-140	13,6 (1) s
1 585,9 (1)	0,144	Y	Pa-234	6,70 (5) h
1 587,6 (5)	0,002 6 (9)	Y	Pb-201	9,33 (3) h
1 587,66 (6)	1,44 (18)	Y	Te-133m	55,4 (4) min
1 587,9 (6)	0,034 (13)	Y	Y-94	18,7 (1) min
1 588,20 (3)	3,22 (8)	Y	Ac-228	6,15 (2) h
1 588,20 (3)	3,5 (3)	Y	Pa-228	22 (1) h
1 588,6	0,08 (4)	Y	Ba-141	18,27 (7) min
1 589,2 (5)	0,11 (4)	Y	Kr-91	8,57 (4) s
1 589,36 (3)	4,2 (2)	Y	Mg-28	20,91 (3) h
1 589,67 (9)	0,271 (12)	Y	Mo-101	14,6 (1) min
1 589,93 (3)	0,002 9 (4)	Y	I-133	20,87 (8) h
1 590 (30)	2 (1)	Y	Tl-210	1,30 (3) min
1 590,3 (3)	0,140 (18)	Y	Rb-90	2,70 (5) min
1 591,4 (2)	0,025 (7)	Y	Sn-125	9,64 (3) d
1 592,80 (15)	0,020 7 (8)	Y	Ag-110m	249,78 (2) d
1 592,9 (3)	0,047 (4)	Y	I-132	2,295 (13) h
1 593,6 (3)	0,34 (5)	Y	Tc-104	18,3 (3) min
1 593,7 (5)	0,003 84 (30)	Y	Pa-234m	1,17 (3) min
1 593,9 (4)	0,165 (20)	Y	Pr-147	13,4 (4) min
1 594,0 (6)	0,003 1 (7)	Y	Xe-137	3,818 (13) min
1 594,0 (1)	0,31	Y	Pa-234	6,70 (5) h
1 594,15 (17)	0,41 (5)	Y	Rb-91	58,4 (4) s
1 594,73 (8)	0,274 (15)	Y	Bi-214	19,9 (4) min
1 594,8 (9)	0,022 (6)	Y	Mo-101	14,6 (1) min
1 595,3 (3)	0,002 1 (3)	Y	Ba-139	1,384 (5) h
1 595,77 (10)	0,001 6 (3)	Y	Ir-194	19,3 (1) h
1 596,2 (5)	0,019 (7)	Y	Rb-89	15,2 (1) min
1 596,203 (13)	95,40 (8)	Y	La-140	1,67850 (17) d
1 596,480 4 (28)	1,783 (17)	Y	Eu-154	8,601 (4) a
1 596,68 (8)	4,23 (9)	Y	Ga-72	14,10 (2) h
1 596,7 (1)	4,2 (4)	Y	Tc-104	18,3 (3) min
1 599,26 (5)	1,75 (8)	Y	Mo-101	14,6 (1) min
1 599,31 (6)	0,322 (15)	Y	Bi-214	19,9 (4) min
1 600,06 (30)	0,046	Y	I-137	24,5 (2) s
1 600,6	0,064 (15)	Y	Ba-141	18,27 (7) min
1 600,7 (3)	0,072 (15)	Y	Kr-89	3,17 (2) min
1 601,4 (10)	0,000 13 (3)	Y	Ba-139	1,384 (5) h
1 601,5 (2)	0,19 (5)	Y	Tc-104	18,3 (3) min
1 601,8 (1)	0,50 (3)	Y	Cs-140	1,062 (5) min
1 601,8 (15)	0,000 47 (15)	Y	Pa-234m	1,17 (3) min
1 601,90 (12)	0,002 0 (3)	Y	Ir-194	19,3 (1) h
1 602,0 (4)	0,094 (20)	Y	Br-87	55,65 (13) s
1 603,28 (6)	0,003 9 (6)	Y	Ni-57	35,9 (3) h
1 603,52 (20)	0,46 (5)	Y	Rb-90m	4,30 (7) min
1 603,79 (5)	0,460 (4)	Y	Kr-88	2,84 (3) h
1 603,9 (3)	0,172 (17)	Y	Xe-123	2,08 (2) h
1 604,50 (14)	1,17 (10)	Y	Tl-200	1,088 (5) d
1 604,8 (2)	0,008 5 (10)	Y	La-141	3,92 (3) h
1 605,3 (6)	0,042 (6)	Y	Mo-101	14,6 (1) min
1 605,61 (7)	0,008 1 (4)	Y	Eu-152	13,522 (16) a
1 606,2 (2)	0,068 (7)	Y	Pr-147	13,4 (4) min
1 607,32 (7)	1,40 (9)	Y	Br-87	55,65 (13) s

* : Radionucléide en équilibre avec son descendant
(Cf. liste en début de volume)

Énergie (keV)	Intensité (%)	Type	Parent	Période
1 607,7 (4)	0,19 (4)	Y	Cs-140	1,062 (5) min
1 608,01 (20)	0,069 (18)	Y	Kr-88	2,84 (3) h
1 608,36 (8)	0,005 3 (3)	Y	Eu-152	13,522 (16) a
1 608,7 (6)	0,095 (12)	Y	Xe-139	39,68 (14) s
1 609,0 (3)	0,12 (4)	Y	Tc-104	18,3 (3) min
1 609,2 (3)	0,089 (8)	Y	Mo-101	14,6 (1) min
1 609,27 (10)	0,007 7 (15)	Y	Ac-228	6,15 (2) h
1 609,3	0,041 (10)	Y	Ba-141	18,27 (7) min
1 609,6 (1)	0,086 (8)	Y	Pa-228	22 (1) h
1 610,40 (5)	0,098 (8)	Y	Re-188	17,005 (4) h
1 611,18 (14)	0,104 (16)	Y	Kr-87	1,272 (8) h
1 611,2 (4)	0,007 7 (6)	Y	As-76	1,0778 (20) d
1 611,6 (1)	0,090 (15)	Y	Xe-139	39,68 (14) s
1 611,9 (5)	0,28 (6)	Y	Br-76	16,2 (2) h
1 612,4 (1)	5,8 (6)	Y	Tc-104	18,3 (3) min
1 612,4 (4)	0,15 (3)	Y	Xe-139	39,68 (14) s
1 612,52 (6)	0,125 (10)	Y	Xe-137	3,818 (13) min
1 613,6 (4)	0,039 (6)	Y	Ga-72	14,10 (2) h
1 613,75 (14)	0,026 (6)	Y	I-135	6,57 (2) h
1 613,800 (43)	4,29 (19)	Y	I-134	52,5 (2) min
1 613,8 (1)	0,26 (3)	Y	Xe-139	39,68 (14) s
1 613,9 (1)	0,73 (4)	Y	Cs-140	1,062 (5) min
1 614,07 (14)	1,04 (10)	Y	Kr-91	8,57 (4) s
1 614,26 (12)	0,137 (23)	Y	Cs-138	33,41 (18) min
1 614,57 (18)	0,24 (3)	Y	Xe-138	14,08 (8) min
1 615,0 (4)	0,056 (6)	Y	Mo-101	14,6 (1) min
1 615,0 (3)	0,16 (3)	Y	Xe-139	39,68 (14) s
1 615,86 (9)	2,47 (19)	Y	Rb-91	58,4 (4) s
1 616,3 (3)	0,054 (9)	Y	Pr-147	13,4 (4) min
1 617,05 (40)	0,032	Y	I-137	24,5 (2) s
1 617,45 (15)	0,024 5 (24)	Y	Pb-201	9,33 (3) h
1 617,9 (2)	0,010 (5)	Y	I-132	2,295 (13) h
1 618 (10)	0,084 (8)	Y	Pa-228	22 (1) h
1 618,3 (2)	0,009	Y	Pa-234	6,70 (5) h
1 618,9 (3)	0,007 (5)	Y	I-132	2,295 (13) h
1 620,00 (15)	0,3 (1)	Y	Mg-28	20,91 (3) h
1 620,22 (22)	0,152 (20)	Y	Kr-90	32,32 (9) s
1 620,67 (10)	0,46 (4)	Y	Pa-228	22 (1) h
1 620,74 (1)	1,51 (3)	Y	Bi-212	60,54 (6) min
1 620,8 (2)	0,073 (5)	Y	Zr-89	78,41 (12) h
1 621,4	0,069 (19)	Y	Ba-141	18,27 (7) min
1 621,7 (1)	0,053 (4)	Y	I-124	4,1760 (3) d
1 622,20 (18)	0,064 (9)	Y	Ir-194	19,3 (1) h
1 622,4 (3)	0,030 (5)	Y	Sb-124	60,20 (3) d
1 623,42 (6)	0,498 (15)	Y	Ni-65	2,5172 (3) h
1 623,60 (9)	0,142 (14)	Y	Pr-147	13,4 (4) min
1 623,68 (13)	0,53 (6)	Y	I-138	6,49 (7) s
1 624,13 (14)	0,005 4 (11)	Y	Ge-77	11,30 (1) h
1 624,8 (5)	0,50 (5)	Y	Rb-91	58,4 (4) s
1 625,06 (5)	0,255 (18)	Y	Ac-228	6,15 (2) h
1 625,06 (5)	0,065 (14)	Y	Pa-228	22 (1) h
1 625,4 (3)	0,72 (6)	Y	Rb-91	58,4 (4) s
1 625,9 (3)	0,59 (5)	Y	Xe-123	2,08 (2) h
1 625,903 (47)	0,154 (10)	Y	Nb-96	23,35 (5) h
1 626,29 (14)	0,046 (7)	Y	Eu-156	15,19 (8) d
1 626,7 (4)	0,33 (10)	Y	Kr-91	8,57 (4) s
1 626,8 (3)	0,013 (4)	Y	Sr-91*	9,63 (5) h
1 627,2 (10)	0,09 (5)	Y	Cs-140	1,062 (5) min
1 627,3 (1)	0,075	Y	Pa-234	6,70 (5) h
1 628,35 (15)	0,1	Y	I-137	24,5 (2) s
1 628,49 (14)	0,91 (8)	Y	Rb-91	58,4 (4) s
1 629,13 (20)	0,024 (7)	Y	Nb-97	1,202 (12) h
1 629,24 (8)	0,20 (4)	Y	I-134	52,5 (2) min
1 629,4 (5)	0,049 (6)	Y	Mo-101	14,6 (1) min
1 629,75 (15)	0,004 0 (5)	Y	Ag-110m	249,78 (2) d
1 629,9 (2)	0,002 3 (5)	Y	Ag-110	24,56 (11) s
1 630 (1)	0,032 (6)	Y	Ga-72	14,10 (2) h
1 630,0 (5)	0,034 0 (13)	Y	Y-94	18,7 (1) min
1 630,1 (3)	0,025 (12)	Y	Te-133	12,45 (30) min
1 630,629 (12)	1,51 (4)	Y	Ac-228	6,15 (2) h
1 630,629 (12)	0,247 (18)	Y	Pa-228	22 (1) h
1 630,9 (6)	0,002 5 (8)	Y	Pb-201	9,33 (3) h
1 631,2 (3)	0,081 (8)	Y	Tl-200	1,088 (5) d
1 631,36 (10)	0,033 (4)	Y	Pr-144m	7,2 (3) min
1 631,78 (20)	0,084 (17)	Y	Rb-90	2,70 (5) min
1 633,2 (5)	0,006 7 (9)	Y	Rb-81m	30,25 (25) min
1 633,5 (7)	0,14 (11)	Y	Kr-91	8,57 (4) s
1 633,7 (2)	0,12 (4)	Y	Tc-104	18,3 (3) min
1 633,7 (2)	0,07 (2)	Y	Te-133	12,45 (30) min
1 634,0 (8)	0,99 (20)	Y	Sb-132	2,79 (5) min

* : Radionucléide en équilibre avec son descendant
(Cf. liste en début de volume)

Énergie (keV)	Intensité (%)	Type	Parent	Période
1 634,06 (10)	0,82 (8)	Y	Kr-89	3,17 (2) min
1 634,46 (7)	0,003 5 (6)	Y	Ga-66	9,49 (7) h
1 634,9 (1)	2,51 (12)	Y	Cs-140	1,062 (5) min
1 635,2 (1)	0,073 (10)	Y	Xe-139	39,68 (14) s
1 635,2 (5)	0,000 15 (5)	Y	Eu-152	13,522 (16) a
1 635,8 (2)	0,63 (8)	Y	Tc-104	18,3 (3) min
1 636,05 (5)	0,99 (5)	Y	Ne-23	37,24 (12) s
1 636,3 (2)	0,011 1 (16)	Y	Bi-214	19,9 (4) min
1 636,5 (6)	0,012 (4)	Y	I-132	2,295 (13) h
1 636,53 (3)	0,720 (25)	Y	Eu-150	36,9 (9) a
1 637,7 (5)	0,209 (8)	Y	I-124	4,1760 (3) d
1 638,1 (1)	0,206	Y	Pa-234	6,70 (5) h
1 638,281 (10)	0,47 (3)	Y	Ac-228	6,15 (2) h
1 638,281 (10)	0,185 (14)	Y	Pa-228	22 (1) h
1 638,4 (4)	0,012 (2)	Y	Rb-81m	30,25 (25) min
1 639,1 (5)	0,008 (2)	Y	I-132	2,295 (13) h
1 639,1 (5)	0,003 5 (8)	Y	Pb-201	9,33 (3) h
1 639,5 (6)	0,006 5 (17)	Y	Ge-77	11,30 (1) h
1 640,24 (20)	0,18 (3)	Y	Br-87	55,65 (13) s
1 640,450 (5)	0,062 1 (21)	Y	Co-56	77,236 (26) d
1 640,5 (3)	0,01	Y	Pa-234	6,70 (5) h
1 641,7 (3)	0,157 (21)	Y	Xe-139	39,68 (14) s
1 642 (3)	0,13 (5)	Y	Br-76	16,2 (2) h
1 642,5	0,083 (15)	Y	Ba-141	18,27 (7) min
1 642,6 (4)	0,021 0 (17)	Y	Ge-77	11,30 (1) h
1 642,7 (1)	0,052 (8)	Y	Y-93	10,1 (2) h
1 643 (1)	31,9 (10)	Y	Cl-38	37,24 (5) min
1 643,6 (5)	0,33 (12)	Y	Te-133m	55,4 (4) min
1 643,6 (1)	0,001 5 (4)	Y	Eu-152	13,522 (16) a
1 643,82 (10)	0,34 (4)	Y	Kr-89	3,17 (2) min
1 644,0 (6)	0,013 (4)	Y	I-132	2,295 (13) h
1 644,2 (3)	0,025 (7)	Y	Rb-89	15,2 (1) min
1 644,25 (7)	0,40 (5)	Y	I-134	52,5 (2) min
1 644,5 (8)	2,0 (4)	Y	Sb-132	2,79 (5) min
1 644,9 (2)	0,01	Y	Pa-234	6,70 (5) h
1 645,78 (3)	0,052 (4)	Y	Mn-52	5,595 (3) d
1 645,96 (5)	1,3 (3)	Y	Te-131m*	1,25 (8) d
1 646 (1)	0,003 0 (4)	Y	Sr-91*	9,63 (5) h
1 646,2 (3)	0,28 (12)	Y	Te-133m	55,4 (4) min
1 646,4 (3)	0,078 (8)	Y	Mo-101	14,6 (1) min
1 646,5 (3)	0,066 (13)	Y	Xe-138	14,08 (8) min
1 646,51 (23)	0,26 (4)	Y	Rb-91	58,4 (4) s
1 647,41 (14)	0,006 4 (4)	Y	Eu-152	13,522 (16) a
1 647,5 (7)	0,002 (1)	Y	Tl-208	3,060 (8) min
1 648,5 (10)	0,073 (22)	Y	Cs-140	1,062 (5) min
1 650 (30)	2 (1)	Y	Tl-210	1,30 (3) min
1 650,2 (2)	0,003	Y	Pa-234	6,70 (5) h
1 650,22 (24)	0,17 (4)	Y	Kr-91	8,57 (4) s
1 650,339 (8)	0,75 (2)	Y	Br-82	1,4708 (13) d
1 651,0 (2)	0,009 5 (30)	Y	Te-131	25,0 (1) min
1 651,1 (5)	0,147 (27)	Y	Cs-140	1,062 (5) min
1 651,14 (20)	0,004 4 (7)	Y	Xe-137	3,818 (13) min
1 651,4 (5)	0,291 (11)	Y	Sr-91*	9,63 (5) h
1 651,7 (2)	0,023 (5)	Y	Y-93	10,1 (2) h
1 652,49 (14)	0,003 5 (4)	Y	Re-188	17,005 (4) h
1 652,8 (3)	0,11 (3)	Y	Xe-139	39,68 (14) s
1 653,3 (4)	0,076 (6)	Y	Mo-101	14,6 (1) min
1 653,6 (1)	0,26 (4)	Y	Xe-139	39,68 (14) s
1 653,6	0,92 (8)	Y	Ba-141	18,27 (7) min
1 654,7 (5)	0,118 (23)	Y	Br-76	16,2 (2) h
1 655,19 (10)	0,23 (3)	Y	I-134	52,5 (2) min
1 655,3 (4)	0,059 (10)	Y	Br-87	55,65 (13) s
1 655,7 (1)	0,026	Y	Pa-234	6,70 (5) h
1 656,8 (4)	0,132 (13)	Y	Xe-123	2,08 (2) h
1 657,00 (19)	0,047 (5)	Y	Bi-214	19,9 (4) min
1 657,3 (2)	0,106 (5)	Y	Zr-89	78,41 (12) h
1 657,6 (5)	0,040 (13)	Y	Kr-89	3,17 (2) min
1 658,18 (6)	1,33 (11)	Y	Kr-90	32,32 (9) s
1 658,9 (3)	0,43 (6)	Y	Rb-90m	4,30 (7) min
1 659,4 (5)	0,10 (3)	Y	Kr-91	8,57 (4) s
1 659,58 (9)	0,21 (2)	Y	Br-87	55,65 (13) s
1 661 (2)	0,14 (6)	Y	Br-76	16,2 (2) h
1 661,2 (3)	0,24 (7)	Y	Xe-140	13,6 (1) s
1 661,28 (6)	1,048 (9)	Y	Bi-214	19,9 (4) min
1 661,3 (3)	0,090 (21)	Y	Kr-88	2,84 (3) h
1 661,4 (5)	0,016 (3)	Y	I-132	2,295 (13) h
1 662,424 (15)	0,118 (5)	Y	Ho-166	26,795 (29) h
1 662,49 (6)	0,70 (2)	Y	Mo-101	14,6 (1) min
1 662,9 (2)	0,184 (18)	Y	Cs-140	1,062 (5) min
1 664,8 (3)	0,018	Y	Pa-234	6,70 (5) h

* : Radionucléide en équilibre avec son descendant
(Cf. liste en début de volume)

Énergie (keV)	Intensité (%)	Type	Parent	Période
1 665,30 (7)	0,053 (4)	Y	Xe-137	3,818 (13) min
1 665,4 (1)	0,045 (8)	Y	Xe-139	39,68 (14) s
1 665,61 (7)	0,215 (15)	Y	Rb-90	2,70 (5) min
1 665,61 (7)	4,80 (23)	Y	Rb-90m	4,30 (7) min
1 665,8 (2)	0,015 (6)	Y	Bi-214	19,9 (4) min
1 666,2 (6)	0,045 (8)	Y	Xe-139	39,68 (14) s
1 666,518 (7)	0,178 (13)	Y	Ac-228	6,15 (2) h
1 666,53 (6)	0,312 (23)	Y	Pa-228	22 (1) h
1 666,65 (20)	0,034 (10)	Y	Rb-88	17,8 (1) min
1 666,73 (13)	1,06 (15)	Y	Kr-91	8,57 (4) s
1 667,3 (2)	0,001 9 (3)	Y	Eu-154	8,601 (4) a
1 667,51 (20)	0,129 (16)	Y	Kr-89	3,17 (2) min
1 667,6 (10)	0,000 83 (12)	Y	Pa-234m	1,17 (3) min
1 668,4 (1)	0,76	Y	Pa-234	6,70 (5) h
1 668,9 (6)	0,15 (6)	Y	Rb-90	2,70 (5) min
1 669,97 (7)	0,010 4 (8)	Y	Re-188	17,005 (4) h
1 670,33 (8)	1,10 (12)	Y	Xe-139	39,68 (14) s
1 670,72 (10)	0,005 8 (8)	Y	Ir-194	19,3 (1) h
1 671,19 (7)	0,16 (2)	Y	Te-133	12,45 (30) min
1 671,3 (4)	0,022 (4)	Y	I-132	2,295 (13) h
1 671,4 (1)	2,5 (3)	Y	Y-94	18,7 (1) min
1 671,64 (15)	0,004 1 (13)	Y	Ac-228	6,15 (2) h
1 672,02 (10)	0,026 1 (24)	Y	Pb-201	9,33 (3) h
1 672,4 (5)	0,24 (8)	Y	Br-76	16,2 (2) h
1 672,8 (1)	0,034	Y	Pa-234	6,70 (5) h
1 673,2 (1)	0,120 (13)	Y	Pr-147	13,4 (4) min
1 673,28 (9)	1,23 (12)	Y	I-138	6,49 (7) s
1 673,91 (6)	1,68 (8)	Y	Mo-101	14,6 (1) min
1 674,0 (5)	0,001 7 (4)	Y	Eu-154	8,601 (4) a
1 674,3 (2)	0,007 (1)	Y	Ag-110	24,56 (11) s
1 674,30 (6)	0,006 0 (8)	Y	Eu-152	13,522 (16) a
1 674,725 (7)	0,52 (1)	Y	Co-58	70,83 (10) d
1 675,24 (17)	0,000 86 (18)	Y	Ir-194	19,3 (1) h
1 675,8 (4)	0,112 (8)	Y	I-124	4,1760 (3) d
1 675,83 (19)	0,38 (4)	Y	Kr-91	8,57 (4) s
1 676,8 (1)	7,8 (8)	Y	Tc-104	18,3 (3) min
1 676,9 (3)	0,141 (24)	Y	Kr-89	3,17 (2) min
1 677,2 (3)	0,052 (5)	Y	Ar-41	1,827 (1) h
1 677,684 (25)	0,054 (5)	Y	Ac-228	6,15 (2) h
1 677,9 (1)	0,061 (6)	Y	Pa-228	22 (1) h
1 678,027 (21)	9,6 (4)	Y	I-135	6,57 (2) h
1 678,62 (19)	0,26 (4)	Y	I-138	6,49 (7) s
1 678,82 (18)	0,003 5 (7)	Y	Ta-178	9,29 (4) min
1 678,96 (13)	0,004 2 (6)	Y	Pb-201	9,33 (3) h
1 679,3 (6)	0,006 (2)	Y	I-132	2,295 (13) h
1 679,45 (1)	0,07 (1)	Y	Bi-212	60,54 (6) min
1 679,5 (1)	0,076	Y	Pa-234	6,70 (5) h
1 679,7 (2)	0,047 (10)	Y	Rb-88	17,8 (1) min
1 680 (1)	0,09 (5)	Y	Te-133	12,45 (30) min
1 680,3 (5)	0,084 (21)	Y	Kr-89	3,17 (2) min
1 680,52 (5)	0,005 2 (7)	Y	Eu-152m	9,3116 (13) h
1 680,54 (15)	0,12	Y	I-137	24,5 (2) s
1 680,77 (7)	0,90 (5)	Y	Ga-72	14,10 (2) h
1 681,1 (3)	0,19 (9)	Y	Xe-139	39,68 (14) s
1 681,2 (3)	0,17 (4)	Y	Kr-91	8,57 (4) s
1 682,10 (12)	0,272 (24)	Y	Eu-156	15,19 (8) d
1 682,3	1,70 (15)	Y	Ba-141	18,27 (7) min
1 682,7 (4)	0,014 (2)	Y	Rb-81m	30,25 (25) min
1 682,9 (2)	0,14 (2)	Y	Te-133	12,45 (30) min
1 683,1 (3)	0,002 6 (3)	Y	Ba-139	1,384 (5) h
1 683,2 (1)	0,057 (7)	Y	Pr-147	13,4 (4) min
1 683,23 (2)	4,14 (23)	Y	Te-133m	55,4 (4) min
1 683,8 (4)	0,13 (3)	Y	Kr-89	3,17 (2) min
1 683,99 (4)	0,217 (3)	Y	Bi-214	19,9 (4) min
1 684,01 (20)	0,015 (5)	Y	Ac-228	6,15 (2) h
1 685,58 (15)	0,19 (2)	Y	Br-87	55,65 (13) s
1 685,6 (4)	0,66 (8)	Y	Kr-88	2,84 (3) h
1 685,7 (1)	0,31	Y	Pa-234	6,70 (5) h
1 686,124 (30)	0,095 (8)	Y	Ac-228	6,15 (2) h
1 686,15 (7)	0,223 (17)	Y	Pa-228	22 (1) h
1 686,2 (6)	0,12 (4)	Y	Rb-90m	4,30 (7) min
1 686,8 (3)	0,61 (7)	Y	Xe-123	2,08 (2) h
1 687,4 (3)	0,000 6	Y	Rh-106	30,0 (2) s
1 687,9 (4)	0,010 (2)	Y	Rb-81m	30,25 (25) min
1 690,668 (17)	0,15 (5)	Y	Eu-150	36,9 (9) a
1 690,980 (6)	47,6 (2)	Y	Sb-124	60,20 (3) d
1 690,980 (6)	10,88 (17)	Y	I-124	4,1760 (3) d
1 691,2 (10)	0,000 29 (4)	Y	Ba-139	1,384 (5) h
1 692,0 (12)	0,26 (11)	Y	Kr-89	3,17 (2) min
1 692,07 (25)	0,27 (5)	Y	Rb-90m	4,30 (7) min

* : Radionucléide en équilibre avec son descendant
(Cf. liste en début de volume)

Énergie (keV)	Intensité (%)	Type	Parent	Période
1 692,6 (5)	0,078 (21)	γ	Kr-90	32,32 (9) s
1 693,1 (3)	0,000 66 (15)	γ	Rh-106	30,0 (2) s
1 693,3 (3)	0,011 (6)	γ	Te-133m	55,4 (4) min
1 693,3 (1)	0,074 (7)	γ	La-141	3,92 (3) h
1 693,35 (14)	0,079 (7)	γ	Tl-200	1,088 (5) d
1 693,7 (1)	4,4 (4)	γ	Kr-89	3,17 (2) min
1 693,8 (2)	0,69	γ	Pa-234	6,70 (5) h
1 694,0 (3)	0,017 (3)	γ	Rb-81m	30,25 (25) min
1 694,1 (10)	0,000 46 (6)	γ	Pa-234m	1,17 (3) min
1 695,0 (3)	0,27	γ	Pa-234	6,70 (5) h
1 695,2 (19)	0,013 (8)	γ	Kr-90	32,32 (9) s
1 696,16 (7)	1,65 (9)	γ	Rb-90m	4,30 (7) min
1 696,78 (20)	0,1	γ	I-137	24,5 (2) s
1 697,3 (2)	0,062 (25)	γ	Te-133	12,45 (30) min
1 697,33 (19)	0,27 (4)	γ	I-138	6,49 (7) s
1 697,6 (5)	0,15 (5)	γ	Kr-91	8,57 (4) s
1 698,8 (2)	0,001 7 (3)	γ	Ag-110m	249,78 (2) d
1 700,2 (5)	0,16 (6)	γ	Xe-139	39,68 (14) s
1 700,47 (12)	0,010 1 (23)	γ	Ac-228	6,15 (2) h
1 700,5 (2)	0,103	γ	Pa-234	6,70 (5) h
1 701,8 (15)	0,13 (6)	γ	Cs-140	1,062 (5) min
1 702,452 (24)	0,048 (5)	γ	Ac-228	6,15 (2) h
1 702,6 (3)	0,107 (12)	γ	Pa-228	22 (1) h
1 703,59 (5)	0,005 4 (19)	γ	Ga-66	9,49 (7) h
1 704,4 (1)	0,72 (7)	γ	Te-133m	55,4 (4) min
1 704,67 (40)	0,055	γ	I-137	24,5 (2) s
1 705,5 (3)	0,014 (3)	γ	I-124	4,1760 (3) d
1 706 (1)	0,06 (3)	γ	Te-133	12,45 (30) min
1 706,166 (17)	0,008 5 (10)	γ	Ac-228	6,15 (2) h
1 706,166 (17)	0,265 (20)	γ	Pa-228	22 (1) h
1 706,459 (21)	4,10 (17)	γ	I-135	6,57 (2) h
1 707,1 (2)	0,24 (5)	γ	I-138	6,49 (7) s
1 707,4 (2)	1,27 (7)	γ	Cs-140	1,062 (5) min
1 707,9 (8)	0,024 (11)	γ	Kr-89	3,17 (2) min
1 708,9 (2)	0,36 (9)	γ	Tc-104	18,3 (3) min
1 709,81 (3)	0,307 (7)	γ	Ge-77	11,30 (1) h
1 710,0 (4)	0,24 (8)	γ	Kr-91	8,57 (4) s
1 710,7 (6)	0,034 (13)	γ	Kr-89	3,17 (2) min
1 710,90 (14)	0,388 (12)	γ	Ga-72	14,10 (2) h
1 711,0 (8)	0,023 (5)	γ	Bi-214	19,9 (4) min
1 711,15 (15)	0,045 (11)	γ	Ga-72	14,10 (2) h
1 711,44 (17)	0,28 (7)	γ	Xe-139	39,68 (14) s
1 712,0 (4)	0,21 (5)	γ	Rb-91	58,4 (4) s
1 712,7	0,21 (4)	γ	Ba-141	18,27 (7) min
1 712,93 (15)	0,198 (12)	γ	Mo-101	14,6 (1) min
1 713,0 (6)	0,745 (13)	γ	Zr-89	78,41 (12) h
1 713,0 (5)	0,37 (7)	γ	Te-133	12,45 (30) min
1 713,12 (4)	0,005 4 (10)	γ	Ac-228	6,15 (2) h
1 713,12 (4)	0,005 (5)	γ	Pa-228	22 (1) h
1 713,602 (12)	0,024 3 (23)	γ	Ga-66	9,49 (7) h
1 715,06 (10)	0,047 (4)	γ	Pa-228	22 (1) h
1 715,28 (11)	0,001 31 (21)	γ	Ir-194	19,3 (1) h
1 715,4 (4)	0,055 (4)	γ	I-132	2,295 (13) h
1 715,51 (10)	0,42	γ	I-137	24,5 (2) s
1 715,9 (3)	0,190 (25)	γ	Xe-123	2,08 (2) h
1 716,9 (5)	0,000 6 (3)	γ	Eu-154	8,601 (4) a
1 717,1 (3)	0,107 (23)	γ	Cs-138	33,41 (18) min
1 717,61 (1)	3,18 (15)	γ	Te-133	12,45 (30) min
1 718,1 (2)	0,283 (25)	γ	Cs-140	1,062 (5) min
1 718,35 (14)	0,331 (27)	γ	Tl-200	1,088 (5) d
1 719,66 (3)	0,398 (9)	γ	Ge-77	11,30 (1) h
1 719,7 (2)	0,018	γ	Pa-234	6,70 (5) h
1 719,9 (3)	0,31 (5)	γ	Rb-91	58,4 (4) s
1 720,05 (15)	0,2	γ	I-137	24,5 (2) s
1 720,3 (1)	0,095 (7)	γ	Sb-124	60,20 (3) d
1 720,3 (1)	0,176 (13)	γ	I-124	4,1760 (3) d
1 720,5 (15)	0,000 33 (10)	γ	Pa-234m	1,17 (3) min
1 720,6 (5)	0,054 (4)	γ	I-132	2,295 (13) h
1 720,9 (6)	0,001 1 (5)	γ	Xe-137	3,818 (13) min
1 721,29 (15)	0,24 (18)	γ	Kr-89	3,17 (2) min
1 721,4 (3)	0,005 7 (21)	γ	Ac-228	6,15 (2) h
1 722 (1)	0,081 (4)	γ	Te-133	12,45 (30) min
1 722,1 (6)	0,033 (10)	γ	Mo-101	14,6 (1) min
1 722,16 (5)	0,051 2 (12)	γ	Ge-77	11,30 (1) h
1 722,6 (6)	0,106 (16)	γ	Xe-139	39,68 (14) s
1 722,7 (1)	0,69 (8)	γ	Tc-104	18,3 (3) min
1 723,2 (2)	0,015	γ	Pa-234	6,70 (5) h
1 724,0 (5)	0,161 (7)	γ	Sr-91*	9,63 (5) h
1 724,276 (6)	0,029 (3)	γ	Ac-228	6,15 (2) h
1 724,276 (6)	0,047 (6)	γ	Pa-228	22 (1) h

* : Radionucléide en équilibre avec son descendant
(Cf. liste en début de volume)

Énergie (keV)	Intensité (%)	Type	Parent	Période
1 724,54 (15)	0,000 76 (14)	Y	Ir-194	19,3 (1) h
1 724,92 (6)	0,399 (12)	Y	Ni-65	2,5172 (3) h
1 725,2 (3)	0,19 (5)	Y	Kr-91	8,57 (4) s
1 726,3 (3)	0,002 4 (4)	Y	Xe-137	3,818 (13) min
1 727,18 (5)	0,148 (4)	Y	Ge-77	11,30 (1) h
1 727,2 (4)	0,067 (6)	Y	I-132	2,295 (13) h
1 727,52 (15)	0,007 (1)	Y	V-52	3,753 (5) min
1 727,53 (7)	0,22 (2)	Y	Mn-52m	21,2 (4) min
1 727,68 (18)	0,111 (13)	Y	Cs-138	33,41 (18) min
1 727,7	0,092 (15)	Y	Ba-141	18,27 (7) min
1 727,8 (2)	0,02	Y	Pa-234	6,70 (5) h
1 727,85 (16)	0,50 (5)	Y	Kr-91	8,57 (4) s
1 729,595 (15)	2,844 (10)	Y	Bi-214	19,9 (4) min
1 729,9 (6)	0,030 (13)	Y	Kr-89	3,17 (2) min
1 730,45 (6)	0,055 (3)	Y	Ni-57	35,9 (3) h
1 730,5 (2)	0,001 97 (20)	Y	Rh-106	30,0 (2) s
1 732,2 (3)	0,14 (2)	Y	Xe-123	2,08 (2) h
1 732,2 (5)	0,000 046 (20)	Y	Ho-166	26,795 (29) h
1 732,5 (15)	0,021 2 (8)	Y	Pa-234m	1,17 (3) min
1 733,3 (1)	0,086 (13)	Y	Pr-147	13,4 (4) min
1 735,37 (12)	0,002 5 (4)	Y	Ir-194	19,3 (1) h
1 735,4	0,21 (5)	Y	Ba-141	18,27 (7) min
1 735,5 (4)	0,056 (13)	Y	Kr-89	3,17 (2) min
1 735,66 (7)	0,009 2 (6)	Y	Ge-77	11,30 (1) h
1 735,8 (10)	0,54 (11)	Y	Cs-140	1,062 (5) min
1 736,9 (1)	1,87 (19)	Y	Tc-104	18,3 (3) min
1 737,5 (10)	0,32 (11)	Y	Cs-140	1,062 (5) min
1 737,73 (10)	0,074	Y	Pa-234	6,70 (5) h
1 737,73 (10)	0,020 2 (6)	Y	Pa-234m	1,17 (3) min
1 738 (2)	0,05 (3)	Y	Te-133	12,45 (30) min
1 738,13 (10)	0,018 (4)	Y	Ac-228	6,15 (2) h
1 738,48 (5)	0,90 (7)	Y	Pa-228	22 (1) h
1 738,93 (8)	0,023 1 (15)	Y	Rb-90	2,70 (5) min
1 738,93 (8)	1,88 (11)	Y	Rb-90m	4,30 (7) min
1 739,0 (1)	0,015 6 (15)	Y	La-141	3,92 (3) h
1 740,25 (10)	1,42 (13)	Y	Rb-91	58,4 (4) s
1 740,4 (3)	0,011 (3)	Y	Ac-228	6,15 (2) h
1 740,52 (8)	2,04 (11)	Y	Kr-87	1,272 (8) h
1 740,6	0,33 (5)	Y	Ba-141	18,27 (7) min
1 740,904 (16)	0,029 (4)	Y	Ga-66	9,49 (7) h
1 741,1 (2)	0,048	Y	Pa-234	6,70 (5) h
1 741,49 (5)	2,67 (19)	Y	I-134	52,5 (2) min
1 741,57 (8)	0,14 (1)	Y	Te-133	12,45 (30) min
1 741,6 (2)	0,039 (8)	Y	Pa-228	22 (1) h
1 741,78 (13)	0,80 (8)	Y	Kr-91	8,57 (4) s
1 741,9 (10)	0,118 (16)	Y	Br-76	16,2 (2) h
1 742,0 (3)	0,008 0 (23)	Y	Ac-228	6,15 (2) h
1 743,2 (2)	0,033	Y	Pa-234	6,70 (5) h
1 743,5 (3)	0,054 (6)	Y	Rb-81m	30,25 (25) min
1 743,9 (2)	0,002 (1)	Y	Tl-208	3,060 (8) min
1 744,3 (5)	0,069 (20)	Y	Br-87	55,65 (13) s
1 744,42 (13)	0,009 5 (5)	Y	Ga-68	1,1275 (10) h
1 744,5 (2)	0,123 (4)	Y	Zr-89	78,41 (12) h
1 744,6 (2)	1,07 (15)	Y	I-138	6,49 (7) s
1 745,28 (20)	0,006 5 (8)	Y	Ac-228	6,15 (2) h
1 746,2 (2)	0,032 (4)	Y	Pa-228	22 (1) h
1 746,40 (18)	0,057 (6)	Y	Tl-200	1,088 (5) d
1 747,3 (3)	0,038 (5)	Y	Rb-90	2,70 (5) min
1 747,3 (3)	0,24 (4)	Y	Rb-90m	4,30 (7) min
1 748,7 (5)	0,07 (3)	Y	Cs-138	33,41 (18) min
1 749,837 (14)	0,027 2 (10)	Y	Ho-166	26,795 (29) h
1 750,0 (1)	0,064	Y	Pa-234	6,70 (5) h
1 750,24 (22)	1,18 (14)	Y	Zr-97	16,90 (5) h
1 750,33 (9)	0,008 0 (8)	Y	Ac-228	6,15 (2) h
1 751,0 (3)	0,058 (13)	Y	Kr-90	32,32 (9) s
1 751,3 (2)	0,050 (15)	Y	Sr-94	1,235 (5) min
1 751,4 (8)	0,000 9 (5)	Y	Bi-214	19,9 (4) min
1 752,1 (2)	0,034 (5)	Y	Pa-228	22 (1) h
1 752,2 (1)	0,052 (7)	Y	I-124	4,1760 (3) d
1 752,3 (7)	0,025 (8)	Y	I-132	2,295 (13) h
1 752,8 (6)	0,007 (2)	Y	Sb-122	2,70 (1) d
1 752,9 (3)	0,19 (4)	Y	Kr-91	8,57 (4) s
1 753,8 (6)	2,45 (9)	Y	In-116m	54,29 (17) min
1 754,5 (5)	0,000 05 (3)	Y	Ba-139	1,384 (5) h
1 754,6 (2)	0,048 (8)	Y	Pr-147	13,4 (4) min
1 754,9 (8)	0,373 (17)	Y	Mo-101	14,6 (1) min
1 754,9 (2)	0,044 (7)	Y	Te-133	12,45 (30) min
1 755,0 (6)	0,121 (9)	Y	N-16	7,13 (2) s
1 755,22 (15)	0,23	Y	I-137	24,5 (2) s
1 755,32 (10)	0,011 3 (11)	Y	Pb-201	9,33 (3) h

* : Radionucléide en équilibre avec son descendant
(Cf. liste en début de volume)

Énergie (keV)	Intensité (%)	Type	Parent	Période
1 755,94 (6)	0,002 6 (5)	Y	Eu-152m	9,3116 (13) h
1 756,1 (3)	0,093 (10)	Y	Xe-123	2,08 (2) h
1 757,27 (19)	0,000 42 (11)	Y	Ir-194	19,3 (1) h
1 757,4 (2)	0,30 (3)	Y	I-132	2,295 (13) h
1 757,5 (1)	0,024	Y	Pa-234	6,70 (5) h
1 757,55 (3)	6,1 (4)	Y	Ni-57	35,9 (3) h
1 758,065 (12)	0,035 (4)	Y	Ac-228	6,15 (2) h
1 758,065 (12)	0,84 (7)	Y	Pa-228	22 (1) h
1 759,15 (14)	0,140 (35)	Y	Tl-200	1,088 (5) d
1 759,32 (15)	0,12 (1)	Y	Br-87	55,65 (13) s
1 759,6 (3)	0,006 (4)	Y	Ge-77	11,30 (1) h
1 759,72 (6)	1,005 (45)	Y	Mo-101	14,6 (1) min
1 759,81 (10)	0,002 3 (2)	Y	Pa-234m	1,17 (3) min
1 759,9	0,043 6 (2)	Y	Tl-200	1,088 (5) d
1 760,4 (6)	0,06 (2)	Y	I-132	2,295 (13) h
1 761,3 (3)	0,005 9 (16)	Y	Xe-137	3,818 (13) min
1 762 (1)	0,000 08 (3)	Y	Ba-139	1,384 (5) h
1 763,7 (8)	4 (1)	Y	Sb-132m	4,10 (7) min
1 764,494 (14)	15,31 (5)	Y	Bi-214	19,9 (4) min
1 764,5 (9)	0,09 (5)	Y	Rb-90m	4,30 (7) min
1 765 (10)	0,050 (8)	Y	Xe-139	39,68 (14) s
1 765,2 (6)	0,050 (8)	Y	Xe-139	39,68 (14) s
1 765,4 (1)	0,008 7 (6)	Y	Pa-234m	1,17 (3) min
1 765,5 (4)	0,000 17 (7)	Y	Ba-139	1,384 (5) h
1 766,1 (4)	0,048 (13)	Y	Kr-89	3,17 (2) min
1 766,12 (10)	1,24	Y	I-137	24,5 (2) s
1 766,17 (18)	0,17 (5)	Y	Rb-91	58,4 (4) s
1 766,25 (5)	0,029 (5)	Y	Rh-106	30,0 (2) s
1 767,3 (9)	0,052 (16)	Y	Cs-140	1,062 (5) min
1 768,0 (3)	0,02	Y	Pa-234	6,70 (5) h
1 768,07 (7)	0,56 (4)	Y	Br-87	55,65 (13) s
1 768,22 (19)	0,142 (10)	Y	Mo-101	14,6 (1) min
1 768,26 (13)	16,7 (7)	Y	Xe-138	14,08 (8) min
1 768,5 (8)	0,025 (8)	Y	I-132	2,295 (13) h
1 769 (10)	0,039 (7)	Y	Xe-139	39,68 (14) s
1 769,09 (5)	0,009 2 (3)	Y	Eu-152	13,522 (16) a
1 769,6 (12)	1,2 (3)	Y	Br-86	55,1 (4) s
1 769,9 (5)	0,42 (42)	Y	Br-76	16,2 (2) h
1 770,2 (8)	0,013 (7)	Y	Rb-89	15,2 (1) min
1 770,2 (6)	0,058 (16)	Y	Cs-140	1,062 (5) min
1 770,228 (9)	6,87 (3)	Y	Bi-207	32,9 (14) a
1 770,8 (2)	0,067	Y	Pa-234	6,70 (5) h
1 771,327 (3)	15,45 (4)	Y	Co-56	77,236 (26) d
1 771,89 (22)	0,001 8 (5)	Y	Ac-228	6,15 (2) h
1 773 (1)	0,000 35 (21)	Y	Eu-154	8,601 (4) a
1 773,0 (2)	0,067	Y	Pa-234	6,70 (5) h
1 773,27 (7)	0,13 (4)	Y	Te-133	12,45 (30) min
1 773,27 (7)	0,66 (7)	Y	Te-133m	55,4 (4) min
1 773,84 (20)	0,066	Y	I-137	24,5 (2) s
1 773,84 (13)	0,30 (3)	Y	Xe-139	39,68 (14) s
1 774,5 (3)	0,000 92 (10)	Y	Rh-106	30,0 (2) s
1 775,41 (4)	0,006 5 (3)	Y	Ag-110m	249,78 (2) d
1 776,9 (4)	0,185 (23)	Y	Xe-139	39,68 (14) s
1 777,6 (1)	0,76 (8)	Y	Kr-89	3,17 (2) min
1 778,0 (6)	0,005 6 (19)	Y	Pa-228	22 (1) h
1 778,2 (3)	0,10 (1)	Y	Xe-123	2,08 (2) h
1 778,25 (23)	0,137 (23)	Y	Cs-138	33,41 (18) min
1 778,5 (4)	0,079 (8)	Y	I-132	2,295 (13) h
1 778,85 (16)	0,82 (8)	Y	Kr-91	8,57 (4) s
1 778,969 (12)	100	Y	Al-28	2,2414 (12) min
1 779,58 (5)	0,116 (3)	Y	Br-82	1,4708 (13) d
1 779,83 (5)	0,22 (2)	Y	Rb-88	17,8 (1) min
1 780,04 (6)	6,7 (6)	Y	Kr-90	32,32 (9) s
1 780,5 (5)	0,052 (16)	Y	Cs-140	1,062 (5) min
1 780,69 (11)	0,005 2 (8)	Y	Ir-194	19,3 (1) h
1 781,2 (4)	0,13 (4)	Y	Br-87	55,65 (13) s
1 781,8 (5)	0,005 2 (9)	Y	Rb-81m	30,25 (25) min
1 783,19 (5)	0,103 (5)	Y	Eu-150	36,9 (9) a
1 783,4 (3)	0,38 (6)	Y	Kr-91	8,57 (4) s
1 783,4 (6)	0,038 (16)	Y	Xe-138	14,08 (8) min
1 783,4 (4)	0,014 0 (35)	Y	Tl-200	1,088 (5) d
1 783,43 (6)	0,415 (20)	Y	Xe-137	3,818 (13) min
1 783,46 (3)	0,004 6 (8)	Y	Ag-110	24,56 (11) s
1 783,46 (3)	0,010 1 (5)	Y	Ag-110m	249,78 (2) d
1 783,7 (2)	0,025	Y	Pa-234	6,70 (5) h
1 784,0 (15)	0,042 (16)	Y	Cs-140	1,062 (5) min
1 784,1 (3)	0,000 4	Y	Rh-106	30,0 (2) s
1 784,40 (13)	0,007 5 (6)	Y	Ge-77	11,30 (1) h
1 784,4 (3)	0,005 9 (10)	Y	Ac-228	6,15 (2) h
1 784,4 (3)	0,058 (6)	Y	Pa-228	22 (1) h

* : Radionucléide en équilibre avec son descendant
(Cf. liste en début de volume)

Énergie (keV)	Intensité (%)	Type	Parent	Période
1 785,4 (3)	0,029 (5)	Y	Xe-123	2,08 (2) h
1 785,69 (11)	0,004 0 (6)	Y	Ir-194	19,3 (1) h
1 785,95 (12)	0,019 5 (15)	Y	Re-188	17,005 (4) h
1 786,5 (6)	0,010 9 (20)	Y	I-132	2,295 (13) h
1 786,6 (4)	0,062 (24)	Y	Xe-139	39,68 (14) s
1 787,2 (2)	0,034 (5)	Y	Pa-228	22 (1) h
1 787,3 (5)	0,001 3 (5)	Y	Ac-228	6,15 (2) h
1 787,44 (9)	0,008 9 (10)	Y	Ga-66	9,49 (7) h
1 787,66 (8)	0,292 (23)	Y	As-76	1,0778 (20) d
1 787,8 (5)	0,57 (7)	Y	Br-76	16,2 (2) h
1 788,0 (8)	3,5 (4)	Y	Sb-132	2,79 (5) min
1 788,18 (15)	0,12	Y	I-137	24,5 (2) s
1 788,2 (3)	0,107 (18)	Y	Kr-89	3,17 (2) min
1 789,14 (22)	0,045 (17)	Y	Kr-88	2,84 (3) h
1 789,43 (21)	0,41 (5)	Y	Kr-91	8,57 (4) s
1 790,85 (18)	0,43 (5)	Y	Xe-139	39,68 (14) s
1 791,196 (21)	7,72 (25)	Y	I-135	6,57 (2) h
1 791,4 (6)	0,046 (15)	Y	Kr-89	3,17 (2) min
1 792,63 (22)	0,048 0 (17)	Y	Ge-77	11,30 (1) h
1 793,0 (5)	0,062 (13)	Y	Xe-139	39,68 (14) s
1 793,3 (3)	0,035 (14)	Y	Kr-88	2,84 (3) h
1 793,39 (10)	0,160 (15)	Y	Pr-147	13,4 (4) min
1 793,89 (11)	0,84 (6)	Y	Rb-90m	4,30 (7) min
1 794,5 (6)	0,13 (4)	Y	Rb-91	58,4 (4) s
1 795 (1)	0,08 (5)	Y	Cs-140	1,062 (5) min
1 795,09 (30)	0,002 1 (8)	Y	Ac-228	6,15 (2) h
1 795,09 (30)	0,111 (9)	Y	Pa-228	22 (1) h
1 795,4	0,58 (9)	Y	Ba-141	18,27 (7) min
1 796,2 (7)	0,14 (9)	Y	Br-87	55,65 (13) s
1 796,2 (10)	0,000 31 (4)	Y	Pa-234m	1,17 (3) min
1 796,8 (1)	0,025 (2)	Y	Rh-106	30,0 (2) s
1 797,1 (1)	0,24	Y	Pa-234	6,70 (5) h
1 797,4 (10)	0,000 05 (3)	Y	Ba-139	1,384 (5) h
1 797,48 (9)	0,017 6 (2)	Y	Ir-194	19,3 (1) h
1 797,5 (2)	0,18 (5)	Y	Te-133m	55,4 (4) min
1 797,64 (8)	0,002 1 (8)	Y	Ac-228	6,15 (2) h
1 797,94 (9)	0,001 9 (5)	Y	Ga-66	9,49 (7) h
1 798,31 (7)	0,60 (4)	Y	Br-87	55,65 (13) s
1 798,8 (2)	0,069 (10)	Y	Rb-88	17,8 (1) min
1 799,3 (8)	0,15 (5)	Y	Cs-140	1,062 (5) min
1 799,4 (6)	0,035 (13)	Y	Xe-138	14,08 (8) min
1 800,63 (10)	0,004 4 (8)	Y	Ac-228	6,15 (2) h
1 800,9 (2)	0,004 (2)	Y	Bi-212	60,54 (6) min
1 801,3 (3)	0,038 (14)	Y	Kr-88	2,84 (3) h
1 802 (2)	0,030 (15)	Y	Br-76	16,2 (2) h
1 802,04 (4)	0,036 (3)	Y	Re-188	17,005 (4) h
1 803,99 (25)	0,112 (17)	Y	Xe-139	39,68 (14) s
1 804,10 (7)	0,61 (4)	Y	Rb-90	2,70 (5) min
1 804,1 (1)	0,112 (17)	Y	Xe-139	39,68 (14) s
1 804,4 (6)	0,030 (13)	Y	Kr-89	3,17 (2) min
1 804,95 (10)	0,32	Y	I-137	24,5 (2) s
1 805 (2)	0,001 3 (9)	Y	As-76	1,0778 (20) d
1 805,5 (5)	0,47 (8)	Y	Cs-143	1,791 (7) s
1 805,75 (9)	0,032 (5)	Y	Ir-194	19,3 (1) h
1 805,8 (3)	0,005 1	Y	Pa-234	6,70 (5) h
1 805,96 (10)	0,12 (3)	Y	Bi-212	60,54 (6) min
1 806,65 (18)	0,092 (11)	Y	Cs-138	33,41 (18) min
1 806,69 (16)	0,15 (4)	Y	Sn-125	9,64 (3) d
1 806,84 (4)	5,53 (29)	Y	I-134	52,5 (2) min
1 806,9 (1)	0,255 (30)	Y	Te-133	12,45 (30) min
1 807,2 (1)	0,056 (6)	Y	Pa-228	22 (1) h
1 807,3 (3)	1,25 (13)	Y	Xe-123	2,08 (2) h
1 807,6 (3)	0,000 86 (9)	Y	Re-188	17,005 (4) h
1 807,9 (5)	0,032 (21)	Y	Cs-140	1,062 (5) min
1 808,0 (2)	0,049 (7)	Y	Pr-147	13,4 (4) min
1 808,65 (7)	99,76 (4)	Y	Al-26	717 (24) E+3 a
1 808,75 (10)	0,79	Y	I-137	24,5 (2) s
1 809,0 (5)	0,004 3 (3)	Y	Pa-234m	1,17 (3) min
1 809,30 (14)	2,05 (21)	Y	I-138	6,49 (7) s
1 809,54 (30)	0,000 40 (11)	Y	Re-188	17,005 (4) h
1 810,20 (18)	0,038 (6)	Y	Ge-77	11,30 (1) h
1 810,726 (4)	26,9 (4)	Y	Mn-56	2,57878 (46) h
1 810,726 (4)	0,639 (3)	Y	Co-56	77,236 (26) d
1 810,73 (20)	0,141 (19)	Y	Kr-89	3,17 (2) min
1 812,54 (18)	0,18 (2)	Y	Xe-138	14,08 (8) min
1 812,59 (25)	0,000 45 (14)	Y	Ir-194	19,3 (1) h
1 812,8 (5)	0,000 056 (19)	Y	Ho-166	26,795 (29) h
1 813,1 (3)	0,004 5 (9)	Y	Pb-201	9,33 (3) h
1 813,73 (14)	0,010 8 (9)	Y	Bi-214	19,9 (4) min
1 814,0 (5)	0,016 (4)	Y	I-132	2,295 (13) h

* : Radionucléide en équilibre avec son descendant
(Cf. liste en début de volume)

Énergie (keV)	Intensité (%)	Type	Parent	Période
1 814,1 (4)	0,123 (22)	Y	Xe-139	39,68 (14) s
1 815 (2)	0,148 (16)	Y	Br-76	16,2 (2) h
1 815,3 (3)	0,009	Y	Pa-234	6,70 (5) h
1 817,6 (9)	0,151 (24)	Y	Xe-139	39,68 (14) s
1 818,5 (1)	0,151 (24)	Y	Xe-139	39,68 (14) s
1 818,52 (8)	0,003 8 (5)	Y	Eu-150	36,9 (9) a
1 819,1 (3)	0,074 (13)	Y	Kr-90	32,32 (9) s
1 819,69 (10)	0,001 14 (20)	Y	Pa-234m	1,17 (3) min
1 819,8 (3)	0,004 1	Y	Pa-234	6,70 (5) h
1 820,5	0,120 (16)	Y	Ba-141	18,27 (7) min
1 820,56 (10)	0,23	Y	I-137	24,5 (2) s
1 821,4 (2)	0,045 (10)	Y	Cs-138	33,41 (18) min
1 821,7 (2)	0,22 (3)	Y	Te-133	12,45 (30) min
1 822,3 (3)	0,123 (15)	Y	Xe-123	2,08 (2) h
1 823,05 (24)	0,30 (4)	Y	Kr-91	8,57 (4) s
1 823,19 (10)	0,044 (4)	Y	Pa-228	22 (1) h
1 823,28 (5)	0,044 (4)	Y	Ac-228	6,15 (2) h
1 823,3 (4)	0,36 (7)	Y	Rb-91	58,4 (4) s
1 823,6 (4)	0,066 (15)	Y	Kr-89	3,17 (2) min
1 824,25 (3)	0,40 (3)	Y	Te-133	12,45 (30) min
1 825,1 (3)	0,009	Y	Pa-234	6,70 (5) h
1 826,77 (30)	0,002 1 (8)	Y	Ac-228	6,15 (2) h
1 827,1 (4)	0,20 (4)	Y	Kr-91	8,57 (4) s
1 827,3 (4)	0,064 (13)	Y	Kr-89	3,17 (2) min
1 827,3 (2)	0,38 (3)	Y	Cs-140	1,062 (5) min
1 827,8 (2)	0,023 (5)	Y	Y-93	10,1 (2) h
1 829,03 (22)	0,010 (3)	Y	Ge-77	11,30 (1) h
1 829,59 (15)	0,001 9 (3)	Y	Ir-194	19,3 (1) h
1 829,82 (20)	0,35 (5)	Y	Rb-90m	4,30 (7) min
1 830,1 (5)	0,028 (5)	Y	I-132	2,295 (13) h
1 830,2 (6)	0,112 (12)	Y	Xe-139	39,68 (14) s
1 830,408 (24)	0,008 1 (2)	Y	Ho-166	26,795 (29) h
1 830,69 (4)	0,58 (3)	Y	I-135	6,57 (2) h
1 830,8 (3)	0,004 1	Y	Pa-234	6,70 (5) h
1 831,23 (15)	0,027 5 (11)	Y	Ge-77	11,30 (1) h
1 831,3 (3)	0,086 (14)	Y	Kr-89	3,17 (2) min
1 831,5 (3)	0,20 (2)	Y	Br-87	55,65 (13) s
1 831,5 (5)	0,016 7 (5)	Y	Pa-234m	1,17 (3) min
1 832,28 (20)	0,1	Y	I-137	24,5 (2) s
1 833,30 (15)	0,002 6 (5)	Y	Eu-150	36,9 (9) a
1 833,8 (8)	0,19 (10)	Y	Br-76	16,2 (2) h
1 834,6 (4)	0,13 (3)	Y	Kr-91	8,57 (4) s
1 835,0 (4)	0,184 (18)	Y	Cs-140	1,062 (5) min
1 835,02 (40)	0,057	Y	I-137	24,5 (2) s
1 835,226 (17)	0,91 (7)	Y	Pa-228	22 (1) h
1 835,229 (17)	0,038 (4)	Y	Ac-228	6,15 (2) h
1 835,52 (17)	0,25 (4)	Y	I-138	6,49 (7) s
1 836,052 (13)	22,4 (8)	Y	Rb-88	17,8 (1) min
1 836,052 (13)	99,32 (3)	Y	Y-88	106,626 (21) d
1 836,80 (17)	1,4 (1)	Y	Br-87	55,65 (13) s
1 837,28 (10)	0,009 7 (5)	Y	K-42	12,359 (3) h
1 837,5 (4)	0,12 (3)	Y	Kr-89	3,17 (2) min
1 837,6 (3)	0,209 (12)	Y	Ga-72	14,10 (2) h
1 838,0 (5)	0,000 8 (2)	Y	Eu-154	8,601 (4) a
1 838,0 (2)	0,041	Y	Pa-234	6,70 (5) h
1 838,15 (14)	0,82 (7)	Y	Rb-90m	4,30 (7) min
1 838,36 (5)	0,343 (10)	Y	Bi-214	19,9 (4) min
1 839,72 (25)	0,35 (4)	Y	Kr-89	3,17 (2) min
1 840,10 (15)	0,38 (4)	Y	Br-87	55,65 (13) s
1 840,24 (5)	1,4 (1)	Y	Mo-101	14,6 (1) min
1 840,5 (3)	0,18 (9)	Y	Tc-104	18,3 (3) min
1 841,1 (3)	0,13 (5)	Y	Rb-91	58,4 (4) s
1 841,7 (8)	0,041 (24)	Y	Ba-141	18,27 (7) min
1 842,183 (40)	0,042 (4)	Y	Ac-228	6,15 (2) h
1 842,183 (40)	0,214 (16)	Y	Pa-228	22 (1) h
1 842,3 (5)	0,024 (16)	Y	Rb-90	2,70 (5) min
1 842,61 (24)	0,139 (12)	Y	Kr-87	1,272 (8) h
1 843,0 (4)	0,001 4 (4)	Y	Xe-137	3,818 (13) min
1 843,1 (6)	0,13 (4)	Y	Kr-91	8,57 (4) s
1 845,3 (4)	0,006 (3)	Y	I-135	6,57 (2) h
1 845,7 (1)	0,086 (13)	Y	Pr-147	13,4 (4) min
1 846,41 (5)	0,171 (4)	Y	Ge-77	11,30 (1) h
1 847,3 (3)	0,12 (2)	Y	Br-87	55,65 (13) s
1 847,3 (1)	0,36 (3)	Y	Y-92	3,54 (2) h
1 847,420 (25)	2,025 (12)	Y	Bi-214	19,9 (4) min
1 847,5 (3)	0,85 (4)	Y	Nb-92m	10,15 (2) d
1 849,27 (9)	3,31 (25)	Y	Rb-91	58,4 (4) s
1 849,38 (15)	0,2	Y	I-137	24,5 (2) s
1 849,8 (2)	0,028	Y	Pa-234	6,70 (5) h
1 850,16 (17)	0,004 4 (8)	Y	Ac-228	6,15 (2) h

* : Radionucléide en équilibre avec son descendant
(Cf. liste en début de volume)

Énergie (keV)	Intensité (%)	Type	Parent	Période
1 850,6 (4)	0,050 (13)	Y	Kr-89	3,17 (2) min
1 850,86 (13)	1,42 (7)	Y	Xe-138	14,08 (8) min
1 851,4 (4)	0,21 (3)	Y	I-124	4,1760 (3) d
1 851,5 (2)	0,01	Y	Sb-124	60,20 (3) d
1 851,61 (9)	0,455 (38)	Y	Zr-97	16,90 (5) h
1 851,8 (5)	0,095 (12)	Y	Xe-139	39,68 (14) s
1 851,9 (5)	0,055 (16)	Y	Ba-141	18,27 (7) min
1 852,3 (10)	0,095 (12)	Y	Xe-139	39,68 (14) s
1 853 (1)	0,001 0 (3)	Y	Rb-81m	30,25 (25) min
1 853,3 (5)	0,055	Y	I-137	24,5 (2) s
1 853,3 (1)	0,190 (24)	Y	Xe-139	39,68 (14) s
1 853,4 (1)	3,46 (23)	Y	Cs-140	1,062 (5) min
1 853,67 (5)	14,7 (9)	Y	Br-76	16,2 (2) h
1 854,5 (5)	0,13 (4)	Y	Xe-139	39,68 (14) s
1 854,6 (8)	2 (1)	Y	Sb-132m	4,10 (7) min
1 856,4 (7)	0,05	Y	I-137	24,5 (2) s
1 856,6 (8)	0,08 (4)	Y	Kr-91	8,57 (4) s
1 857,42 (11)	0,240 (21)	Y	Eu-156	15,19 (8) d
1 857,6 (4)	0,112 (14)	Y	Xe-139	39,68 (14) s
1 857,9 (6)	0,49 (11)	Y	Cs-140	1,062 (5) min
1 859,1 (3)	0,1	Y	I-137	24,5 (2) s
1 859,56 (25)	0,15 (4)	Y	Rb-91	58,4 (4) s
1 859,9	0,092 (18)	Y	Ba-141	18,27 (7) min
1 861,0 (5)	0,007 9 (35)	Y	Tl-200	1,088 (5) d
1 861,09 (6)	5,25 (8)	Y	Ga-72	14,10 (2) h
1 862,4 (7)	0,373 (41)	Y	Xe-139	39,68 (14) s
1 863,09 (10)	0,001 21 (17)	Y	Pa-234m	1,17 (3) min
1 864,7 (3)	0,064 (10)	Y	Xe-123	2,08 (2) h
1 864,91 (25)	0,005 0 (4)	Y	Re-188	17,005 (4) h
1 865,1 (1)	0,075 (6)	Y	Pa-228	22 (1) h
1 865,2 (5)	0,080 (15)	Y	Kr-89	3,17 (2) min
1 866,2 (3)	0,17 (4)	Y	Kr-91	8,57 (4) s
1 866,25 (17)	0,34 (5)	Y	I-138	6,49 (7) s
1 867,20 (22)	0,000 46 (9)	Y	Re-188	17,005 (4) h
1 867,68 (10)	0,007 5 (5)	Y	Pa-234m	1,17 (3) min
1 867,96 (8)	0,016 2 (16)	Y	Xe-137	3,818 (13) min
1 868,105 (20)	0,002 7 (6)	Y	Ga-66	9,49 (7) h
1 868,4 (10)	0,141 (23)	Y	Br-76	16,2 (2) h
1 868,47 (25)	0,197 (22)	Y	Kr-89	3,17 (2) min
1 868,5 (2)	0,067 (20)	Y	I-134	52,5 (2) min
1 868,70 (3)	0,13 (2)	Y	Br-87	55,65 (13) s
1 870,00 (5)	0,054 (5)	Y	As-76	1,0778 (20) d
1 870,56 (22)	0,031 (6)	Y	Tl-200	1,088 (5) d
1 870,7 (4)	0,076 (17)	Y	Rb-90	2,70 (5) min
1 870,8 (1)	0,55 (12)	Y	Te-133m	55,4 (4) min
1 870,80 (6)	0,024 3 (23)	Y	Ac-228	6,15 (2) h
1 870,80 (6)	0,068 (6)	Y	Pa-228	22 (1) h
1 871,1 (3)	0,059 (10)	Y	Xe-123	2,08 (2) h
1 871,6 (2)	0,04 (1)	Y	Br-82	1,4708 (13) d
1 871,6 (3)	0,22 (9)	Y	Tc-104	18,3 (3) min
1 871,8 (3)	0,19 (6)	Y	Kr-91	8,57 (4) s
1 872,2	0,000 23 (23)	Y	Cu-66	5,120 (14) min
1 872,740 (6)	0,022 9 (24)	Y	Ga-66	9,49 (7) h
1 872,8 (2)	0,035	Y	Pa-234	6,70 (5) h
1 873,0 (1)	1,46	Y	I-137	24,5 (2) s
1 873	0,059 (13)	Y	Eu-156	15,19 (8) d
1 873,16 (6)	0,212 (8)	Y	Bi-214	19,9 (4) min
1 874,0 (4)	0,014 (3)	Y	Rb-81*	4,25 (25) h
1 874,4 (4)	0,11 (6)	Y	Rb-91	58,4 (4) s
1 874,85 (10)	0,007 8 (5)	Y	Pa-234m	1,17 (3) min
1 874,99 (24)	0,47 (7)	Y	Kr-91	8,57 (4) s
1 876,3 (9)	0,025 (4)	Y	Mo-101	14,6 (1) min
1 877,03 (15)	1,51 (13)	Y	Eu-156	15,19 (8) d
1 877,33 (18)	0,041 (3)	Y	La-140	1,67850 (17) d
1 877,4 (21)	0,44 (5)	Y	Rb-90m	4,30 (7) min
1 877,90 (21)	0,231 (6)	Y	Ga-72	14,10 (2) h
1 878,0 (5)	0,029 (4)	Y	Ca-47	4,536 (2) d
1 878,6 (7)	0,036 7 (12)	Y	Ge-77	11,30 (1) h
1 879,2 (7)	0,014 (3)	Y	I-132	2,295 (13) h
1 879,2 (5)	0,092	Y	I-137	24,5 (2) s
1 879,39 (9)	0,001 3 (5)	Y	Ac-228	6,15 (2) h
1 879,80 (25)	0,159 (19)	Y	Kr-89	3,17 (2) min
1 880,1 (4)	0,24 (5)	Y	Kr-91	8,57 (4) s
1 880,1 (3)	0,063 (9)	Y	Te-131m*	1,25 (8) d
1 881,2 (2)	0,22 (6)	Y	Te-133m	55,4 (4) min
1 881,29 (12)	1,9 (2)	Y	Br-87	55,65 (13) s
1 881,47 (20)	0,012 9 (17)	Y	Ge-77	11,30 (1) h
1 881,52 (4)	1,22 (6)	Y	Te-133	12,45 (30) min
1 882,2 (4)	0,6 (1)	Y	Br-87	55,65 (13) s
1 882,26 (25)	0,086 (6)	Y	Mo-101	14,6 (1) min

* : Radionucléide en équilibre avec son descendant
(Cf. liste en début de volume)

Énergie (keV)	Intensité (%)	Type	Parent	Période
1 883 (2)	0,13 (5)	Y	Br-76	16,2 (2) h
1 883,16 (6)	0,137 (4)	Y	Ga-68	1,1275 (10) h
1 884,1 (3)	0,015	Y	Pa-234	6,70 (5) h
1 884,3 (8)	0,11 (2)	Y	Kr-91	8,57 (4) s
1 884,5 (3)	0,64 (8)	Y	Xe-123	2,08 (2) h
1 885,1 (3)	0,028 (3)	Y	Y-92	3,54 (2) h
1 885,3 (2)	0,011 (4)	Y	Pr-144m	7,2 (3) min
1 885,42 (15)	0,226 (24)	Y	Kr-90	32,32 (9) s
1 885,62 (7)	0,99 (12)	Y	Te-133m	55,4 (4) min
1 885,9 (3)	0,34 (9)	Y	Xe-140	13,6 (1) s
1 886,5 (6)	0,034 (13)	Y	Kr-89	3,17 (2) min
1 887,128 (12)	0,090 (8)	Y	Ac-228	6,15 (2) h
1 887,128 (12)	2,24 (17)	Y	Pa-228	22 (1) h
1 887,3 (3)	0,069 (13)	Y	Xe-138	14,08 (8) min
1 887,68 (5)	1,5 (2)	Y	Te-131m*	1,25 (8) d
1 888,3 (5)	0,044 (8)	Y	Mo-101	14,6 (1) min
1 889,04 (19)	0,38 (5)	Y	I-138	6,49 (7) s
1 889,884 (16)	0,074 (20)	Y	Sn-125	9,64 (3) d
1 890,1 (2)	0,144	Y	Pa-234	6,70 (5) h
1 890,30 (15)	0,078 (4)	Y	Bi-214	19,9 (4) min
1 890,9 (8)	0,99 (20)	Y	Sb-132	2,79 (5) min
1 891,6 (2)	0,38 (7)	Y	Y-94	18,7 (1) min
1 892,28 (8)	0,57 (4)	Y	Rb-90	2,70 (5) min
1 892,28 (8)	0,46 (5)	Y	Rb-90m	4,30 (7) min
1 892,76 (13)	0,14 (3)	Y	Kr-88	2,84 (3) h
1 892,98 (8)	0,15 (4)	Y	Te-133m	55,4 (4) min
1 893,2 (3)	0,06 (2)	Y	Te-133	12,45 (30) min
1 893,2 (3)	0,057 (10)	Y	I-134	52,5 (2) min
1 893,4 (3)	0,006 2	Y	Pa-234	6,70 (5) h
1 893,5 (1)	0,002 1 (1)	Y	Pa-234m	1,17 (3) min
1 893,7 (8)	0,89 (20)	Y	Sb-132	2,79 (5) min
1 894,7 (7)	0,000 021 (16)	Y	Ba-139	1,384 (5) h
1 895 (1)	0,000 6 (2)	Y	Eu-154	8,601 (4) a
1 895,92 (14)	0,146 (8)	Y	Bi-214	19,9 (4) min
1 895,98 (9)	0,60 (7)	Y	Xe-139	39,68 (14) s
1 896,7 (2)	0,103	Y	Pa-234	6,70 (5) h
1 897,0 (5)	0,025 2 (25)	Y	Ni-57	35,9 (3) h
1 897,59 (7)	0,11 (1)	Y	Te-133	12,45 (30) min
1 897,761 (14)	0,74 (3)	Y	Rb-84	32,77 (14) d
1 897,8 (7)	0,030 (13)	Y	Kr-89	3,17 (2) min
1 898,3 (3)	0,078	Y	I-137	24,5 (2) s
1 898,7 (4)	0,049 (8)	Y	Bi-214	19,9 (4) min
1 898,823 (8)	0,39 (3)	Y	Ga-66	9,49 (7) h
1 899,6 (9)	0,110 (22)	Y	Cs-140	1,062 (5) min
1 899,61 (16)	0,191 (22)	Y	Kr-90	32,32 (9) s
1 899,9 (4)	0,05 (1)	Y	Br-87	55,65 (13) s
1 899,942 (40)	0,002 8 (5)	Y	Ac-228	6,15 (2) h
1 900,3 (3)	0,032 (5)	Y	Pa-228	22 (1) h
1 901 (2)	0,12 (5)	Y	Br-76	16,2 (2) h
1 902,6 (7)	0,004 6 (8)	Y	Rb-81m	30,25 (25) min
1 903,1 (6)	0,13 (6)	Y	Rb-90m	4,30 (7) min
1 903,2 (4)	0,046 (14)	Y	Cs-138	33,41 (18) min
1 903,4 (1)	1,05 (12)	Y	Kr-89	3,17 (2) min
1 903,52 (4)	0,015 9 (7)	Y	Ag-110m	249,78 (2) d
1 904,6 (8)	0,03 (1)	Y	Y-94	18,7 (1) min
1 906,30 (18)	0,114 (10)	Y	Tl-200	1,088 (5) d
1 906,8 (3)	0,076 (10)	Y	Br-87	55,65 (13) s
1 907,18 (10)	0,011 9 (10)	Y	Ac-228	6,15 (2) h
1 907,18 (10)	0,092 (7)	Y	Pa-228	22 (1) h
1 907,7 (2)	0,005 3 (7)	Y	Xe-137	3,818 (13) min
1 908,7 (4)	0,100 (15)	Y	Kr-88	2,84 (3) h
1 909,3 (2)	0,001 3 (3)	Y	Rh-106	30,0 (2) s
1 909,5 (3)	0,67 (11)	Y	Cs-143	1,791 (7) s
1 911,0 (1)	1,96 (19)	Y	Tc-104	18,3 (3) min
1 911,17 (10)	0,005 3 (4)	Y	Pa-234m	1,17 (3) min
1 911,42 (21)	0,118 (14)	Y	Xe-139	39,68 (14) s
1 911,7 (10)	0,118 (14)	Y	Xe-139	39,68 (14) s
1 911,7 (15)	0,052 (22)	Y	Cs-140	1,062 (5) min
1 911,91 (11)	0,023 7 (11)	Y	Ge-77	11,30 (1) h
1 912,2	0,15 (3)	Y	Ba-141	18,27 (7) min
1 912,91 (6)	0,12 (1)	Y	Te-133	12,45 (30) min
1 913,5 (4)	0,074 (10)	Y	Xe-123	2,08 (2) h
1 913,7 (5)	0,03 (1)	Y	I-132	2,295 (13) h
1 913,9 (8)	0,07 (3)	Y	Kr-91	8,57 (4) s
1 914 (1)	0,06 (5)	Y	Te-133m	55,4 (4) min
1 915,5 (3)	0,02	Y	Pa-234	6,70 (5) h
1 915,9 (4)	0,000 8 (3)	Y	Ac-228	6,15 (2) h
1 916,31 (8)	0,097 (13)	Y	Xe-137	3,818 (13) min
1 916,6 (3)	0,014 (3)	Y	Pa-228	22 (1) h
1 917,11 (15)	0,76 (7)	Y	Rb-91	58,4 (4) s

* : Radionucléide en équilibre avec son descendant
(Cf. liste en début de volume)

Énergie (keV)	Intensité (%)	Type	Parent	Période
1 917,8 (1)	1,54 (21)	Y	Y-93	10,1 (2) h
1 918,3	0,06 (1)	Y	Ba-141	18,27 (7) min
1 918,329 (5)	1,99 (16)	Y	Ga-66	9,49 (7) h
1 918,58 (4)	0,164 (19)	Y	I-124	4,1760 (3) d
1 918,7 (2)	0,051 (4)	Y	Sb-124	60,20 (3) d
1 918,7 (5)	0,20 (4)	Y	Cs-140	1,062 (5) min
1 919,4 (2)	0,024 (3)	Y	Pa-228	22 (1) h
1 919,5 (3)	0,002 1 (5)	Y	Ac-228	6,15 (2) h
1 919,62 (14)	12,5 (5)	Y	Ni-57	35,9 (3) h
1 919,8 (4)	0,025 (5)	Y	Xe-123	2,08 (2) h
1 919,94 (18)	0,140 (17)	Y	I-138	6,49 (7) s
1 920,20 (17)	0,158 (5)	Y	Ga-72	14,10 (2) h
1 920,6 (4)	0,000 08 (4)	Y	Ba-139	1,384 (5) h
1 920,6 (3)	0,065 (8)	Y	Tl-200	1,088 (5) d
1 921,08 (12)	1,23 (6)	Y	I-132	2,295 (13) h
1 921,4 (5)	0,053 (8)	Y	Mo-101	14,6 (1) min
1 922,1 (4)	0,094	Y	I-137	24,5 (2) s
1 922,16 (6)	0,041 (5)	Y	K-42	12,359 (3) h
1 924,2 (2)	0,016 8 (21)	Y	Pa-228	22 (1) h
1 924,42 (14)	0,001 8 (3)	Y	Ir-194	19,3 (1) h
1 924,5 (2)	0,011 (3)	Y	La-140	1,67850 (17) d
1 925,3 (9)	0,016 (12)	Y	Kr-89	3,17 (2) min
1 925,36 (14)	0,56 (4)	Y	Xe-138	14,08 (8) min
1 925,4 (2)	0,3	Y	Pa-234	6,70 (5) h
1 925,7 (1)	0,002 (1)	Y	I-132	2,295 (13) h
1 925,88 (10)	0,18 (2)	Y	I-134	52,5 (2) min
1 926,4 (3)	0,15	Y	I-137	24,5 (2) s
1 926,5 (10)	0,000 44 (6)	Y	Pa-234m	1,17 (3) min
1 927,0 (1)	0,001 3 (2)	Y	Rh-106	30,0 (2) s
1 927,30 (3)	0,296 (15)	Y	I-135	6,57 (2) h
1 927,5 (10)	0,111 (16)	Y	Kr-89	3,17 (2) min
1 927,5 (6)	0,04 (1)	Y	Y-94	18,7 (1) min
1 927,9 (3)	0,42 (6)	Y	Tc-104	18,3 (3) min
1 927,9 (4)	0,054	Y	Pa-234	6,70 (5) h
1 927,96 (4)	0,002 2 (8)	Y	Ga-66	9,49 (7) h
1 928,2 (7)	0,094 (17)	Y	Cs-140	1,062 (5) min
1 928,7 (10)	0,006 1 (35)	Y	Tl-200	1,088 (5) d
1 929,41 (11)	0,026 4 (11)	Y	Ge-77	11,30 (1) h
1 929,69 (10)	0,019 9 (21)	Y	Ac-228	6,15 (2) h
1 930,3 (7)	0,069	Y	I-137	24,5 (2) s
1 931,2 (3)	0,36 (6)	Y	Tc-104	18,3 (3) min
1 933,3 (4)	0,001 3 (4)	Y	Xe-137	3,818 (13) min
1 934,2 (3)	0,221 (22)	Y	Xe-123	2,08 (2) h
1 934,67 (8)	0,22 (2)	Y	Br-87	55,65 (13) s
1 934,8 (3)	0,22 (4)	Y	Tc-104	18,3 (3) min
1 935,1 (6)	0,034 (13)	Y	Kr-89	3,17 (2) min
1 935,1 (5)	0,112 (21)	Y	Xe-139	39,68 (14) s
1 935,2 (4)	0,009 3	Y	Pa-234	6,70 (5) h
1 935,5 (2)	0,032 (7)	Y	Bi-214	19,9 (4) min
1 936,0 (2)	0,019 (3)	Y	Pa-228	22 (1) h
1 936,03 (15)	0,37	Y	I-137	24,5 (2) s
1 936,17 (13)	0,08 (2)	Y	Te-131m*	1,25 (8) d
1 936,27 (30)	0,002 1 (5)	Y	Ac-228	6,15 (2) h
1 936,9 (3)	0,000 21 (3)	Y	Re-188	17,005 (4) h
1 937,01 (10)	0,003 0 (2)	Y	Pa-234m	1,17 (3) min
1 937,3 (3)	0,20 (4)	Y	Tc-104	18,3 (3) min
1 937,7 (3)	0,041	Y	Pa-234	6,70 (5) h
1 937,71 (11)	1,94 (16)	Y	Eu-156	15,19 (8) d
1 938 (1)	0,03 (1)	Y	Te-133	12,45 (30) min
1 939,11 (15)	0,64 (6)	Y	Kr-89	3,17 (2) min
1 939,5 (7)	0,004 9 (20)	Y	I-132	2,295 (13) h
1 939,5 (3)	0,095 (20)	Y	Xe-139	39,68 (14) s
1 939,5 (10)	0,095 (20)	Y	Xe-139	39,68 (14) s
1 939,95 (23)	0,36 (3)	Y	Rb-89	15,2 (1) min
1 940,2 (8)	0,10 (3)	Y	Cs-140	1,062 (5) min
1 940,6 (6)	0,04 (1)	Y	Y-94	18,7 (1) min
1 940,91 (23)	0,001 85 (15)	Y	Re-188	17,005 (4) h
1 941,0 (3)	0,079 (15)	Y	Cs-138	33,41 (18) min
1 941,7 (3)	0,050 (8)	Y	Pr-147	13,4 (4) min
1 941,8 (4)	0,055 (6)	Y	Mo-101	14,6 (1) min
1 941,81 (17)	0,012 4 (14)	Y	Rb-90	2,70 (5) min
1 941,81 (17)	0,61 (7)	Y	Rb-90m	4,30 (7) min
1 942,8 (10)	0,06 (3)	Y	Cs-140	1,062 (5) min
1 942,81 (17)	0,40 (5)	Y	Rb-91	58,4 (4) s
1 943,7 (3)	0,003 3 (6)	Y	La-141	3,92 (3) h
1 943,8 (1)	0,08 (2)	Y	Te-133	12,45 (30) min
1 944,2 (5)	0,47 (8)	Y	Br-76	16,2 (2) h
1 944,2 (2)	0,002 1 (5)	Y	Ac-228	6,15 (2) h
1 946,27 (13)	0,41 (4)	Y	I-138	6,49 (7) s
1 946,34 (13)	0,165 (16)	Y	Eu-156	15,19 (8) d

* : Radionucléide en équilibre avec son descendant
(Cf. liste en début de volume)

Énergie (keV)	Intensité (%)	Type	Parent	Période
1 946,54 (24)	0,080 (6)	Y	Mo-101	14,6 (1) min
1 947,0 (2)	0,002 7 (4)	Y	Xe-137	3,818 (13) min
1 947,3 (3)	0,095 (20)	Y	I-134	52,5 (2) min
1 947,9 (3)	0,084 (20)	Y	Br-87	55,65 (13) s
1 948,49 (5)	0,063 (6)	Y	I-135	6,57 (2) h
1 948,62 (23)	0,008 1 (11)	Y	Ge-77	11,30 (1) h
1 949,2 (2)	0,063 (17)	Y	Sr-94	1,235 (5) min
1 949,9 (7)	0,47 (5)	Y	Cs-140	1,062 (5) min
1 952,34 (5)	0,059 (5)	Y	Ac-228	6,15 (2) h
1 952,34 (5)	0,071 (6)	Y	Pa-228	22 (1) h
1 953,0 (5)	0,07 (3)	Y	Rb-91	58,4 (4) s
1 953,6 (4)	0,064 (10)	Y	Br-87	55,65 (13) s
1 954,31 (20)	0,075	Y	I-137	24,5 (2) s
1 954,6 (4)	0,000 185 (20)	Y	Rh-106	30,0 (2) s
1 954,7 (8)	0,038 (6)	Y	N-16	7,13 (2) s
1 954,90 (12)	0,74 (7)	Y	I-138	6,49 (7) s
1 955,7 (3)	0,009 (1)	Y	As-76	1,0778 (20) d
1 955,83 (30)	0,000 8 (3)	Y	Ac-228	6,15 (2) h
1 955,9 (3)	0,098 (15)	Y	Xe-123	2,08 (2) h
1 956,1 (5)	0,30 (6)	Y	Br-76	16,2 (2) h
1 956,7 (1)	0,042 (4)	Y	Br-82	1,4708 (13) d
1 956,96 (17)	0,015 0 (12)	Y	Re-188	17,005 (4) h
1 958,0 (4)	0,01	Y	Pa-234	6,70 (5) h
1 958,1 (2)	0,027 (4)	Y	Pa-228	22 (1) h
1 958,23 (15)	0,16 (2)	Y	Br-87	55,65 (13) s
1 958,71 (22)	0,001 5 (5)	Y	Ac-228	6,15 (2) h
1 963,7 (3)	0,015 7 (44)	Y	Tl-200	1,088 (5) d
1 963,703 (11)	0,706 (4)	Y	Co-56	77,236 (26) d
1 965,07 (10)	0,020 4 (18)	Y	Ac-228	6,15 (2) h
1 965,11 (19)	0,67 (8)	Y	Kr-91	8,57 (4) s
1 965,22 (12)	0,022 (22)	Y	Pa-228	22 (1) h
1 965,58 (9)	0,22 (5)	Y	Br-87	55,65 (13) s
1 965,95 (12)	3,9 (4)	Y	Eu-156	15,19 (8) d
1 966,2 (4)	7,2 (8)	Y	Br-86	55,1 (4) s
1 966,55 (20)	0,133 (17)	Y	Kr-89	3,17 (2) min
1 967,3 (3)	0,123 (15)	Y	Xe-139	39,68 (14) s
1 967,8 (2)	0,17 (6)	Y	Te-133m	55,4 (4) min
1 970,0 (15)	0,000 50 (8)	Y	Pa-234m	1,17 (3) min
1 970,99 (10)	6,7 (5)	Y	Rb-91	58,4 (4) s
1 971,1 (2)	1,60 (19)	Y	Tc-104	18,3 (3) min
1 971,2 (4)	0,002 7	Y	Pa-234	6,70 (5) h
1 972 (2)	0,014 (4)	Y	Te-133	12,45 (30) min
1 972,07 (16)	0,003 6 (8)	Y	Ac-228	6,15 (2) h
1 973,3 (10)	0,040 (17)	Y	Rb-90	2,70 (5) min
1 973,4 (7)	0,000 164 (20)	Y	Rh-106	30,0 (2) s
1 974,15 (10)	0,15	Y	I-137	24,5 (2) s
1 974,3 (3)	0,137 (20)	Y	Xe-123	2,08 (2) h
1 974,6 (2)	0,039 (12)	Y	Te-133m	55,4 (4) min
1 974,9 (9)	0,001 2 (4)	Y	Xe-137	3,818 (13) min
1 975,3 (6)	0,045 (6)	Y	Tl-200	1,088 (5) d
1 976 (1)	0,10 (9)	Y	Br-76	16,2 (2) h
1 977,4 (4)	0,016	Y	Pa-234	6,70 (5) h
1 977,7 (5)	0,038 (13)	Y	Kr-89	3,17 (2) min
1 978,67 (10)	0,000 95 (6)	Y	Pr-144	17,29 (3) min
1 978,9 (3)	1,26 (20)	Y	Cs-143	1,791 (7) s
1 979,22 (17)	0,001 8 (5)	Y	Ac-228	6,15 (2) h
1 979,57 (11)	0,52 (6)	Y	Xe-139	39,68 (14) s
1 979,7 (5)	0,025 (7)	Y	Rb-89	15,2 (1) min
1 980,99 (15)	0,172 (18)	Y	Kr-90	32,32 (9) s
1 981,07 (3)	0,035 (2)	Y	Mn-52	5,595 (3) d
1 981,1 (4)	0,005 (1)	Y	V-52	3,753 (5) min
1 982,5 (2)	0,003 2 (13)	Y	Sn-125	9,64 (3) d
1 982,7 (5)	0,17 (4)	Y	Kr-91	8,57 (4) s
1 985,638 (8)	0,012 (2)	Y	I-132	2,295 (13) h
1 986,2 (2)	0,18 (9)	Y	Tc-104	18,3 (3) min
1 988,5 (1)	0,025 (2)	Y	Rh-106	30,0 (2) s
1 988,6 (12)	0,006 (1)	Y	Y-92	3,54 (2) h
1 989,3 (7)	0,04 (1)	Y	Y-94	18,7 (1) min
1 989,6 (4)	0,007	Y	Pa-234	6,70 (5) h
1 990	0,25 (5)	Y	Ba-141	18,27 (7) min
1 991 (2)	0,08 (3)	Y	Br-76	16,2 (2) h
1 991,21 (15)	0,23	Y	I-137	24,5 (2) s
1 991,3 (3)	0,112 (3)	Y	Ga-72	14,10 (2) h
1 992,5 (4)	0,044 (5)	Y	Xe-123	2,08 (2) h
1 993,5 (3)	0,52 (4)	Y	Cs-140	1,062 (5) min
1 994,2 (4)	0,084 (15)	Y	Xe-139	39,68 (14) s
1 994,6 (6)	0,002 4 (5)	Y	Bi-214	19,9 (4) min
1 995,0 (8)	0,04 (2)	Y	Kr-91	8,57 (4) s
1 995 (1)	0,1	Y	I-137	24,5 (2) s
1 995,2 (2)	0,103 (13)	Y	Pr-147	13,4 (4) min

* : Radionucléide en équilibre avec son descendant
(Cf. liste en début de volume)

Énergie (keV)	Intensité (%)	Type	Parent	Période
1 996 (1)	0,040 (17)	Y	Rb-90	2,70 (5) min
1 997,04 (7)	0,93	Y	I-137	24,5 (2) s
1 997,1 (2)	0,55 (7)	Y	Tc-104	18,3 (3) min
1 998,6 (5)	0,119 (24)	Y	Kr-89	3,17 (2) min
2 000,10 (3)	0,561 (12)	Y	Ge-77	11,30 (1) h
2 000,3 (2)	0,017 8 (19)	Y	Xe-137	3,818 (13) min
2 000,9 (5)	0,001 0 (3)	Y	Ac-228	6,15 (2) h
2 000,94 (4)	2,2 (2)	Y	Te-131m*	1,25 (8) d
2 001,6 (9)	0,036 (17)	Y	Kr-89	3,17 (2) min
2 002,0 (4)	0,043 (6)	Y	Tl-200	1,088 (5) d
2 002,134 (12)	1,9 (5)	Y	Sn-125	9,64 (3) d
2 002,2 (5)	1,14 (8)	Y	I-132	2,295 (13) h
2 003,3 (4)	0,186 (25)	Y	Xe-123	2,08 (2) h
2 003,4 (3)	0,006 6 (13)	Y	Xe-137	3,818 (13) min
2 004,1 (9)	0,04 (4)	Y	Kr-91	8,57 (4) s
2 004,40 (2)	0,003 7 (6)	Y	Ag-110	24,56 (11) s
2 004,5 (4)	0,066	Y	I-137	24,5 (2) s
2 004,65 (10)	0,001 2 (4)	Y	Ag-110m	249,78 (2) d
2 004,75 (14)	5,36 (23)	Y	Xe-138	14,08 (8) min
2 005,33 (9)	3,4 (3)	Y	Te-133m	55,4 (4) min
2 006 (7)	5,3 (4)	Y	Br-87	55,65 (13) s
2 006,00 (14)	0,117 (22)	Y	Kr-90	32,32 (9) s
2 006,8 (4)	0,112 (17)	Y	Xe-139	39,68 (14) s
2 007,50 (9)	2,58 (20)	Y	Rb-89	15,2 (1) min
2 007,6 (10)	0,112 (17)	Y	Xe-139	39,68 (14) s
2 009,628 (16)	0,003 1 (7)	Y	Ga-66	9,49 (7) h
2 009,785 (4)	0,000 013 (10)	Y	Sc-46	83,788 (22) d
2 009,9 (3)	0,77 (5)	Y	Cs-140	1,062 (5) min
2 010 (30)	6,9 (20)	Y	Tl-210	1,30 (3) min
2 010,78 (12)	0,043 4 (17)	Y	Bi-214	19,9 (4) min
2 011,88 (10)	2,88 (18)	Y	Kr-87	1,272 (8) h
2 012,23 (10)	1,57 (14)	Y	Kr-89	3,17 (2) min
2 013,0 (3)	0,12	Y	I-137	24,5 (2) s
2 013,5 (3)	0,27 (5)	Y	Rb-91	58,4 (4) s
2 015,11 (17)	0,174 (19)	Y	Xe-139	39,68 (14) s
2 015,176 (5)	3,017 (14)	Y	Co-56	77,236 (26) d
2 015,7 (1)	1,78 (19)	Y	Tc-104	18,3 (3) min
2 015,82 (14)	12,3 (5)	Y	Xe-138	14,08 (8) min
2 016 (1)	0,004 0 (11)	Y	Sr-91*	9,63 (5) h
2 016 (1)	0,044 (22)	Y	Te-133m	55,4 (4) min
2 016,1 (3)	0,009 (3)	Y	Sb-124	60,20 (3) d
2 020,6 (3)	0,17 (2)	Y	I-134	52,5 (2) min
2 020,6 (5)	0,028 8 (35)	Y	Tl-200	1,088 (5) d
2 021 (2)	0,003 (4)	Y	I-124	4,1760 (3) d
2 021,04 (15)	0,245 (25)	Y	Kr-89	3,17 (2) min
2 021,6 (2)	0,021 4 (21)	Y	Bi-214	19,9 (4) min
2 021,8 (4)	0,101 (13)	Y	Xe-139	39,68 (14) s
2 022,53 (16)	0,001 52 (12)	Y	Re-188	17,005 (4) h
2 022,6 (3)	0,11 (2)	Y	Br-87	55,65 (13) s
2 022,6 (9)	0,10 (5)	Y	Cs-140	1,062 (5) min
2 023,93 (20)	0,118 (15)	Y	Cs-138	33,41 (18) min
2 024,4 (8)	0,067 (8)	Y	Mo-101	14,6 (1) min
2 025,1 (5)	0,056 (13)	Y	Xe-139	39,68 (14) s
2 025,6 (2)	0,08 (2)	Y	Te-133	12,45 (30) min
2 026,016 (25)	0,002 6 (6)	Y	Ga-66	9,49 (7) h
2 026,2	0,45 (9)	Y	Ba-141	18,27 (7) min
2 026,65 (11)	3,3 (3)	Y	Eu-156	15,19 (8) d
2 028,1 (9)	0,100 (17)	Y	Mo-101	14,6 (1) min
2 029,4 (5)	0,123 (6)	Y	Ga-72	14,10 (2) h
2 029,82 (7)	1,75	Y	I-137	24,5 (2) s
2 029,83 (16)	0,001 8 (5)	Y	Ac-228	6,15 (2) h
2 029,84 (3)	4,53 (23)	Y	Kr-88	2,84 (3) h
2 030,2 (2)	0,005 1 (6)	Y	La-141	3,92 (3) h
2 032,1 (5)	6,59 (20)	Y	Mo-101	14,6 (1) min
2 032,51 (12)	0,131 (12)	Y	Eu-156	15,19 (8) d
2 032,79 (15)	0,45 (4)	Y	I-138	6,49 (7) s
2 034,752 (5)	7,741 (13)	Y	Co-56	77,236 (26) d
2 035,41 (2)	3,74 (20)	Y	Kr-88	2,84 (3) h
2 035,42 (15)	0,077 (8)	Y	Br-87	55,65 (13) s
2 036,0 (3)	0,12	Y	I-137	24,5 (2) s
2 036,1 (3)	0,37 (6)	Y	Rb-91	58,4 (4) s
2 036,2 (3)	0,02 (1)	Y	Te-133	12,45 (30) min
2 037,6 (4)	0,245 (30)	Y	Xe-123	2,08 (2) h
2 037,76 (5)	0,061 (4)	Y	Ge-77	11,30 (1) h
2 038,0 (2)	0,008 (1)	Y	Mn-52m	21,2 (4) min
2 038,3 (3)	0,352 (20)	Y	I-124	4,1760 (3) d
2 038,3 (2)	0,003 (1)	Y	Sn-125	9,64 (3) d
2 038,4 (5)	0,21 (3)	Y	Mo-101	14,6 (1) min
2 038,5 (5)	0,095 (16)	Y	Cs-140	1,062 (5) min
2 039,1 (4)	0,078 (10)	Y	Xe-139	39,68 (14) s

* : Radionucléide en équilibre avec son descendant
(Cf. liste en début de volume)

Énergie (keV)	Intensité (%)	Type	Parent	Période
2 039,3 (1)	0,058 (3)	Y	Sb-124	60,20 (3) d
2 039,36 (24)	0,39 (5)	Y	Kr-91	8,57 (4) s
2 039,5 (10)	0,018 (11)	Y	Kr-89	3,17 (2) min
2 040,8 (2)	0,007 (2)	Y	Te-131	25,0 (1) min
2 041,2 (5)	0,032 (10)	Y	Xe-138	14,08 (8) min
2 041,24 (5)	2,15 (8)	Y	Mo-101	14,6 (1) min
2 043,6 (3)	0,001 8 (4)	Y	Xe-137	3,818 (13) min
2 043,72 (11)	0,007 1 (10)	Y	Ir-194	19,3 (1) h
2 045,09 (5)	0,004 6 (5)	Y	I-126	12,93 (5) d
2 045,88 (3)	0,87 (4)	Y	I-135	6,57 (2) h
2 046,1 (10)	0,178 (16)	Y	Br-76	16,2 (2) h
2 046,47 (15)	0,26 (3)	Y	Kr-89	3,17 (2) min
2 046,6 (5)	0,000 28 (6)	Y	Pr-144	17,29 (3) min
2 047,31 (14)	0,089 (8)	Y	Mo-101	14,6 (1) min
2 048,1 (3)	0,283 (21)	Y	Cs-140	1,062 (5) min
2 048,5 (4)	0,04 (1)	Y	Te-133	12,45 (30) min
2 049,2 (3)	0,002 3 (4)	Y	La-141	3,92 (3) h
2 049,66 (6)	1,22 (13)	Y	Te-133m	55,4 (4) min
2 052,4 (4)	0,044 (5)	Y	Xe-123	2,08 (2) h
2 052,94 (12)	0,069 (4)	Y	Bi-214	19,9 (4) min
2 053,43 (8)	0,14 (3)	Y	Te-133	12,45 (30) min
2 057,27 (18)	0,42 (5)	Y	Kr-91	8,57 (4) s
2 058,0 (11)	0,25 (10)	Y	Rb-89	15,2 (1) min
2 058,45 (10)	0,25	Y	I-137	24,5 (2) s
2 058,85 (14)	0,80 (9)	Y	I-138	6,49 (7) s
2 058,9 (4)	0,075 (10)	Y	Xe-123	2,08 (2) h
2 060,1 (4)	0,000 050 (24)	Y	Ba-139	1,384 (5) h
2 061,5 (4)	0,126 (22)	Y	Cs-140	1,062 (5) min
2 061,8 (2)	0,31 (5)	Y	Tc-104	18,3 (3) min
2 061,84 (12)	0,111 (11)	Y	Cs-138	33,41 (18) min
2 062 (1)	0,10 (3)	Y	Te-133m	55,4 (4) min
2 062,6 (4)	0,049 (10)	Y	Xe-123	2,08 (2) h
2 063,0 (3)	0,038 (15)	Y	Sr-94	1,235 (5) min
2 063,7 (2)	0,39 (4)	Y	Xe-139	39,68 (14) s
2 064,69 (14)	0,79 (8)	Y	Rb-91	58,4 (4) s
2 065,778 (7)	0,031 (3)	Y	Ga-66	9,49 (7) h
2 066,3 (3)	0,15 (3)	Y	Br-87	55,65 (13) s
2 067,0 (3)	0,001 4 (14)	Y	Y-92	3,54 (2) h
2 067,7 (3)	0,325 (22)	Y	Cs-140	1,062 (5) min
2 068,0 (2)	0,010 3 (10)	Y	Xe-137	3,818 (13) min
2 069,62 (20)	0,071	Y	I-137	24,5 (2) s
2 071,3 (15)	0,27 (23)	Y	Br-76	16,2 (2) h
2 071,60 (9)	2,3 (2)	Y	Br-87	55,65 (13) s
2 071,9 (4)	0,167 (20)	Y	Xe-123	2,08 (2) h
2 072,2 (4)	0,004 1	Y	Pa-234	6,70 (5) h
2 072,25 (25)	0,31 (5)	Y	Kr-91	8,57 (4) s
2 072,7 (7)	0,000 21 (6)	Y	Pr-144	17,29 (3) min
2 072,8 (8)	0,006 (3)	Y	Te-131	25,0 (1) min
2 074,0 (3)	0,22 (7)	Y	Xe-140	13,6 (1) s
2 076,01 (3)	0,10 (9)	Y	Ne-23	37,24 (12) s
2 077,17 (5)	0,233 (6)	Y	Ge-77	11,30 (1) h
2 077,2 (2)	0,029 (5)	Y	Pr-147	13,4 (4) min
2 078,9 (1)	0,016 (3)	Y	Sb-124	60,20 (3) d
2 078,9 (1)	0,359 (13)	Y	I-124	4,1760 (3) d
2 078,9 (12)	0,037 (19)	Y	Ba-141	18,27 (7) min
2 079,17 (14)	1,44 (7)	Y	Xe-138	14,08 (8) min
2 079,3 (9)	0,030 (13)	Y	Kr-89	3,17 (2) min
2 079,3 (2)	0,09 (2)	Y	Te-133	12,45 (30) min
2 079,48 (30)	0,048	Y	I-137	24,5 (2) s
2 080,9 (4)	0,086 (20)	Y	Br-87	55,65 (13) s
2 081,3 (3)	0,05 (2)	Y	Te-133	12,45 (30) min
2 082 (2)	0,12 (4)	Y	Br-76	16,2 (2) h
2 082,5 (5)	0,058 (15)	Y	Kr-89	3,17 (2) min
2 083,219 (14)	0,036 (7)	Y	La-140	1,67850 (17) d
2 084,47 (10)	0,013 7 (10)	Y	Xe-137	3,818 (13) min
2 085,1 (2)	0,008 2 (5)	Y	Bi-214	19,9 (4) min
2 085,42 (12)	0,77 (8)	Y	I-138	6,49 (7) s
2 085,86 (4)	0,002 1 (15)	Y	Ga-66	9,49 (7) h
2 085,91 (10)	0,63 (7)	Y	Xe-139	39,68 (14) s
2 086,8 (10)	0,09 (3)	Y	Cs-140	1,062 (5) min
2 086,82 (15)	0,26 (2)	Y	I-132	2,295 (13) h
2 087,0 (4)	0,17 (5)	Y	Kr-91	8,57 (4) s
2 088,79 (5)	0,79 (4)	Y	Mo-101	14,6 (1) min
2 088,985 (13)	0,011 (3)	Y	Ga-66	9,49 (7) h
2 089,3 (2)	0,41 (5)	Y	Tc-104	18,3 (3) min
2 089,60 (3)	0,347 (9)	Y	Ge-77	11,30 (1) h
2 089,7 (10)	0,047 (16)	Y	Cs-140	1,062 (5) min
2 089,7 (2)	0,044 3 (22)	Y	Bi-214	19,9 (4) min
2 090 (30)	4,9 (20)	Y	Tl-210	1,30 (3) min
2 090,942 (8)	5,480 (5)	Y	Sb-124	60,20 (3) d

* : Radionucléide en équilibre avec son descendant
(Cf. liste en début de volume)

Énergie (keV)	Intensité (%)	Type	Parent	Période
2 090,942 (8)	0,591 (9)	Y	I-124	4,1760 (3) d
2 092,80 (15)	0,21	Y	I-137	24,5 (2) s
2 092,84 (15)	0,058 (7)	Y	Br-87	55,65 (13) s
2 093 (1)	0,02 (1)	Y	Te-133	12,45 (30) min
2 093,2 (4)	0,000 27 (7)	Y	Rh-106	30,0 (2) s
2 095,3 (2)	0,54 (6)	Y	Tc-104	18,3 (3) min
2 096,30 (5)	0,55 (4)	Y	As-76	1,0778 (20) d
2 096,4 (3)	0,007 2 (10)	Y	Xe-137	3,818 (13) min
2 096,73 (11)	1,36 (9)	Y	Br-76	16,2 (2) h
2 097,6 (4)	0,056 (7)	Y	Pr-147	13,4 (4) min
2 097,70 (11)	3,8 (4)	Y	Eu-156	15,19 (8) d
2 098,9 (1)	0,044 (6)	Y	Sb-124	60,20 (3) d
2 099,09 (9)	0,145 (7)	Y	I-124	4,1760 (3) d
2 099,42 (15)	0,013 4 (13)	Y	Xe-137	3,818 (13) min
2 099,48 (20)	0,157 (21)	Y	Xe-139	39,68 (14) s
2 099,85 (10)	0,44	Y	I-137	24,5 (2) s
2 100,63 (8)	0,94 (9)	Y	Kr-89	3,17 (2) min
2 101,3 (4)	0,157 (20)	Y	Xe-123	2,08 (2) h
2 101,7 (1)	3,00 (14)	Y	Cs-140	1,062 (5) min
2 103,7 (6)	0,056 (18)	Y	Xe-139	39,68 (14) s
2 105,5 (2)	0,100 (21)	Y	Te-133	12,45 (30) min
2 105,6 (1)	0,019 (2)	Y	Y-92	3,54 (2) h
2 105,9 (3)	0,055 (10)	Y	Cs-138	33,41 (18) min
2 107,0 (5)	0,020 (5)	Y	Xe-123	2,08 (2) h
2 107,9 (2)	0,13 (2)	Y	Br-87	55,65 (13) s
2 108,0 (1)	0,043 (3)	Y	Sb-124	60,20 (3) d
2 108,7 (5)	0,011 (4)	Y	Pr-147	13,4 (4) min
2 109,2 (4)	0,15 (3)	Y	Cs-140	1,062 (5) min
2 109,50 (9)	1,04 (2)	Y	Ga-72	14,10 (2) h
2 109,7 (5)	0,019 (7)	Y	Rb-89	15,2 (1) min
2 109,92 (12)	0,084 (3)	Y	Bi-214	19,9 (4) min
2 110,12 (13)	0,34 (7)	Y	Xe-139	39,68 (14) s
2 110,23 (15)	0,10 (1)	Y	Br-87	55,65 (13) s
2 110,52 (13)	0,079 (8)	Y	Eu-156	15,19 (8) d
2 110,80 (5)	0,33 (3)	Y	As-76	1,0778 (20) d
2 110,8 (7)	0,055	Y	I-137	24,5 (2) s
2 111,23 (11)	2,49 (14)	Y	Br-76	16,2 (2) h
2 111,25 (9)	0,13 (2)	Y	Rb-88	17,8 (1) min
2 112,1 (4)	15,5 (4)	Y	In-116m	54,29 (17) min
2 112,3 (3)	0,36 (11)	Y	Xe-140	13,6 (1) s
2 112,4 (5)	0,069 (4)	Y	I-135	6,57 (2) h
2 112,5 (1)	0,035 (2)	Y	Rh-106	30,0 (2) s
2 112,77 (25)	0,14 (3)	Y	Mo-101	14,6 (1) min
2 113,092 (6)	14,2 (3)	Y	Mn-56	2,57878 (46) h
2 113,092 (6)	0,376 (3)	Y	Co-56	77,236 (26) d
2 114,0 (4)	0,11	Y	I-137	24,5 (2) s
2 114,20 (14)	0,002 6 (4)	Y	Ir-194	19,3 (1) h
2 114,3 (7)	0,021 (9)	Y	Cs-138	33,41 (18) min
2 114,34 (8)	0,58 (3)	Y	Mo-101	14,6 (1) min
2 114,7 (5)	0,15 (4)	Y	I-138	6,49 (7) s
2 116,49 (13)	0,114 (10)	Y	Eu-156	15,19 (8) d
2 116,88 (11)	0,32 (4)	Y	Xe-139	39,68 (14) s
2 118,55 (3)	1,158 (5)	Y	Bi-214	19,9 (4) min
2 118,85 (6)	0,45 (5)	Y	Rb-88	17,8 (1) min
2 119,4 (4)	0,001 7 (4)	Y	Xe-137	3,818 (13) min
2 119,7 (8)	0,08 (3)	Y	Rb-90	2,70 (5) min
2 119,9 (3)	0,19 (6)	Y	Br-87	55,65 (13) s
2 120,0 (4)	0,089 (17)	Y	Cs-140	1,062 (5) min
2 121,3 (4)	0,004 7 (23)	Y	Eu-156	15,19 (8) d
2 122,62 (9)	1,20 (9)	Y	Br-87	55,65 (13) s
2 123,18 (15)	0,28	Y	I-137	24,5 (2) s
2 123,8 (1)	2,22 (20)	Y	Tc-104	18,3 (3) min
2 125,3 (4)	0,010 (2)	Y	Xe-123	2,08 (2) h
2 125,85 (20)	0,19 (3)	Y	Br-87	55,65 (13) s
2 126,15 (5)	0,204 (5)	Y	Ge-77	11,30 (1) h
2 127,0 (5)	0,001 3 (5)	Y	As-76	1,0778 (20) d
2 127,2 (8)	0,20 (6)	Y	Br-76	16,2 (2) h
2 127,52 (7)	1,38 (12)	Y	Kr-90	32,32 (9) s
2 128,3 (7)	5,2 (3)	Y	Rb-90m	4,30 (7) min
2 131,4 (4)	0,035 (8)	Y	Mo-101	14,6 (1) min
2 133,04 (5)	0,033 (5)	Y	Ni-57	35,9 (3) h
2 133,5 (5)	0,037	Y	I-137	24,5 (2) s
2 135,6 (1)	0,94 (8)	Y	Br-76	16,2 (2) h
2 136,4 (4)	0,025 (5)	Y	Xe-123	2,08 (2) h
2 136,51 (8)	1,3 (1)	Y	Te-133	12,45 (30) min
2 136,6	0,032 (10)	Y	Ba-141	18,27 (7) min
2 138,7 (3)	0,12 (2)	Y	Br-87	55,65 (13) s
2 139,0 (6)	0,031	Y	I-137	24,5 (2) s
2 139,33 (18)	0,44 (4)	Y	Rb-90	2,70 (5) min
2 139,33 (18)	0,13 (6)	Y	Rb-90m	4,30 (7) min

* : Radionucléide en équilibre avec son descendant
(Cf. liste en début de volume)

Énergie (keV)	Intensité (%)	Type	Parent	Période
2 139,98 (21)	0,71 (9)	Y	Kr-91	8,57 (4) s
2 140,5 (6)	0,062 (13)	Y	Kr-89	3,17 (2) min
2 140,6 (2)	0,95 (17)	Y	Y-94	18,7 (1) min
2 143,22 (14)	0,67 (7)	Y	Rb-91	58,4 (4) s
2 143,40 (15)	0,25 (3)	Y	Br-87	55,65 (13) s
2 143,8 (4)	0,064 (13)	Y	Kr-89	3,17 (2) min
2 144,32 (10)	0,113 (7)	Y	I-124	4,1760 (3) d
2 144,33 (10)	0,003 6 (7)	Y	Sc-44	3,97 (4) h
2 144,4 (5)	0,066 (17)	Y	Te-133m	55,4 (4) min
2 144,6 (4)	0,034 (5)	Y	Xe-123	2,08 (2) h
2 146,97 (20)	0,1	Y	I-137	24,5 (2) s
2 147,0 (2)	0,383 (24)	Y	Cs-140	1,062 (5) min
2 147,9 (2)	0,013 4 (13)	Y	Bi-214	19,9 (4) min
2 148,2 (3)	0,22 (3)	Y	Rb-90	2,70 (5) min
2 148,3 (4)	0,025 (15)	Y	Te-133	12,45 (30) min
2 149,51 (10)	0,277 (25)	Y	Kr-90	32,32 (9) s
2 150,1 (8)	0,020 (13)	Y	Kr-89	3,17 (2) min
2 151,1 (2)	0,21 (3)	Y	Tc-104	18,3 (3) min
2 151,5 (1)	0,022 (3)	Y	I-135	6,57 (2) h
2 151,5 (2)	0,106 (20)	Y	I-138	6,49 (7) s
2 151,7 (5)	0,015 (10)	Y	Xe-123	2,08 (2) h
2 155 (1)	0,025 (20)	Y	Te-133	12,45 (30) min
2 155,64 (15)	0,14	Y	I-137	24,5 (2) s
2 157,75 (18)	0,17 (2)	Y	I-138	6,49 (7) s
2 158,57 (3)	0,001 2 (2)	Y	Co-60	5,2710 (8) a
2 158,57 (3)	0,001	Y	Co-60m	10,47 (4) min
2 159,9 (3)	0,21 (3)	Y	I-134	52,5 (2) min
2 160,02 (9)	0,53 (5)	Y	Kr-89	3,17 (2) min
2 160,4 (3)	0,007 (5)	Y	Bi-214	19,9 (4) min
2 160,9 (6)	0,032 (10)	Y	Kr-90	32,32 (9) s
2 161,8 (6)	0,12 (4)	Y	Rb-91	58,4 (4) s
2 162	0,05 (5)	Y	Mo-93m	6,85 (7) h
2 163,9 (6)	0,042 (5)	Y	Pr-147	13,4 (4) min
2 164	0,18 (5)	Y	Ba-141	18,27 (7) min
2 167,6 (9)	42,4 (11)	Y	Cl-38	37,24 (5) min
2 167,9 (6)	0,042 (15)	Y	Kr-89	3,17 (2) min
2 168,31 (4)	0,36 (5)	Y	Te-131m*	1,25 (8) d
2 169,30 (7)	0,55 (4)	Y	Br-87	55,65 (13) s
2 170 (2)	0,096 (40)	Y	Br-76	16,2 (2) h
2 170,0 (2)	0,67 (4)	Y	Cs-140	1,062 (5) min
2 170,86 (20)	0,032 (4)	Y	Eu-156	15,19 (8) d
2 171,1 (3)	0,020 3 (24)	Y	La-141	3,92 (3) h
2 172,68 (15)	0,21 (2)	Y	I-132	2,295 (13) h
2 173,319 (15)	0,084 (8)	Y	Ga-66	9,49 (7) h
2 173,5 (5)	0,064 (10)	Y	Xe-123	2,08 (2) h
2 173,9 (3)	0,016 4 (23)	Y	La-141	3,92 (3) h
2 175,4 (3)	0,088 (20)	Y	Br-87	55,65 (13) s
2 176,5 (2)	0,003 3 (6)	Y	Bi-214	19,9 (4) min
2 178,5 (5)	0,039 (5)	Y	Xe-123	2,08 (2) h
2 179,7 (5)	0,004 (2)	Y	I-135	6,57 (2) h
2 180,3 (8)	0,05 (3)	Y	Cs-140	1,062 (5) min
2 180,9 (4)	0,03 (2)	Y	Te-133	12,45 (30) min
2 180,91 (12)	2,14 (18)	Y	Eu-156	15,19 (8) d
2 181,9 (1)	0,44 (5)	Y	Tc-104	18,3 (3) min
2 182,4 (2)	0,57 (10)	Y	Sr-94	1,235 (5) min
2 182,4 (1)	0,046 (6)	Y	Sb-124	60,20 (3) d
2 183,5 (10)	0,13 (4)	Y	Br-76	16,2 (2) h
2 184,6 (1)	0,157 (22)	Y	Y-93	10,1 (2) h
2 185,2 (2)	0,273 (20)	Y	Cs-140	1,062 (5) min
2 185,662 (7)	0,70 (1)	Y	Pr-144	17,29 (3) min
2 186,254 (10)	0,000 001 4 (3)	Y	Y-90	2,6684 (13) d
2 186,5 (3)	0,29 (6)	Y	Kr-88	2,84 (3) h
2 186,71 (11)	3,5 (3)	Y	Eu-156	15,19 (8) d
2 187,0 (6)	0,007 (3)	Y	I-132	2,295 (13) h
2 188,44 (10)	0,008 1 (10)	Y	Xe-137	3,818 (13) min
2 189,4 (2)	0,013 (3)	Y	I-135	6,57 (2) h
2 189,616 (6)	5,3 (4)	Y	Ga-66	9,49 (7) h
2 189,8 (4)	0,020 (5)	Y	Xe-123	2,08 (2) h
2 190,0 (9)	0,026 (15)	Y	Kr-89	3,17 (2) min
2 190,5 (1)	1,78 (19)	Y	Tc-104	18,3 (3) min
2 190,8 (2)	0,169 (25)	Y	Y-93	10,1 (2) h
2 190,95 (15)	0,16	Y	I-137	24,5 (2) s
2 191,46 (25)	0,113 (15)	Y	Kr-90	32,32 (9) s
2 192,32 (13)	0,34 (5)	Y	Xe-139	39,68 (14) s
2 192,46 (30)	0,31 (4)	Y	Br-87	55,65 (13) s
2 192,58 (16)	0,038 (3)	Y	Bi-214	19,9 (4) min
2 193,2 (1)	0,004 7 (8)	Y	Rh-106	30,0 (2) s
2 193,65 (5)	0,57 (6)	Y	Te-133	12,45 (30) min
2 195	0,097 (20)	Y	Ba-141	18,27 (7) min
2 195,8 (4)	0,12 (6)	Y	Kr-89	3,17 (2) min

* : Radionucléide en équilibre avec son descendant
(Cf. liste en début de volume)

Énergie (keV)	Intensité (%)	Type	Parent	Période
2 195,84 (1)	13,2 (6)	Y	Kr-88	2,84 (3) h
2 195,92 (11)	14,5 (10)	Y	Rb-89	15,2 (1) min
2 195,99 (23)	0,35 (5)	Y	Kr-91	8,57 (4) s
2 196,0 (4)	0,19 (5)	Y	Rb-91	58,4 (4) s
2 200,9 (3)	0,48 (6)	Y	Rb-90m	4,30 (7) min
2 201,002 (12)	0,04 (1)	Y	Sn-125	9,64 (3) d
2 201,2 (4)	0,044 (10)	Y	Xe-123	2,08 (2) h
2 201,66 (7)	25,9 (5)	Y	Ga-72	14,10 (2) h
2 203 (2)	0,009 47 (3)	Y	Zr-97	16,90 (5) h
2 204,2 (6)	0,003 (2)	Y	I-132	2,295 (13) h
2 204,21 (4)	4,913 (23)	Y	Bi-214	19,9 (4) min
2 204,6 (6)	0,045 (23)	Y	Xe-139	39,68 (14) s
2 205,38 (13)	0,88 (8)	Y	Eu-156	15,19 (8) d
2 205,6 (6)	0,039 (12)	Y	Kr-90	32,32 (9) s
2 207 (1)	0,001 3 (4)	Y	Ir-194	19,3 (1) h
2 207,2 (5)	0,046 (15)	Y	Kr-89	3,17 (2) min
2 207,3 (2)	0,007 9 (9)	Y	La-141	3,92 (3) h
2 207,47 (11)	0,45 (4)	Y	Rb-90	2,70 (5) min
2 207,47 (11)	0,16 (1)	Y	Rb-90m	4,30 (7) min
2 208,5 (7)	0,10 (4)	Y	Rb-91	58,4 (4) s
2 209,0 (3)	0,114 (10)	Y	Pr-147	13,4 (4) min
2 210,22 (4)	0,68 (7)	Y	Te-133	12,45 (30) min
2 210,7 (4)	0,21 (6)	Y	Cs-138	33,41 (18) min
2 211,7 (4)	0,039 (10)	Y	Xe-123	2,08 (2) h
2 211,83 (12)	0,098 (9)	Y	Eu-156	15,19 (8) d
2 211,9 (5)	0,10 (5)	Y	Xe-140	13,6 (1) s
2 212,1 (2)	0,004 1 (7)	Y	Xe-137	3,818 (13) min
2 212,898 (3)	0,385 (5)	Y	Co-56	77,236 (26) d
2 213,181 (9)	0,131 (12)	Y	Ga-66	9,49 (7) h
2 213,6 (1)	0,21 (4)	Y	Te-133	12,45 (30) min
2 214,3 (3)	0,178 (14)	Y	Ga-72	14,10 (2) h
2 214,7 (5)	0,011 (5)	Y	I-124	4,1760 (3) d
2 216,29 (14)	0,50 (4)	Y	Rb-90	2,70 (5) min
2 216,8 (4)	0,002 4 (10)	Y	Xe-137	3,818 (13) min
2 217,3 (5)	0,14 (8)	Y	Ba-141	18,27 (7) min
2 218,0 (1)	15,2 (3)	Y	Cs-138	33,41 (18) min
2 218,2 (3)	0,28 (5)	Y	Rb-91	58,4 (4) s
2 218,8 (4)	0,034 (5)	Y	Xe-123	2,08 (2) h
2 220,47 (20)	0,23	Y	I-137	24,5 (2) s
2 223,17 (15)	0,12 (2)	Y	I-132	2,295 (13) h
2 223,26 (11)	0,164 (8)	Y	Mo-101	14,6 (1) min
2 225,00 (14)	0,22 (2)	Y	Te-133	12,45 (30) min
2 225,33 (8)	0,051 (8)	Y	In-116m	54,29 (17) min
2 227,0 (5)	0,001 9 (5)	Y	Sn-125	9,64 (3) d
2 227,28 (25)	0,37 (10)	Y	Xe-139	39,68 (14) s
2 227,4 (20)	0,10 (6)	Y	Br-76	16,2 (2) h
2 228,6 (5)	0,19 (5)	Y	Ca-49	8,718 (6) min
2 229 (1)	0,003 5 (18)	Y	Tl-200	1,088 (5) d
2 229,64 (3)	0,87 (8)	Y	Te-133	12,45 (30) min
2 229,97 (15)	0,1	Y	I-137	24,5 (2) s
2 231,3 (4)	0,025 (7)	Y	Rb-89	15,2 (1) min
2 231,77 (2)	3,39 (17)	Y	Kr-88	2,84 (3) h
2 232,25 (7)	0,591 (14)	Y	I-124	4,1760 (3) d
2 232,6 (8)	0,024 (11)	Y	Kr-89	3,17 (2) min
2 235 (2)	0,13 (6)	Y	Br-76	16,2 (2) h
2 236,0 (15)	0,16 (5)	Y	Cs-140	1,062 (5) min
2 236,7 (5)	0,53 (14)	Y	I-134	52,5 (2) min
2 236,9 (5)	0,14 (4)	Y	Rb-91	58,4 (4) s
2 237,3 (1)	2,94 (21)	Y	Cs-140	1,062 (5) min
2 238,1 (4)	0,05	Y	I-137	24,5 (2) s
2 238,4 (6)	0,15 (3)	Y	Xe-139	39,68 (14) s
2 239,3 (2)	0,33 (5)	Y	Tc-104	18,3 (3) min
2 239,7 (8)	0,16 (9)	Y	Rb-90	2,70 (5) min
2 239,8 (15)	0,05 (3)	Y	Kr-89	3,17 (2) min
2 240,395 (8)	2,41 (4)	Y	V-48	15,9735 (25) d
2 242,4 (1)	0,001 85 (25)	Y	Rh-106	30,0 (2) s
2 242,50 (25)	0,17 (3)	Y	Kr-91	8,57 (4) s
2 243,45 (10)	0,26	Y	I-137	24,5 (2) s
2 245,2 (9)	0,06 (4)	Y	Rb-90	2,70 (5) min
2 246,1 (3)	0,042 (15)	Y	Sr-94	1,235 (5) min
2 248,12 (14)	0,017 8 (22)	Y	Ge-77	11,30 (1) h
2 249 (1)	0,08 (3)	Y	Kr-89	3,17 (2) min
2 249,1 (3)	0,034 (2)	Y	I-132	2,295 (13) h
2 249,6 (4)	0,012 (2)	Y	Xe-123	2,08 (2) h
2 249,7 (4)	0,067 (19)	Y	Xe-139	39,68 (14) s
2 250,9 (3)	0,152 (23)	Y	Cs-140	1,062 (5) min
2 251,4 (5)	0,14 (4)	Y	Kr-91	8,57 (4) s
2 251,6 (2)	0,005 5 (5)	Y	Bi-214	19,9 (4) min
2 252,26 (14)	2,29 (11)	Y	Xe-138	14,08 (8) min
2 254,23 (15)	0,19 (2)	Y	Br-87	55,65 (13) s

* : Radionucléide en équilibre avec son descendant
(Cf. liste en début de volume)

Énergie (keV)	Intensité (%)	Type	Parent	Période
2 254,6 (4)	0,13 (4)	Y	Rb-91	58,4 (4) s
2 255,3 (7)	0,034 (13)	Y	Y-94	18,7 (1) min
2 255,3 (3)	0,002 5 (4)	Y	Xe-137	3,818 (13) min
2 255,3 (7)	0,09 (2)	Y	Xe-139	39,68 (14) s
2 255,4 (1)	0,20 (3)	Y	Te-133	12,45 (30) min
2 255,457 (22)	0,61 (3)	Y	I-135	6,57 (2) h
2 255,5 (5)	0,006 0 (12)	Y	Eu-156	15,19 (8) d
2 256,55 (17)	0,013 (1)	Y	Rb-90	2,70 (5) min
2 256,55 (17)	0,66 (6)	Y	Rb-90m	4,30 (7) min
2 257,36 (19)	0,002 7 (6)	Y	Mn-52	5,595 (3) d
2 258,1 (2)	0,65 (7)	Y	Tc-104	18,3 (3) min
2 258,44 (10)	0,15 (1)	Y	Br-87	55,65 (13) s
2 259,5 (3)	0,031 (14)	Y	Kr-88	2,84 (3) h
2 259,8 (3)	0,011 4 (15)	Y	Eu-156	15,19 (8) d
2 260,3 (2)	0,008 7 (4)	Y	Bi-214	19,9 (4) min
2 262,19 (11)	3,9 (4)	Y	I-138	6,49 (7) s
2 262,5 (3)	0,095 (20)	Y	I-134	52,5 (2) min
2 263,1 (3)	0,15 (4)	Y	Rb-91	58,4 (4) s
2 265,84 (24)	0,001 4 (5)	Y	Ga-66	9,49 (7) h
2 266,4 (1)	0,23 (3)	Y	Te-133	12,45 (30) min
2 266,51 (13)	0,016 5 (8)	Y	Bi-214	19,9 (4) min
2 266,8 (5)	0,038 (13)	Y	Xe-138	14,08 (8) min
2 267,0 (2)	0,041 (4)	Y	La-141	3,92 (3) h
2 268,3 (1)	1,19 (6)	Y	Cs-140	1,062 (5) min
2 268,6 (4)	0,23 (5)	Y	Kr-91	8,57 (4) s
2 269,0 (4)	0,007 (7)	Y	Ba-141	18,27 (7) min
2 269,90 (12)	1,03 (9)	Y	Eu-156	15,19 (8) d
2 270,42 (7)	0,38 (5)	Y	Te-131m*	1,25 (8) d
2 270,9 (4)	0,001 4 (3)	Y	Bi-214	19,9 (4) min
2 271,8 (2)	0,000 12 (2)	Y	Rh-106	30,0 (2) s
2 274,0 (6)	0,016 6 (44)	Y	Tl-200	1,088 (5) d
2 275,748 (10)	0,18 (5)	Y	Sn-125	9,64 (3) d
2 275,8 (5)	0,006 (4)	Y	I-124	4,1760 (3) d
2 276,36 (16)	0,118 (4)	Y	Co-56	77,236 (26) d
2 277,0 (5)	0,007 4 (20)	Y	Xe-123	2,08 (2) h
2 277,00 (15)	0,65 (5)	Y	Cs-140	1,062 (5) min
2 277,8	0,110 (12)	Y	Ba-141	18,27 (7) min
2 280,0 (6)	0,007 5 (11)	Y	Ge-77	11,30 (1) h
2 280 (15)	0,195 (20)	Y	Rb-89	15,2 (1) min
2 280 (12)	3 (2)	Y	Tl-210	1,30 (3) min
2 280,2 (3)	0,21 (5)	Y	Kr-89	3,17 (2) min
2 280,3 (7)	0,11 (4)	Y	Cs-140	1,062 (5) min
2 280,4 (8)	0,99 (20)	Y	Sb-132	2,79 (5) min
2 280,8 (5)	0,007 4 (20)	Y	Xe-123	2,08 (2) h
2 281,1 (6)	0,15 (5)	Y	Kr-91	8,57 (4) s
2 283,2 (3)	0,04 (1)	Y	Sb-124	60,20 (3) d
2 283,2 (3)	0,69 (4)	Y	I-124	4,1760 (3) d
2 284,3 (2)	0,005 0 (4)	Y	Bi-214	19,9 (4) min
2 285,5 (4)	0,009 (3)	Y	Te-133	12,45 (30) min
2 285,6 (8)	0,046 (21)	Y	Kr-89	3,17 (2) min
2 286,0 (3)	0,16 (7)	Y	Xe-140	13,6 (1) s
2 287,1 (4)	0,001 4 (3)	Y	Xe-137	3,818 (13) min
2 287,65 (23)	0,004 6 (5)	Y	Bi-214	19,9 (4) min
2 288,4 (5)	0,03	Y	I-137	24,5 (2) s
2 288,8 (10)	0,003 5 (18)	Y	Tl-200	1,088 (5) d
2 290,6 (6)	0,003 6 (8)	Y	I-132	2,295 (13) h
2 291,61 (21)	0,40 (6)	Y	Xe-139	39,68 (14) s
2 292,171 (13)	0,017 0 (18)	Y	Ga-66	9,49 (7) h
2 293,40 (12)	0,022 4 (22)	Y	Eu-156	15,19 (8) d
2 293,40 (12)	0,306 (4)	Y	Bi-214	19,9 (4) min
2 293,48 (8)	0,030 (3)	Y	Sb-124	60,20 (3) d
2 294,4 (5)	0,010 7 (19)	Y	I-124	4,1760 (3) d
2 296,4 (4)	0,033 1 (44)	Y	Tl-200	1,088 (5) d
2 298,1 (9)	0,056 (25)	Y	Rb-90	2,70 (5) min
2 298,1 (9)	0,34 (19)	Y	Rb-90m	4,30 (7) min
2 299 (2)	0,14 (5)	Y	Br-76	16,2 (2) h
2 299,93 (8)	0,31 (2)	Y	Br-87	55,65 (13) s
2 300,26 (40)	0,046	Y	I-137	24,5 (2) s
2 300,5 (3)	0,18 (4)	Y	Y-94	18,7 (1) min
2 301,0 (2)	0,010 4 (13)	Y	Eu-156	15,19 (8) d
2 301,56 (16)	1,02 (11)	Y	I-138	6,49 (7) s
2 304,97 (16)	0,29 (4)	Y	Xe-139	39,68 (14) s
2 306,5 (5)	0,010 (3)	Y	Xe-123	2,08 (2) h
2 307,6 (4)	0,15 (3)	Y	I-138	6,49 (7) s
2 309,2 (2)	0,005 4 (4)	Y	Rh-106	30,0 (2) s
2 309,3 (6)	0,26 (6)	Y	Cs-140	1,062 (5) min
2 309,6 (10)	0,10 (3)	Y	Br-76	16,2 (2) h
2 310,2 (3)	0,001 4 (9)	Y	Bi-214	19,9 (4) min
2 310,3 (3)	0,037 (4)	Y	Pr-147	13,4 (4) min
2 311,2 (6)	0,29 (10)	Y	Rb-90m	4,30 (7) min

* : Radionucléide en équilibre avec son descendant
(Cf. liste en début de volume)

Énergie (keV)	Intensité (%)	Type	Parent	Période
2 312,4 (2)	0,24 (3)	Y	I-134	52,5 (2) min
2 312,4 (8)	0,08 (6)	Y	Cs-140	1,062 (5) min
2 312,4 (2)	0,008 6 (8)	Y	Bi-214	19,9 (4) min
2 312,75 (30)	0,048	Y	I-137	24,5 (2) s
2 315,6 (2)	0,086 (8)	Y	Pr-147	13,4 (4) min
2 316,4 (1)	0,005 9 (6)	Y	Rh-106	30,0 (2) s
2 318,6 (3)	0,051 (10)	Y	Br-87	55,65 (13) s
2 318,958 (20)	0,001 9 (2)	Y	Y-90m	3,19 (6) h
2 319,3 (3)	0,001 4 (9)	Y	Bi-214	19,9 (4) min
2 320,5 (4)	0,064	Y	I-137	24,5 (2) s
2 321,7 (5)	0,052 (15)	Y	Kr-89	3,17 (2) min
2 321,90 (16)	0,62 (4)	Y	Xe-138	14,08 (8) min
2 322,34 (21)	0,45 (6)	Y	Rb-91	58,4 (4) s
2 322,6 (8)	0,11 (5)	Y	Kr-91	8,57 (4) s
2 323,1 (3)	0,001 8 (7)	Y	Sb-124	60,20 (3) d
2 325,0 (3)	0,001 7 (3)	Y	Bi-214	19,9 (4) min
2 326,9 (3)	0,057 (10)	Y	Xe-138	14,08 (8) min
2 327,3 (5)	0,034 (5)	Y	Xe-123	2,08 (2) h
2 328,04 (22)	0,022 1 (11)	Y	Ge-77	11,30 (1) h
2 328,80 (9)	0,63 (8)	Y	Xe-139	39,68 (14) s
2 328,9 (11)	0,000 5 (4)	Y	La-141	3,92 (3) h
2 330,0 (8)	0,036 (15)	Y	Kr-89	3,17 (2) min
2 330,0 (6)	0,057	Y	I-137	24,5 (2) s
2 330,5 (1)	3,69 (18)	Y	Cs-140	1,062 (5) min
2 331,3 (2)	0,026 (4)	Y	Bi-214	19,9 (4) min
2 332,2 (2)	0,98 (10)	Y	Tc-104	18,3 (3) min
2 332,7 (5)	0,028 (5)	Y	Te-131m*	1,25 (8) d
2 332,92 (40)	0,078	Y	I-137	24,5 (2) s
2 335,2 (20)	0,10 (6)	Y	Kr-89	3,17 (2) min
2 335,2 (10)	0,21 (9)	Y	Rb-90m	4,30 (7) min
2 335,9 (2)	0,074 (7)	Y	Pr-147	13,4 (4) min
2 336 (1)	0,013 (5)	Y	Te-133	12,45 (30) min
2 337,4 (2)	0,007 (1)	Y	Mn-52m	21,2 (4) min
2 337,7 (5)	0,001 5 (9)	Y	V-52	3,753 (5) min
2 337,8 (8)	0,015 (4)	Y	Mo-101	14,6 (1) min
2 338,44 (8)	0,001 13 (15)	Y	Ga-68	1,1275 (10) h
2 339,90 (15)	0,12 (1)	Y	Br-87	55,65 (13) s
2 339,9 (1)	0,014 (1)	Y	Y-92	3,54 (2) h
2 340,00 (15)	0,24 (4)	Y	Cs-140	1,062 (5) min
2 340,4 (5)	0,22 (6)	Y	Tc-104	18,3 (3) min
2 341,63 (4)	0,472 (11)	Y	Ge-77	11,30 (1) h
2 341,673 (11)	0,003 2 (7)	Y	Ga-66	9,49 (7) h
2 344,3 (7)	0,004 0 (8)	Y	Eu-156	15,19 (8) d
2 345,3 (4)	0,37 (6)	Y	Br-87	55,65 (13) s
2 345,71 (15)	0,14	Y	I-137	24,5 (2) s
2 347,847 (14)	0,845 (7)	Y	La-140	1,67850 (17) d
2 348,0 (13)	0,001 4 (9)	Y	Bi-214	19,9 (4) min
2 348,7 (10)	0,034 (13)	Y	Y-94	18,7 (1) min
2 349 (1)	0,08 (5)	Y	Te-133	12,45 (30) min
2 349,53 (24)	9,5 (10)	Y	Br-86	55,1 (4) s
2 351,62 (15)	0,16	Y	I-137	24,5 (2) s
2 352,08 (4)	0,73 (4)	Y	Kr-88	2,84 (3) h
2 352,7 (15)	0,28 (9)	Y	Kr-89	3,17 (2) min
2 352,7 (4)	0,090 (17)	Y	Kr-90	32,32 (9) s
2 353,4 (7)	0,004 9 (6)	Y	Ge-77	11,30 (1) h
2 353,5 (7)	0,000 36 (14)	Y	Bi-214	19,9 (4) min
2 354,0 (3)	0,001 81 (23)	Y	O-19	26,91 (8) s
2 356,29 (15)	0,19	Y	I-137	24,5 (2) s
2 359,9 (6)	0,034	Y	I-137	24,5 (2) s
2 360 (30)	7,9 (30)	Y	Tl-210	1,30 (3) min
2 361,00 (19)	0,002 1 (6)	Y	Bi-214	19,9 (4) min
2 361,2 (3)	0,016 8 (18)	Y	Eu-156	15,19 (8) d
2 362,00 (15)	0,22 (4)	Y	Cs-140	1,062 (5) min
2 363 (1)	0,025 (13)	Y	Te-133	12,45 (30) min
2 363,74 (16)	0,28 (3)	Y	I-138	6,49 (7) s
2 364,7 (3)	0,031 (14)	Y	Kr-88	2,84 (3) h
2 366,1 (1)	0,022 6 (15)	Y	Rh-106	30,0 (2) s
2 366,97 (22)	0,134 (23)	Y	Xe-139	39,68 (14) s
2 367,6 (5)	0,010 (2)	Y	Xe-123	2,08 (2) h
2 367,65 (20)	0,006 6 (10)	Y	Xe-137	3,818 (13) min
2 368,24 (20)	0,085	Y	I-137	24,5 (2) s
2 368,4 (10)	0,000 042 (6)	Y	Pr-144	17,29 (3) min
2 369,0 (4)	0,002 8 (4)	Y	Bi-214	19,9 (4) min
2 369,39 (10)	0,56 (8)	Y	Br-87	55,65 (13) s
2 371,5 (4)	0,100 (22)	Y	Cs-140	1,062 (5) min
2 371,7 (5)	0,49 (10)	Y	Ca-49	8,718 (6) min
2 372,38 (7)	1,00 (8)	Y	Br-87	55,65 (13) s
2 372,8 (9)	0,013 (7)	Y	Rb-89	15,2 (1) min
2 373,7 (4)	0,078 (6)	Y	Co-56	77,236 (26) d
2 375,1 (5)	0,010 (5)	Y	V-48	15,9735 (25) d

* : Radionucléide en équilibre avec son descendant
(Cf. liste en début de volume)

Énergie (keV)	Intensité (%)	Type	Parent	Période
2 375,8 (2)	0,19 (5)	Y	Tc-104	18,3 (3) min
2 375,9 (2)	0,157 (22)	Y	I-138	6,49 (7) s
2 376,9 (2)	0,008 6 (8)	Y	Bi-214	19,9 (4) min
2 377,34 (23)	0,36 (4)	Y	Kr-91	8,57 (4) s
2 377,4 (9)	0,80 (8)	Y	Kr-89	3,17 (2) min
2 378,5 (3)	0,094 (7)	Y	Kr-87	1,272 (8) h
2 380,3 (2)	0,092	Y	I-137	24,5 (2) s
2 381,5 (5)	0,17 (7)	Y	Rb-90m	4,30 (7) min
2 381,87 (24)	0,22 (4)	Y	Kr-91	8,57 (4) s
2 383,5 (6)	0,047 (22)	Y	Cs-140	1,062 (5) min
2 385,4 (4)	0,020 (3)	Y	I-124	4,1760 (3) d
2 387,1 (10)	0,042 (21)	Y	Cs-140	1,062 (5) min
2 388,0 (6)	0,029 (10)	Y	Rb-88	17,8 (1) min
2 389,1 (5)	0,005 (2)	Y	Xe-123	2,08 (2) h
2 390,48 (15)	0,188 (20)	Y	I-132	2,295 (13) h
2 390,6 (1)	0,006 2 (5)	Y	Rh-106	30,0 (2) s
2 390,8 (2)	0,001 56 (14)	Y	Bi-214	19,9 (4) min
2 391,25 (10)	4,7 (4)	Y	Br-76	16,2 (2) h
2 391,8 (9)	0,11 (5)	Y	Kr-91	8,57 (4) s
2 392,11 (4)	34,6 (16)	Y	Kr-88	2,84 (3) h
2 393 (1)	0,012 (6)	Y	Te-133	12,45 (30) min
2 393,129 (7)	0,23 (2)	Y	Ga-66	9,49 (7) h
2 393,53 (15)	0,081 (7)	Y	Xe-137	3,818 (13) min
2 395,1 (7)	0,13 (5)	Y	Kr-91	8,57 (4) s
2 395,3 (2)	0,35 (5)	Y	Tc-104	18,3 (3) min
2 398,01 (7)	0,45 (3)	Y	Br-87	55,65 (13) s
2 398,15 (15)	0,67 (7)	Y	I-138	6,49 (7) s
2 400,99 (9)	0,72 (8)	Y	Kr-89	3,17 (2) min
2 401,1 (6)	0,063 (11)	Y	Cs-140	1,062 (5) min
2 402,2 (4)	0,024 (2)	Y	Ga-72	14,10 (2) h
2 403,75 (13)	0,26 (4)	Y	Xe-139	39,68 (14) s
2 404,3 (8)	0,015 (4)	Y	Ga-72	14,10 (2) h
2 404,7 (8)	0,019 5 (24)	Y	Mo-101	14,6 (1) min
2 405,1 (5)	0,001 1 (7)	Y	Bi-214	19,9 (4) min
2 405,7 (6)	0,027	Y	I-137	24,5 (2) s
2 406,0 (2)	0,013 (2)	Y	Rh-106	30,0 (2) s
2 408,5 (2)	0,228 (23)	Y	Kr-87	1,272 (8) h
2 408,65 (3)	0,96 (4)	Y	I-135	6,57 (2) h
2 408,9 (6)	0,009 4 (8)	Y	I-132	2,295 (13) h
2 408,91 (7)	0,104 (11)	Y	Kr-88	2,84 (3) h
2 409,0 (3)	0,075 (11)	Y	I-134	52,5 (2) min
2 411,3 (5)	0,005 (2)	Y	Xe-123	2,08 (2) h
2 411,74 (15)	0,13 (1)	Y	Br-87	55,65 (13) s
2 411,8 (20)	0,06 (3)	Y	Br-76	16,2 (2) h
2 412,3 (2)	0,004 4 (11)	Y	Sr-91*	9,63 (5) h
2 413,7 (3)	0,34 (6)	Y	Kr-91	8,57 (4) s
2 416,9 (4)	0,002 8 (8)	Y	I-132	2,295 (13) h
2 417,33 (23)	0,191 (22)	Y	Kr-90	32,32 (9) s
2 417,7 (1)	0,18 (6)	Y	Te-133	12,45 (30) min
2 417,76 (15)	0,18 (2)	Y	Br-87	55,65 (13) s
2 419,6 (5)	0,005 (2)	Y	Xe-123	2,08 (2) h
2 421,5 (8)	0,051 (16)	Y	Kr-90	32,32 (9) s
2 421,8 (5)	0,010 (5)	Y	V-48	15,9735 (25) d
2 422,525 (7)	1,88 (15)	Y	Ga-66	9,49 (7) h
2 422,7 (1)	0,21	Y	I-137	24,5 (2) s
2 423,27 (13)	0,004 8 (6)	Y	Bi-214	19,9 (4) min
2 423,6 (4)	0,045 (13)	Y	Xe-139	39,68 (14) s
2 424,17 (9)	0,021 (3)	Y	K-42	12,359 (3) h
2 425,0 (7)	0,15 (5)	Y	Kr-91	8,57 (4) s
2 429,00 (8)	0,032 (3)	Y	As-76	1,0778 (20) d
2 429 (2)	0,10 (5)	Y	Br-76	16,2 (2) h
2 429,6 (1)	1,19 (6)	Y	Cs-140	1,062 (5) min
2 430 (30)	8,9 (30)	Y	Tl-210	1,30 (3) min
2 430,3 (6)	0,039 (12)	Y	Xe-139	39,68 (14) s
2 430,8 (5)	0,005 (2)	Y	Xe-123	2,08 (2) h
2 432,78 (21)	0,152 (20)	Y	Kr-90	32,32 (9) s
2 433,807 (18)	0,007 4 (9)	Y	Ga-66	9,49 (7) h
2 434,30 (15)	0,12 (1)	Y	Br-87	55,65 (13) s
2 437,0 (8)	0,003 0 (3)	Y	Y-92	3,54 (2) h
2 437,8 (3)	0,095 (20)	Y	Xe-139	39,68 (14) s
2 439,1 (1)	0,004 3 (5)	Y	Rh-106	30,0 (2) s
2 440,9 (4)	0,046 (17)	Y	Kr-89	3,17 (2) min
2 442,1 (3)	0,14 (3)	Y	Y-94	18,7 (1) min
2 442,9 (5)	0,26 (7)	Y	Rb-90m	4,30 (7) min
2 444,0 (6)	0,005 6 (8)	Y	I-132	2,295 (13) h
2 444,7 (8)	0,008 (4)	Y	Bi-214	19,9 (4) min
2 446,2 (3)	0,12 (2)	Y	Br-87	55,65 (13) s
2 447,3 (7)	0,25 (7)	Y	Kr-91	8,57 (4) s
2 447,86 (10)	1,548 (7)	Y	Bi-214	19,9 (4) min
2 448,5 (7)	0,15 (5)	Y	Rb-91	58,4 (4) s

* : Radionucléide en équilibre avec son descendant
(Cf. liste en début de volume)

Énergie (keV)	Intensité (%)	Type	Parent	Période
2 450,7 (3)	0,68 (9)	Y	Kr-91	8,57 (4) s
2 451,6 (6)	0,045 (18)	Y	Xe-139	39,68 (14) s
2 451,88 (10)	0,67 (5)	Y	Br-87	55,65 (13) s
2 451,9 (20)	0,057 (7)	Y	Rb-89	15,2 (1) min
2 452,4 (15)	0,05 (3)	Y	Cs-140	1,062 (5) min
2 452,51 (10)	0,26	Y	I-137	24,5 (2) s
2 452,8 (8)	0,009 (6)	Y	I-135	6,57 (2) h
2 452,9 (3)	0,064 (10)	Y	I-134	52,5 (2) min
2 453,9 (3)	0,069 (19)	Y	I-124	4,1760 (3) d
2 454,3 (3)	0,000 8 (3)	Y	Sb-124	60,20 (3) d
2 454,7 (2)	0,30 (3)	Y	Br-87	55,65 (13) s
2 454,8 (4)	0,002 1 (5)	Y	I-132	2,295 (13) h
2 455,5 (5)	0,015 (3)	Y	Xe-123	2,08 (2) h
2 456,20 (9)	0,256 (25)	Y	Te-133	12,45 (30) min
2 456,4 (10)	0,08 (6)	Y	Cs-140	1,062 (5) min
2 456,8 (2)	0,000 25 (4)	Y	Rh-106	30,0 (2) s
2 457,3 (3)	0,006 7 (18)	Y	Y-93	10,1 (2) h
2 457,7 (3)	0,35 (6)	Y	Kr-91	8,57 (4) s
2 459,0 (8)	0,001 41 (23)	Y	Bi-214	19,9 (4) min
2 459,5 (10)	0,10 (6)	Y	Cs-140	1,062 (5) min
2 462,82 (10)	0,29 (3)	Y	Br-87	55,65 (13) s
2 462,9 (5)	0,37 (6)	Y	Cs-140	1,062 (5) min
2 463,56 (40)	0,034	Y	I-137	24,5 (2) s
2 463,9 (2)	0,014 (5)	Y	Ba-141	18,27 (7) min
2 464,031 (20)	0,009 7 (13)	Y	La-140	1,67850 (17) d
2 464,6 (5)	0,112 (21)	Y	Xe-139	39,68 (14) s
2 465,5 (2)	1,16 (10)	Y	Tc-104	18,3 (3) min
2 466,07 (10)	0,072 (4)	Y	I-135	6,57 (2) h
2 467,3 (11)	0,016 (10)	Y	Kr-89	3,17 (2) min
2 467,40 (7)	0,40 (5)	Y	Te-133	12,45 (30) min
2 467,4 (3)	0,143 (19)	Y	I-134	52,5 (2) min
2 467,97 (7)	0,008 4 (10)	Y	Ga-66	9,49 (7) h
2 468,56 (11)	0,47 (6)	Y	Kr-90	32,32 (9) s
2 468,8	0,244 (21)	Y	Ba-141	18,27 (7) min
2 469,4 (3)	0,059 (9)	Y	Br-87	55,65 (13) s
2 473,1 (5)	0,41 (9)	Y	Kr-91	8,57 (4) s
2 473,4 (5)	0,005 1 (5)	Y	Y-92	3,54 (2) h
2 473,8 (2)	0,011 2 (19)	Y	Y-93	10,1 (2) h
2 473,94 (20)	0,61 (7)	Y	Rb-90	2,70 (5) min
2 473,94 (20)	0,009 (1)	Y	Rb-90m	4,30 (7) min
2 474,91 (20)	0,1	Y	I-137	24,5 (2) s
2 475,26 (16)	0,312 (20)	Y	Xe-138	14,08 (8) min
2 476,7 (11)	0,11 (7)	Y	Rb-90	2,70 (5) min
2 477,1 (4)	0,001 4 (3)	Y	I-135	6,57 (2) h
2 477,5 (8)	0,047 (16)	Y	Cs-140	1,062 (5) min
2 479,4 (7)	0,039 (20)	Y	Kr-90	32,32 (9) s
2 480,0 (7)	0,21 (7)	Y	Kr-91	8,57 (4) s
2 482,5 (4)	0,066 (23)	Y	Te-133m	55,4 (4) min
2 482,8 (4)	0,000 96 (18)	Y	Bi-214	19,9 (4) min
2 483,0 (12)	0,133 (23)	Y	Br-76	16,2 (2) h
2 484,35 (13)	2,78 (24)	Y	Kr-91	8,57 (4) s
2 484,6 (2)	0,000 8 (2)	Y	Rh-106	30,0 (2) s
2 485 (1)	0,019 (13)	Y	Te-133	12,45 (30) min
2 487,1 (6)	0,023 (8)	Y	Cs-138	33,41 (18) min
2 487,2 (6)	0,046	Y	I-137	24,5 (2) s
2 487,8 (8)	0,024 (11)	Y	Kr-89	3,17 (2) min
2 487,8 (6)	0,000 8 (2)	Y	I-132	2,295 (13) h
2 489,6 (2)	0,002 7 (4)	Y	Xe-137	3,818 (13) min
2 490,98 (7)	7,7 (2)	Y	Ga-72	14,10 (2) h
2 491,29 (15)	0,17	Y	I-137	24,5 (2) s
2 492,0 (3)	0,21 (4)	Y	Y-94	18,7 (1) min
2 492,42 (3)	0,022 2 (23)	Y	Ga-66	9,49 (7) h
2 492,61 (24)	0,054 (7)	Y	Xe-138	14,08 (8) min
2 495,82 (22)	0,69 (8)	Y	Kr-91	8,57 (4) s
2 496,35 (12)	0,19 (3)	Y	Te-133	12,45 (30) min
2 496,6 (2)	0,289 (21)	Y	Cs-140	1,062 (5) min
2 497,27 (15)	0,034 (4)	Y	Rb-90	2,70 (5) min
2 497,27 (15)	0,76 (9)	Y	Rb-90m	4,30 (7) min
2 497,56 (17)	0,173 (14)	Y	Xe-138	14,08 (8) min
2 497,6 (15)	0,016 (8)	Y	Kr-90	32,32 (9) s
2 498,58 (7)	0,57 (4)	Y	Br-87	55,65 (13) s
2 498,7 (5)	0,027	Y	I-137	24,5 (2) s
2 499,4 (3)	0,17 (5)	Y	Cs-138	33,41 (18) min
2 500,5 (9)	0,000 05 (2)	Y	Rh-106	30,0 (2) s
2 503,0 (5)	0,050 (13)	Y	Kr-89	3,17 (2) min
2 505,4 (2)	0,005 6 (6)	Y	Bi-214	19,9 (4) min
2 505,692 (5)	0,000 002 0 (4)	Y	Co-60	5,2710 (8) a
2 505,95 (14)	1,43 (12)	Y	Rb-91	58,4 (4) s
2 507,6 (6)	0,078 (24)	Y	Xe-139	39,68 (14) s
2 507,79 (7)	12,8 (2)	Y	Ga-72	14,10 (2) h

* : Radionucléide en équilibre avec son descendant
(Cf. liste en début de volume)

Énergie (keV)	Intensité (%)	Type	Parent	Période
2 508,61 (40)	0,052	Y	I-137	24,5 (2) s
2 509,63 (20)	0,17 (2)	Y	Br-87	55,65 (13) s
2 510,41 (18)	0,27 (4)	Y	Xe-139	39,68 (14) s
2 510,5 (8)	0,015 (7)	Y	Cs-138	33,41 (18) min
2 510,79 (16)	1,95 (13)	Y	Br-76	16,2 (2) h
2 510,8 (20)	0,24 (11)	Y	Kr-89	3,17 (2) min
2 513,3 (3)	0,067 (10)	Y	I-134	52,5 (2) min
2 513,3 (15)	0,21 (11)	Y	Cs-140	1,062 (5) min
2 513,8 (2)	0,51 (6)	Y	Tc-104	18,3 (3) min
2 515,0 (5)	0,25 (1)	Y	Ga-72	14,10 (2) h
2 516,3 (10)	0,037 (15)	Y	Ba-141	18,27 (7) min
2 519,1 (4)	1,30 (5)	Y	Br-87	55,65 (13) s
2 521,390 (14)	3,412 (24)	Y	La-140	1,67850 (17) d
2 521,9 (1)	3,2 (3)	Y	Cs-140	1,062 (5) min
2 522,0 (5)	0,050 (13)	Y	Kr-89	3,17 (2) min
2 523,0 (8)	0,063 (4)	Y	Co-56	77,236 (26) d
2 523,06 (5)	1,02 (2)	Y	Mn-56	2,57878 (46) h
2 523,97 (10)	0,31 (3)	Y	Br-87	55,65 (13) s
2 525,14 (15)	0,039 (4)	Y	I-132	2,295 (13) h
2 525,2 (6)	0,000 06 (5)	Y	Rh-106	30,0 (2) s
2 525,5 (4)	0,025 (13)	Y	Te-133	12,45 (30) min
2 525,8 (3)	0,098 (19)	Y	Tc-104	18,3 (3) min
2 527,3 (4)	0,20 (5)	Y	Y-94	18,7 (1) min
2 528,6 (6)	0,001 5 (4)	Y	Xe-137	3,818 (13) min
2 532,44 (30)	0,073	Y	I-137	24,5 (2) s
2 532,9 (2)	0,86 (10)	Y	Tc-104	18,3 (3) min
2 534,9 (3)	0,094 (16)	Y	Kr-89	3,17 (2) min
2 535,0 (5)	0,062 (18)	Y	Xe-139	39,68 (14) s
2 535,52 (11)	0,042 (4)	Y	Kr-88	2,84 (3) h
2 536,2 (9)	0,07 (3)	Y	Br-87	55,65 (13) s
2 537,09 (5)	0,005 1 (12)	Y	Ga-66	9,49 (7) h
2 537,8 (9)	0,17 (7)	Y	Rb-90m	4,30 (7) min
2 539,4 (3)	0,17 (2)	Y	Kr-91	8,57 (4) s
2 541,80 (7)	0,50 (6)	Y	Te-133	12,45 (30) min
2 542,1 (1)	0,027 0 (22)	Y	Ne-23	37,24 (12) s
2 542,9 (2)	0,002 9 (3)	Y	Rh-106	30,0 (2) s
2 543,73 (14)	0,80 (8)	Y	I-138	6,49 (7) s
2 543,9 (3)	0,33 (4)	Y	Rb-90m	4,30 (7) min
2 544,3 (2)	0,69 (8)	Y	Tc-104	18,3 (3) min
2 545,4 (6)	0,050 (15)	Y	Kr-89	3,17 (2) min
2 546,6 (6)	0,001 6 (5)	Y	I-132	2,295 (13) h
2 546,7 (20)	0,006 (4)	Y	Br-76	16,2 (2) h
2 547,12 (10)	0,38 (4)	Y	Br-87	55,65 (13) s
2 547,180 (23)	0,101 7 (12)	Y	La-140	1,67850 (17) d
2 548,40 (3)	0,620 (31)	Y	Kr-88	2,84 (3) h
2 549,9 (9)	0,030 (13)	Y	Kr-89	3,17 (2) min
2 550,2 (2)	0,87 (9)	Y	Tc-104	18,3 (3) min
2 550,6 (4)	0,18 (3)	Y	Kr-91	8,57 (4) s
2 550,7 (7)	0,000 32 (9)	Y	Bi-214	19,9 (4) min
2 553,6 (6)	0,042 (21)	Y	Cs-140	1,062 (5) min
2 554,19 (7)	0,35 (4)	Y	Te-133	12,45 (30) min
2 554,8 (2)	9,2 (7)	Y	Kr-87	1,272 (8) h
2 555,3 (8)	0,034 (13)	Y	Kr-89	3,17 (2) min
2 555,8 (6)	0,10 (5)	Y	Kr-91	8,57 (4) s
2 558,0 (4)	0,17 (7)	Y	Kr-91	8,57 (4) s
2 558,1 (2)	3,9 (4)	Y	Kr-87	1,272 (8) h
2 559,4 (4)	0,35 (6)	Y	Kr-91	8,57 (4) s
2 560,4 (5)	0,015 (3)	Y	Xe-123	2,08 (2) h
2 562,0 (6)	0,000 18 (9)	Y	Bi-214	19,9 (4) min
2 562,8 (6)	0,064	Y	I-137	24,5 (2) s
2 564,0 (6)	0,000 14 (9)	Y	Bi-214	19,9 (4) min
2 564,1 (7)	0,058 (16)	Y	Cs-140	1,062 (5) min
2 564,19 (14)	12,6 (10)	Y	Rb-91	58,4 (4) s
2 566,2 (5)	0,06 (2)	Y	Y-94	18,7 (1) min
2 566,9 (6)	0,092	Y	I-137	24,5 (2) s
2 569,7 (4)	0,005 (1)	Y	I-132	2,295 (13) h
2 570,2 (11)	10,7 (6)	Y	Rb-89	15,2 (1) min
2 570,8 (3)	0,12 (2)	Y	Br-87	55,65 (13) s
2 571,1 (2)	0,001 35 (15)	Y	Rh-106	30,0 (2) s
2 572,38 (14)	1,20 (12)	Y	I-138	6,49 (7) s
2 574,04 (12)	0,34 (5)	Y	Xe-139	39,68 (14) s
2 575,37 (9)	0,58 (5)	Y	Br-87	55,65 (13) s
2 577,73 (5)	0,21 (3)	Y	Rb-88	17,8 (1) min
2 578,9 (5)	0,062 (18)	Y	Xe-139	39,68 (14) s
2 580,3 (5)	0,005 (1)	Y	Xe-123	2,08 (2) h
2 581,71 (10)	0,023 4 (23)	Y	Xe-137	3,818 (13) min
2 582,52 (4)	0,018 9 (5)	Y	O-19	26,91 (8) s
2 583,15 (13)	0,239 (16)	Y	Cs-138	33,41 (18) min
2 583,4 (4)	0,014 (3)	Y	Ga-72	14,10 (2) h
2 585,6 (5)	0,10 (3)	Y	Kr-91	8,57 (4) s

* : Radionucléide en équilibre avec son descendant
(Cf. liste en début de volume)

Énergie (keV)	Intensité (%)	Type	Parent	Période
2 588,3 (8)	1,5 (3)	Y	Sb-132	2,79 (5) min
2 588,553 (13)	0,026 3 (26)	Y	Ga-66	9,49 (7) h
2 589,8 (11)	0,02	Y	I-137	24,5 (2) s
2 590,03 (15)	0,13 (1)	Y	Br-87	55,65 (13) s
2 592,32 (20)	0,64 (8)	Y	Rb-90m	4,30 (7) min
2 593,15 (20)	0,54 (6)	Y	Kr-91	8,57 (4) s
2 593,8 (8)	0,001 2 (3)	Y	I-132	2,295 (13) h
2 594,8 (3)	0,078	Y	I-137	24,5 (2) s
2 596,3 (3)	0,099 (10)	Y	Br-87	55,65 (13) s
2 597,7 (3)	0,06 (2)	Y	Te-133	12,45 (30) min
2 597,92 (20)	0,109 (18)	Y	Kr-89	3,17 (2) min
2 598,438 (4)	0,020 (2)	Y	Mn-56	2,57878 (46) h
2 598,438 (4)	16,96 (4)	Y	Co-56	77,236 (26) d
2 601,25 (15)	0,70 (5)	Y	Br-76	16,2 (2) h
2 603,20 (8)	0,41 (3)	Y	Br-87	55,65 (13) s
2 603,2 (5)	0,001 5 (3)	Y	I-132	2,295 (13) h
2 604,5 (5)	0,000 36 (9)	Y	Bi-214	19,9 (4) min
2 605,0 (3)	0,011 (5)	Y	Y-93	10,1 (2) h
2 605,5 (4)	0,018 (4)	Y	Ga-72	14,10 (2) h
2 606,7 (5)	0,14 (4)	Y	Rb-91	58,4 (4) s
2 606,9 (5)	0,24 (5)	Y	Kr-91	8,57 (4) s
2 607,1 (3)	0,081 (15)	Y	Br-87	55,65 (13) s
2 608,5 (2)	1,60 (19)	Y	Tc-104	18,3 (3) min
2 609,3 (3)	0,034 (5)	Y	Cs-138	33,41 (18) min
2 613,7 (7)	0,034 (18)	Y	Xe-139	39,68 (14) s
2 614,5 (4)	0,004 (1)	Y	I-132	2,295 (13) h
2 614,511 (10)	99,79 (1)	Y	Tl-208	3,060 (8) min
2 617,8 (3)	0,61 (9)	Y	Rb-90m	4,30 (7) min
2 620,33 (23)	0,67 (8)	Y	Kr-91	8,57 (4) s
2 621,06 (24)	0,132 (4)	Y	Ga-72	14,10 (2) h
2 622,77 (15)	0,053 (6)	Y	Br-87	55,65 (13) s
2 622,8 (10)	0,022 (13)	Y	Kr-89	3,17 (2) min
2 623,8 (2)	0,094 (20)	Y	Te-133	12,45 (30) min
2 626,9 (5)	0,000 08 (3)	Y	Rh-106	30,0 (2) s
2 627 (2)	0,13 (4)	Y	Br-76	16,2 (2) h
2 627,7 (8)	0,17 (2)	Y	Kr-91	8,57 (4) s
2 629,7 (1)	0,78	Y	I-137	24,5 (2) s
2 629,9 (3)	0,067 (7)	Y	I-134	52,5 (2) min
2 630,1 (15)	0,14 (5)	Y	Kr-89	3,17 (2) min
2 630,9 (3)	0,000 86 (23)	Y	Bi-214	19,9 (4) min
2 631,44 (9)	0,002 9 (11)	Y	Ga-66	9,49 (7) h
2 633,0 (3)	0,10 (4)	Y	Tc-104	18,3 (3) min
2 633,75 (22)	0,106 (21)	Y	Xe-139	39,68 (14) s
2 633,8 (8)	0,5 (2)	Y	Sb-132	2,79 (5) min
2 633,9 (4)	0,015 (2)	Y	Ga-72	14,10 (2) h
2 638,7 (4)	0,43 (7)	Y	Br-87	55,65 (13) s
2 639,0 (6)	0,12 (4)	Y	Br-87	55,65 (13) s
2 639,59 (13)	7,63 (23)	Y	Cs-138	33,41 (18) min
2 640,1 (6)	0,034 (18)	Y	Xe-139	39,68 (14) s
2 641,67 (8)	0,59 (5)	Y	Br-87	55,65 (13) s
2 642,5 (4)	0,20 (4)	Y	Kr-91	8,57 (4) s
2 644,6 (2)	0,25 (4)	Y	I-138	6,49 (7) s
2 645,26 (15)	0,42 (4)	Y	Kr-89	3,17 (2) min
2 646 (2)	0,019 08 (6)	Y	I-134	52,5 (2) min
2 646,8 (5)	0,079 (22)	Y	Cs-140	1,062 (5) min
2 651,3 (3)	0,000 66 (7)	Y	Rh-106	30,0 (2) s
2 652,5 (4)	0,023 (5)	Y	Kr-87	1,272 (8) h
2 653,8 (6)	0,001 0 (3)	Y	I-132	2,295 (13) h
2 653,9 (3)	0,23 (3)	Y	Tc-104	18,3 (3) min
2 654,3 (4)	0,000 20 (3)	Y	Pr-144	17,29 (3) min
2 655,30 (8)	0,044 (3)	Y	As-76	1,0778 (20) d
2 656,48 (7)	0,112 (3)	Y	Sc-44	3,97 (4) h
2 656,7 (10)	0,016 (11)	Y	Cs-140	1,062 (5) min
2 657,02 (30)	0,048	Y	I-137	24,5 (2) s
2 657,4 (8)	0,019 5 (20)	Y	Co-56	77,236 (26) d
2 657,56 (1)	0,645 (7)	Y	Mn-56	2,57878 (46) h
2 658 (2)	0,13 (5)	Y	Br-76	16,2 (2) h
2 658,8 (3)	0,25 (3)	Y	Tc-104	18,3 (3) min
2 659,1 (5)	0,086 (17)	Y	Kr-89	3,17 (2) min
2 660,8 (10)	0,026 (16)	Y	Cs-140	1,062 (5) min
2 661,1 (4)	0,075 (20)	Y	Te-133	12,45 (30) min
2 662,4 (10)	0,03 (1)	Y	Y-94	18,7 (1) min
2 662,4 (10)	0,000 200 (41)	Y	Bi-214	19,9 (4) min
2 662,79 (15)	0,34 (5)	Y	Br-87	55,65 (13) s
2 663,0 (7)	0,09 (3)	Y	Kr-91	8,57 (4) s
2 663,7 (10)	0,026 (16)	Y	Cs-140	1,062 (5) min
2 664 (1)	4 (1)	Y	Sb-132m	4,10 (7) min
2 666,7 (10)	0,032 (16)	Y	Cs-140	1,062 (5) min
2 668 (5)	0,013 (7)	Y	Rb-89	15,2 (1) min
2 670,4 (4)	0,084 (14)	Y	I-138	6,49 (7) s

* : Radionucléide en équilibre avec son descendant
(Cf. liste en début de volume)

Énergie (keV)	Intensité (%)	Type	Parent	Période
2 671,59 (20)	0,34	Y	I-137	24,5 (2) s
2 673,4 (5)	0,056 (18)	Y	Xe-139	39,68 (14) s
2 674,1 (3)	0,118 (20)	Y	I-138	6,49 (7) s
2 674,6 (5)	0,073 (11)	Y	Cs-140	1,062 (5) min
2 674,9 (6)	0,059	Y	I-137	24,5 (2) s
2 677,0 (2)	0,33 (5)	Y	Tc-104	18,3 (3) min
2 677,86 (4)	2,05 (10)	Y	Rb-88	17,8 (1) min
2 681,5 (2)	0,031 (13)	Y	I-124	4,1760 (3) d
2 681,6 (4)	0,001 7 (3)	Y	Sb-124	60,20 (3) d
2 685,37 (15)	0,18 (2)	Y	I-138	6,49 (7) s
2 685,6 (4)	0,031 (7)	Y	Rb-89	15,2 (1) min
2 687,0 (9)	0,09 (5)	Y	Kr-91	8,57 (4) s
2 688,79 (15)	0,033 (20)	Y	Br-87	55,65 (13) s
2 688,9 (5)	0,124 (25)	Y	Rb-90	2,70 (5) min
2 690,0 (15)	0,36 (4)	Y	Br-76	16,2 (2) h
2 690,9 (2)	0,18 (4)	Y	Tc-104	18,3 (3) min
2 693,4 (5)	0,078 (24)	Y	Xe-139	39,68 (14) s
2 693,5 (3)	0,12	Y	I-137	24,5 (2) s
2 693,6 (3)	0,002 4 (7)	Y	Sb-124	60,20 (3) d
2 693,94 (10)	0,41 (3)	Y	Br-87	55,65 (13) s
2 694,3 (15)	0,05 (5)	Y	Cs-140	1,062 (5) min
2 694,7 (2)	0,033 (3)	Y	Bi-214	19,9 (4) min
2 698,92 (5)	0,003 7 (7)	Y	Ga-66	9,49 (7) h
2 699,4 (3)	0,002 82 (23)	Y	Bi-214	19,9 (4) min
2 699,5 (5)	0,032 (8)	Y	I-134	52,5 (2) min
2 700,1 (2)	0,101 (14)	Y	I-138	6,49 (7) s
2 703,2 (9)	0,034 (15)	Y	Kr-89	3,17 (2) min
2 703,7 (2)	0,64 (4)	Y	Cs-140	1,062 (5) min
2 704,88 (7)	1,7 (1)	Y	Br-87	55,65 (13) s
2 705,2 (2)	0,002 56 (10)	Y	Rh-106	30,0 (2) s
2 705,3 (1)	0,057	Y	I-137	24,5 (2) s
2 705,9 (2)	0,26 (3)	Y	Tc-104	18,3 (3) min
2 707,26 (15)	2,20 (13)	Y	Rb-89	15,2 (1) min
2 709,2 (3)	0,13 (2)	Y	Br-87	55,65 (13) s
2 709,5 (2)	0,003 7 (3)	Y	Rh-106	30,0 (2) s
2 713,73 (5)	0,006 2 (19)	Y	Ga-66	9,49 (7) h
2 714 (3)	0,074 (23)	Y	Br-76	16,2 (2) h
2 715,19 (10)	0,19 (2)	Y	Br-87	55,65 (13) s
2 717,0 (2)	0,59 (7)	Y	Tc-104	18,3 (3) min
2 717,5 (6)	0,003 5 (5)	Y	I-132	2,295 (13) h
2 719,3 (2)	0,001 70 (17)	Y	Bi-214	19,9 (4) min
2 721,9 (7)	0,036 (15)	Y	Kr-89	3,17 (2) min
2 724,2 (7)	0,17 (6)	Y	Rb-91	58,4 (4) s
2 724,26 (21)	0,128 (18)	Y	Rb-90	2,70 (5) min
2 724,26 (21)	0,43 (6)	Y	Rb-90m	4,30 (7) min
2 724,9 (2)	0,36 (5)	Y	Tc-104	18,3 (3) min
2 726,14 (20)	0,096	Y	I-137	24,5 (2) s
2 726,68 (11)	0,87 (8)	Y	Kr-90	32,32 (9) s
2 730,76 (14)	0,020 (3)	Y	Ni-57	35,9 (3) h
2 731,12 (15)	0,120 (8)	Y	Cs-138	33,41 (18) min
2 732,1 (7)	0,24 (8)	Y	Kr-91	8,57 (4) s
2 734,068 (14)	0,11 (1)	Y	Rb-88	17,8 (1) min
2 734,068 (14)	0,614 (25)	Y	Y-88	106,626 (21) d
2 735,2 (4)	0,001 4 (3)	Y	Xe-137	3,818 (13) min
2 735,83 (19)	1,48 (16)	Y	Kr-91	8,57 (4) s
2 736,7 (3)	0,12 (3)	Y	Xe-139	39,68 (14) s
2 737,2 (13)	0,047 (16)	Y	Cs-140	1,062 (5) min
2 740,3 (3)	0,000 23 (4)	Y	Rh-106	30,0 (2) s
2 741,0 (12)	0,14 (8)	Y	Rb-90m	4,30 (7) min
2 741,5 (6)	0,824 (17)	Y	N-16	7,13 (2) s
2 741,5 (4)	0,048	Y	I-137	24,5 (2) s
2 742,3 (8)	0,028 (13)	Y	Kr-89	3,17 (2) min
2 744,70 (6)	0,013 (3)	Y	Br-87	55,65 (13) s
2 746,9 (1)	0,478 (20)	Y	I-124	4,1760 (3) d
2 750,9 (3)	0,125 (16)	Y	Kr-89	3,17 (2) min
2 751,2 (4)	21,1 (22)	Y	Br-86	55,1 (4) s
2 751,835 (5)	22,7 (18)	Y	Ga-66	9,49 (7) h
2 752,59 (19)	0,74 (8)	Y	Kr-91	8,57 (4) s
2 752,68 (8)	11,5 (6)	Y	Rb-90m	4,30 (7) min
2 754,007 (11)	99,872 (8)	Y	Na-24	14,9574 (20) h
2 754,2 (4)	0,067 (19)	Y	Xe-139	39,68 (14) s
2 754,3 (4)	0,24 (3)	Y	Br-87	55,65 (13) s
2 756,6 (5)	0,066 (15)	Y	Kr-89	3,17 (2) min
2 757 (3)	0,074 (23)	Y	Br-76	16,2 (2) h
2 757,8 (7)	0,001 3 (6)	Y	I-132	2,295 (13) h
2 760,3 (7)	0,046 (17)	Y	Kr-89	3,17 (2) min
2 761,6 (4)	0,067 (19)	Y	Xe-139	39,68 (14) s
2 764,8 (4)	0,100 (17)	Y	Cs-140	1,062 (5) min
2 767,04 (20)	0,31	Y	I-137	24,5 (2) s
2 769,32 (12)	0,30 (4)	Y	Xe-139	39,68 (14) s

* : Radionucléide en équilibre avec son descendant
(Cf. liste en début de volume)

Énergie (keV)	Intensité (%)	Type	Parent	Période
2 769,4 (5)	0,21 (6)	Y	Kr-91	8,57 (4) s
2 769,9 (2)	0,022 5 (8)	Y	Bi-214	19,9 (4) min
2 770,9 (4)	0,058 (13)	Y	Kr-90	32,32 (9) s
2 771,02 (5)	0,149 (10)	Y	Kr-88	2,84 (3) h
2 775,7 (11)	0,030 (21)	Y	Kr-89	3,17 (2) min
2 780,095 (16)	0,123 (10)	Y	Ga-66	9,49 (7) h
2 782,11 (10)	0,76 (8)	Y	Kr-89	3,17 (2) min
2 783,3 (4)	0,33 (6)	Y	Rb-91	58,4 (4) s
2 785,1 (4)	0,030 (2)	Y	Ga-72	14,10 (2) h
2 785,7 (3)	0,003 0 (6)	Y	Ga-66	9,49 (7) h
2 785,9 (2)	0,005 5 (5)	Y	Bi-214	19,9 (4) min
2 788,2 (2)	0,53 (6)	Y	Tc-104	18,3 (3) min
2 788,2 (6)	0,100 (17)	Y	Cs-140	1,062 (5) min
2 788,5 (5)	0,000 08 (3)	Y	Rh-106	30,0 (2) s
2 789,1 (22)	0,28 (18)	Y	Rb-90m	4,30 (7) min
2 789,2 (6)	0,052 (19)	Y	Kr-89	3,17 (2) min
2 789,6 (4)	0,49 (6)	Y	Rb-91	58,4 (4) s
2 790,89 (14)	0,27 (4)	Y	Xe-139	39,68 (14) s
2 792,69 (8)	5,6 (4)	Y	Br-76	16,2 (2) h
2 793,75 (20)	0,68 (6)	Y	Kr-89	3,17 (2) min
2 793,9 (3)	0,196 (25)	Y	I-138	6,49 (7) s
2 802,8 (5)	0,001 5 (4)	Y	Ga-66	9,49 (7) h
2 804,08 (15)	0,102 (17)	Y	Ni-57	35,9 (3) h
2 804,1 (8)	0,040 (17)	Y	Kr-89	3,17 (2) min
2 805,9 (10)	0,034 (13)	Y	Y-94	18,7 (1) min
2 805,93 (10)	0,100 (8)	Y	Cs-138	33,41 (18) min
2 806,4 (4)	0,090 (19)	Y	I-138	6,49 (7) s
2 807,76 (15)	0,19	Y	I-137	24,5 (2) s
2 809,1 (3)	0,000 62 (5)	Y	Rh-106	30,0 (2) s
2 809,9 (12)	0,12 (7)	Y	Kr-91	8,57 (4) s
2 810,3 (6)	0,007 (7)	Y	Ba-141	18,27 (7) min
2 811,3 (6)	0,16 (4)	Y	Br-87	55,65 (13) s
2 811,4 (2)	0,322 (22)	Y	Kr-87	1,272 (8) h
2 811,7 (6)	0,27 (4)	Y	Kr-91	8,57 (4) s
2 813,2 (3)	0,20 (3)	Y	Tc-104	18,3 (3) min
2 815,03 (15)	0,22 (3)	Y	Xe-139	39,68 (14) s
2 816,8 (3)	0,14 (3)	Y	Tc-104	18,3 (3) min
2 818,1 (5)	0,013 (7)	Y	Rb-89	15,2 (1) min
2 819,58 (25)	0,133 (18)	Y	Kr-89	3,17 (2) min
2 819,8 (3)	0,004 2 (4)	Y	Y-92	3,54 (2) h
2 820,97 (7)	1,8 (1)	Y	Br-87	55,65 (13) s
2 821,2 (3)	0,001 2 (1)	Y	Rh-106	30,0 (2) s
2 821,73 (14)	0,000 47 (40)	Y	Ga-68	1,1275 (10) h
2 822,2 (12)	0,13 (4)	Y	N-16	7,13 (2) s
2 825,30 (14)	0,15 (2)	Y	Te-133	12,45 (30) min
2 826,3 (4)	0,14 (4)	Y	Te-133m	55,4 (4) min
2 826,98 (20)	0,002 18 (17)	Y	Bi-214	19,9 (4) min
2 828,79 (20)	0,20 (2)	Y	Br-87	55,65 (13) s
2 829,8 (3)	0,077	Y	I-137	24,5 (2) s
2 830,2 (3)	0,21 (3)	Y	Tc-104	18,3 (3) min
2 832,8 (4)	0,062 (13)	Y	Xe-139	39,68 (14) s
2 834,43 (13)	1,84 (14)	Y	Rb-90m	4,30 (7) min
2 835,65 (19)	1,24 (12)	Y	I-138	6,49 (7) s
2 836 (7)	1,4 (1)	Y	Br-87	55,65 (13) s
2 837 (3)	0,11 (5)	Y	Br-76	16,2 (2) h
2 838,3 (3)	0,37 (5)	Y	Tc-104	18,3 (3) min
2 840 (4)	0,019 (10)	Y	I-134	52,5 (2) min
2 842,6 (5)	0,06 (2)	Y	I-138	6,49 (7) s
2 842,9 (10)	0,000 11 (4)	Y	Pr-144	17,29 (3) min
2 843,130 (16)	0,001 7 (4)	Y	Ga-66	9,49 (7) h
2 844,00 (14)	0,43 (3)	Y	Ga-72	14,10 (2) h
2 844 (3)	0,15 (5)	Y	Br-76	16,2 (2) h
2 845,0 (3)	0,33 (6)	Y	Kr-91	8,57 (4) s
2 846,3 (3)	0,37 (6)	Y	Y-94	18,7 (1) min
2 847,39 (22)	0,65 (8)	Y	Rb-91	58,4 (4) s
2 848,2 (2)	0,61 (4)	Y	Cs-140	1,062 (5) min
2 849,8 (1)	0,184 (10)	Y	Xe-137	3,818 (13) min
2 851,2 (5)	0,039	Y	I-137	24,5 (2) s
2 853,3 (3)	0,24 (4)	Y	Kr-89	3,17 (2) min
2 853,35 (15)	0,089 (8)	Y	Br-87	55,65 (13) s
2 854,2 (4)	0,09 (2)	Y	Xe-139	39,68 (14) s
2 855,3 (3)	0,40 (6)	Y	Kr-91	8,57 (4) s
2 855,4 (3)	0,32 (7)	Y	Kr-90	32,32 (9) s
2 858,9 (15)	0,054 (9)	Y	Kr-89	3,17 (2) min
2 861,08 (40)	0,000 41 (13)	Y	Bi-214	19,9 (4) min
2 862,9 (4)	0,065 (10)	Y	Br-87	55,65 (13) s
2 865,73 (21)	0,187 (22)	Y	Kr-90	32,32 (9) s
2 866,23 (10)	1,75 (15)	Y	Kr-89	3,17 (2) min
2 869,20 (15)	0,24 (2)	Y	Br-87	55,65 (13) s
2 869,50 (6)	0,000 24 (3)	Y	Na-24	14,9574 (20) h

* : Radionucléide en équilibre avec son descendant
(Cf. liste en début de volume)

Énergie (keV)	Intensité (%)	Type	Parent	Période
2 870,54 (21)	0,85 (9)	Y	Kr-91	8,57 (4) s
2 872,5 (6)	0,19 (6)	Y	Rb-91	58,4 (4) s
2 872,65 (25)	0,123 (22)	Y	Xe-139	39,68 (14) s
2 873,6 (2)	0,43 (3)	Y	Cs-140	1,062 (5) min
2 873,8 (4)	0,06 (6)	Y	Kr-89	3,17 (2) min
2 878,69 (25)	0,33 (4)	Y	Kr-89	3,17 (2) min
2 880,3 (2)	0,010 1 (16)	Y	Bi-214	19,9 (4) min
2 886,6 (4)	0,084 (19)	Y	Xe-139	39,68 (14) s
2 889,8 (4)	0,10 (2)	Y	Br-87	55,65 (13) s
2 893,5 (3)	0,40 (6)	Y	Kr-91	8,57 (4) s
2 893,5 (2)	0,005 7 (5)	Y	Bi-214	19,9 (4) min
2 897,1 (8)	0,004 8 (10)	Y	Ga-72	14,10 (2) h
2 897,6 (5)	0,21 (5)	Y	Rb-91	58,4 (4) s
2 898,7 (6)	0,10 (3)	Y	Y-94	18,7 (1) min
2 899,5 (4)	0,062	Y	I-137	24,5 (2) s
2 899,53 (7)	0,066 0 (6)	Y	La-140	1,67850 (17) d
2 900,3 (13)	0,11 (7)	Y	Rb-90m	4,30 (7) min
2 900,5 (1)	0,27 (10)	Y	Br-76	16,2 (2) h
2 901,0 (5)	0,086 (20)	Y	Br-87	55,65 (13) s
2 902,7 (5)	0,000 06 (3)	Y	Rh-106	30,0 (2) s
2 903,8 (4)	0,078 (19)	Y	Xe-139	39,68 (14) s
2 904,4 (11)	0,07 (4)	Y	Kr-91	8,57 (4) s
2 907,46 (15)	0,40 (4)	Y	Br-87	55,65 (13) s
2 908,4 (8)	0,045 (20)	Y	Y-94	18,7 (1) min
2 909,8 (4)	0,069	Y	I-137	24,5 (2) s
2 911,7 (11)	0,12 (7)	Y	Rb-90m	4,30 (7) min
2 911,7 (4)	0,067 (19)	Y	Xe-139	39,68 (14) s
2 912,0 (4)	0,33 (3)	Y	Rb-91	58,4 (4) s
2 913,2 (8)	0,5 (2)	Y	Sb-132	2,79 (5) min
2 914,6 (7)	0,088 (20)	Y	Br-87	55,65 (13) s
2 916,4 (8)	0,029	Y	I-137	24,5 (2) s
2 917,4 (7)	0,030 (11)	Y	Kr-89	3,17 (2) min
2 918,0 (3)	0,000 92 (7)	Y	Rh-106	30,0 (2) s
2 918,3 (3)	0,12 (3)	Y	Xe-139	39,68 (14) s
2 919,9 (4)	0,27 (5)	Y	Kr-91	8,57 (4) s
2 921,9 (2)	0,017 8 (16)	Y	Xe-137	3,818 (13) min
2 921,9 (2)	0,013 4 (5)	Y	Bi-214	19,9 (4) min
2 922,6 (4)	0,10 (2)	Y	Br-87	55,65 (13) s
2 922,6 (3)	0,092	Y	I-137	24,5 (2) s
2 924,3 (7)	0,072 (25)	Y	Rb-90	2,70 (5) min
2 925,6 (3)	0,033 (7)	Y	Br-87	55,65 (13) s
2 925,72 (18)	1,52 (13)	Y	Rb-91	58,4 (4) s
2 926,2 (4)	2,7 (4)	Y	Br-86	55,1 (4) s
2 926,7 (5)	0,09 (3)	Y	Kr-91	8,57 (4) s
2 927,77 (13)	0,118 (12)	Y	I-138	6,49 (7) s
2 927,9 (5)	0,13 (5)	Y	Tc-104	18,3 (3) min
2 928,6 (3)	0,001 09 (9)	Y	Bi-214	19,9 (4) min
2 930,8 (5)	0,20 (5)	Y	Kr-91	8,57 (4) s
2 931,4 (4)	0,020 (4)	Y	Cs-138	33,41 (18) min
2 931,64 (15)	0,14 (4)	Y	Br-87	55,65 (13) s
2 933,358 (9)	0,213 (17)	Y	Ga-66	9,49 (7) h
2 934,6 (3)	0,000 46 (12)	Y	Bi-214	19,9 (4) min
2 936,2 (5)	0,056 (18)	Y	Xe-139	39,68 (14) s
2 938 (1)	0,24 (4)	Y	Al-26	717 (24) E+3 a
2 939,6 (4)	0,010 (1)	Y	Ga-72	14,10 (2) h
2 941,8 (3)	0,078 (19)	Y	Xe-139	39,68 (14) s
2 942,4 (9)	0,026 (6)	Y	Ga-72	14,10 (2) h
2 943,0 (3)	0,077 (1)	Y	Br-87	55,65 (13) s
2 943,1 (3)	0,1	Y	I-137	24,5 (2) s
2 946,9 (4)	0,078 (15)	Y	Kr-89	3,17 (2) min
2 947,9 (4)	0,019 (7)	Y	Rb-89	15,2 (1) min
2 948,8 (5)	0,04 (2)	Y	Kr-90	32,32 (9) s
2 950,0 (5)	0,004 (1)	Y	Ga-72	14,10 (2) h
2 950,53 (6)	7,4 (5)	Y	Br-76	16,2 (2) h
2 952,8 (5)	0,043	Y	I-137	24,5 (2) s
2 955,0 (12)	0,006 (4)	Y	Rb-89	15,2 (1) min
2 958,6 (6)	0,13 (4)	Y	Rb-91	58,4 (4) s
2 959,92 (1)	0,307 (5)	Y	Mn-56	2,57878 (46) h
2 960,3 (3)	0,092	Y	I-137	24,5 (2) s
2 961,2 (8)	0,069 (21)	Y	Kr-87	1,272 (8) h
2 964,4 (3)	0,157 (18)	Y	I-138	6,49 (7) s
2 965 (1)	0,000 5 (2)	Y	V-52	3,753 (5) min
2 966,6 (7)	0,13 (4)	Y	Kr-91	8,57 (4) s
2 966,6 (10)	0,011 (7)	Y	Y-94	18,7 (1) min
2 967,05 (10)	0,06 (3)	Y	Br-87	55,65 (13) s
2 968,1 (4)	0,111 (18)	Y	Te-133m	55,4 (4) min
2 969,2 (2)	0,43 (3)	Y	Cs-140	1,062 (5) min
2 970,8 (8)	0,09 (3)	Y	Br-87	55,65 (13) s
2 975,8 (3)	0,22 (3)	Y	Tc-104	18,3 (3) min
2 977,08 (4)	0,023 (3)	Y	Ga-66	9,49 (7) h

* : Radionucléide en équilibre avec son descendant
(Cf. liste en début de volume)

Énergie (keV)	Intensité (%)	Type	Parent	Période
2 978,9 (2)	0,013 7 (4)	Y	Bi-214	19,9 (4) min
2 980,7 (6)	0,096 (21)	Y	Rb-90	2,70 (5) min
2 981,14 (24)	0,055 (6)	Y	Ga-72	14,10 (2) h
2 981,85 (19)	1,30 (11)	Y	Kr-91	8,57 (4) s
2 982 (3)	0,09 (3)	Y	Br-76	16,2 (2) h
2 982,06 (4)	0,037 8 (5)	Y	Ne-23	37,24 (12) s
2 982,3 (3)	0,107 (19)	Y	Tc-104	18,3 (3) min
2 983,5 (3)	0,073	Y	I-137	24,5 (2) s
2 987,6 (3)	0,008 (4)	Y	I-124	4,1760 (3) d
2 989,4 (4)	0,073 (19)	Y	Xe-139	39,68 (14) s
2 990,6 (5)	0,20 (6)	Y	Rb-91	58,4 (4) s
2 993,21 (3)	0,031 (4)	Y	Ga-66	9,49 (7) h
2 997,21 (7)	2,3 (2)	Y	Br-87	55,65 (13) s
2 997,34 (9)	0,96 (8)	Y	Br-76	16,2 (2) h
2 998,2 (3)	0,189 (14)	Y	Cs-140	1,062 (5) min
2 998,4 (6)	0,044 (13)	Y	Kr-89	3,17 (2) min
2 998,4 (10)	0,017 (9)	Y	Y-94	18,7 (1) min
2 999,98 (20)	0,008 9 (7)	Y	Bi-214	19,9 (4) min
3 001,9 (8)	0,26 (10)	Y	Kr-91	8,57 (4) s
3 003,9 (3)	0,12 (1)	Y	Br-87	55,65 (13) s
3 005,1 (10)	0,11 (9)	Y	Kr-91	8,57 (4) s
3 007,0 (3)	0,36 (5)	Y	Tc-104	18,3 (3) min
3 007,6 (5)	0,27 (6)	Y	Rb-91	58,4 (4) s
3 009,4 (1)	0,26 (2)	Y	Rb-88	17,8 (1) min
3 009,559 (4)	1,038 (19)	Y	Co-56	77,236 (26) d
3 010,3 (8)	0,03 (1)	Y	Kr-90	32,32 (9) s
3 017,18 (20)	0,004 4 (25)	Y	Rb-88	17,8 (1) min
3 017,39 (15)	0,27 (2)	Y	Br-87	55,65 (13) s
3 017,9 (3)	0,26 (4)	Y	Kr-89	3,17 (2) min
3 023,2 (2)	0,184 (14)	Y	Cs-140	1,062 (5) min
3 023,3 (4)	0,043	Y	I-137	24,5 (2) s
3 025,8 (5)	0,10 (3)	Y	I-138	6,49 (7) s
3 026,4 (3)	0,22 (3)	Y	Tc-104	18,3 (3) min
3 026,77 (7)	1,30 (9)	Y	Br-87	55,65 (13) s
3 028,6 (4)	0,067 (19)	Y	Xe-139	39,68 (14) s
3 029,16 (25)	0,27 (3)	Y	Kr-89	3,17 (2) min
3 032,1 (5)	0,43 (7)	Y	Rb-90m	4,30 (7) min
3 034,6 (4)	0,004 6 (10)	Y	Ga-72	14,10 (2) h
3 037,3 (3)	0,001 09 (9)	Y	Rh-106	30,0 (2) s
3 037,4 (2)	0,004 4 (7)	Y	Xe-137	3,818 (13) min
3 037,5 (4)	0,013 (7)	Y	Rb-89	15,2 (1) min
3 039,17 (12)	0,75 (5)	Y	Rb-90	2,70 (5) min
3 039,17 (12)	0,26 (2)	Y	Rb-90m	4,30 (7) min
3 039,9 (4)	0,047 (10)	Y	Br-87	55,65 (13) s
3 041,3 (10)	0,13 (6)	Y	Kr-91	8,57 (4) s
3 043,7 (9)	0,05 (5)	Y	Kr-91	8,57 (4) s
3 045 (1)	0,022 (8)	Y	Br-76	16,2 (2) h
3 046,684 (9)	0,057 (5)	Y	Ga-66	9,49 (7) h
3 048,04 (20)	0,10 (1)	Y	Br-87	55,65 (13) s
3 049,7 (7)	0,040 (13)	Y	Kr-89	3,17 (2) min
3 049,9 (3)	0,031 (5)	Y	Cs-138	33,41 (18) min
3 051,3 (4)	0,32 (3)	Y	Te-133m	55,4 (4) min
3 052,6 (11)	0,16 (9)	Y	Kr-91	8,57 (4) s
3 053,3 (2)	1,12 (6)	Y	Cs-140	1,062 (5) min
3 053,88 (20)	0,022 (3)	Y	Bi-214	19,9 (4) min
3 054,9 (3)	0,000 29 (5)	Y	Rh-106	30,0 (2) s
3 055,1 (3)	0,084 (7)	Y	Kr-87	1,272 (8) h
3 056,5 (3)	0,31 (4)	Y	Tc-104	18,3 (3) min
3 056,80 (22)	0,87 (10)	Y	Kr-91	8,57 (4) s
3 064 (2)	0,07 (3)	Y	Br-76	16,2 (2) h
3 066,75 (25)	0,152 (17)	Y	Cs-140	1,062 (5) min
3 066,85 (15)	0,13 (1)	Y	Br-87	55,65 (13) s
3 067,0 (6)	0,003 (1)	Y	Ga-72	14,10 (2) h
3 072 (3)	0,044 (15)	Y	Br-76	16,2 (2) h
3 072,5 (4)	0,019 (4)	Y	Cs-138	33,41 (18) min
3 080,72 (15)	0,17 (2)	Y	Br-87	55,65 (13) s
3 081,3 (4)	0,16 (3)	Y	Rb-90	2,70 (5) min
3 081,7 (3)	0,005 2 (7)	Y	Bi-214	19,9 (4) min
3 084,4 (1)	92,1 (10)	Y	Ca-49	8,718 (6) min
3 085,4 (4)	0,002 0 (5)	Y	Ga-66	9,49 (7) h
3 085,4 (3)	0,15 (3)	Y	Tc-104	18,3 (3) min
3 086	0,062 (21)	Y	S-37	5,05 (2) min
3 088,7 (5)	0,094 (17)	Y	Cs-140	1,062 (5) min
3 090,8 (6)	0,09 (3)	Y	Br-87	55,65 (13) s
3 091,60 (6)	0,23 (5)	Y	Br-87	55,65 (13) s
3 093,2 (2)	0,163 (16)	Y	Br-76	16,2 (2) h
3 093,7 (3)	0,017 (2)	Y	Ga-72	14,10 (2) h
3 093,98 (40)	0,000 37 (4)	Y	Bi-214	19,9 (4) min
3 097,4 (3)	0,37 (5)	Y	Kr-91	8,57 (4) s
3 098,6 (3)	0,136 (17)	Y	Cs-140	1,062 (5) min

* : Radionucléide en équilibre avec son descendant
(Cf. liste en début de volume)

Énergie (keV)	Intensité (%)	Type	Parent	Période
3 098,8 (7)	0,038 (13)	Y	Kr-89	3,17 (2) min
3 100,4 (5)	0,043	Y	I-137	24,5 (2) s
3 103,3 (2)	94,0 (6)	Y	S-37	5,05 (2) min
3 107,26 (25)	0,195 (22)	Y	Kr-89	3,17 (2) min
3 107,9 (9)	0,16 (6)	Y	Rb-91	58,4 (4) s
3 109,6 (5)	0,36 (8)	Y	Kr-91	8,57 (4) s
3 110,8 (7)	0,039 (23)	Y	Xe-139	39,68 (14) s
3 112,9 (3)	0,10 (2)	Y	Br-87	55,65 (13) s
3 113,5 (2)	2,13 (18)	Y	Kr-91	8,57 (4) s
3 115,9 (2)	0,226 (24)	Y	Cs-140	1,062 (5) min
3 117,6 (3)	0,14	Y	I-137	24,5 (2) s
3 118,49 (10)	0,025 6 (5)	Y	La-140	1,67850 (17) d
3 130,6 (6)	0,08 (3)	Y	Xe-139	39,68 (14) s
3 132,64 (9)	0,25 (2)	Y	Br-87	55,65 (13) s
3 140,26 (20)	1,05 (11)	Y	Kr-89	3,17 (2) min
3 141,5 (2)	0,21 (2)	Y	I-138	6,49 (7) s
3 141,7 (3)	0,057 (7)	Y	Rb-89	15,2 (1) min
3 142,58 (40)	0,001 18 (9)	Y	Bi-214	19,9 (4) min
3 142,85 (15)	0,16 (1)	Y	Br-87	55,65 (13) s
3 143,4 (2)	0,8 (1)	Y	Tc-104	18,3 (3) min
3 146,6 (3)	0,062 (13)	Y	Xe-139	39,68 (14) s
3 147,3 (24)	0,66 (8)	Y	Rb-91	58,4 (4) s
3 148,58 (12)	0,42 (3)	Y	Rb-90	2,70 (5) min
3 149,0 (5)	0,000 19	Y	Bi-214	19,9 (4) min
3 149,2 (2)	1,16 (10)	Y	Tc-104	18,3 (3) min
3 154,4 (10)	0,026 (15)	Y	Kr-89	3,17 (2) min
3 156,3 (4)	0,045 (13)	Y	Xe-139	39,68 (14) s
3 159,0 (2)	0,148 (16)	Y	Br-76	16,2 (2) h
3 159,4 (2)	0,011 9 (13)	Y	Xe-137	3,818 (13) min
3 159,8 (6)	0,062 (13)	Y	Kr-89	3,17 (2) min
3 159,8 (10)	0,021 (11)	Y	Cs-140	1,062 (5) min
3 160,6 (6)	0,000 47 (8)	Y	Bi-214	19,9 (4) min
3 161,7 (4)	0,000 9 (2)	Y	V-52	3,753 (5) min
3 161,8 (1)	0,022 (3)	Y	Mn-52m	21,2 (4) min
3 165,0 (8)	0,000 02	Y	Rh-106	30,0 (2) s
3 166,1 (10)	0,026 (11)	Y	Cs-140	1,062 (5) min
3 166,81 (15)	0,31 (3)	Y	Br-87	55,65 (13) s
3 168,7 (4)	0,062 (13)	Y	Xe-139	39,68 (14) s
3 172,1 (3)	0,101 (16)	Y	Kr-89	3,17 (2) min
3 175,74 (7)	1,30 (9)	Y	Br-87	55,65 (13) s
3 177,27 (5)	0,015 (4)	Y	Ni-57	35,9 (3) h
3 180,4 (7)	0,008 4 (23)	Y	Cs-138	33,41 (18) min
3 180,9 (8)	0,11 (4)	Y	Kr-91	8,57 (4) s
3 183,57 (40)	0,001 1 (5)	Y	Bi-214	19,9 (4) min
3 187,3 (3)	0,41 (5)	Y	Tc-104	18,3 (3) min
3 189,5 (2)	0,226 (24)	Y	Cs-140	1,062 (5) min
3 190,3 (10)	0,02 (1)	Y	Y-94	18,7 (1) min
3 194,36 (15)	0,75	Y	I-137	24,5 (2) s
3 197,9 (10)	0,14 (6)	Y	Rb-90m	4,30 (7) min
3 201,930 (11)	3,203 (13)	Y	Co-56	77,236 (26) d
3 205,09 (16)	1,12 (10)	Y	Rb-90m	4,30 (7) min
3 205,1 (6)	0,035 (9)	Y	Kr-90	32,32 (9) s
3 212,499 (19)	0,001 9 (4)	Y	Ga-66	9,49 (7) h
3 213,0 (8)	0,032	Y	I-137	24,5 (2) s
3 213,2 (9)	0,032 (13)	Y	Kr-89	3,17 (2) min
3 214,5 (11)	0,13 (6)	Y	Rb-90m	4,30 (7) min
3 214,8 (5)	0,039 (12)	Y	Xe-139	39,68 (14) s
3 217,1 (21)	0,011 (9)	Y	Kr-90	32,32 (9) s
3 218,419 (22)	0,007 (2)	Y	Y-88	106,626 (21) d
3 218,50 (8)	0,22 (2)	Y	Rb-88	17,8 (1) min
3 219,84 (20)	0,43 (5)	Y	Kr-89	3,17 (2) min
3 224,4 (3)	0,33 (5)	Y	Rb-91	58,4 (4) s
3 225,6 (3)	0,31 (4)	Y	Tc-104	18,3 (3) min
3 225,9 (3)	0,11 (1)	Y	Br-87	55,65 (13) s
3 227,84 (13)	0,082 (7)	Y	Rb-89	15,2 (1) min
3 228,800 (6)	1,51 (12)	Y	Ga-66	9,49 (7) h
3 235,50 (34)	0,13 (1)	Y	Br-87	55,65 (13) s
3 242,8 (10)	0,28 (6)	Y	Cs-140	1,062 (5) min
3 248,45 (9)	0,40 (3)	Y	Br-87	55,65 (13) s
3 248,5 (10)	0,18 (6)	Y	Cs-140	1,062 (5) min
3 249,8 (5)	0,000 08 (3)	Y	Rh-106	30,0 (2) s
3 250,0 (4)	0,001 06 (19)	Y	Xe-137	3,818 (13) min
3 253,402 (5)	7,87 (3)	Y	Co-56	77,236 (26) d
3 256,021 (9)	0,094 (8)	Y	Ga-66	9,49 (7) h
3 256,2 (12)	0,021 (9)	Y	Kr-90	32,32 (9) s
3 256,92 (10)	0,32 (3)	Y	Br-87	55,65 (13) s
3 257,0 (5)	0,052 (13)	Y	Kr-89	3,17 (2) min
3 260,3 (3)	0,17 (3)	Y	Tc-104	18,3 (3) min
3 261,8 (7)	0,059	Y	I-137	24,5 (2) s
3 263,6 (3)	0,019 (7)	Y	Rb-89	15,2 (1) min

* : Radionucléide en équilibre avec son descendant
(Cf. liste en début de volume)

Énergie (keV)	Intensité (%)	Type	Parent	Période
3 263,9 (9)	0,001 1 (1)	Y	Y-92	3,54 (2) h
3 264,4 (7)	0,062 (20)	Y	Y-94	18,7 (1) min
3 265,4 (10)	0,06 (2)	Y	Kr-91	8,57 (4) s
3 267,6 (7)	0,110 (22)	Y	Cs-140	1,062 (5) min
3 269,0 (4)	0,066 (13)	Y	Kr-90	32,32 (9) s
3 270,9 (3)	0,45 (7)	Y	Rb-91	58,4 (4) s
3 271,3 (5)	0,054 (13)	Y	Kr-89	3,17 (2) min
3 272,978 (6)	1,855 (9)	Y	Co-56	77,236 (26) d
3 273,3 (5)	0,000 04 (2)	Y	Rh-106	30,0 (2) s
3 275,2 (2)	0,034 (4)	Y	Br-87	55,65 (13) s
3 276,8 (3)	0,13 (3)	Y	Tc-104	18,3 (3) min
3 277,8 (7)	0,066	Y	I-137	24,5 (2) s
3 281,23 (20)	0,33 (4)	Y	Br-87	55,65 (13) s
3 284,7 (8)	0,16 (5)	Y	Rb-91	58,4 (4) s
3 285,2 (5)	0,16 (3)	Y	Cs-140	1,062 (5) min
3 294,1 (7)	0,04 (3)	Y	Br-87	55,65 (13) s
3 295,09 (14)	0,86 (7)	Y	Rb-90	2,70 (5) min
3 300,0 (6)	0,038 (13)	Y	Kr-89	3,17 (2) min
3 300,5 (1)	0,000 009 (2)	Y	Rh-106	30,0 (2) s
3 301,35 (6)	0,001 7 (2)	Y	Sc-44	3,97 (4) h
3 302,2 (10)	0,14 (6)	Y	Rb-91	58,4 (4) s
3 303,5 (8)	0,006 (4)	Y	Rb-89	15,2 (1) min
3 303,7 (9)	0,068 (22)	Y	Cs-140	1,062 (5) min
3 303,91 (13)	0,88 (6)	Y	Rb-90	2,70 (5) min
3 303,91 (13)	0,014 (1)	Y	Rb-90m	4,30 (7) min
3 305,9 (5)	0,049 (20)	Y	Br-87	55,65 (13) s
3 308,5 (2)	0,446 (33)	Y	Kr-87	1,272 (8) h
3 310,28 (15)	1,09 (11)	Y	I-138	6,49 (7) s
3 314,6 (6)	0,11 (3)	Y	Br-87	55,65 (13) s
3 317,00 (12)	0,284 (18)	Y	Rb-90	2,70 (5) min
3 317,00 (12)	14,3 (7)	Y	Rb-90m	4,30 (7) min
3 317,8 (9)	0,058 (20)	Y	Br-87	55,65 (13) s
3 317,9 (6)	0,082 (19)	Y	Kr-89	3,17 (2) min
3 318,7 (7)	0,05 (2)	Y	Y-94	18,7 (1) min
3 318,7 (3)	0,29 (4)	Y	Tc-104	18,3 (3) min
3 318,7 (9)	0,079 (22)	Y	Cs-140	1,062 (5) min
3 319,52 (24)	0,003 92 (18)	Y	La-140	1,67850 (17) d
3 321,9 (5)	0,070 (17)	Y	Kr-89	3,17 (2) min
3 324,6 (4)	0,003 (1)	Y	Ga-72	14,10 (2) h
3 324,9 (4)	0,22 (4)	Y	Kr-91	8,57 (4) s
3 331,351 (14)	0,002 3 (30)	Y	Ga-66	9,49 (7) h
3 337,8 (5)	0,22 (6)	Y	Rb-91	58,4 (4) s
3 338,3 (7)	0,003 (1)	Y	Ga-72	14,10 (2) h
3 339,01 (25)	0,151 (9)	Y	Cs-138	33,41 (18) min
3 340,8 (9)	0,036 (15)	Y	Kr-89	3,17 (2) min
3 341,2 (5)	0,420 (28)	Y	Cs-140	1,062 (5) min
3 343,7 (5)	0,028 (5)	Y	Br-87	55,65 (13) s
3 344,3 (3)	0,11 (2)	Y	Kr-90	32,32 (9) s
3 346,2 (6)	0,18 (9)	Y	Rb-91	58,4 (4) s
3 347,4 (6)	0,068 (17)	Y	Kr-89	3,17 (2) min
3 351,8 (10)	0,252 (24)	Y	Br-76	16,2 (2) h
3 351,9 (9)	0,042 (15)	Y	Kr-89	3,17 (2) min
3 352,6 (3)	0,035 0 (38)	Y	Cs-138	33,41 (18) min
3 353,0 (4)	0,14	Y	I-137	24,5 (2) s
3 353,1 (6)	0,20 (8)	Y	Rb-91	58,4 (4) s
3 361,7 (2)	1,05 (11)	Y	Kr-89	3,17 (2) min
3 361,8 (7)	0,11 (3)	Y	Br-87	55,65 (13) s
3 361,88 (13)	0,97 (7)	Y	Rb-90	2,70 (5) min
3 364,8 (7)	0,068 (20)	Y	Br-87	55,65 (13) s
3 366,9 (3)	0,078 (23)	Y	I-138	6,49 (7) s
3 366,98 (25)	0,227 (13)	Y	Cs-138	33,41 (18) min
3 369,69 (30)	0,010 3 (8)	Y	Co-56	77,236 (26) d
3 369,84 (4)	0,17 (1)	Y	Mn-56	2,57878 (46) h
3 370 (1)	0,089 (15)	Y	Br-76	16,2 (2) h
3 370,6 (3)	0,29 (4)	Y	Tc-104	18,3 (3) min
3 370,8 (4)	0,40 (6)	Y	Rb-90m	4,30 (7) min
3 371,00 (25)	0,51 (4)	Y	Cs-140	1,062 (5) min
3 371,1 (4)	0,62 (7)	Y	Kr-89	3,17 (2) min
3 371,2 (6)	0,003 0 (2)	Y	Y-92	3,54 (2) h
3 372,9 (6)	0,14 (3)	Y	I-138	6,49 (7) s
3 374,5 (3)	0,24 (4)	Y	Tc-104	18,3 (3) min
3 375,51 (19)	0,151 (24)	Y	Xe-139	39,68 (14) s
3 375,9 (14)	0,000 011 (3)	Y	Rh-106	30,0 (2) s
3 376,5 (3)	0,27 (14)	Y	Rb-91	58,4 (4) s
3 377,4 (2)	0,002 0 (3)	Y	Xe-137	3,818 (13) min
3 380,850 (6)	1,46 (12)	Y	Ga-66	9,49 (7) h
3 381,0 (8)	0,13 (6)	Y	Br-87	55,65 (13) s
3 381,5 (1)	0,002 5 (5)	Y	Mn-52m	21,2 (4) min
3 383,0 (5)	0,058 (22)	Y	Cs-140	1,062 (5) min
3 383,24 (12)	6,7 (5)	Y	Rb-90	2,70 (5) min

* : Radionucléide en équilibre avec son descendant
(Cf. liste en début de volume)

Énergie (keV)	Intensité (%)	Type	Parent	Période
3 383,24 (12)	0,61 (3)	Y	Rb-90m	4,30 (7) min
3 383,3 (7)	0,15 (6)	Y	Br-87	55,65 (13) s
3 391,6 (5)	0,036	Y	I-137	24,5 (2) s
3 393,6 (3)	0,28 (4)	Y	Kr-91	8,57 (4) s
3 394 (4)	0,115 (17)	Y	Cs-140	1,062 (5) min
3 395,1 (7)	0,063 (20)	Y	Br-87	55,65 (13) s
3 395,4 (4)	0,32 (6)	Y	Rb-91	58,4 (4) s
3 399,9 (3)	0,137 (17)	Y	Kr-89	3,17 (2) min
3 401,8 (9)	0,000 012 5 (25)	Y	Rh-106	30,0 (2) s
3 403,4 (5)	0,16 (4)	Y	Kr-91	8,57 (4) s
3 407,1 (10)	0,026 (16)	Y	Cs-140	1,062 (5) min
3 410,7 (8)	0,08 (6)	Y	Rb-91	58,4 (4) s
3 411,3 (5)	0,289 (17)	Y	Br-76	16,2 (2) h
3 412,8 (10)	0,026 (16)	Y	Cs-140	1,062 (5) min
3 417,1 (5)	0,036	Y	I-137	24,5 (2) s
3 418,2 (3)	0,36 (8)	Y	Tc-104	18,3 (3) min
3 422,040 (8)	0,86 (7)	Y	Ga-66	9,49 (7) h
3 424,8 (5)	0,073 (24)	Y	Xe-139	39,68 (14) s
3 432,309 (7)	0,288 (24)	Y	Ga-66	9,49 (7) h
3 435,0 (2)	0,45 (3)	Y	Cs-140	1,062 (5) min
3 435,07 (15)	0,23 (2)	Y	Br-87	55,65 (13) s
3 435,7 (10)	0,10 (4)	Y	Kr-91	8,57 (4) s
3 437,5 (6)	0,011 (3)	Y	Cs-138	33,41 (18) min
3 439,6 (6)	0,044 (13)	Y	Kr-89	3,17 (2) min
3 442,24 (16)	0,011 (3)	Y	Cs-138	33,41 (18) min
3 444,4 (5)	0,21 (5)	Y	Kr-91	8,57 (4) s
3 444,8 (3)	0,10 (2)	Y	Br-87	55,65 (13) s
3 446,5 (2)	1,49 (13)	Y	Rb-91	58,4 (4) s
3 451,119 (4)	0,942 (6)	Y	Co-56	77,236 (26) d
3 451,45 (20)	0,51 (4)	Y	Cs-140	1,062 (5) min
3 452,3 (3)	0,123 (16)	Y	I-138	6,49 (7) s
3 458,3 (4)	0,001 28 (22)	Y	Xe-137	3,818 (13) min
3 458,6 (3)	0,074 (9)	Y	Br-87	55,65 (13) s
3 458,6 (2)	0,18 (2)	Y	I-138	6,49 (7) s
3 458,62 (15)	0,31	Y	I-137	24,5 (2) s
3 461,06 (20)	0,28 (3)	Y	Br-87	55,65 (13) s
3 463,3 (12)	0,042 (25)	Y	Kr-89	3,17 (2) min
3 465,1 (9)	0,035 (12)	Y	Kr-90	32,32 (9) s
3 477,3 (10)	0,022 0 (13)	Y	Y-94	18,7 (1) min
3 477,6 (3)	0,178 (18)	Y	Cs-140	1,062 (5) min
3 486,50 (8)	0,14 (1)	Y	Rb-88	17,8 (1) min
3 490,0 (11)	0,07 (4)	Y	Kr-91	8,57 (4) s
3 496,3 (2)	0,73 (8)	Y	I-138	6,49 (7) s
3 498,5 (3)	0,26 (3)	Y	Br-87	55,65 (13) s
3 501,2 (14)	0,015	Y	I-137	24,5 (2) s
3 503,52 (15)	2,36 (15)	Y	Rb-90m	4,30 (7) min
3 503,6 (14)	0,020 (13)	Y	Kr-89	3,17 (2) min
3 504,7 (3)	0,067 (14)	Y	Xe-139	39,68 (14) s
3 507,1 (4)	0,089 (17)	Y	Cs-140	1,062 (5) min
3 508 (3)	0,06 (3)	Y	Br-76	16,2 (2) h
3 509,00 (19)	1,25 (8)	Y	Rb-89	15,2 (1) min
3 516,3 (2)	0,162 (23)	Y	I-138	6,49 (7) s
3 517,3 (4)	0,16 (3)	Y	Tc-104	18,3 (3) min
3 523,97 (6)	0,006 7 (25)	Y	Rb-88	17,8 (1) min
3 525,2 (5)	0,178 (16)	Y	Br-76	16,2 (2) h
3 526,6 (5)	0,084 (17)	Y	Cs-140	1,062 (5) min
3 532,88 (20)	1,35 (12)	Y	Kr-89	3,17 (2) min
3 534,24 (13)	4 (3)	Y	Rb-90	2,70 (5) min
3 534,24 (13)	0,072 (5)	Y	Rb-90m	4,30 (7) min
3 536,8 (6)	0,077 (20)	Y	Br-87	55,65 (13) s
3 538,6 (6)	0,48 (11)	Y	Rb-90m	4,30 (7) min
3 541,5 (10)	0,011 (7)	Y	Y-94	18,7 (1) min
3 541,79 (15)	0,44 (3)	Y	Br-87	55,65 (13) s
3 544,8 (4)	0,089 (17)	Y	Cs-140	1,062 (5) min
3 547,93 (6)	0,195 6 (16)	Y	Co-56	77,236 (26) d
3 559,5 (6)	0,016 (5)	Y	Br-87	55,65 (13) s
3 565,00 (25)	0,152 (17)	Y	Cs-140	1,062 (5) min
3 567,9 (7)	0,056 (19)	Y	Kr-89	3,17 (2) min
3 570,13 (15)	0,57	Y	I-137	24,5 (2) s
3 572,82 (18)	1,53 (12)	Y	Rb-90m	4,30 (7) min
3 574,0 (15)	0,06 (3)	Y	Kr-89	3,17 (2) min
3 578,4 (5)	0,11 (3)	Y	Kr-91	8,57 (4) s
3 578,4 (3)	0,190 (25)	Y	I-138	6,49 (7) s
3 583,7 (3)	0,002 0 (3)	Y	Xe-137	3,818 (13) min
3 583,9 (3)	0,26 (3)	Y	Kr-89	3,17 (2) min
3 584,7 (2)	0,30 (3)	Y	I-138	6,49 (7) s
3 593,0 (2)	0,246 (25)	Y	I-138	6,49 (7) s
3 598,92 (15)	0,110 (9)	Y	Br-87	55,65 (13) s
3 599,67 (19)	10,4 (8)	Y	Rb-91	58,4 (4) s
3 599,8 (10)	0,017 (9)	Y	Y-94	18,7 (1) min

* : Radionucléide en équilibre avec son descendant
(Cf. liste en début de volume)

Énergie (keV)	Intensité (%)	Type	Parent	Période
3 600,71 (40)	0,016 7 (5)	Y	Co-56	77,236 (26) d
3 601,8 (9)	0,28 (4)	Y	Cs-140	1,062 (5) min
3 603,98 (8)	1,55 (12)	Y	Br-76	16,2 (2) h
3 604,3 (6)	0,37 (17)	Y	Rb-91	58,4 (4) s
3 611,8 (8)	0,008 4 (4)	Y	Co-56	77,236 (26) d
3 611,9 (4)	0,10 (1)	Y	Br-87	55,65 (13) s
3 620,8 (11)	0,57 (22)	Y	Rb-90m	4,30 (7) min
3 627,4 (7)	0,13 (6)	Y	Rb-90	2,70 (5) min
3 627,4 (7)	0,9 (4)	Y	Rb-90m	4,30 (7) min
3 627,9 (10)	0,084 (17)	Y	Cs-140	1,062 (5) min
3 629,2 (5)	0,080 (15)	Y	Kr-89	3,17 (2) min
3 634,4 (9)	0,038 (13)	Y	Kr-89	3,17 (2) min
3 635,4 (9)	0,115 (17)	Y	Cs-140	1,062 (5) min
3 637,7 (4)	0,28 (4)	Y	Tc-104	18,3 (3) min
3 638,7 (5)	0,148 (16)	Y	Br-76	16,2 (2) h
3 639,1 (8)	0,038 (13)	Y	Kr-89	3,17 (2) min
3 639,14 (22)	1,22 (12)	Y	Rb-91	58,4 (4) s
3 643,61 (40)	0,023 (3)	Y	Cs-138	33,41 (18) min
3 643,75 (23)	0,79 (9)	Y	Rb-91	58,4 (4) s
3 645,97 (20)	0,082 (8)	Y	Br-87	55,65 (13) s
3 651,8 (4)	0,038 (13)	Y	Rb-89	15,2 (1) min
3 652,3 (5)	0,058 (13)	Y	Kr-89	3,17 (2) min
3 652,5 (8)	0,005 3 (15)	Y	Cs-138	33,41 (18) min
3 657,2 (10)	0,10 (3)	Y	Br-87	55,65 (13) s
3 657,7 (10)	0,021 (11)	Y	Cs-140	1,062 (5) min
3 664 (5)	0,084 (17)	Y	Rb-90	2,70 (5) min
3 665,4 (4)	0,084 (13)	Y	Kr-89	3,17 (2) min
3 666,5 (15)	0,011 (7)	Y	Y-94	18,7 (1) min
3 670,60 (4)	0,059	Y	I-137	24,5 (2) s
3 671,7 (5)	0,089 (17)	Y	Cs-140	1,062 (5) min
3 677,7 (4)	0,066 (13)	Y	Kr-89	3,17 (2) min
3 683 (100)	0,023	Y	I-137	24,5 (2) s
3 682,9 (7)	0,08 (5)	Y	Rb-91	58,4 (4) s
3 683,2 (8)	0,057 (10)	Y	Br-87	55,65 (13) s
3 689,0 (5)	0,18 (4)	Y	Br-87	55,65 (13) s
3 693,2 (5)	0,067 (10)	Y	Br-87	55,65 (13) s
3 694,0 (3)	0,006 2 (7)	Y	Xe-137	3,818 (13) min
3 698,9 (7)	0,037 (16)	Y	Cs-140	1,062 (5) min
3 704,3 (4)	0,098 (19)	Y	Tc-104	18,3 (3) min
3 705,0 (11)	0,07 (3)	Y	Kr-91	8,57 (4) s
3 710,64 (20)	0,001 10 (15)	Y	O-19	26,91 (8) s
3 714,3 (4)	0,47 (6)	Y	Tc-104	18,3 (3) min
3 717,8 (4)	0,84 (8)	Y	Kr-89	3,17 (2) min
3 721,5 (9)	0,048 (21)	Y	Kr-89	3,17 (2) min
3 724,8 (10)	0,002 4 (4)	Y	Ga-66	9,49 (7) h
3 729,43 (20)	0,42	Y	I-137	24,5 (2) s
3 732,5 (6)	0,14 (5)	Y	Kr-89	3,17 (2) min
3 736,5 (4)	0,57 (14)	Y	Rb-91	58,4 (4) s
3 738,10 (5)	0,013 8 (13)	Y	Ga-66	9,49 (7) h
3 738,2 (5)	0,074 (20)	Y	Br-87	55,65 (13) s
3 741,0 (5)	0,26 (3)	Y	S-37	5,05 (2) min
3 745,9 (5)	0,20 (5)	Y	Rb-91	58,4 (4) s
3 750,9 (15)	0,011 (7)	Y	Y-94	18,7 (1) min
3 756,5 (13)	0,016 (10)	Y	Kr-89	3,17 (2) min
3 766,850 (9)	0,149 (13)	Y	Ga-66	9,49 (7) h
3 771,7 (2)	0,001 8 (4)	Y	Mn-52m	21,2 (4) min
3 772 (1)	0,001 0 (5)	Y	V-52	3,753 (5) min
3 781,4 (4)	0,133 (15)	Y	Kr-89	3,17 (2) min
3 781,5 (7)	0,10 (3)	Y	Br-87	55,65 (13) s
3 781,8 (5)	0,013 (7)	Y	Rb-89	15,2 (1) min
3 791,004 (8)	1,09 (9)	Y	Ga-66	9,49 (7) h
3 794,46 (15)	0,74 (6)	Y	Br-87	55,65 (13) s
3 795,2 (15)	0,011 (7)	Y	Y-94	18,7 (1) min
3 795,57 (20)	0,85	Y	I-137	24,5 (2) s
3 797,87 (20)	0,001 33 (14)	Y	O-19	26,91 (8) s
3 800,7 (5)	0,15 (4)	Y	Rb-91	58,4 (4) s
3 800,7 (3)	0,14	Y	I-137	24,5 (2) s
3 804,6 (3)	0,17 (6)	Y	Br-87	55,65 (13) s
3 806,3 (10)	0,002 4 (4)	Y	Ga-66	9,49 (7) h
3 809,32 (15)	0,76 (6)	Y	Br-87	55,65 (13) s
3 809,5 (8)	0,020 (9)	Y	Kr-89	3,17 (2) min
3 810,59 (5)	0,009 2 (11)	Y	Ga-66	9,49 (7) h
3 811,9 (4)	0,12 (4)	Y	Tc-104	18,3 (3) min
3 814,36 (20)	0,59 (6)	Y	Rb-90	2,70 (5) min
3 827,4 (4)	0,139 (18)	Y	Kr-89	3,17 (2) min
3 827,5 (8)	0,006 9 (10)	Y	Ga-66	9,49 (7) h
3 829,0 (8)	0,038 (10)	Y	Br-87	55,65 (13) s
3 837,6 (5)	0,082 (12)	Y	Kr-89	3,17 (2) min
3 839,3 (3)	0,62 (8)	Y	Rb-91	58,4 (4) s
3 842,7 (4)	0,111 (14)	Y	Kr-89	3,17 (2) min

* : Radionucléide en équilibre avec son descendant
(Cf. liste en début de volume)

Énergie (keV)	Intensité (%)	Type	Parent	Période
3 844,33 (25)	1,02 (10)	Y	Rb-91	58,4 (4) s
3 845,4 (6)	0,031 (7)	Y	Rb-89	15,2 (1) min
3 855,3 (4)	0,121 (15)	Y	Kr-90	32,32 (9) s
3 860,90 (15)	0,26 (2)	Y	Br-87	55,65 (13) s
3 862,8 (3)	0,25	Y	I-137	24,5 (2) s
3 866,1 (3)	0,23	Y	I-137	24,5 (2) s
3 866,14 (10)	0,056 (7)	Y	Na-24	14,9574 (20) h
3 874,0 (8)	0,085 (20)	Y	Br-87	55,65 (13) s
3 881 (3)	0,015 (8)	Y	Br-76	16,2 (2) h
3 882,5 (6)	0,040 (9)	Y	Kr-89	3,17 (2) min
3 888,1 (2)	0,22 (3)	Y	I-138	6,49 (7) s
3 888,4 (4)	0,28 (4)	Y	Rb-91	58,4 (4) s
3 892 (2)	0,03 (2)	Y	Br-76	16,2 (2) h
3 898,4 (10)	0,034 (19)	Y	Kr-89	3,17 (2) min
3 898,4 (6)	0,045 (12)	Y	I-138	6,49 (7) s
3 901,7 (4)	0,135 (22)	Y	Kr-89	3,17 (2) min
3 905,9 (3)	0,090 (14)	Y	I-138	6,49 (7) s
3 906,2 (9)	0,09 (3)	Y	Rb-91	58,4 (4) s
3 907,1 (4)	0,001 34 (22)	Y	Xe-137	3,818 (13) min
3 907,74 (20)	0,003 84 (17)	Y	O-19	26,91 (8) s
3 909,7 (7)	0,13 (3)	Y	Br-87	55,65 (13) s
3 910,0 (11)	0,05 (2)	Y	Kr-91	8,57 (4) s
3 911,3 (20)	0,45	Y	I-137	24,5 (2) s
3 913,5 (10)	0,015 (8)	Y	Br-76	16,2 (2) h
3 917,06 (10)	2,0 (1)	Y	Br-87	55,65 (13) s
3 923,0 (4)	0,42 (4)	Y	Kr-89	3,17 (2) min
3 929,2 (7)	0,089 (15)	Y	Br-76	16,2 (2) h
3 929,4 (14)	0,13 (8)	Y	Rb-90m	4,30 (7) min
3 930,2 (1)	0,11 (5)	Y	Br-87	55,65 (13) s
3 935,2 (5)	0,018 (3)	Y	Cs-138	33,41 (18) min
3 938,7 (5)	0,18 (4)	Y	Rb-91	58,4 (4) s
3 949,56 (23)	0,65 (7)	Y	Rb-91	58,4 (4) s
3 951 (1)	0,000 7 (3)	Y	Mn-52m	21,2 (4) min
3 958,4 (8)	0,080 (25)	Y	Rb-90	2,70 (5) min
3 963,5 (10)	0,020 (8)	Y	Br-76	16,2 (2) h
3 965,5 (4)	0,209 (21)	Y	Kr-89	3,17 (2) min
3 970,0 (1)	0,059 (20)	Y	Br-87	55,65 (13) s
3 971 (2)	0,010 (5)	Y	Br-76	16,2 (2) h
3 972,2 (5)	0,36 (7)	Y	Rb-90	2,70 (5) min
3 972,2 (5)	0,36 (7)	Y	Rb-90m	4,30 (7) min
3 973,9 (10)	0,05 (2)	Y	Kr-91	8,57 (4) s
3 977,5 (4)	0,34 (6)	Y	Kr-89	3,17 (2) min
3 984,7 (3)	0,42 (5)	Y	Rb-91	58,4 (4) s
3 987,00 (3)	0,25	Y	I-137	24,5 (2) s
3 989,1 (8)	0,019 (7)	Y	Rb-89	15,2 (1) min
3 996,0 (4)	0,143 (15)	Y	Kr-89	3,17 (2) min
3 996,20 (3)	0,49	Y	I-137	24,5 (2) s
4 002,1 (15)	0,011 (7)	Y	Y-94	18,7 (1) min
4 004,9 (7)	0,028 (9)	Y	Kr-89	3,17 (2) min
4 010	0,027 (11)	Y	S-37	5,05 (2) min
4 012,3 (3)	0,006 4 (8)	Y	Br-87	55,65 (13) s
4 014,1 (3)	0,090 (14)	Y	I-138	6,49 (7) s
4 016,20 (8)	0,021	Y	I-137	24,5 (2) s
4 019,3 (13)	0,036 (16)	Y	Rb-90	2,70 (5) min
4 020,3 (10)	0,059 (15)	Y	Br-76	16,2 (2) h
4 027,1 (5)	0,092 (20)	Y	Br-87	55,65 (13) s
4 028,92 (15)	0,115 (12)	Y	I-137	24,5 (2) s
4 036 (1)	0,011 (2)	Y	Rb-88	17,8 (1) min
4 038,96 (15)	0,045 (5)	Y	I-137	24,5 (2) s
4 043,26 (22)	0,74 (7)	Y	Rb-91	58,4 (4) s
4 043,8 (10)	0,020 (9)	Y	Kr-89	3,17 (2) min
4 044 (2)	0,052 (15)	Y	Br-76	16,2 (2) h
4 048,0 (5)	0,117 (14)	Y	Kr-89	3,17 (2) min
4 050,0 (4)	0,10 (3)	Y	Br-87	55,65 (13) s
4 052,3 (15)	0,006 (3)	Y	Y-94	18,7 (1) min
4 055,1 (8)	0,011 (4)	Y	Br-87	55,65 (13) s
4 061,3 (5)	0,11 (5)	Y	Rb-91	58,4 (4) s
4 061,7 (3)	0,24 (3)	Y	Rb-90	2,70 (5) min
4 063,9 (7)	0,04 (3)	Y	Rb-91	58,4 (4) s
4 064,60 (6)	0,008 (3)	Y	I-137	24,5 (2) s
4 065 (3)	0,020 (8)	Y	Br-76	16,2 (2) h
4 071,9 (1)	7,0 (8)	Y	Ca-49	8,718 (6) min
4 078,25 (19)	4,1 (3)	Y	Rb-91	58,4 (4) s
4 080,1 (5)	0,017 5 (23)	Y	Cs-138	33,41 (18) min
4 081,4 (5)	0,074 (11)	Y	Kr-89	3,17 (2) min
4 083,87 (15)	0,083 (8)	Y	I-137	24,5 (2) s
4 084 (3)	0,015 (8)	Y	Br-76	16,2 (2) h
4 085,853 (9)	1,27 (10)	Y	Ga-66	9,49 (7) h
4 087,26 (23)	0,255 (22)	Y	Rb-90	2,70 (5) min
4 090,0 (2)	0,224 (23)	Y	I-138	6,49 (7) s

* : Radionucléide en équilibre avec son descendant
(Cf. liste en début de volume)

Énergie (keV)	Intensité (%)	Type	Parent	Période	
4 092,8 (5)	0,10 (3)	Y	Br-87	55,65 (13)	s
4 093,7 (6)	0,082 (13)	Y	Rb-89	15,2 (1)	min
4 095,7 (3)	0,24 (4)	Y	Rb-91	58,4 (4)	s
4 098,4 (15)	0,02 (1)	Y	Y-94	18,7 (1)	min
4 099,7 (2)	0,14 (2)	Y	I-138	6,49 (7)	s
4 103,3 (3)	0,019 (2)	Y	I-137	24,5 (2)	s
4 105,0 (6)	0,031	Y	I-137	24,5 (2)	s
4 109,86 (20)	0,10 (1)	Y	Br-87	55,65 (13)	s
4 115,6 (4)	0,35 (6)	Y	Rb-90	2,70 (5)	min
4 115,6 (4)	0,35 (6)	Y	Rb-90m	4,30 (7)	min
4 117,7 (11)	0,014 (6)	Y	Kr-89	3,17 (2)	min
4 128,1 (3)	0,101 (14)	Y	I-138	6,49 (7)	s
4 129,3 (10)	0,05 (2)	Y	Kr-91	8,57 (4)	s
4 129,99 (15)	0,064 (6)	Y	I-137	24,5 (2)	s
4 135,51 (17)	6,7 (5)	Y	Rb-90	2,70 (5)	min
4 135,51 (17)	0,11 (6)	Y	Rb-90m	4,30 (7)	min
4 136,3 (4)	0,26 (8)	Y	Br-87	55,65 (13)	s
4 140,98 (15)	0,069 (6)	Y	I-137	24,5 (2)	s
4 143,0 (12)	0,026 (9)	Y	Kr-89	3,17 (2)	min
4 146,9 (13)	0,016 (8)	Y	Kr-89	3,17 (2)	min
4 157,48 (22)	0,70 (7)	Y	Rb-91	58,4 (4)	s
4 160,94 (15)	0,27 (2)	Y	I-137	24,5 (2)	s
4 162,6 (6)	0,028 (7)	Y	Kr-89	3,17 (2)	min
4 166,5 (10)	0,031 (12)	Y	Kr-90	32,32 (9)	s
4 171,7 (3)	0,28 (4)	Y	Rb-91	58,4 (4)	s
4 172 (2)	0,022 (8)	Y	Br-76	16,2 (2)	h
4 173,11 (15)	0,063 (6)	Y	I-137	24,5 (2)	s
4 176,2 (11)	0,012 (6)	Y	Kr-89	3,17 (2)	min
4 180,06 (5)	0,079 2 (17)	Y	O-19	26,91 (8)	s
4 180,54 (10)	4,0 (3)	Y	Br-87	55,65 (13)	s
4 182,0 (2)	0,63 (7)	Y	I-138	6,49 (7)	s
4 184,3 (6)	0,050 (9)	Y	Kr-89	3,17 (2)	min
4 189,0 (7)	0,018	Y	I-137	24,5 (2)	s
4 189,2 (3)	0,23 (3)	Y	Rb-91	58,4 (4)	s
4 192 (1)	0,077 (20)	Y	Br-87	55,65 (13)	s
4 192,75 (23)	1,14 (12)	Y	Rb-90	2,70 (5)	min
4 192,75 (23)	1,14 (12)	Y	Rb-90m	4,30 (7)	min
4 199,6 (8)	0,07 (2)	Y	Kr-91	8,57 (4)	s
4 204,0 (15)	0,23 (9)	Y	Br-87	55,65 (13)	s
4 209,5 (3)	0,9 (1)	Y	Rb-90	2,70 (5)	min
4 209,5 (3)	0,9 (1)	Y	Rb-90m	4,30 (7)	min
4 211,6 (2)	0,033 (3)	Y	I-137	24,5 (2)	s
4 219,1 (7)	0,10 (4)	Y	Br-87	55,65 (13)	s
4 223,3 (3)	0,076 (8)	Y	Br-87	55,65 (13)	s
4 224,8 (6)	0,101 (21)	Y	Rb-91	58,4 (4)	s
4 231,0 (4)	0,13 (2)	Y	Br-87	55,65 (13)	s
4 234,1 (3)	0,22 (3)	Y	Rb-91	58,4 (4)	s
4 237,96 (6)	0,000 84 (10)	Y	Na-24	14,9574 (20)	h
4 241,66 (20)	0,050 (5)	Y	Br-87	55,65 (13)	s
4 249,0 (3)	0,34 (4)	Y	Rb-91	58,4 (4)	s
4 253,3 (10)	0,014 (6)	Y	Kr-89	3,17 (2)	min
4 253,7 (3)	0,38 (5)	Y	Rb-91	58,4 (4)	s
4 257,34 (24)	0,73 (7)	Y	Rb-90	2,70 (5)	min
4 257,34 (24)	0,73 (7)	Y	Rb-90m	4,30 (7)	min
4 258,4 (3)	0,027 (3)	Y	Br-87	55,65 (13)	s
4 260,4 (4)	0,009 (2)	Y	I-137	24,5 (2)	s
4 265,0 (6)	0,11 (2)	Y	Br-87	55,65 (13)	s
4 265,45 (21)	1,44 (12)	Y	Rb-91	58,4 (4)	s
4 267,7 (6)	0,028 (7)	Y	Kr-89	3,17 (2)	min
4 270,3 (4)	0,014 (2)	Y	I-137	24,5 (2)	s
4 276,53 (15)	0,25 (2)	Y	I-137	24,5 (2)	s
4 278,4 (8)	0,052 (17)	Y	Rb-90	2,70 (5)	min
4 279,4 (7)	0,020 (7)	Y	Kr-89	3,17 (2)	min
4 288,1 (8)	0,007 (3)	Y	I-137	24,5 (2)	s
4 295,187 (10)	3,8 (3)	Y	Ga-66	9,49 (7)	h
4 297,1 (4)	0,115 (18)	Y	Rb-91	58,4 (4)	s
4 297,18 (15)	0,53 (4)	Y	Br-87	55,65 (13)	s
4 306,8 (3)	0,162 (18)	Y	I-138	6,49 (7)	s
4 307,4 (11)	0,010 (6)	Y	Kr-89	3,17 (2)	min
4 311,9 (10)	0,064 (20)	Y	Br-87	55,65 (13)	s
4 318,2 (5)	0,012	Y	I-137	24,5 (2)	s
4 318,9 (2)	0,41 (5)	Y	I-138	6,49 (7)	s
4 321,2 (11)	0,010 (4)	Y	Kr-89	3,17 (2)	min
4 326,83 (20)	0,27 (2)	Y	Br-87	55,65 (13)	s
4 332,14 (20)	0,40 (4)	Y	Rb-90	2,70 (5)	min
4 332,78 (15)	0,114 (10)	Y	I-137	24,5 (2)	s
4 341,1 (6)	0,105 (12)	Y	Kr-89	3,17 (2)	min
4 350,5 (6)	0,008 (2)	Y	I-137	24,5 (2)	s
4 355,78 (22)	0,44 (4)	Y	Rb-90	2,70 (5)	min
4 357,9 (7)	0,054 (18)	Y	Rb-91	58,4 (4)	s

* : Radionucléide en équilibre avec son descendant
(Cf. liste en début de volume)

Énergie (keV)	Intensité (%)	Type	Parent	Période
4 365,90 (18)	8,0 (6)	Y	Rb-90	2,70 (5) min
4 365,90 (18)	0,11 (1)	Y	Rb-90m	4,30 (7) min
4 368,4 (8)	0,042 (7)	Y	Kr-89	3,17 (2) min
4 391,3 (9)	0,054 (18)	Y	Rb-91	58,4 (4) s
4 396	0,003 8 (19)	Y	S-37	5,05 (2) min
4 402,78 (15)	0,22 (2)	Y	I-137	24,5 (2) s
4 405,1 (12)	0,008 (4)	Y	Kr-89	3,17 (2) min
4 424,7 (6)	0,008 (2)	Y	I-137	24,5 (2) s
4 436,4 (10)	0,052 (15)	Y	Br-76	16,2 (2) h
4 436,8 (6)	0,07 (1)	Y	Kr-91	8,57 (4) s
4 448,1 (12)	0,010 (4)	Y	Kr-89	3,17 (2) min
4 453,1 (4)	0,145 (19)	Y	Rb-91	58,4 (4) s
4 454,07 (21)	1,18 (9)	Y	Rb-90	2,70 (5) min
4 454,07 (21)	1,18 (9)	Y	Rb-90m	4,30 (7) min
4 455 (3)	0,006 (3)	Y	Br-76	16,2 (2) h
4 461,202 (9)	0,84 (7)	Y	Ga-66	9,49 (7) h
4 477,8 (3)	0,019 (2)	Y	I-137	24,5 (2) s
4 478,3 (9)	0,014 (5)	Y	Kr-89	3,17 (2) min
4 489,2 (8)	0,135 (15)	Y	Kr-89	3,17 (2) min
4 492 (3)	0,006 (3)	Y	Br-76	16,2 (2) h
4 493	0,032 (32)	Y	Ca-49	8,718 (6) min
4 496,1 (3)	0,162 (18)	Y	I-138	6,49 (7) s
4 500,8 (10)	0,036 (16)	Y	Rb-90	2,70 (5) min
4 501,9 (6)	0,005 9 (15)	Y	I-137	24,5 (2) s
4 515,2 (5)	0,084 (14)	Y	I-138	6,49 (7) s
4 523,96 (20)	0,29 (3)	Y	Br-87	55,65 (13) s
4 533,8 (3)	0,068 (7)	Y	Br-87	55,65 (13) s
4 539,3 (10)	0,069 (20)	Y	Br-87	55,65 (13) s
4 543,3 (6)	0,007 4 (15)	Y	I-137	24,5 (2) s
4 544,1 (5)	0,054 (14)	Y	Rb-91	58,4 (4) s
4 548,16 (20)	0,120 (9)	Y	Br-87	55,65 (13) s
4 559,9 (4)	0,014 (2)	Y	I-137	24,5 (2) s
4 564,1 (5)	0,029 (6)	Y	Br-87	55,65 (13) s
4 572,36 (15)	0,88 (6)	Y	Br-87	55,65 (13) s
4 581,90 (17)	0,11 (4)	Y	Br-87	55,65 (13) s
4 596,4 (6)	0,22 (6)	Y	Br-87	55,65 (13) s
4 599,4 (3)	0,46 (5)	Y	Rb-90	2,70 (5) min
4 599,4 (3)	0,46 (5)	Y	Rb-90m	4,30 (7) min
4 600 (4)	0,022 (8)	Y	Br-76	16,2 (2) h
4 620,77 (20)	0,44 (4)	Y	Br-87	55,65 (13) s
4 631,5 (8)	0,028 (7)	Y	Kr-89	3,17 (2) min
4 635,1 (4)	0,024 (12)	Y	Rb-90	2,70 (5) min
4 644,58 (20)	0,82 (7)	Y	Br-87	55,65 (13) s
4 646,45 (20)	2,25 (16)	Y	Rb-90	2,70 (5) min
4 655,6 (7)	0,010 (4)	Y	Kr-89	3,17 (2) min
4 663,4 (4)	0,42 (4)	Y	Br-87	55,65 (13) s
4 669,9 (4)	0,28 (4)	Y	Br-87	55,65 (13) s
4 680,6 (7)	0,004 9 (13)	Y	I-137	24,5 (2) s
4 685 (14)	0,04 (3)	Y	Rb-90	2,70 (5) min
4 685,0 (14)	0,04 (3)	Y	Rb-90m	4,30 (7) min
4 685,6 (12)	0,008 (4)	Y	Kr-89	3,17 (2) min
4 685,8 (10)	0,003 0 (15)	Y	I-137	24,5 (2) s
4 697,0 (3)	0,24 (3)	Y	I-138	6,49 (7) s
4 699,3 (7)	0,017 (11)	Y	Rb-91	58,4 (4) s
4 701,5 (9)	0,010 (4)	Y	Kr-89	3,17 (2) min
4 710,23 (20)	0,39 (4)	Y	Br-87	55,65 (13) s
4 720,0 (4)	0,050 (7)	Y	I-138	6,49 (7) s
4 726,1 (7)	0,11 (3)	Y	Rb-90	2,70 (5) min
4 726,1 (7)	0,11 (3)	Y	Rb-90m	4,30 (7) min
4 728,1 (10)	0,051 (20)	Y	Br-87	55,65 (13) s
4 734,44 (20)	0,24 (2)	Y	Br-87	55,65 (13) s
4 738,2 (2)	0,21 (6)	Y	Ca-49	8,718 (6) min
4 742,9 (3)	0,15 (1)	Y	Rb-88	17,8 (1) min
4 752,57 (20)	0,32 (3)	Y	Br-87	55,65 (13) s
4 752,7 (4)	0,084 (10)	Y	I-138	6,49 (7) s
4 758,0 (5)	0,010 (2)	Y	I-137	24,5 (2) s
4 770,43 (20)	0,26 (3)	Y	Br-87	55,65 (13) s
4 784,32 (15)	1,8 (1)	Y	Br-87	55,65 (13) s
4 784,7 (6)	0,010 (2)	Y	I-137	24,5 (2) s
4 790,2 (7)	0,064 (17)	Y	Rb-90	2,70 (5) min
4 802,5 (13)	0,003 4 (13)	Y	I-137	24,5 (2) s
4 806,007 (9)	1,86 (15)	Y	Ga-66	9,49 (7) h
4 807,8 (4)	0,15 (2)	Y	Br-87	55,65 (13) s
4 815,4 (2)	0,002 5 (4)	Y	Mn-52m	21,2 (4) min
4 824,8 (4)	0,14 (2)	Y	Br-87	55,65 (13) s
4 829,8 (8)	0,003 8 (10)	Y	Br-87	55,65 (13) s
4 836,15 (20)	0,22 (2)	Y	Br-87	55,65 (13) s
4 853,2 (3)	0,009 4 (17)	Y	Rb-88	17,8 (1) min
4 865,87 (4)	0,002 8 (3)	Y	Ga-66	9,49 (7) h
4 871,90 (15)	0,45 (3)	Y	Br-87	55,65 (13) s

* : Radionucléide en équilibre avec son descendant
(Cf. liste en début de volume)

Énergie (keV)	Intensité (%)	Type	Parent	Période
4 889,3 (5)	0,082 (20)	γ	Br-87	55,65 (13) s
4 899,0 (9)	0,005 (2)	γ	I-137	24,5 (2) s
4 917,6 (11)	0,13 (40)	γ	Br-87	55,65 (13) s
4 919,0 (4)	0,077 (10)	γ	Rb-90	2,70 (5) min
4 925,6 (7)	0,18 (4)	γ	Br-87	55,65 (13) s
4 934,8 (7)	0,036 (9)	γ	Rb-90	2,70 (5) min
4 961,54 (15)	2,0 (1)	γ	Br-87	55,65 (13) s
4 973,9 (3)	0,10 (1)	γ	I-138	6,49 (7) s
4 974,14 (25)	0,207 (20)	γ	Rb-90	2,70 (5) min
4 975,9 (9)	0,07 (2)	γ	Br-87	55,65 (13) s
4 996,2 (11)	0,07 (3)	γ	Rb-90	2,70 (5) min
4 996,2 (11)	0,07 (3)	γ	Rb-90m	4,30 (7) min
5 003,0 (5)	0,054 (4)	γ	Br-87	55,65 (13) s
5 004,8 (4)	0,118 (15)	γ	I-138	6,49 (7) s
5 005,6 (3)	0,001 24 (18)	γ	Ga-66	9,49 (7) h
5 007,7 (9)	0,024 (9)	γ	Rb-90	2,70 (5) min
5 021,5 (3)	0,16 (3)	γ	Br-87	55,65 (13) s
5 033,7 (6)	0,046 (10)	γ	Br-87	55,65 (13) s
5 044,5 (30)	0,44 (4)	γ	Br-87	55,65 (13) s
5 049,4 (22)	0,016 (10)	γ	Br-87	55,65 (13) s
5 059,53 (20)	0,28 (3)	γ	Br-87	55,65 (13) s
5 070,2 (3)	0,144 (15)	γ	Rb-90	2,70 (5) min
5 076,08 (20)	0,19 (2)	γ	Br-87	55,65 (13) s
5 088,7 (4)	0,088 (10)	γ	Br-87	55,65 (13) s
5 103,39 (20)	0,43 (4)	γ	Br-87	55,65 (13) s
5 120,23 (20)	0,53 (5)	γ	Br-87	55,65 (13) s
5 132,2 (20)	0,002 1 (11)	γ	I-137	24,5 (2) s
5 135,92 (20)	0,16 (2)	γ	Br-87	55,65 (13) s
5 148,8 (12)	0,003 3 (11)	γ	I-137	24,5 (2) s
5 154,9 (6)	0,04 (1)	γ	Br-87	55,65 (13) s
5 166,6 (16)	0,016 (9)	γ	Br-87	55,65 (13) s
5 170,2 (8)	0,005 8 (15)	γ	I-137	24,5 (2) s
5 183,2 (3)	0,18 (2)	γ	Br-87	55,65 (13) s
5 187,44 (23)	1,17 (8)	γ	Rb-90	2,70 (5) min
5 195,02 (20)	0,53 (5)	γ	Br-87	55,65 (13) s
5 200,84 (20)	0,55 (4)	γ	Br-87	55,65 (13) s
5 214,3 (3)	0,21 (2)	γ	Br-87	55,65 (13) s
5 245,4 (3)	0,18 (2)	γ	Br-87	55,65 (13) s
5 254,27 (25)	0,23 (2)	γ	Rb-90	2,70 (5) min
5 261,1 (4)	0,062 (13)	γ	I-138	6,49 (7) s
5 281,5 (9)	0,011 (4)	γ	Br-87	55,65 (13) s
5 299,5 (9)	0,017 (6)	γ	Rb-90	2,70 (5) min
5 318,4 (9)	0,024 (9)	γ	Br-87	55,65 (13) s
5 329,7 (6)	0,078 (13)	γ	I-138	6,49 (7) s
5 333,01 (24)	0,43 (4)	γ	Rb-90	2,70 (5) min
5 340,0 (3)	0,14 (2)	γ	Br-87	55,65 (13) s
5 341,6 (5)	0,123 (20)	γ	I-138	6,49 (7) s
5 362,5 (12)	0,024 (10)	γ	Br-87	55,65 (13) s
5 369,9 (3)	0,14 (2)	γ	Br-87	55,65 (13) s
5 382,9 (3)	0,15 (2)	γ	Br-87	55,65 (13) s
5 395,3 (10)	0,024 (6)	γ	Br-87	55,65 (13) s
5 406,16 (20)	0,21 (5)	γ	Br-87	55,65 (13) s
5 406,8 (6)	4,6 (7)	γ	Br-86	55,1 (4) s
5 419,7 (5)	0,047 (15)	γ	Br-87	55,65 (13) s
5 424,0 (9)	0,029 (10)	γ	Br-87	55,65 (13) s
5 439,7 (9)	0,010 (3)	γ	Br-87	55,65 (13) s
5 454,7 (3)	0,19 (2)	γ	Br-87	55,65 (13) s
5 473,56 (20)	0,38 (3)	γ	Br-87	55,65 (13) s
5 519,2 (9)	2,8 (4)	γ	Br-86	55,1 (4) s
5 546,5 (6)	0,033 (5)	γ	Br-87	55,65 (13) s
5 561,7 (9)	0,022 (7)	γ	Br-87	55,65 (13) s
5 588,6 (10)	0,015 (4)	γ	Br-87	55,65 (13) s
5 594,5 (3)	0,061 (5)	γ	Br-87	55,65 (13) s
5 600,1 (5)	0,033 (6)	γ	Rb-90	2,70 (5) min
5 606,2 (5)	0,049 (6)	γ	Br-87	55,65 (13) s
5 635,0 (5)	0,040 (5)	γ	Br-87	55,65 (13) s
5 648,6 (9)	0,006 (2)	γ	Br-87	55,65 (13) s
5 659,7 (4)	0,027 (3)	γ	Br-87	55,65 (13) s
5 672,1 (4)	0,039 (4)	γ	Br-87	55,65 (13) s
5 685,4 (3)	0,11 (1)	γ	Br-87	55,65 (13) s
5 698,6 (4)	0,018 (2)	γ	Br-87	55,65 (13) s
5 714,7 (9)	0,011 (2)	γ	Br-87	55,65 (13) s
5 720 (3)	0,017 (10)	γ	Br-87	55,65 (13) s
5 793,3 (4)	0,068 (9)	γ	Br-87	55,65 (13) s
5 821 (5)	0,009 (6)	γ	Br-87	55,65 (13) s
6 128,63 (4)	67,0 (6)	γ	N-16	7,13 (2) s
6 161,8 (20)	0,07 (4)	γ	Br-86	55,1 (4) s
6 210,7 (13)	0,58 (14)	γ	Br-86	55,1 (4) s
6 722 (3)	0,045 (4)	γ	Br-86	55,1 (4) s
6 768,9 (15)	0,10 (3)	γ	Br-86	55,1 (4) s

* : Radionucléide en équilibre avec son descendant
(Cf. liste en début de volume)

Énergie (keV)	Intensité (%)	Type	Parent	Période
6 915,5 (6)	0,038 (6)	γ	N-16	7,13 (2) s
7 115,15 (14)	4,9 (4)	γ	N-16	7,13 (2) s
8 869,3 (5)	0,076 (9)	γ	N-16	7,13 (2) s

LISTE DES ÉMISSIONS ALPHA
CLASSÉES PAR ORDRE D'ÉNERGIE CROISSANTE

*LIST OF ALPHA EMISSIONS
SORTED BY INCREASING ENERGY*

Énergie (keV)	Intensité (%)	Type	Parent	Période
1 852,2 (18)	100	α	Nd-144	2,29 (16) E+15 a
3 720 (20)	0,000 001 9 (4)	α	Pb-210	22,23 (12) a
3 830	0,20 (8)	α	Th-232	14,05 (6) E+9 a
3 954 (8)	23 (2)	α	Th-232	14,05 (6) E+9 a
3 975,9 (7)	0,001	α	U-235	704 (1) E+6 a
4 013 (3)	77 (2)	α	Th-232	14,05 (6) E+9 a
4 038 (5)	0,13 (3)	α	U-238	4,468 (5) E+9 a
4 077,1 (7)	0,02	α	U-235	704 (1) E+6 a
4 108,6 (7)	0,000 007	α	U-234	245,5 (6) E+3 a
4 150 (5)	0,9 (2)	α	U-235	704 (1) E+6 a
4 150,6 (7)	0,000 026	α	U-234	245,5 (6) E+3 a
4 151 (5)	22,3 (5)	α	U-238	4,468 (5) E+9 a
4 160 (2)	0,000 2	α	Ra-226	1 600 (7) a
4 191 (2)	0,000 8	α	Ra-226	1 600 (7) a
4 198 (3)	77,5 (5)	α	U-238	4,468 (5) E+9 a
4 214,7 (19)	5,7 (6)	α	U-235	704 (1) E+6 a
4 219,0 (19)	0,017 (2)	α	U-235	704 (1) E+6 a
4 219 (6)	0,9	α	U-235	704 (1) E+6 a
4 271 (5)	0,4	α	U-235	704 (1) E+6 a
4 275,2 (7)	0,000 04 (1)	α	U-234	245,5 (6) E+3 a
4 279,7 (7)	0,033 (11)	α	U-235	704 (1) E+6 a
4 287,4 (7)	0,1	α	U-235	704 (1) E+6 a
4 295,0 (13)	0,009	α	U-235	704 (1) E+6 a
4 307,2 (12)	0,000 9	α	U-233	159,20 (20) E+3 a
4 325,8 (7)	4,4 (5)	α	U-235	704 (1) E+6 a
4 328,5 (7)	0,21 (4)	α	U-235	704 (1) E+6 a
4 340 (1)	0,006 6 (22)	α	Ra-226	1 600 (7) a
4 362,4 (7)	0,24 (7)	α	U-235	704 (1) E+6 a
4 366,1 (20)	17 (2)	α	U-235	704 (1) E+6 a
4 371,8 (16)	0,000 97 (13)	α	Th-230	75 380 (300) a
4 381,4 (7)	0,31	α	U-235	704 (1) E+6 a
4 390,20 (21)	0,000 001 01 (11)	α	Pu-239	24 100 (11) a
4 397,8 (13)	55 (3)	α	U-235	704 (1) E+6 a
4 400,0 (4)	0,000 010 3 (12)	α	Pu-239	24 100 (11) a
4 400,26 (21)	0,000 027 (3)	α	Pu-239	24 100 (11) a
4 404,0 (12)	0,000 3	α	U-233	159,20 (20) E+3 a
4 406,2 (12)	0,000 4	α	U-233	159,20 (20) E+3 a
4 410 (10)	0,001	α	Pa-231	32 760 (110) a
4 414 (4)	2,1 (2)	α	U-235	704 (1) E+6 a
4 432,00 (25)	0,000 001 2	α	Pu-238	87,74 (3) a
4 435 (5)	0,7	α	U-235	704 (1) E+6 a
4 438,4 (16)	0,030 (15)	α	Th-230	75 380 (300) a
4 448,0 (3)	0,000 004 4 (12)	α	Th-228	1,9127 (6) a
4 448,46 (21)	0,000 002 13 (9)	α	Pu-239	24 100 (11) a
4 457,1 (12)	0,002 8	α	U-233	159,20 (20) E+3 a
4 464,68 (21)	0,000 011 4 (3)	α	Pu-239	24 100 (11) a
4 465,2 (12)	0,003	α	U-233	159,20 (20) E+3 a
4 467,37 (21)	0,000 007 07 (13)	α	Pu-239	24 100 (11) a
4 472,09 (21)	0,000 001 17 (7)	α	Pu-238	87,74 (3) a
4 478 (3)	0,005	α	Th-229	7 340 (160) a
4 479,8 (16)	0,12	α	Th-230	75 380 (300) a
4 482,7 (12)	0,001 4	α	U-233	159,20 (20) E+3 a
4 484 (2)	0,03 (2)	α	Th-229	7 340 (160) a
4 492,00 (16)	0,000 019 3 (4)	α	Pu-240	6 561 (7) a
4 502 (2)	1,7 (2)	α	U-235	704 (1) E+6 a
4 503,24 (21)	0,000 006 31 (11)	α	Pu-239	24 100 (11) a
4 503,3 (13)	0,001	α	U-233	159,20 (20) E+3 a
4 508 (2)	0,003	α	Pa-231	32 760 (110) a
4 508,72 (21)	0,000 026 4 (6)	α	Pu-239	24 100 (11) a
4 509,6 (12)	0,012	α	U-233	159,20 (20) E+3 a
4 513,0 (12)	0,018	α	U-233	159,20 (20) E+3 a
4 515,1 (19)	0,038 (4)	α	Np-237	2,144 (7) E+6 a
4 516,66 (9)	0,001 24 (4)	α	Po-210	138,3763 (17) d
4 523,0 (3)	0,000 017 (3)	α	Th-228	1,9127 (6) a
4 529,52 (22)	0,000 003 22 (21)	α	Pu-239	24 100 (11) a
4 534,08 (22)	0,000 002 84 (7)	α	Pu-239	24 100 (11) a
4 541,7 (12)	0,004	α	U-233	159,20 (20) E+3 a
4 546 (1)	19,4 (8)	α	Pu-244	80,0 (9) E+6 a
4 550,5 (22)	0,011 (3)	α	Np-237	2,144 (7) E+6 a
4 556 (2)	4,2 (3)	α	U-235	704 (1) E+6 a
4 558,75 (22)	0,000 012 (4)	α	Pu-239	24 100 (11) a
4 566 (2)	0,008	α	Pa-231	32 760 (110) a
4 567,2 (12)	0,002 8	α	U-233	159,20 (20) E+3 a
4 573 (3)	0,048 (23)	α	Np-237	2,144 (7) E+6 a
4 573,1 (12)	0,002 3	α	U-233	159,20 (20) E+3 a
4 578,6 (14)	0,393 (23)	α	Np-237	2,144 (7) E+6 a
4 587,89 (21)	0,000 001 30 (5)	α	Pu-238	87,74 (3) a
4 589 (1)	80,5 (8)	α	Pu-244	80,0 (9) E+6 a
4 591,4 (12)	0,007	α	U-233	159,20 (20) E+3 a
4 596 (13)	5,0 (5)	α	U-235	704 (1) E+6 a

Énergie (keV)	Intensité (%)	Type	Parent	Période
4 599 (3)	0,02 (1)	α	Th-229	7 340 (160) a
4 599 (2)	0,015	α	Pa-231	32 760 (110) a
4 599,1 (18)	0,373 (9)	α	Np-237	2,144 (7) E+6 a
4 600,0 (9)	0,000 85 (6)	α	Pu-242	373 (3) E+3 a
4 601 (1)	5,95 (4)	α	Ra-226	1 600 (7) a
4 603,5 (7)	0,210 (2)	α	U-234	245,5 (6) E+3 a
4 608 (2)	0,050 (8)	α	Th-229	7 340 (160) a
4 611,2 (12)	0,006	α	U-233	159,20 (20) E+3 a
4 616,0 (12)	0,004	α	U-233	159,20 (20) E+3 a
4 619,7 (21)	0,032 (8)	α	Np-237	2,144 (7) E+6 a
4 620,5 (15)	23,4 (1)	α	Th-230	75 380 (300) a
4 626,1 (12)	0,002 (2)	α	U-233	159,20 (20) E+3 a
4 632 (2)	0,10 (3)	α	Pa-231	32 760 (110) a
4 632,3 (12)	0,01	α	U-233	159,20 (20) E+3 a
4 632,35 (21)	0,000 86 (3)	α	Pu-239	24 100 (11) a
4 640 (1)	6,43 (3)	α	Np-237	2,144 (7) E+6 a
4 640,9 (12)	0,003	α	U-233	159,20 (20) E+3 a
4 643 (2)	0,10 (3)	α	Pa-231	32 760 (110) a
4 650 (4)	0,000 084 (9)	α	Bi-210	5,012 (5) d
4 654,1 (12)	0,005	α	U-233	159,20 (20) E+3 a
4 654,60 (16)	0,000 047 (5)	α	Pu-240	6 561 (7) a
4 655,27 (27)	0,000 003 3 (7)	α	Pu-239	24 100 (11) a
4 661,67 (23)	0,000 008 2 (17)	α	Pu-238	87,74 (3) a
4 664,2 (12)	0,042	α	U-233	159,20 (20) E+3 a
4 665,0 (9)	3,46 (3)	α	Np-237	2,144 (7) E+6 a
4 668,0 (12)	0,001	α	Th-229	7 340 (160) a
4 676,4	0,38 (2)	α	Np-237	2,144 (7) E+6 a
4 680,8 (12)	0,01	α	U-233	159,20 (20) E+3 a
4 681 (2)	1,5	α	Pa-231	32 760 (110) a
4 687 (4)	0,000 056 (6)	α	Bi-210	5,012 (5) d
4 687,0 (15)	76,3 (3)	α	Th-230	75 380 (300) a
4 687,1 (12)	0,002 8	α	U-233	159,20 (20) E+3 a
4 690 (2)	0,23 (8)	α	Th-229	7 340 (160) a
4 690,29 (21)	0,000 56 (5)	α	Pu-239	24 100 (11) a
4 694 (2)	0,12 (2)	α	Th-229	7 340 (160) a
4 695 (3)	0,001 7 (5)	α	Am-243	7 370 (17) a
4 698,2 (8)	0,535 (10)	α	Np-237	2,144 (7) E+6 a
4 701,4 (12)	0,06	α	U-233	159,20 (20) E+3 a
4 702,79 (21)	0,000 10 (4)	α	Pu-238	87,74 (3) a
4 712,3 (20)	1,174 (13)	α	Np-237	2,144 (7) E+6 a
4 713 (2)	1,00 (25)	α	Pa-231	32 760 (110) a
4 715 (4)	0,006 (3)	α	Ac-227	21,772 (3) a
4 718,39 (21)	0,000 040 0 (11)	α	Pu-239	24 100 (11) a
4 722,4 (7)	28,42 (2)	α	U-234	245,5 (6) E+3 a
4 725,98 (21)	0,000 008 21 (16)	α	Pu-238	87,74 (3) a
4 729,2 (12)	1,61	α	U-233	159,20 (20) E+3 a
4 736,0 (8)	8,4	α	Pa-231	32 760 (110) a
4 736,7 (12)	0,01	α	Th-229	7 340 (160) a
4 737,05 (21)	0,005 70 (5)	α	Pu-239	24 100 (11) a
4 738 (4)	0,001 2 (1)	α	Ac-227	21,772 (3) a
4 741,3 (20)	0,019	α	Np-237	2,144 (7) E+6 a
4 744 (5)	0,000 001 7	α	Pu-241	14,33 (4) a
4 748,5 (12)	0,005	α	Th-229	7 340 (160) a
4 748,81 (21)	0,000 75 (11)	α	Pu-239	24 100 (11) a
4 751,0 (12)	0,01	α	U-233	159,20 (20) E+3 a
4 754,1 (12)	0,163	α	U-233	159,20 (20) E+3 a
4 755,4 (12)	0,05	α	Th-229	7 340 (160) a
4 756,1 (9)	0,030 8 (13)	α	Pu-242	373 (3) E+3 a
4 757,41 (16)	0,000 04 (3)	α	Am-241	432,6 (6) a
4 757,8 (12)	0,016	α	U-233	159,20 (20) E+3 a
4 761 (2)	1,0 (4)	α	Th-229	7 340 (160) a
4 766,5 (8)	9,5 (3)	α	Np-237	2,144 (7) E+6 a
4 768 (3)	0,025 (7)	α	Ac-227	21,772 (3) a
4 770,01 (21)	0,001 25 (3)	α	Pu-239	24 100 (11) a
4 771,4 (8)	23,0 (3)	α	Np-237	2,144 (7) E+6 a
4 774,6 (7)	71,37 (2)	α	U-234	245,5 (6) E+3 a
4 776,0 (15)	0,005 (5)	α	Cm-248	348 (6) E+3 a
4 783,5 (12)	13,2 (2)	α	U-233	159,20 (20) E+3 a
4 784,34 (25)	94,038 (40)	α	Ra-226	1 600 (7) a
4 785 (4)	0,001 1 (1)	α	Ac-227	21,772 (3) a
4 788,0 (9)	47,64 (6)	α	Np-237	2,144 (7) E+6 a
4 795 (2)	0,04	α	Pa-231	32 760 (110) a
4 795,73 (21)	0,000 944 (17)	α	Pu-239	24 100 (11) a
4 796 (3)	0,014 (7)	α	Ac-227	21,772 (3) a
4 796,0 (12)	0,28	α	U-233	159,20 (20) E+3 a
4 797,8 (12)	1,5 (2)	α	Th-229	7 340 (160) a
4 798,0 (5)	0,000 029 (3)	α	Pu-241	14,33 (4) a
4 800,68 (16)	0,000 086	α	Am-241	432,6 (6) a
4 803,5 (10)	2,02 (2)	α	Np-237	2,144 (7) E+6 a
4 804,0 (12)	0,051	α	U-233	159,20 (20) E+3 a

Énergie (keV)	Intensité (%)	Type	Parent	Période
4 805,33 (22)	0,000 017 (4)	α	Pu-239	24 100 (11) a
4 810,3 (12)	0,22	α	Th-229	7 340 (160) a
4 814,6 (12)	9,30 (8)	α	Th-229	7 340 (160) a
4 816,8 (10)	2,430 (17)	α	Np-237	2,144 (7) E+6 a
4 823,80 (22)	0,000 022	α	Pu-239	24 100 (11) a
4 824,2 (12)	84,4 (5)	α	U-233	159,20 (20) E+3 a
4 827 (4)	0,000 5	α	Rn-222	3,8232 (8) d
4 829,38 (21)	0,003 54 (7)	α	Pu-239	24 100 (11) a
4 833,5 (12)	0,29	α	Th-229	7 340 (160) a
4 834,16 (13)	0,000 7	α	Am-241	432,6 (6) a
4 838 (2)	5,0 (2)	α	Th-229	7 340 (160) a
4 845,3 (12)	56,2 (2)	α	Th-229	7 340 (160) a
4 853 (2)	1,40 (25)	α	Pa-231	32 760 (110) a
4 853,8 (5)	0,000 295 (8)	α	Pu-241	14,33 (4) a
4 854,7 (13)	0,03	α	Th-229	7 340 (160) a
4 855 (2)	0,083 (14)	α	Ac-227	21,772 (3) a
4 858,1 (9)	23,49 (18)	α	Pu-242	373 (3) E+3 a
4 859 (3)	0,000 010 (1)	α	Np-235	1,084 (3) a
4 861 (2)	0,28 (10)	α	Th-229	7 340 (160) a
4 863,51 (15)	0,001 082 (18)	α	Pu-240	6 561 (7) a
4 865,6 (12)	0,03	α	Th-229	7 340 (160) a
4 866,4 (14)	0,51 (3)	α	Np-237	2,144 (7) E+6 a
4 866,91 (21)	0,001 8 (5)	α	Pu-239	24 100 (11) a
4 870,38 (21)	0,000 7 (3)	α	Pu-239	24 100 (11) a
4 872,7 (20)	0,087 (7)	α	Ac-227	21,772 (3) a
4 872,7 (14)	2,41 (3)	α	Np-237	2,144 (7) E+6 a
4 877,7 (12)	0,03	α	Th-229	7 340 (160) a
4 882,12 (8)	0,000 004 7 (11)	α	Cm-244	18,11 (3) a
4 897,3 (5)	0,002 03 (4)	α	Pu-241	14,33 (4) a
4 899 (3)	0,001 5 (1)	α	Ac-227	21,772 (3) a
4 900 (2)	0,002	α	Pa-231	32 760 (110) a
4 901,0 (12)	10,2 (8)	α	Th-229	7 340 (160) a
4 902 (5)	0,002 0 (5)	α	Ac-225	10,0 (1) d
4 902,2 (9)	76,48 (18)	α	Pu-242	373 (3) E+3 a
4 911,69 (21)	0,003 0 (16)	α	Pu-239	24 100 (11) a
4 919 (3)	0,000 085	α	Am-243	7 370 (17) a
4 919,24 (7)	0,000 050 (5)	α	Cm-244	18,11 (3) a
4 922 (2)	0,000 161 (7)	α	Np-235	1,084 (3) a
4 930 (2)	0,16 (5)	α	Th-229	7 340 (160) a
4 930 (3)	0,000 18	α	Am-243	7 370 (17) a
4 931,1 (5)	0,070 (11)	α	Cm-248	348 (6) E+3 a
4 934 (2)	3	α	Pa-231	32 760 (110) a
4 935,00 (21)	0,005 0 (7)	α	Pu-239	24 100 (11) a
4 937 (6)	0,000 008	α	Np-235	1,084 (3) a
4 941 (8)	0,546 (17)	α	Ac-227	21,772 (3) a
4 941 (3)	0,000 052 (3)	α	Bi-214	19,9 (4) min
4 946 (3)	0,000 34	α	Am-243	7 370 (17) a
4 951,3 (14)	22,8	α	Pa-231	32 760 (110) a
4 952,5 (4)	0,000 025 (5)	α	Th-228	1,9127 (6) a
4 953,3 (20)	0,658 (14)	α	Ac-227	21,772 (3) a
4 958,20 (9)	0,000 149 (16)	α	Cm-244	18,11 (3) a
4 962,83 (21)	0,007 (1)	α	Pu-239	24 100 (11) a
4 967,5 (12)	5,97 (6)	α	Th-229	7 340 (160) a
4 973,1 (5)	0,000 032 (3)	α	Pu-241	14,33 (4) a
4 975 (2)	0,4	α	Pa-231	32 760 (110) a
4 978,5 (12)	3,17 (4)	α	Th-229	7 340 (160) a
4 986 (2)	1,4	α	Pa-231	32 760 (110) a
4 987 (1)	0,078	α	Rn-222	3,8232 (8) d
4 988,13 (21)	0,003 4 (10)	α	Pu-239	24 100 (11) a
4 994 (4)	0,000 08	α	Np-235	1,084 (3) a
4 997 (2)	0,000 4	α	At-211	7,214 (7) h
4 997 (3)	0,001 8 (4)	α	Am-243	7 370 (17) a
4 997,77 (9)	0,006 16 (8)	α	U-232	70 (1) a
4 997,8 (3)	0,000 010 (3)	α	Th-228	1,9127 (6) a
4 999,2 (5)	0,000 010 0 (12)	α	Pu-241	14,33 (4) a
5 004 (4)	0,000 34 (2)	α	Np-235	1,084 (3) a
5 005	0,000 007	α	Np-235	1,084 (3) a
5 007,59 (20)	0,000 1	α	Am-241	432,6 (6) a
5 008 (3)	0,001 8	α	Am-243	7 370 (17) a
5 008,70 (21)	0,018 2 (27)	α	Pu-239	24 100 (11) a
5 009 (2)	0,09 (1)	α	Th-229	7 340 (160) a
5 010,36 (21)	0,000 006 85 (23)	α	Pu-238	87,74 (3) a
5 013,8 (14)	25,4	α	Pa-231	32 760 (110) a
5 014,4 (4)	0,000 45	α	Ra-223	11,43 (5) d
5 020,2 (20)	0,000 5 (5)	α	Ac-225	10,0 (1) d
5 021,15 (15)	0,086 3 (18)	α	Pu-240	6 561 (7) a
5 022 (2)	0,000 74 (1)	α	Np-235	1,084 (3) a
5 023 (3)	0,000 045 (3)	α	Bi-214	19,9 (4) min
5 023 (2)	0,009 (3)	α	Th-229	7 340 (160) a
5 026,2 (4)	0,000 64	α	Ra-223	11,43 (5) d

Énergie (keV)	Intensité (%)	Type	Parent	Période	
5 028,4 (10)	20	α	Pa-231	32 760 (110)	a
5 029 (3)	0,003 9 (6)	α	Am-243	7 370 (17)	a
5 029,51 (21)	0,013 (4)	α	Pu-239	24 100 (11)	a
5 032 (2)	0,000 5 (5)	α	Ac-225	10,0 (1)	d
5 032 (2)	2,5 (6)	α	Pa-231	32 760 (110)	a
5 033,5 (40)	0,000 31 (2)	α	Th-227	18,718 (5)	d
5 034,31 (25)	0,003 0 (5)	α	Ra-224	3,627 (7)	d
5 034,89 (25)	16,52 (18)	α	Cm-248	348 (6) E+3	a
5 035 (3)	0,003 9	α	Am-243	7 370 (17)	a
5 036,0 (4)	0,000 4	α	Ra-223	11,43 (5)	d
5 036 (2)	0,24 (2)	α	Th-229	7 340 (160)	a
5 043,4 (5)	0,000 025 (2)	α	Pu-241	14,33 (4)	a
5 047 (2)	0,1 (1)	α	Th-229	7 340 (160)	a
5 048 (2)	0,000 025 (4)	α	Np-235	1,084 (3)	a
5 051,58 (24)	0,007 6 (14)	α	Ra-224	3,627 (7)	d
5 053 (2)	6,6 (1)	α	Th-229	7 340 (160)	a
5 054,6 (5)	0,000 008 6 (10)	α	Pu-241	14,33 (4)	a
5 055,34 (21)	0,037 5 (12)	α	Pu-239	24 100 (11)	a
5 056,1 (40)	0,000 23 (2)	α	Th-227	18,718 (5)	d
5 056,6 (4)	0,000 2	α	Ra-223	11,43 (5)	d
5 058,6 (15)	11	α	Pa-231	32 760 (110)	a
5 066,23 (17)	0,000 11	α	Am-241	432,6 (6)	a
5 067 (5)	0,003 (1)	α	Ac-225	10,0 (1)	d
5 076,28 (21)	0,052 (8)	α	Pu-239	24 100 (11)	a
5 078 (2)	0,05	α	Th-229	7 340 (160)	a
5 078,38 (25)	75,0 (4)	α	Cm-248	348 (6) E+3	a
5 083,5 (40)	0,000 150 (15)	α	Th-227	18,718 (5)	d
5 086,1 (4)	0,000 3	α	Ra-223	11,43 (5)	d
5 088 (5)	0,005 5 (6)	α	Am-243	7 370 (17)	a
5 088,09 (9)	0,000 6	α	Pu-236	2,87 (1)	a
5 092 (4)	0,006 (1)	α	Ac-225	10,0 (1)	d
5 092,06 (13)	0,000 4	α	Am-241	432,6 (6)	a
5 097 (3)	0,000 003	α	Np-235	1,084 (3)	a
5 099,10 (13)	0,000 4	α	Am-241	432,6 (6)	a
5 101,21 (10)	0,000 003 7 (10)	α	Cm-242	162,86 (8)	d
5 105 (3)	0,000 021 (3)	α	Np-235	1,084 (3)	a
5 105,81 (21)	11,87 (3)	α	Pu-239	24 100 (11)	a
5 110,5 (40)	0,000 28 (2)	α	Th-227	18,718 (5)	d
5 111,21 (21)	0,02	α	Pu-239	24 100 (11)	a
5 112,6 (4)	0,000 6	α	Ra-223	11,43 (5)	d
5 113 (1)	0,010 (1)	α	Am-243	7 370 (17)	a
5 117,21 (20)	0,000 4	α	Am-241	432,6 (6)	a
5 123,64 (15)	27,16 (11)	α	Pu-240	6 561 (7)	a
5 128,7 (30)	0,000 62 (5)	α	Th-227	18,718 (5)	d
5 131 (5)	0,002 0 (8)	α	Ac-225	10,0 (1)	d
5 137,2 (4)	0,001 7	α	Ra-223	11,43 (5)	d
5 138,01 (26)	0,036 (7)	α	Th-228	1,9127 (6)	a
5 139 (2)	0,30 (2)	α	U-232	70 (1)	a
5 141 (2)	0,000 96 (34)	α	At-211	7,214 (7)	h
5 143,82 (21)	17,14 (4)	α	Pu-239	24 100 (11)	a
5 146,07 (12)	0,000 001 7 (5)	α	Cm-242	162,86 (8)	d
5 146,5 (20)	0,004 10 (8)	α	Th-227	18,718 (5)	d
5 151,7 (7)	0,021	α	Ra-223	11,43 (5)	d
5 154 (7)	0,000 27 (3)	α	Pu-237	45,2 (1)	d
5 155,16 (13)	0,000 7	α	Am-241	432,6 (6)	a
5 156,59 (14)	70,79 (10)	α	Pu-239	24 100 (11)	a
5 156,65 (21)	0,03	α	Pu-239	24 100 (11)	a
5 161 (5)	0,002 0 (8)	α	Ac-225	10,0 (1)	d
5 161,34 (25)	0,007 4 (8)	α	Ra-224	3,627 (7)	d
5 165,95 (16)	0,000 001 13 (21)	α	Cm-242	162,86 (8)	d
5 166,58 (7)	0,000 004 2 (30)	α	Cm-244	18,11 (3)	a
5 168,13 (15)	72,74 (11)	α	Pu-240	6 561 (7)	a
5 171 (3)	0,001 70 (17)	α	Th-227	18,718 (5)	d
5 172,9 (5)	0,026	α	Ra-223	11,43 (5)	d
5 176,89 (23)	0,20 (2)	α	Th-228	1,9127 (6)	a
5 179,35 (13)	0,000 3	α	Am-241	432,6 (6)	a
5 180,6 (40)	0,001 20 (24)	α	Th-227	18,718 (5)	d
5 181 (2)	0,001 1 (11)	α	Po-218	3,094 (6)	min
5 181 (1)	1,383 (7)	α	Am-243	7 370 (17)	a
5 181,65 (13)	0,000 9	α	Am-241	432,6 (6)	a
5 184 (3)	0,000 13 (1)	α	Bi-214	19,9 (4)	min
5 186,95 (12)	0,000 035 (7)	α	Cm-242	162,86 (8)	d
5 190,4 (2)	0,000 6	α	Am-241	432,6 (6)	a
5 193,7 (25)	0,003 8 (3)	α	Th-227	18,718 (5)	d
5 194,6 (20)	0,001 (1)	α	Ac-225	10,0 (1)	d
5 202 (5)	0,002 0 (5)	α	Ac-225	10,0 (1)	d
5 207,94 (20)	0,002 97 (4)	α	Pu-238	87,74 (3)	a
5 210,0 (15)	0,003 6 (8)	α	At-211	7,214 (7)	h
5 210,2 (20)	0,007 0 (3)	α	Th-227	18,718 (5)	d
5 211 (3)	0,030 (3)	α	Ac-225	10,0 (1)	d

Énergie (keV)	Intensité (%)	Type	Parent	Période
5 211,08 (22)	0,38 (3)	α	Th-228	1,9127 (6) a
5 211,8 (4)	0,005 4	α	Ra-223	11,43 (5) d
5 213,92 (9)	0,000 27 (3)	α	Pu-236	2,87 (1) a
5 217,24 (7)	0,000 055 (9)	α	Cm-244	18,11 (3) a
5 225,08 (13)	0,001 3	α	Am-241	432,6 (6) a
5 229,2 (20)	0,009 8 (3)	α	Th-227	18,718 (5) d
5 233,3 (10)	11,46 (5)	α	Am-243	7 370 (17) a
5 235,0 (12)	0,32	α	Cm-245	8 480 (60) a
5 237,0 (5)	0,042	α	Ra-223	11,43 (5) d
5 239 (4)	0,003 0 (8)	α	Ac-225	10,0 (1) d
5 242,5 (10)	0,020 (2)	α	Cm-246	4 723 (27) a
5 244,12 (13)	0,002 2 (3)	α	Am-241	432,6 (6) a
5 248,3 (20)	0,003 20 (16)	α	Th-227	18,718 (5) d
5 259 (7)	0,002 1 (21)	α	Pu-237	45,2 (1) d
5 259,2 (4)	0,043	α	Ra-223	11,43 (5) d
5 263,36 (9)	31,55 (23)	α	U-232	70 (1) a
5 264,3 (20)	0,002 6 (2)	α	Th-227	18,718 (5) d
5 267 (3)	0,001 5	α	Cm-243	29,1 (1) a
5 270 (4)	0,014 (5)	α	Ac-225	10,0 (1) d
5 273 (9)	0,001 25 (7)	α	Bi-214	19,9 (4) min
5 273,0 (12)	0,07	α	Cm-245	8 480 (60) a
5 275,3 (10)	86,74 (5)	α	Am-243	7 370 (17) a
5 281,02 (14)	0,000 5	α	Am-241	432,6 (6) a
5 283,8 (4)	0,095	α	Ra-223	11,43 (5) d
5 286 (3)	0,23 (1)	α	Ac-225	10,0 (1) d
5 287,3 (10)	0,15	α	Ra-223	11,43 (5) d
5 298 (1)	0,000 039 (4)	α	Bi-212	60,54 (6) min
5 302 (7)	0,000 51 (5)	α	Pu-237	45,2 (1) d
5 304 (1)	5,0 (1)	α	Cm-245	8 480 (60) a
5 304,33 (7)	99,998 76 (4)	α	Po-210	138,3763 (17) d
5 315,3	0,000 04	α	Cm-244	18,11 (3) a
5 316 (3)	0,001	α	Cm-243	29,1 (1) a
5 320,12 (14)	68,15 (23)	α	U-232	70 (1) a
5 321 (3)	0,07 (1)	α	Ac-225	10,0 (1) d
5 321 (1)	0,192 (3)	α	Am-243	7 370 (17) a
5 321,8 (40)	0,000 24 (10)	α	Th-227	18,718 (5) d
5 321,91 (13)	0,014 (3)	α	Am-241	432,6 (6) a
5 323 (3)	0,003	α	Cm-243	29,1 (1) a
5 332 (3)	0,003	α	Cm-243	29,1 (1) a
5 334 (7)	0,001 83 (18)	α	Pu-237	45,2 (1) d
5 336 (5)	0,000 2 (1)	α	Th-227	18,718 (5) d
5 338,7 (10)	0,13	α	Ra-223	11,43 (5) d
5 340,38 (22)	26,2 (2)	α	Th-228	1,9127 (6) a
5 341,5 (20)	0,000 5 (5)	α	Ac-225	10,0 (1) d
5 343,7 (9)	20,80 (22)	α	Cm-246	4 723 (27) a
5 345 (1)	0,000 36 (18)	α	Bi-212	60,54 (6) min
5 349,4 (23)	0,240 (3)	α	Am-243	7 370 (17) a
5 356 (7)	0,000 72 (7)	α	Pu-237	45,2 (1) d
5 356,1 (20)	0,000 5 (5)	α	Ac-225	10,0 (1) d
5 358,09 (20)	0,105 (3)	α	Pu-238	87,74 (3) a
5 362 (1)	93,2 (5)	α	Cm-245	8 480 (60) a
5 365,0 (25)	0,000 66 (3)	α	Th-227	18,718 (5) d
5 365,6 (10)	0,13	α	Ra-223	11,43 (5) d
5 377,8 (20)	0,000 5 (5)	α	Ac-225	10,0 (1) d
5 387,5 (9)	79,15 (22)	α	Cm-246	4 723 (27) a
5 388,26 (13)	1,66 (3)	α	Am-241	432,6 (6) a
5 391 (4)	0,001 0 (5)	α	Ac-225	10,0 (1) d
5 408,7 (30)	0,000 44 (7)	α	Th-227	18,718 (5) d
5 415 (4)	0,002 0 (5)	α	Ac-225	10,0 (1) d
5 416,27 (13)	0,01	α	Am-241	432,6 (6) a
5 423,28 (22)	73,2 (2)	α	Th-228	1,9127 (6) a
5 427 (4)	0,001 5 (15)	α	Ac-225	10,0 (1) d
5 433,6 (5)	2,27 (20)	α	Ra-223	11,43 (5) d
5 436 (4)	0,07 (2)	α	Ac-225	10,0 (1) d
5 436,0 (5)	0,04	α	Cm-245	8 480 (60) a
5 442,86 (12)	13,23 (10)	α	Am-241	432,6 (6) a
5 443 (3)	0,14 (1)	α	Ac-225	10,0 (1) d
5 448,81 (16)	5,26 (7)	α	Ra-224	3,627 (7) d
5 450,43 (9)	0,002	α	Pu-236	2,87 (1) a
5 452 (3)	0,011 6 (7)	α	Bi-214	19,9 (4) min
5 456,26 (20)	28,85 (6)	α	Pu-238	87,74 (3) a
5 458,6 (20)	0,002 70 (5)	α	Th-227	18,718 (5) d
5 462,47 (14)	0,000 013 (3)	α	Cm-242	162,86 (8) d
5 468,1 (20)	0,000 5 (5)	α	Ac-225	10,0 (1) d
5 469,47 (12)	0,04	α	Am-241	432,6 (6) a
5 480,4 (22)	0,001 2 (1)	α	Th-227	18,718 (5) d
5 480,9 (4)	0,008	α	Ra-223	11,43 (5) d
5 481,3 (3)	0,005 0 (7)	α	Bi-212	60,54 (6) min
5 485,56 (12)	84,45 (10)	α	Am-241	432,6 (6) a
5 489 (4)	0,002 0 (7)	α	Ac-225	10,0 (1) d

Énergie (keV)	Intensité (%)	Type	Parent	Période
5 489,0 (5)	0,83	α	Cm-245	8 480 (60) a
5 489,48 (30)	99,92 (1)	α	Rn-222	3,8232 (8) d
5 497 (4)	0,001 5 (15)	α	Ac-225	10,0 (1) d
5 499,03 (20)	71,04 (6)	α	Pu-238	87,74 (3) a
5 500 (40)	0,000 038 (10)	α	Fr-221	4,79 (2) min
5 501,6 (10)	1,00 (15)	α	Ra-223	11,43 (5) d
5 509,9 (20)	0,016 6 (3)	α	Th-227	18,718 (5) d
5 511,47 (12)	0,23 (1)	α	Am-241	432,6 (6) a
5 515,29 (6)	0,003 52 (18)	α	Cm-244	18,11 (3) a
5 516 (3)	0,008 2 (5)	α	Bi-214	19,9 (4) min
5 517 (7)	0,005 (2)	α	Ac-225	10,0 (1) d
5 517,75 (11)	0,000 25 (5)	α	Cm-242	162,86 (8) d
5 523 (3)	0,002	α	Cm-243	29,1 (1) a
5 525 (5)	0,007 (3)	α	Ac-225	10,0 (1) d
5 529,0 (5)	0,58	α	Cm-245	8 480 (60) a
5 530 (25)	0,000 10 (2)	α	Fr-221	4,79 (2) min
5 531,7 (18)	0,021 (2)	α	Th-227	18,718 (5) d
5 532 (3)	0,006	α	Cm-243	29,1 (1) a
5 537 (3)	0,002	α	Cm-243	29,1 (1) a
5 539,8 (9)	9,2 (2)	α	Ra-223	11,43 (5) d
5 540 (4)	0,015 (2)	α	Ac-225	10,0 (1) d
5 544,11 (12)	0,38 (1)	α	Am-241	432,6 (6) a
5 545 (4)	0,03 (1)	α	Ac-225	10,0 (1) d
5 549 (10)	0,15 (3)	α	Bi-213	45,59 (6) min
5 554 (4)	0,10 (3)	α	Ac-225	10,0 (1) d
5 560 (7)	0,000 151 (15)	α	Pu-237	45,2 (1) d
5 563 (4)	0,034 (3)	α	Ac-225	10,0 (1) d
5 568 (3)	0,007	α	Cm-243	29,1 (1) a
5 575 (3)	0,007	α	Cm-243	29,1 (1) a
5 580 (3)	1,2 (1)	α	Ac-225	10,0 (1) d
5 582 (3)	0,009	α	Cm-243	29,1 (1) a
5 585,9 (16)	0,176 (6)	α	Th-227	18,718 (5) d
5 587 (3)	0,02	α	Cm-243	29,1 (1) a
5 593 (3)	0,01	α	Cm-243	29,1 (1) a
5 598 (4)	0,04 (1)	α	Ac-225	10,0 (1) d
5 600,6 (18)	0,170 (17)	α	Th-227	18,718 (5) d
5 606,63 (14)	0,43 (4)	α	Bi-212	60,54 (6) min
5 606,7 (3)	25,7 (5)	α	Ra-223	11,43 (5) d
5 607,76 (16)	0,000 02	α	Cm-242	162,86 (8) d
5 609 (3)	1,1 (1)	α	Ac-225	10,0 (1) d
5 610 (6)	0,000 31 (3)	α	Pu-237	45,2 (1) d
5 612 (3)	0,03	α	Cm-243	29,1 (1) a
5 613,3 (16)	0,216 (8)	α	Th-227	18,718 (5) d
5 613,61 (9)	0,18	α	Pu-236	2,87 (1) a
5 622,0 (17)	0,007 0 (4)	α	Th-227	18,718 (5) d
5 622	0,06	α	Cm-243	29,1 (1) a
5 625,4 (2)	0,06 (1)	α	Bi-212	60,54 (6) min
5 637 (2)	4,4 (3)	α	Ac-225	10,0 (1) d
5 639 (3)	0,14	α	Cm-243	29,1 (1) a
5 640,2 (15)	0,017 9 (15)	α	Th-227	18,718 (5) d
5 646 (3)	0,03	α	Cm-243	29,1 (1) a
5 650 (6)	0,000 3 (3)	α	Pu-237	45,2 (1) d
5 665,41 (5)	0,020 4 (15)	α	Cm-244	18,11 (3) a
5 668,0 (15)	2,06 (12)	α	Th-227	18,718 (5) d
5 674,3 (16)	0,057 (4)	α	Th-227	18,718 (5) d
5 682 (2)	1,3 (2)	α	Ac-225	10,0 (1) d
5 682 (3)	0,2	α	Cm-243	29,1 (1) a
5 685,50 (15)	94,72 (7)	α	Ra-224	3,627 (7) d
5 686 (3)	1,6	α	Cm-243	29,1 (1) a
5 689 (3)	0,002 5 (5)	α	Fr-221	4,79 (2) min
5 693,0 (16)	1,5 (1)	α	Th-227	18,718 (5) d
5 697 (4)	0,000 3	α	Fr-221	4,79 (2) min
5 700,8 (16)	3,63 (20)	α	Th-227	18,718 (5) d
5 708,8 (16)	8,3 (3)	α	Th-227	18,718 (5) d
5 711 (2)	0,020 (4)	α	Pa-228	22 (1) h
5 713,2 (16)	4,89 (20)	α	Th-227	18,718 (5) d
5 716,2 (3)	52,6 (13)	α	Ra-223	11,43 (5) d
5 721,0 (1)	30,6 (5)	α	Pu-236	2,87 (1) a
5 724 (3)	3,1 (5)	α	Ac-225	10,0 (1) d
5 728,1 (16)	0,034 2 (25)	α	Th-227	18,718 (5) d
5 731 (2)	0,87 (23)	α	Ac-225	10,0 (1) d
5 732 (2)	1,32 (10)	α	Ac-225	10,0 (1) d
5 732 (2)	8,0 (5)	α	Ac-225	10,0 (1) d
5 742,2 (10)	10,6 (2)	α	Cm-243	29,1 (1) a
5 747,0 (4)	9,2 (2)	α	Ra-223	11,43 (5) d
5 748,46 (14)	0,118 (15)	α	Rn-220	55,8 (3) s
5 756,87 (15)	20,4 (9)	α	Th-227	18,718 (5) d
5 758 (2)	0,060 (8)	α	Pa-228	22 (1) h
5 762,3 (15)	0,228 (10)	α	Th-227	18,718 (5) d
5 762,65 (5)	23,3 (4)	α	Cm-244	18,11 (3) a

Énergie (keV)	Intensité (%)	Type	Parent	Période	
5 765 (2)	0,052 (7)	α	Pa-228	22 (1)	h
5 767,66 (8)	69,3 (5)	α	Pu-236	2,87 (1)	a
5 768,27 (10)	0,63 (3)	α	Bi-212	60,54 (6)	min
5 776 (3)	0,064 (4)	α	Fr-221	4,79 (2)	min
5 780 (2)	0,026 (4)	α	Pa-228	22 (1)	h
5 782,3 (11)	0,001	α	Rn-219	3,96 (1)	s
5 783 (4)	0,003 1 (6)	α	Fr-221	4,79 (2)	min
5 785,1 (10)	73,5 (10)	α	Cm-243	29,1 (1)	a
5 790,6 (22)	8,6 (9)	α	Ac-225	10,0 (1)	d
5 792,5 (22)	18,1 (20)	α	Ac-225	10,0 (1)	d
5 795,5 (15)	0,311 (5)	α	Th-227	18,718 (5)	d
5 800 (2)	0,214 (25)	α	Pa-228	22 (1)	h
5 804,77 (5)	76,7 (4)	α	Cm-244	18,11 (3)	a
5 805 (2)	0,3 (1)	α	Ac-225	10,0 (1)	d
5 806 (2)	0,138 (16)	α	Pa-228	22 (1)	h
5 807,5 (15)	1,27 (2)	α	Th-227	18,718 (5)	d
5 813 (3)	0,006 (1)	α	Fr-221	4,79 (2)	min
5 816,39 (11)	0,004 6 (5)	α	Cm-242	162,86 (8)	d
5 826,3	0,001 9	α	Cf-252	2,6470 (26)	a
5 827 (2)	0,116 (19)	α	Pa-228	22 (1)	h
5 830 (2)	50,7 (15)	α	Ac-225	10,0 (1)	d
5 844 (2)	0,008 0 (8)	α	Pa-228	22 (1)	h
5 857,5 (10)	0,32 (4)	α	Ra-223	11,43 (5)	d
5 859 (2)	0,006 0 (6)	α	Pa-228	22 (1)	h
5 866,6 (15)	2,42 (10)	α	Th-227	18,718 (5)	d
5 869 (10)	1,94 (4)	α	Bi-213	45,59 (6)	min
5 869,50 (22)	41,80 (8)	α	At-211	7,214 (7)	
5 871,3 (10)	1,0 (2)	α	Ra-223	11,43 (5)	d
5 875 (2)	0,026 (4)	α	Pa-228	22 (1)	h
5 876 (3)	0,6	α	Cm-243	29,1 (1)	a
5 905 (2)	0,020 (3)	α	Pa-228	22 (1)	h
5 907 (3)	0,1	α	Cm-243	29,1 (1)	a
5 909,9 (15)	0,174 (8)	α	Th-227	18,718 (5)	d
5 916,0 (15)	0,775 (30)	α	Th-227	18,718 (5)	d
5 921 (2)	0,016 (3)	α	Pa-228	22 (1)	h
5 925 (3)	0,028 5 (24)	α	Fr-221	4,79 (2)	min
5 938,9 (20)	0,128 (3)	α	Fr-221	4,79 (2)	min
5 940 (2)	0,010 0 (23)	α	Pa-228	22 (1)	h
5 946 (2)	0,012 0 (24)	α	Pa-228	22 (1)	h
5 946,5 (12)	0,003 7	α	Rn-219	3,96 (1)	s
5 959,7 (15)	3,00 (15)	α	Th-227	18,718 (5)	d
5 965,9 (25)	0,064 (16)	α	Fr-221	4,79 (2)	min
5 969,24 (9)	0,034 (2)	α	Cm-242	162,86 (8)	d
5 974 (2)	0,050 (7)	α	Pa-228	22 (1)	h
5 976,6	0,23 (4)	α	Cf-252	2,6470 (26)	a
5 977,72 (10)	23,5 (9)	α	Th-227	18,718 (5)	d
5 979,9 (20)	0,39 (7)	α	Fr-221	4,79 (2)	min
5 981 (2)	0,052 (7)	α	Pa-228	22 (1)	h
5 988 (2)	0,020 (3)	α	Pa-228	22 (1)	h
5 988,6 (10)	0,001 9 (3)	α	Po-216	150 (5) E-3	s
5 989,4 (20)	0,005	α	Th-227	18,718 (5)	d
5 989,7 (6)	0,014 (1)	α	Cm-240	27 (1)	d
5 992,2 (10)	6,5 (2)	α	Cm-243	29,1 (1)	a
5 997 (2)	0,006 0 (6)	α	Pa-228	22 (1)	h
5 999,8 (13)	0,004 4	α	Rn-219	3,96 (1)	s
6 002,35 (9)	99,976 9 (32)	α	Po-218	3,094 (6)	min
6 008,8 (15)	2,90 (15)	α	Th-227	18,718 (5)	d
6 010 (2)	0,016 (3)	α	Pa-228	22 (1)	h
6 010 (3)	0,997 6 (3)	α	Cm-243	29,1 (1)	a
6 027 (2)	0,170 (19)	α	Pa-228	22 (1)	h
6 038,01 (15)	24,2 (9)	α	Th-227	18,718 (5)	d
6 040 (2)	0,044 (8)	α	Pa-228	22 (1)	h
6 047 (3)	0,006 0 (6)	α	Pa-228	22 (1)	h
6 050,92 (4)	25,1 (1)	α	Bi-212	60,54 (6)	min
6 052 (3)	0,014 0 (14)	α	Pa-228	22 (1)	h
6 058 (3)	4,7 (3)	α	Cm-243	29,1 (1)	a
6 065 (2)	0,020 (5)	α	Pa-228	22 (1)	h
6 067 (3)	1,5 (2)	α	Cm-243	29,1 (1)	a
6 069,37 (9)	25,94 (7)	α	Cm-242	162,86 (8)	d
6 075,64 (11)	15,1 (3)	α	Cf-252	2,6470 (26)	a
6 075,9 (20)	0,15 (3)	α	Fr-221	4,79 (2)	min
6 076 (2)	0,39 (5)	α	Pa-228	22 (1)	h
6 089 (2)	0,044 (8)	α	Pa-228	22 (1)	h
6 090,02 (4)	9,7 (1)	α	Bi-212	60,54 (6)	min
6 100,7 (7)	0,003	α	Rn-219	3,96 (1)	s
6 104 (2)	0,23 (3)	α	Pa-228	22 (1)	h
6 112,72 (8)	74,06 (7)	α	Cm-242	162,86 (8)	d
6 117 (2)	0,198 (23)	α	Pa-228	22 (1)	h
6 118,1 (1)	81,7 (3)	α	Cf-252	2,6470 (26)	a
6 126 (2)	0,020 (2)	α	Pa-228	22 (1)	h

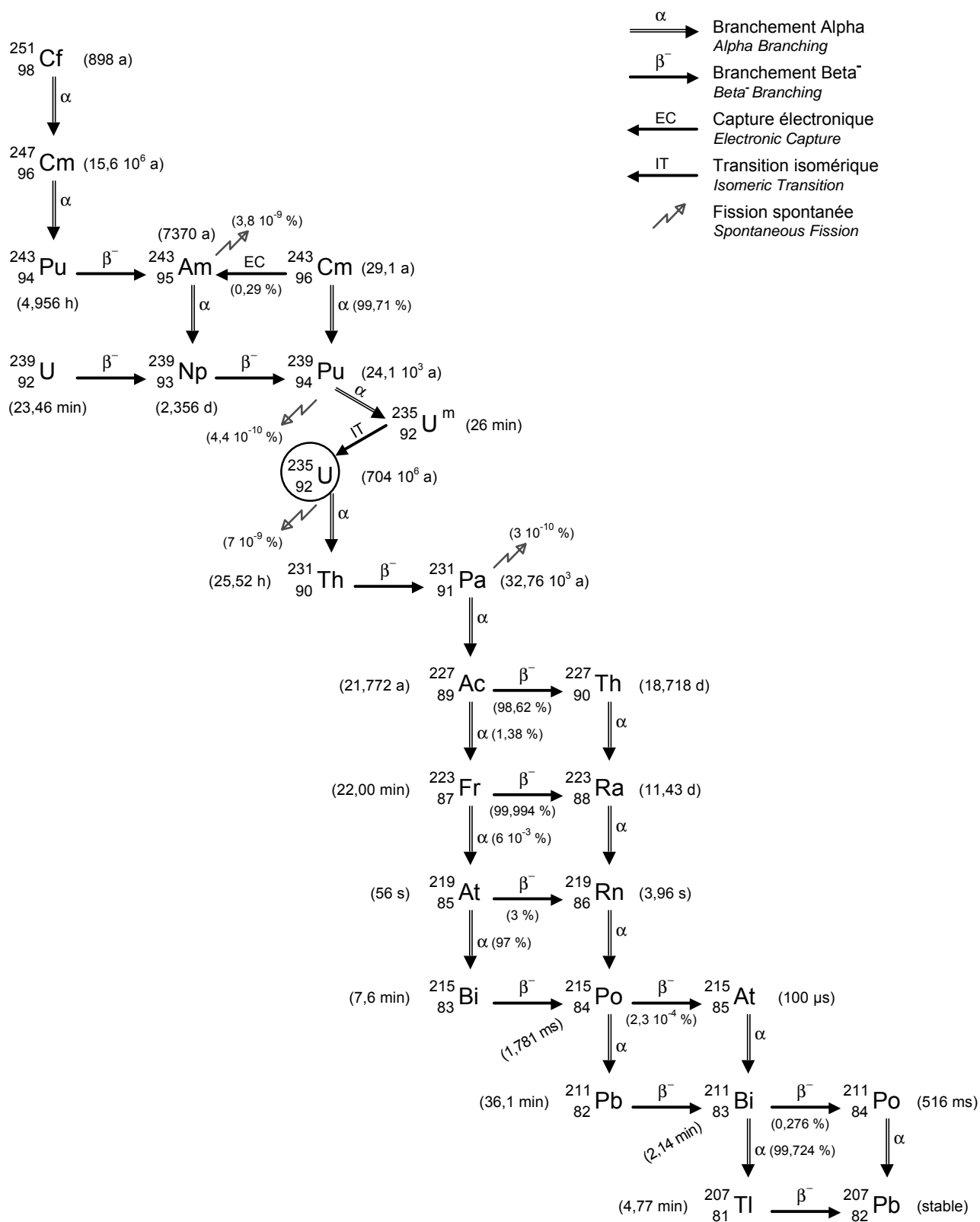
Énergie (keV)	Intensité (%)	Type	Parent	Période
6 126,3 (15)	15,1 (2)	α	Fr-221	4,79 (2) min
6 145,4 (6)	0,052 (2)	α	Cm-240	27 (1) d
6 147,7 (3)	0,002 6	α	Rn-219	3,96 (1) s
6 154,7 (3)	0,017 4	α	Rn-219	3,96 (1) s
6 221,5 (8)	0,002 6	α	Rn-219	3,96 (1) s
6 243 (2)	1,34 (7)	α	Fr-221	4,79 (2) min
6 247,7 (5)	28,8 (8)	α	Cm-240	27 (1) d
6 275 (50)	97	α	At-219	56 (3) s
6 278,2 (7)	16,19 (14)	α	Bi-211	2,14 (2) min
6 288,22 (10)	99,882 (15)	α	Rn-220	55,8 (3) s
6 290,5 (5)	70,9 (6)	α	Cm-240	27 (1) d
6 310,8 (3)	0,054	α	Rn-219	3,96 (1) s
6 341,0 (13)	82,8 (2)	α	Fr-221	4,79 (2) min
6 425 (1)	7,5 (6)	α	Rn-219	3,96 (1) s
6 483 (5)	0,02 (1)	α	At-217	32,30 (40) E-3 s
6 530,7 (3)	0,12	α	Rn-219	3,96 (1) s
6 531,1 (19)	0,127 (7)	α	Rn-218	36,0 (19) E-3 s
6 552,6 (10)	12,9 (6)	α	Rn-219	3,96 (1) s
6 568,3 (9)	0,544 (19)	α	Po-211	516 (3) E-3 s
6 609 (7)	0,010 (5)	α	At-217	32,30 (40) E-3 s
6 610,1 (10)	0,000 058 (2)	α	Po-214	162,3 (12) E-6 s
6 622,9 (6)	83,54 (14)	α	Bi-211	2,14 (2) min
6 653 (5)	6,4 (1)	α	At-218	1,4 (2) s
6 694 (3)	90,0 (1)	α	At-218	1,4 (2) s
6 756 (5)	3,6 (1)	α	At-218	1,4 (2) s
6 778,6 (5)	99,998 1 (3)	α	Po-216	150 (5) E-3 s
6 812 (5)	0,06 (2)	α	At-217	32,30 (40) E-3 s
6 819,1 (3)	79,4 (10)	α	Rn-219	3,96 (1) s
6 891,5 (8)	0,557 (21)	α	Po-211	516 (3) E-3 s
6 902,6 (3)	0,010 5 (7)	α	Po-214	162,3 (12) E-6 s
6 946,8 (8)	0,022	α	Po-215	1,7810 (40) E-3 s
6 954,8 (9)	0,034	α	Po-215	1,7810 (40) E-3 s
7 066,9 (15)	99,89 (10)	α	At-217	32,30 (40) E-3 s
7 129,2 (19)	99,873 (7)	α	Rn-218	36,0 (19) E-3 s
7 275 (15)	91,04 (15)	α	Po-211m	25,2 (6) s
7 386,1 (8)	99,999 77 (2)	α	Po-215	1,7810 (40) E-3 s
7 450,3 (5)	98,89 (2)	α	Po-211	516 (3) E-3 s
7 610 (10)	0,05 (2)	α	At-215	100 (20) E-6 s
7 614 (10)	0,005 0 (5)	α	Po-213	3,70 (5) E-6 s
7 686,82 (6)	99,989 5 (7)	α	Po-214	162,3 (12) E-6 s
7 742 (3)	100	α	Rn-217	540 (50) E-6 s
7 995 (15)	1,66 (3)	α	Po-211m	25,2 (6) s
8 026 (4)	99,95 (2)	α	At-215	100 (20) E-6 s
8 287 (6)	0,000 12	α	Bi-214	19,9 (4) min
8 305 (15)	0,25 (20)	α	Po-211m	25,2 (6) s
8 375,9 (25)	99,995 0 (5)	α	Po-213	3,70 (5) E-6 s
8 430 (6)	0,000 06	α	Bi-214	19,9 (4) min
8 785,18 (11)	100	α	Po-212	300 (2) E-9 s
8 883 (15)	7,04 (14)	α	Po-211m	25,2 (6) s
8 950 (6)	0,000 02	α	Bi-214	19,9 (4) min
9 080 (6)	0,002 2	α	Bi-214	19,9 (4) min
9 320 (6)	0,000 05	α	Bi-214	19,9 (4) min
9 378 (8)	0,000 02	α	Bi-214	19,9 (4) min
9 498,79 (12)	0,002 4 (2)	α	Bi-212	60,54 (6) min
9 500 (6)	0,000 1	α	Bi-214	19,9 (4) min
9 670 (8)	0,000 04	α	Bi-214	19,9 (4) min
9 802 (6)	0,000 12	α	Bi-214	19,9 (4) min
9 907 (6)	0,000 07	α	Bi-214	19,9 (4) min
10 082 (6)	0,000 14	α	Bi-214	19,9 (4) min
10 150 (8)	0,000 02	α	Bi-214	19,9 (4) min
10 332 (6)	0,000 08	α	Bi-214	19,9 (4) min
10 432,95 (13)	0,001 0 (1)	α	Bi-212	60,54 (6) min
10 505 (10)	0,000 02	α	Bi-214	19,9 (4) min
10 552,1 (3)	0,010 6 (8)	α	Bi-212	60,54 (6) min

ANNEXE
SCHÉMAS DES CHAÎNES RADIOACTIVES

APPENDIX
RADIOACTIVE SERIES SCHEMES

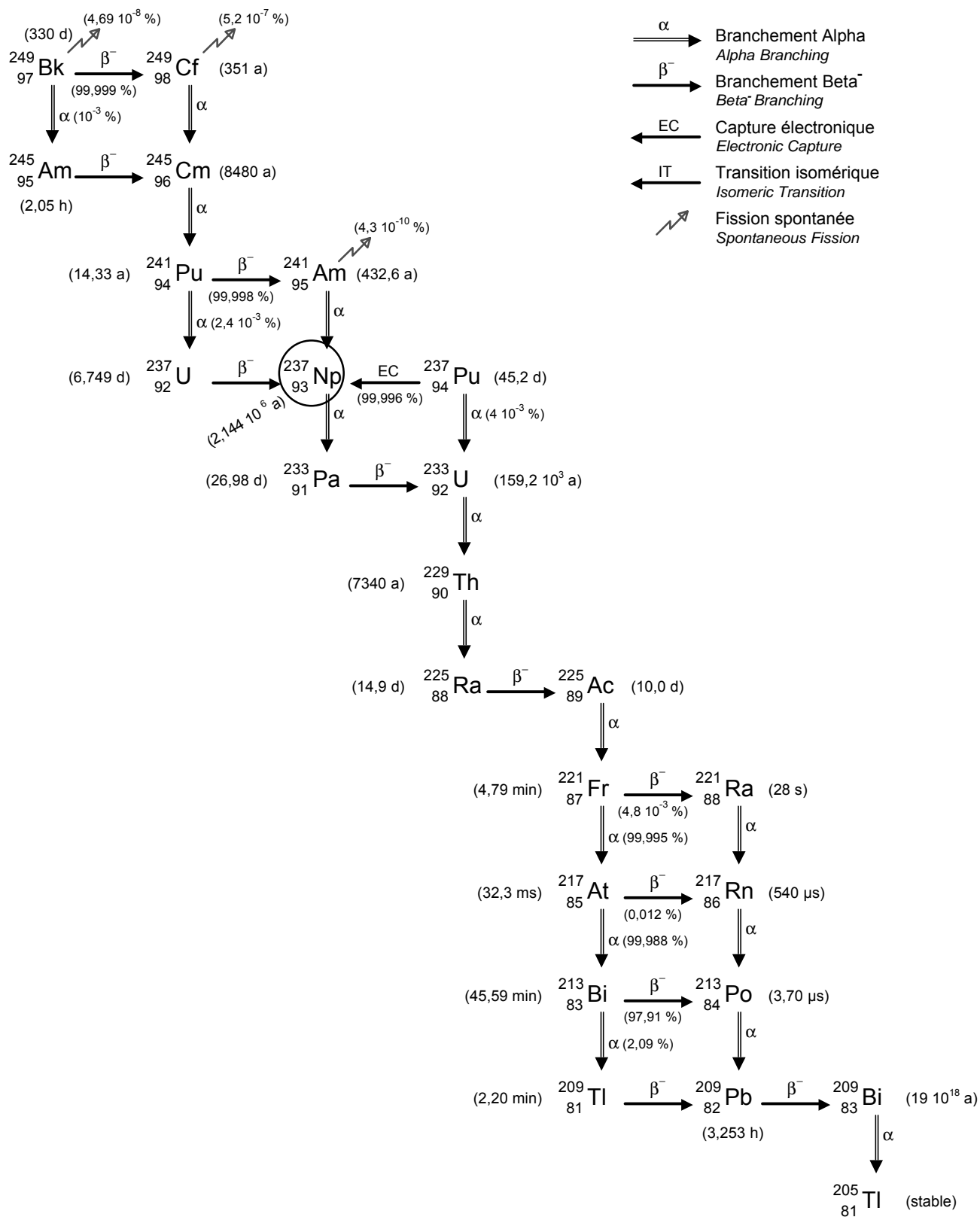
Chaîne radioactive de l'actino-uranium

Actino-uranium radioactive series



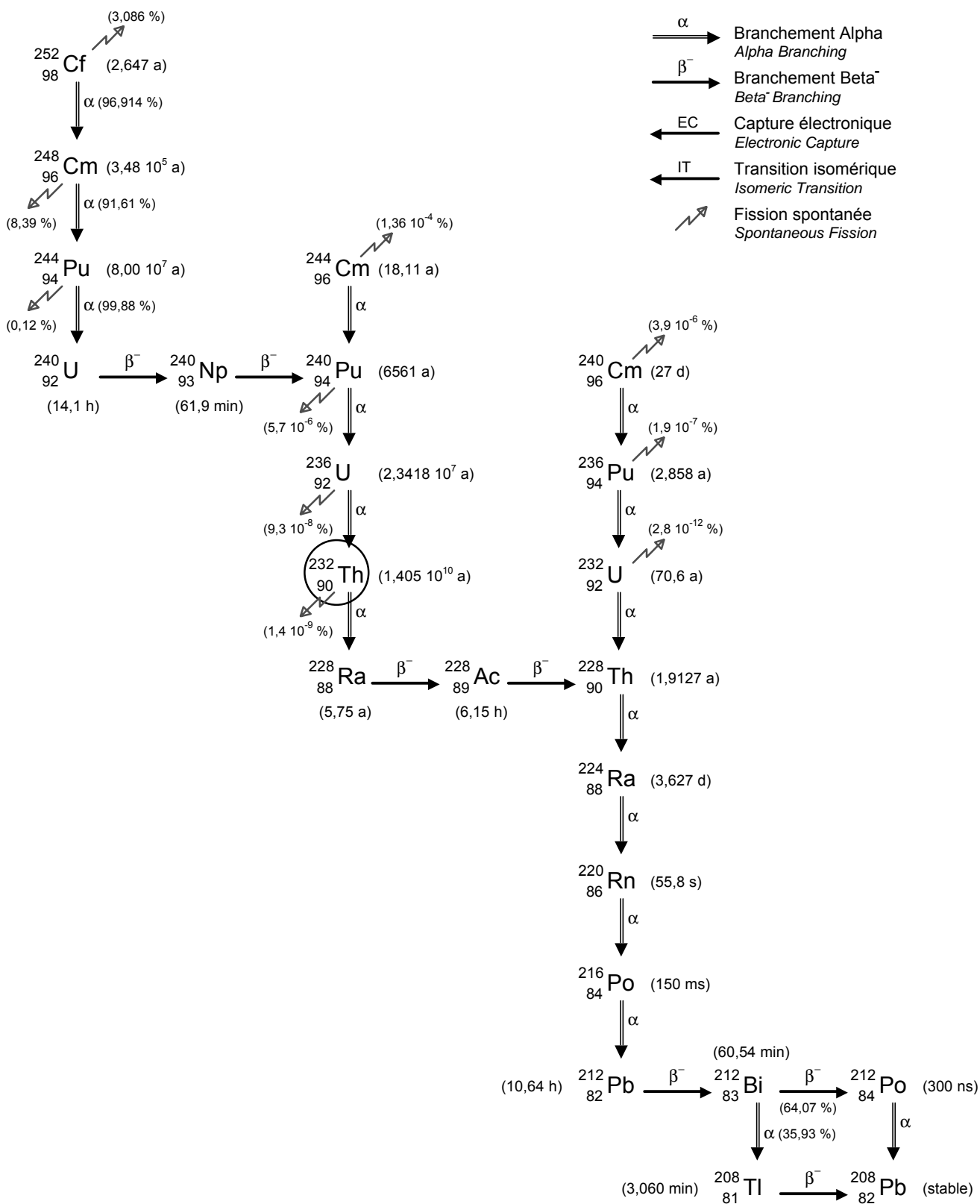
Chaîne radioactive du neptunium

Neptunium radioactive series



Chaîne radioactive du thorium

Thorium radioactive series



Chaîne radioactive de l'uranium

Uranium radioactive series

